

Université Bordeaux Montaigne

École Doctorale Montaigne Humanités (ED 480)

THÈSE DE DOCTORAT EN SCIENCES ARCHÉOLOGIQUES

Économie des matériaux lithiques en Corse pré- et protohistorique

*Dynamiques d'exploitations, circulation et
diffusion de la rhyolite*

Volume 2 - Annexes

Présentée et soutenue publiquement le 08 février 2022 par

Arthur LECK

Sous la codirection de Rémy Chapoulie et François-Xavier Le Bourdonnec

Membres du jury

Adrian L. BURKE, Professeur, Université de Montréal

Carlo LUGLIÈ, Professeur, Université de Cagliari

Claire MANEN, Directrice de recherche, CNRS, TRACES UMR-5608

Hara PROCOPIOU, Professeure, Université Paris 1 Panthéon-Sorbonne

Nadia AMEZIANE-FEDERZONI, Chercheuse associée, TRACES UMR-5608

Kewin PECHE-QUILICHINI, Directeur de musée, Musée de l'Alta Rocca, ASM UMR-5140

Sommaire - Annexes

1. Liste des échantillons (BDX Provenance US)	5
2. Référentiel géologique - données EDXRF	87
3. Rhyolites du Monti Barbatu : données EDXRF	175
4. Rhyolites de Basi - données EDXRF	185
5. Rhyolites de I Casteddi - données EDXRF	195
6. Rhyolites de Renaghju - données EDXRF	207
7. Rhyolites de Renaghju - Résultats complets (EDXRF et macroscopiques)	217
8. Rhyolites de l'Abri des Castelli - données EDXRF	231
9. Rhyolites de A Petra - données EDXRF	237
10. Analyses LA-ICP-MS	247
11. Analyses MEB-EDS	251
12. Analyses PIXE	257
13. Test de l'influence de l'épaisseur des échantillons	261
14. Diffraction des rayons X	269
15. Tableau des composantes ACP	277
16. Article Comptes Rendus Palevol	283

1. Liste des échantillons (BDX Provenance US)

BDX	Type	Provenance	Complément provenance	Pourvoyeur	ID Précédente	US / Info. Diverses	Latitude	Longitude
BDX17878	géologique	plateau de Stagnu	Affleurement	N. Federzoni	Se1		42.403464	8.920705
BDX17879	géologique	plateau de Stagnu	Affleurement	N. Federzoni	Se4		42.403464	8.920705
BDX17880	géologique	plateau de Stagnu	Affleurement	N. Federzoni	Se5		42.403464	8.920705
BDX17881	géologique	plateau de Stagnu	Moraine quaternaire	N. Federzoni	Sr1		42.4002	8.920941
BDX17882	géologique	plateau de Stagnu	Moraine quaternaire	N. Federzoni	Sr2		42.4002	8.920941
BDX17883	géologique	plateau de Stagnu	Moraine quaternaire	N. Federzoni	Sr3		42.4002	8.920941
BDX17884	géologique	plateau de Stagnu	Moraine quaternaire	N. Federzoni	Sr5		42.4002	8.920941
BDX17885	géologique	plateau de Stagnu	Moraine quaternaire	N. Federzoni	Sr6		42.4002	8.920941
BDX17886	géologique	plateau d'Alzu		N. Federzoni	n°1		42.274753	9.053839
BDX17887	géologique	plateau d'Alzu		N. Federzoni	n°2		42.274753	9.053839
BDX17888	géologique	plateau d'Alzu		N. Federzoni	n°3		42.274554	9.054043
BDX17889	géologique	plateau d'Alzu		N. Federzoni	n°4		42.274554	9.054043
BDX17890	géologique	plateau d'Alzu		N. Federzoni	n°5		42.274395	9.053947
BDX17891	géologique	plateau d'Alzu		N. Federzoni	n°10		42.274221	9.053346
BDX17892	géologique	plateau d'Alzu		N. Federzoni	n°11		42.274499	9.053185
BDX17893	géologique	plateau d'Alzu		N. Federzoni	n°12		42.274332	9.052938
BDX17894	géologique	plateau d'Alzu		N. Federzoni	n°13		42.273729	9.053936
BDX17895	géologique	plateau d'Alzu		N. Federzoni	n°15b		42.275419	9.054462
BDX17896	archéologique	plateau d'Alzu	Ramassage de surface	N. Federzoni	n°1			
BDX17897	archéologique	plateau d'Alzu	Ramassage de surface	N. Federzoni	n°2			
BDX17898	archéologique	plateau d'Alzu	Ramassage de surface	N. Federzoni	n°3			
BDX17899	archéologique	plateau d'Alzu	Ramassage de surface	N. Federzoni	n°4			
BDX17900	archéologique	plateau d'Alzu	Ramassage de surface	N. Federzoni	n°5			
BDX17901	archéologique	plateau d'Alzu	Ramassage de surface	N. Federzoni	n°6			
BDX17902	archéologique	plateau d'Alzu	Ramassage de surface	N. Federzoni	n°7			
BDX17903	archéologique	plateau d'Alzu	Ramassage de surface	N. Federzoni	n°8			
BDX17904	archéologique	plateau d'Alzu	Ramassage de surface	N. Federzoni	n°9			
BDX17905	archéologique	plateau d'Alzu	Ramassage de surface	N. Federzoni	n°10			
BDX17906	archéologique	plateau d'Alzu	Ramassage de surface	N. Federzoni	n°11			
BDX17907	géologique	Monte d'Oro		T. Perrin	M. Oro n°1		42.13172	9.08492
BDX17908	géologique	Monte d'Oro		T. Perrin	M. Oro n°2		42.13214	9.08493
BDX17909	géologique	Monte d'Oro		T. Perrin	M. Oro n°3		42.13227	9.08391
BDX17910	géologique	Monte d'Oro		T. Perrin	M. Oro n°4		42.13232	9.08385

BDX	Type	Provenance	Complément provenance	Pourvoyeur	ID Précédente	US / Info. Diverses	Latitude	Longitude
BDX17911	géologique	Monte d'Oro		T. Perrin	M. Oro n°5		42.13496	9.0843
BDX17912	géologique	Monte d'Oro		T. Perrin	M. Oro n°6		42.13285	9.08386
BDX17915	géologique	Abri des Castelli		J-M Bontempi	Aff. 2		42.257031	9.034774
BDX17916	géologique	Abri des Castelli		J-M Bontempi	Aff. 3		42.259064	9.036126
BDX17917	géologique	Abri des Castelli		J-M Bontempi			42.25511	9.036212
BDX17918	géologique	Abri des Castelli		J-M Bontempi			42.25511	9.036212
BDX17919	géologique	Abri des Castelli		J-M Bontempi			42.25511	9.036212
BDX17920	géologique	Abri des Castelli		J-M Bontempi			42.25511	9.036212
BDX17921	géologique	Abri des Castelli		J-M Bontempi			42.25511	9.036212
BDX17922	géologique	Abri des Castelli		J-M Bontempi			42.25511	9.036212
BDX17923	géologique	Abri des Castelli		J-M Bontempi			42.25511	9.036212
BDX17924	géologique	Abri des Castelli		J-M Bontempi			42.25511	9.036212
BDX17925	géologique	Abri des Castelli		J-M Bontempi			42.25511	9.036212
BDX17926	géologique	Abri des Castelli		J-M Bontempi			42.25511	9.036212
BDX17927	géologique	Abri des Castelli		J-M Bontempi			42.25511	9.036212
BDX17928	géologique	Abri des Castelli		J-M Bontempi			42.25511	9.036212
BDX17929	géologique	Abri des Castelli		J-M Bontempi	Aff. 8		42.25511	9.036212
BDX17930	géologique	Abri des Castelli		J-M Bontempi	Aff. 8b		42.25511	9.036212
BDX17931	géologique	Abri des Castelli		J-M Bontempi			42.25511	9.036212
BDX17932	géologique	Abri des Castelli		J-M Bontempi			42.25511	9.036212
BDX17933	géologique	Abri des Castelli		J-M Bontempi			42.25511	9.036212
BDX17934	géologique	Abri des Castelli		J-M Bontempi			42.25511	9.036212
BDX17935	archéologique	Abri des Castelli	"Fosse paroi"	S. Mazet				
BDX17936	archéologique	Abri des Castelli	"Fosse paroi"	S. Mazet				
BDX17937	archéologique	Abri des Castelli	"Fosse paroi"	S. Mazet				
BDX17938	archéologique	Abri des Castelli	"Fosse paroi"	S. Mazet				
BDX17939	archéologique	Abri des Castelli	"Fosse paroi"	S. Mazet				
BDX17940	archéologique	Abri des Castelli	"Fosse paroi"	S. Mazet				
BDX17941	archéologique	Abri des Castelli	"Fosse paroi"	S. Mazet				
BDX17942	archéologique	Abri des Castelli	"Fosse paroi"	S. Mazet				
BDX17943	archéologique	Abri des Castelli	"Fosse paroi"	S. Mazet				
BDX17944	archéologique	Abri des Castelli	"Fosse paroi"	S. Mazet				
BDX17945	archéologique	Abri des Castelli	"Fosse paroi"	S. Mazet				

BDX	Type	Provenance	Complément provenance	Pourvoyeur	ID Précédente	US / Info. Diverses	Latitude	Longitude
BDX17946	archéologique	Abri des Castelli	"Fosse paroi"	S. Mazet				
BDX18333	archéologique	I Calanchi	Couche B, Terrasse Nord	M. Remicourt		type 1a. 1986. L8.B1		
BDX18334	archéologique	I Calanchi	Couche B, Terrasse Nord	M. Remicourt		Type 1b. 1988. K5 B1		
BDX18335	archéologique	I Calanchi	Couche B, Terrasse Nord	M. Remicourt		Type 1b. 1988. K5 B1		
BDX18336	archéologique	I Calanchi	Couche B, Terrasse Nord	M. Remicourt	187	Type 2a. 1989. J5 B1		
BDX18337	archéologique	I Calanchi	Couche B, Terrasse Nord	M. Remicourt	K.100.B.34	Type 2b. 1990. K100. B		
BDX18338	archéologique	I Calanchi	Couche B, Terrasse Nord	M. Remicourt		type 2c. 2000. M12 - B		
BDX18339	archéologique	I Calanchi	Couche B, Terrasse Nord	M. Remicourt	84	type 3a. 1991. K99.B		
BDX18340	archéologique	I Calanchi	Couche B, Terrasse Nord	M. Remicourt	41	type 3b. 1994. P5.BT		
BDX18341	archéologique	I Calanchi	Couche B, Terrasse Nord	M. Remicourt	271	Type 4a. 1988. L7. B1		
BDX18342	archéologique	I Calanchi	Couche B, Terrasse Nord	M. Remicourt	151	Type 4b. 1989. J6 B1		
BDX18343	archéologique	I Calanchi	Couche B, Terrasse Nord	M. Remicourt		Type 4c. 1991, H6 B		
BDX18344	archéologique	I Calanchi	Couche B, Terrasse Nord	M. Remicourt		Type 5. 1994. N5.B1		
BDX18345	archéologique	I Calanchi	Couche B, Terrasse Nord	M. Remicourt		Type 6. 1990. J0.B.2.		
BDX18346	archéologique	I Calanchi	Couche B, Terrasse Nord	M. Remicourt		Type 7. 1986. L8.B1		

BDX	Type	Provenance	Complément provenance	Pourvoyeur	ID Précédente	US / Info. Diverses	Latitude	Longitude
BDX18347	archéologique	I Calanchi	Couche B, Terrasse Nord	M. Remicourt		Type 7b. 1989. K9.B1.273.		
BDX18348	archéologique	I Calanchi	Couche B, Terrasse Nord	M. Remicourt		Type 8. 1986. F27.B1		
BDX18349	archéologique	I Calanchi	Couche B, Terrasse Nord	M. Remicourt		Type 9. 2000. K13.B		
BDX18350	archéologique	I Calanchi	Couche B, Terrasse Nord	M. Remicourt		Type 10a. 1994. P5.B1		
BDX18351	archéologique	I Calanchi	Couche B, Terrasse Nord	M. Remicourt		Type 10b. 1994. P7.B1		
BDX18352	archéologique	I Calanchi	Couche B, Terrasse Nord	M. Remicourt		Type 10c. 1991. K99.B		
BDX18353	archéologique	I Calanchi	Couche B, Terrasse Nord	M. Remicourt		Type 10d. 1989. H6.B1		
BDX18354	archéologique	I Calanchi	Couche B, Terrasse Nord	M. Remicourt		Type 11. 1988, N10.B		
BDX18355	archéologique	I Calanchi	Couche B, Terrasse Nord	M. Remicourt	7311?	Type 12. 1991. P3.B		
BDX18356	archéologique	I Calanchi	Couche B, Terrasse Nord	M. Remicourt		Type 13. 1989. N5.B1		
BDX18357	archéologique	I Calanchi	Couche B, Terrasse Nord	M. Remicourt	013.B1 2	Type 14a. 1995. 07.B1		
BDX18358	archéologique	I Calanchi	Couche B, Terrasse Nord	M. Remicourt		Type 14b. 1999. 018.B		
BDX18359	archéologique	I Calanchi	Couche B, Terrasse Nord	M. Remicourt		Type 14c. 1999. 018.B1		
BDX18360	archéologique	I Calanchi	Couche B, Terrasse Nord	M. Remicourt		Type 15. 1988. L7.B1		
BDX18361	archéologique	I Calanchi	Couche B, Terrasse Nord	M. Remicourt	169	Type 16. 1989. J5.B1		

BDX	Type	Provenance	Complément provenance	Pourvoyeur	ID Précédente	US / Info. Diverses	Latitude	Longitude
BDX18362	archéologique	I Calanchi	Couche B, Terrasse Nord	M. Remicourt		Type 17. 1986. F27.B1		
BDX18363	archéologique	I Calanchi	Couche B, Terrasse Nord	M. Remicourt		Type 18. 1986. L8.B1		
BDX18364	archéologique	I Calanchi	Couche B, Terrasse Nord	M. Remicourt		Type 19. 1986. F27.B1		
BDX18365	archéologique	I Calanchi	Couche B, Terrasse Nord	M. Remicourt	K 99.6	Type 20. 1991. K99.6		
BDX18366	archéologique	I Calanchi	Couche B, Terrasse Nord	M. Remicourt		Type 21a. 1995. N7.B1		
BDX18367	archéologique	I Calanchi	Couche B, Terrasse Nord	M. Remicourt		Type 21b. 1999. Q7.B1		
BDX18368	archéologique	I Calanchi	Couche B, Terrasse Nord	M. Remicourt		Type 22a. 1995. N7.B1		
BDX18369	archéologique	I Calanchi	Couche B, Terrasse Nord	M. Remicourt		Type 22b. 2000. L13.B1		
BDX18370	archéologique	I Calanchi	Couche B, Terrasse Nord	M. Remicourt		Type 23. 1995. 07.B1		
BDX19223	archéologique	plateau d'Alzu		N. Federzoni		ALZU16 2ex 1 3a US1 Déc 1		
BDX19224	archéologique	plateau d'Alzu		N. Federzoni		ALZU16 2ex 1 3a US1 Déc 1		
BDX19225	archéologique	plateau d'Alzu		N. Federzoni		ALZU16 2ex 1 2a US1 Déc 1		
BDX19275	géologique	Marato - Bocca di Gradello - Filon 1		M. Remicourt			41.79416	8.82479
BDX19276	géologique	Marato - Bocca di Gradello - Filon 1		M. Remicourt			41.79416	8.82479
BDX19277	géologique	Marato - Bocca di Gradello - Filon 2		M. Remicourt			41.792209	8.822225

BDX	Type	Provenance	Complément provenance	Pourvoyeur	ID Précédente	US / Info. Diverses	Latitude	Longitude
BDX19278	géologique	Marato - Bocca di Gradello - Filon 2		M. Remicourt			41.792209	8.822225
BDX19279	géologique	Marato - Bocca di Gradello - Filon 2		M. Remicourt			41.792209	8.822225
BDX19280	géologique	Pietrosella - Valle d'Olmo - Filon 1		M. Remicourt			41.849749	8.818444
BDX19281	géologique	Pietrosella - Valle d'Olmo - Filon 1		M. Remicourt			41.849749	8.818444
BDX19282	géologique	Pietrosella - Valle d'Olmo - Filon 1		M. Remicourt			41.849749	8.818444
BDX19283	géologique	Sartène - Bocca di Carporosso - Filon 2 - Ech 1		M. Remicourt			41.552004	8.903653
BDX19284	géologique	Sartène - Bocca di Carporosso - Filon 2 - Ech 1		M. Remicourt			41.552004	8.903653
BDX19285	géologique	Sartène - Bocca di Carporosso - Filon 2 - Ech 1		M. Remicourt			41.552004	8.903653
BDX19286	géologique	Sartène - Bocca di Carporosso - Filon 2 - Ech 2		M. Remicourt			41.552004	8.903653
BDX19287	géologique	Sartène - Bocca di Carporosso - Filon 2 - Ech 2		M. Remicourt			41.552004	8.903653
BDX19288	géologique	Sartène - Bocca di Carporosso - Filon 2 - Ech 2		M. Remicourt			41.552004	8.903653
BDX19289	géologique	Sartène - Sapara Ventosa - Filon 1 - Ech 1		M. Remicourt			41.551606	8.917402
BDX19290	géologique	Sartène - Sapara Ventosa - Filon 1 - Ech 1		M. Remicourt			41.551606	8.917402
BDX19291	géologique	Sartène - Sapara Ventosa - Filon 1 - Ech 2		M. Remicourt			41.551606	8.917402
BDX19292	géologique	Sartène - Sapara Ventosa - Filon 1 - Ech 2		M. Remicourt			41.551606	8.917402
BDX19293	géologique	Torgia	Luogo Oscuro - Filon 1	M. Remicourt			41.854180	8.964195
BDX19294	géologique	Torgia	Luogo Oscuro - Filon 1	M. Remicourt			41.854180	8.964195
BDX19295	géologique	Guargalé	Picciu - Filon 1	M. Remicourt			41.829797	8.919070

BDX	Type	Provenance	Complément provenance	Pourvoyeur	ID Précédente	US / Info. Diverses	Latitude	Longitude
BDX19296	géologique	Guargalé	Picciu - Filon 1	M. Remicourt			41.829797	8.919070
BDX19297	géologique	Guargalé	Picciu - Filon 2	M. Remicourt			41.832421	8.920832
BDX19298	géologique	Pila Canale	Zucazu - Filon 1	M. Remicourt			41.806064	8.899263
BDX19299	géologique	Pila Canale	Zucazu - Filon 1	M. Remicourt			41.806064	8.899263
BDX19300	géologique	Pila Canale	Zucazu - Filon 1	M. Remicourt			41.806064	8.899263
BDX19301	géologique	Pila Canale	Trapantana - Filon 2	M. Remicourt			41.808620	8.899595
BDX19302	géologique	Pila Canale	Trapantana - Filon 2	M. Remicourt			41.808620	8.899595
BDX19303	géologique	Pila Canale	Trapantana - Filon 3	M. Remicourt			41.809600	8.900729
BDX19304	géologique	Pila Canale	Trapantana - Filon 3	M. Remicourt			41.809600	8.900729
BDX19305	géologique	Pila Canale	Potezu - Filon 4	M. Remicourt			41.811991	8.902016
BDX19306	géologique	Pila Canale	Potezu - Filon 4	M. Remicourt			41.811991	8.902016
BDX19307	géologique	Pila Canale	Potezu - Filon 4	M. Remicourt			41.811991	8.902016
BDX19308	géologique	Pila Canale	Potezu - Filon 5	M. Remicourt			41.813638	8.902828
BDX19309	géologique	Pila Canale	Potezu - Filon 5	M. Remicourt			41.813638	8.902828
BDX19310	géologique	Pila Canale	Potezu - Filon 5	M. Remicourt			41.813638	8.902828
BDX19311	géologique	Pila Canale	Potezu - Filon 5	M. Remicourt			41.813638	8.902828
BDX19312	géologique	Zigliara	Erbaiolu - Filon 1	M. Remicourt			41.842007	8.989185
BDX19313	géologique	Zigliara	Erbaiolu - Filon 2	M. Remicourt			41.842007	8.989185
BDX19314	géologique	Zigliara	Erbaiolu - Filon 2	M. Remicourt			41.842007	8.989185
BDX19315	géologique	Zigliara	Les bains di Tarcana - Filon 1	M. Remicourt			41.823645	8.963033
BDX19316	géologique	Zigliara	Les bains di Tarcana - Filon 1	M. Remicourt			41.823645	8.963033
BDX19317	géologique	Zigliara	Les bains di Tarcana - Filon 2	M. Remicourt			41.823645	8.963033
BDX19318	géologique	Zigliara	Les bains di Tarcana - Filon 2	M. Remicourt			41.823645	8.963033
BDX19319	géologique	Taravu	Pila Canale - Vitriccianu	M. Remicourt		Galet 1 - Type 3	41.762200	8.871221
BDX19320	géologique	Taravu	Pila Canale - Vitriccianu	M. Remicourt		Galet 1 - Type 3	41.762200	8.871221
BDX19321	géologique	Taravu	Pila Canale - Vitriccianu	M. Remicourt		Galet 2 - Type 2	41.762200	8.871221

BDX	Type	Provenance	Complément provenance	Pourvoyeur	ID Précédente	US / Info. Diverses	Latitude	Longitude
BDX19322	géologique	Taravu	Pila Canale - Vitriccianu	M. Remicourt		Galet 2 - Type 2	41.762200	8.871221
BDX19323	géologique	Taravu	Pila Canale - Vitriccianu	M. Remicourt		Galet 3 - Type 4	41.762200	8.871221
BDX19324	géologique	Taravu	Sollacaro - Cicutetu	M. Remicourt		Galet 1 - Type 12	41.737401	8.848260
BDX19325	géologique	Taravu	Sollacaro - Cicutetu	M. Remicourt		Galet 2 - Type 2	41.737401	8.848260
BDX19326	géologique	Taravu	Sollacaro - Cicutetu	M. Remicourt		Galet 2 - Type 2	41.737401	8.848260
BDX19327	géologique	Taravu	Sollacaro - Cicutetu	M. Remicourt		Galet 3 - Type 4	41.737401	8.848260
BDX19328	géologique	Sollacaro	I Calanchi - Alluvions anc. (sous le gisement)	M. Remicourt		Galet 4 - Type 4	41.730670	8.857141
BDX19329	géologique	Sollacaro	I Calanchi - Alluvions anc. (sous le gisement)	M. Remicourt		Galet 5 - Type 4	41.730670	8.857141
BDX19330	géologique	Sollacaro	I Calanchi - Alluvions anc. (sous le gisement)	M. Remicourt		Galet 6 - Type 4	41.730670	8.857141
BDX19331	géologique	Sollacaro	I Calanchi - Alluvions anc. (sous le gisement)	M. Remicourt		Galet 6 - Type 7	41.730670	8.857141
BDX19353	archéologique	Monti Barbatu 2013		K. Peche-Quilichini		Secteur A / 240-250		
BDX19354	archéologique	Monti Barbatu 2013		K. Peche-Quilichini		Secteur A / 240-250		
BDX19355	archéologique	Monti Barbatu 2013		K. Peche-Quilichini		Secteur B / 280-290 / N°180		
BDX19356	archéologique	Monti Barbatu 2013		K. Peche-Quilichini		Secteur B / 240-250		
BDX19357	archéologique	Monti Barbatu 2013		K. Peche-Quilichini		Secteur B / 230-240		

BDX	Type	Provenance	Complément provenance	Pourvoyeur	ID Précédente	US / Info. Diverses	Latitude	Longitude
BDX19358	archéologique	Monti Barbatu 2013		K. Peche-Quilichini		Secteur B / 250-260 / N° 222 ou 223		
BDX19359	archéologique	Monti Barbatu 2013		K. Peche-Quilichini		Secteur B / 250-260 / N° 222 ou 223		
BDX19360	archéologique	Monti Barbatu 2017		K. Peche-Quilichini		US 102		
BDX19361	archéologique	Monti Barbatu 2017		K. Peche-Quilichini		US 102		
BDX19362	archéologique	Monti Barbatu 2017		K. Peche-Quilichini		US 102		
BDX19363	archéologique	Monti Barbatu 2017		K. Peche-Quilichini		US 102		
BDX19364	archéologique	Monti Barbatu 2017		K. Peche-Quilichini		US 102		
BDX19365	archéologique	Monti Barbatu 2017		K. Peche-Quilichini		US 102		
BDX19366	archéologique	Monti Barbatu 2017		K. Peche-Quilichini		US 102		
BDX19367	archéologique	Monti Barbatu 2017		K. Peche-Quilichini		US 102		
BDX19368	archéologique	Monti Barbatu 2017		K. Peche-Quilichini		US 102		
BDX19369	archéologique	Monti Barbatu 2017		K. Peche-Quilichini		US 102		
BDX19370	archéologique	Monti Barbatu 2017		K. Peche-Quilichini		US 103		
BDX19371	archéologique	Monti Barbatu 2017		K. Peche-Quilichini		US 103		
BDX19372	archéologique	Monti Barbatu 2017		K. Peche-Quilichini		US 103		
BDX19373	archéologique	Monti Barbatu 2017		K. Peche-Quilichini		US 103		
BDX19374	archéologique	Monti Barbatu 2017		K. Peche-Quilichini		US 103		
BDX19375	archéologique	Monti Barbatu 2017		K. Peche-Quilichini		US 103		
BDX19376	archéologique	Monti Barbatu 2017		K. Peche-Quilichini		US 103		
BDX19377	archéologique	Monti Barbatu 2017		K. Peche-Quilichini		US 103		
BDX19378	archéologique	Monti Barbatu 2017		K. Peche-Quilichini		US 103		
BDX19379	archéologique	Monti Barbatu 2017		K. Peche-Quilichini		US 103		
BDX19380	archéologique	Monti Barbatu 2017		K. Peche-Quilichini		US 103		
BDX19381	archéologique	Monti Barbatu 2017		K. Peche-Quilichini		US 103		
BDX19382	archéologique	Monti Barbatu 2017		K. Peche-Quilichini		US 103		
BDX19383	archéologique	Monti Barbatu 2017		K. Peche-Quilichini		US 103		
BDX19384	archéologique	Monti Barbatu 2017		K. Peche-Quilichini		US 105 (17B)		
BDX19385	archéologique	Monti Barbatu 2017		K. Peche-Quilichini		US 105 (17B)		
BDX19386	archéologique	Monti Barbatu 2017		K. Peche-Quilichini		US 105 (17B)		

BDX	Type	Provenance	Complément provenance	Pourvoyeur	ID Précédente	US / Info. Diverses	Latitude	Longitude
BDX19387	archéologique	Monti Barbatu 2017		K. Peche-Quilichini		US 105 (17B)		
BDX19388	archéologique	Monti Barbatu 2017		K. Peche-Quilichini		US 105 (17B)		
BDX19389	archéologique	Monti Barbatu 2017		K. Peche-Quilichini		US 105 (17B)		
BDX19390	archéologique	Monti Barbatu 2017		K. Peche-Quilichini		US 105 (17B)		
BDX19391	archéologique	Monti Barbatu 2017		K. Peche-Quilichini		US 105 (17B)		
BDX19392	archéologique	Monti Barbatu 2017		K. Peche-Quilichini		US 105 (17B)		
BDX19393	archéologique	Monti Barbatu 2017		K. Peche-Quilichini		US 105 (17B)		
BDX19394	archéologique	Monti Barbatu 2017		K. Peche-Quilichini		US 105 (17B)		
BDX19395	archéologique	Monti Barbatu 2017		K. Peche-Quilichini		US 105 (17B)		
BDX19396	archéologique	Monti Barbatu 2017		K. Peche-Quilichini		US 105 (17B)		
BDX19397	archéologique	Monti Barbatu 2017		K. Peche-Quilichini		US 105 (17B)		
BDX19398	archéologique	Monti Barbatu 2017		K. Peche-Quilichini		US 105 (17B)		
BDX19399	archéologique	Monti Barbatu 2017		K. Peche-Quilichini		US 105 (17B)		
BDX19400	archéologique	Monti Barbatu 2017		K. Peche-Quilichini		US 105 (17B)		
BDX19401	archéologique	Monti Barbatu 2017		K. Peche-Quilichini		US 105 (17B)		
BDX19402	archéologique	Monti Barbatu 2017		K. Peche-Quilichini		US 105 (17B)		
BDX19403	archéologique	Monti Barbatu 2017		K. Peche-Quilichini		US 105 (17B)		
BDX19404	archéologique	Monti Barbatu 2017		K. Peche-Quilichini		US 105 (17A)		
BDX19405	archéologique	Monti Barbatu 2017		K. Peche-Quilichini		US 106 - J8		
BDX19406	archéologique	Monti Barbatu 2017		K. Peche-Quilichini		US 107		
BDX19407	archéologique	Monti Barbatu 2017		K. Peche-Quilichini		US 107		
BDX19408	archéologique	Monti Barbatu 2017		K. Peche-Quilichini		US 107		
BDX19409	archéologique	Monti Barbatu 2017		K. Peche-Quilichini		US 110		
BDX19410	archéologique	Monti Barbatu 2017		K. Peche-Quilichini		US 112 - J10		
BDX19411	archéologique	Monti Barbatu 2017		K. Peche-Quilichini		US 112 - J10		
BDX19412	archéologique	Monti Barbatu 2017		K. Peche-Quilichini		US 112 - J10		
BDX19413	archéologique	Monti Barbatu 2017		K. Peche-Quilichini		US 112 - K10		
BDX19414	archéologique	Monti Barbatu 2017		K. Peche-Quilichini		US 112 - K10		
BDX19415	archéologique	Monti Barbatu 2017		K. Peche-Quilichini		US 112 - L9		
BDX19416	archéologique	Monti Barbatu 2017		K. Peche-Quilichini		US 112 - L9		
BDX19417	archéologique	Monti Barbatu 2017		K. Peche-Quilichini		US 112 - L9		
BDX19418	archéologique	Monti Barbatu 2017		K. Peche-Quilichini		US 112 - L9		
BDX19419	archéologique	Monti Barbatu 2017		K. Peche-Quilichini		US 112 - L9		

BDX	Type	Provenance	Complément provenance	Pourvoyeur	ID Précédente	US / Info. Diverses	Latitude	Longitude
BDX19420	archéologique	Monti Barbatu 2017		K. Peche-Quilichini		US 112 - L10		
BDX19421	archéologique	Monti Barbatu 2017		K. Peche-Quilichini		US 112 - L10		
BDX19422	archéologique	Monti Barbatu 2017		K. Peche-Quilichini		US 112 - L10		
BDX19423	archéologique	Monti Barbatu 2017		K. Peche-Quilichini		US 112 - L10		
BDX19424	archéologique	Monti Barbatu 2017		K. Peche-Quilichini		US 119		
BDX19425	archéologique	Monti Barbatu 2017		K. Peche-Quilichini		US 119		
BDX19426	archéologique	Monti Barbatu 2017		K. Peche-Quilichini		US 119		
BDX19427	archéologique	Monti Barbatu 2017		K. Peche-Quilichini		US 122 (17B)		
BDX19428	archéologique	Monti Barbatu 2017		K. Peche-Quilichini		US 122 (17B)		
BDX19429	archéologique	Monti Barbatu 2017		K. Peche-Quilichini		US 301		
BDX19430	archéologique	Monti Barbatu 2017		K. Peche-Quilichini		US 305		
BDX19431	archéologique	Monti Barbatu 2017		K. Peche-Quilichini		US 306		
BDX19432	archéologique	Monti Barbatu 2017		K. Peche-Quilichini		HS Secteur 1		
BDX19433	archéologique	Monti Barbatu 2017		K. Peche-Quilichini		HS Secteur 1		
BDX19434	archéologique	Monti Barbatu 2017		K. Peche-Quilichini		HS Secteur 1		
BDX19435	archéologique	Monti Barbatu 2017		K. Peche-Quilichini		HS Secteur 1		
BDX19436	archéologique	Monti Barbatu 2017		K. Peche-Quilichini		HS Secteur 1		
BDX19437	archéologique	Monti Barbatu 2017		K. Peche-Quilichini		HS Secteur 1		
BDX19438	archéologique	Monti Barbatu 2017		K. Peche-Quilichini		HS Secteur 1		
BDX19439	archéologique	Monti Barbatu 2017		K. Peche-Quilichini		HS Secteur 1		
BDX19440	archéologique	Monti Barbatu 2017		K. Peche-Quilichini		US 101		
BDX19441	archéologique	Monti Barbatu 2017		K. Peche-Quilichini		US 101		
BDX19442	géologique	Taravu	pont (D757) - Petreto- Bicchisano				41.787694	8.922750
BDX19443	géologique	Taravu	pont (D757) - Petreto- Bicchisano				41.787694	8.922750
BDX19444	géologique	Taravu	pont (D757) - Petreto- Bicchisano				41.787694	8.922750
BDX19445	géologique	Taravu	pont (D757) - Petreto- Bicchisano				41.787694	8.922750
BDX19446	géologique	Taravu	pont (D757) - Petreto- Bicchisano				41.787694	8.922750

BDX	Type	Provenance	Complément provenance	Pourvoyeur	ID Précédente	US / Info. Diverses	Latitude	Longitude
BDX19447	géologique	Taravu	pont (D757) - Petreto-Bicchisano				41.787694	8.922750
BDX19448	géologique	Taravu	pont (D757) - Petreto-Bicchisano				41.787694	8.922750
BDX19449	géologique	Cauria	Chemin d'accès au site				41.532833	8.917611
BDX19450	géologique	Cauria	Chemin d'accès au site				41.532833	8.917611
BDX19451	géologique	Cauria	Chemin d'accès au site				41.532833	8.917611
BDX19452	géologique	Cauria	Chemin d'accès au site				41.532833	8.917611
BDX19453	géologique	Monti Barbatu	Terasse nord-est					
BDX19454	géologique	Monti Barbatu	Terasse nord-est					
BDX19455	géologique	Monti Barbatu	Terasse nord-est					
BDX19456	géologique	Monti Barbatu	Terasse nord-est					
BDX19457	géologique	Monti Barbatu	Terasse nord-est					
BDX19458	géologique	Cupabia - Coti-Chivari					41.740889	8.776778
BDX19459	géologique	Cupabia - Coti-Chivari					41.740889	8.776778
BDX19460	géologique	Cupabia - Coti-Chivari					41.740889	8.776778
BDX19461	géologique	Cupabia - Coti-Chivari					41.740889	8.776778
BDX19462	géologique	Cupabia - Coti-Chivari					41.740889	8.776778
BDX19463	géologique	Cupabia - Coti-Chivari					41.740889	8.776778
BDX19464	géologique	Cupabia - Coti-Chivari					41.740889	8.776778
BDX19465	géologique	Cupabia - Coti-Chivari					41.740889	8.776778
BDX19492	géologique	Vallée du Fangu	Prospé N. Federzoni	N. Federzoni			42.41259	8.688126
BDX19493	archéologique	Vallée de l'Ascu	Bergerie Manica					
BDX19494	archéologique	Vallée de l'Ascu	Bergerie Manica				42.40632165	8.96083300
BDX19495	géologique	Vallée de l'Ascu	Bergerie Manica				42.40641137	8.95987291
BDX19496	géologique	Vallée de l'Ascu	Bergerie Manica				42.40641137	8.95987291
BDX19497	géologique	Vallée de l'Ascu	Bergerie Manica				42.40641137	8.95987291
BDX19498	archéologique?	Vallée de l'Ascu	Bergerie Manica				42.41323888	8.96265175
BDX19499	géologique	Vallée de l'Ascu	Bergerie Manica				42.41442655	8.95934518
BDX19500	géologique	Vallée de l'Ascu	Bergerie Manica				42.41442655	8.95934518
BDX19501	géologique	Vallée de l'Ascu	Bergerie Manica				42.41331979	8.96222632
BDX19502	géologique	Vallée de l'Ascu					42.40957140	8.93737575

BDX	Type	Provenance	Complément provenance	Pourvoyeur	ID Précédente	US / Info. Diverses	Latitude	Longitude
BDX19503	géologique	Vallée de l'Ascu					42.40179381	8.92819698
BDX19504	géologique	Vallée de l'Ascu					42.40179381	8.92819698
BDX19505	géologique	Vallée de l'Ascu					42.40179381	8.92819698
BDX19506	géologique	Vallée de l'Ascu	Rivière Giunte				42.42433480	8.96427404
BDX19507	géologique	Vallée de l'Ascu	Rivière Giunte				42.42433480	8.96427404
BDX19508	archéologique?	Vallée de l'Ascu	Rivière Giunte				42.42161340	8.95951071
BDX19509	géologique	Vallée de l'Ascu	Rivière Giunte				42.42417264	8.96411611
BDX19510	géologique	Vallée de l'Ascu	Rivière Giunte				42.42417264	8.96411611
BDX19511	géologique	Vallée de l'Ascu	Rivière Giunte				42.42417264	8.96411611
BDX19512	géologique	Vallée de l'Ascu	Rivière Giunte				42.42417264	8.96411611
BDX19513	géologique	Vallée de l'Ascu	Rivière Giunte				42.42417264	8.96411611
BDX19514	géologique	Vallée de l'Ascu	Rivière Giunte				42.42417264	8.96411611
BDX19515	géologique	Vallée de l'Ascu	Rivière Giunte				42.42417264	8.96411611
BDX19516	géologique	Vallée de l'Ascu	Rivière Giunte				42.42417264	8.96411611
BDX19517	géologique	Vallée de l'Ascu	Rivière Giunte				42.424205	8.964028
BDX19518	géologique	Vallée de l'Ascu	Rivière Giunte				42.424205	8.964028
BDX19519	géologique	Vallée de l'Ascu	Rivière Giunte				42.424205	8.964028
BDX19520	géologique	Vallée de l'Ascu	Rivière Giunte				42.424255	8.963578
BDX19521	géologique	Vallée de l'Ascu	Filon Giunte (bas)				42.424255	8.963578
BDX19522	géologique	Vallée de l'Ascu	Filon Giunte (bas)				42.424255	8.963578
BDX19523	géologique	Vallée de l'Ascu	Filon Giunte (bas)				42.424255	8.963578
BDX19524	géologique	Vallée de l'Ascu	Filon Giunte (bas)				42.424255	8.963578
BDX19525	géologique	Vallée de l'Ascu	Filon Giunte (bas)				42.424255	8.963578
BDX19526	géologique	Vallée de l'Ascu	Filon Giunte (haut)				42.424265	8.963515
BDX19527	géologique	Vallée de l'Ascu	Filon Giunte (haut)				42.424265	8.963515
BDX19528	géologique	Vallée de l'Ascu	Filon Giunte (haut)				42.424265	8.963515
BDX19529	géologique	Vallée de l'Ascu	Abri Giunte				42.423906	8.963052
BDX19530	géologique	Vallée de l'Ascu	Abri Giunte				42.423906	8.963052
BDX19531	géologique	Vallée de l'Ascu	Abri Giunte				42.423906	8.963052
BDX19532	géologique	Vallée de l'Ascu	Abri Giunte				42.423906	8.963052
BDX19533	géologique	Vallée de l'Ascu	Abri Giunte				42.423716	8.963366
BDX19534	géologique	Vallée de l'Ascu					42.426662	8.97071
BDX19535	géologique	Vallée de l'Ascu					42.426662	8.97071

BDX	Type	Provenance	Complément provenance	Pourvoyeur	ID Précédente	US / Info. Diverses	Latitude	Longitude
BDX19536	géologique	Vallée de l'Ascu					42.426662	8.97071
BDX19537	géologique	Vallée de l'Ascu					42.426662	8.97071
BDX20543	archéologique	Monti Barbatu 2017		K. Peche-Quilichini		US112 K10		
BDX20921	géologique	Vallée de l'Ascu	Plateau de Stagnu				42.399748	8.919976
BDX20922	géologique	Vallée de l'Ascu	Plateau de Stagnu				42.399748	8.919976
BDX20923	géologique	Vallée de l'Ascu	Plateau de Stagnu				42.399748	8.919976
BDX20924	géologique	Vallée de l'Ascu	Plateau de Stagnu				42.399748	8.919976
BDX20925	géologique	Vallée de l'Ascu	Plateau de Stagnu				42.399748	8.919976
BDX20926	géologique	Vallée de l'Ascu	Plateau de Stagnu				42.399748	8.919976
BDX20927	géologique	Vallée de l'Ascu	Plateau de Stagnu				42.399748	8.919976
BDX20928	géologique	Vallée de l'Ascu	Plateau de Stagnu				42.399748	8.919976
BDX20929	géologique	Vallée de l'Ascu	Plateau de Stagnu				42.399748	8.919976
BDX20930	géologique	Vallée de l'Ascu	Plateau de Stagnu				42.399748	8.919976
BDX20931	géologique	Vallée de l'Ascu	Monte Padru				42.399748	8.919976
BDX20932	géologique	Vallée de l'Ascu	Monte Padru				42.44700829	9.00570313
BDX20933	géologique	Vallée de l'Ascu	Monte Padru				42.44596357	9.00615295
BDX20934	géologique	Vallée de l'Ascu	Monte Padru				42.44596357	9.00615295
BDX20935	géologique	Vallée de l'Ascu	Chemin Forestier				42.44829622	9.00374541
BDX20936	géologique	Vallée de l'Ascu	Chemin Forestier				42.41140915	8.93827327
BDX20937	géologique	Vallée de l'Ascu	Chemin Forestier				42.41140915	8.93827327
BDX20938	géologique	Vallée de l'Ascu	Chemin Forestier				42.41140915	8.93827327
BDX20939	géologique	Vallée de l'Ascu	Chemin Forestier				42.41140915	8.93827327
BDX20940	géologique	Vallée de l'Ascu	Chemin Forestier				42.41140915	8.93827327
BDX20941	géologique	Vallée de l'Ascu	Chemin Forestier				42.41140915	8.93827327
BDX20942	géologique	Vallée de l'Ascu	Chemin Forestier				42.41140915	8.93827327
BDX20943	géologique	Vallée de l'Ascu	Cascade Ascu				42.40957140	8.93737575
BDX20944	géologique	Vallée de l'Ascu	Cascade Ascu				42.41140473	8.93061668
BDX20945	géologique	Vallée de l'Ascu	Cascade Ascu				42.40957140	8.93737575
BDX20946	géologique	Vallée de l'Ascu	Rivière Ascu				42.41475479	8.94440335
BDX20947	géologique	Vallée de l'Ascu	Rivière Ascu				42.41475479	8.94440335
BDX20948	géologique	Vallée de l'Ascu					42.399748	8.919976
BDX20949	géologique	Vallée de l'Ascu					42.398774	8.924734
BDX20950	géologique	Vallée de l'Ascu					42.398774	8.924734

BDX	Type	Provenance	Complément provenance	Pourvoyeur	ID Précédente	US / Info. Diverses	Latitude	Longitude
BDX20951	géologique	Vallée de l'Ascu					42.398774	8.924734
BDX20952	géologique	Vallée de l'Ascu	Prospé. N. Federzoni - Gîte primaire	N. Federzoni			42.418613	8.708596
BDX21181	géologique	Plage Ajaccio					41.9165569	8.73751640
BDX21182	géologique	Plage Ajaccio					41.9165569	8.73751640
BDX21183	géologique	Plage Ajaccio					41.9165569	8.73751640
BDX21184	géologique	Plage Ajaccio					41.9165569	8.73751640
BDX21310	archéologique?	Pastini, Calavu (gîte d'extractrion)		A. d'Anna			41.550552	8.931916
BDX21311	archéologique?	Pastini, Calavu (gîte d'extractrion)		A. d'Anna			41.550552	8.931916
BDX21312	archéologique?	Pastini, Calavu (gîte d'extractrion)		A. d'Anna			41.550552	8.931916
BDX21313	archéologique?	Pastini, Calavu (gîte d'extractrion)		A. d'Anna			41.550552	8.931916
BDX21314	archéologique?	Pastini, Calavu (gîte d'extractrion)		A. d'Anna			41.550552	8.931916
BDX21315	archéologique	Pastini, Calavu (gîte d'extractrion)		A. d'Anna			41.550552	8.931916
BDX21316	archéologique	Pastini, Calavu (gîte d'extractrion)		A. d'Anna			41.550552	8.931916
BDX21317	archéologique	Pastini, Calavu (gîte d'extractrion)		A. d'Anna			41.550552	8.931916
BDX21318	archéologique	Pastini, Calavu (gîte d'extractrion)		A. d'Anna			41.550552	8.931916
BDX21319	archéologique	Pastini, Calavu (gîte d'extractrion)		A. d'Anna			41.550552	8.931916
BDX21320	archéologique	Pastini, Calavu (gîte d'extractrion)		A. d'Anna			41.550552	8.931916
BDX21321	archéologique	Pastini, Calavu (gîte d'extractrion)		A. d'Anna			41.550552	8.931916
BDX21341	géologique	Pastini, Calavu (gîte d'extractrion)		A. d'Anna			41.550552	8.931916

BDX	Type	Provenance	Complément provenance	Pourvoyeur	ID Précédente	US / Info. Diverses	Latitude	Longitude
BDX21342	géologique	Pastini, Calavu (gîte d'extractrion)		A. d'Anna			41.550552	8.931916
BDX21343	géologique	Pastini, Calavu (gîte d'extractrion)		A. d'Anna			41.550552	8.931916
BDX21344	géologique	Pastini, Calavu (gîte d'extractrion)		A. d'Anna			41.550552	8.931916
BDX21345	géologique	Pastini, Calavu (gîte d'extractrion)		A. d'Anna			41.550552	8.931916
BDX21346	géologique	Pastini, Calavu (gîte d'extractrion)		A. d'Anna			41.550552	8.931916
BDX21347	géologique	Pastini, Calavu (gîte d'extractrion)		A. d'Anna			41.550552	8.931916
BDX21348	archéologique	Pastini, Calavu (gîte d'extractrion)		A. d'Anna			41.550552	8.931916
BDX21349	archéologique?	Stazona (?), Plateau de Cauria (?)		A. d'Anna				
BDX21350	archéologique	Pastini, Filon "1ere épingle à cheveux"	Saparra Ventosa?	A. d'Anna			41.557285	8.915013
BDX21351	archéologique	Pastini, Filon "1ere épingle à cheveux"	Saparra Ventosa?	A. d'Anna			41.557285	8.915013
BDX21352	archéologique	Pastini, Calavu (gîte d'extractrion), Locus II		A. d'Anna			41.550552	8.931916
BDX21353	archéologique	Pastini, Calavu (gîte d'extractrion), Locus II		A. d'Anna			41.550552	8.931916
BDX21354	archéologique	Pastini, Calavu (gîte d'extractrion), Locus II		A. d'Anna			41.550552	8.931916
BDX21355	archéologique	Renaghju Phase 1		A. d'Anna	9698	US278 V30		
BDX21356	archéologique	Renaghju Phase 1		A. d'Anna	10063	US278 T33		
BDX21357	archéologique	Renaghju Phase 1		A. d'Anna	10064	US278 T33		
BDX21358	archéologique	Renaghju Phase 1		A. d'Anna	9694	US278 V32		
BDX21359	archéologique	Renaghju Phase 1		A. d'Anna	9949	US278 U31		
BDX21360	archéologique	Renaghju Phase 1		A. d'Anna	10068	US278 T34		
BDX21361	archéologique	Renaghju Phase 1		A. d'Anna	9691	US278 V32		

BDX	Type	Provenance	Complément provenance	Pourvoyeur	ID Précédente	US / Info. Diverses	Latitude	Longitude
BDX21362	archéologique	Renaghju Phase 1		A. d'Anna	9899	US278 S33		
BDX21363	archéologique	Renaghju Phase 1		A. d'Anna	9883	US278 V31		
BDX21364	archéologique	Renaghju Phase 1		A. d'Anna	9279	US278 R31		
BDX21365	archéologique	Renaghju Phase 1		A. d'Anna	9682	US278 V32		
BDX21366	archéologique	Renaghju Phase 1		A. d'Anna	9680	US278 V31		
BDX21367	archéologique	Renaghju Phase 1		A. d'Anna	9908	US278 S34		
BDX21368	archéologique	Renaghju Phase 1		A. d'Anna	9272	US278 Q32		
BDX21369	archéologique	Renaghju Phase 1		A. d'Anna	9492	US278 S31		
BDX21370	archéologique	Renaghju Phase 1		A. d'Anna	2161	US139 N29		
BDX21371	archéologique	Renaghju Phase 1		A. d'Anna	2071	US139 N29		
BDX21372	archéologique	Renaghju Phase 1		A. d'Anna	2217	US139 I39		
BDX21373	archéologique	Renaghju Phase 1		A. d'Anna	2205	US139 I39		
BDX21374	archéologique	Renaghju Phase 1		A. d'Anna	2117	US139 I39		
BDX21375	archéologique	Renaghju Phase 1		A. d'Anna	2088	US139 N30		
BDX21376	archéologique	Renaghju Phase 1		A. d'Anna	2113	US139 I39		
BDX21377	archéologique	Renaghju Phase 1		A. d'Anna	2213	US139		
BDX21378	archéologique	Renaghju Phase 1		A. d'Anna	2111	US139 I39		
BDX21379	archéologique	Renaghju Phase 1		A. d'Anna	2466	US142 I22		
BDX21380	archéologique	Renaghju Phase 1		A. d'Anna	2479	US142 H25		
BDX21381	archéologique	Renaghju Phase 1		A. d'Anna	2470	US142 I24		
BDX21382	archéologique	Renaghju Phase 1		A. d'Anna	2495	US142 I24		
BDX21383	archéologique	Renaghju Phase 1		A. d'Anna	2492	US142 I23		
BDX21384	archéologique	Renaghju Phase 1		A. d'Anna	2469	US142 I23		
BDX21385	archéologique	Renaghju Phase 1		A. d'Anna	2473	US142 H23		
BDX21386	archéologique	Renaghju Phase 1		A. d'Anna		US142 HI 22-25		
BDX21387	archéologique	Renaghju Phase 1		A. d'Anna	2467	US142 I22		
BDX21388	archéologique	Renaghju Phase 1		A. d'Anna	2502	US142 I25		
BDX21389	archéologique	Renaghju Phase 1		A. d'Anna	2471	US142 I24		
BDX21390	archéologique	Renaghju Phase 1		A. d'Anna		US142 HI 22-25		
BDX21391	archéologique	Renaghju Phase 1		A. d'Anna		US142 HI 22-26		

BDX	Type	Provenance	Complément provenance	Pourvoyeur	ID Précédente	US / Info. Diverses	Latitude	Longitude
BDX21392	archéologique	Renaghju Phase 1		A. d'Anna		US142 HI 22-27		
BDX21393	archéologique	Renaghju Phase 1		A. d'Anna		US142 HI 22-28		
BDX21394	archéologique	Renaghju Phase 1		A. d'Anna		US142 HI 22-29		
BDX21395	archéologique	Renaghju Phase 1		A. d'Anna		US142 HI 22-30		
BDX21396	archéologique	Renaghju Phase 1		A. d'Anna		US142 HI 22-31		
BDX21397	archéologique	Renaghju Phase 1		A. d'Anna		US142 HI 22-32		
BDX21398	archéologique	Renaghju Phase 1		A. d'Anna		US142 HI 22-33		
BDX21399	archéologique	Renaghju Phase 1		A. d'Anna	N.A.	US109 M30/31		
BDX21400	archéologique	Renaghju Phase 1		A. d'Anna	N.A.	US109 M30/31		
BDX21401	archéologique	Renaghju Phase 1		A. d'Anna	N.A.	US109 M30/31		
BDX21402	archéologique	Renaghju Phase 1		A. d'Anna	N.A.	US109 M30/31		
BDX21403	archéologique	Renaghju Phase 1		A. d'Anna	N.A.	US109 M30/31		
BDX21404	archéologique	Renaghju Phase 1		A. d'Anna	N.A.	US109 M30/31		
BDX21405	archéologique	Renaghju Phase 1		A. d'Anna	N.A.	US109 M30/31		
BDX21406	archéologique	Renaghju Phase 1		A. d'Anna	1491	US109 M30		
BDX21407	archéologique	Renaghju Phase 1		A. d'Anna	1448	US109 M30		
BDX21408	archéologique	Renaghju Phase 1		A. d'Anna	1450	US109 M31		
BDX21409	archéologique	Renaghju Phase 1		A. d'Anna	1693	US109 M31		
BDX21410	archéologique	Renaghju Phase 1		A. d'Anna	1692	US109 M31		

BDX	Type	Provenance	Complément provenance	Pourvoyeur	ID Précédente	US / Info. Diverses	Latitude	Longitude
BDX21411	archéologique	Renaghju Phase 1		A. d'Anna	1997	US109 M31		
BDX21412	archéologique	Renaghju Phase 1		A. d'Anna	N.A.	US29 O18		
BDX21413	archéologique	Renaghju Phase 1		A. d'Anna	N.A.	US29 M17-18		
BDX21414	archéologique	Renaghju Phase 1		A. d'Anna	N.A.	US29		
BDX21415	archéologique	Renaghju Phase 1		A. d'Anna	N.A.	US29 MN17		
BDX21416	archéologique	Renaghju Phase 1		A. d'Anna	N.A.	US29 MN18		
BDX21417	archéologique	Renaghju Phase 1		A. d'Anna	N.A.	US29 L16-17		
BDX21418	archéologique	Renaghju Phase 1		A. d'Anna	N.A.	US29 L16-17		
BDX21419	archéologique	Renaghju Phase 1		A. d'Anna	N.A.	US29 L16-17		
BDX21420	archéologique	Renaghju Phase 1		A. d'Anna	N.A.	US29 L16-17		
BDX21421	archéologique	Renaghju Phase 1		A. d'Anna	N.A.	US29 L16-17		
BDX21422	archéologique	Renaghju Phase 1		A. d'Anna	N.A.	US29 L16-17		
BDX21423	archéologique	Renaghju Phase 1		A. d'Anna	N.A.	US29 L16-17		
BDX21424	archéologique	Renaghju Phase 1		A. d'Anna	N.A.	US29 L16-17		
BDX21425	archéologique	Renaghju Phase 1		A. d'Anna	N.A.	US29 L16-17		
BDX21426	archéologique	Renaghju Phase 1		A. d'Anna	N.A.	US29 L16-17		
BDX21427	archéologique	Renaghju Phase 1		A. d'Anna	N.A.	US29 M16		
BDX21428	archéologique	Renaghju Phase 1		A. d'Anna	N.A.	US29 M16		
BDX21429	archéologique	Renaghju Phase 1		A. d'Anna	N.A.	US29 M16		
BDX21430	archéologique	Renaghju Phase 1		A. d'Anna	N.A.	US29 M16		
BDX21431	archéologique	Renaghju Phase 1		A. d'Anna	N.A.	US29 M16		
BDX21432	archéologique	Renaghju Phase 1		A. d'Anna	N.A.	US29 O16		
BDX21433	archéologique	Renaghju Phase 1		A. d'Anna	N.A.	US29 O16		
BDX21434	archéologique	Renaghju Phase 1		A. d'Anna	N.A.	US29 O16		
BDX21435	archéologique	Renaghju Phase 1		A. d'Anna	N.A.	US29 O16		
BDX21436	archéologique	Renaghju Phase 1		A. d'Anna	N.A.	US29 LM16-17		
BDX21437	archéologique	Renaghju Phase 1		A. d'Anna	N.A.	US29 O17		
BDX21438	archéologique	Renaghju Phase 1		A. d'Anna	N.A.	US29 O17		
BDX21439	archéologique	Renaghju Phase 1		A. d'Anna	N.A.	US29 M16		
BDX21440	archéologique	Renaghju Phase 1		A. d'Anna	N.A.	US29 M16		

BDX	Type	Provenance	Complément provenance	Pourvoyeur	ID Précédente	US / Info. Diverses	Latitude	Longitude
BDX21441	archéologique	Renaghju Phase 1		A. d'Anna	N.A.	US29 MN17-18		
BDX21442	archéologique	Renaghju Phase 1		A. d'Anna	N.A.	US29 MN17-18		
BDX21443	archéologique	Renaghju Phase 1		A. d'Anna	N.A.	US29 MN17-18		
BDX21444	archéologique	Renaghju Phase 1		A. d'Anna	N.A.	US29 M18-19		
BDX21445	archéologique	Renaghju Phase 1		A. d'Anna	N.A.	US29 M18-19		
BDX21446	archéologique	Renaghju Phase 1		A. d'Anna	N.A.	US29 M18-19		
BDX21447	archéologique	Renaghju Phase 1		A. d'Anna	N.A.	US19 T15		
BDX21448	archéologique	Renaghju Phase 1		A. d'Anna	N.A.	US19		
BDX21449	archéologique	Renaghju Phase 1		A. d'Anna	N.A.	US19 TU12		
BDX21450	archéologique	Renaghju Phase 1		A. d'Anna	N.A.	US19 T14		
BDX21451	archéologique	Renaghju Phase 1		A. d'Anna	N.A.	US52 L16		
BDX21452	archéologique	Renaghju Phase 1		A. d'Anna	N.A.	US52 L16		
BDX21453	archéologique	Renaghju Phase 1		A. d'Anna	N.A.	US124 K26		
BDX21454	archéologique	Renaghju Phase 1		A. d'Anna	N.A.	US124K26		
BDX21455	archéologique	Renaghju Phase 1		A. d'Anna	N.A.	US124 K26		
BDX21456	archéologique	Renaghju Phase 1		A. d'Anna	N.A.	US123 J25		
BDX21457	archéologique	Renaghju Phase 1		A. d'Anna	N.A.	US54 U12		
BDX21458	archéologique	Renaghju Phase 1		A. d'Anna	N.A.	US54 U12		
BDX21459	archéologique	Renaghju Phase 1		A. d'Anna	1824	US121 O24		
BDX21460	archéologique	Renaghju Phase 1		A. d'Anna	1721	US118 K25		
BDX21461	archéologique	Renaghju Phase 1		A. d'Anna	1804	US118 K27		
BDX21462	archéologique	Renaghju Phase 1		A. d'Anna	1745	US118 J26		
BDX21463	archéologique	Renaghju Phase 1		A. d'Anna	1751	US118 K26		
BDX21464	archéologique	Renaghju Phase 1		A. d'Anna	1667	US118 J26		
BDX21465	archéologique	Renaghju Phase 1		A. d'Anna	1719	US118 K25		
BDX21466	archéologique	Renaghju Phase 1		A. d'Anna	1755	US118 K27		
BDX21467	archéologique	Renaghju Phase 1		A. d'Anna	1714	US118 J24		

BDX	Type	Provenance	Complément provenance	Pourvoyeur	ID Précédente	US / Info. Diverses	Latitude	Longitude
BDX21468	archéologique	Renaghju Phase 1		A. d'Anna	1777	US118 K24		
BDX21469	archéologique	Renaghju Phase 1		A. d'Anna	1846	US122 J25		
BDX21470	archéologique	Renaghju Phase 1		A. d'Anna	2285	US140 H23		
BDX21471	archéologique	Renaghju Phase 1		A. d'Anna	2226	US140 F25		
BDX21472	archéologique	Renaghju Phase 1		A. d'Anna	2408	US140 I25		
BDX21473	archéologique	Renaghju Phase 1		A. d'Anna	2362	US140 G25		
BDX21474	archéologique	Renaghju Phase 1		A. d'Anna	2293	US140 I25		
BDX21475	archéologique	Renaghju Phase 1		A. d'Anna	2095	US140 H22		
BDX21476	archéologique	Renaghju Phase 1		A. d'Anna	2227	US140 F25		
BDX21477	archéologique	Renaghju Phase 1		A. d'Anna	2097	US140 I22		
BDX21478	archéologique	Renaghju Phase 1		A. d'Anna	2288	US140 I40		
BDX21479	archéologique	Renaghju Phase 1		A. d'Anna	2295	US140 H25		
BDX21480	archéologique	Renaghju Phase 1		A. d'Anna	2269	US140 G25		
BDX21481	archéologique	Renaghju Phase 1		A. d'Anna	2287	US140 H23		
BDX21482	archéologique	Renaghju Phase 1		A. d'Anna	2361	US140 G25		
BDX21483	archéologique	Renaghju Phase 1		A. d'Anna	2375	US140 H25		
BDX21484	archéologique	Renaghju Phase 1		A. d'Anna	2331	US140 I25		
BDX21485	archéologique	Renaghju Phase 1		A. d'Anna	2335	US140 I24		
BDX21486	archéologique	Renaghju Phase 1		A. d'Anna	2363	US140 G25		
BDX21487	archéologique	Renaghju Phase 1		A. d'Anna	2289	US140 I25		
BDX21488	archéologique	Renaghju Phase 1		A. d'Anna	2279	US140 I23		
BDX21489	archéologique	Renaghju Phase 1		A. d'Anna		US140 G25		
BDX21490	archéologique	Renaghju Phase 1		A. d'Anna		US140 G25		
BDX21491	archéologique	Renaghju Phase 1		A. d'Anna		US140 G25		
BDX21492	archéologique	Renaghju Phase 1		A. d'Anna		US140 HI		
BDX21493	archéologique	Renaghju Phase 1		A. d'Anna		US140 HI		
BDX21494	archéologique	Renaghju Phase 1		A. d'Anna		US140 HI		
BDX21495	archéologique	Renaghju Phase 1		A. d'Anna		US140 HI		
BDX21496	archéologique	Renaghju Phase 1		A. d'Anna	1379	US106 H21		
BDX21497	archéologique	Renaghju Phase 1		A. d'Anna	1381	US106 I21		
BDX21498	archéologique	Renaghju Phase 1		A. d'Anna	1371	US106 I21		
BDX21499	archéologique	Renaghju Phase 1		A. d'Anna	1380	US106 I21		

BDX	Type	Provenance	Complément provenance	Pourvoyeur	ID Précédente	US / Info. Diverses	Latitude	Longitude
BDX21500	archéologique	Renaghju Phase 1		A. d'Anna	1377 ou 1378	US106 H21		
BDX21501	archéologique	Renaghju Phase 1		A. d'Anna	1377 ou 1378	US106 H21		
BDX21502	archéologique	Renaghju Phase 1		A. d'Anna	361	US29 O16		
BDX21503	archéologique	Renaghju Phase 1		A. d'Anna	803	US29 J18		
BDX21504	archéologique	Renaghju Phase 1		A. d'Anna	290	US29 L16		
BDX21505	archéologique	Renaghju Phase 1		A. d'Anna	309	US29 O18		
BDX21506	archéologique	Renaghju Phase 1		A. d'Anna	438	US29 N17		
BDX21507	archéologique	Renaghju Phase 1		A. d'Anna	800	US29 J18		
BDX21508	archéologique	Renaghju Phase 1		A. d'Anna	799	US29 K18		
BDX21509	archéologique	Renaghju Phase 1		A. d'Anna	299	US29 M16		
BDX21510	archéologique	Renaghju Phase 1		A. d'Anna	2138	US136 N26		
BDX21511	archéologique	Renaghju Phase 1		A. d'Anna	2315	US136 N28		
BDX21512	archéologique	Renaghju Phase 1		A. d'Anna	2177	US136 N26		
BDX21513	archéologique	Renaghju Phase 1		A. d'Anna	2252	US136 N28		
BDX21514	archéologique	Renaghju Phase 1		A. d'Anna	2348	US136 N27		
BDX21515	archéologique	Renaghju Phase 1		A. d'Anna	2370	US136 N28		
BDX21516	archéologique	Renaghju Phase 1		A. d'Anna	1972	US136 N26		
BDX21517	archéologique	Renaghju Phase 1		A. d'Anna	2254	US136 N28		
BDX21518	archéologique	Renaghju Phase 1		A. d'Anna	2197	US136 N27		
BDX21519	archéologique	Renaghju Phase 1		A. d'Anna	2174	US136 N26		
BDX21520	archéologique	Renaghju Phase 1		A. d'Anna	1978	US136 O30		
BDX21521	archéologique	Renaghju Phase 1		A. d'Anna	2235	US136 O28		
BDX21522	archéologique	Renaghju Phase 1		A. d'Anna	2076	US136 O20		
BDX21523	archéologique	Renaghju Phase 1		A. d'Anna		US136 O26		
BDX21524	archéologique	Renaghju Phase 1		A. d'Anna		US136 O26		
BDX21525	archéologique	Renaghju Phase 1		A. d'Anna	833	US71 L21		
BDX21526	archéologique	Renaghju Phase 1		A. d'Anna	823	US71 L21		
BDX21527	archéologique	Renaghju Phase 1		A. d'Anna	837	US71 L21		
BDX21528	archéologique	Renaghju Phase 1		A. d'Anna	835	US71 J21		
BDX21529	archéologique	Renaghju Phase 1		A. d'Anna	1208	US99 L23		
BDX21530	archéologique	Renaghju Phase 1		A. d'Anna		US99 L23-22		

BDX	Type	Provenance	Complément provenance	Pourvoyeur	ID Précédente	US / Info. Diverses	Latitude	Longitude
BDX21531	archéologique	Renaghju Phase 1		A. d'Anna	1410	US99 L23		
BDX21532	archéologique	Renaghju Phase 1		A. d'Anna		US136 O29		
BDX21533	archéologique	Renaghju Phase 1		A. d'Anna	1138	US104 O24		
BDX21534	archéologique	Renaghju Phase 1		A. d'Anna	1160	US104 O24		
BDX21535	archéologique	Renaghju Phase 1		A. d'Anna	1605	US92 N24		
BDX21536	archéologique	Renaghju Phase 1		A. d'Anna	1257	US92 O24		
BDX21537	archéologique	Renaghju Phase 1		A. d'Anna	1142	US92 O24		
BDX21538	archéologique	Renaghju Phase 1		A. d'Anna	1316	US92 N24		
BDX21539	archéologique	Renaghju Phase 1		A. d'Anna	1297	US92 N24		
BDX21540	archéologique	Renaghju Phase 1		A. d'Anna		US92 O25		
BDX21541	archéologique	Renaghju Phase 1		A. d'Anna		US92 NO25-24		
BDX21542	archéologique	Renaghju Phase 1		A. d'Anna	1473	US92 N25		
BDX21543	archéologique	Renaghju Phase 1		A. d'Anna	1471	US92 N24		
BDX21544	archéologique	Renaghju Phase 1		A. d'Anna	1702	US92 O25		
BDX21545	archéologique	Renaghju Phase 1		A. d'Anna	1102	US92 N24		
BDX21546	archéologique	Renaghju Phase 1		A. d'Anna	9859	US286 U31		
BDX21547	archéologique	Renaghju Phase 1		A. d'Anna	9943	US286 U31		
BDX21548	archéologique	Renaghju Phase 1		A. d'Anna	9946	US286 U31		
BDX21549	archéologique	Renaghju Phase 1		A. d'Anna	9950	US286 U31		
BDX21550	archéologique	Renaghju Phase 1		A. d'Anna	10090	US286 T30		
BDX21551	archéologique	Renaghju Phase 1		A. d'Anna	8918	US273 X20		
BDX21552	archéologique	Renaghju Phase 1		A. d'Anna	10095	US270 R30		
BDX21553	archéologique	Renaghju Phase 1		A. d'Anna	1539	US102 O21		
BDX21554	archéologique	Renaghju Phase 1		A. d'Anna	1513	US102 O21		
BDX21555	archéologique	Renaghju Phase 1		A. d'Anna	1575	US102 O21		
BDX21556	archéologique	Renaghju Phase 1		A. d'Anna	1126	US102 N20		
BDX21557	archéologique	Renaghju Phase 1		A. d'Anna		US102 N-O 20-21		
BDX21558	archéologique	Renaghju Phase 1		A. d'Anna	1077	US102 N21		
BDX21559	archéologique	Renaghju Phase 1		A. d'Anna	1305	US102 O20		
BDX21560	archéologique	Renaghju Phase 1		A. d'Anna	1073	US102 O20		
BDX21561	archéologique	Renaghju Phase 1		A. d'Anna	8927	US269 W21		

BDX	Type	Provenance	Complément provenance	Pourvoyeur	ID Précédente	US / Info. Diverses	Latitude	Longitude
BDX21562	archéologique	Renaghju Phase 1		A. d'Anna	8937	US269 X23		
BDX21563	archéologique	Renaghju Phase 1		A. d'Anna	8800	US269 V19		
BDX21564	archéologique	Renaghju Phase 1		A. d'Anna	8906	US269 Y20		
BDX21565	archéologique	Renaghju Phase 1		A. d'Anna	8816	US269 Z19		
BDX21566	archéologique	Renaghju Phase 1		A. d'Anna	8822	US269 Z19		
BDX21567	archéologique	Renaghju Phase 1		A. d'Anna	8819	US269 Z19		
BDX21568	archéologique	Renaghju Phase 1		A. d'Anna	8902	US269 Z19		
BDX21569	archéologique	Renaghju Phase 1		A. d'Anna	8894	US269 V19		
BDX21570	archéologique	Renaghju Phase 1		A. d'Anna	8907	US269 Z20		
BDX21571	archéologique	Renaghju Phase 1		A. d'Anna	8901	US269 Z19		
BDX21572	archéologique	Renaghju Phase 1		A. d'Anna	7341	US225 W12		
BDX21573	archéologique	Renaghju Phase 1		A. d'Anna		US29 N16		
BDX21574	archéologique	Renaghju Phase 1		A. d'Anna		US29 N16		
BDX21575	archéologique	Renaghju Phase 1		A. d'Anna	7607	US227 N12		
BDX21576	archéologique	Renaghju Phase 1		A. d'Anna	7601	US226 P9		
BDX21577	archéologique	Renaghju Phase 1		A. d'Anna	7512	US221 Y14		
BDX21578	archéologique	Renaghju Phase 1		A. d'Anna	1262	US92 N25		
BDX21579	archéologique	Renaghju Phase 1		A. d'Anna	405	US29 O16		
BDX21580	archéologique	Renaghju Phase 1		A. d'Anna	294	US29 M16		
BDX21581	archéologique	Renaghju Phase 1		A. d'Anna	701	US19 T12		
BDX21582	archéologique	Renaghju Phase 1		A. d'Anna	729	US19 T11		
BDX21583	archéologique	Renaghju Phase 1		A. d'Anna	584?	US19 T14		
BDX21584	archéologique	Renaghju Phase 1		A. d'Anna	607	US19 T15		
BDX21585	archéologique	Renaghju Phase 1		A. d'Anna	606	US19 T15		
BDX21586	archéologique	Renaghju Phase 1		A. d'Anna	417	US19 T13		
BDX21587	archéologique	Renaghju Phase 1		A. d'Anna	354	US19 O18		
BDX21588	archéologique	Renaghju Phase 1		A. d'Anna	661	US19 T14		
BDX21589	archéologique	Renaghju Phase 1		A. d'Anna	663	US19 T14		
BDX21590	archéologique	Renaghju Phase 1		A. d'Anna	588	US19 T14		
BDX21591	archéologique	Renaghju Phase 1		A. d'Anna	636	US19 T14		
BDX21592	archéologique	Renaghju Phase 1		A. d'Anna	772	US19 T11		
BDX21593	archéologique	Renaghju Phase 1		A. d'Anna	8374	US248 H14		
BDX21594	archéologique	Renaghju Phase 1		A. d'Anna	8244	US248 E15		

BDX	Type	Provenance	Complément provenance	Pourvoyeur	ID Précédente	US / Info. Diverses	Latitude	Longitude
BDX21595	archéologique	Renaghju Phase 1		A. d'Anna	8205	US248 G14		
BDX21596	archéologique	Renaghju Phase 1		A. d'Anna	8583	US248 G15		
BDX21597	archéologique	Renaghju Phase 1		A. d'Anna	8217	US248 F15		
BDX21598	archéologique	Renaghju Phase 1		A. d'Anna	8562	US248 G14		
BDX21599	archéologique	Renaghju Phase 1		A. d'Anna	8238	US248 E15		
BDX21600	archéologique	Renaghju Phase 1		A. d'Anna	7078	US223 X17		
BDX21601	archéologique	Renaghju Phase 1		A. d'Anna	7215	US223 V16		
BDX21602	archéologique	Renaghju Phase 1		A. d'Anna	7524	US223 W17		
BDX21603	archéologique	Renaghju Phase 1		A. d'Anna	7671	US223 W18		
BDX21604	archéologique	Renaghju Phase 1		A. d'Anna	7803	US223 X18		
BDX21605	archéologique	Renaghju Phase 1		A. d'Anna	7147	US219 N9		
BDX21606	archéologique	Renaghju Phase 1		A. d'Anna	6729	US219 N10		
BDX21607	archéologique	Renaghju Phase 1		A. d'Anna	7310	US219 O9		
BDX21608	archéologique	Renaghju Phase 1		A. d'Anna	7459	US219 N12		
BDX21609	archéologique	Renaghju Phase 1		A. d'Anna	6749	US219 O10		
BDX21610	archéologique	Renaghju Phase 1		A. d'Anna	7033	US219 O10		
BDX21611	archéologique	Renaghju Phase 1		A. d'Anna	6794	US219 N11		
BDX21612	archéologique	Renaghju Phase 1		A. d'Anna	6792	US219 N10		
BDX21613	archéologique	Renaghju Phase 1		A. d'Anna	6750	US219 O10		
BDX21614	archéologique	Renaghju Phase 1		A. d'Anna	7333	US219 N11		
BDX21615	archéologique	Renaghju Phase 1		A. d'Anna	7007	US219 N11		
BDX21616	archéologique	Renaghju Phase 1		A. d'Anna	7315	US219 O9		
BDX21617	archéologique	Renaghju Phase 1		A. d'Anna	7000	US219 N9		
BDX21618	archéologique	Renaghju Phase 1		A. d'Anna	6748	US219 O10		
BDX21619	archéologique	Renaghju Phase 1		A. d'Anna	6738	US219 O12		
BDX21620	archéologique	Renaghju Phase 1		A. d'Anna	7148	US219 N9		
BDX21621	archéologique	Renaghju Phase 1		A. d'Anna	7003	US219 N10		
BDX21622	archéologique	Renaghju Phase 1		A. d'Anna	6754	US219 O11		
BDX21623	archéologique	Renaghju Phase 1		A. d'Anna	6999	US219 N9		
BDX21624	archéologique	Renaghju Phase 1		A. d'Anna	7124	US219 O12		
BDX21625	archéologique	Renaghju Phase 1		A. d'Anna	7145	US219 N9		
BDX21626	archéologique	Renaghju Phase 1		A. d'Anna	7143	US219 N10		
BDX21627	archéologique	Renaghju Phase 1		A. d'Anna	7001	US219 N9		

BDX	Type	Provenance	Complément provenance	Pourvoyeur	ID Précédente	US / Info. Diverses	Latitude	Longitude
BDX21628	archéologique	Renaghju Phase 1		A. d'Anna	7464	US219 N11		
BDX21629	archéologique	Renaghju Phase 1		A. d'Anna	7309	US219 O9		
BDX21630	archéologique	Renaghju Phase 1		A. d'Anna	7256	US214 X12		
BDX21631	archéologique	Renaghju Phase 1		A. d'Anna	7623	US214 Y18		
BDX21632	archéologique	Renaghju Phase 1		A. d'Anna	6709	US214 AA13		
BDX21633	archéologique	Renaghju Phase 1		A. d'Anna	6836	US214 Y14		
BDX21634	archéologique	Renaghju Phase 1		A. d'Anna	7265	US214 X13		
BDX21635	archéologique	Renaghju Phase 1		A. d'Anna	7825	US214 X11		
BDX21636	archéologique	Renaghju Phase 1		A. d'Anna	6904	US214 AA13		
BDX21637	archéologique	Renaghju Phase 1		A. d'Anna	1314	US107 O20		
BDX21638	archéologique	Renaghju Phase 1		A. d'Anna	2720	US160 O22		
BDX21639	archéologique	Renaghju Phase 1		A. d'Anna	4446	US160 P23		
BDX21640	archéologique	Renaghju Phase 1		A. d'Anna	2990	US160 N23		
BDX21641	archéologique	Renaghju Phase 1		A. d'Anna	2890	US160 N22		
BDX21642	archéologique	Renaghju Phase 1		A. d'Anna	3094	US160 N23		
BDX21643	archéologique	Renaghju Phase 1		A. d'Anna	2829	US160 O23		
BDX21644	archéologique	Renaghju Phase 1		A. d'Anna	2828	US160 O23		
BDX21645	archéologique	Renaghju Phase 1		A. d'Anna	3098	US160 O23		
BDX21646	archéologique	Renaghju Phase 1		A. d'Anna	2719	US160 O22		
BDX21647	archéologique	Renaghju Phase 1		A. d'Anna	4562	US160 P23		
BDX21648	archéologique	Renaghju Phase 1		A. d'Anna	2738	US160 O23		
BDX21649	archéologique	Renaghju Phase 1		A. d'Anna	2722	US160 O22		
BDX21650	archéologique	Renaghju Phase 1		A. d'Anna	3187	US160 O23		
BDX21651	archéologique	Renaghju Phase 1		A. d'Anna	2851	US160 N22		
BDX21652	archéologique	Renaghju Phase 1		A. d'Anna	2857	US160 N23		
BDX21653	archéologique	Renaghju Phase 1		A. d'Anna	2736	US160 O23		
BDX21654	archéologique	Renaghju Phase 1		A. d'Anna	2849	US160 N22		
BDX21655	archéologique	Renaghju Phase 1		A. d'Anna	2836	US160 O22		
BDX21656	archéologique	Renaghju Phase 1		A. d'Anna	4487	US160 P23		
BDX21657	archéologique	Renaghju Phase 1		A. d'Anna	2997	US160 N22		
BDX21658	archéologique	Renaghju Phase 1		A. d'Anna	2844	US160 O22		
BDX21659	archéologique	Renaghju Phase 1		A. d'Anna	2745	US160 N23		
BDX21660	archéologique	Renaghju Phase 1		A. d'Anna	5787	US193 S8		

BDX	Type	Provenance	Complément provenance	Pourvoyeur	ID Précédente	US / Info. Diverses	Latitude	Longitude
BDX21661	archéologique	Renaghju Phase 1		A. d'Anna	5712	US193 S8		
BDX21662	archéologique	Renaghju Phase 1		A. d'Anna	5664	US193 R8		
BDX21663	archéologique	Renaghju Phase 1		A. d'Anna	5762	US193 S8		
BDX21664	archéologique	Renaghju Phase 1		A. d'Anna	5801	US193 R9		
BDX21665	archéologique	Renaghju Phase 1		A. d'Anna	5716	US193 S8		
BDX21666	archéologique	Renaghju Phase 1		A. d'Anna	9435	US277 Z19		
BDX21667	archéologique	Renaghju Phase 1		A. d'Anna	9815	US277 Y20		
BDX21668	archéologique	Renaghju Phase 1		A. d'Anna	9796	US277 Y21		
BDX21669	archéologique	Renaghju Phase 1		A. d'Anna	9787	US277 Y20		
BDX21670	archéologique	Renaghju Phase 1		A. d'Anna	9761	US277 W23		
BDX21671	archéologique	Renaghju Phase 1		A. d'Anna	9153	US277 Z19		
BDX21672	archéologique	Renaghju Phase 1		A. d'Anna	9750	US277 X22		
BDX21673	archéologique	Renaghju Phase 1		A. d'Anna	9440	US277 Z19		
BDX21674	archéologique	Renaghju Phase 1		A. d'Anna	9161	US277 Z21		
BDX21675	archéologique	Renaghju Phase 1		A. d'Anna	9444	US277 Z20		
BDX21676	archéologique	Renaghju Phase 1		A. d'Anna	9130	US277 Y21		
BDX21677	archéologique	Renaghju Phase 1		A. d'Anna	9460	US277 Z21		
BDX21678	archéologique	Renaghju Phase 1		A. d'Anna	9141	US277 Y22		
BDX21679	archéologique	Renaghju Phase 1		A. d'Anna	9799	US277 Y21		
BDX21680	archéologique	Renaghju Phase 1		A. d'Anna	9176	US277 Z22		
BDX21681	archéologique	Renaghju Phase 1		A. d'Anna	9164	US277 Z21		
BDX21682	archéologique	Renaghju Phase 1		A. d'Anna	9442	US277 Z20		
BDX21683	archéologique	Renaghju Phase 1		A. d'Anna	9163	US277 Z21		
BDX21684	archéologique	Renaghju Phase 1		A. d'Anna	9165	US277 Y21		
BDX21685	archéologique	Renaghju Phase 1		A. d'Anna	9465	US277 Z21		
BDX21686	archéologique	Renaghju Phase 1		A. d'Anna	9454	US277 Y21		
BDX21687	archéologique	Renaghju Phase 1		A. d'Anna	9420	US277 Y19		
BDX21688	archéologique	Renaghju Phase 1		A. d'Anna	9457	US277 Y21		
BDX21689	archéologique	Renaghju Phase 1		A. d'Anna	9464	US277 Z21		
BDX21690	archéologique	Renaghju Phase 1		A. d'Anna	9154	US277 Z19		
BDX21691	archéologique	Renaghju Phase 1		A. d'Anna	9150	US277 Z19		
BDX21692	archéologique	Renaghju Phase 1		A. d'Anna	9780	US277 Z20		
BDX21693	archéologique	Renaghju Phase 1		A. d'Anna	9089	US277 W23		

BDX	Type	Provenance	Complément provenance	Pourvoyeur	ID Précédente	US / Info. Diverses	Latitude	Longitude
BDX21694	archéologique	Renaghju Phase 1		A. d'Anna	9437	US277 Z19		
BDX21695	archéologique	Renaghju Phase 1		A. d'Anna	9394	US277 V23		
BDX21696	archéologique	Renaghju Phase 1		A. d'Anna	9782	US277 Y20		
BDX21697	archéologique	Renaghju Phase 1		A. d'Anna	9797	US277 Y21		
BDX21698	archéologique	Renaghju Phase 1		A. d'Anna	9740	US277 W21		
BDX21699	archéologique	Renaghju Phase 1		A. d'Anna	9441	US277 Z20		
BDX21700	archéologique	Renaghju Phase 1		A. d'Anna	9117	US277 Y19		
BDX21701	archéologique	Renaghju Phase 1		A. d'Anna	9422	US277 Y19		
BDX21702	archéologique	Renaghju Phase 1		A. d'Anna	9120	US277 Y20		
BDX21703	archéologique	Renaghju Phase 1		A. d'Anna	10038	US277 W23		
BDX21704	archéologique	Renaghju Phase 1		A. d'Anna	10039	US277 W22		
BDX21705	archéologique	Renaghju Phase 1		A. d'Anna	10035	US277 V23		
BDX21706	archéologique	Renaghju Phase 1		A. d'Anna	9998	US277 W20		
BDX21707	archéologique	Renaghju Phase 1		A. d'Anna	10015	US277 Z22		
BDX21708	archéologique	Renaghju Phase 1		A. d'Anna	9991	US277 W19		
BDX21709	archéologique	Renaghju Phase 1		A. d'Anna	9334	US279 S31		
BDX21710	archéologique	Renaghju Phase 1		A. d'Anna	9327	US279 S31		
BDX21711	archéologique	Renaghju Phase 1		A. d'Anna	9224	US268 T30		
BDX21712	archéologique	Renaghju Phase 1		A. d'Anna	9215	US268 S30		
BDX21713	archéologique	Renaghju Phase 1		A. d'Anna	9023	US268 U33		
BDX21714	archéologique	Renaghju Phase 1		A. d'Anna	8770	US268 U31		
BDX21715	archéologique	Renaghju Phase 1		A. d'Anna	8789	US268 V30		
BDX21716	archéologique	Renaghju Phase 1		A. d'Anna	8889	US268 V32		
BDX21717	archéologique	Renaghju Phase 1		A. d'Anna	9256	US268 S33		
BDX21718	archéologique	Renaghju Phase 1		A. d'Anna	8882	US268 V32		
BDX21719	archéologique	Renaghju Phase 1		A. d'Anna	8799	US268 T33		
BDX21720	archéologique	Renaghju Phase 1		A. d'Anna	8987	US268 S32		
BDX21721	archéologique	Renaghju Phase 1		A. d'Anna	8854	US268 T30		
BDX21722	archéologique	Renaghju Phase 1		A. d'Anna	8991	US268 S30		
BDX21723	archéologique	Renaghju Phase 1		A. d'Anna	8785	US268 V31		
BDX21724	archéologique	Renaghju Phase 1		A. d'Anna	8887	US268 V31		
BDX21725	archéologique	Renaghju Phase 1		A. d'Anna	8871	US268 U31		
BDX21726	archéologique	Renaghju Phase 1		A. d'Anna	8849	US268 S30		

BDX	Type	Provenance	Complément provenance	Pourvoyeur	ID Précédente	US / Info. Diverses	Latitude	Longitude
BDX21727	archéologique	Renaghju Phase 1		A. d'Anna	8796	US268 V32		
BDX21728	archéologique	Renaghju Phase 1		A. d'Anna	8835	US268 R32		
BDX21729	archéologique	Renaghju Phase 1		A. d'Anna	8753	US268 Q31		
BDX21730	archéologique	Renaghju Phase 1		A. d'Anna	8795	US268 V33		
BDX21731	archéologique	Renaghju Phase 1		A. d'Anna		Sous US39 T14		
BDX21732	archéologique	Renaghju Phase 1		A. d'Anna	8322	US249 AA2		
BDX21733	archéologique	Renaghju Phase 1		A. d'Anna	7144	US219 N9		
BDX21734	archéologique	Renaghju Phase 1		A. d'Anna	8181	US311 RI5		
BDX21735	archéologique	Renaghju Phase 1		A. d'Anna	8193	US311 S15		
BDX21736	archéologique	Renaghju Phase 1		A. d'Anna		US141 F25		
BDX21737	archéologique	Renaghju Phase 1		A. d'Anna		US141 F25		
BDX21738	archéologique	Renaghju Phase 1		A. d'Anna		US141 F25		
BDX21739	archéologique	Renaghju Phase 1		A. d'Anna		US141 F25		
BDX21740	archéologique	Renaghju Phase 1		A. d'Anna		US141 F25		
BDX21741	archéologique	Renaghju Phase 1		A. d'Anna	2419	US141 F25		
BDX21742	archéologique	Renaghju Phase 1		A. d'Anna	2420	US141 F25		
BDX21743	archéologique	Renaghju Phase 1		A. d'Anna	2425	US141 F25		
BDX21744	archéologique	Renaghju Phase 1		A. d'Anna	2426	US141 F25		
BDX21745	archéologique	Renaghju Phase 1		A. d'Anna	3327	US163 Q26		
BDX21746	archéologique	Renaghju Phase 1		A. d'Anna	5221	US182 L9		
BDX21747	archéologique	Renaghju Phase 1		A. d'Anna	5409	US182 L9		
BDX21748	archéologique	Renaghju Phase 1		A. d'Anna	5404	US182 L8		
BDX21749	archéologique	Renaghju Phase 1		A. d'Anna	5529	US186 P10		
BDX21750	archéologique	Renaghju Phase 1		A. d'Anna	5604	US186 P11		
BDX21751	archéologique	Renaghju Phase 1		A. d'Anna	5528	US186 P10		
BDX21752	archéologique	Renaghju Phase 1		A. d'Anna	5513	US186 P11		
BDX21753	archéologique	Renaghju Phase 1		A. d'Anna	5562	US186 P10		
BDX21754	archéologique	Renaghju Phase 1		A. d'Anna	5518	US186 P11		
BDX21755	archéologique	Renaghju Phase 1		A. d'Anna	5524	US186 P10		
BDX21756	archéologique	Renaghju Phase 1		A. d'Anna	3911	US165 T18		
BDX21757	archéologique	Renaghju Phase 1		A. d'Anna	3919	US165 S19		
BDX21758	archéologique	Renaghju Phase 1		A. d'Anna	4157	US165 S19		

BDX	Type	Provenance	Complément provenance	Pourvoyeur	ID Précédente	US / Info. Diverses	Latitude	Longitude
BDX21759	archéologique	Renaghju Phase 1		A. d'Anna	3876	US165 U17		
BDX21760	archéologique	Renaghju Phase 1		A. d'Anna	4144	US165 T19		
BDX21761	archéologique	Renaghju Phase 1		A. d'Anna	4154	US165 T19		
BDX21762	archéologique	Renaghju Phase 1		A. d'Anna	4626	US165 T19		
BDX21763	archéologique	Renaghju Phase 1		A. d'Anna	4654	US165 S18		
BDX21764	archéologique	Renaghju Phase 1		A. d'Anna	4153	US165 T19		
BDX21765	archéologique	Renaghju Phase 1		A. d'Anna	8049	US244 Z2		
BDX21766	archéologique	Renaghju Phase 1		A. d'Anna	8096	US244 Z0		
BDX21767	archéologique	Renaghju Phase 1		A. d'Anna	8151	US244 Z1		
BDX21768	archéologique	Renaghju Phase 1		A. d'Anna	8093	US244 AA0		
BDX21769	archéologique	Renaghju Phase 1		A. d'Anna	8147	US244 Z1		
BDX21770	archéologique	Renaghju Phase 1		A. d'Anna	8127	US244 AA0		
BDX21771	archéologique	Renaghju Phase 1		A. d'Anna	8037	US244 AA2		
BDX21772	archéologique	Renaghju Phase 1		A. d'Anna	5536	US183 M11		
BDX21773	archéologique	Renaghju Phase 1		A. d'Anna	5346	US183 L10		
BDX21774	archéologique	Renaghju Phase 1		A. d'Anna	5360	US183 M11		
BDX21775	archéologique	Renaghju Phase 1		A. d'Anna	5491	US183 M11		
BDX21776	archéologique	Renaghju Phase 1		A. d'Anna	5348	US183 M10		
BDX21777	archéologique	Renaghju Phase 1		A. d'Anna	5449	US183 L11		
BDX21778	archéologique	Renaghju Phase 1		A. d'Anna	5280	US183 L15		
BDX21779	archéologique	Renaghju Phase 1		A. d'Anna	5366	US183 M12		
BDX21780	archéologique	Renaghju Phase 1		A. d'Anna	5347	US183 L10		
BDX21781	archéologique	Renaghju Phase 1		A. d'Anna	5355	US183 M11		
BDX21782	archéologique	Renaghju Phase 1		A. d'Anna	5779	US192 S8		
BDX21783	archéologique	Renaghju Phase 1		A. d'Anna	5283	US180 M13		
BDX21868	archéologique	Renaghju Phase 1		A. d'Anna	3661	US161 Q26		
BDX21869	archéologique	Renaghju Phase 1		A. d'Anna	3164	US161 Q26		
BDX21870	archéologique	Renaghju Phase 1		A. d'Anna	2872	US161 S28		
BDX21871	archéologique	Renaghju Phase 1		A. d'Anna	5029	US161 P26		
BDX21872	archéologique	Renaghju Phase 1		A. d'Anna	5025	US161 P26		
BDX21873	archéologique	Renaghju Phase 1		A. d'Anna	2800	US161 T28		
BDX21874	archéologique	Renaghju Phase 1		A. d'Anna	3537	US161 U25		
BDX21875	archéologique	Renaghju Phase 1		A. d'Anna	4329	US161 R29		

BDX	Type	Provenance	Complément provenance	Pourvoyeur	ID Précédente	US / Info. Diverses	Latitude	Longitude
BDX21876	archéologique	Renaghju Phase 1		A. d'Anna	3693	US161 P27		
BDX21877	archéologique	Renaghju Phase 1		A. d'Anna	4703	US161 U27		
BDX21878	archéologique	Renaghju Phase 1		A. d'Anna	3713	US161 Q28		
BDX21879	archéologique	Renaghju Phase 1		A. d'Anna	2902	US161 P24		
BDX21880	archéologique	Renaghju Phase 1		A. d'Anna	5008	US161 P26		
BDX21881	archéologique	Renaghju Phase 1		A. d'Anna	4228	US161 U29		
BDX21882	archéologique	Renaghju Phase 1		A. d'Anna	2911	US161 P24		
BDX21883	archéologique	Renaghju Phase 1		A. d'Anna	3605	US161 P28		
BDX21884	archéologique	Renaghju Phase 1		A. d'Anna	3501	US161 R28		
BDX21885	archéologique	Renaghju Phase 1		A. d'Anna	2792	US161 S27		
BDX21886	archéologique	Renaghju Phase 1		A. d'Anna	3805	US161 U25		
BDX21887	archéologique	Renaghju Phase 1		A. d'Anna	3687	US161 P26		
BDX21888	archéologique	Renaghju Phase 1		A. d'Anna	4906	US161 P29		
BDX21889	archéologique	Renaghju Phase 1		A. d'Anna	4796	US161 S29		
BDX21890	archéologique	Renaghju Phase 1		A. d'Anna	3599	US161 P28		
BDX21891	archéologique	Renaghju Phase 1		A. d'Anna	3500	US161 R28		
BDX21892	archéologique	Renaghju Phase 1		A. d'Anna	3476	US161 S28		
BDX21893	archéologique	Renaghju Phase 1		A. d'Anna	2970	US161 Q24		
BDX21894	archéologique	Renaghju Phase 1		A. d'Anna	2914	US161 P24		
BDX21895	archéologique	Renaghju Phase 1		A. d'Anna	3527	US161 U25		
BDX21896	archéologique	Renaghju Phase 1		A. d'Anna	4209	US161 T28		
BDX21897	archéologique	Renaghju Phase 1		A. d'Anna	3484	US161 R29		
BDX21898	archéologique	Renaghju Phase 1		A. d'Anna	3084	US161 T29		
BDX21899	archéologique	Renaghju Phase 1		A. d'Anna	3448	US161 T29		
BDX21900	archéologique	Renaghju Phase 1		A. d'Anna	4316	US161 S28		
BDX21901	archéologique	Renaghju Phase 1		A. d'Anna	3787	US161 S27		
BDX21902	archéologique	Renaghju Phase 1		A. d'Anna	3590	US161 P28		
BDX21903	archéologique	Renaghju Phase 1		A. d'Anna	2933	US161 Q24		
BDX21904	archéologique	Renaghju Phase 1		A. d'Anna	4799	US161 S29		
BDX21905	archéologique	Renaghju Phase 1		A. d'Anna	3822	US161 T25		
BDX21906	archéologique	Renaghju Phase 1		A. d'Anna	3752	US161 R25		
BDX21907	archéologique	Renaghju Phase 1		A. d'Anna	3624	US161 P25		
BDX21908	archéologique	Renaghju Phase 1		A. d'Anna	3118	US161 Q24		

BDX	Type	Provenance	Complément provenance	Pourvoyeur	ID Précédente	US / Info. Diverses	Latitude	Longitude
BDX21909	archéologique	Renaghju Phase 1		A. d'Anna	2946	US161 Q24		
BDX21910	archéologique	Renaghju Phase 1		A. d'Anna	4366	US161 R26		
BDX21911	archéologique	Renaghju Phase 1		A. d'Anna	3416	US161 P25		
BDX21912	archéologique	Renaghju Phase 1		A. d'Anna	2769	US161 P28		
BDX21913	archéologique	Renaghju Phase 1		A. d'Anna	2789	US161 T26		
BDX21914	archéologique	Renaghju Phase 1		A. d'Anna	3473	US161 S28		
BDX21915	archéologique	Renaghju Phase 1		A. d'Anna	3442	US161 T29		
BDX21916	archéologique	Renaghju Phase 1		A. d'Anna	3726	US161 R28		
BDX21917	archéologique	Renaghju Phase 1		A. d'Anna	3927	US161 U27		
BDX21918	archéologique	Renaghju Phase 1		A. d'Anna	2775	US161 P29		
BDX21919	archéologique	Renaghju Phase 1		A. d'Anna	3610	US161 P25		
BDX21920	archéologique	Renaghju Phase 1		A. d'Anna	4373	US161 S26		
BDX21921	archéologique	Renaghju Phase 1		A. d'Anna	3165	US161 Q26		
BDX21922	archéologique	Renaghju Phase 1		A. d'Anna	4127	US161 T27		
BDX21923	archéologique	Renaghju Phase 1		A. d'Anna	3460	US161 S29		
BDX21924	archéologique	Renaghju Phase 1		A. d'Anna	3168	US161 P26		
BDX21925	archéologique	Renaghju Phase 1		A. d'Anna	3828	US161 T25		
BDX21926	archéologique	Renaghju Phase 1		A. d'Anna	3133	US161 Q24		
BDX21927	archéologique	Renaghju Phase 1		A. d'Anna		US161		
BDX21928	archéologique	Renaghju Phase 1		A. d'Anna		US161		
BDX21929	archéologique	Renaghju Phase 1		A. d'Anna		US161		
BDX21930	archéologique	Renaghju Phase 1		A. d'Anna		US161		
BDX21931	archéologique	Renaghju Phase 1		A. d'Anna		US161		
BDX21932	archéologique	Renaghju Phase 1		A. d'Anna		US161		
BDX21933	archéologique	Renaghju Phase 1		A. d'Anna		US161		
BDX21934	archéologique	Renaghju Phase 1		A. d'Anna		US161		
BDX21935	archéologique	Renaghju Phase 1		A. d'Anna		US161 S29		
BDX21936	archéologique	Renaghju Phase 1		A. d'Anna	3455	US161		
BDX21937	archéologique	Renaghju Phase 1		A. d'Anna		US161		
BDX21938	archéologique	Renaghju Phase 1		A. d'Anna		US161		
BDX21939	archéologique	Renaghju Phase 1		A. d'Anna	4037	US161 U25		
BDX21940	archéologique	Renaghju Phase 1		A. d'Anna	4359	US161 S27		
BDX21941	archéologique	Renaghju Phase 1		A. d'Anna		US161		

BDX	Type	Provenance	Complément provenance	Pourvoyeur	ID Précédente	US / Info. Diverses	Latitude	Longitude
BDX21942	archéologique	Renaghju Phase 1		A. d'Anna		US161		
BDX21943	archéologique	Renaghju Phase 1		A. d'Anna		US161		
BDX21944	archéologique	Renaghju Phase 1		A. d'Anna		US161		
BDX21945	archéologique	Renaghju Phase 1		A. d'Anna	3804	US161 U25		
BDX21946	archéologique	Renaghju Phase 1		A. d'Anna		US161		
BDX21947	archéologique	Renaghju Phase 1		A. d'Anna		US161		
BDX21948	archéologique	Renaghju Phase 1		A. d'Anna		US161		
BDX21949	archéologique	Renaghju Phase 1		A. d'Anna		US161		
BDX21950	archéologique	Renaghju Phase 1		A. d'Anna		US161		
BDX21951	archéologique	Renaghju Phase 1		A. d'Anna		US161		
BDX21952	archéologique	Renaghju Phase 1		A. d'Anna		US161		
BDX21953	archéologique	Renaghju Phase 1		A. d'Anna		US161		
BDX21954	archéologique	Renaghju Phase 1		A. d'Anna		US161		
BDX21955	archéologique	Renaghju Phase 1		A. d'Anna		US161		
BDX21956	archéologique	Renaghju Phase 1		A. d'Anna		US161		
BDX21957	archéologique	Renaghju Phase 1		A. d'Anna		US161		
BDX21958	archéologique	Renaghju Phase 1		A. d'Anna		US161		
BDX21959	archéologique	Renaghju Phase 1		A. d'Anna		US161		
BDX21960	archéologique	Renaghju Phase 1		A. d'Anna		US161		
BDX21961	archéologique	Renaghju Phase 1		A. d'Anna		US161		
BDX21962	archéologique	Renaghju Phase 1		A. d'Anna		US161		
BDX21963	archéologique	Renaghju Phase 1		A. d'Anna		US161		
BDX21964	archéologique	Renaghju Phase 1		A. d'Anna	4255	US161 S29		
BDX21965	archéologique	Renaghju Phase 1		A. d'Anna		US161		
BDX21966	archéologique	Renaghju Phase 1		A. d'Anna		US161		
BDX21967	archéologique	Renaghju Phase 1		A. d'Anna		US161		
BDX21968	archéologique	Renaghju Phase 1		A. d'Anna		US161		
BDX21969	archéologique	Renaghju Phase 1		A. d'Anna		US161		
BDX21970	archéologique	Renaghju Phase 1		A. d'Anna		US161		
BDX21971	archéologique	Renaghju Phase 1		A. d'Anna		US161		
BDX21972	archéologique	Renaghju Phase 1		A. d'Anna		US161		
BDX21973	archéologique	Renaghju Phase 1		A. d'Anna		US161		
BDX21974	archéologique	Renaghju Phase 1		A. d'Anna		US161		

BDX	Type	Provenance	Complément provenance	Pourvoyeur	ID Précédente	US / Info. Diverses	Latitude	Longitude
BDX21975	archéologique	Renaghju Phase 1		A. d'Anna		US161		
BDX21976	archéologique	Renaghju Phase 1		A. d'Anna		US161		
BDX21977	archéologique	Renaghju Phase 1		A. d'Anna		US161		
BDX21978	archéologique	Renaghju Phase 1		A. d'Anna		US161		
BDX21979	archéologique	Renaghju Phase 1		A. d'Anna		US161		
BDX21980	archéologique	Renaghju Phase 1		A. d'Anna		US161		
BDX21981	archéologique	Renaghju Phase 1		A. d'Anna		US161		
BDX21982	archéologique	Renaghju Phase 1		A. d'Anna		US161		
BDX21983	archéologique	Renaghju Phase 1		A. d'Anna		US161		
BDX21984	archéologique	Renaghju Phase 1		A. d'Anna	3791	US161 U24		
BDX21985	archéologique	Renaghju Phase 1		A. d'Anna		US161		
BDX21986	archéologique	Renaghju Phase 1		A. d'Anna		US161		
BDX21987	archéologique	Renaghju Phase 1		A. d'Anna		US161		
BDX21988	archéologique	Renaghju Phase 1		A. d'Anna		US161		
BDX21989	archéologique	Renaghju Phase 1		A. d'Anna		US161		
BDX21990	archéologique	Renaghju Phase 1		A. d'Anna	4357	US161 S27		
BDX21991	archéologique	Renaghju Phase 1		A. d'Anna		US161		
BDX21992	archéologique	Renaghju Phase 1		A. d'Anna		US161		
BDX21993	archéologique	Renaghju Phase Ind.		A. d'Anna	106	US26 O17		
BDX21994	archéologique	Renaghju Phase Ind.		A. d'Anna	79	US26 O16		
BDX21995	archéologique	Renaghju Phase Ind.		A. d'Anna	76	US26 M18		
BDX21996	archéologique	Renaghju Phase Ind.		A. d'Anna	140	US26 O26		
BDX21997	archéologique	Renaghju Phase Ind.		A. d'Anna	97	US26 M17		
BDX21998	archéologique	Renaghju Phase Ind.		A. d'Anna	126	US26 M16		
BDX21999	archéologique	Renaghju Phase Ind.		A. d'Anna	127	US26 M18		
BDX22000	archéologique	Renaghju Phase Ind.		A. d'Anna	116	US26 L17		
BDX22001	archéologique	Renaghju Phase Ind.		A. d'Anna	98	US26 L18		
BDX22002	archéologique	Renaghju Phase Ind.		A. d'Anna		US175 L8		
BDX22003	archéologique	Renaghju Phase Ind.		A. d'Anna	5263	US175 R9		
BDX22004	archéologique	Renaghju Phase Ind.		A. d'Anna	5115	US175 M9		
BDX22005	archéologique	Renaghju Phase Ind.		A. d'Anna	5097	US175 M8		
BDX22006	archéologique	Renaghju Phase Ind.		A. d'Anna	5085	US175 L8		
BDX22007	archéologique	Renaghju Phase Ind.		A. d'Anna	5240	US175 R9		

BDX	Type	Provenance	Complément provenance	Pourvoyeur	ID Précédente	US / Info. Diverses	Latitude	Longitude
BDX22008	archéologique	Renaghju Phase Ind.		A. d'Anna	5088	US175 M8		
BDX22009	archéologique	Renaghju Phase Ind.		A. d'Anna	5267	US175 R9		
BDX22010	archéologique	Renaghju Phase Ind.		A. d'Anna	5139	US175 M8		
BDX22011	archéologique	Renaghju Phase Ind.		A. d'Anna	5151	US176 M11		
BDX22012	archéologique	Renaghju Phase Ind.		A. d'Anna	5157	US176 L10		
BDX22013	archéologique	Renaghju Phase Ind.		A. d'Anna	5118	US176 M15		
BDX22014	archéologique	Renaghju Phase Ind.		A. d'Anna	5117	US176 M14		
BDX22015	archéologique	Renaghju Phase Ind.		A. d'Anna	5146	US176 M14		
BDX22016	archéologique	Renaghju Phase Ind.		A. d'Anna	5144	US176 M14		
BDX22017	archéologique	Renaghju Phase Ind.		A. d'Anna	5143	US176 M15		
BDX22018	archéologique	Renaghju Phase Ind.		A. d'Anna	5158	US176 L10		
BDX22019	archéologique	Renaghju Phase Ind.		A. d'Anna	1397	US100 J25		
BDX22020	archéologique	Renaghju Phase Ind.		A. d'Anna	5255	US181 P12		
BDX22021	archéologique	Renaghju Phase Ind.		A. d'Anna	5214	US181 P12		
BDX22022	archéologique	Renaghju Phase Ind.		A. d'Anna	5213	US181 P12		
BDX22023	archéologique	Renaghju Phase Ind.		A. d'Anna	5256	US181 P12		
BDX22024	archéologique	Renaghju Phase Ind.		A. d'Anna	5271	US181 P10		
BDX22025	archéologique	Renaghju Phase Ind.		A. d'Anna	5257	US181 P12		
BDX22026	archéologique	Renaghju Phase 3		A. d'Anna	2527	US151 U27		
BDX22027	archéologique	Renaghju Phase 3		A. d'Anna	2536	US151 P24		
BDX22028	archéologique	Renaghju Phase 3		A. d'Anna	2528	US151 U29		
BDX22029	archéologique	Renaghju Phase Ind.		A. d'Anna	83	US15 T12		
BDX22030	archéologique	Renaghju Phase Ind.		A. d'Anna	78	US15		
BDX22031	archéologique	Renaghju Phase Ind.		A. d'Anna		US25 N17		
BDX22032	archéologique	Renaghju Phase Ind.		A. d'Anna	807	US65 J21		
BDX22033	archéologique	Renaghju Phase Ind.		A. d'Anna	560	US51 S18		
BDX22034	archéologique	Renaghju Phase Ind.		A. d'Anna	558	US51 S17		
BDX22035	archéologique	Renaghju Phase Ind.		A. d'Anna	516	US51 monolithe31		
BDX22036	archéologique	Renaghju Phase Ind.		A. d'Anna	556	US51 S17		
BDX22037	archéologique	Renaghju Phase Ind.		A. d'Anna	563	US51 Q19		
BDX22038	archéologique	Renaghju Phase Ind.		A. d'Anna	815	US68 L21		
BDX22039	archéologique	Renaghju Phase Ind.		A. d'Anna	1879	US131 O29		

BDX	Type	Provenance	Complément provenance	Pourvoyeur	ID Précédente	US / Info. Diverses	Latitude	Longitude
BDX22040	archéologique	Renaghju Phase Ind.		A. d'Anna		US131 O27-28		
BDX22041	archéologique	Renaghju Phase Ind.		A. d'Anna	941	US88 L23		
BDX22042	archéologique	Renaghju Phase Ind.		A. d'Anna	956	US88 L22		
BDX22043	archéologique	Renaghju Phase 3		A. d'Anna	6620	US203 X13		
BDX22044	archéologique	Renaghju Phase 3		A. d'Anna	6146	US203 Z12		
BDX22045	archéologique	Renaghju Phase 3		A. d'Anna	5982	US203 Z14		
BDX22046	archéologique	Renaghju Phase 3		A. d'Anna	6145	US203 Y12		
BDX22047	archéologique	Renaghju Phase 3		A. d'Anna	5959	US203 AA12		
BDX22048	archéologique	Renaghju Phase 3		A. d'Anna	5984	US203 AA13		
BDX22049	archéologique	Renaghju Phase 3		A. d'Anna	6325	US203 X14		
BDX22050	archéologique	Renaghju Phase 3		A. d'Anna	6333	US203 X12		
BDX22051	archéologique	Renaghju Phase 3		A. d'Anna	6230	US203 AB13		
BDX22052	archéologique	Renaghju Phase 3		A. d'Anna	6334	US203 X12		
BDX22053	archéologique	Renaghju Phase 3		A. d'Anna	6141	US203 Y12		
BDX22054	archéologique	Renaghju Phase 3		A. d'Anna	6156	US203 AA12		
BDX22055	archéologique	Renaghju Phase 3		A. d'Anna	6315	US203 Y15		
BDX22056	archéologique	Renaghju Phase 3		A. d'Anna	6072	US203 Z13		
BDX22057	archéologique	Renaghju Phase 3		A. d'Anna	6070	US203 Z12		
BDX22058	archéologique	Renaghju Phase 3		A. d'Anna	6219	US203 Z14		
BDX22059	archéologique	Renaghju Phase 3		A. d'Anna	6147	US203 Z12		
BDX22060	archéologique	Renaghju Phase 3		A. d'Anna	5952	US191 Q9		
BDX22061	archéologique	Renaghju Phase 3		A. d'Anna	5946	US191 P9		
BDX22062	archéologique	Renaghju Phase 3		A. d'Anna	554	US51 T17		
BDX22063	archéologique	Renaghju Phase 3		A. d'Anna	885	US83 I21		
BDX22064	archéologique	Renaghju Phase 3		A. d'Anna	5860	US202 AA15		
BDX22065	archéologique	Renaghju Phase 3		A. d'Anna	5895	US202 Z14		
BDX22066	archéologique	Renaghju Phase 3		A. d'Anna	5893	US202 Z14		
BDX22067	archéologique	Renaghju Phase 3		A. d'Anna	5874	US202 Z15		
BDX22068	archéologique	Renaghju Phase 3		A. d'Anna	6002	US202 Y15		
BDX22069	archéologique	Renaghju Phase 3		A. d'Anna	6004	US202 X14		
BDX22070	archéologique	Renaghju Phase 3		A. d'Anna	6679	US215 Y16		
BDX22071	archéologique	Renaghju Phase 3		A. d'Anna	81	US15 U15		

BDX	Type	Provenance	Complément provenance	Pourvoyeur	ID Précédente	US / Info. Diverses	Latitude	Longitude
BDX22072	archéologique	Renaghju Phase 3		A. d'Anna	8912	US271 Z20		
BDX22073	archéologique	Renaghju Phase 3		A. d'Anna	6306	US205 Z14		
BDX22074	archéologique	Renaghju Phase 3		A. d'Anna	6428	US207 O12		
BDX22075	archéologique	Renaghju Phase 3		A. d'Anna	6594	US207 N10		
BDX22076	archéologique	Renaghju Phase 3		A. d'Anna	6582	US207 O9		
BDX22077	archéologique	Renaghju Phase 3		A. d'Anna	6413	US207 O10		
BDX22078	archéologique	Renaghju Phase 3		A. d'Anna	6372	US207 P9		
BDX22079	archéologique	Renaghju Phase 3		A. d'Anna	6408	US207 O9		
BDX22080	archéologique	Renaghju Phase 4		A. d'Anna	145	US37 M19		
BDX22081	archéologique	Renaghju Phase 4		A. d'Anna	887	US78 N21		
BDX22082	archéologique	Renaghju Phase 4		A. d'Anna	477	US40 L18		
BDX22083	archéologique	Renaghju Phase 4		A. d'Anna		US40		
BDX22084	archéologique	Renaghju Phase 4		A. d'Anna		US40		
BDX22085	archéologique	Renaghju Phase 4		A. d'Anna		US40		
BDX22086	archéologique	Renaghju Phase 4		A. d'Anna		US40		
BDX22087	archéologique	Renaghju Phase 4		A. d'Anna		Décapage 3 (fosse menhir?) G34		
BDX22088	archéologique	Renaghju Phase 4		A. d'Anna		US148 F31-32 (remplissage fosse menhir)		
BDX22089	archéologique	Renaghju Phase 4		A. d'Anna		US40		
BDX22090	archéologique	Renaghju Phase 4		A. d'Anna		US40		
BDX22091	archéologique	Renaghju Phase 4		A. d'Anna		US40		
BDX22092	archéologique	Renaghju Phase 6		A. d'Anna	195	US34 L17		
BDX22093	archéologique	Renaghju Phase 6		A. d'Anna	196	US34 L17		
BDX22094	archéologique	Renaghju Phase 6		A. d'Anna	442	US33 M19		
BDX22095	archéologique	Renaghju Phase 6		A. d'Anna		US32		
BDX22096	archéologique	Renaghju Phase 6		A. d'Anna		US32		
BDX22097	archéologique	Renaghju Phase 6		A. d'Anna	7969	US243 D15		

BDX	Type	Provenance	Complément provenance	Pourvoyeur	ID Précédente	US / Info. Diverses	Latitude	Longitude
BDX22098	archéologique	Renaghju Phase 6		A. d'Anna		US247		
BDX22099	archéologique	Renaghju Phase 6		A. d'Anna		US247		
BDX22100	archéologique	Renaghju Phase 6		A. d'Anna		US247		
BDX22101	archéologique	Renaghju Phase 6		A. d'Anna		US247		
BDX22102	archéologique	Renaghju Phase 6		A. d'Anna		US247		
BDX22103	archéologique	I Stantari		A. d'Anna	1969	US380 O20		
BDX22104	archéologique	I Stantari		A. d'Anna	1872	US380 M19		
BDX22108	archéologique?	Monte Lazzu				Surface		
BDX22109	géologique	Vallée de la Gravonna	Lit de la Gravonna				42.019398	8.896035
BDX22110	géologique	Vallée de la Gravonna	Lit de la Gravonna				42.019398	8.896035
BDX22111	géologique	Vallée de la Gravonna	Lit de la Gravonna				42.019398	8.896035
BDX22112	géologique	Vallée du Fangu	Ruisseau de Perticatu				42.381416	8.753640
BDX22113	géologique	Vallée du Fangu	Lit du Fangu				42.381556	8.754212
BDX22114	géologique	Vallée du Fangu	Lit du Fangu				42.381556	8.754212
BDX22115	géologique	Vallée du Fangu	Lit du Fangu				42.381556	8.754212
BDX22116	géologique	Vallée du Fangu	Lit du Fangu				42.381556	8.754212
BDX22117	géologique	Vallée du Fangu	Lit du Fangu, pont de Galéria				42.415684	8.682728
BDX22118	géologique	Vallée du Fangu	Lit du Fangu, pont de Galéria				42.415684	8.682728
BDX22119	géologique	Vallée du Fangu	Lit du Fangu, pont de Galéria				42.415684	8.682728
BDX22120	géologique	Vallée du Fangu	Lit du Fangu, pont de Galéria				42.415684	8.682728
BDX22121	archéologique?	Sotta		K. Peche-Quilichini		ramassage de surface, nucléus	41.543694	9.192543
BDX22265	archéologique	Monti Barbatu 2018 - Chapelle		K. Peche-Quilichini		US 3009		
BDX22266	archéologique	Monti Barbatu 2018 - Chapelle		K. Peche-Quilichini		US 3009		
BDX22267	archéologique	Monti Barbatu 2018 - Structure A		K. Peche-Quilichini		Quart A - US 101		

BDX	Type	Provenance	Complément provenance	Pourvoyeur	ID Précédente	US / Info. Diverses	Latitude	Longitude
BDX222268	archéologique	Monti Barbatu 2018 - Structure A		K. Peche-Quilichini		Quart B - US 101		
BDX222269	archéologique	Monti Barbatu 2018 - Structure A		K. Peche-Quilichini		Quart C - US 101		
BDX222270	archéologique	Monti Barbatu 2018 - Structure A		K. Peche-Quilichini		Quart A - FS 112		
BDX222271	archéologique	Monti Barbatu 2018 - Structure A		K. Peche-Quilichini		Quart A - FS 112		
BDX222272	archéologique	Monti Barbatu 2018 - Structure A		K. Peche-Quilichini		Quart A - FS 112		
BDX222273	archéologique	Monti Barbatu 2018 - Structure A		K. Peche-Quilichini		Quart A - FS 112		
BDX222274	archéologique	Monti Barbatu 2018 - Dalle Dolmen		K. Peche-Quilichini		US1001		
BDX222275	archéologique	Monti Barbatu 2018 - Dalle Dolmen		K. Peche-Quilichini		US1002		
BDX222276	archéologique	Monti Barbatu 2018 - Dalle Dolmen		K. Peche-Quilichini		US1002		
BDX222277	archéologique	Monti Barbatu 2018 - Dalle Dolmen		K. Peche-Quilichini		US1002		
BDX222278	archéologique	Monti Barbatu 2018 - Dalle Dolmen		K. Peche-Quilichini		US1002		
BDX222279	archéologique	Monti Barbatu 2018 - Dalle Dolmen		K. Peche-Quilichini		US1002		
BDX222280	archéologique	Monti Barbatu 2018 - Secteur B Tranchée		K. Peche-Quilichini		US2003		
BDX222281	archéologique	Monti Barbatu 2018 - Secteur B Tranchée		K. Peche-Quilichini		US2003		
BDX222282	archéologique	Monti Barbatu 2018 - Secteur B Tranchée		K. Peche-Quilichini		US2004		
BDX222283	archéologique	Monti Barbatu 2018 - Secteur B Tranchée		K. Peche-Quilichini		US2004		

BDX	Type	Provenance	Complément provenance	Pourvoyeur	ID Précédente	US / Info. Diverses	Latitude	Longitude
BDX22284	archéologique	Monti Barbatu 2018 - Secteur B Tranchée		K. Peche-Quilichini		US2004		
BDX22285	archéologique	Monti Barbatu 2018 - Secteur B		K. Peche-Quilichini		US1002 B4		
BDX22286	archéologique	Monti Barbatu 2018 - Secteur B		K. Peche-Quilichini		US1002 C6		
BDX22287	archéologique	Monti Barbatu 2018 - Secteur B		K. Peche-Quilichini		US1002 E3		
BDX22288	archéologique	Monti Barbatu 2018 - Secteur B		K. Peche-Quilichini		US1002 E5		
BDX22289	géologique	Roccapina	Filon de Roccapina, tour génoise				41.495661	8.928854
BDX22290	géologique	Roccapina	Filon de Roccapina, tour génoise				41.495661	8.928854
BDX22291	géologique	Roccapina	Filon de Roccapina, tour génoise				41.495661	8.928854
BDX22292	géologique	Roccapina	Filon de Roccapina, tour génoise				41.495661	8.928854
BDX22293	géologique	Roccapina	Filon de Roccapina, tour génoise				41.495661	8.928854
BDX22294	géologique	Roccapina	Filon de Roccapina, tour génoise				41.495661	8.928854
BDX22295	géologique	Roccapina	Filon de Roccapina, tour génoise				41.495661	8.928854
BDX22296	géologique	Monti Barbatu	Entre Bocca di a Coppia et Bocca di a Falcunaja		Privmt 1		41.71076977	8.85657574
BDX22297	géologique	Monti Barbatu	Entre Bocca di a Coppia et Bocca di a Falcunaja		Privmt 2		41.71079657	8.85632124
BDX22298	géologique	Monti Barbatu	Entre Bocca di a Coppia et Bocca di a Falcunaja		Privmt 2.1		41.71079657	8.85632124
BDX22299	géologique	Monti Barbatu	Entre Bocca di a Coppia et Bocca di a Falcunaja		Privmt 3		41.71176661	8.85750267

BDX	Type	Provenance	Complément provenance	Pourvoyeur	ID Précédente	US / Info. Diverses	Latitude	Longitude
BDX22300	géologique	Monti Barbatu	Entre Bocca di a Coppia et Bocca di a Falcunaja		Prlvmt 4		41.71186334	8.85785604
BDX22301	géologique	Monti Barbatu	Entre Bocca di a Coppia et Bocca di a Falcunaja		Prlvmt 5		41.71229046	8.8585246
BDX22302	géologique	Monti Barbatu	Entre Bocca di a Coppia et Bocca di a Falcunaja		Prlvmt 6		41.71145938	8.85698014
BDX22303	géologique	Monti Barbatu	Entre Bocca di a Coppia et Bocca di a Falcunaja		Prlvmt 7		41.71292501	8.8625608
BDX22304	géologique	Monti Barbatu	Entre Bocca di a Coppia et Bocca di a Falcunaja		Prlvmt 8		41.71646653	8.86798742
BDX22305	géologique	Vallée de la Gravonna	Lit de la Gravonna				42.028862	8.91283
BDX22306	géologique	Vallée du Fangu	Lit du Fangu				42.381531	8.754258
BDX22307	géologique	Vallée du Fangu	Lit du Fangu				42.381531	8.754258
BDX22308	géologique	Vallée du Fangu	Lit du Fangu				42.381531	8.754258
BDX22309	géologique	Vallée du Fangu	Marsolinu				42.414435	8.691688
BDX22310	géologique	Vallée du Fangu	Marsolinu				42.414435	8.691688
BDX22311	géologique	Vallée du Fangu	Marsolinu				42.414435	8.691688
BDX22312	géologique	Vallée du Fangu	Marsolinu				42.414435	8.691688
BDX22313	géologique	Vallée du Fangu	Lit du Fangu - Pont de Galeria				42.414843	8.683603
BDX22314	géologique	Vallée du Fangu	Lit du Fangu - Pont de Galeria				42.414843	8.683603
BDX22315	géologique	Vallée du Fangu	Lit du Fangu - Pont de Galeria				42.414843	8.683603
BDX22316	géologique	Vallée du Fangu	Lit du Fangu - Pont de Galeria				42.414843	8.683603
BDX22317	géologique	Vallée du Fangu	Lit du Fangu - Pont de Galeria				42.414843	8.683603
BDX22318	géologique	Vallée du Fangu	Lit du Fangu - Pont de Galeria				42.414843	8.683603
BDX22319	géologique	Vallée du Fangu	Lit du Fangu - Pont de Galeria				42.414843	8.683603

BDX	Type	Provenance	Complément provenance	Pourvoyeur	ID Précédente	US / Info. Diverses	Latitude	Longitude
BDX22320	géologique	Vallée du Fangu	Prospé Ghjasippina, rhyo noire	G. Giannesini				
BDX22321	géologique	Vallée du Fangu	Prospé Ghjasippina, rhyo noire	G. Giannesini				
BDX22322	géologique	Vallée du Fangu	Prospé Ghjasippina, rhyo noire	G. Giannesini				
BDX22323	géologique	Vallée du Fangu	Prospé Ghjasippina, rhyo noire	G. Giannesini				
BDX22324	géologique	Vallée du Fangu	Prospé Ghjasippina, rhyo noire	G. Giannesini				
BDX22325	géologique	Vallée du Fangu	Prospé Ghjasippina, rhyo noire	G. Giannesini				
BDX22326	géologique	Vallée du Fangu	Prospé Ghjasippina, rhyo verte	G. Giannesini				
BDX22340	archéologique?	Teghja di Linu II		L. Martinet				
BDX22341	archéologique?	Teghja di Linu II		L. Martinet				
BDX22342	archéologique?	Teghja di Linu II		L. Martinet				
BDX22343	archéologique?	Teghja di Linu II		L. Martinet				
BDX22344	archéologique?	Teghja di Linu II		L. Martinet				
BDX22345	archéologique?	Teghja di Linu II		L. Martinet				
BDX22346	archéologique?	Teghja di Linu II		L. Martinet				
BDX22347	archéologique?	Teghja di Linu II		L. Martinet	n°5	US12 Sect.IV		
BDX22348	archéologique?	Teghja di Linu II		L. Martinet	n°1?	US11 C1		
BDX22349	archéologique?	Teghja di Linu II		L. Martinet	n°2	US12 A2 Sect.IV		
BDX22350	archéologique?	Teghja di Linu II		L. Martinet	n°1	US11 Sect.V		
BDX22351	archéologique?	Teghja di Linu II		L. Martinet	n°1	US12 Sect IV		
BDX22352	archéologique?	Teghja di Linu II		L. Martinet		US10 B3		
BDX22353	archéologique?	Teghja di Linu II		L. Martinet		US10 B3		
BDX22354	archéologique?	Teghja di Linu II		L. Martinet	n°47			
BDX22355	archéologique?	Teghja di Linu II		L. Martinet	n°1	remanié		
BDX22356	archéologique?	Teghja di Linu II		L. Martinet	n°4	US12 Sect.IV		

BDX	Type	Provenance	Complément provenance	Pourvoyeur	ID Précédente	US / Info. Diverses	Latitude	Longitude
BDX22357	archéologique?	Teghja di Linu II		L. Martinet	n°7	US12 C2 Sect.IV		
BDX22358	archéologique?	Teghja di Linu II		L. Martinet	n°292	US2 Sect.V		
BDX22363	archéologique	Monti Barbatu	abri sud					
BDX22364	archéologique	Monti Barbatu	au pied mur sommital SE					
BDX22370	géologique	Monte San Petru		T. Perrin			41.759548	8.994176
BDX22371	géologique	Monte San Petru		T. Perrin			41.759548	8.994176
BDX22372	géologique	Monte San Petru		T. Perrin			41.759548	8.994176
BDX22373	géologique	Monte San Petru		T. Perrin			41.759548	8.994176
BDX22374	géologique	Monte San Petru		T. Perrin			41.759548	8.994176
BDX22375	géologique	Monte San Petru		T. Perrin			41.759548	8.994176
BDX22376	géologique	Monte San Petru		T. Perrin			41.759548	8.994176
BDX22377	géologique	Monte San Petru		T. Perrin			41.759548	8.994176
BDX22752	archéologique	A Petra	Niveaux Néo. Ancien	L. Martinet	1029	Lot 2		
BDX22753	archéologique	A Petra	Niveaux Néo. Ancien	L. Martinet	1028	Lot 2		
BDX22754	archéologique	A Petra	Niveaux Néo. Ancien	L. Martinet	1030	Lot 2		
BDX22755	archéologique	A Petra	Niveaux Néo. Ancien	L. Martinet	1031	Lot 2		
BDX22756	archéologique	A Petra	Niveaux Néo. Ancien	L. Martinet	500	Lot 4		
BDX22757	archéologique	A Petra	Niveaux Néo. Ancien	L. Martinet	188	Lot 4		
BDX22758	archéologique	A Petra	Niveaux Néo. Ancien	L. Martinet	173	Lot 4		
BDX22759	archéologique	A Petra	Niveaux Néo. Ancien	L. Martinet	132	Lot 4		
BDX22760	archéologique	A Petra	Niveaux Néo. Ancien	L. Martinet	402	Lot 4		
BDX22761	archéologique	A Petra	Niveaux Néo. Ancien	L. Martinet	193	Lot 4		
BDX22762	archéologique	A Petra	Niveaux Néo. Ancien	L. Martinet	290	Lot 4		
BDX22763	archéologique	A Petra	Niveaux Néo. Ancien	L. Martinet	599	Lot 4		
BDX22764	archéologique	A Petra	Niveaux Néo. Ancien	L. Martinet	228	Lot 4		
BDX22765	archéologique	A Petra	Niveaux Néo. Ancien	L. Martinet	250	Lot 4		
BDX22766	archéologique	A Petra	Niveaux Néo. Ancien	L. Martinet	537	Lot 4		
BDX22767	archéologique	A Petra	Niveaux Néo. Ancien	L. Martinet	54	Lot 4		
BDX22768	archéologique	A Petra	Niveaux Néo. Ancien	L. Martinet	10	Lot 4		
BDX22769	archéologique	A Petra	Niveaux Néo. Ancien	L. Martinet	1	Lot 4		
BDX22770	archéologique	A Petra	Niveaux Néo. Ancien	L. Martinet	508	Lot 4		
BDX22771	archéologique	A Petra	Niveaux Néo. Ancien	L. Martinet	245	Lot 4		

BDX	Type	Provenance	Complément provenance	Pourvreur	ID Précédente	US / Info. Diverses	Latitude	Longitude
BDX22772	archéologique	A Petra	Niveaux Néo. Ancien	L. Martinet	598	Lot 4		
BDX22773	archéologique	A Petra	Niveaux Néo. Ancien	L. Martinet	122	Lot 4		
BDX22774	archéologique	A Petra	Niveaux Néo. Ancien	L. Martinet	281	Lot 4		
BDX22775	archéologique	A Petra	Niveaux Néo. Ancien	L. Martinet	322	Lot 4		
BDX22776	archéologique	A Petra	Niveaux Néo. Ancien	L. Martinet	488	Lot 4		
BDX22777	archéologique	A Petra	Niveaux Néo. Ancien	L. Martinet	151	Lot 53		
BDX22778	archéologique	A Petra	Niveaux Néo. Ancien	L. Martinet	51	Lot 53		
BDX22779	archéologique	A Petra	Niveaux Néo. Ancien	L. Martinet	159	Lot 53		
BDX22780	archéologique	A Petra	Niveaux Néo. Ancien	L. Martinet	100	Lot 53		
BDX22781	archéologique	A Petra	Niveaux Néo. Ancien	L. Martinet	163	Lot 53		
BDX22782	archéologique	A Petra	Niveaux Néo. Ancien	L. Martinet	348	Lot 53		
BDX22783	archéologique	A Petra	Niveaux Néo. Ancien	L. Martinet	1013	Lot 53		
BDX22784	archéologique	A Petra	Niveaux Néo. Ancien	L. Martinet	155	Lot 53		
BDX22785	archéologique	A Petra	Niveaux Néo. Ancien	L. Martinet	8	Lot 53		
BDX22786	archéologique	A Petra	Niveaux Néo. Ancien	L. Martinet	29	Lot 6		
BDX22787	archéologique	A Petra	Niveaux Néo. Ancien	L. Martinet	47	Lot 6		
BDX22788	archéologique	A Petra	Niveaux Néo. Ancien	L. Martinet	268	Lot 6		
BDX22789	archéologique	A Petra	Niveaux Néo. Ancien	L. Martinet	82	Lot 6		
BDX22790	archéologique	A Petra	Niveaux Néo. Ancien	L. Martinet	4	Lot 6		
BDX22791	archéologique	A Petra	Niveaux Néo. Ancien	L. Martinet	70	Lot 6		
BDX22792	archéologique	A Petra	Niveaux Néo. Ancien	L. Martinet	N.A.	Lot 6		
BDX22793	archéologique	A Petra	Niveaux Néo. Ancien	L. Martinet	69	Lot 6		
BDX22794	archéologique	A Petra	Niveaux Néo. Ancien	L. Martinet	306	Lot 6		
BDX22795	archéologique	A Petra	Niveaux Néo. Ancien	L. Martinet	303	Lot 6		
BDX22796	archéologique	A Petra	Niveaux Néo. Ancien	L. Martinet	238	Lot 6		
BDX22797	archéologique	A Petra	Niveaux Néo. Ancien	L. Martinet	68	Lot 6		
BDX22798	archéologique	A Petra	Niveaux Néo. Ancien	L. Martinet	499	Lot 6		
BDX22799	archéologique	A Petra	Niveaux Néo. Ancien	L. Martinet	383	Lot 6		
BDX22800	archéologique	A Petra	Niveaux Néo. Ancien	L. Martinet	33	Lot 6		
BDX22801	archéologique	A Petra	Niveaux Néo. Ancien	L. Martinet	62	Lot 6		
BDX22802	archéologique	A Petra	Niveaux Néo. Ancien	L. Martinet	212	Lot 6		
BDX22803	archéologique	A Petra	Niveaux Néo. Ancien	L. Martinet	272	Lot 6		
BDX22804	archéologique	A Petra	Niveaux Néo. Ancien	L. Martinet	39	Lot 6		

BDX	Type	Provenance	Complément provenance	Pourvoyeur	ID Précédente	US / Info. Diverses	Latitude	Longitude
BDX22805	archéologique	A Petra	Niveaux Néο. Ancien	L. Martinet	269	Lot 6		
BDX22806	archéologique	A Petra	Niveaux Néο. Ancien	L. Martinet	87	Lot 6		
BDX22807	archéologique	A Petra	Niveaux Néο. Ancien	L. Martinet	78	Lot 6		
BDX22808	archéologique	A Petra	Niveaux Néο. Ancien	L. Martinet	6	Lot 6		
BDX22809	archéologique	A Petra	Niveaux Néο. Ancien	L. Martinet	292	Lot 6		
BDX22810	archéologique	A Petra	Niveaux Néο. Ancien	L. Martinet	208	Lot 6		
BDX22811	archéologique	A Petra	Niveaux Néο. Ancien	L. Martinet	330	Lot 6		
BDX22812	archéologique	A Petra	Niveaux Néο. Ancien	L. Martinet	301	Lot 16b		
BDX22813	archéologique	A Petra	Niveaux Néο. Ancien	L. Martinet	343	Lot 16b		
BDX22814	archéologique	A Petra	Niveaux Néο. Ancien	L. Martinet	638	Lot 16b		
BDX22815	archéologique	A Petra	Niveaux Néο. Ancien	L. Martinet	402	Lot 16b		
BDX22816	archéologique	A Petra	Niveaux Néο. Ancien	L. Martinet	243	Lot 16b		
BDX22817	archéologique	A Petra	Niveaux Néο. Ancien	L. Martinet	298	Lot 16b		
BDX22818	archéologique	A Petra	Niveaux Néο. Ancien	L. Martinet	1008	Lot 16b		
BDX22819	archéologique	A Petra	Niveaux Néο. Ancien	L. Martinet	273	Lot 16b		
BDX22820	archéologique	A Petra	Niveaux Néο. Ancien	L. Martinet	404	Lot 16b		
BDX22821	archéologique	A Petra	Niveaux Néο. Ancien	L. Martinet	198	Lot 16b		
BDX22822	archéologique	A Petra	Niveaux Néο. Ancien	L. Martinet	474	Lot 16c		
BDX22823	archéologique	A Petra	Niveaux Néο. Ancien	L. Martinet	621	Lot 16c		
BDX22824	archéologique	A Petra	Niveaux Néο. Ancien	L. Martinet	646	Lot 16c		
BDX22825	archéologique	A Petra	Niveaux Néο. Ancien	L. Martinet	670	Lot 16c		
BDX22826	archéologique	A Petra	Niveaux Néο. Ancien	L. Martinet	597	Lot 16c		
BDX22827	archéologique	A Petra	Niveaux Néο. Ancien	L. Martinet	313	Lot 16c		
BDX22828	archéologique	A Petra	Niveaux Néο. Ancien	L. Martinet	246	Lot 16c		
BDX22829	archéologique	A Petra	Niveaux Néο. Ancien	L. Martinet	603	Lot 16d		
BDX22830	archéologique	A Petra	Niveaux Néο. Ancien	L. Martinet	558	Lot 16d		
BDX22831	archéologique	A Petra	Niveaux Néο. Ancien	L. Martinet	608	Lot 16d		
BDX22832	archéologique	A Petra	Niveaux Néο. Ancien	L. Martinet	609	Lot 16d		
BDX22833	archéologique	A Petra	Niveaux Néο. Ancien	L. Martinet	624	Lot 16d		
BDX22834	archéologique	A Petra	Niveaux Néο. Ancien	L. Martinet	273	Lot 16d		
BDX22835	archéologique	A Petra	Niveaux Néο. Ancien	L. Martinet	505	Lot 16d		
BDX22836	archéologique	A Petra	Niveaux Néο. Ancien	L. Martinet	478	Lot 16d		
BDX22837	archéologique	A Petra	Niveaux Néο. Ancien	L. Martinet	531	Lot 16d		

BDX	Type	Provenance	Complément provenance	Pourvoyeur	ID Précédente	US / Info. Diverses	Latitude	Longitude
BDX22838	archéologique	A Petra	Niveaux Néo. Ancien	L. Martinet	347	Lot 16d		
BDX22839	archéologique	A Petra	Niveaux Néo. Ancien	L. Martinet	981	Lot 25		
BDX22840	archéologique	A Petra	Niveaux Néo. Ancien	L. Martinet	417	Lot 25		
BDX22841	archéologique	A Petra	Niveaux Néo. Ancien	L. Martinet	959	Lot 25		
BDX22842	archéologique	A Petra	Niveaux Néo. Ancien	L. Martinet	483	Lot 25		
BDX22843	archéologique	A Petra	Niveaux Néo. Ancien	L. Martinet	480b	Lot 25		
BDX22844	archéologique	A Petra	Niveaux Néo. Ancien	L. Martinet	962	Lot 25		
BDX22845	archéologique	A Petra	Niveaux Néo. Ancien	L. Martinet	181	Lot 53		
BDX22846	archéologique	A Petra	Niveaux Néo. Ancien	L. Martinet	323	Lot 16b		
BDX22847	géologique	Monti Barbatu	Route d'accès, épinglé à cheveux	Annette Palmade				
BDX22979	archéologique	Abri des Castelli		Laurianne Martinet				
BDX22980	archéologique	Abri des Castelli		Laurianne Martinet				
BDX22981	archéologique	Abri des Castelli		Laurianne Martinet				
BDX22982	archéologique	Abri des Castelli		Laurianne Martinet				
BDX22983	archéologique	Abri des Castelli		Laurianne Martinet				
BDX22984	archéologique	Abri des Castelli		Laurianne Martinet				
BDX22985	archéologique	Abri des Castelli		Laurianne Martinet				
BDX22986	archéologique	Abri des Castelli		Laurianne Martinet				
BDX23087	géologique	Vallée du Fangu	Bocca a u Ghineparu				42.45832026	8.75848478
BDX23088	géologique	Vallée du Fangu	Bocca a u Ghineparu				42.45832026	8.75848478
BDX23089	géologique	Vallée du Fangu	Gué San Quilicu			Expé Vincent Lascour		
BDX23090	géologique	Vallée du Fangu	Gué San Quilicu			Expé Vincent Lascour		
BDX23094	archéologique	I Casteddi, Tavera		H. Paolini-Saez		Mal identifié obsidienne		
BDX23094	archéologique	I Casteddi, Tavera		H. Paolini-Saez		Mal identifié obsidienne		
BDX23168	archéologique	I Casteddi, Tavera		H. Paolini-Saez		Mal identifié obsidienne		
BDX23168	archéologique	I Casteddi, Tavera		H. Paolini-Saez		Mal identifié obsidienne		

BDX	Type	Provenance	Complément provenance	Pourvoyeur	ID Précédente	US / Info. Diverses	Latitude	Longitude
BDX23213	archéologique	I Casteddi, Tavera		H. Paolini-Saez		Mal identifié obsidienne		
BDX23223	archéologique	I Casteddi, Tavera		H. Paolini-Saez		Mal identifié obsidienne		
BDX23229	archéologique	I Casteddi, Tavera		H. Paolini-Saez		Mal identifié obsidienne		
BDX23241	archéologique	I Casteddi, Tavera		H. Paolini-Saez		Mal identifié obsidienne		
BDX23241	archéologique	I Casteddi, Tavera		H. Paolini-Saez		Mal identifié obsidienne		
BDX23268	archéologique	I Casteddi, Tavera		H. Paolini-Saez		Mal identifié obsidienne		
BDX23279	archéologique	I Casteddi, Tavera		H. Paolini-Saez		Mal identifié obsidienne		
BDX23281	archéologique	I Casteddi, Tavera	2014	H. Paolini-Saez		302		
BDX23282	archéologique	I Casteddi, Tavera	2014	H. Paolini-Saez		303		
BDX23283	archéologique	I Casteddi, Tavera	2014	H. Paolini-Saez		304		
BDX23284	archéologique	I Casteddi, Tavera	2014	H. Paolini-Saez		305		
BDX23285	archéologique	I Casteddi, Tavera	2014	H. Paolini-Saez		310		
BDX23286	archéologique	I Casteddi, Tavera	2015	H. Paolini-Saez		HS		
BDX23287	archéologique	I Casteddi, Tavera	2015	H. Paolini-Saez		303 B5		
BDX23288	archéologique	I Casteddi, Tavera	2015	H. Paolini-Saez		303 B5		
BDX23289	archéologique	I Casteddi, Tavera	2015	H. Paolini-Saez		303 B5		
BDX23290	archéologique	I Casteddi, Tavera	2015	H. Paolini-Saez		303 B5		
BDX23291	archéologique	I Casteddi, Tavera	2015	H. Paolini-Saez		303 C6		
BDX23292	archéologique	I Casteddi, Tavera	2015	H. Paolini-Saez		303 C4		
BDX23293	archéologique	I Casteddi, Tavera	2015	H. Paolini-Saez		303 C4		
BDX23294	archéologique	I Casteddi, Tavera	2015	H. Paolini-Saez		303 C4		
BDX23295	archéologique	I Casteddi, Tavera	2015	H. Paolini-Saez		303 D3		
BDX23296	archéologique	I Casteddi, Tavera	2015	H. Paolini-Saez		303 D3		
BDX23297	archéologique	I Casteddi, Tavera	2015	H. Paolini-Saez		303 D3		
BDX23298	archéologique	I Casteddi, Tavera	2015	H. Paolini-Saez		303 D3		
BDX23299	archéologique	I Casteddi, Tavera	2015	H. Paolini-Saez		303 D4		

BDX	Type	Provenance	Complément provenance	Pourvoveur	ID Précédente	US / Info. Diverses	Latitude	Longitude
BDX23300	archéologique	I Casteddi, Tavera	2015	H. Paolini-Saez		303 D4		
BDX23301	archéologique	I Casteddi, Tavera	2015	H. Paolini-Saez		303 D4		
BDX23302	archéologique	I Casteddi, Tavera	2015	H. Paolini-Saez		303 D4		
BDX23303	archéologique	I Casteddi, Tavera	2015	H. Paolini-Saez		303 D4		
BDX23304	archéologique	I Casteddi, Tavera	2015	H. Paolini-Saez		303 D4		
BDX23305	archéologique	I Casteddi, Tavera	2015	H. Paolini-Saez		303 E3		
BDX23306	archéologique	I Casteddi, Tavera	2015	H. Paolini-Saez		303 E3		
BDX23307	archéologique	I Casteddi, Tavera	2015	H. Paolini-Saez		303 E3		
BDX23308	archéologique	I Casteddi, Tavera	2015	H. Paolini-Saez		303 E3		
BDX23309	archéologique	I Casteddi, Tavera	2015	H. Paolini-Saez		303 E3		
BDX23310	archéologique	I Casteddi, Tavera	2015	H. Paolini-Saez		303 E3		
BDX23311	archéologique	I Casteddi, Tavera	2015	H. Paolini-Saez		303 E3		
BDX23312	archéologique	I Casteddi, Tavera	2015	H. Paolini-Saez		303 E4		
BDX23313	archéologique	I Casteddi, Tavera	2015	H. Paolini-Saez		303 E4		
BDX23314	archéologique	I Casteddi, Tavera	2015	H. Paolini-Saez		303 E4		
BDX23315	archéologique	I Casteddi, Tavera	2015	H. Paolini-Saez		303 E4		
BDX23316	archéologique	I Casteddi, Tavera	2015	H. Paolini-Saez		303 E4		
BDX23317	archéologique	I Casteddi, Tavera	2015	H. Paolini-Saez		303 E4		
BDX23318	archéologique	I Casteddi, Tavera	2015	H. Paolini-Saez		303 I5		
BDX23319	archéologique	I Casteddi, Tavera	2015	H. Paolini-Saez		305 C6		
BDX23320	archéologique	I Casteddi, Tavera	2015	H. Paolini-Saez		305 C6		
BDX23321	archéologique	I Casteddi, Tavera	2015	H. Paolini-Saez		313		
BDX23322	archéologique	I Casteddi, Tavera	2015	H. Paolini-Saez		313		
BDX23323	archéologique	I Casteddi, Tavera	2015	H. Paolini-Saez		313		
BDX23324	archéologique	I Casteddi, Tavera	2015	H. Paolini-Saez		317 C6		
BDX23325	archéologique	I Casteddi, Tavera	2015	H. Paolini-Saez		317 C6		
BDX23326	archéologique	I Casteddi, Tavera	2015	H. Paolini-Saez		317 C6		
BDX23327	archéologique	I Casteddi, Tavera	2015	H. Paolini-Saez		317 C6		
BDX23328	archéologique	I Casteddi, Tavera	2015	H. Paolini-Saez		317 C6		
BDX23329	archéologique	I Casteddi, Tavera	2015	H. Paolini-Saez		317 C6		
BDX23330	archéologique	I Casteddi, Tavera	2015	H. Paolini-Saez		317 C6		
BDX23331	archéologique	I Casteddi, Tavera	2015	H. Paolini-Saez		318 C7		
BDX23332	archéologique	I Casteddi, Tavera	2015	H. Paolini-Saez		318 C7		

BDX	Type	Provenance	Complément provenance	Pourvoyeur	ID Précédente	US / Info. Diverses	Latitude	Longitude
BDX23333	archéologique	I Casteddi, Tavera	2015	H. Paolini-Saez		318 C7		
BDX23334	archéologique	I Casteddi, Tavera	2015	H. Paolini-Saez		318 C7		
BDX23335	archéologique	I Casteddi, Tavera	2015	H. Paolini-Saez		318 C7		
BDX23336	archéologique	I Casteddi, Tavera	2015	H. Paolini-Saez		318 C7		
BDX23337	archéologique	I Casteddi, Tavera	2016	H. Paolini-Saez		HS		
BDX23338	archéologique	I Casteddi, Tavera	2016	H. Paolini-Saez		HS		
BDX23339	archéologique	I Casteddi, Tavera	2016	H. Paolini-Saez		HS		
BDX23340	archéologique	I Casteddi, Tavera	2016	H. Paolini-Saez		HS		
BDX23341	archéologique	I Casteddi, Tavera	2016	H. Paolini-Saez		HS		
BDX23342	archéologique	I Casteddi, Tavera	2016	H. Paolini-Saez		HS		
BDX23343	archéologique	I Casteddi, Tavera	2016	H. Paolini-Saez		HS		
BDX23344	archéologique	I Casteddi, Tavera	2016	H. Paolini-Saez		HS		
BDX23345	archéologique	I Casteddi, Tavera	2016	H. Paolini-Saez		HS		
BDX23346	archéologique	I Casteddi, Tavera	2016	H. Paolini-Saez		HS		
BDX23347	archéologique	I Casteddi, Tavera	2016	H. Paolini-Saez		HS		
BDX23348	archéologique	I Casteddi, Tavera	2016	H. Paolini-Saez		HS		
BDX23349	archéologique	I Casteddi, Tavera	2016	H. Paolini-Saez		HS		
BDX23350	archéologique	I Casteddi, Tavera	2016	H. Paolini-Saez		HS		
BDX23351	archéologique	I Casteddi, Tavera	2016	H. Paolini-Saez		HS		
BDX23352	archéologique	I Casteddi, Tavera	2016	H. Paolini-Saez		HS		
BDX23353	archéologique	I Casteddi, Tavera	2016	H. Paolini-Saez		HS		
BDX23354	archéologique	I Casteddi, Tavera	2016	H. Paolini-Saez		HS		
BDX23355	archéologique	I Casteddi, Tavera	2016	H. Paolini-Saez		HS		
BDX23356	archéologique	I Casteddi, Tavera	2016	H. Paolini-Saez		HS		
BDX23357	archéologique	I Casteddi, Tavera	2016	H. Paolini-Saez		HS		
BDX23358	archéologique	I Casteddi, Tavera	2016	H. Paolini-Saez		HS		
BDX23359	archéologique	I Casteddi, Tavera	2016	H. Paolini-Saez		HS		
BDX23360	archéologique	I Casteddi, Tavera	2016	H. Paolini-Saez		HS		
BDX23361	archéologique	I Casteddi, Tavera	2016	H. Paolini-Saez		HS		
BDX23362	archéologique	I Casteddi, Tavera	2016	H. Paolini-Saez		HS		
BDX23363	archéologique	I Casteddi, Tavera	2016	H. Paolini-Saez		HS		
BDX23364	archéologique	I Casteddi, Tavera	2016	H. Paolini-Saez		HS		
BDX23365	archéologique	I Casteddi, Tavera	2016	H. Paolini-Saez		HS		

BDX	Type	Provenance	Complément provenance	Pourvoyeur	ID Précédente	US / Info. Diverses	Latitude	Longitude
BDX23366	archéologique	I Casteddi, Tavera	2016	H. Paolini-Saez		HS		
BDX23367	archéologique	I Casteddi, Tavera	2016	H. Paolini-Saez		HS		
BDX23368	archéologique	I Casteddi, Tavera	2016	H. Paolini-Saez		HS		
BDX23369	archéologique	I Casteddi, Tavera	2016	H. Paolini-Saez		HS		
BDX23370	archéologique	I Casteddi, Tavera	2016	H. Paolini-Saez		305		
BDX23371	archéologique	I Casteddi, Tavera	2016	H. Paolini-Saez		305		
BDX23372	archéologique	I Casteddi, Tavera	2016	H. Paolini-Saez		305		
BDX23373	archéologique	I Casteddi, Tavera	2016	H. Paolini-Saez		305		
BDX23374	archéologique	I Casteddi, Tavera	2016	H. Paolini-Saez		305		
BDX23375	archéologique	I Casteddi, Tavera	2016	H. Paolini-Saez		305		
BDX23376	archéologique	I Casteddi, Tavera	2016	H. Paolini-Saez		305		
BDX23377	archéologique	I Casteddi, Tavera	2016	H. Paolini-Saez		305		
BDX23378	archéologique	I Casteddi, Tavera	2016	H. Paolini-Saez		305		
BDX23379	archéologique	I Casteddi, Tavera	2016	H. Paolini-Saez		305		
BDX23380	archéologique	I Casteddi, Tavera	2016	H. Paolini-Saez		305		
BDX23381	archéologique	I Casteddi, Tavera	2016	H. Paolini-Saez		305		
BDX23382	archéologique	I Casteddi, Tavera	2016	H. Paolini-Saez		305		
BDX23383	archéologique	I Casteddi, Tavera	2016	H. Paolini-Saez		305		
BDX23384	archéologique	I Casteddi, Tavera	2016	H. Paolini-Saez		305		
BDX23385	archéologique	I Casteddi, Tavera	2016	H. Paolini-Saez		305		
BDX23386	archéologique	I Casteddi, Tavera	2016	H. Paolini-Saez		305		
BDX23387	archéologique	I Casteddi, Tavera	2016	H. Paolini-Saez		305		
BDX23388	archéologique	I Casteddi, Tavera	2016	H. Paolini-Saez		305		
BDX23389	archéologique	I Casteddi, Tavera	2016	H. Paolini-Saez		305		
BDX23390	archéologique	I Casteddi, Tavera	2016	H. Paolini-Saez		305		
BDX23391	archéologique	I Casteddi, Tavera	2016	H. Paolini-Saez		305		
BDX23392	archéologique	I Casteddi, Tavera	2016	H. Paolini-Saez		305		
BDX23393	archéologique	I Casteddi, Tavera	2016	H. Paolini-Saez		305		
BDX23394	archéologique	I Casteddi, Tavera	2016	H. Paolini-Saez		305		
BDX23395	archéologique	I Casteddi, Tavera	2016	H. Paolini-Saez		305		
BDX23396	archéologique	I Casteddi, Tavera	2016	H. Paolini-Saez		305		
BDX23397	archéologique	I Casteddi, Tavera	2016	H. Paolini-Saez		305		
BDX23398	archéologique	I Casteddi, Tavera	2016	H. Paolini-Saez		305		

BDX	Type	Provenance	Complément provenance	Pourvoyeur	ID Précédente	US / Info. Diverses	Latitude	Longitude
BDX23399	archéologique	I Casteddi, Tavera	2016	H. Paolini-Saez		305		
BDX23400	archéologique	I Casteddi, Tavera	2016	H. Paolini-Saez		305		
BDX23401	archéologique	I Casteddi, Tavera	2016	H. Paolini-Saez		305		
BDX23402	archéologique	I Casteddi, Tavera	2016	H. Paolini-Saez		305		
BDX23403	archéologique	I Casteddi, Tavera	2016	H. Paolini-Saez		305		
BDX23404	archéologique	I Casteddi, Tavera	2016	H. Paolini-Saez		305		
BDX23405	archéologique	I Casteddi, Tavera	2016	H. Paolini-Saez		305		
BDX23406	archéologique	I Casteddi, Tavera	2016	H. Paolini-Saez		305		
BDX23407	archéologique	I Casteddi, Tavera	2016	H. Paolini-Saez		322 F5		
BDX23408	archéologique	I Casteddi, Tavera	2016	H. Paolini-Saez		322 F5		
BDX23409	archéologique	I Casteddi, Tavera	2016	H. Paolini-Saez		322 F5		
BDX23410	archéologique	I Casteddi, Tavera	2016	H. Paolini-Saez		322 F5		
BDX23411	archéologique	I Casteddi, Tavera	2016	H. Paolini-Saez		322 F5		
BDX23412	archéologique	I Casteddi, Tavera	2016	H. Paolini-Saez		322 F5		
BDX23413	archéologique	I Casteddi, Tavera	2016	H. Paolini-Saez		322 F5		
BDX23414	archéologique	I Casteddi, Tavera	2016	H. Paolini-Saez		322 F5		
BDX23415	archéologique	I Casteddi, Tavera	2016	H. Paolini-Saez		322 F5		
BDX23416	archéologique	I Casteddi, Tavera	2016	H. Paolini-Saez		322 F5		
BDX23417	archéologique	I Casteddi, Tavera	2016	H. Paolini-Saez		322 F5		
BDX23418	archéologique	I Casteddi, Tavera	2016	H. Paolini-Saez		322 F5		
BDX23419	archéologique	I Casteddi, Tavera	2016	H. Paolini-Saez		322 F5		
BDX23420	archéologique	I Casteddi, Tavera	2016	H. Paolini-Saez		322 F5		
BDX23421	archéologique	I Casteddi, Tavera	2016	H. Paolini-Saez		322 F5		
BDX23422	archéologique	I Casteddi, Tavera	2016	H. Paolini-Saez		302		
BDX23423	archéologique	I Casteddi, Tavera	2016	H. Paolini-Saez		302		
BDX23424	archéologique	I Casteddi, Tavera	2016	H. Paolini-Saez		302		
BDX23425	archéologique	I Casteddi, Tavera	2016	H. Paolini-Saez		302		
BDX23426	archéologique	I Casteddi, Tavera	2016	H. Paolini-Saez		302		
BDX23427	archéologique	I Casteddi, Tavera	2016	H. Paolini-Saez		302		
BDX23428	archéologique	I Casteddi, Tavera	2016	H. Paolini-Saez		302		
BDX23429	archéologique	I Casteddi, Tavera	2016	H. Paolini-Saez		302		
BDX23430	archéologique	I Casteddi, Tavera	2016	H. Paolini-Saez		302		
BDX23431	archéologique	I Casteddi, Tavera	2016	H. Paolini-Saez		302		

BDX	Type	Provenance	Complément provenance	Pourvoyeur	ID Précédente	US / Info. Diverses	Latitude	Longitude
BDX23432	archéologique	I Casteddi, Tavera	2016	H. Paolini-Saez		302		
BDX23433	archéologique	I Casteddi, Tavera	2016	H. Paolini-Saez		302		
BDX23434	archéologique	I Casteddi, Tavera	2016	H. Paolini-Saez		302		
BDX23435	archéologique	I Casteddi, Tavera	2016	H. Paolini-Saez		302		
BDX23436	archéologique	I Casteddi, Tavera	2016	H. Paolini-Saez		302		
BDX23437	archéologique	I Casteddi, Tavera	2016	H. Paolini-Saez		302		
BDX23438	archéologique	I Casteddi, Tavera	2016	H. Paolini-Saez		302		
BDX23439	archéologique	I Casteddi, Tavera	2016	H. Paolini-Saez		302		
BDX23440	archéologique	I Casteddi, Tavera	2016	H. Paolini-Saez		302		
BDX23441	archéologique	I Casteddi, Tavera	2016	H. Paolini-Saez		302		
BDX23442	archéologique	I Casteddi, Tavera	2016	H. Paolini-Saez		302		
BDX23443	archéologique	I Casteddi, Tavera	2016	H. Paolini-Saez		302		
BDX23444	archéologique	I Casteddi, Tavera	2016	H. Paolini-Saez		302		
BDX23445	archéologique	I Casteddi, Tavera	2016	H. Paolini-Saez		302		
BDX23446	archéologique	I Casteddi, Tavera	2016	H. Paolini-Saez		302		
BDX23447	archéologique	I Casteddi, Tavera	2016	H. Paolini-Saez		302		
BDX23448	archéologique	I Casteddi, Tavera	2016	H. Paolini-Saez		302		
BDX23449	archéologique	I Casteddi, Tavera	2016	H. Paolini-Saez		303		
BDX23450	archéologique	I Casteddi, Tavera	2016	H. Paolini-Saez		303		
BDX23451	archéologique	I Casteddi, Tavera	2016	H. Paolini-Saez		303		
BDX23452	archéologique	I Casteddi, Tavera	2016	H. Paolini-Saez		303		
BDX23453	archéologique	I Casteddi, Tavera	2016	H. Paolini-Saez		303		
BDX23454	archéologique	I Casteddi, Tavera	2016	H. Paolini-Saez		303		
BDX23455	archéologique	I Casteddi, Tavera	2016	H. Paolini-Saez		303		
BDX23456	archéologique	I Casteddi, Tavera	2016	H. Paolini-Saez		303		
BDX23457	archéologique	I Casteddi, Tavera	2016	H. Paolini-Saez		303		
BDX23458	archéologique	I Casteddi, Tavera	2016	H. Paolini-Saez		303		
BDX23459	archéologique	I Casteddi, Tavera	2016	H. Paolini-Saez		303		
BDX23460	archéologique	I Casteddi, Tavera	2016	H. Paolini-Saez		303		
BDX23461	archéologique	I Casteddi, Tavera	2016	H. Paolini-Saez		303		
BDX23462	archéologique	I Casteddi, Tavera	2016	H. Paolini-Saez		303		
BDX23463	archéologique	I Casteddi, Tavera	2016	H. Paolini-Saez		303		
BDX23464	archéologique	I Casteddi, Tavera	2016	H. Paolini-Saez		303		

BDX	Type	Provenance	Complément provenance	Pourvoyeur	ID Précédente	US / Info. Diverses	Latitude	Longitude
BDX23465	archéologique	I Casteddi, Tavera	2016	H. Paolini-Saez		303		
BDX23466	archéologique	I Casteddi, Tavera	2016	H. Paolini-Saez		303		
BDX23467	archéologique	I Casteddi, Tavera	2016	H. Paolini-Saez		303		
BDX23468	archéologique	I Casteddi, Tavera	2016	H. Paolini-Saez		303		
BDX23469	archéologique	I Casteddi, Tavera	2016	H. Paolini-Saez		303		
BDX23470	archéologique	I Casteddi, Tavera	2016	H. Paolini-Saez		303		
BDX23471	archéologique	I Casteddi, Tavera	2016	H. Paolini-Saez		303		
BDX23472	archéologique	I Casteddi, Tavera	2016	H. Paolini-Saez		303		
BDX23473	archéologique	I Casteddi, Tavera	2016	H. Paolini-Saez		303		
BDX23474	archéologique	I Casteddi, Tavera	2016	H. Paolini-Saez		303		
BDX23475	archéologique	I Casteddi, Tavera	2016	H. Paolini-Saez		303		
BDX23476	archéologique	I Casteddi, Tavera	2016	H. Paolini-Saez		303		
BDX23477	archéologique	I Casteddi, Tavera	2016	H. Paolini-Saez		303		
BDX23478	archéologique	I Casteddi, Tavera	2016	H. Paolini-Saez		303		
BDX23479	archéologique	I Casteddi, Tavera	2016	H. Paolini-Saez		303		
BDX23480	archéologique	I Casteddi, Tavera	2016	H. Paolini-Saez		303		
BDX23481	archéologique	I Casteddi, Tavera	2016	H. Paolini-Saez		303		
BDX23482	archéologique	I Casteddi, Tavera	2016	H. Paolini-Saez		303		
BDX23483	archéologique	I Casteddi, Tavera	2016	H. Paolini-Saez		303		
BDX23484	archéologique	I Casteddi, Tavera	2016	H. Paolini-Saez		303		
BDX23485	archéologique	I Casteddi, Tavera	2016	H. Paolini-Saez		303		
BDX23486	archéologique	I Casteddi, Tavera	2016	H. Paolini-Saez		303		
BDX23487	archéologique	I Casteddi, Tavera	2016	H. Paolini-Saez		303		
BDX23488	archéologique	I Casteddi, Tavera	2016	H. Paolini-Saez		303		
BDX23489	archéologique	I Casteddi, Tavera	2016	H. Paolini-Saez		303		
BDX23490	archéologique	I Casteddi, Tavera	2016	H. Paolini-Saez		303		
BDX23491	archéologique	I Casteddi, Tavera	2016	H. Paolini-Saez		303		
BDX23492	archéologique	I Casteddi, Tavera	2016	H. Paolini-Saez		303		
BDX23493	archéologique	I Casteddi, Tavera	2016	H. Paolini-Saez		303		
BDX23494	archéologique	I Casteddi, Tavera	2016	H. Paolini-Saez		303		
BDX23495	archéologique	I Casteddi, Tavera	2016	H. Paolini-Saez		303		
BDX23496	archéologique	I Casteddi, Tavera	2016	H. Paolini-Saez		303		
BDX23497	archéologique	I Casteddi, Tavera	2016	H. Paolini-Saez		305		

BDX	Type	Provenance	Complément provenance	Pourvoveur	ID Précédente	US / Info. Diverses	Latitude	Longitude
BDX23498	archéologique	I Casteddi, Tavera	2016	H. Paolini-Saez		305		
BDX23499	archéologique	I Casteddi, Tavera	2016	H. Paolini-Saez		305		
BDX23500	archéologique	I Casteddi, Tavera	2016	H. Paolini-Saez		312		
BDX23501	archéologique	I Casteddi, Tavera	2016	H. Paolini-Saez		312		
BDX23502	archéologique	I Casteddi, Tavera	2016	H. Paolini-Saez		313		
BDX23503	archéologique	I Casteddi, Tavera	2016	H. Paolini-Saez		313		
BDX23504	archéologique	I Casteddi, Tavera	2016	H. Paolini-Saez		313		
BDX23505	archéologique	I Casteddi, Tavera	2016	H. Paolini-Saez		315		
BDX23506	archéologique	I Casteddi, Tavera	2016	H. Paolini-Saez		319		
BDX23507	archéologique	I Casteddi, Tavera	2016	H. Paolini-Saez		317		
BDX23508	archéologique	I Casteddi, Tavera	2016	H. Paolini-Saez		317		
BDX23509	archéologique	I Casteddi, Tavera	2016	H. Paolini-Saez		317		
BDX23510	archéologique	I Casteddi, Tavera	2016	H. Paolini-Saez		327		
BDX23511	archéologique	I Casteddi, Tavera	2016	H. Paolini-Saez		327		
BDX23512	archéologique	I Casteddi, Tavera	2016	H. Paolini-Saez		327		
BDX23513	archéologique	I Casteddi, Tavera	2016	H. Paolini-Saez		331		
BDX23514	archéologique	I Casteddi, Tavera	2016	H. Paolini-Saez		332		
BDX23515	archéologique	I Casteddi, Tavera	2016	H. Paolini-Saez		332		
BDX23516	archéologique	I Casteddi, Tavera	2016	H. Paolini-Saez		332		
BDX23517	archéologique	I Casteddi, Tavera	2016	H. Paolini-Saez		332		
BDX23518	archéologique	I Casteddi, Tavera	2016	H. Paolini-Saez		333		
BDX23519	archéologique	I Casteddi, Tavera	2016	H. Paolini-Saez		333		
BDX23520	archéologique	I Casteddi, Tavera	2016	H. Paolini-Saez		336-339		
BDX23521	archéologique	I Casteddi, Tavera	2016	H. Paolini-Saez		341		
BDX23522	archéologique	I Casteddi, Tavera	2016	H. Paolini-Saez		341		
BDX23523	archéologique	I Casteddi, Tavera	2016	H. Paolini-Saez		101		
BDX23524	archéologique	I Casteddi, Tavera	2016	H. Paolini-Saez		HS		
BDX23525	archéologique	I Casteddi, Tavera	2016	H. Paolini-Saez		305		
BDX23526	archéologique	I Casteddi, Tavera	2015	H. Paolini-Saez		301		
BDX23527	archéologique	I Casteddi, Tavera	2017	H. Paolini-Saez		102		
BDX23528	archéologique	I Casteddi, Tavera	2017	H. Paolini-Saez		301		
BDX23529	archéologique	I Casteddi, Tavera	2017	H. Paolini-Saez		302		
BDX23530	archéologique	I Casteddi, Tavera	2017	H. Paolini-Saez		302		

BDX	Type	Provenance	Complément provenance	Pourvoyeur	ID Précédente	US / Info. Diverses	Latitude	Longitude
BDX23531	archéologique	I Casteddi, Tavera	2017	H. Paolini-Saez		302		
BDX23532	archéologique	I Casteddi, Tavera	2017	H. Paolini-Saez		302		
BDX23533	archéologique	I Casteddi, Tavera	2017	H. Paolini-Saez		302		
BDX23534	archéologique	I Casteddi, Tavera	2017	H. Paolini-Saez		302		
BDX23535	archéologique	I Casteddi, Tavera	2017	H. Paolini-Saez		302		
BDX23536	archéologique	I Casteddi, Tavera	2017	H. Paolini-Saez		303		
BDX23537	archéologique	I Casteddi, Tavera	2017	H. Paolini-Saez		303		
BDX23538	archéologique	I Casteddi, Tavera	2017	H. Paolini-Saez		303		
BDX23539	archéologique	I Casteddi, Tavera	2017	H. Paolini-Saez		303		
BDX23540	archéologique	I Casteddi, Tavera	2017	H. Paolini-Saez		303		
BDX23541	archéologique	I Casteddi, Tavera	2017	H. Paolini-Saez		305		
BDX23542	archéologique	I Casteddi, Tavera	2017	H. Paolini-Saez		305		
BDX23543	archéologique	I Casteddi, Tavera	2017	H. Paolini-Saez		305		
BDX23544	archéologique	I Casteddi, Tavera	2017	H. Paolini-Saez		305		
BDX23545	archéologique	I Casteddi, Tavera	2017	H. Paolini-Saez		305		
BDX23546	archéologique	I Casteddi, Tavera	2017	H. Paolini-Saez		305		
BDX23547	archéologique	I Casteddi, Tavera	2017	H. Paolini-Saez		305		
BDX23548	archéologique	I Casteddi, Tavera	2017	H. Paolini-Saez		305		
BDX23549	archéologique	I Casteddi, Tavera	2017	H. Paolini-Saez		305		
BDX23550	archéologique	I Casteddi, Tavera	2017	H. Paolini-Saez		305		
BDX23551	archéologique	I Casteddi, Tavera	2017	H. Paolini-Saez		305		
BDX23552	archéologique	I Casteddi, Tavera	2017	H. Paolini-Saez		305		
BDX23553	archéologique	I Casteddi, Tavera	2017	H. Paolini-Saez		305		
BDX23554	archéologique	I Casteddi, Tavera	2017	H. Paolini-Saez		305		
BDX23555	archéologique	I Casteddi, Tavera	2017	H. Paolini-Saez		305		
BDX23556	archéologique	I Casteddi, Tavera	2017	H. Paolini-Saez		305		
BDX23557	archéologique	I Casteddi, Tavera	2017	H. Paolini-Saez		305		
BDX23558	archéologique	I Casteddi, Tavera	2017	H. Paolini-Saez		305		
BDX23559	archéologique	I Casteddi, Tavera	2017	H. Paolini-Saez		305		
BDX23560	archéologique	I Casteddi, Tavera	2017	H. Paolini-Saez		305		
BDX23561	archéologique	I Casteddi, Tavera	2017	H. Paolini-Saez		305		
BDX23562	archéologique	I Casteddi, Tavera	2017	H. Paolini-Saez		305		
BDX23563	archéologique	I Casteddi, Tavera	2017	H. Paolini-Saez		305		

BDX	Type	Provenance	Complément provenance	Pourvoyeur	ID Précédente	US / Info. Diverses	Latitude	Longitude
BDX23564	archéologique	I Casteddi, Tavera	2017	H. Paolini-Saez		305		
BDX23565	archéologique	I Casteddi, Tavera	2017	H. Paolini-Saez		305		
BDX23566	archéologique	I Casteddi, Tavera	2017	H. Paolini-Saez		305		
BDX23567	archéologique	I Casteddi, Tavera	2017	H. Paolini-Saez		305		
BDX23568	archéologique	I Casteddi, Tavera	2017	H. Paolini-Saez		305		
BDX23569	archéologique	I Casteddi, Tavera	2017	H. Paolini-Saez		305		
BDX23570	archéologique	I Casteddi, Tavera	2017	H. Paolini-Saez		305		
BDX23571	archéologique	I Casteddi, Tavera	2017	H. Paolini-Saez		305		
BDX23572	archéologique	I Casteddi, Tavera	2017	H. Paolini-Saez		305		
BDX23573	archéologique	I Casteddi, Tavera	2017	H. Paolini-Saez		305		
BDX23574	archéologique	I Casteddi, Tavera	2017	H. Paolini-Saez		305		
BDX23575	archéologique	I Casteddi, Tavera	2016	H. Paolini-Saez		305		
BDX23576	archéologique	I Casteddi, Tavera	2017	H. Paolini-Saez		317		
BDX23577	archéologique	I Casteddi, Tavera	2017	H. Paolini-Saez		317		
BDX23578	archéologique	I Casteddi, Tavera	2017	H. Paolini-Saez		317		
BDX23579	archéologique	I Casteddi, Tavera	2017	H. Paolini-Saez		317		
BDX23580	archéologique	I Casteddi, Tavera	2017	H. Paolini-Saez		337		
BDX23581	archéologique	I Casteddi, Tavera	2017	H. Paolini-Saez		337		
BDX23582	archéologique	I Casteddi, Tavera	2017	H. Paolini-Saez		331		
BDX23583	archéologique	I Casteddi, Tavera	2017	H. Paolini-Saez		331		
BDX23584	archéologique	I Casteddi, Tavera	2017	H. Paolini-Saez		331		
BDX23585	archéologique	I Casteddi, Tavera	2017	H. Paolini-Saez		331		
BDX23586	archéologique	I Casteddi, Tavera	2017	H. Paolini-Saez		331		
BDX23587	archéologique	I Casteddi, Tavera	2017	H. Paolini-Saez		331		
BDX23588	archéologique	I Casteddi, Tavera	2017	H. Paolini-Saez		331		
BDX23589	archéologique	I Casteddi, Tavera	2017	H. Paolini-Saez		331		
BDX23590	archéologique	I Casteddi, Tavera	2017	H. Paolini-Saez		331		
BDX23591	archéologique	I Casteddi, Tavera	2017	H. Paolini-Saez		364		
BDX23592	archéologique	I Casteddi, Tavera	2017	H. Paolini-Saez		345		
BDX23593	archéologique	I Casteddi, Tavera	2017	H. Paolini-Saez		379		
BDX23594	archéologique	I Casteddi, Tavera	2017	H. Paolini-Saez		350		
BDX23595	archéologique	I Casteddi, Tavera	2017	H. Paolini-Saez		350		
BDX23596	archéologique	I Casteddi, Tavera	2017	H. Paolini-Saez		350		

BDX	Type	Provenance	Complément provenance	Pourvoyeur	ID Précédente	US / Info. Diverses	Latitude	Longitude
BDX23597	archéologique	I Casteddi, Tavera	2017	H. Paolini-Saez		350		
BDX23598	archéologique	I Casteddi, Tavera	2017	H. Paolini-Saez		350		
BDX23599	archéologique	I Casteddi, Tavera	2017	H. Paolini-Saez		350		
BDX23600	archéologique	I Casteddi, Tavera	2017	H. Paolini-Saez		350		
BDX23601	archéologique	I Casteddi, Tavera	2017	H. Paolini-Saez		382		
BDX23602	archéologique	I Casteddi, Tavera	2017	H. Paolini-Saez		HS		
BDX23603	archéologique	I Casteddi, Tavera	2017	H. Paolini-Saez		381		
BDX23604	archéologique	I Casteddi, Tavera	2017	H. Paolini-Saez		381		
BDX23605	archéologique	I Casteddi, Tavera	2017	H. Paolini-Saez		381		
BDX23606	archéologique	I Casteddi, Tavera	2017	H. Paolini-Saez		349		
BDX23607	archéologique	I Casteddi, Tavera	2017	H. Paolini-Saez		349		
BDX23608	archéologique	I Casteddi, Tavera	2017	H. Paolini-Saez		349		
BDX23609	archéologique	I Casteddi, Tavera	2017	H. Paolini-Saez		349		
BDX23610	archéologique	I Casteddi, Tavera	2017	H. Paolini-Saez		349		
BDX23611	archéologique	I Casteddi, Tavera	2017	H. Paolini-Saez		349		
BDX23612	archéologique	I Casteddi, Tavera	2017	H. Paolini-Saez		349		
BDX23613	archéologique	I Casteddi, Tavera	2017	H. Paolini-Saez		349		
BDX23614	archéologique	I Casteddi, Tavera	2017	H. Paolini-Saez		349		
BDX23615	archéologique	I Casteddi, Tavera	2017	H. Paolini-Saez		349		
BDX23616	archéologique	I Casteddi, Tavera	2017	H. Paolini-Saez		349		
BDX23617	archéologique	I Casteddi, Tavera	2017	H. Paolini-Saez		349		
BDX23618	archéologique	I Casteddi, Tavera	2017	H. Paolini-Saez		349		
BDX23619	archéologique	I Casteddi, Tavera	2017	H. Paolini-Saez		349		
BDX23620	archéologique	I Casteddi, Tavera	2017	H. Paolini-Saez		349		
BDX23621	archéologique	I Casteddi, Tavera	2017	H. Paolini-Saez		349		
BDX23622	archéologique	I Casteddi, Tavera	2017	H. Paolini-Saez		349		
BDX23623	archéologique	I Casteddi, Tavera	2017	H. Paolini-Saez		349		
BDX23624	archéologique	I Casteddi, Tavera	2017	H. Paolini-Saez		349		
BDX23625	archéologique	I Casteddi, Tavera	2017	H. Paolini-Saez		349		
BDX23626	archéologique	I Casteddi, Tavera	2017	H. Paolini-Saez		349		
BDX23627	archéologique	I Casteddi, Tavera	2017	H. Paolini-Saez		349		
BDX23628	archéologique	I Casteddi, Tavera	2017	H. Paolini-Saez		349		
BDX23629	archéologique	I Casteddi, Tavera	2017	H. Paolini-Saez		349		

BDX	Type	Provenance	Complément provenance	Pourvoveur	ID Précédente	US / Info. Diverses	Latitude	Longitude
BDX23630	archéologique	I Casteddi, Tavera	2017	H. Paolini-Saez		349		
BDX23631	archéologique	I Casteddi, Tavera	2017	H. Paolini-Saez		349		
BDX23632	archéologique	I Casteddi, Tavera	2017	H. Paolini-Saez		349		
BDX23633	archéologique	I Casteddi, Tavera	2017	H. Paolini-Saez		349		
BDX23634	archéologique	I Casteddi, Tavera	2017	H. Paolini-Saez		349		
BDX23635	archéologique	I Casteddi, Tavera	2017	H. Paolini-Saez		349		
BDX23636	archéologique	I Casteddi, Tavera	2017	H. Paolini-Saez		349		
BDX23637	archéologique	I Casteddi, Tavera	2017	H. Paolini-Saez		349		
BDX23638	archéologique	I Casteddi, Tavera	2017	H. Paolini-Saez		349		
BDX23639	archéologique	I Casteddi, Tavera	2017	H. Paolini-Saez		349		
BDX23640	archéologique	I Casteddi, Tavera	2017	H. Paolini-Saez		349		
BDX23641	archéologique	I Casteddi, Tavera	2017	H. Paolini-Saez		349		
BDX23642	archéologique	I Casteddi, Tavera	2017	H. Paolini-Saez		349		
BDX23643	archéologique	I Casteddi, Tavera	2017	H. Paolini-Saez		349		
BDX23644	archéologique	I Casteddi, Tavera	2017	H. Paolini-Saez		349		
BDX23645	archéologique	I Casteddi, Tavera	2017	H. Paolini-Saez		349		
BDX23646	archéologique	I Casteddi, Tavera	2017	H. Paolini-Saez		349		
BDX23647	archéologique	I Casteddi, Tavera	2017	H. Paolini-Saez		349		
BDX23648	archéologique	I Casteddi, Tavera	2017	H. Paolini-Saez		349		
BDX23649	archéologique	I Casteddi, Tavera	2017	H. Paolini-Saez		349		
BDX23650	archéologique	I Casteddi, Tavera	2017	H. Paolini-Saez		349		
BDX23651	archéologique	I Casteddi, Tavera	2017	H. Paolini-Saez		349		
BDX23652	archéologique	I Casteddi, Tavera	2017	H. Paolini-Saez		349		
BDX23653	archéologique	I Casteddi, Tavera	2017	H. Paolini-Saez		349		
BDX23654	archéologique	I Casteddi, Tavera	2017	H. Paolini-Saez		349		
BDX23655	archéologique	I Casteddi, Tavera	2017	H. Paolini-Saez		349		
BDX23656	archéologique	I Casteddi, Tavera	2017	H. Paolini-Saez		349		
BDX23657	archéologique	I Casteddi, Tavera	2017	H. Paolini-Saez		349		
BDX23658	archéologique	I Casteddi, Tavera	2017	H. Paolini-Saez		349		
BDX23659	archéologique	I Casteddi, Tavera	2017	H. Paolini-Saez		349		
BDX23660	archéologique	I Casteddi, Tavera	2017	H. Paolini-Saez		349		
BDX23661	archéologique	I Casteddi, Tavera	2017	H. Paolini-Saez		349		
BDX23662	archéologique	I Casteddi, Tavera	2017	H. Paolini-Saez		349		

BDX	Type	Provenance	Complément provenance	Pourvoyeur	ID Précédente	US / Info. Diverses	Latitude	Longitude
BDX23663	archéologique	I Casteddi, Tavera	2017	H. Paolini-Saez		349		
BDX23664	archéologique	I Casteddi, Tavera	2017	H. Paolini-Saez		349		
BDX23665	archéologique	I Casteddi, Tavera	2017	H. Paolini-Saez		349		
BDX23666	archéologique	I Casteddi, Tavera	2017	H. Paolini-Saez		349		
BDX23667	archéologique	I Casteddi, Tavera	2017	H. Paolini-Saez		349		
BDX23668	archéologique	I Casteddi, Tavera	2017	H. Paolini-Saez		349		
BDX23669	archéologique	I Casteddi, Tavera	2017	H. Paolini-Saez		349		
BDX23670	archéologique	I Casteddi, Tavera	2017	H. Paolini-Saez		349		
BDX23671	archéologique	I Casteddi, Tavera	2017	H. Paolini-Saez				
BDX23672	archéologique	I Casteddi, Tavera	2017	H. Paolini-Saez				
BDX23673	archéologique	I Casteddi, Tavera		H. Paolini-Saez				
BDX23674	archéologique	I Casteddi, Tavera		H. Paolini-Saez				
BDX23675	archéologique	I Casteddi, Tavera		H. Paolini-Saez				
BDX23676	archéologique	I Casteddi, Tavera		H. Paolini-Saez				
BDX23677	archéologique	I Casteddi, Tavera		H. Paolini-Saez				
BDX23678	archéologique	I Casteddi, Tavera		H. Paolini-Saez				
BDX23679	archéologique	I Casteddi, Tavera		H. Paolini-Saez				
BDX23680	archéologique	I Casteddi, Tavera		H. Paolini-Saez				
BDX23681	archéologique	I Casteddi, Tavera		H. Paolini-Saez				
BDX23682	archéologique	I Casteddi, Tavera		H. Paolini-Saez				
BDX23683	archéologique	I Casteddi, Tavera		H. Paolini-Saez				
BDX23684	archéologique	I Casteddi, Tavera		H. Paolini-Saez				
BDX23685	archéologique	I Casteddi, Tavera		H. Paolini-Saez				
BDX23686	archéologique	I Casteddi, Tavera		H. Paolini-Saez				
BDX23687	archéologique	I Casteddi, Tavera		H. Paolini-Saez				
BDX23688	archéologique	I Casteddi, Tavera		H. Paolini-Saez				
BDX23689	archéologique	I Casteddi, Tavera		H. Paolini-Saez				
BDX23690	archéologique	I Casteddi, Tavera		H. Paolini-Saez				
BDX23691	archéologique	I Casteddi, Tavera		H. Paolini-Saez				
BDX23692	archéologique	I Casteddi, Tavera		H. Paolini-Saez				
BDX23693	archéologique	I Casteddi, Tavera		H. Paolini-Saez				
BDX23694	archéologique	I Casteddi, Tavera		H. Paolini-Saez				
BDX23695	archéologique	I Casteddi, Tavera		H. Paolini-Saez				

BDX	Type	Provenance	Complément provenance	Pourvoyeur	ID Précédente	US / Info. Diverses	Latitude	Longitude
BDX23696	archéologique	I Casteddi, Tavera		H. Paolini-Saez				
BDX23697	archéologique	I Casteddi, Tavera		H. Paolini-Saez				
BDX23698	archéologique	I Casteddi, Tavera		H. Paolini-Saez				
BDX23699	archéologique	I Casteddi, Tavera		H. Paolini-Saez				
BDX23700	archéologique	I Casteddi, Tavera		H. Paolini-Saez				
BDX23701	archéologique	I Casteddi, Tavera		H. Paolini-Saez				
BDX23702	archéologique	I Casteddi, Tavera		H. Paolini-Saez				
BDX23703	archéologique	I Casteddi, Tavera		H. Paolini-Saez				
BDX23704	archéologique	I Casteddi, Tavera		H. Paolini-Saez				
BDX23705	archéologique	I Casteddi, Tavera		H. Paolini-Saez				
BDX23706	archéologique	I Casteddi, Tavera		H. Paolini-Saez				
BDX23707	archéologique	I Casteddi, Tavera		H. Paolini-Saez				
BDX23708	archéologique	I Casteddi, Tavera		H. Paolini-Saez				
BDX23709	archéologique	I Casteddi, Tavera		H. Paolini-Saez				
BDX23710	archéologique	I Casteddi, Tavera		H. Paolini-Saez				
BDX23711	archéologique	I Casteddi, Tavera		H. Paolini-Saez				
BDX23712	archéologique	I Casteddi, Tavera		H. Paolini-Saez				
BDX23713	archéologique	I Casteddi, Tavera		H. Paolini-Saez				
BDX23714	archéologique	I Casteddi, Tavera		H. Paolini-Saez				
BDX23715	archéologique	I Casteddi, Tavera		H. Paolini-Saez				
BDX23716	archéologique	I Casteddi, Tavera		H. Paolini-Saez				
BDX23717	archéologique	I Casteddi, Tavera		H. Paolini-Saez				
BDX23718	archéologique	I Casteddi, Tavera		H. Paolini-Saez				
BDX23719	archéologique	I Casteddi, Tavera		H. Paolini-Saez				
BDX23720	archéologique	I Casteddi, Tavera		H. Paolini-Saez				
BDX23721	archéologique	I Casteddi, Tavera		H. Paolini-Saez				
BDX23722	archéologique	I Casteddi, Tavera		H. Paolini-Saez				
BDX23723	archéologique	I Casteddi, Tavera		H. Paolini-Saez				
BDX23724	archéologique	I Casteddi, Tavera		H. Paolini-Saez				
BDX23725	archéologique	I Casteddi, Tavera		H. Paolini-Saez				
BDX23726	archéologique	I Casteddi, Tavera		H. Paolini-Saez				
BDX23727	archéologique	I Casteddi, Tavera		H. Paolini-Saez				
BDX23728	archéologique	I Casteddi, Tavera		H. Paolini-Saez				

BDX	Type	Provenance	Complément provenance	Pourvoyeur	ID Précédente	US / Info. Diverses	Latitude	Longitude
BDX23729	archéologique	I Casteddi, Tavera		H. Paolini-Saez				
BDX23730	archéologique	I Casteddi, Tavera		H. Paolini-Saez				
BDX23731	archéologique	I Casteddi, Tavera		H. Paolini-Saez				
BDX23732	archéologique	I Casteddi, Tavera		H. Paolini-Saez				
BDX23733	archéologique	I Casteddi, Tavera		H. Paolini-Saez				
BDX23734	archéologique	I Casteddi, Tavera		H. Paolini-Saez				
BDX23735	archéologique	I Casteddi, Tavera		H. Paolini-Saez				
BDX23736	archéologique	I Casteddi, Tavera		H. Paolini-Saez				
BDX23737	archéologique	I Casteddi, Tavera		H. Paolini-Saez				
BDX23738	archéologique	I Casteddi, Tavera		H. Paolini-Saez				
BDX23739	archéologique	I Casteddi, Tavera		H. Paolini-Saez				
BDX23740	archéologique	I Casteddi, Tavera		H. Paolini-Saez				
BDX23741	archéologique	I Casteddi, Tavera		H. Paolini-Saez				
BDX23742	archéologique	I Casteddi, Tavera		H. Paolini-Saez				
BDX23743	archéologique	I Casteddi, Tavera		H. Paolini-Saez				
BDX23744	archéologique	I Casteddi, Tavera		H. Paolini-Saez				
BDX23745	archéologique	I Casteddi, Tavera		H. Paolini-Saez				
BDX23746	archéologique	I Casteddi, Tavera		H. Paolini-Saez				
BDX23747	archéologique	I Casteddi, Tavera		H. Paolini-Saez				
BDX23748	archéologique	I Casteddi, Tavera		H. Paolini-Saez				
BDX23749	archéologique	I Casteddi, Tavera		H. Paolini-Saez				
BDX23750	archéologique	I Casteddi, Tavera		H. Paolini-Saez				
BDX23751	archéologique	I Casteddi, Tavera		H. Paolini-Saez				
BDX23752	archéologique	I Casteddi, Tavera		H. Paolini-Saez				
BDX23753	archéologique	I Casteddi, Tavera		H. Paolini-Saez				
BDX23754	archéologique	I Casteddi, Tavera		H. Paolini-Saez				
BDX23755	archéologique	I Casteddi, Tavera		H. Paolini-Saez				
BDX23756	archéologique	I Casteddi, Tavera		H. Paolini-Saez				
BDX23757	archéologique	I Casteddi, Tavera		H. Paolini-Saez				
BDX23758	archéologique	I Casteddi, Tavera		H. Paolini-Saez				
BDX23759	archéologique	I Casteddi, Tavera		H. Paolini-Saez				
BDX23760	archéologique	I Casteddi, Tavera		H. Paolini-Saez				
BDX23761	archéologique	I Casteddi, Tavera		H. Paolini-Saez				

BDX	Type	Provenance	Complément provenance	Pourvoyeur	ID Précédente	US / Info. Diverses	Latitude	Longitude
BDX23762	archéologique	I Casteddi, Tavera		H. Paolini-Saez				
BDX23763	archéologique	I Casteddi, Tavera		H. Paolini-Saez				
BDX23764	archéologique	I Casteddi, Tavera		H. Paolini-Saez				
BDX23765	archéologique	I Casteddi, Tavera		H. Paolini-Saez				
BDX23766	archéologique	I Casteddi, Tavera		H. Paolini-Saez				
BDX23767	géologique	Taravu - en contrebas du pont (D757) - Petreto-Bicchisano					41.787681	8.922765
BDX23802	géologique	Tartagina (Piana, Balagne)					42.51722	9.122601
BDX23803	géologique	Tartagina (Piana, Balagne)					42.51722	9.122601
BDX23804	géologique	Tartagina (Piana, Balagne)					42.51722	9.122601
BDX23805	géologique	Tartagina (Piana, Balagne)					42.51722	9.122601
BDX23806	géologique	Tartagina (Piana, Balagne)					42.51722	9.122601
BDX23807	géologique	Tartagina (Piana, Balagne)					42.51722	9.122601
BDX23808	géologique	Vallée du Fangu	Capu Russellu				42.42713162	8.68155309
BDX23809	géologique	Vallée du Fangu	Capu Russellu				42.42713162	8.68155309
BDX23810	géologique	Vallée du Fangu	Capu Russellu				42.42713162	8.68155309
BDX23811	géologique	Vallée du Fangu	Capu Russellu				42.43521589	8.69032095
BDX23812	géologique	Vallée du Fangu	Capu Russellu				42.43646234	8.69160825
BDX23813	géologique	Vallée du Fangu	Capu Russellu				42.43798234	8.68787332
BDX23814	géologique	Vallée du Fangu	Capu Russellu				42.43844378	8.68872173
BDX23815	géologique	Vallée du Fangu	Capu Russellu				42.44122483	8.6904515
BDX23816	géologique	Vallée du Fangu	Capu Russellu				42.43948409	8.69973429
BDX23817	géologique	Vallée du Fangu	Capu Russellu				42.43948409	8.69973429
BDX23818	géologique	Vallée du Fangu	Capu Russellu				42.43948409	8.69973429
BDX23819	géologique	Vallée du Fangu	Capu Russellu				42.43948409	8.69973429
BDX23820	géologique	Vallée du Fangu	Capu Russellu				42.43772802	8.69582273
BDX23821	géologique	Vallée du Fangu	Capu Russellu				42.43623592	8.694952
BDX23822	géologique	Vallée du Fangu	Capu Russellu				42.42336817	8.69386814
BDX23826	géologique	Vallée du Fangu	fond de vallée, Montestremu				42.35556329	8.80784965
BDX23827	géologique	Vallée du Fangu	fond de vallée, Montestremu				42.35940526	8.8082399

BDX	Type	Provenance	Complément provenance	Pourvoyeur	ID Précédente	US / Info. Diverses	Latitude	Longitude
BDX23828	géologique	Vallée du Fangu	fond de vallée, Montestremu				42.34323931	8.82144247
BDX23829	géologique	Vallée du Fangu	fond de vallée, Montestremu				42.34547533	8.80420961
BDX23830	géologique	Vallée du Fangu	fond de vallée, Montestremu				42.35514804	8.81036506
BDX23831	géologique	Vallée du Fangu	fond de vallée, Montestremu				42.34547533	8.80420961
BDX23832	géologique	Vallée du Fangu	fond de vallée, Montestremu				42.34308469	8.82135245
BDX23833	géologique	Vallée du Fangu	fond de vallée, Montestremu				42.34308469	8.82135245
BDX23834	géologique	Vallée du Fangu	fond de vallée, Montestremu				42.34308469	8.82135245
BDX23835	géologique	Vallée du Fangu	fond de vallée, Montestremu				42.34521222	8.80433366
BDX23836	géologique	Vallée du Fangu	fond de vallée, Montestremu				42.35268002	8.80844371
BDX23837	géologique	Vallée du Fangu	fond de vallée, Montestremu				42.35268002	8.80844371
BDX23838	géologique	Vallée du Fangu	fond de vallée, Montestremu				42.35268002	8.80844371
BDX23839	géologique	Vallée du Fangu	fond de vallée, Montestremu				42.35066756	8.80774216
BDX23865	géologique	Vallée du Fangu	Bocca a u Ghineparu				42.45859241	8.76008759
BDX23866	géologique	Vallée du Fangu	Bocca a u Ghineparu				42.4586092	8.76017929
BDX23867	géologique	Vallée du Fangu	Bocca a u Ghineparu				42.4586092	8.76017929
BDX23868	géologique	Vallée du Fangu	Bocca a u Ghineparu				42.4586092	8.76017929
BDX23869	géologique	Vallée du Fangu	Bocca a u Ghineparu				42.4586092	8.76017929
BDX23870	géologique	Vallée du Fangu	Bocca a u Ghineparu				42.4586092	8.76017929
BDX23871	géologique	Vallée du Fangu	Bocca a u Ghineparu				42.45832026	8.75848478
BDX23872	géologique	Vallée du Fangu	Bocca a u Ghineparu				42.45832026	8.75848478
BDX23873	géologique	Vallée du Fangu	Bocca a u Ghineparu				42.45832026	8.75848478

BDX	Type	Provenance	Complément provenance	Pourvoyeur	ID Précédente	US / Info. Diverses	Latitude	Longitude
BDX23874	géologique	Vallée du Fangu	Bocca a u Ghineparu				42.45820941	8.75833281
BDX23875	géologique	Vallée du Fangu	Bocca a u Ghineparu				42.45820941	8.75833281
BDX23876	géologique	Vallée du Fangu	Bocca a u Ghineparu				42.46024513	8.75729744
BDX23877	géologique	Vallée du Fangu	Lit du Fangu, entre Mansu et le Ponte-Vecchio				42.37947075	8.75003105
BDX23878	géologique	Vallée du Fangu	Lit du Fangu, entre Mansu et le Ponte-Vecchio				42.37921637	8.7482735
BDX23879	géologique	Vallée du Fangu	Lit du Fangu, entre Mansu et le Ponte-Vecchio				42.37921637	8.7482735
BDX23880	géologique	Vallée du Fangu	Lit du Fangu, entre Mansu et le Ponte-Vecchio				42.37781815	8.74736033
BDX23881	géologique	Vallée du Fangu	Lit du Fangu, entre Mansu et le Ponte-Vecchio				42.38384785	8.75120094
BDX23882	géologique	Vallée du Fangu	Lit du Fangu, entre Mansu et le Ponte-Vecchio				42.38384785	8.75120094
BDX23883	géologique	Vallée du Fangu	Lit du Fangu, entre Mansu et le Ponte-Vecchio				42.37910776	8.74727919
BDX23884	géologique	Vallée du Fangu	Lit du Fangu, entre Mansu et le Ponte-Vecchio				42.38098811	8.75197519
BDX23885	géologique	Vallée du Fangu	Lit du Fangu, entre Mansu et le Ponte-Vecchio				42.38384785	8.75120094
BDX23886	géologique	Vallée du Fangu	Gué de San Quilicu, ruisseau de Bocca Bianca				42.368962	8.793949
BDX23887	géologique	Vallée du Fangu	Gué de San Quilicu, ruisseau de Bocca Bianca				42.368962	8.793949
BDX23888	géologique	Vallée du Fangu	Gué de San Quilicu, ruisseau de Bocca Bianca				42.368962	8.793949
BDX23889	géologique	Vallée du Fangu	Gué de San Quilicu, ruisseau de Bocca Bianca				42.368962	8.793949
BDX23890	géologique	Vallée du Fangu	Gué de San Quilicu, ruisseau de Bocca Bianca				42.369171	8.794188
BDX23891	géologique	Vallée du Fangu	Gué de San Quilicu, ruisseau de Bocca Bianca				42.369171	8.794188

BDX	Type	Provenance	Complément provenance	Pourvoyeur	ID Précédente	US / Info. Diverses	Latitude	Longitude
BDX23892	géologique	Vallée du Fangu	Gué de San Quilicu, ruisseau de Bocca Bianca				42.369171	8.794188
BDX23893	géologique	Vallée du Fangu	Gué de San Quilicu, ruisseau de Bocca Bianca				42.369171	8.794188
BDX23894	géologique	Vallée du Fangu	Lit du Fangu, entre Mansu et le Ponte-Vecchio				42.383856	8.751147
BDX23895	géologique	Vallée du Fangu	Lit du Fangu, entre Mansu et le Ponte-Vecchio				42.383856	8.751147
BDX23896	géologique	Balagne	Col de San Colombano				42.57948968	9.07144546
BDX23897	géologique	Balagne	Col de San Colombano				42.57925355	9.07355391
BDX23898	géologique	Balagne	Col de San Colombano				42.57916959	9.073956
BDX23899	géologique	Balagne	Col de San Colombano				42.57933642	9.07581248
BDX23900	géologique	Balagne	Col de San Colombano				42.57945126	9.07603184
BDX23901	géologique	Balagne	Col de San Colombano				42.57988539	9.07733711
BDX23902	géologique	Balagne	Col de San Colombano				42.57988539	9.07733711
BDX23903	géologique	Sotta					41.54250882	9.19306373
BDX23904	archéologique	A Petra		L. Martinet	1070	A Petra 04, II C2, lot 1025 (jean)		
BDX23905	archéologique	A Petra		L. Martinet	405	A Petra 1988, lid, lot 54		
BDX23906	archéologique	Abri des Castelli		L. Martinet	5202	2010, Sédiment E		
BDX23907	archéologique	Abri des Castelli		L. Martinet	10010	2010, Z1, D Tamisage		
BDX23908	archéologique	Abri des Castelli		L. Martinet	10007	2012, A1 C, D Tamisage		
BDX23909	archéologique	Abri des Castelli		L. Martinet	10008	2012, A1 C, D Tamisage		
BDX23910	archéologique	Abri des Castelli		L. Martinet	10011	2010, Z1, D Tamisage		

BDX	Type	Provenance	Complément provenance	Pourvoyeur	ID Précédente	US / Info. Diverses	Latitude	Longitude
BDX23911	archéologique	Abri des Castelli		L. Martinet	10001	2012, Z1, D Tamisage		
BDX23912	archéologique	Abri des Castelli		L. Martinet	10006	2012, A1 d, D Tamisage		
BDX23913	archéologique	Abri des Castelli		L. Martinet	10009	2010, Z1, D Tamisage		
BDX23914	archéologique	Abri des Castelli		L. Martinet	10012	2012, D Tamisage		
BDX23915	archéologique	Abri des Castelli		L. Martinet	5351	2010, Sédiment E		
BDX23916	archéologique	Abri des Castelli	ADC 2014	L. Martinet	8028	A2 C3		
BDX23917	archéologique	Abri des Castelli	ADC 2014	L. Martinet	8033	A2 C3		
BDX23918	archéologique	Abri des Castelli	ADC 2014	L. Martinet	8065	A1 C3		
BDX23919	archéologique	Abri des Castelli	ADC 2014	L. Martinet	8072	A1 C3		
BDX23920	archéologique	Abri des Castelli	ADC 2014	L. Martinet	8201	A2 C3		
BDX23921	archéologique	Abri des Castelli	ADC 2014	L. Martinet	8237	A1 C3		
BDX23922	archéologique	Abri des Castelli	ADC 2014	L. Martinet	8239	A2 C3		
BDX23923	archéologique	Abri des Castelli	ADC 2014	L. Martinet	8247	A2 C3		
BDX23924	archéologique	Abri des Castelli	ADC 2014	L. Martinet	8257	A2 C3		
BDX23925	archéologique	Abri des Castelli	ADC 2014	L. Martinet	8260	A2 C3		
BDX23926	archéologique	Abri des Castelli	ADC 2014	L. Martinet	8329	A2 C3		
BDX23927	archéologique	Abri des Castelli	ADC 2014	L. Martinet	8346	A2 C3		
BDX23928	archéologique	Abri des Castelli	ADC 2014	L. Martinet	8385	A1 C3		
BDX23929	archéologique	Abri des Castelli	ADC 2014	L. Martinet	8457	A1 C3		
BDX23930	archéologique	Abri des Castelli	ADC 2014	L. Martinet	8463	A1 C3		
BDX23931	archéologique	Abri des Castelli	ADC 2014	L. Martinet	8476	A1 C3		
BDX23932	archéologique	Abri des Castelli	ADC 2014	L. Martinet	8496	A2 C3		
BDX23933	archéologique	Abri des Castelli	ADC 2014	L. Martinet	8500	A1 C3		
BDX23934	archéologique	Abri des Castelli	ADC 2014	L. Martinet	8501	A1 C3		
BDX23935	archéologique	Abri des Castelli	ADC 2014	L. Martinet	8510	A1 C3		
BDX23936	archéologique	Abri des Castelli	ADC 2014	L. Martinet	10016	A1 C3 Subc d		
BDX23937	archéologique	Abri des Castelli	ADC 2014	L. Martinet	10017	A1 C3 Subc d		
BDX23938	archéologique	Abri des Castelli	ADC 2014	L. Martinet	10025	A2 C3 Subc d		

BDX	Type	Provenance	Complément provenance	Pourvoyeur	ID Précédente	US / Info. Diverses	Latitude	Longitude
BDX23939	archéologique	Abri des Castelli	ADC 2014	L. Martinet	10029	A1 C3 Subc b		
BDX23940	archéologique	Abri des Castelli	ADC 2014	L. Martinet	10035	A1 C3 Subc a		
BDX23941	archéologique	Abri des Castelli	ADC 2014	L. Martinet	10036	A1 C3 Subc a		
BDX23942	archéologique	Basi		T. Perrin		Nettoyage		
BDX23943	archéologique	Basi		T. Perrin		Nettoyage		
BDX23944	archéologique	Basi		T. Perrin		Nettoyage		
BDX23945	archéologique	Basi		T. Perrin		Nettoyage		
BDX23946	archéologique	Basi		T. Perrin		Nettoyage		
BDX23947	archéologique	Basi		T. Perrin		1001		
BDX23948	archéologique	Basi		T. Perrin		1001		
BDX23949	archéologique	Basi		T. Perrin		1001		
BDX23950	archéologique	Basi		T. Perrin		1001		
BDX23951	archéologique	Basi		T. Perrin		1001		
BDX23952	archéologique	Basi		T. Perrin		1001		
BDX23953	archéologique	Basi		T. Perrin		1001		
BDX23954	archéologique	Basi		T. Perrin		1001		
BDX23955	archéologique	Basi		T. Perrin		1001		
BDX23956	archéologique	Basi		T. Perrin		1001		
BDX23957	archéologique	Basi		T. Perrin		1001		
BDX23958	archéologique	Basi		T. Perrin		1001		
BDX23959	archéologique	Basi		T. Perrin		1001		
BDX23960	archéologique	Basi		T. Perrin		1001		
BDX23961	archéologique	Basi		T. Perrin		1001		
BDX23962	archéologique	Basi		T. Perrin		1010		
BDX23963	archéologique	Basi		T. Perrin		1010		
BDX23964	archéologique	Basi		T. Perrin		1011		
BDX23965	archéologique	Basi		T. Perrin		1011		
BDX23966	archéologique	Basi		T. Perrin		1011		
BDX23967	archéologique	Basi		T. Perrin		1011		
BDX23968	archéologique	Basi		T. Perrin		1011		
BDX23969	archéologique	Basi		T. Perrin		1013		
BDX23970	archéologique	Basi		T. Perrin		1013		
BDX23971	archéologique	Basi		T. Perrin		1013		

BDX	Type	Provenance	Complément provenance	Pourvoyeur	ID Précédente	US / Info. Diverses	Latitude	Longitude
BDX23972	archéologique	Basi		T. Perrin		1013		
BDX23973	archéologique	Basi		T. Perrin		1013		
BDX23974	archéologique	Basi		T. Perrin		1013		
BDX23975	archéologique	Basi		T. Perrin		1013		
BDX23976	archéologique	Basi		T. Perrin		1013		
BDX23977	archéologique	Basi		T. Perrin		1013		
BDX23978	archéologique	Basi		T. Perrin		1013		
BDX23979	archéologique	Basi		T. Perrin		1013		
BDX23980	archéologique	Basi		T. Perrin		1013		
BDX23981	archéologique	Basi		T. Perrin		1013		
BDX23982	archéologique	Basi		T. Perrin		1013		
BDX23983	archéologique	Basi		T. Perrin		1013		
BDX23984	archéologique	Basi		T. Perrin		1015		
BDX23985	archéologique	Basi		T. Perrin		1015		
BDX23986	archéologique	Basi		T. Perrin		1015		
BDX23987	archéologique	Basi		T. Perrin		1018		
BDX23988	archéologique	Basi		T. Perrin		1018		
BDX23989	archéologique	Basi		T. Perrin		1018		
BDX23990	archéologique	Basi		T. Perrin		1018		
BDX23991	archéologique	Basi		T. Perrin		1018		
BDX23992	archéologique	Basi		T. Perrin		1018		
BDX23993	archéologique	Basi		T. Perrin		1018		
BDX23994	archéologique	Basi		T. Perrin		1018		
BDX23995	archéologique	Basi		T. Perrin		1018		
BDX23996	archéologique	Basi		T. Perrin		1018		
BDX23997	archéologique	Basi		T. Perrin		1018		
BDX23998	archéologique	Basi		T. Perrin		1018		
BDX23999	archéologique	Basi		T. Perrin		1018		
BDX24000	archéologique	Basi		T. Perrin		1018		
BDX24001	archéologique	Basi		T. Perrin		1018		
BDX24002	archéologique	Basi		T. Perrin		1019		
BDX24003	archéologique	Basi		T. Perrin		1027		
BDX24004	archéologique	Basi		T. Perrin		1027		

BDX	Type	Provenance	Complément provenance	Pourvoyeur	ID Précédente	US / Info. Diverses	Latitude	Longitude
BDX24005	archéologique	Basi		T. Perrin		1028		
BDX24006	archéologique	Basi		T. Perrin		1029		
BDX24007	archéologique	Basi		T. Perrin		1029		
BDX24008	archéologique	Basi		T. Perrin		1029		
BDX24009	archéologique	Basi		T. Perrin		1030		
BDX24010	archéologique	Basi		T. Perrin		1030		
BDX24011	archéologique	Basi		T. Perrin		1030		
BDX24012	archéologique	Basi		T. Perrin		1031		
BDX24013	archéologique	Basi		T. Perrin		1031		
BDX24014	archéologique	Basi		T. Perrin		1031		
BDX24015	archéologique	Basi		T. Perrin		1031		
BDX24016	archéologique	Basi		T. Perrin		1031		
BDX24017	archéologique	Basi		T. Perrin		1031		
BDX24018	archéologique	Basi		T. Perrin		1031		
BDX24019	archéologique	Basi		T. Perrin		1031		
BDX24020	archéologique	Basi		T. Perrin		1031		
BDX24021	archéologique	Basi		T. Perrin		1031		
BDX24022	archéologique	Basi		T. Perrin		1031		
BDX24023	archéologique	Basi		T. Perrin		1011		
BDX24024	archéologique	Basi		T. Perrin		1033		
BDX24025	archéologique	Basi		T. Perrin		1033		
BDX24026	archéologique	Basi		T. Perrin		1035		
BDX24027	archéologique	Basi		T. Perrin		1035		
BDX24028	archéologique	Basi		T. Perrin		1036		
BDX24029	archéologique	Basi		T. Perrin		1036		
BDX24030	archéologique	Basi		T. Perrin		1036		
BDX24031	archéologique	Basi		T. Perrin		1036		
BDX24032	archéologique	Basi		T. Perrin		1036		
BDX24033	archéologique	Basi		T. Perrin		1039		
BDX24034	archéologique	Basi		T. Perrin		1039		
BDX24035	archéologique	Basi		T. Perrin		1039		
BDX24036	archéologique	Basi		T. Perrin		1039		
BDX24037	archéologique	Basi		T. Perrin		1039		

BDX	Type	Provenance	Complément provenance	Pourviseur	ID Précédente	US / Info. Diverses	Latitude	Longitude
BDX24038	archéologique	Basi		T. Perrin		1039		
BDX24039	archéologique	Basi		T. Perrin		1039		
BDX24040	archéologique	Basi		T. Perrin		1039		
BDX24041	archéologique	Basi		T. Perrin		1039		
BDX24042	archéologique	Basi		T. Perrin		1039		
BDX24043	archéologique	Basi		T. Perrin		1039		
BDX24044	archéologique	Basi		T. Perrin		1039		
BDX24045	archéologique	Basi		T. Perrin		1039		
BDX24046	archéologique	Basi		T. Perrin		1039		
BDX24047	archéologique	Basi		T. Perrin		1039		
BDX24048	archéologique	Basi		T. Perrin		1039		
BDX24049	archéologique	Basi		T. Perrin		1039		
BDX24050	archéologique	Basi		T. Perrin		1039		
BDX24051	archéologique	Basi		T. Perrin		1039		
BDX24052	archéologique	Basi		T. Perrin		1039		
BDX24053	archéologique	Basi		T. Perrin		1039		
BDX24054	archéologique	Basi		T. Perrin		1039		
BDX24055	archéologique	Basi		T. Perrin		1039		
BDX24056	archéologique	Basi		T. Perrin		1039		
BDX24057	archéologique	Basi		T. Perrin		1039		
BDX24058	archéologique	Basi		T. Perrin		1039		
BDX24059	archéologique	Basi		T. Perrin		1039		
BDX24060	archéologique	Basi		T. Perrin		1039		
BDX24061	archéologique	Basi		T. Perrin		1039		
BDX24062	archéologique	Basi		T. Perrin		1039		
BDX24063	archéologique	Basi		T. Perrin		1039		
BDX24064	archéologique	Basi		T. Perrin		1039		
BDX24065	archéologique	Basi		T. Perrin		1039		
BDX24066	archéologique	Basi		T. Perrin		1039		
BDX24067	archéologique	Basi		T. Perrin		1039		
BDX24068	archéologique	Basi		T. Perrin		1039		
BDX24069	archéologique	Basi		T. Perrin		1039		
BDX24070	archéologique	Basi		T. Perrin		1039		

BDX	Type	Provenance	Complément provenance	Pourvoyeur	ID Précédente	US / Info. Diverses	Latitude	Longitude
BDX24071	archéologique	Basi		T. Perrin		1039		
BDX24072	archéologique	Basi		T. Perrin		1039		
BDX24073	archéologique	Basi		T. Perrin		1039		
BDX24074	archéologique	Basi		T. Perrin		1039		
BDX24075	archéologique	Basi		T. Perrin		1039		
BDX24076	archéologique	Basi		T. Perrin		1039		
BDX24077	archéologique	Basi		T. Perrin		1039		
BDX24078	archéologique	Basi		T. Perrin		1039		
BDX24079	archéologique	Basi		T. Perrin		1039		
BDX24080	archéologique	Basi		T. Perrin		1039		
BDX24081	archéologique	Basi		T. Perrin		1039		
BDX24082	archéologique	Basi		T. Perrin		1039		
BDX24083	archéologique	Basi		T. Perrin		1039		
BDX24084	archéologique	Basi		T. Perrin		1039		
BDX24085	archéologique	Basi		T. Perrin		1039		
BDX24086	archéologique	Basi		T. Perrin		1039		
BDX24087	archéologique	Basi		T. Perrin		1039		
BDX24088	archéologique	Basi		T. Perrin		1039		
BDX24089	archéologique	Basi		T. Perrin		1039		
BDX24090	archéologique	Basi		T. Perrin		1039		
BDX24091	archéologique	Basi		T. Perrin		1039		
BDX24092	archéologique	Basi		T. Perrin		1039		
BDX24093	archéologique	Basi		T. Perrin		1039		
BDX24094	archéologique	Basi		T. Perrin		1039		
BDX24095	archéologique	Basi		T. Perrin		1039		
BDX24096	archéologique	Basi		T. Perrin		1039		
BDX24097	archéologique	Basi		T. Perrin		1039		
BDX24098	archéologique	Basi		T. Perrin		1039		
BDX24099	archéologique	Basi		T. Perrin		1039		
BDX24100	archéologique	Basi		T. Perrin		1039		
BDX24101	archéologique	Basi		T. Perrin		1039		
BDX24102	archéologique	Basi		T. Perrin		1039		
BDX24103	archéologique	Basi		T. Perrin		1039		

BDX	Type	Provenance	Complément provenance	Pourviseur	ID Précédente	US / Info. Diverses	Latitude	Longitude
BDX24104	archéologique	Basi		T. Perrin		1039		
BDX24105	archéologique	Basi		T. Perrin		1039		
BDX24106	archéologique	Basi		T. Perrin		1039		
BDX24107	archéologique	Basi		T. Perrin		1039		
BDX24108	archéologique	Basi		T. Perrin		1039		
BDX24109	archéologique	Basi		T. Perrin		1040		
BDX24110	archéologique	Basi		T. Perrin	n°8 - 4184	1040		
BDX24111	archéologique	Basi		T. Perrin	n°5	1041		
BDX24112	archéologique	Basi		T. Perrin	n°2	1041		
BDX24113	archéologique	Basi		T. Perrin		1201		
BDX24114	archéologique	Basi		T. Perrin		1207		
BDX24115	archéologique	Basi		T. Perrin		1207		
BDX24116	archéologique	Basi		T. Perrin		1208		
BDX24117	archéologique	Basi		T. Perrin		1208		
BDX24118	archéologique	Basi		T. Perrin		1208		
BDX24119	archéologique	Basi		T. Perrin		1208		
BDX24120	archéologique	Basi		T. Perrin		1208		
BDX24121	archéologique	Basi		T. Perrin		1208		
BDX24122	archéologique	Basi		T. Perrin	n° 38	1208		
BDX24123	archéologique	Basi		T. Perrin		1208		
BDX24124	archéologique	Basi		T. Perrin		1216		
BDX24125	archéologique	Basi		T. Perrin		1216		
BDX24126	archéologique	Basi		T. Perrin		1216		
BDX24127	archéologique	Basi		T. Perrin	PRL 59	1217		
BDX24128	archéologique	Basi		T. Perrin	PRL 59	1217		
BDX24129	archéologique	Basi		T. Perrin	PRL 59	1217		
BDX24130	archéologique	Basi		T. Perrin	PRL 59	1217		
BDX24131	archéologique	Basi		T. Perrin	PRL 59	1217		
BDX24132	archéologique	Basi		T. Perrin	PRL 59	1217		
BDX24133	archéologique	Basi		T. Perrin	PRL 59	1217		
BDX24134	archéologique	Basi		T. Perrin	PRL 59	1217		
BDX24135	archéologique	Basi		T. Perrin	PRL 30	1217		
BDX24136	archéologique	Basi		T. Perrin	PRL 46	1218		

BDX	Type	Provenance	Complément provenance	Pourvoyeur	ID Précédente	US / Info. Diverses	Latitude	Longitude
BDX24137	archéologique	Basi		T. Perrin	PRL 46	1218		
BDX24138	archéologique	Basi		T. Perrin	PRL 46	1218		
BDX24139	archéologique	Basi		T. Perrin	PRL 46	1218		
BDX24140	archéologique	Basi		T. Perrin	PRL 56	1218		
BDX24141	archéologique	Basi		T. Perrin	PRL 56	1218		
BDX24142	archéologique	Basi		T. Perrin	PRL 56	1218		
BDX24143	archéologique	Basi		T. Perrin	PRL 56	1218		
BDX24144	archéologique	Basi		T. Perrin	PRL 56	1218		
BDX24145	archéologique	Basi		T. Perrin	PRL 56	1218		
BDX24146	archéologique	Basi		T. Perrin	PRL 56	1218		
BDX24147	archéologique	Basi		T. Perrin	PRL 56	1218		
BDX24148	archéologique	Basi		T. Perrin	PRL 56	1218		
BDX24149	archéologique	Basi		T. Perrin	PRL 56	1218		
BDX24150	archéologique	Basi		T. Perrin	PRL 56	1218		
BDX24151	archéologique	Basi		T. Perrin	PRL 34	1218		
BDX24152	archéologique	Basi		T. Perrin	PRL 34	1218		
BDX24153	archéologique	Basi		T. Perrin		1218		
BDX24154	archéologique	Basi		T. Perrin		1218		
BDX24155	archéologique	Basi		T. Perrin		1218		
BDX24156	archéologique	Basi		T. Perrin	PRL 56	1218		
BDX24157	archéologique	Basi		T. Perrin	PRL 56	1218		
BDX24158	archéologique	Basi		T. Perrin	PRL 56	1218		
BDX24159	archéologique	Basi		T. Perrin	PRL 56	1218		
BDX24160	archéologique	Basi		T. Perrin	PRL 56	1218		
BDX24161	archéologique	Basi		T. Perrin	PRL 56	1218		
BDX24162	archéologique	Basi		T. Perrin	PRL 56	1218		
BDX24163	archéologique	Basi		T. Perrin	PRL 56	1218		
BDX24164	archéologique	Basi		T. Perrin	PRL 46	1218		
BDX24165	archéologique	Basi		T. Perrin	PRL 46	1218		
BDX24166	archéologique	Basi		T. Perrin		1218		
BDX24167	archéologique	Basi		T. Perrin	n° 23	1219		
BDX24168	archéologique	Basi		T. Perrin	n° 7	1221		
BDX24169	archéologique	Basi		T. Perrin		1224		

BDX	Type	Provenance	Complément provenance	Pourvoyeur	ID Précédente	US / Info. Diverses	Latitude	Longitude
BDX24170	archéologique	Basi		T. Perrin		1225		
BDX24171	archéologique	Basi		T. Perrin	PRL 77	1225		
BDX24172	archéologique	Basi		T. Perrin	PRL 77	1225		
BDX24173	archéologique	Basi		T. Perrin	PRL 77	1225		
BDX24174	archéologique	Basi		T. Perrin	PRL 77	1225		
BDX24175	archéologique	Basi		T. Perrin	PRL 77	1225		
BDX24176	archéologique	Basi		T. Perrin	PRL 77	1225		
BDX24177	archéologique	Basi		T. Perrin	PRL 77	1225		
BDX24178	archéologique	Basi		T. Perrin	PRL 77	1225		
BDX24179	archéologique	Basi		T. Perrin	PRL 77	1225		
BDX24180	archéologique	Basi		T. Perrin	PRL 77	1225		
BDX24181	archéologique	Basi		T. Perrin	PRL 77	1225		
BDX24182	archéologique	Basi		T. Perrin	PRL 77	1225		
BDX24183	archéologique	Basi		T. Perrin	PRL 77	1225		
BDX24184	archéologique	Basi		T. Perrin	PRL 77	1225		
BDX24185	archéologique	Basi		T. Perrin	PRL 77	1225		
BDX24186	archéologique	Basi		T. Perrin	PRL 77	1225		
BDX24187	archéologique	Basi		T. Perrin	PRL 77	1225		
BDX24188	archéologique	Basi		T. Perrin	PRL 77	1225		
BDX24189	archéologique	Basi		T. Perrin	PRL 77	1225		
BDX24190	archéologique	Basi		T. Perrin	PRL 77	1225		
BDX24191	archéologique	Basi		T. Perrin	PRL 77	1225		
BDX24192	archéologique	Basi		T. Perrin		1227		
BDX24193	archéologique	Basi		T. Perrin	PRL 78	1227		
BDX24194	archéologique	Basi		T. Perrin	PRL 78	1227		
BDX24195	archéologique	Basi		T. Perrin	PRL 78	1227		
BDX24196	archéologique	Basi		T. Perrin	PRL 78	1227		
BDX24197	archéologique	Basi		T. Perrin	PRL 78	1227		
BDX24198	archéologique	Basi		T. Perrin	PRL 78	1227		
BDX24199	archéologique	Basi		T. Perrin	PRL 78	1227		
BDX24200	archéologique	Basi		T. Perrin	PRL 78	1227		
BDX24201	archéologique	Basi		T. Perrin	PRL 78	1227		
BDX24202	archéologique	Basi		T. Perrin	PRL 78	1227		

BDX	Type	Provenance	Complément provenance	Pourvoyeur	ID Précédente	US / Info. Diverses	Latitude	Longitude
BDX24203	archéologique	Basi		T. Perrin	PRL 78	1227		
BDX24204	archéologique	Basi		T. Perrin	PRL 78	1227		
BDX24205	archéologique	Basi		T. Perrin		1227		
BDX24206	archéologique	Basi		T. Perrin		1228		
BDX24207	archéologique	Basi		T. Perrin				
BDX24208	archéologique	Basi		T. Perrin		1303		
BDX24209	archéologique	Basi		T. Perrin		1303		
BDX24210	archéologique	Basi		T. Perrin		1303		
BDX24211	archéologique	Basi		T. Perrin	1	1308		
BDX24212	archéologique	Basi		T. Perrin		1313		
BDX24213	archéologique	Basi		T. Perrin		1313		
BDX24214	archéologique	Basi		T. Perrin		1313		
BDX24215	archéologique	Basi		T. Perrin		1313		
BDX24216	archéologique	Basi		T. Perrin		1317		
BDX24217	archéologique	Basi		T. Perrin		1317		
BDX24218	archéologique	Basi		T. Perrin		1321		
BDX24219	archéologique	Basi		T. Perrin		1321		
BDX24220	archéologique	Basi		T. Perrin		1321		
BDX24221	archéologique	Basi		T. Perrin		1321		
BDX24222	archéologique	Basi		T. Perrin		1321		
BDX24223	archéologique	Basi		T. Perrin	436	1321		
BDX24224	archéologique	Basi		T. Perrin		1321		
BDX24225	archéologique	Basi		T. Perrin		1321		
BDX24226	archéologique	Basi		T. Perrin		1321		
BDX24227	archéologique	Basi		T. Perrin		1321		
BDX24228	archéologique	Basi		T. Perrin		1321		
BDX24229	archéologique	Basi		T. Perrin		1321		
BDX24230	archéologique	Basi		T. Perrin		1321		
BDX24231	archéologique	Basi		T. Perrin		1321		
BDX24232	archéologique	Basi		T. Perrin		1321		
BDX24233	archéologique	Basi		T. Perrin		1321		
BDX24234	archéologique	Basi		T. Perrin		1321		
BDX24235	archéologique	Basi		T. Perrin		1321		

BDX	Type	Provenance	Complément provenance	Pourvoyeur	ID Précédente	US / Info. Diverses	Latitude	Longitude
BDX24236	archéologique	Basi		T. Perrin		1321		
BDX24237	archéologique	Basi		T. Perrin		1321		
BDX24238	archéologique	Basi		T. Perrin		1321		
BDX24239	archéologique	Basi		T. Perrin		1321		
BDX24240	archéologique	Basi		T. Perrin		1321		
BDX24241	archéologique	Basi		T. Perrin		1321		
BDX24242	archéologique	Basi		T. Perrin		1321		
BDX24243	archéologique	Basi		T. Perrin		1321		
BDX24244	archéologique	Basi		T. Perrin		1321		
BDX24245	archéologique	Basi		T. Perrin		1321		
BDX24246	archéologique	Basi		T. Perrin		1321		
BDX24247	archéologique	Basi		T. Perrin		1321		
BDX24248	archéologique	Basi		T. Perrin		1321		
BDX24249	archéologique	Basi		T. Perrin		1321		
BDX24250	archéologique	Basi		T. Perrin		1321		
BDX24251	archéologique	Basi		T. Perrin	144	1321		
BDX24252	archéologique	Basi		T. Perrin	104	1321		
BDX24253	archéologique	Basi		T. Perrin		1323		
BDX24254	archéologique	Basi		T. Perrin		1323		
BDX24255	archéologique	Basi		T. Perrin		1323		
BDX24256	archéologique	Basi		T. Perrin		1323		
BDX24257	archéologique	Basi		T. Perrin		1323		
BDX24258	archéologique	Basi		T. Perrin		1323		
BDX24259	archéologique	Basi		T. Perrin		1323		
BDX24260	archéologique	Basi		T. Perrin		1325		
BDX24261	archéologique	Basi		T. Perrin		1328		
BDX24262	archéologique	Basi		T. Perrin		1328		
BDX24263	archéologique	Basi		T. Perrin		1328		
BDX24264	archéologique	Basi		T. Perrin	2	1329		
BDX24265	archéologique	Basi		T. Perrin		1329		
BDX24266	archéologique	Basi		T. Perrin		1401		
BDX24267	archéologique	Basi		T. Perrin		1401		
BDX24268	archéologique	Basi		T. Perrin		1401		

BDX	Type	Provenance	Complément provenance	Pourvoyeur	ID Précédente	US / Info. Diverses	Latitude	Longitude
BDX24269	archéologique	Basi		T. Perrin		1401		
BDX24270	archéologique	Basi		T. Perrin		1401		
BDX24271	archéologique	Basi		T. Perrin		1401		
BDX24272	archéologique	Basi		T. Perrin		1401		
BDX24273	archéologique	Basi		T. Perrin		1401		
BDX24274	archéologique	Basi		T. Perrin		1404		
BDX24275	archéologique	Basi		T. Perrin		1404		
BDX24276	archéologique	Basi		T. Perrin		1404		
BDX24277	archéologique	Basi		T. Perrin		1404		
BDX24278	archéologique	Basi		T. Perrin		1404		
BDX24279	archéologique	Basi		T. Perrin		1404		
BDX24280	archéologique	Basi		T. Perrin	103	1406		
BDX24281	archéologique	Basi		T. Perrin		1406		
BDX24282	archéologique	Basi		T. Perrin		1406		
BDX24283	archéologique	Basi		T. Perrin		1406		
BDX24284	archéologique	Basi		T. Perrin		1414		
BDX24285	archéologique	Basi		T. Perrin		1416		
BDX24286	archéologique	Basi		T. Perrin		1416		
BDX24287	archéologique	Basi		T. Perrin		1416		
BDX24288	archéologique	Basi		T. Perrin	48	1421		
BDX24289	archéologique	Basi		T. Perrin		1421		
BDX24290	archéologique	Basi		T. Perrin		1421		
BDX24291	archéologique	Basi		T. Perrin		1423		
BDX24292	archéologique	Basi		T. Perrin		1423		
BDX24293	archéologique	Basi		T. Perrin		1423		
BDX24294	archéologique	Basi		T. Perrin		1423		
BDX24295	archéologique	Basi		T. Perrin		1423		
BDX24296	archéologique	Basi		T. Perrin		1423		
BDX24297	archéologique	Basi		T. Perrin		1423		
BDX24298	archéologique	Basi		T. Perrin	24	1425		
BDX24299	archéologique	Basi		T. Perrin		1430		
BDX24300	archéologique	Basi		T. Perrin		1430		
BDX24301	archéologique	Basi		T. Perrin		1430		

BDX	Type	Provenance	Complément provenance	Pourviseur	ID Précédente	US / Info. Diverses	Latitude	Longitude
BDX24302	archéologique	Basi		T. Perrin		1433		
BDX24303	archéologique	Basi		T. Perrin		1437		
BDX24304	archéologique	Basi		T. Perrin		1437		
BDX24305	archéologique	Basi		T. Perrin		1437		
BDX24306	archéologique	Basi		T. Perrin		1437		
BDX24307	archéologique	Basi		T. Perrin		1437		
BDX24308	archéologique	Basi		T. Perrin		1437		
BDX24309	archéologique	Basi		T. Perrin		1437		
BDX24310	archéologique	Basi		T. Perrin		1437		
BDX24311	archéologique	Basi		T. Perrin		1437		
BDX24312	archéologique	Basi		T. Perrin		1437		
BDX24313	archéologique	Basi		T. Perrin		1437		
BDX24314	archéologique	Basi		T. Perrin		1438		
BDX24315	archéologique	Basi		T. Perrin		1438		
BDX24316	archéologique	Basi		T. Perrin		1441		
BDX24317	archéologique	Basi		T. Perrin	3656	1442		
BDX24318	archéologique	Basi		T. Perrin		1445		
BDX24319	archéologique	Basi		T. Perrin		1445		
BDX24320	archéologique	Basi		T. Perrin		1445		
BDX24321	archéologique	Basi		T. Perrin		1445		
BDX24322	archéologique	Basi		T. Perrin		1445		
BDX24323	archéologique	Basi		T. Perrin		1445		
BDX24324	archéologique	Basi		T. Perrin		1445		
BDX24325	archéologique	Basi		T. Perrin		1445		
BDX24326	archéologique	Basi		T. Perrin		1450		
BDX24327	archéologique	Basi		T. Perrin		1451		
BDX24328	archéologique	Basi		T. Perrin		1451		
BDX24329	archéologique	Basi		T. Perrin		1451		
BDX24330	archéologique	Basi		T. Perrin		1451		
BDX24331	archéologique	Basi		T. Perrin		1451		
BDX24332	archéologique	Basi		T. Perrin		1451		
BDX24333	archéologique	Basi		T. Perrin		1453		
BDX24334	archéologique	Basi		T. Perrin		1453		

BDX	Type	Provenance	Complément provenance	Pourvoyeur	ID Précédente	US / Info. Diverses	Latitude	Longitude
BDX24335	archéologique	Basi		T. Perrin		1453		
BDX24336	archéologique	Basi		T. Perrin		1453		
BDX24337	archéologique	Basi		T. Perrin		1457		
BDX24338	archéologique	Basi		T. Perrin		1457		
BDX24339	archéologique	Basi		T. Perrin		1457		
BDX24340	archéologique	Basi		T. Perrin		1457		
BDX24341	archéologique	Basi		T. Perrin		1457		
BDX24342	archéologique	Basi		T. Perrin		1457		
BDX24343	archéologique	Basi		T. Perrin		1457		
BDX24344	archéologique	Basi		T. Perrin		1457		
BDX24345	archéologique	Basi		T. Perrin		1457		
BDX24346	archéologique	Basi		T. Perrin		1457		
BDX24347	archéologique	Basi		T. Perrin	24	1460		
BDX24348	archéologique	Basi		T. Perrin		1463		
BDX24349	archéologique	Basi		T. Perrin		1463		
BDX24350	archéologique	Basi		T. Perrin	34	1463		
BDX24351	archéologique	Basi		T. Perrin		1602		
BDX24352	archéologique	Basi		T. Perrin		1602		
BDX24353	archéologique	Basi		T. Perrin		1602		
BDX24354	archéologique	Basi		T. Perrin		1602		
BDX24355	archéologique	Basi		T. Perrin		1605		
BDX24356	archéologique	Basi		T. Perrin		1605		
BDX24357	archéologique	Basi		T. Perrin		1606		
BDX24358	archéologique	Basi		T. Perrin		1611		
BDX24359	archéologique	Basi		T. Perrin		1611		
BDX24360	archéologique	Basi		T. Perrin		1611		
BDX24361	archéologique	Basi		T. Perrin		1613		
BDX24362	archéologique	U Monti di A Torra	Cuttoli-Corticchiato	H. Paolini-Saez		HS		
BDX24363	archéologique	Abri des Castelli	ADC 2014, Subcarré D	L. Martinet	8587	A2 C3		
BDX24364	archéologique	Abri des Castelli	ADC 2014, Subcarré D	L. Martinet	8590	A1 C3		
BDX24365	archéologique	Abri des Castelli	ADC 2012	L. Martinet	5739	D		
BDX24366	archéologique	Abri des Castelli	ADC 2014	L. Martinet	7835	A1 C3		
BDX24367	archéologique	Abri des Castelli	ADC 2014, Subcarré C	L. Martinet	8602	A1 C3		

BDX	Type	Provenance	Complément provenance	Pourvoyeur	ID Précédente	US / Info. Diverses	Latitude	Longitude
BDX24915	géologique	Porto Vecchiaccio (environ)		Paul Ebra			41.658004	9.342842
BDX24916	géologique	Torre de Bruschiaccia					41.56025	9.254115
BDX24917	géologique	Punta di a Vacca Morta	Sur le Mare a Mare				41.654814	9.169378
BDX24918	géologique	L'Ospedale	Sur le Mare a Mare				41.653499	9.19944
BDX24919	géologique	U Fiumicicoli	Dans la rivière				41.685669	9.132557
BDX24920	géologique	Bocca di Mela	Sur le Mare a Mare				41.67405	9.166996
BDX24921	géologique	Tappa	Vers les abris				41.554445	9.233998
BDX24922	géologique	Nécropole de Tarquinu		K. Peche-Quilichini			41.545139	9.247313

2. Référentiel géologique - données EDXRF

BDX	Source	Region	Na2O	MgO	Al2O3	SiO2	P2O5	K2O	CaO	TiO2	MnO	Fe2O3	Zn	Ga	Rb	Sr	Y	Zr	Nb	Ba	Pb	Date
BDX17878	Stagnu Se	Ascu	31230,95	867	115168	790355	1233	44681	836	748	168	13795	32	20	201	3	71	460	28	98	6	09/06/17
BDX17878	Stagnu Se	Ascu	29534,47	845	111924	798582	943	44080	787	572	158	11784	30	18	194	3	63	360	25	93	5	09/06/17
BDX17878	Stagnu Se	Ascu	30646,86	945	110029	800171	976	43728	767	530	139	11277	32	18	197	2	61	351	30	96	4	09/06/17
BDX17878	Stagnu Se	Ascu	25095,02	1108	112245	792601	114	51075	2285	922	157	13408	34	21	230	4	82	487	29	99	6	12/06/17
BDX17878	Stagnu Se	Ascu	29340,63	787	126361	774869	154	52856	1656	695	151	12212	36	23	240	3	73	425	23	89	7	13/06/17
BDX17878	Stagnu Se	Ascu	27284,87	2182	133921	773258	120	46793	1394	452	202	13453	30	21	219	3	70	430	34	128	6	12/06/18
BDX17878	Stagnu Se	Ascu	33823,05	546	126833	780448	131	42957	1325	502	164	12428	26	18	191	3	64	394	26	118	5	12/06/18
BDX17878	Stagnu Se	Ascu	27997,93	869	128489	784689	285	43954	1387	60	160	11265	28	18	201	2	62	371	29	128	5	12/06/18
BDX17879	Stagnu Se	Ascu	26422,64	1296	110104	792756	1015	44518	921	816	241	20402	67	22	243	3	154	842	54	90	33	09/06/17
BDX17879	Stagnu Se	Ascu	30331,93	1221	105108	799009	1086	41706	746	635	219	18719	60	20	226	3	86	526	43	232	21	09/06/17
BDX17879	Stagnu Se	Ascu	23250,03	921	105161	803697	1315	43195	907	762	182	18722	57	20	214	3	215	1204	53	89	32	09/06/17
BDX17879	Stagnu Se	Ascu	22151,63	704	102782	800761	776	46559	3340	947	351	20496	73	22	260	7	87	524	33	96	30	12/06/17
BDX17879	Stagnu Se	Ascu	24978,12	814	114455	783519	229	48903	2042	857	249	22703	78	26	271	3	102	616	41	95	20	13/06/17
BDX17879	Stagnu Se	Ascu	27313,03	709	137934	760064	111	46685	1539	2254	197	21764	75	24	262	3	122	761	53	105	26	12/06/18
BDX17879	Stagnu Se	Ascu	30610,19	720	129102	763537	114	47157	1618	2483	220	22638	74	23	256	3	185	1046	64	119	33	12/06/18
BDX17879	Stagnu Se	Ascu	32323	1441	124812	765337	127	49258	1692	1147	202	21603	73	24	258	3	222	1270	65	114	28	12/06/18
BDX17879	Stagnu Se	Ascu	27270,87	815	133507	769436	108	45335	1492	673	152	19855	68	23	262	3	108	683	50	138	21	12/06/18
BDX17880	Stagnu Se	Ascu	24732,14	2313	129235	762569	799	61577	963	605	178	15972	55	24	313	3	78	442	35	97	10	09/06/17
BDX17880	Stagnu Se	Ascu	27774,93	1679	121393	772562	830	54368	850	791	226	18446	50	22	267	2	85	520	39	85	9	09/06/17
BDX17880	Stagnu Se	Ascu	20115,13	1557	122768	780775	889	57750	967	489	126	13560	47	24	298	3	70	444	24	85	8	09/06/17
BDX17880	Stagnu Se	Ascu	21686,94	781	109577	793203	1219	49285	3256	770	263	18776	58	25	303	2	92	567	33	93	10	12/06/17
BDX17880	Stagnu Se	Ascu	22942,18	1008	124590	763707	131	65431	1573	980	261	18153	65	30	368	3	84	541	31	92	10	13/06/17
BDX17880	Stagnu Se	Ascu	29561,45	669	139974	738418	135	69493	2219	433	208	17653	66	28	349	3	88	522	37	134	10	12/06/18
BDX17880	Stagnu Se	Ascu	30005,67	627	138641	744083	125	62800	1984	915	201	19327	61	26	321	3	93	602	42	135	10	12/06/18
BDX17880	Stagnu Se	Ascu	29314,03	613	137636	749154	462	58396	1744	1122	210	20058	62	25	291	3	102	635	43	119	10	12/06/18
BDX17880	Stagnu Se	Ascu	30222,46	2143	137564	755307	365	51345	1642	722	200	19259	59	25	284	3	99	602	36	114	9	12/06/18
BDX17880	Stagnu Se	Ascu	28027,93	827	131571	756987	513	62838	1916	693	222	15205	58	24	319	2	87	537	38	122	13	12/06/18
BDX17880	Stagnu Se	Ascu	27931,62	760	133253	761517	113	56756	1799	726	171	16429	56	23	302	2	86	527	30	110	9	12/06/18
BDX17881	Stagnu Sr	Ascu	17867,59	10120	113738	793523	1131	45360	849	984	309	15405	47	16	364	4	27	83	17	151	6	09/06/17
BDX17881	Stagnu Sr	Ascu	19617,52	9758	108856	800417	1313	44097	914	902	127	13216	47	15	345	5	25	85	20	239	2	09/06/17
BDX17881	Stagnu Sr	Ascu	17928,9	9160	95586	827214	1199	36133	757	829	148	10470	39	12	279	4	20	73	16	134	2	09/06/17

BDX	Source	Region	Na2O	MgO	Al2O3	SiO2	P2O5	K2O	CaO	TiO2	MnO	Fe2O3	Zn	Ga	Rb	Sr	Y	Zr	Nb	Ba	Pb	Date
BDX17881	Stagnu Sr	Ascu	16973,08	6035	95297	829174	1098	36919	2238	637	247	10810	40	12	285	4	16	55	13	146	2	12/06/17
BDX17881	Stagnu Sr	Ascu	18159,5	10808	120622	774754	1012	50718	1712	1467	325	19534	59	20	455	5	37	133	22	155	4	13/06/17
BDX17882	Stagnu Sr	Ascu	25683,05	926	118477	782087	942	48649	889	934	57	20164	16	20	256	5	100	647	43	81	26	09/06/17
BDX17882	Stagnu Sr	Ascu	31663,55	871	113964	785735	902	44099	816	829	63	19997	17	22	234	5	82	555	38	85	22	09/06/17
BDX17882	Stagnu Sr	Ascu	35563,39	781	111581	792604	798	35237	737	775	103	20858	17	20	191	4	72	462	47	129	19	09/06/17
BDX17882	Stagnu Sr	Ascu	31528,02	727	110650	786219	791	43169	3548	850	116	21305	17	23	241	5	93	579	35	87	19	12/06/17
BDX17882	Stagnu Sr	Ascu	23129,51	716	111026	796985	153	43892	1670	799	54	20505	17	22	234	5	85	538	35	113	20	13/06/17
BDX17882	Stagnu Sr	Ascu	36127,29	1579	109473	769246	186	55572	1677	1504	52	23194	18	25	296	6	116	737	50	112	29	12/06/18
BDX17882	Stagnu Sr	Ascu	36886,57	1686	108938	773015	181	52881	1739	1088	67	22255	19	25	283	5	94	651	48	116	22	12/06/18
BDX17882	Stagnu Sr	Ascu	34953,87	1565	111687	775189	157	49296	1527	1260	62	23026	18	24	257	5	103	680	48	118	24	12/06/18
BDX17882	Stagnu Sr	Ascu	36468,09	1533	105329	781843	184	48334	1475	1088	45	22549	17	24	257	4	88	573	48	119	22	12/06/18
BDX17883	Stagnu Sr	Ascu	31691,15	1055	129035	760203	891	57143	1033	1220	163	16324	16	27	310	3	136	611	53	79	8	09/06/17
BDX17883	Stagnu Sr	Ascu	31124,42	1155	123630	773162	1060	49063	859	1054	147	17500	18	27	290	4	134	630	49	87	9	09/06/17
BDX17883	Stagnu Sr	Ascu	22668,21	898	115312	793265	154	48774	949	792	97	15983	17	26	277	3	110	539	40	87	7	09/06/17
BDX17883	Stagnu Sr	Ascu	20829,91	2235	117352	775120	875	64132	2991	704	146	14233	19	26	348	3	146	673	55	104	9	12/06/17
BDX17883	Stagnu Sr	Ascu	32949,06	1159	112863	779443	187	53105	1304	959	145	16610	20	25	302	3	137	648	51	81	9	13/06/17
BDX17883	Stagnu Sr	Ascu	32365,57	1889	117262	754731	154	70774	2554	850	186	17693	18	28	388	3	153	754	57	131	8	12/06/18
BDX17883	Stagnu Sr	Ascu	35325,68	1921	116319	757777	158	63754	2062	996	114	20045	18	29	357	4	155	774	56	125	9	12/06/18
BDX17883	Stagnu Sr	Ascu	33606,63	1921	116686	763556	160	59375	1874	916	93	20307	16	29	339	3	156	764	57	133	9	12/06/18
BDX17884	Stagnu Sr	Ascu	43532,03	1115	126012	763919	1072	43798	832	1011	145	17543	11	19	250	4	85	470	52	115	15	09/06/17
BDX17884	Stagnu Sr	Ascu	18680,54	1033	124024	773819	824	63872	1125	791	51	14809	11	18	328	4	67	387	42	90	25	09/06/17
BDX17884	Stagnu Sr	Ascu	24109,52	910	117029	791471	1197	45392	882	1157	86	16783	12	19	262	4	79	445	52	96	16	09/06/17
BDX17884	Stagnu Sr	Ascu	26177,46	776	121123	780025	114	51683	2477	672	110	15047	22	28	353	4	213	1009	57	92	18	12/06/17
BDX17884	Stagnu Sr	Ascu	21581,8	1381	122105	759694	1151	69152	1617	1617	216	19801	25	27	426	4	163	840	66	98	36	13/06/17
BDX17884	Stagnu Sr	Ascu	31513,84	1878	138665	738472	395	68794	2178	1017	43	15943	11	18	353	5	75	447	42	115	36	12/06/18
BDX17884	Stagnu Sr	Ascu	28190,33	739	137910	744281	108	62702	1961	1427	122	21314	12	20	326	5	95	557	60	140	31	12/06/18

BDX	Source	Region	Na2O	MgO	Al2O3	SiO2	P2O5	K2O	CaO	TiO2	MnO	Fe2O3	Zn	Ga	Rb	Sr	Y	Zr	Nb	Ba	Pb	Date
BDX17884	Stagnu Sr	Ascu	28263,72	1464	143275	747440	135	56057	1788	1935	115	18110	10	22	304	4	133	752	63	110	21	12/06/18
BDX17884	Stagnu Sr	Ascu	28195,51	784	139297	747829	133	59891	1926	1195	86	19514	12	20	318	5	86	507	55	123	23	12/06/18
BDX17884	Stagnu Sr	Ascu	27772,82	2161	140917	759971	132	47311	1540	1749	67	17212	10	20	271	5	100	573	55	114	19	12/06/18
BDX17885	Stagnu Sr	Ascu	49189,74	886	136246	744781	924	45969	795	874	221	18811	40	34	224	5	117	733	56	78	16	09/06/17
BDX17885	Stagnu Sr	Ascu	48503,66	810	126223	755412	752	40442	758	1328	266	24262	45	29	203	7	104	689	51	87	30	09/06/17
BDX17885	Stagnu Sr	Ascu	23710,06	2182	102835	797709	1802	29861	547	2217	331	37530	50	27	159	5	110	737	58	94	37	09/06/17
BDX17885	Stagnu Sr	Ascu	36970,7	770	131986	756244	741	41744	2680	1499	296	25335	51	37	236	7	177	1044	69	95	19	12/06/17
BDX17885	Stagnu Sr	Ascu	34058,18	745	129121	763369	105	49450	1419	697	258	19627	39	32	238	7	85	605	34	98	13	13/06/17
BDX17886	Plateau d'Alzu	Cortonais	36149,59	1324	133153	757187	924	44698	12334	1834	308	10447	26	16	152	124	25	154	17	1105	23	09/06/17
BDX17886	Plateau d'Alzu	Cortonais	32098,67	903	132732	761360	1096	45887	11545	1658	301	10788	26	16	142	108	24	145	20	1128	22	09/06/17
BDX17886	Plateau d'Alzu	Cortonais	24771,18	710	124890	769614	874	48236	14667	2229	345	11824	29	17	158	129	31	147	22	1282	24	12/06/17
BDX17886	Plateau d'Alzu	Cortonais	33260,28	904	138149	753537	426	48074	11770	1951	302	9968	25	17	159	119	25	147	19	1120	27	13/06/17
BDX17886	Plateau d'Alzu	Cortonais	42653,62	1521	142128	732377	167	45804	13091	3439	435	16689	30	16	149	119	26	167	19	1147	23	14/06/18
BDX17886	Plateau d'Alzu	Cortonais	45955,41	615	141152	738716	232	44753	13791	2036	350	10694	23	16	151	120	26	161	18	1167	23	14/06/18
BDX17886	Plateau d'Alzu	Cortonais	39315,48	663	142380	743189	192	46113	12967	1818	335	11351	23	17	148	113	24	160	18	1149	25	14/06/18
BDX17886	Plateau d'Alzu	Cortonais	40795,66	679	140889	744141	216	45698	12823	1966	339	10724	22	16	143	108	25	176	19	1195	25	14/06/18
BDX17886	Stagnu Sr	Ascu	44044,96	910	133692	749355	811	46038	11769	1361	286	9991	23	15	142	109	23	152	19	1235	24	09/06/17
BDX17887	Plateau d'Alzu	Cortonais	38635,21	2239	132296	754154	997	47088	10188	1736	287	10686	22	16	145	121	26	136	18	1190	19	09/06/17
BDX17887	Plateau d'Alzu	Cortonais	44446,16	1492	133551	755381	856	44364	5813	1600	261	10684	20	15	134	91	22	151	18	1088	15	09/06/17
BDX17887	Plateau d'Alzu	Cortonais	35156,15	1102	134398	758924	941	48571	6367	1738	285	10840	21	16	168	112	21	144	17	1164	15	09/06/17
BDX17887	Plateau d'Alzu	Cortonais	23382,61	709	129687	750864	1168	52378	12968	4044	467	22293	40	21	243	120	27	221	22	1323	21	12/06/17
BDX17887	Plateau d'Alzu	Cortonais	23858,56	635	121677	776389	182	48553	13752	1671	274	11257	25	18	167	129	25	166	20	1183	19	13/06/17
BDX17887	Plateau d'Alzu	Cortonais	29806,7	993	152962	736228	776	51480	8227	2660	387	14508	24	19	185	114	25	186	22	1381	17	14/06/18
BDX17887	Plateau d'Alzu	Cortonais	29640,39	945	148346	741785	292	50561	12013	2133	346	11993	22	18	160	132	32	178	22	1364	19	14/06/18
BDX17887	Plateau d'Alzu	Cortonais	27936,68	737	146855	752596	325	48898	7086	1957	307	11516	19	16	155	98	24	180	22	1258	16	14/06/18
BDX17887	Plateau d'Alzu	Cortonais	30028,66	2211	138197	756904	106	50146	7492	1751	311	11009	18	16	180	106	24	152	22	1313	14	14/06/18
BDX17888	Plateau d'Alzu	Cortonais	31461,54	1666	135746	750089	894	47044	10614	2800	380	17611	31	17	149	125	23	180	21	1128	20	09/06/17
BDX17888	Plateau d'Alzu	Cortonais	43861,72	1323	131499	752604	1005	45094	10358	1888	280	10443	22	15	133	115	28	169	21	1120	20	09/06/17
BDX17888	Plateau d'Alzu	Cortonais	32187,25	1477	132655	761084	927	45168	10814	1921	285	11877	26	16	139	128	24	155	19	1081	19	09/06/17
BDX17888	Plateau d'Alzu	Cortonais	26377,53	1358	142120	732790	2284	52045	15602	3972	465	21118	35	20	171	154	37	153	21	1259	20	13/06/17
BDX17889	Plateau d'Alzu	Cortonais	44028,95	1403	131978	751872	867	45499	10407	1794	289	10310	20	16	135	105	25	160	22	1049	22	09/06/17

BDX	Source	Region	Na2O	MgO	Al2O3	SiO2	P2O5	K2O	CaO	TiO2	MnO	Fe2O3	Zn	Ga	Rb	Sr	Y	Zr	Nb	Ba	Pb	Date
BDX17889	Plateau d'Aizu	Cortonais	40787,11	1311	134142	755675	937	45957	7112	1614	288	10520	20	14	140	98	20	152	20	1173	19	09/06/17
BDX17889	Plateau d'Aizu	Cortonais	38359,71	1420	132386	756703	846	46938	10727	1334	270	9452	19	15	137	110	24	158	18	1059	24	09/06/17
BDX17889	Plateau d'Aizu	Cortonais	25074,84	879	132023	766169	800	49580	12066	1576	305	9832	23	16	150	117	26	166	20	1152	27	12/06/17
BDX17889	Plateau d'Aizu	Cortonais	21868,82	624	134073	766328	499	48247	13096	1844	327	11419	23	17	142	139	23	140	21	1148	22	13/06/17
BDX17890	Plateau d'Aizu	Cortonais	46081,2	1699	134943	748972	821	46798	5528	1799	279	11480	22	15	153	93	22	150	18	1112	16	09/06/17
BDX17890	Plateau d'Aizu	Cortonais	45689,34	1254	135014	749691	947	46474	5870	2129	280	10956	19	14	167	92	23	146	20	1203	14	09/06/17
BDX17890	Plateau d'Aizu	Cortonais	44883,49	1091	135486	750464	1020	45968	6578	1653	266	10982	20	16	146	95	24	145	19	1125	19	09/06/17
BDX17890	Plateau d'Aizu	Cortonais	28463,85	613	135983	766364	713	49467	5611	1710	233	9141	19	16	180	80	23	147	20	1201	14	12/06/17
BDX17890	Plateau d'Aizu	Cortonais	24064,87	703	134492	766662	882	49638	7915	1727	297	11941	27	17	154	111	25	149	21	1153	21	13/06/17
BDX17891	Plateau d'Aizu	Cortonais	47833,28	1966	133305	742661	1115	46206	12031	2148	280	10847	22	17	156	118	26	166	18	1064	20	09/06/17
BDX17891	Plateau d'Aizu	Cortonais	45585,36	1378	132600	749834	911	45061	11387	1765	261	9625	20	15	153	121	24	165	17	1059	19	09/06/17
BDX17891	Plateau d'Aizu	Cortonais	34473,11	1158	134155	756253	1281	46796	11284	1520	277	11048	22	16	160	117	25	153	19	1223	19	09/06/17
BDX17891	Plateau d'Aizu	Cortonais	45518,22	926	135925	745885	898	45888	12215	1322	254	9451	20	15	154	122	27	171	20	1173	16	12/06/17
BDX17891	Plateau d'Aizu	Cortonais	26219,87	818	136088	763436	765	47782	11311	1469	269	10036	23	17	166	128	28	167	21	1240	19	13/06/17
BDX17891	Plateau d'Aizu	Cortonais	30602,78	798	152434	731567	156	51460	15746	2376	364	12592	29	19	183	159	28	175	20	1269	24	14/06/18
BDX17891	Plateau d'Aizu	Cortonais	31156,18	630	147171	740155	135	49154	14884	2540	342	11987	24	17	170	131	31	189	23	1237	23	14/06/18
BDX17891	Plateau d'Aizu	Cortonais	43063,85	736	141101	742177	193	45781	12989	1971	286	9981	18	15	156	124	25	178	19	1169	16	14/06/18
BDX17891	Plateau d'Aizu	Cortonais	27950,02	635	147871	744125	290	49063	13982	1904	332	11991	21	17	176	135	27	174	19	1269	19	14/06/18
BDX17892	Plateau d'Aizu	Cortonais	48854,1	2020	135110	741185	885	44799	12127	1856	342	11134	33	16	159	114	26	148	21	1147	27	09/06/17
BDX17892	Plateau d'Aizu	Cortonais	44225,53	1684	131574	747819	1101	44953	12303	2157	360	12208	38	15	158	117	24	157	17	1062	27	09/06/17
BDX17892	Plateau d'Aizu	Cortonais	32110,7	1590	131190	757220	866	52146	10424	1750	326	10691	31	15	172	112	25	152	18	1134	28	09/06/17
BDX17892	Plateau d'Aizu	Cortonais	36559,43	1060	138041	747464	254	44563	18117	1661	329	10256	33	18	161	160	25	152	21	1098	27	12/06/17
BDX17892	Plateau d'Aizu	Cortonais	29380,21	791	128829	767445	506	47261	12445	1712	349	9526	30	17	165	123	28	164	21	1181	29	13/06/17
BDX17892	Plateau d'Aizu	Cortonais	34931,34	2137	131955	745485	134	50668	16329	2402	435	13517	35	18	188	139	30	197	24	1343	34	14/06/18
BDX17892	Plateau d'Aizu	Cortonais	36091,94	1850	128454	746400	133	53865	16042	2137	410	12572	31	18	195	141	29	187	22	1382	38	14/06/18
BDX17892	Plateau d'Aizu	Cortonais	31665,43	1222	125387	755336	158	50305	14287	2575	464	16653	39	17	188	129	29	191	20	1297	37	14/06/18
BDX17893	Plateau d'Aizu	Cortonais	44486,72	1034	132389	749306	887	45609	10991	1755	328	11531	28	15	165	110	26	150	20	1149	22	09/06/17
BDX17893	Plateau d'Aizu	Cortonais	40318,27	1427	134885	752264	875	45278	10953	1552	320	10492	25	17	158	110	27	152	17	1110	19	09/06/17
BDX17893	Plateau d'Aizu	Cortonais	32626,87	1358	133939	757490	805	47702	11560	1726	315	10795	27	17	165	116	23	151	18	1143	24	09/06/17
BDX17893	Plateau d'Aizu	Cortonais	25904,54	733	122951	770978	322	49334	13723	1938	354	11944	28	18	178	125	24	171	21	1227	26	12/06/17
BDX17893	Plateau d'Aizu	Cortonais	26484,04	800	123859	770832	2029	46979	13300	1973	324	11558	31	18	158	128	26	219	21	1241	21	13/06/17
BDX17893	Plateau d'Aizu	Cortonais	35765,43	1710	128131	740377	139	62815	13998	2001	406	12438	26	18	223	136	27	185	24	1556	26	14/06/18
BDX17893	Plateau d'Aizu	Cortonais	38416,01	1872	127003	744969	607	52793	16010	2312	412	13547	29	19	203	148	31	188	21	1393	27	14/06/18

BDX	Source	Region	Na2O	MgO	Al2O3	SiO2	P2O5	K2O	CaO	TiO2	MnO	Fe2O3	Zn	Ga	Rb	Sr	Y	Zr	Nb	Ba	Pb	Date
BDX17893	Plateau d'Aizu	Cortonais	36329,33	1684	125271	752740	696	52252	14296	2150	392	12235	27	18	186	133	29	199	22	1314	27	14/06/18
BDX17894	Plateau d'Aizu	Cortonais	47223,57	1045	136997	743734	143	45309	13399	996	346	9220	28	16	172	112	23	143	17	1058	18	09/06/17
BDX17894	Plateau d'Aizu	Cortonais	47831,02	2288	134566	745483	1197	45121	12200	1291	296	8131	22	15	169	111	25	144	20	1075	15	09/06/17
BDX17894	Plateau d'Aizu	Cortonais	41753,88	1745	133093	750760	859	46366	12455	2003	321	9010	31	15	177	107	24	163	18	1080	18	09/06/17
BDX17894	Plateau d'Aizu	Cortonais	27572,11	845	138945	755401	1146	48787	15121	1549	319	8612	29	16	187	116	26	172	18	1120	18	12/06/17
BDX17894	Plateau d'Aizu	Cortonais	36767,32	1140	136381	754444	948	47164	11474	1693	277	8047	24	15	176	107	23	155	19	1131	15	13/06/17
BDX17894	Plateau d'Aizu	Cortonais	32110,76	1547	153498	730693	769	52781	14384	2093	386	9808	29	17	210	126	30	197	21	1280	20	14/06/18
BDX17894	Plateau d'Aizu	Cortonais	33112,67	677	146678	741376	106	49388	14810	2442	348	9263	24	16	192	126	26	176	26	1196	17	14/06/18
BDX17894	Plateau d'Aizu	Cortonais	39864,25	780	138590	746159	219	47350	14593	1127	366	9240	25	15	181	119	27	161	18	1150	17	14/06/18
BDX17895	Plateau d'Aizu	Cortonais	33427,29	854	133267	756235	873	47226	12026	1738	318	12281	27	17	170	121	28	165	23	1182	22	09/06/17
BDX17895	Plateau d'Aizu	Cortonais	25228,61	827	129154	757594	918	46188	13154	3435	440	21218	38	19	181	131	28	171	23	1232	20	09/06/17
BDX17895	Plateau d'Aizu	Cortonais	31743,47	842	131685	759497	764	45901	12148	2017	339	13335	27	17	169	128	28	178	23	1135	23	09/06/17
BDX17895	Plateau d'Aizu	Cortonais	23810,34	659	129669	755035	2024	47373	25368	1820	347	12129	29	19	175	128	29	171	21	1171	22	12/06/17
BDX17895	Plateau d'Aizu	Cortonais	43681,14	1468	131874	750019	911	44759	11646	1761	310	11863	25	16	162	114	26	156	17	1169	22	13/06/17
BDX17907	Monte d'Oro	Monte d'Oro	35400,45	8797	131744	759661	724	46560	3360	738	262	11802	90	15	149	61	34	80	19	485	18	09/06/17
BDX17907	Monte d'Oro	Monte d'Oro	45735,32	2879	129204	763357	748	45537	4513	845	224	5876	46	13	153	56	23	71	18	693	7	09/06/17
BDX17907	Monte d'Oro	Monte d'Oro	31137,13	2093	130110	773723	891	47893	4900	1025	246	6544	57	13	160	59	22	80	19	1021	7	09/06/17
BDX17907	Monte d'Oro	Monte d'Oro	41119,1	1348	133025	760574	127	47716	6061	881	207	7780	111	16	156	63	21	77	19	658	42	12/06/17
BDX17907	Monte d'Oro	Monte d'Oro	31498,88	1039	133067	765643	784	51006	5030	1064	304	9545	127	18	174	71	27	80	19	488	14	13/06/17
BDX17909	Monte d'Oro	Monte d'Oro	51189,92	888	134090	759698	153	38248	5967	1017	260	7144	10	15	114	69	20	74	16	1024	3	09/06/17
BDX17909	Monte d'Oro	Monte d'Oro	49879,7	1383	133618	763374	948	32765	6489	927	295	9312	13	16	94	65	20	124	16	660	3	09/06/17
BDX17909	Monte d'Oro	Monte d'Oro	38141,53	794	132153	775264	712	37315	5933	799	269	7854	9	15	103	60	20	91	17	449	2	09/06/17
BDX17909	Monte d'Oro	Monte d'Oro	46211,62	1075	132396	758262	3	39091	11169	1009	290	9087	10	17	122	65	21	99	18	1049	3	12/06/17
BDX17909	Monte d'Oro	Monte d'Oro	28630,48	731	124205	788358	986	41362	6414	977	277	7295	10	17	125	62	22	109	20	397	3	13/06/17
BDX17910	Monte d'Oro	Monte d'Oro	45074,61	1309	137236	748246	174	57667	3786	628	147	4216	14	13	237	75	15	97	18	1040	9	09/06/17
BDX17910	Monte d'Oro	Monte d'Oro	31920,24	1284	138283	752244	140	66108	3125	707	160	4648	11	14	262	76	13	128	18	851	7	09/06/17
BDX17910	Monte d'Oro	Monte d'Oro	45020,5	1025	133779	752507	743	55311	4482	1136	172	4346	14	14	222	75	13	95	16	1022	6	09/06/17
BDX17910	Monte d'Oro	Monte d'Oro	28579,94	733	125917	777513	122	47793	11455	933	241	5661	54	18	185	87	20	101	20	559	10	12/06/17
BDX17910	Monte d'Oro	Monte d'Oro	31943,84	878	131868	772491	376	48506	5997	714	228	5853	26	16	175	84	20	92	19	706	6	13/06/17
BDX17911	Monte d'Oro	Monte d'Oro	50409,45	11284	143014	653940	3060	29432	24893	10681	1955	70345	106	22	212	213	28	242	23	138	3	09/06/17
BDX17911	Monte d'Oro	Monte d'Oro	57500,59	11083	139215	661549	2783	27889	24447	8507	1797	64336	97	20	189	207	32	226	20	101	3	09/06/17
BDX17911	Monte d'Oro	Monte d'Oro	51940,84	11211	138303	666684	2959	27548	24638	8187	1837	65803	107	20	189	202	28	223	18	98	4	09/06/17
BDX17912	Monte d'Oro	Monte d'Oro	52868,01	1384	135417	754833	788	39084	4453	752	327	8670	33	17	125	69	23	99	17	1040	3	09/06/17

BDX	Source	Region	Na2O	MgO	Al2O3	SiO2	P2O5	K2O	CaO	TiO2	MnO	Fe2O3	Zn	Ga	Rb	Sr	Y	Zr	Nb	Ba	Pb	Date
BDX17912	Monte d'Oro	Monte d'Oro	54277,33	1624	137084	756445	779	35586	5123	597	333	7217	32	17	131	68	24	71	16	574	2	09/06/17
BDX17912	Monte d'Oro	Monte d'Oro	52146,28	1552	134285	761488	768	35280	4502	840	308	7476	32	16	114	62	22	83	15	1009	2	09/06/17
BDX17912	Monte d'Oro	Monte d'Oro	34766,73	737	122720	779581	115	41773	7434	961	381	9975	41	18	134	63	25	109	20	1142	3	12/06/17
BDX17912	Monte d'Oro	Monte d'Oro	36474,89	862	128421	77588	882	40491	4538	900	351	8451	37	17	126	60	31	84	20	695	3	13/06/17
BDX17915	Abri des Castellis	Cortonais	33577,86	10826	155621	674335	1563	21071	37409	7971	1701	55051	73	20	157	267	29	167	20	135	6	12/06/17
BDX17915	Abri des Castellis	Cortonais	53446,37	11806	156493	658531	2323	21826	33743	8636	1744	50593	75	21	132	268	28	175	20	135	5	13/06/17
BDX17917	Abri des Castellis	Cortonais	45571,49	1729	135103	742519	976	47247	10608	1797	887	11895	33	17	191	104	24	154	21	1112	13	09/06/17
BDX17917	Abri des Castellis	Cortonais	32947,9	1228	138332	748115	1058	50125	11263	1707	916	12550	40	17	212	109	25	165	19	1154	16	09/06/17
BDX17917	Abri des Castellis	Cortonais	39357,33	2042	130127	756000	904	46125	10266	1884	745	10937	31	16	184	102	22	147	18	1079	14	09/06/17
BDX17917	Abri des Castellis	Cortonais	24980,33	613	136899	755500	880	45596	19149	1750	929	11905	37	18	198	122	26	175	20	1189	15	12/06/17
BDX17920	Abri des Castellis	Cortonais	46344,78	3857	135264	741112	1034	44620	11598	1773	890	11919	35	16	183	108	28	146	17	1042	14	09/06/17
BDX17920	Abri des Castellis	Cortonais	42960,01	5340	131239	748833	967	43991	11602	1506	858	11099	34	15	193	99	24	145	16	1065	14	09/06/17
BDX17920	Abri des Castellis	Cortonais	44396,78	2334	128214	756742	1095	43327	10092	1467	699	10091	31	15	173	97	22	139	18	1034	14	09/06/17
BDX17920	Abri des Castellis	Cortonais	37719,62	1521	135624	748990	241	46778	14058	1419	834	11035	35	17	198	113	29	156	20	1197	16	12/06/17
BDX17924	Abri des Castellis	Cortonais	46846,09	2953	130330	748464	892	43150	11447	1630	845	11879	35	16	175	103	24	147	17	1033	15	09/06/17
BDX17924	Abri des Castellis	Cortonais	45293,02	2762	128885	751644	1084	44885	10896	1547	732	10715	32	16	185	101	21	140	17	1031	15	09/06/17
BDX17924	Abri des Castellis	Cortonais	42194,26	2545	129314	756786	953	43235	10770	1594	712	10329	31	16	177	101	25	141	19	1042	15	09/06/17
BDX17924	Abri des Castellis	Cortonais	26459,4	915	137863	756558	314	46685	15171	1720	872	11711	34	17	197	131	27	150	22	1137	17	12/06/17
BDX17929	Abri des Castellis	Cortonais	44174,72	2146	133635	745689	1044	43655	12154	1853	883	13157	37	17	177	106	27	156	17	1052	20	09/06/17
BDX17929	Abri des Castellis	Cortonais	47229,5	2083	132749	745736	907	43814	11530	1626	764	11847	33	16	168	108	27	152	21	1169	23	09/06/17
BDX17929	Abri des Castellis	Cortonais	47796,77	2049	133079	746084	870	43081	11348	1687	800	11593	35	17	168	105	26	160	17	1064	22	09/06/17
BDX17929	Abri des Castellis	Cortonais	32061,12	823	134392	755692	349	46552	12939	1862	808	12806	36	18	184	113	28	165	20	1130	23	12/06/17
BDX17930	Abri des Castellis	Cortonais	45567,23	1797	131072	745920	1092	43896	10708	2289	1024	14951	40	16	190	111	24	155	17	1110	20	09/06/17
BDX17930	Abri des Castellis	Cortonais	45517,56	2611	131372	747327	1026	43969	11419	2044	974	12131	34	16	183	109	25	151	18	1057	18	09/06/17
BDX17930	Abri des Castellis	Cortonais	40704,97	1505	130749	752186	1098	43854	12402	1948	1016	12874	40	16	188	115	26	175	17	1065	19	09/06/17
BDX17930	Abri des Castellis	Cortonais	26213,1	753	123286	768348	201	48352	13257	2592	1140	13911	40	19	221	126	26	183	19	1291	23	12/06/17
BDX17931	Abri des Castellis	Cortonais	45660,64	2168	132038	746318	1027	45729	11263	1781	788	11404	34	15	184	115	23	149	22	1266	17	09/06/17
BDX17931	Abri des Castellis	Cortonais	44533,28	2112	130495	749230	1005	46001	11153	1738	766	11352	33	15	187	109	24	152	18	1056	20	09/06/17
BDX17931	Abri des Castellis	Cortonais	32167,36	1490	133194	757266	1108	46516	12504	1756	783	11553	36	18	192	117	25	156	18	1082	19	09/06/17
BDX17931	Abri des Castellis	Cortonais	25422,19	3513	131035	725930	2065	49208	25546	5370	1772	28131	60	20	222	156	26	204	21	1279	20	12/06/17
BDX17932	Abri des Castellis	Cortonais	40455,45	1031	136602	748747	217	42057	15561	1814	752	11032	42	17	168	131	28	167	19	1141	18	12/06/17
BDX19275	BoccaDiGradello1	Taravu	44237,37	9225	132352	733576	1059	51842	1977	2353	339	21360	44	19	245	40	43	305	18	964	4	14/06/17
BDX19275	BoccaDiGradello1	Taravu	40579,2	8784	134262	737572	1241	53139	1068	1950	325	19825	40	18	245	37	49	315	17	531	3	14/06/17

BDX	Source	Region	Na2O	MgO	Al2O3	SiO2	P2O5	K2O	CaO	TiO2	MnO	Fe2O3	Zn	Ga	Rb	Sr	Y	Zr	Nb	Ba	Pb	Date
BDX19275	BoccaDiGradello1	Taravu	45660,67	8470	130427	739947	1218	51349	1160	2032	307	18044	38	17	233	38	44	293	16	705	3	14/06/17
BDX19275	BoccaDiGradello1	Taravu	36780,3	8867	135156	740932	957	49468	1175	1885	353	22800	44	19	250	39	51	302	17	900	3	14/06/17
BDX19275	BoccaDiGradello1	Taravu	32163,4	9131	133366	742971	1292	53847	2004	1857	347	21485	42	19	259	39	42	318	19	797	4	14/06/17
BDX19275	BoccaDiGradello1	Taravu	33396,3	8956	133128	745050	1094	53296	1231	2291	338	19972	44	19	245	40	52	302	18	524	3	14/06/17
BDX19275	BoccaDiGradello1	Taravu	30767,42	5916	135425	745329	1150	55686	1671	2335	321	19546	38	19	264	41	59	305	19	1106	4	14/06/17
BDX19275	BoccaDiGradello1	Taravu	32075,24	8805	133862	745554	1132	53588	1962	1753	331	19482	43	19	251	40	45	304	19	734	3	14/06/17
BDX19275	BoccaDiGradello1	Taravu	24709,48	8798	134925	750575	773	54235	1247	2664	348	20489	41	19	259	40	45	292	19	522	3	14/06/17
BDX19275	BoccaDiGradello1	Taravu	31364,61	8659	132239	751465	1024	52165	1289	1721	310	18556	38	18	242	39	37	290	17	524	2	14/06/17
BDX19275	BoccaDiGradello1	Taravu	32608,69	9105	135611	743080	1061	51371	1379	2005	356	21741	44	19	253	40	44	312	18	951	2	06/07/17
BDX19275	BoccaDiGradello1	Taravu	32709,71	9022	137117	744755	1359	51898	1762	1750	316	18216	39	18	243	37	43	346	19	346	3	06/07/17
BDX19275	BoccaDiGradello1	Taravu	33902,37	8927	135299	746853	1084	49087	1640	1923	327	19542	40	18	236	38	42	282	19	736	3	06/07/17
BDX19275	BoccaDiGradello1	Taravu	32487,6	8974	136319	747277	1494	48829	1107	1923	336	20008	43	18	235	38	42	292	18	557	3	06/07/17
BDX19275	BoccaDiGradello1	Taravu	32481,7	9231	135608	747818	911	49344	1383	1954	325	19219	39	18	237	39	39	300	18	1033	3	06/07/17
BDX19275	BoccaDiGradello1	Taravu	28521,68	8899	135663	750588	1085	49988	1316	1917	345	19902	41	18	242	39	41	289	18	1084	3	06/07/17
BDX19275	BoccaDiGradello1	Taravu	28995,91	8817	132651	750876	1326	52681	1793	1973	336	19404	41	18	241	39	41	274	19	472	3	06/07/17
BDX19275	BoccaDiGradello1	Taravu	25494,99	4173	136194	753491	1432	54648	1199	1669	343	20121	41	19	252	39	44	295	18	525	3	06/07/17
BDX19276	BoccaDiGradello1	Taravu	49053,51	9449	132469	729563	1055	50928	1204	2605	344	22094	43	18	234	39	48	284	18	549	3	14/06/17
BDX19276	BoccaDiGradello1	Taravu	45336,95	9193	134078	731586	924	51312	1071	2507	341	21877	44	19	243	39	50	296	19	1062	3	14/06/17
BDX19276	BoccaDiGradello1	Taravu	48878,93	8882	131611	732135	1060	51576	1692	1805	336	20776	43	18	234	39	41	263	19	590	3	14/06/17
BDX19276	BoccaDiGradello1	Taravu	42929,23	8992	131859	737289	981	50988	1308	2214	322	21696	40	18	238	38	37	264	18	766	4	14/06/17
BDX19276	BoccaDiGradello1	Taravu	33622,94	9167	133237	748024	879	49018	1198	2072	341	21220	42	19	238	38	42	274	20	544	2	14/06/17
BDX19276	BoccaDiGradello1	Taravu	43621,7	9629	132999	735280	1176	50381	1389	2350	343	21544	44	18	232	38	50	275	21	607	3	06/07/17
BDX19276	BoccaDiGradello1	Taravu	43275,98	9250	134661	736491	1244	49793	1783	1319	321	20443	41	18	232	38	47	301	18	721	2	06/07/17
BDX19276	BoccaDiGradello1	Taravu	43359,4	9054	131704	739014	1061	52770	1921	1889	308	17763	40	17	232	37	45	285	19	478	3	06/07/17
BDX19276	BoccaDiGradello1	Taravu	37669,31	9431	133787	742484	909	51633	1726	1511	313	19209	40	18	237	39	47	289	19	636	3	06/07/17
BDX19276	BoccaDiGradello1	Taravu	33056,13	9108	133020	745117	1215	52816	1931	1651	329	20016	40	18	242	38	40	260	18	1082	3	06/07/17
BDX19276	BoccaDiGradello1	Taravu	31966,41	9128	132712	747780	1087	51773	1375	2157	331	20541	41	18	239	39	45	280	18	466	3	06/07/17
BDX19276(alt)	BoccaDiGradello1	Taravu	32602,94	9495	135950	742511	1128	52503	1305	2696	354	19583	46	19	253	42	58	328	19	1105	3	06/07/17
BDX19276(alt)	BoccaDiGradello1	Taravu	32243,36	8960	134967	744468	1041	53543	1792	2290	284	18944	40	18	248	41	57	315	18	729	3	14/06/17
BDX19276(alt)	BoccaDiGradello1	Taravu	30787,69	8298	135941	745720	953	52791	1259	2153	482	19763	49	19	246	41	57	311	18	1108	3	14/06/17
BDX19277	BoccaDiGradello2	Taravu	45539,13	9644	136450	737294	983	47134	1301	1500	325	18916	40	18	208	36	50	263	17	279	2	14/06/17
BDX19277	BoccaDiGradello2	Taravu	39883,56	10585	136516	741114	1013	45912	1683	1936	324	20156	44	18	202	34	43	268	19	247	2	14/06/17
BDX19277	BoccaDiGradello2	Taravu	32620,17	9855	137175	745826	1165	47587	1020	2467	351	21027	41	18	217	36	46	274	21	254	1	14/06/17

BDX	Source	Region	Na2O	MgO	Al2O3	SiO2	P2O5	K2O	CaO	TiO2	MnO	Fe2O3	Zn	Ga	Rb	Sr	Y	Zr	Nb	Ba	Pb	Date
BDX19277	BoccaDiGradello2	Taravu	31941,56	10174	136271	747226	1124	46713	1212	1764	356	22257	46	18	215	36	47	270	21	306	2	14/06/17
BDX19277	BoccaDiGradello2	Taravu	43899,42	12116	126075	747451	897	42946	1023	874	352	23325	44	18	190	30	44	281	19	411	2	14/06/17
BDX19277	BoccaDiGradello2	Taravu	32551,13	9686	136386	747966	871	48045	1358	1886	337	19989	41	18	213	35	47	266	23	280	1	14/06/17
BDX19277	BoccaDiGradello2	Taravu	27401,25	9501	137968	747991	998	48704	1466	3354	357	21276	45	19	223	36	50	302	18	290	2	14/06/17
BDX19277	BoccaDiGradello2	Taravu	29080,03	10593	137740	748558	927	48068	1390	1413	343	20564	45	19	216	35	50	286	17	654	2	14/06/17
BDX19277	BoccaDiGradello2	Taravu	45322,85	10003	135462	736858	1007	45504	1780	2560	334	20264	43	18	203	34	44	263	17	282	2	06/07/17
BDX19277	BoccaDiGradello2	Taravu	35058,3	10348	137543	744015	1195	47488	1408	1705	334	19929	43	18	209	35	50	304	17	300	2	06/07/17
BDX19277	BoccaDiGradello2	Taravu	34828,06	9916	137035	744930	1250	48405	1711	1358	315	18872	40	18	216	36	49	271	19	728	2	06/07/17
BDX19277	BoccaDiGradello2	Taravu	37568,32	10540	135419	745404	989	45569	1166	1569	346	20507	45	18	204	34	48	275	17	281	1	06/07/17
BDX19277	BoccaDiGradello2	Taravu	32680,75	10039	137589	745601	1137	48034	1979	1171	346	19643	41	18	225	36	49	299	19	1091	1	06/07/17
BDX19277	BoccaDiGradello2	Taravu	32248,05	9767	137219	748969	1108	48280	1158	934	322	19115	37	17	214	36	49	265	21	240	2	06/07/17
BDX19277	BoccaDiGradello2	Taravu	32046,4	10048	135840	750458	1343	46839	1925	1080	328	19206	42	17	202	34	47	264	18	262	2	06/07/17
BDX19278	BoccaDiGradello2	Taravu	47812,5	9885	136285	729620	1026	46462	1439	2460	345	23551	46	18	221	36	54	270	18	450	2	14/06/17
BDX19278	BoccaDiGradello2	Taravu	47751,19	9277	135703	737763	1271	45475	1339	797	303	19318	37	17	215	34	50	263	19	365	2	14/06/17
BDX19278	BoccaDiGradello2	Taravu	43181,54	9252	135767	739018	995	47492	1264	2043	313	19679	38	18	217	35	49	278	17	341	2	14/06/17
BDX19278	BoccaDiGradello2	Taravu	46858,39	9416	133757	739581	945	45798	1142	1608	306	19604	39	17	212	34	51	275	18	337	2	14/06/17
BDX19278	BoccaDiGradello2	Taravu	32312,19	9841	136893	741946	1244	52333	1265	1348	300	21623	41	18	215	39	42	277	20	240	2	14/06/17
BDX19278	BoccaDiGradello2	Taravu	40697,81	9690	135316	742635	920	47965	1152	1623	290	18750	38	17	216	33	43	269	18	325	2	14/06/17
BDX19278	BoccaDiGradello2	Taravu	32936,89	9475	136601	742714	1121	51526	1743	1495	323	20994	39	18	230	35	47	283	18	397	2	14/06/17
BDX19278	BoccaDiGradello2	Taravu	31302,59	10333	136544	743291	1271	47449	1705	2629	337	24139	44	19	224	36	49	285	20	321	3	14/06/17
BDX19278	BoccaDiGradello2	Taravu	33033,8	9240	137887	746230	1093	47723	1476	1572	324	20312	39	18	225	36	50	303	19	418	1	14/06/17
BDX19278	BoccaDiGradello2	Taravu	28837,27	10059	136730	746888	857	50060	1275	1929	336	22068	43	18	228	35	51	293	20	270	2	14/06/17
BDX19278	BoccaDiGradello2	Taravu	51141,83	9830	134184	732205	884	46356	1722	2285	303	20117	39	17	215	33	47	288	19	312	2	06/07/17
BDX19278	BoccaDiGradello2	Taravu	44278,35	9797	136002	735145	1074	46935	1816	2149	329	21341	41	18	226	35	43	269	17	483	2	06/07/17
BDX19278	BoccaDiGradello2	Taravu	43035,26	10202	134946	736455	1053	49478	1305	1988	299	20198	39	17	224	34	53	291	17	363	2	06/07/17
BDX19278	BoccaDiGradello2	Taravu	40202,25	9793	135972	738419	1448	49642	1761	1714	312	19760	38	18	225	36	51	311	18	279	2	06/07/17
BDX19278	BoccaDiGradello2	Taravu	32530,17	9583	137331	743185	1172	51195	1172	1913	326	20632	41	18	229	36	51	258	18	309	2	06/07/17
BDX19278	BoccaDiGradello2	Taravu	32751,57	9591	136877	744888	1073	50351	1644	987	336	20378	43	18	229	36	51	235	17	493	2	06/07/17
BDX19278	BoccaDiGradello2	Taravu	29355,89	9203	136285	745968	1017	51866	1641	2684	327	20577	43	18	234	35	51	265	19	407	2	06/07/17
BDX19278	BoccaDiGradello2	Taravu	28032,84	9738	138078	749557	996	47762	1270	1581	341	21578	40	18	232	37	53	278	18	389	2	06/07/17
BDX19278	BoccaDiGradello2	Taravu	31968,32	3452	137151	750094	1201	51402	1178	1841	331	20285	41	19	241	37	52	212	18	474	2	06/07/17
BDX19279	BoccaDiGradello2	Taravu	48927,71	10387	136020	730007	984	46953	1093	1450	348	22812	45	18	219	36	52	261	17	368	2	14/06/17
BDX19279	BoccaDiGradello2	Taravu	48262,47	10132	134793	731593	778	45706	1084	4245	339	22001	45	18	230	36	50	277	20	389	2	14/06/17

BDX	Source	Region	Na2O	MgO	Al2O3	SiO2	P2O5	K2O	CaO	TiO2	MnO	Fe2O3	Zn	Ga	Rb	Sr	Y	Zr	Nb	Ba	Pb	Date
BDX19279	BoccaDiGradello2	Taravu	47378,43	9117	134363	735376	971	48885	979	2859	314	18550	41	18	236	36	62	266	20	528	3	14/06/17
BDX19279	BoccaDiGradello2	Taravu	44121,6	9526	133707	736939	965	51106	1089	2322	297	18736	38	17	232	35	52	267	18	531	2	14/06/17
BDX19279	BoccaDiGradello2	Taravu	44469,38	9847	135178	737556	1154	47035	1229	2226	334	19966	40	18	215	36	44	263	17	371	1	14/06/17
BDX19279	BoccaDiGradello2	Taravu	44757,91	10162	134580	738251	1142	46159	1551	2161	318	19988	40	18	216	35	45	262	18	294	2	14/06/17
BDX19279	BoccaDiGradello2	Taravu	47354,16	9712	134154	739729	774	45294	1121	2057	318	18492	37	17	218	34	47	275	17	348	2	14/06/17
BDX19279	BoccaDiGradello2	Taravu	46916,54	9696	132381	740100	1246	45755	1078	1732	324	19712	39	17	217	35	51	263	19	418	2	14/06/17
BDX19279	BoccaDiGradello2	Taravu	45207,41	9327	132842	740182	1426	49006	1084	1326	302	18276	35	17	216	33	45	274	17	381	3	14/06/17
BDX19279	BoccaDiGradello2	Taravu	46810,85	10110	132502	741505	1076	44690	1066	2072	302	18752	39	17	224	35	39	268	16	475	1	14/06/17
BDX19279	BoccaDiGradello2	Taravu	34286,24	10924	135310	742296	904	47297	1311	2344	339	24003	43	18	220	35	51	278	20	318	3	14/06/17
BDX19279	BoccaDiGradello2	Taravu	32474,59	10429	136760	745301	885	46079	1228	2635	362	22912	44	18	220	37	53	268	18	275	1	14/06/17
BDX19279	BoccaDiGradello2	Taravu	32303,35	9923	134537	745678	937	47882	1379	2606	352	23403	44	18	222	35	53	281	18	327	2	14/06/17
BDX19279	BoccaDiGradello2	Taravu	32821,74	9776	137075	745715	891	47824	1454	1398	353	21608	42	18	232	38	55	281	21	396	1	14/06/17
BDX19279	BoccaDiGradello2	Taravu	32897,89	9767	137075	747049	1088	48606	1272	1865	322	19066	38	18	228	38	54	269	18	325	2	14/06/17
BDX19279	BoccaDiGradello2	Taravu	43261	9210	130348	747198	1280	45783	1588	1684	311	18463	39	17	204	34	46	243	16	274	2	14/06/17
BDX19279	BoccaDiGradello2	Taravu	29017,69	9662	134957	747474	1282	53322	1586	1696	334	19630	40	18	237	37	50	264	17	374	2	14/06/17
BDX19279	BoccaDiGradello2	Taravu	32227,38	9232	136235	748379	936	49935	1307	1339	326	19071	37	17	228	35	47	265	17	363	2	14/06/17
BDX19279	BoccaDiGradello2	Taravu	31847,57	9943	133812	749988	976	49754	1161	1965	311	19222	40	18	224	36	48	284	17	352	1	14/06/17
bdx19279	BoccaDiGradello2	Taravu	29769,71	9426	135901	750411	898	48525	1050	3214	330	19477	40	18	233	38	52	267	22	326	2	14/06/17
BDX19279	BoccaDiGradello2	Taravu	28343,32	9830	134933	751592	931	50443	1262	1478	338	19656	42	18	231	38	48	260	18	537	2	14/06/17
BDX19279	BoccaDiGradello2	Taravu	30350,4	9372	132221	757200	1200	45818	1133	1738	323	19564	38	17	217	34	48	297	18	413	1	14/06/17
BDX19280	ValleDOlmo1	Taravu	54487,13	8878	137538	734660	1259	36739	3730	1867	309	19920	40	18	139	96	43	102	26	132	17	18/07/17
BDX19280	ValleDOlmo1	Taravu	57862,44	8199	138736	747598	1307	26344	3270	2067	290	13816	35	17	98	79	33	94	23	119	12	18/07/17
BDX19280	ValleDOlmo1	Taravu	53421,05	9052	133585	750031	1422	29314	4117	1790	317	16378	36	17	108	88	45	94	28	128	30	18/07/17
BDX19280	ValleDOlmo1	Taravu	54785,2	2955	137387	751368	1235	32662	3145	1576	310	13972	34	17	129	79	41	99	26	152	29	18/07/17
BDX19280	ValleDOlmo1	Taravu	53223,57	9026	135186	752596	1381	30712	2777	882	259	13428	34	17	114	75	36	81	21	139	13	18/07/17
BDX19280	ValleDOlmo1	Taravu	53334,29	3782	136812	753181	1570	30723	3655	1170	282	14923	33	17	114	84	43	95	25	128	28	18/07/17
BDX19280	ValleDOlmo1	Taravu	58096,88	9045	135422	753254	1460	28181	2333	929	223	10536	29	16	98	63	32	95	26	146	15	18/07/17
BDX19280	ValleDOlmo1	Taravu	56898,97	3000	139229	754630	1441	27490	2723	1237	281	12536	33	17	106	74	34	111	19	131	9	18/07/17
BDX19280	ValleDOlmo1	Taravu	50817,54	2998	137840	755866	1357	31036	3055	2017	309	14125	35	17	119	74	43	102	24	148	15	18/07/17
BDX19280	ValleDOlmo1	Taravu	57304,61	8954	133634	756317	1372	27324	2374	1468	219	10454	28	16	102	68	32	105	25	178	25	18/07/17
BDX19280	ValleDOlmo1	Taravu	56410,95	8897	140129	739046	1300	32395	2844	910	293	17224	34	18	123	78	29	94	23	141	13	20/07/17

BDX	Source	Region	Na2O	MgO	Al2O3	SiO2	P2O5	K2O	CaO	TiO2	MnO	Fe2O3	Zn	Ga	Rb	Sr	Y	Zr	Nb	Ba	Pb	Date
BDX19280	ValleDOlmo1	Taravu	53598,11	9020	133587	748745	1351	27441	4413	3016	325	17924	36	18	102	91	38	117	26	130	24	20/07/17
BDX19280	ValleDOlmo1	Taravu	51502,06	8996	134628	750043	1270	30237	2727	1984	305	17761	38	17	116	79	35	83	38	123	19	20/07/17
BDX19280	ValleDOlmo1	Taravu	56111,96	4430	139301	753578	1345	29188	3144	791	235	11352	30	17	105	77	30	99	22	132	13	20/07/17
BDX19280	ValleDOlmo1	Taravu	55829,62	3764	133541	757035	1336	30952	2793	1448	250	12489	30	17	116	72	33	103	27	135	30	20/07/17
BDX19281	ValleDOlmo1	Taravu	52879,27	9104	137953	746339	1504	30995	3314	1467	335	15509	35	17	124	76	41	134	25	132	17	18/07/17
BDX19281	ValleDOlmo1	Taravu	56432,27	9201	137959	747987	1539	27058	3451	1265	329	14234	32	17	110	78	37	96	26	135	13	18/07/17
BDX19281	ValleDOlmo1	Taravu	58737,42	9353	135382	738556	1320	28953	3407	2058	334	21358	42	19	115	76	41	90	29	116	14	19/07/17
BDX19281	ValleDOlmo1	Taravu	57069,91	9556	137610	740912	1528	30840	2841	1422	330	17352	37	17	116	68	34	98	23	136	12	19/07/17
BDX19281	ValleDOlmo1	Taravu	58501,61	9317	136570	743399	1455	30196	2769	1575	331	15326	36	17	117	70	35	91	22	161	12	19/07/17
BDX19281	ValleDOlmo1	Taravu	54852,05	8980	136886	745263	1324	30426	2807	747	324	17852	39	17	118	78	37	90	25	124	11	19/07/17
BDX19281	ValleDOlmo1	Taravu	58999,16	9335	135233	746144	1339	29103	2702	1489	317	14809	34	17	113	69	33	90	23	138	15	19/07/17
BDX19281	ValleDOlmo1	Taravu	59769,14	9105	138453	742635	1214	26611	2533	1899	312	16971	35	17	104	67	34	92	27	108	16	20/07/17
BDX19281	ValleDOlmo1	Taravu	55411	8934	137968	744892	1244	28272	2813	1724	333	17898	38	17	114	70	34	85	23	118	12	20/07/17
BDX19281	ValleDOlmo1	Taravu	55207,44	4070	137842	751990	1211	29538	2196	1355	310	15755	36	17	117	69	34	87	25	126	15	20/07/17
BDX19281	ValleDOlmo1	Taravu	55576,77	3352	138805	753883	1245	27731	2869	1348	327	14319	35	17	112	69	34	92	26	143	15	20/07/17
BDX19281	ValleDOlmo1	Taravu	54038,53	2497	138667	757486	1231	28569	2597	2131	251	11963	31	17	113	68	34	98	27	164	18	20/07/17
BDX19281 (enclave)	ValleDOlmo1	Taravu	59921,51	12311	152478	659542	2466	19799	13251	8338	1111	69887	119	31	81	132	172	160	29	133	40	18/07/17
BDX19281 (enclave)	ValleDOlmo1	Taravu	63680,19	13275	150110	662248	2428	18437	14008	8290	1230	65452	123	30	80	126	167	151	28	98	39	18/07/17
BDX19281 (enclave)	ValleDOlmo1	Taravu	24184,81	3444	172348	682766	1428	92041	7724	1449	329	12526	24	18	397	146	90	105	22	948	12	19/07/17
BDX19282	ValleDOlmo1	Taravu	56265,79	10432	136397	726274	1459	30816	5598	2726	623	28771	47	19	130	82	45	137	32	137	9	19/07/17
BDX19282	ValleDOlmo1	Taravu	59532,82	9485	136040	739023	1590	30975	2825	1323	423	18179	37	17	124	69	32	93	22	205	6	19/07/17
BDX19282	ValleDOlmo1	Taravu	58420,35	9293	136662	742204	1401	29963	3143	1604	349	16425	38	17	121	66	34	92	24	139	7	19/07/17
BDX19282	ValleDOlmo1	Taravu	57993,79	9560	135764	744247	1673	30898	2906	1134	334	14975	37	16	118	66	33	87	25	124	10	19/07/17
BDX19282	ValleDOlmo1	Taravu	57305,24	9629	134115	744249	1416	30146	3056	1919	341	17262	38	17	119	65	34	106	25	146	12	19/07/17
BDX19282	ValleDOlmo1	Taravu	55386,14	9482	134175	744937	1560	30229	3266	1769	362	18274	35	17	124	65	33	110	24	140	10	19/07/17
BDX19282	ValleDOlmo1	Taravu	56602,78	9347	137046	749104	1466	25962	2817	1826	296	14967	34	17	105	67	33	105	22	175	9	19/07/17
BDX19282	ValleDOlmo1	Taravu	57506,1	9458	131932	750957	1443	29919	2794	1127	317	14025	34	16	116	62	32	92	20	142	7	19/07/17
BDX19282	ValleDOlmo1	Taravu	53712,29	3834	137467	759971	1578	23768	2810	1346	268	14736	33	17	90	74	34	96	27	130	9	19/07/17
BDX19282 enclave	ValleDOlmo1	Taravu	68444,68	12246	145210	686882	2226	15529	13828	8688	1015	45143	89	24	62	109	168	146	60	93	38	19/07/17
BDX19283	Pastini Carporosso 2	Sartonais	29497,95	1403	147304	743776	129	58593	5856	1030	375	11119	52	20	252	37	41	147	20	331	18	01/03/18
BDX19283	Pastini Carporosso 2	Sartonais	36575,41	696	136747	753505	105	56287	4829	936	315	9185	41	16	231	31	36	128	19	297	22	01/03/18

BDX	Source	Region	Na2O	MgO	Al2O3	SiO2	P2O5	K2O	CaO	TiO2	MnO	Fe2O3	Zn	Ga	Rb	Sr	Y	Zr	Nb	Ba	Pb	Date
BDX19283	Pastini Carporosso 2	Sartenais	37103,83	614	140429	758290	682	45098	5324	992	342	10421	27	18	174	36	36	140	17	243	14	01/03/18
BDX19283	Pastini Carporosso 2	Sartenais	26302,25	632	121354	762606	404	72463	5022	1069	304	9086	28	16	264	31	36	126	20	218	18	01/03/18
BDX19283	Pastini Carporosso 2	Sartenais	36935,84	633	134139	766783	354	46936	4562	835	307	7816	21	17	193	31	34	132	17	241	14	01/03/18
BDX19283	Pastini Carporosso 2	Sartenais	31424,44	710	121904	774855	232	54720	4897	1018	311	9276	26	17	183	32	34	129	16	206	12	01/03/18
BDX19283	Pastini Carporosso 2	Sartenais	38684,04	769	125814	776429	229	39894	5016	1298	330	10934	23	17	151	32	34	128	16	190	14	01/03/18
BDX19283	Pastini Carporosso 2	Sartenais	36670,9	1097	116369	785026	176	46361	4574	620	290	8085	25	14	174	29	33	120	16	305	15	01/03/18
BDX19284	Pastini Carporosso 2	Sartenais	30938,56	2145	145443	737718	120	64666	5926	1054	361	10779	29	19	269	37	40	149	20	267	18	01/03/18
BDX19284	Pastini Carporosso 2	Sartenais	32451,7	1308	144225	739734	328	63080	6002	1302	359	10411	33	19	276	37	40	146	19	210	19	01/03/18
BDX19284	Pastini Carporosso 2	Sartenais	27384,64	643	120909	759553	434	74173	5377	1063	332	9345	35	16	255	34	38	137	19	236	17	01/03/18
BDX19284	Pastini Carporosso 2	Sartenais	32106,51	804	122033	761708	255	66755	4767	949	315	9540	33	15	246	31	35	123	19	239	28	01/03/18
BDX19284	Pastini Carporosso 2	Sartenais	33862,36	652	136318	761803	101	43629	4939	1288	390	16227	32	17	196	35	35	140	17	294	25	01/03/18
BDX19284	Pastini Carporosso 2	Sartenais	36914,58	787	122951	762656	170	61158	4744	963	296	8646	37	15	226	29	33	117	17	210	30	01/03/18
BDX19284	Pastini Carporosso 2	Sartenais	33912,01	796	140819	771802	110	33871	5670	1067	349	10910	27	18	155	36	36	144	17	225	36	01/03/18
BDX19284	Pastini Carporosso 2	Sartenais	37677,91	812	121993	782928	170	39273	4871	1010	315	10350	32	16	155	32	32	126	16	180	12	01/03/18
BDX19284	Pastini Carporosso 2	Sartenais	38673,75	652	121912	765742	99	58421	5034	801	314	7565	26	15	208	31	34	122	18	314	19	06/03/18
BDX19284	Pastini Carporosso 2	Sartenais	26317,49	632	119911	766542	106	70167	5636	1086	299	8552	19	16	271	33	37	130	20	207	16	06/03/18
BDX19284	Pastini Carporosso 2	Sartenais	31262,29	683	121672	778398	95	52211	4778	903	295	9012	24	15	216	28	33	120	17	227	15	06/03/18
BDX19284	Pastini Carporosso 2	Sartenais	34159,1	716	121036	781480	104	45624	4741	957	329	10150	27	16	171	32	35	127	18	254	22	06/03/18
BDX19284	Pastini Carporosso 2	Sartenais	33135,22	770	119186	787175	177	43713	4745	985	307	9210	24	15	169	30	33	122	16	176	12	06/03/18
BDX19284	Pastini Carporosso 2	Sartenais	34171,62	673	117489	788731	101	43868	4618	750	300	8562	26	15	188	30	33	125	16	278	24	06/03/18
BDX19284	Pastini Carporosso 2	Sartenais	32126,13	652	113487	795590	104	44817	4335	665	291	7212	19	14	185	28	32	121	16	295	12	06/03/18
BDX19285	Pastini Carporosso 2	Sartenais	41173,59	809	139918	761673	103	40855	5182	1213	350	8074	15	15	162	35	32	143	17	217	14	01/03/18
BDX19285	Pastini Carporosso 2	Sartenais	42403,41	608	130492	765018	289	46897	4224	981	292	8177	27	15	169	29	33	121	15	196	14	01/03/18
BDX19285	Pastini Carporosso 2	Sartenais	32411,47	688	120794	769147	279	61658	5086	774	283	8030	23	15	227	31	34	123	19	363	16	01/03/18
BDX19285	Pastini Carporosso 2	Sartenais	34960,19	684	119583	772544	99	55579	4673	895	280	9968	23	15	220	31	33	123	18	251	20	01/03/18
BDX19285	Pastini Carporosso 2	Sartenais	40943,76	2088	120527	773989	288	47542	4737	671	275	8193	26	15	180	31	32	122	17	303	20	01/03/18
BDX19285	Pastini Carporosso 2	Sartenais	32194,22	636	132324	775477	286	44246	4346	873	334	8627	17	14	179	32	30	129	17	224	15	01/03/18
BDX19285	Pastini Carporosso 2	Sartenais	38806,15	632	119337	776835	327	48464	4565	871	303	9202	26	16	207	31	35	123	18	187	14	01/03/18
BDX19285	Pastini Carporosso 2	Sartenais	36635,77	1285	120889	779409	211	45624	4470	753	287	9738	24	16	190	31	33	123	18	244	19	01/03/18
BDX19285	Pastini Carporosso 2	Sartenais	38446,77	726	121837	762178	245	60625	5130	943	286	8865	25	16	240	31	34	120	19	212	22	06/03/18

BDX	Source	Region	Na2O	MgO	Al2O3	SiO2	P2O5	K2O	CaO	TiO2	MnO	Fe2O3	Zn	Ga	Rb	Sr	Y	Zr	Nb	Ba	Pb	Date
BDX19285	Pastini Carporosso 2	Sartenais	40373,03	931	121248	766186	206	55700	4932	795	280	8625	19	15	171	32	30	122	17	301	16	06/03/18
BDX19285	Pastini Carporosso 2	Sartenais	25742,51	2116	120921	773135	348	61369	4963	875	299	9373	30	17	220	33	36	133	20	348	21	06/03/18
BDX19285	Pastini Carporosso 2	Sartenais	34794,42	692	120819	773529	221	54846	5136	919	315	7977	27	16	224	32	35	125	18	257	17	06/03/18
BDX19285	Pastini Carporosso 2	Sartenais	32508,62	733	123446	773786	498	52692	4707	1119	290	9532	25	15	188	32	30	124	16	231	27	06/03/18
BDX19286	Pastini Carporosso 2	Sartenais	35722,73	753	117995	762941	96	62204	5427	1287	305	12514	23	14	238	38	32	131	16	240	23	01/03/18
BDX19286	Pastini Carporosso 2	Sartenais	34525,89	755	122150	765950	221	61624	5387	778	253	7512	22	15	222	33	32	121	16	372	13	01/03/18
BDX19286	Pastini Carporosso 2	Sartenais	32507,67	737	121104	768908	181	58038	5385	1043	291	11113	41	15	210	35	33	123	15	196	24	01/03/18
BDX19286	Pastini Carporosso 2	Sartenais	33255,79	785	120621	770135	147	57505	5519	1019	288	10043	20	15	203	36	32	123	15	226	14	01/03/18
BDX19286	Pastini Carporosso 2	Sartenais	33382,72	754	121745	782156	215	44815	5748	802	285	9317	22	16	170	36	32	128	16	345	14	01/03/18
BDX19286	Pastini Carporosso 2	Sartenais	34263,84	874	121693	785549	190	41286	5651	698	267	8739	23	15	168	36	31	123	15	362	14	01/03/18
BDX19286	Pastini Carporosso 2	Sartenais	30752,2	796	125632	770420	212	56485	5291	834	281	8540	27	15	207	33	33	118	18	284	22	08/03/18
BDX19286	Pastini Carporosso 2	Sartenais	31193,25	744	122634	774661	91	54451	5301	959	276	8985	21	14	196	33	33	118	17	252	22	08/03/18
BDX19286	Pastini Carporosso 2	Sartenais	31232,35	697	123912	777387	180	50363	5148	931	277	9245	21	15	179	34	33	121	17	193	14	08/03/18
BDX19286	Pastini Carporosso 2	Sartenais	24817,37	1055	122194	778129	200	56130	5269	937	273	10288	20	15	203	38	35	127	18	229	23	08/03/18
BDX19288	Pastini Carporosso 2	Sartenais	40114,62	674	137019	757787	109	45940	6445	750	286	10187	18	15	174	42	40	124	17	231	28	06/03/18
BDX19288	Pastini Carporosso 2	Sartenais	37009,82	696	121969	764163	92	60286	5081	1027	262	8744	22	16	221	36	33	124	17	190	13	06/03/18
BDX19288	Pastini Carporosso 2	Sartenais	35656,81	693	122798	766736	92	61625	4680	624	222	6098	13	14	219	32	32	121	18	315	12	06/03/18
BDX19288	Pastini Carporosso 2	Sartenais	41458,61	610	130845	770315	96	41670	4487	1050	240	8620	17	14	154	34	32	119	16	211	10	06/03/18
BDX19288	Pastini Carporosso 2	Sartenais	35398	672	118988	791532	270	41971	5103	562	253	4529	9	14	155	35	32	126	16	324	11	06/03/18
BDX19288	Pastini Carporosso 2	Sartenais	33373,36	614	140734	761433	649	46803	5405	784	285	9198	20	16	155	38	36	138	18	288	14	07/03/18
BDX19288	Pastini Carporosso 2	Sartenais	31973,6	768	123159	776734	251	51360	4918	674	287	9126	23	15	199	32	34	120	19	297	12	07/03/18
BDX19288	Pastini Carporosso 2	Sartenais	25125,49	1439	123883	777977	241	58119	4704	535	258	6847	25	14	212	33	34	124	20	397	11	07/03/18
BDX19288	Pastini Carporosso 2	Sartenais	36170,2	663	123105	781396	232	41151	5397	857	274	10110	22	15	180	34	33	123	18	202	16	07/03/18
BDX19289	Pastini SaparaVentosa 1	Sartenais	28272,56	1620	142852	753882	118	53747	6589	780	323	10947	30	17	290	37	38	135	19	280	23	08/03/18
BDX19289	Pastini SaparaVentosa 1	Sartenais	35868,29	856	139704	755709	107	48316	6230	1476	340	10648	25	16	276	34	36	127	20	197	15	08/03/18
BDX19289	Pastini SaparaVentosa 1	Sartenais	27106,74	1399	143092	756655	400	51001	6651	1931	361	10617	25	17	292	36	38	139	19	205	15	08/03/18

BDX	Source	Region	Na2O	MgO	Al2O3	SiO2	P2O5	K2O	CaO	TiO2	MnO	Fe2O3	Zn	Ga	Rb	Sr	Y	Zr	Nb	Ba	Pb	Date
BDX19289	Pastini Sapara/Ventosa 1	Sartenais	27524,9	1466	140699	758232	409	53508	6448	596	285	9982	69	16	285	35	37	133	19	218	37	08/03/18
BDX19289	Pastini Sapara/Ventosa 1	Sartenais	27508,36	1787	138909	763546	376	49696	6316	918	302	9896	20	17	275	34	36	128	18	204	14	08/03/18
BDX19289	Pastini Sapara/Ventosa 1	Sartenais	41566,67	1829	126185	765832	680	48039	6053	1019	229	7839	17	15	252	37	35	123	17	219	13	08/03/18
BDX19289	Pastini Sapara/Ventosa 1	Sartenais	33405,81	637	127540	773101	263	47964	5832	716	281	9527	20	16	266	33	35	125	18	208	14	08/03/18
BDX19289	Pastini Sapara/Ventosa 1	Sartenais	32386,2	661	123599	776466	423	48961	5842	1057	292	9592	20	15	260	32	34	121	19	207	14	08/03/18
BDX19289	Pastini Sanara/Ventosa 1	Sartenais	33824,8	596	121376	779080	425	47482	6129	574	271	9495	23	16	266	35	36	126	19	213	14	08/03/18
BDX19289	Pastini Sanara/Ventosa 1	Sartenais	32780,87	628	122017	779587	329	47259	6089	675	285	9548	20	15	264	32	35	125	20	275	15	08/03/18
BDX19289	Pastini Sanara/Ventosa 1	Sartenais	33982	660	123409	779908	100	46059	5824	1052	256	8053	18	15	252	32	34	119	16	199	14	08/03/18
BDX19289	Pastini Sanara/Ventosa 1	Sartenais	32745,52	2059	120558	781238	172	48906	5540	17	207	7825	18	14	239	37	34	124	18	238	11	08/03/18
BDX19289	Pastini Sanara/Ventosa 1	Sartenais	33025,98	664	120937	781586	187	48268	5716	404	228	8271	17	15	254	33	32	119	20	210	12	08/03/18
BDX19289	Pastini Sanara/Ventosa 1	Sartenais	37185,83	593	116863	783455	260	47130	5562	315	208	7682	15	14	239	38	33	117	19	260	11	08/03/18
BDX19289	Pastini Sanara/Ventosa 1	Sartenais	32452,82	634	120706	783499	434	48173	5268	551	208	7333	15	15	248	35	34	126	18	236	14	08/03/18
BDX19289 alt surf	Pastini Sanara/Ventosa 1	Sartenais	28724,66	1514	143830	747590	330	49407	12982	955	363	13553	30	16	264	54	38	133	22	178	14	08/03/18
BDX19289 alt surf	Pastini Sanara/Ventosa 1	Sartenais	30550,87	2144	136441	757920	225	44906	11042	396	367	15304	25	16	237	49	35	122	20	189	12	08/03/18
BDX19290	Pastini Sanara/Ventosa 1	Sartenais	28686,88	1339	142166	751910	325	58022	6674	592	246	9230	19	18	296	38	37	140	20	224	16	09/03/18
BDX19290	Pastini Sanara/Ventosa 1	Sartenais	38595,09	905	136753	751990	107	53303	6117	1714	289	9471	17	16	267	39	34	124	19	228	13	09/03/18
BDX19290	Pastini Sanara/Ventosa 1	Sartenais	30476,06	1957	142315	752272	121	54434	6625	685	255	10027	19	18	295	38	37	138	22	250	18	09/03/18
BDX19290	Pastini Sanara/Ventosa 1	Sartenais	27098,39	1273	143000	755515	114	54081	7218	494	276	10180	18	17	282	37	38	130	22	191	14	09/03/18
BDX19290	Pastini Sanara/Ventosa 1	Sartenais	37764,33	664	137318	757883	654	50292	5783	0	245	8626	16	15	264	34	32	117	19	260	13	09/03/18
BDX19290	Pastini Sanara/Ventosa 1	Sartenais	41730,86	1819	120260	769932	403	49391	5841	0	252	9534	19	15	266	34	34	123	18	313	15	09/03/18
BDX19290	Pastini Sanara/Ventosa 1	Sartenais	35164,18	1858	119778	772164	230	55566	6169	7	222	8073	14	16	270	37	34	126	19	240	14	09/03/18
BDX19290	Pastini Sanara/Ventosa 1	Sartenais	38155,55	1705	119435	772424	320	50247	6114	953	272	9415	19	16	268	34	35	127	18	429	14	09/03/18
BDX19290	Pastini Sanara/Ventosa 1	Sartenais	37800,01	570	121653	774375	644	48161	5213	1417	286	9143	16	14	247	37	33	118	20	240	13	09/03/18
BDX19290	Pastini Sanara/Ventosa 1	Sartenais	32611,14	579	121003	776719	526	52133	6136	0	235	9131	18	16	265	35	35	127	17	402	13	09/03/18
BDX19290	Pastini Sanara/Ventosa 1	Sartenais	32684,05	1877	118861	777448	237	51218	6179	0	285	10245	17	16	263	36	35	127	19	442	13	09/03/18
BDX19290	Pastini Sanara/Ventosa 1	Sartenais	35191,87	636	119855	777698	491	48282	6532	241	272	10117	17	14	246	38	33	114	20	191	12	09/03/18
BDX19291	Pastini Sanara/Ventosa 1	Sartenais	35550,78	1185	147253	735394	697	64354	5713	943	236	7872	11	18	280	47	27	135	20	249	14	07/03/18
BDX19291	Pastini Sanara/Ventosa 1	Sartenais	30989,27	2021	145799	748173	119	56262	5331	918	252	9331	14	16	240	45	31	141	18	283	16	07/03/18
BDX19291	Pastini Sanara/Ventosa 1	Sartenais	31464,27	1100	145874	748520	698	56243	5685	1340	250	7931	11	17	281	45	32	149	22	322	14	07/03/18
BDX19291	Pastini Sanara/Ventosa 1	Sartenais	26774,41	771	139867	758809	126	56872	4859	1186	265	9729	11	16	268	38	25	129	20	223	13	07/03/18
BDX19291	Pastini Sanara/Ventosa 1	Sartenais	33819,92	1261	141938	759974	120	47322	5158	750	273	8691	12	16	219	37	31	133	18	214	15	07/03/18

BDX	Source	Region	Na2O	MgO	Al2O3	SiO2	P2O5	K2O	CaO	TiO2	MnO	Fe2O3	Zn	Ga	Rb	Sr	Y	Zr	Nb	Ba	Pb	Date
BDX19291	Pastini	Sartenais	37879,38	574	118849	776502	117	52542	4961	634	226	6952	12	15	245	36	26	120	18	279	13	07/03/18
BDX19291	Saana/Ventosa 1	Sartenais	33993,48	616	119347	785983	384	43371	5526	812	294	8955	14	16	200	36	29	126	17	267	16	07/03/18
BDX19291	Pastini	Sartenais	33215,78	598	120600	786675	676	44359	5332	1074	265	6361	12	15	216	39	27	121	16	385	16	07/03/18
BDX19291	Saana/Ventosa 1	Sartenais	29386,1	2130	149859	742618	145	57265	5514	927	298	11072	17	19	275	45	28	136	22	231	14	08/03/18
BDX19291	Pastini	Sartenais	42547,1	1002	139443	749335	115	54434	5012	1546	168	5645	8	14	243	40	24	124	17	270	11	08/03/18
BDX19291	Saana/Ventosa 1	Sartenais	29281,93	2082	148045	750499	122	55986	5147	1099	186	6747	11	16	264	42	28	144	20	267	14	08/03/18
BDX19291	Pastini	Sartenais	40321,44	1026	141924	754479	624	47002	5232	894	247	7465	9	14	213	38	26	130	17	328	12	08/03/18
BDX19291	Saana/Ventosa 1	Sartenais	33087,68	1666	133091	765733	149	52767	5397	0	137	7178	9	15	250	44	28	143	22	268	15	08/03/18
BDX19291	Pastini	Sartenais	32164,67	1946	134156	777095	430	42118	4787	126	191	6350	9	13	196	36	24	127	17	203	11	08/03/18
BDX19291	Saana/Ventosa 1	Sartenais	33628,28	593	122239	783245	105	46961	4793	0	169	7595	11	14	227	38	23	126	21	202	11	08/03/18
BDX19291	Pastini	Sartenais	35018,03	626	120875	787597	686	42896	4914	281	170	6275	9	13	207	37	24	113	19	231	10	08/03/18
BDX19292	Saana/Ventosa 1	Sartenais	30654,66	2078	145739	732642	122	71116	6155	1025	267	9330	15	17	305	47	32	138	21	277	17	09/03/18
BDX19292	Pastini	Sartenais	28389,7	1601	139287	756725	606	59147	5942	903	232	6398	13	16	259	40	29	131	18	250	14	09/03/18
BDX19292	Saana/Ventosa 1	Sartenais	29219,15	2079	144585	757696	607	50318	6372	828	262	7234	15	17	267	42	32	139	19	255	15	09/03/18
BDX19292	Pastini	Sartenais	32019,56	589	129059	760123	103	58271	5555	1047	335	12112	16	17	271	40	29	124	19	256	15	09/03/18
BDX19292	Saana/Ventosa 1	Sartenais	35643	754	139895	761636	378	45041	6208	1222	308	8254	15	15	225	38	32	130	17	173	15	09/03/18
BDX19292	Pastini	Sartenais	39233,73	803	120362	770286	278	52557	5075	290	294	10044	14	14	238	36	26	114	18	302	14	09/03/18
BDX19292	Saana/Ventosa 1	Sartenais	35709,68	1913	120218	774209	309	48507	5477	1214	333	11317	17	16	255	39	28	111	20	285	22	09/03/18
BDX19292	Pastini	Sartenais	30731,11	733	120587	775926	290	56681	5224	448	251	8019	14	15	256	38	30	115	18	611	14	09/03/18
BDX19293	Luogo Oscuro 1	Taravu	45157,22	1173	131724	765552	1191	43144	2129	450	158	8703	35	20	253	5	49	123	24	83	29	19/07/17
BDX19293	Luogo Oscuro 1	Taravu	44608,06	1937	128036	772318	1233	41437	2456	481	87	6858	26	16	227	5	46	105	22	79	24	19/07/17
BDX19293	Luogo Oscuro 1	Taravu	34857,25	1335	131397	772690	1168	45511	2744	546	198	8921	39	20	260	4	51	123	25	81	29	19/07/17
BDX19293	Luogo Oscuro 1	Taravu	46009,84	1530	128517	772690	1244	37634	2228	1195	115	8232	28	19	202	5	47	155	25	110	16	19/07/17
BDX19293	Luogo Oscuro 1	Taravu	43206,22	1433	128338	773261	1165	41011	2083	397	156	8372	33	18	240	5	48	104	24	82	26	19/07/17
BDX19293	Luogo Oscuro 1	Taravu	34435,09	1636	130290	774776	1471	42624	3600	1862	125	8525	31	19	245	5	53	172	25	83	25	19/07/17
BDX19293	Luogo Oscuro 1	Taravu	31828,21	1703	131808	775295	1177	43613	2412	1638	175	9719	38	20	250	5	48	142	25	83	23	19/07/17
BDX19293	Luogo Oscuro 1	Taravu	42771,19	1470	127936	775683	1247	40168	2065	347	152	7600	31	17	230	5	42	102	23	84	26	19/07/17
BDX19293	Luogo Oscuro 1	Taravu	42427,96	1337	132732	764983	1310	44257	2827	421	195	8857	39	20	263	5	47	143	26	81	28	20/07/17
BDX19293	Luogo Oscuro 1	Taravu	41669,13	1375	131221	768952	1311	42752	2293	436	221	9151	42	20	254	5	46	114	24	83	30	20/07/17
BDX19293	Luogo Oscuro 1	Taravu	38618,92	1512	132895	769809	1138	43270	2382	444	222	9036	44	20	264	5	50	149	25	85	30	20/07/17
BDX19293	Luogo Oscuro 1	Taravu	35484,26	1193	132074	771653	1435	44686	2678	438	249	9445	44	20	267	5	46	152	24	77	30	20/07/17
BDX19294	Luogo Oscuro 1	Taravu	48398,73	970	131217	763952	1210	41111	2612	367	224	9325	41	19	238	5	46	125	23	90	27	19/07/17
BDX19294	Luogo Oscuro 1	Taravu	46151,12	1234	132179	763963	1194	38367	3007	1285	297	11673	46	20	238	6	60	144	25	78	33	19/07/17

BDX	Source	Region	Na2O	MgO	Al2O3	SiO2	P2O5	K2O	CaO	TiO2	MnO	Fe2O3	Zn	Ga	Rb	Sr	Y	Zr	Nb	Ba	Pb	Date
BDX19294	LuogoOscuro1	Taravu	45237,84	1329	132227	764498	1181	41368	2850	523	176	9982	39	19	245	5	57	129	24	86	25	19/07/17
BDX19294	LuogoOscuro1	Taravu	46933,1	1776	127698	767137	1363	40829	3050	447	177	9970	43	20	241	6	59	116	24	83	29	19/07/17
BDX19294	LuogoOscuro1	Taravu	50667,11	1321	129325	767359	1279	37716	2423	327	189	8782	38	19	232	5	48	130	25	87	27	19/07/17
BDX19294	LuogoOscuro1	Taravu	43913,8	1095	133004	767921	1230	39570	2674	479	192	9312	36	20	251	5	50	118	23	85	23	19/07/17
BDX19294	LuogoOscuro1	Taravu	44734,75	1635	128430	768363	1384	41049	3085	459	176	10059	43	20	243	6	60	118	24	83	30	19/07/17
BDX19294	LuogoOscuro1	Taravu	44764,7	1252	130061	769311	1235	38647	2769	586	200	10500	44	20	226	6	46	209	22	77	27	19/07/17
BDX19294	LuogoOscuro1	Taravu	35951,48	1214	129234	775308	1129	44774	2199	407	158	9019	38	18	243	5	50	114	23	91	23	19/07/17
BDX19294	LuogoOscuro1	Taravu	32047,36	936	132750	776656	1232	42972	2443	480	201	9631	41	20	262	5	50	139	26	81	27	19/07/17
BDX19294	LuogoOscuro1	Taravu	26981,83	1002	126010	785691	1069	46643	2875	354	215	8555	37	19	253	7	45	104	22	90	28	19/07/17
BDX19294	LuogoOscuro1	Taravu	46179,42	1136	132916	757226	1144	43880	2594	498	295	13503	49	20	251	5	61	111	21	86	24	20/07/17
BDX19294	LuogoOscuro1	Taravu	44226,77	1272	131748	764036	1192	43158	3181	521	197	9842	45	20	255	6	61	102	21	87	29	20/07/17
BDX19294	LuogoOscuro1	Taravu	34636,19	1362	131827	771365	1248	44877	2929	532	201	10369	46	20	266	5	62	106	22	96	31	20/07/17
BDX19294	LuogoOscuro1	Taravu	32529,52	1085	131946	774616	1235	44416	2550	436	229	10295	46	19	265	6	60	122	23	91	32	20/07/17
BDX19294	LuogoOscuro1	Taravu	31582,77	1043	115137	801446	1232	39074	2193	283	139	7325	33	17	221	5	40	97	21	88	24	20/07/17
BDX19295	Picciu1	Taravu	43645,21	1475	136827	769533	141	15077	11443	1835	300	19057	19	13	28	116	58	276	19	130	9	28/03/18
BDX19295	Picciu1	Taravu	40610,9	3441	137990	770689	139	18991	6422	1890	330	19002	17	12	36	114	34	138	17	120	7	28/03/18
BDX19295	Picciu1	Taravu	42599,84	912	137827	772257	121	18793	8326	2387	307	15851	13	14	37	126	42	249	21	112	6	28/03/18
BDX19295	Picciu1	Taravu	38216,89	1119	139150	773377	136	18428	10489	3163	201	15181	12	11	36	96	41	204	19	116	6	28/03/18
BDX19295	Picciu1	Taravu	52121,74	2288	130916	778274	117	16713	7289	897	229	10253	14	19	30	117	43	511	18	142	8	28/03/18
BDX19295	Picciu1	Taravu	34240,22	744	137868	795261	164	13869	6648	439	255	9895	11	13	26	112	34	253	21	140	6	28/03/18
BDX19295	Picciu1	Taravu	30933,8	2561	129820	807233	779	10707	7699	850	162	8361	11	19	17	92	39	542	19	149	8	28/03/18
BDX19296	Picciu1	Taravu	39199,1	794	144090	765717	226	9697	19504	2901	323	16817	18	18	19	166	55	286	25	135	10	28/03/18
BDX19296	Picciu1	Taravu	39775,79	1689	140537	773138	401	10679	16952	1694	217	14371	17	17	18	157	76	404	17	131	10	28/03/18
BDX19296	Picciu1	Taravu	37971,26	725	137798	779581	144	9145	17293	2003	204	14519	15	15	17	157	35	212	17	139	9	28/03/18
BDX19296	Picciu1	Taravu	34724,46	725	144689	780044	120	8786	18059	1987	242	9874	12	17	15	162	44	352	22	117	9	28/03/18
BDX19296	Picciu1	Taravu	39738,67	1213	132956	780851	133	11250	18589	2885	191	11617	12	16	19	153	39	198	18	115	9	28/03/18
BDX19296	Picciu1	Taravu	38327,13	1168	138025	782806	103	9504	16225	1397	208	11688	14	15	16	147	27	176	16	133	8	28/03/18
BDX19296	Picciu1	Taravu	42565,94	1566	125237	783109	108	10629	17215	1540	256	17055	18	16	19	159	29	317	20	130	8	28/03/18

BDX	Source	Region	Na2O	MgO	Al2O3	SiO2	P2O5	K2O	CaO	TiO2	MnO	Fe2O3	Zn	Ga	Rb	Sr	Y	Zr	Nb	Ba	Pb	Date
BDX19296	Picciu1	Taravu	40367,4	2013	122877	790462	108	8983	15881	1503	229	16883	23	16	18	157	29	279	18	145	9	28/03/18
BDX19297	Picciu2	Taravu	39488,99	2062	141610	739230	372	47872	2695	2255	366	23436	24	21	143	19	33	217	20	126	9	28/03/18
BDX19297	Picciu2	Taravu	37488,65	2290	144053	749474	147	46380	2665	2010	266	14579	15	20	129	16	32	292	18	118	5	28/03/18
BDX19297	Picciu2	Taravu	43476,73	1014	139846	750660	109	47414	2732	2018	221	11858	15	19	129	15	56	269	34	108	7	28/03/18
BDX19297	Picciu2	Taravu	30398,35	2273	145785	751651	119	49127	2825	1796	259	15087	18	21	138	17	40	302	20	119	7	28/03/18
BDX19297	Picciu2	Taravu	37786,61	819	140095	754628	547	46983	2586	1333	271	14160	15	19	137	16	38	425	20	116	7	28/03/18
BDX19297	Picciu2	Taravu	35805,03	819	129812	781813	229	35679	2102	1129	202	11909	14	17	94	14	33	206	16	102	5	28/03/18
BDX19306	Potezu4	Taravu	46397,74	8909	136673	729333	1154	35284	13108	2223	572	25449	51	18	136	114	29	283	18	237	12	27/07/17
BDX19306	Potezu4	Taravu	48958,38	9306	134217	729527	1468	35654	13672	2131	515	23657	46	18	122	119	32	294	18	233	12	27/07/17
BDX19306	Potezu4	Taravu	48490,3	9104	136515	731368	1466	32929	13839	2162	488	22779	40	18	113	135	32	284	18	209	12	27/07/17
BDX19306	Potezu4	Taravu	38959,35	7297	138541	731813	1215	35670	18835	4214	497	21994	42	18	123	152	33	345	19	220	14	27/07/17
BDX19306	Potezu4	Taravu	47125,54	9000	134824	732817	1400	35557	15967	1914	436	20065	43	18	119	140	30	266	18	246	13	27/07/17
BDX19306	Potezu4	Taravu	47552,65	9359	134401	733313	1375	36104	13734	1862	440	20947	41	18	119	141	29	262	18	271	12	27/07/17
BDX19306	Potezu4	Taravu	46522,99	8683	137140	733600	1326	35672	13179	1922	453	20694	46	18	125	120	31	286	18	150	14	27/07/17
BDX19306	Potezu4	Taravu	40608,32	5904	136331	734887	2932	33954	17363	2339	521	23732	47	18	121	133	34	293	18	750	13	27/07/17
BDX19306	Potezu4	Taravu	46608,78	6006	136775	736293	1316	35002	13363	2807	445	20437	45	18	119	121	33	309	19	270	14	27/07/17
BDX19306	Potezu4	Taravu	38495,37	8733	135398	743941	1334	33994	12763	2095	470	21884	47	18	120	116	32	283	18	246	13	27/07/17
BDX19306	Potezu4	Taravu	34520,83	1836	138331	744992	1108	38291	13271	2424	509	23829	48	18	140	124	31	329	18	168	13	27/07/17
BDX19312	Erbaiolu1	Taravu	30435,95	666	148240	737934	144	50607	6870	2342	416	21366	80	24	276	36	78	303	26	117	39	06/04/18
BDX19312	Erbaiolu1	Taravu	33449,13	1681	147270	738517	477	49497	5762	2463	404	19504	85	26	251	45	85	287	27	131	39	06/04/18
BDX19312	Erbaiolu1	Taravu	42962,62	655	144688	740856	122	45213	4424	2159	426	17624	94	22	225	31	75	243	26	120	35	06/04/18
BDX19312	Erbaiolu1	Taravu	32260,28	2534	139271	743867	138	49105	7340	2105	510	21854	85	24	251	31	83	337	31	134	40	06/04/18
BDX19312	Erbaiolu1	Taravu	35095,39	695	141872	748170	102	44187	10252	2134	399	16226	71	22	212	36	73	277	24	117	36	06/04/18
BDX19312	Erbaiolu1	Taravu	29242,45	965	139910	749031	385	53181	3833	1827	362	20288	76	21	308	25	63	325	23	113	22	06/04/18
BDX19312	Erbaiolu1	Taravu	36513,45	3224	135709	751197	276	44748	4728	2215	399	20034	67	22	262	32	72	328	26	114	35	06/04/18
BDX19312	Erbaiolu1	Taravu	29101,55	1148	127841	758167	129	50484	11580	2334	365	17913	80	22	250	31	80	297	26	115	36	06/04/18

BDX	Source	Region	Na2O	MgO	Al2O3	SiO2	P2O5	K2O	CaO	TiO2	MnO	Fe2O3	Zn	Ga	Rb	Sr	Y	Zr	Nb	Ba	Pb	Date
BDX19312	Erbaïolu1	Taravu	29376,65	1626	125135	758483	631	47352	13494	2597	402	20033	76	21	266	35	75	216	25	118	36	06/04/18
BDX19312	Erbaïolu1	Taravu	29638,35	732	126597	759383	675	46113	13282	2289	394	20033	78	23	233	35	79	245	25	113	36	06/04/18
BDX19312	Erbaïolu1	Taravu	33881,24	820	137014	765249	252	41273	4229	1925	356	14210	66	19	181	30	66	257	22	116	33	06/04/18
BDX19312	Erbaïolu1	Taravu	30244,27	2026	126781	765658	109	45911	4487	3029	437	20386	85	23	222	32	80	309	29	113	39	06/04/18
BDX19313a	Erbaïolu2	Taravu	41441,57	22911	135095	653138	2938	31723	39312	10091	1303	61058	84	18	260	134	52	311	22	91	17	06/04/18
BDX19313a	Erbaïolu2	Taravu	41085,19	16340	136211	701359	273	32079	24541	4943	762	41598	73	19	173	98	59	244	20	110	13	06/04/18
BDX19313a	Erbaïolu2	Taravu	40051,92	14943	136078	704000	314	32618	26163	5202	754	39112	67	19	155	102	63	214	19	110	16	06/04/18
BDX19313a	Erbaïolu2	Taravu	40651,18	14863	129804	706286	114	31822	26350	5411	768	43084	71	20	183	109	65	255	23	105	17	06/04/18
BDX19313a	Erbaïolu2	Taravu	38505,31	14565	130250	711483	338	32696	27137	5064	745	38435	69	19	176	101	60	215	21	108	13	06/04/18
BDX19313a	Erbaïolu2	Taravu	33301,95	12872	136884	713092	196	33815	24806	5084	693	38517	66	18	156	91	56	212	21	103	17	06/04/18
BDX19313a	Erbaïolu2	Taravu	37446,65	13551	123340	729600	245	31027	22468	5196	674	35729	63	19	147	101	59	195	19	107	13	06/04/18
BDX19313b	Erbaïolu2	Taravu	41290,35	12523	150124	682046	229	34641	26635	5963	762	44897	90	22	208	113	66	246	25	105	15	06/04/18
BDX19313b	Erbaïolu2	Taravu	40424,23	14835	132547	705875	238	33632	23099	5715	706	42062	85	20	194	105	60	257	23	111	13	06/04/18
BDX19313b	Erbaïolu2	Taravu	37400,09	14906	132925	710004	238	34503	22112	5513	721	40848	82	19	187	106	60	233	24	107	13	06/04/18
BDX19313b	Erbaïolu2	Taravu	37519,47	13109	129107	713824	213	35317	23180	5912	723	40170	84	21	166	113	66	327	23	109	18	06/04/18
BDX19313b	Erbaïolu2	Taravu	38272,76	13613	129965	713863	264	33463	23753	5740	672	39581	78	20	168	110	64	236	23	100	14	06/04/18
BDX19314	Erbaïolu2	Taravu	44711,55	10667	148276	680429	225	36942	28861	6122	843	42051	71	22	174	121	75	246	24	108	31	06/04/18
BDX19314	Erbaïolu2	Taravu	37879,32	11719	147152	686771	218	37677	30352	5736	780	40802	70	21	203	118	76	274	21	114	16	06/04/18
BDX19314	Erbaïolu2	Taravu	45571,94	10960	146101	697103	180	33847	21077	4924	683	38706	77	21	160	98	72	268	21	113	16	06/04/18
BDX19314	Erbaïolu2	Taravu	34427,73	11782	146808	698383	178	36428	26416	5233	716	38769	72	21	177	106	76	255	23	115	15	06/04/18
BDX19314	Erbaïolu2	Taravu	38107,08	16181	128943	706041	424	34574	26025	5162	853	42586	67	20	190	114	66	482	23	111	32	06/04/18
BDX19314	Erbaïolu2	Taravu	41834,17	10177	133187	706759	174	32750	28409	5161	731	39974	70	19	169	97	69	279	19	107	13	06/04/18
BDX19314	Erbaïolu2	Taravu	37833,22	13698	131029	711126	261	35324	25643	5646	785	37854	63	20	183	121	65	210	22	98	20	06/04/18
BDX19314	Erbaïolu2	Taravu	35988,02	13730	124266	718446	110	34206	26412	5766	811	39453	67	20	165	114	63	242	23	103	16	06/04/18
BDX19314	Erbaïolu2	Taravu	26161,42	9220	136204	719765	182	34686	26922	5346	722	39890	72	21	176	99	75	317	22	107	14	06/04/18
BDX19319	Taravu Vitriccianu	Taravu	41633,24	1704	134142	743860	1099	54181	3150	1355	284	17688	27	18	287	31	36	253	20	227	4	01/08/17
BDX19319	Taravu Vitriccianu	Taravu	45431,26	951	131377	749486	977	54000	2743	1078	200	12932	24	17	267	30	39	173	19	254	3	01/08/17
BDX19319	Taravu Vitriccianu	Taravu	44524,61	1362	129744	750647	1172	48183	3368	1791	269	18139	30	18	248	30	36	232	21	183	3	01/08/17
BDX19319	Taravu Vitriccianu	Taravu	40592,03	1620	130611	750847	904	54112	2935	1223	277	16102	27	18	267	31	36	155	19	223	3	01/08/17
BDX19319	Taravu Vitriccianu	Taravu	43958,54	2153	129655	755472	1062	48079	2722	1193	200	14764	25	17	246	30	34	169	20	198	3	01/08/17
BDX19319	Taravu Vitriccianu	Taravu	44855,11	940	133394	757530	1061	45022	3017	782	187	12506	24	17	231	30	34	176	18	172	3	01/08/17
BDX19319	Taravu Vitriccianu	Taravu	45537,65	1119	131331	763592	948	40593	3088	972	186	12025	20	17	194	31	33	146	18	147	3	01/08/17

BDX	Source	Region	Na2O	MgO	Al2O3	SiO2	P2O5	K2O	CaO	TiO2	MnO	Fe2O3	Zn	Ga	Rb	Sr	Y	Zr	Nb	Ba	Pb	Date
BDX19319	Taravu Vitriccianu	Taravu	46410,84	1051	130977	765597	905	39182	3463	801	164	10810	19	17	190	32	33	144	18	184	2	01/08/17
BDX19319	Taravu Vitriccianu	Taravu	45781,72	2224	134339	742061	1081	51258	2914	1378	286	17931	28	18	262	31	35	178	19	172	4	02/08/17
BDX19319	Taravu Vitriccianu	Taravu	44742,08	1765	133822	743945	1127	52135	3618	1333	262	16413	27	18	269	31	36	165	20	270	4	02/08/17
BDX19319	Taravu Vitriccianu	Taravu	36287,81	1432	135328	754460	994	50150	3089	1138	239	16100	26	18	264	32	36	163	20	219	3	02/08/17
BDX19319	Taravu Vitriccianu	Taravu	32566,35	1512	133886	755586	1027	51229	2801	1742	268	18511	32	18	259	32	37	252	20	218	3	02/08/17
BDX19319	Taravu Vitriccianu	Taravu	45908,08	1299	132802	755935	1146	43750	3024	1110	210	14067	25	18	211	31	34	158	17	253	3	02/08/17
BDX19319	Taravu Vitriccianu	Taravu	37327,01	1056	134408	756609	1242	47723	3564	1447	235	15600	26	18	242	31	36	170	18	246	3	02/08/17
BDX19319	Taravu Vitriccianu	Taravu	33377,78	1471	132562	757698	1035	56589	2632	1182	192	12402	21	16	282	28	38	167	19	287	2	02/08/17
BDX19319	Taravu Vitriccianu	Taravu	45777,08	1392	132970	757752	1261	43998	2909	839	193	12239	24	17	220	32	34	152	18	170	3	02/08/17
BDX19319	Taravu Vitriccianu	Taravu	48651,38	1531	131848	758411	940	43028	3389	902	162	10445	18	17	205	30	33	154	18	211	3	02/08/17
BDX19319	Taravu Vitriccianu	Taravu	32285,78	1051	132840	759050	1113	54750	2780	1006	217	14139	26	18	279	32	36	158	20	196	4	02/08/17
BDX19319	Taravu Vitriccianu	Taravu	49272,47	1437	132030	759117	1003	40292	3430	1061	180	11550	21	17	187	31	36	156	19	160	2	02/08/17
BDX19319	Taravu Vitriccianu	Taravu	47536,04	1903	131596	759426	1214	40817	2605	1001	189	13028	23	17	198	29	31	150	17	215	2	02/08/17
BDX19319	Taravu Vitriccianu	Taravu	46724,48	884	131093	763539	1042	40652	3000	864	212	11310	20	16	198	29	33	153	18	211	2	02/08/17
BDX19319	Taravu Vitriccianu	Taravu	34463,97	1201	130994	764297	1044	49324	3281	991	219	13397	26	17	256	31	36	174	19	225	3	02/08/17
BDX19319	Taravu Vitriccianu	Taravu	31778,81	2159	151234	726711	118	61725	4688	1768	298	18669	28	21	315	36	43	189	21	194	4	23/02/18
BDX19319	Taravu Vitriccianu	Taravu	45723,71	669	142673	742908	106	47502	3582	1471	243	14425	22	17	237	32	35	162	18	172	3	23/02/18
BDX19319	Taravu Vitriccianu	Taravu	31206,62	1796	131004	755062	128	59352	4346	1501	239	14579	22	17	290	34	40	173	19	188	3	23/02/18
BDX19319	Taravu Vitriccianu	Taravu	35957,55	1596	143326	755634	122	44715	3775	1509	208	12481	19	17	198	33	38	173	19	177	3	23/02/18
BDX19319	Taravu Vitriccianu	Taravu	36535	592	139498	756327	105	47266	4123	1318	233	13301	21	17	237	31	39	173	17	164	3	23/02/18
BDX19319	Taravu Vitriccianu	Taravu	30391,9	1789	134532	756642	129	53409	3740	1569	264	16773	24	18	274	33	39	173	19	177	3	23/02/18
BDX19319	Taravu Vitriccianu	Taravu	38089,29	698	140056	758516	694	43961	3435	1060	218	12614	19	17	196	31	36	167	17	172	3	23/02/18
BDX19319	Taravu Vitriccianu	Taravu	29158,83	1535	143082	759454	251	48258	3925	1162	214	12247	19	18	232	33	38	185	19	166	3	23/02/18
BDX19319	Taravu Vitriccianu	Taravu	38080,71	685	139836	759510	115	43282	4026	920	234	12675	19	18	196	33	36	162	18	151	3	23/02/18
BDX19319 ("Context")	Taravu Vitriccianu	Taravu	31565,16	1367	130197	759506	1240	54167	2548	1695	278	16666	25	18	252	37	28	140	18	246	7	01/08/17
BDX19320	Taravu Vitriccianu	Taravu	40019,7	1442	132105	757599	1049	50019	3181	949	184	12587	23	17	251	29	35	171	18	317	3	01/08/17
BDX19320	Taravu Vitriccianu	Taravu	33439,62	1990	130352	761419	1067	53719	3312	1265	177	12520	21	17	265	30	35	164	18	185	3	01/08/17
BDX19320	Taravu Vitriccianu	Taravu	38952,44	1477	131487	761643	1165	46360	3307	1166	198	13466	22	17	238	27	35	251	18	168	3	01/08/17
BDX19320	Taravu Vitriccianu	Taravu	33171,1	1132	134595	763259	1169	48476	3558	1137	174	12584	22	17	248	30	36	156	19	214	3	01/08/17
BDX19320	Taravu Vitriccianu	Taravu	43343,81	1696	128991	763653	1050	44492	2995	1095	168	11856	22	16	223	27	33	150	18	168	3	01/08/17
BDX19320	Taravu Vitriccianu	Taravu	45387,78	1862	125722	765728	1133	43572	3012	1030	162	11761	22	16	231	27	32	151	18	131	3	01/08/17
BDX19320	Taravu Vitriccianu	Taravu	35579,38	2497	126119	769044	1091	49497	3189	1019	148	11109	20	16	242	28	33	161	19	186	3	01/08/17
BDX19320	Taravu Vitriccianu	Taravu	31498,1	1548	131853	770837	1141	46501	3032	1059	162	11641	22	17	245	29	35	150	18	209	3	01/08/17

BDX	Source	Region	Na2O	MgO	Al2O3	SiO2	P2O5	K2O	CaO	TiO2	MnO	Fe2O3	Zn	Ga	Rb	Sr	Y	Zr	Nb	Ba	Pb	Date
BDX19323	Taravu Vitricianu	Taravu	51222,84	6879	136741	738909	1102	33625	9575	1674	137	18596	12	16	136	120	25	151	20	1057	2	01/08/17
BDX19323	Taravu Vitricianu	Taravu	54433,12	9051	136930	739527	1115	30835	6567	814	210	18950	13	15	128	115	20	151	19	1108	1	01/08/17
BDX19323	Taravu Vitricianu	Taravu	49869,53	9036	136451	741511	1086	33355	7124	1110	239	18641	14	16	136	123	25	146	19	1097	1	01/08/17
BDX19323	Taravu Vitricianu	Taravu	51564,5	2897	136958	744131	1330	28369	12143	1260	256	19514	13	16	127	125	27	151	20	1097	2	01/08/17
BDX19323	Taravu Vitricianu	Taravu	47653,03	3463	137193	745793	1616	29357	11765	2216	243	18971	17	17	133	123	27	172	20	1220	2	01/08/17
BDX19323	Taravu Vitricianu	Taravu	39238,99	1736	130877	752336	118	38705	12782	1633	215	20514	11	18	160	133	22	174	23	1303	2	26/03/18
BDX19323	Taravu Vitricianu	Taravu	41275,23	7492	130452	760100	142	29247	9895	1395	189	18361	12	15	117	116	18	157	18	995	2	26/03/18
BDX19323	Taravu Vitricianu	Taravu	40482,73	2828	131797	760439	164	34092	9809	1284	179	17385	10	15	135	116	21	150	18	1073	2	26/03/18
BDX19323	Taravu Vitricianu	Taravu	37443,96	2077	128642	761058	106	35551	12535	2087	211	18632	11	15	144	121	35	148	18	1162	2	26/03/18
BDX19323	Taravu Vitricianu	Taravu	37288,74	1583	127646	763029	153	36635	10754	855	191	20157	12	16	145	129	22	166	21	1193	2	26/03/18
BDX19323	Taravu Vitricianu	Taravu	38929,29	2861	128946	765013	110	33842	9404	724	179	18466	10	14	129	110	22	143	19	1078	2	26/03/18
BDX19324	Taravu Cicutetu	Taravu	43206,08	1739	126896	770961	1208	36571	3024	394	431	14851	49	17	209	31	68	196	30	115	2	01/08/17
BDX19324	Taravu Cicutetu	Taravu	27015,67	1091	122615	790118	973	39860	2093	305	422	14773	50	18	214	33	87	180	36	113	3	01/08/17
BDX19324	Taravu Cicutetu	Taravu	24242,03	1373	116056	799192	1020	40882	1553	416	396	14034	46	17	216	31	74	139	37	277	1	01/08/17
BDX19324	Taravu Cicutetu	Taravu	27485,49	926	117327	799802	1062	38471	1615	0	343	12352	44	18	197	31	66	138	23	96	3	01/08/17
BDX19324	Taravu Cicutetu	Taravu	33111,87	1074	134991	770481	637	43258	2326	0	360	13074	39	17	195	33	49	116	25	212	1	26/03/18
BDX19324	Taravu Cicutetu	Taravu	34561,57	734	131346	773942	394	37979	2189	575	449	17129	50	17	180	28	90	178	36	122	1	26/03/18
BDX19324	Taravu Cicutetu	Taravu	31863,5	751	131106	784648	655	36344	1975	0	343	11657	35	15	189	29	56	121	24	187	1	26/03/18
BDX19324	Taravu Cicutetu	Taravu	31108,34	922	129143	786812	621	36712	2228	0	342	11515	35	15	180	30	53	134	26	123	1	26/03/18
BDX19325	Taravu Cicutetu	Taravu	46329,41	6510	136847	735025	1359	39341	13040	1667	320	18435	30	17	125	102	25	155	20	638	14	01/08/17
BDX19325	Taravu Cicutetu	Taravu	48820,9	3792	136324	736242	1306	39429	12981	1686	312	17531	32	17	122	108	27	164	19	1074	16	01/08/17
BDX19325	Taravu Cicutetu	Taravu	45914,79	2569	137363	737102	1290	41112	13091	1813	318	18111	32	17	127	106	25	159	20	813	17	01/08/17
BDX19325	Taravu Cicutetu	Taravu	46547,17	2116	136617	738734	1313	37595	13596	2140	335	19421	31	17	118	107	27	164	21	1085	15	01/08/17
BDX19325	Taravu Cicutetu	Taravu	47899,27	2932	136321	739027	1219	38205	13047	1692	321	18013	33	17	122	104	26	162	20	824	17	01/08/17
BDX19325	Taravu Cicutetu	Taravu	47825,03	2504	136765	739737	1381	38008	13296	1689	324	17274	33	16	126	101	25	160	20	704	14	01/08/17
BDX19325	Taravu Cicutetu	Taravu	45839,86	2104	135796	740467	1126	39262	13326	1723	331	18426	33	18	126	108	26	163	21	1087	17	01/08/17
BDX19325	Taravu Cicutetu	Taravu	45988,12	3187	136217	741402	1175	37788	13104	1778	320	17756	30	15	122	105	26	161	20	792	14	01/08/17
BDX19325	Taravu Cicutetu	Taravu	47885,48	1980	134668	741445	1194	39383	12889	1606	323	17053	33	16	127	105	26	158	20	1073	15	01/08/17
BDX19325	Taravu Cicutetu	Taravu	45543,41	2642	136123	742204	1194	39732	12807	1562	316	16309	30	16	114	105	28	164	19	1074	16	01/08/17
BDX19325	Taravu Cicutetu	Taravu	37973,89	1462	135773	747948	1288	40870	13382	1723	332	17638	32	17	128	107	28	169	19	1097	15	01/08/17
BDX19325 ("cortex" Jaume)	Taravu Cicutetu	Taravu	52444,56	5024	135944	737159	1345	35391	11271	1644	295	18292	35	15	86	97	22	157	20	743	15	01/08/17
BDX19326	Taravu Cicutetu	Taravu	50396,9	3266	136096	736112	1289	38883	13072	1708	321	17465	31	17	122	105	25	162	20	893	16	01/08/17
BDX19326	Taravu Cicutetu	Taravu	42041,49	2378	136452	742930	1326	40441	13428	1667	331	17399	33	16	130	106	26	163	21	1095	16	01/08/17

BDX	Source	Region	Na2O	MgO	Al2O3	SiO2	P2O5	K2O	CaO	TiO2	MnO	Fe2O3	Zn	Ga	Rb	Sr	Y	Zr	Nb	Ba	Pb	Date
BDX19326	Taravu Cicutetu	Taravu	43140,11	2471	136601	743757	1300	38663	13343	1610	326	17229	32	17	110	106	24	163	20	1075	13	01/08/17
BDX19326	Taravu Cicutetu	Taravu	46062,84	2202	136042	744226	1244	38881	13089	1599	317	15263	29	16	122	106	26	157	19	584	14	01/08/17
BDX19326	Taravu Cicutetu	Taravu	46798,26	1495	137200	745507	1341	35473	13048	1548	287	15754	31	15	105	105	25	159	20	1074	15	01/08/17
BDX19326	Taravu Cicutetu	Taravu	35314,37	3124	138162	747201	1240	40938	13636	1811	325	16639	31	17	125	110	29	163	21	1100	15	01/08/17
BDX19326	Taravu Cicutetu	Taravu	36283,58	1293	137454	748240	1277	39207	13815	1697	344	18738	35	16	139	112	27	167	20	1119	16	01/08/17
BDX19326	Taravu Cicutetu	Taravu	33099,32	2070	136835	749731	1389	42289	13470	1717	308	17451	32	16	132	107	31	169	21	1118	16	01/08/17
BDX19326	Taravu Cicutetu	Taravu	43964,46	705	141576	733939	115	42399	15798	2258	322	17777	29	16	131	111	29	182	20	614	15	23/02/18
BDX19326	Taravu Cicutetu	Taravu	32048,8	671	145570	736288	114	44661	16179	2259	353	20757	32	18	130	120	30	196	21	534	17	23/02/18
BDX19326	Taravu Cicutetu	Taravu	41181,02	754	137970	738433	139	43167	15441	2103	332	19157	30	17	136	110	30	182	20	784	14	23/02/18
BDX19326	Taravu Cicutetu	Taravu	37001	827	141412	739718	131	41617	15923	2094	339	19793	29	17	135	113	25	183	22	604	15	23/02/18
BDX19326	Taravu Cicutetu	Taravu	34972,08	927	131305	749372	111	43118	15826	2178	346	20304	29	18	135	116	28	190	23	985	17	23/02/18
BDX19326	Taravu Cicutetu	Taravu	40864,27	640	125676	753195	148	42228	15411	2051	331	18134	29	16	120	111	29	182	20	800	15	23/02/18
BDX19326	Taravu Cicutetu	Taravu	36940,67	904	125175	753275	131	44074	15922	2286	343	19811	30	17	133	115	32	187	20	589	15	23/02/18
BDX19326	Taravu Cicutetu	Taravu	34479,31	945	127773	754541	111	41843	16360	2116	343	20202	32	18	137	116	27	192	23	725	17	23/02/18
BDX19326	Taravu Cicutetu	Taravu	33567,35	962	123253	760558	231	42106	16290	2047	336	19270	29	16	131	112	32	183	21	840	15	23/02/18
BDX19327	Taravu Cicutetu	Taravu	46294,58	1108	131388	770180	1220	35993	1331	502	200	11183	16	18	189	12	53	159	25	122	6	01/08/17
BDX19327	Taravu Cicutetu	Taravu	46821,35	1027	131577	773372	1224	33427	1279	430	184	10093	14	17	182	13	45	154	25	113	4	01/08/17
BDX19327	Taravu Cicutetu	Taravu	40925,42	1052	129062	779093	1143	34524	2343	426	192	10602	14	18	186	14	48	168	23	164	5	01/08/17
BDX19327	Taravu Cicutetu	Taravu	44496,6	950	122476	781551	1142	36539	1284	502	178	10300	16	17	192	11	47	156	26	110	6	01/08/17
BDX19327	Taravu Cicutetu	Taravu	31763,23	994	122128	792595	1134	38637	1431	407	149	10108	15	17	202	13	59	134	22	188	5	01/08/17
BDX19327	Taravu Cicutetu	Taravu	34686,53	981	140302	769572	572	38985	1945	0	237	12020	15	19	199	15	58	170	25	194	6	26/03/18
BDX19327	Taravu Cicutetu	Taravu	34149,82	2026	135721	774120	662	39373	2006	990	200	10155	13	18	183	14	48	156	27	136	5	26/03/18
BDX19327	Taravu Cicutetu	Taravu	38099,89	626	133969	777387	600	35154	1784	0	226	11472	15	18	174	14	51	161	23	219	6	26/03/18
BDX19327	Taravu Cicutetu	Taravu	33462,17	607	132962	780988	102	37946	1803	0	210	11321	11	18	175	13	60	153	21	141	5	26/03/18
BDX19327	Taravu Cicutetu	Taravu	38111,59	651	117877	788857	659	39712	1889	0	225	11298	14	18	198	14	52	182	22	215	6	26/03/18
BDX19327	Taravu Cicutetu	Taravu	37399,14	693	117545	791394	213	38360	1863	80	234	11611	16	18	185	14	55	157	23	134	6	26/03/18

BDX	Source	Region	Na2O	MgO	Al2O3	SiO2	P2O5	K2O	CaO	TiO2	MnO	Fe2O3	Zn	Ga	Rb	Sr	Y	Zr	Nb	Ba	Pb	Date
BDX19327	Taravu Cicutetu	Taravu	30438,19	586	126456	794735	607	34948	1722	0	198	9752	13	16	178	13	51	136	21	125	4	26/03/18
BDX19328	I Calanchi alluv. anc.	Taravu	28661,42	1230	138344	758442	1087	54426	7904	707	139	7469	17	18	162	115	24	99	18	1110	28	07/07/17
BDX19328	I Calanchi alluv. anc.	Taravu	48237,5	1453	133753	759399	1072	38345	10511	416	91	5336	12	16	108	105	20	65	17	1023	19	07/07/17
BDX19328	I Calanchi alluv. anc.	Taravu	39879,98	1038	135959	760172	986	43775	9424	604	137	6573	14	16	122	107	22	70	16	1067	18	07/07/17
BDX19328	I Calanchi alluv. anc.	Taravu	43937,17	1141	131818	762383	1055	42911	7386	667	135	7176	17	15	118	97	21	69	16	1017	19	07/07/17
BDX19328	I Calanchi alluv. anc.	Taravu	32345,9	904	136227	762564	1171	48606	6740	826	168	8909	20	16	152	102	20	67	17	1123	22	07/07/17
BDX19328	I Calanchi alluv. anc.	Taravu	26161,12	867	139004	762594	880	50425	4850	830	645	12981	80	25	260	31	37	80	52	166	33	07/07/17
BDX19328	I Calanchi alluv. anc.	Taravu	34448,99	1357	134838	763574	1185	46804	7190	743	159	8245	17	16	126	107	22	70	17	1059	21	07/07/17
BDX19328	I Calanchi alluv. anc.	Taravu	31476,91	1078	136451	763757	1134	48994	7475	435	118	7354	14	15	169	107	21	73	20	1277	30	07/07/17
BDX19328	I Calanchi alluv. anc.	Taravu	44479,29	2039	128590	764943	947	41872	6806	589	153	8210	16	16	125	93	21	61	16	1007	18	07/07/17
BDX19328	I Calanchi alluv. anc.	Taravu	29505,39	1099	136373	765074	1118	49590	7024	775	147	7774	17	15	151	111	21	69	17	1096	24	07/07/17
BDX19328	I Calanchi alluv. anc.	Taravu	50210,35	2026	127816	766072	1360	33888	9661	507	129	6985	15	16	119	98	18	58	15	989	18	07/07/17
BDX19328	I Calanchi alluv. anc.	Taravu	39051,21	1554	131178	767325	1099	43992	7602	541	119	6110	15	15	133	102	24	71	17	1033	20	07/07/17
BDX19328	I Calanchi alluv. anc.	Taravu	38054,98	979	130576	768242	981	43774	7390	599	130	7861	16	15	125	99	21	68	16	1032	20	07/07/17
BDX19328	I Calanchi alluv. anc.	Taravu	31758,72	1206	133498	771844	837	45298	6416	425	123	7128	15	16	154	99	17	61	16	1069	20	07/07/17
BDX19328	I Calanchi alluv. anc.	Taravu	32982,69	991	132938	774043	1082	41447	7258	565	152	7153	15	15	123	97	23	68	17	1015	16	07/07/17
BDX19328	I Calanchi alluv. anc.	Taravu	38873,36	1936	135317	760995	1004	46779	6859	545	103	6174	13	14	138	100	18	63	16	1031	21	17/07/17
BDX19328	I Calanchi alluv. anc.	Taravu	45639,75	1430	132309	761200	1219	39417	10065	586	113	6755	15	16	114	101	21	65	16	901	18	17/07/17
BDX19328	I Calanchi alluv. anc.	Taravu	37985,24	1573	132746	763822	766	47076	7095	557	122	6801	15	14	145	107	20	67	16	1049	23	17/07/17
BDX19328	I Calanchi alluv. anc.	Taravu	26884,91	1007	139919	763869	1186	50315	7172	674	128	7315	16	15	148	108	21	69	18	1112	22	17/07/17
BDX19328	I Calanchi alluv. anc.	Taravu	31885,18	1928	131220	770540	1279	47980	6673	492	107	6436	14	15	144	104	21	66	17	1054	23	17/07/17
BDX19328	I Calanchi alluv. anc.	Taravu	22875,29	1474	128763	779816	1088	51640	4000	776	170	8393	15	12	157	80	13	52	16	647	15	17/07/17
BDX19329	I Calanchi alluv. anc.	Taravu	48840,46	1779	137208	751633	991	40031	11137	495	112	6360	14	15	116	113	23	82	16	1021	15	07/07/17
BDX19329	I Calanchi alluv. anc.	Taravu	47061,89	1555	131681	756323	1682	41406	10858	596	126	7272	15	16	125	116	22	77	16	1037	15	07/07/17
BDX19329	I Calanchi alluv. anc.	Taravu	45809,84	1752	132067	757565	1236	42547	10359	477	95	6677	15	15	119	111	22	78	16	1024	16	07/07/17
BDX19329	I Calanchi alluv. anc.	Taravu	44958,42	1611	130840	759533	1094	41798	10228	572	133	7789	14	15	120	116	29	78	16	1040	15	07/07/17

BDX	Source	Region	Na2O	MgO	Al2O3	SiO2	P2O5	K2O	CaO	TiO2	MnO	Fe2O3	Zn	Ga	Rb	Sr	Y	Zr	Nb	Ba	Pb	Date
BDX19329	I Calanchi alluv. anc.	Taravu	49962,04	933	127868	759923	1023	45932	6459	576	83	5845	13	13	132	100	23	88	16	998	15	07/07/17
BDX19329	I Calanchi alluv. anc.	Taravu	45178,88	1034	131936	759960	1051	40966	9225	714	138	8373	16	16	128	104	23	80	16	1028	14	07/07/17
BDX19329	I Calanchi alluv. anc.	Taravu	47335,06	1484	132427	761466	1149	35459	11117	531	114	7539	14	15	112	110	19	71	15	1008	16	07/07/17
BDX19329	I Calanchi alluv. anc.	Taravu	44278,26	1052	130186	769233	1203	35451	11070	401	88	5970	13	15	103	108	22	84	16	691	16	07/07/17
BDX19329	I Calanchi alluv. anc.	Taravu	31371,53	1767	130107	772100	1129	46173	8371	591	103	6855	14	16	132	105	22	76	16	1036	16	07/07/17
BDX19329	I Calanchi alluv. anc.	Taravu	38937,75	982	137349	761421	1161	40152	10413	541	113	7447	14	15	116	114	24	82	17	1085	15	17/07/17
BDX19329	I Calanchi alluv. anc.	Taravu	37931,58	1139	137854	761519	1083	40099	10942	520	101	7334	15	16	115	113	24	82	17	1080	15	17/07/17
BDX19329	I Calanchi alluv. anc.	Taravu	33824,88	861	137474	769471	1238	34847	11740	687	145	8548	16	17	105	124	23	80	18	765	16	17/07/17
BDX19329	I Calanchi alluv. anc.	Taravu	40595,54	1359	136220	757516	1277	41558	10830	614	132	8403	16	16	130	122	22	79	17	1078	16	18/07/17
BDX19329	I Calanchi alluv. anc.	Taravu	45616,69	1470	134873	759002	1126	35980	10848	677	132	8838	14	15	105	121	22	80	17	1048	15	18/07/17
BDX19329	I Calanchi alluv. anc.	Taravu	39447,3	2012	131527	764023	1169	41615	9919	617	116	8106	15	16	119	115	24	80	16	1047	16	18/07/17
BDX19329	I Calanchi alluv. anc.	Taravu	34442,42	1379	134657	764736	1185	42499	9549	681	171	9214	18	17	129	118	22	76	17	1075	16	18/07/17
BDX19329	I Calanchi alluv. anc.	Taravu	24248,55	1485	133111	765293	1193	58074	6850	738	114	7313	16	16	162	115	23	83	18	1130	18	18/07/17
BDX19329	I Calanchi alluv. anc.	Taravu	46413,37	1377	134251	766511	1184	29636	10760	383	108	7977	14	15	90	123	23	77	16	1029	14	18/07/17
BDX19329	I Calanchi alluv. anc.	Taravu	24637,4	1564	133563	767200	1046	53345	7173	810	150	8924	16	14	169	105	22	76	19	1146	17	18/07/17
BDX19330	I Calanchi alluv. anc.	Taravu	45933,55	6028	131731	749703	1279	45180	9663	803	190	8061	14	15	133	114	22	77	16	1023	17	18/07/17
BDX19330	I Calanchi alluv. anc.	Taravu	46275,08	3287	133844	754608	1283	44766	5227	863	209	8230	12	14	144	101	22	78	16	1008	14	18/07/17
BDX19330	I Calanchi alluv. anc.	Taravu	51011,75	4354	131331	754950	1291	42217	5169	772	157	7364	13	14	126	98	22	79	16	1003	13	18/07/17
BDX19330	I Calanchi alluv. anc.	Taravu	43944,35	3713	131713	755008	1284	43916	9655	837	234	8256	15	16	145	114	22	79	16	1018	17	18/07/17
BDX19330	I Calanchi alluv. anc.	Taravu	44321,47	3116	133306	755046	1343	42027	10273	829	237	8099	14	15	128	118	23	80	16	991	18	18/07/17
BDX19330	I Calanchi alluv. anc.	Taravu	43127,52	3346	132540	756729	1207	42247	10202	803	210	8160	14	15	129	117	22	78	16	1020	17	18/07/17
BDX19330	I Calanchi alluv. anc.	Taravu	45867,45	2598	132688	758335	1254	42748	6521	761	168	7655	13	15	119	116	23	78	16	1010	14	18/07/17
BDX19330	I Calanchi alluv. anc.	Taravu	43626,13	2895	132348	758985	1263	44690	6725	779	168	7100	12	14	127	110	22	79	16	1024	16	18/07/17
BDX19330	I Calanchi alluv. anc.	Taravu	47017,22	2559	131639	759031	1235	43623	5268	809	188	7222	12	15	129	101	22	80	16	1017	16	18/07/17
BDX19330	I Calanchi alluv. anc.	Taravu	47410,79	1544	131121	762170	1342	41735	5532	806	149	6807	11	14	117	96	22	80	16	1017	11	18/07/17
BDX19330	I Calanchi alluv. anc.	Taravu	32144,79	1816	135166	762381	1260	46691	9278	869	236	8665	14	16	139	122	24	84	17	1060	18	18/07/17
BDX19330	I Calanchi alluv. anc.	Taravu	36147,66	2369	132452	762897	1299	43682	10374	798	213	8276	14	15	136	121	24	83	16	1064	18	18/07/17
BDX19330	I Calanchi alluv. anc.	Taravu	32267,89	2381	133659	764236	1333	45428	10162	864	205	7976	13	16	131	124	23	82	17	1064	19	18/07/17
BDX19330	I Calanchi alluv. anc.	Taravu	32011,61	1960	131226	770593	1332	42299	10277	797	221	7813	13	16	135	120	23	83	16	1047	16	18/07/17
BDX19331	I Calanchi alluv. anc.	Taravu	47234,13	1310	133566	743172	1004	40760	17094	819	257	13694	16	18	129	243	31	77	18	543	13	07/07/17
BDX19331	I Calanchi alluv. anc.	Taravu	46898,22	1391	132185	744333	1008	40519	17624	757	264	13772	13	18	126	255	30	77	18	698	13	07/07/17
BDX19331	I Calanchi alluv. anc.	Taravu	46282,14	1093	135392	756289	1034	43826	6177	796	166	7455	13	14	132	110	23	82	16	1086	15	07/07/17
BDX19331	I Calanchi alluv. anc.	Taravu	44813,57	930	133979	757394	1084	43244	6736	785	209	9351	15	15	131	131	27	79	17	1048	14	07/07/17

BDX	Source	Region	Na2O	MgO	Al2O3	SiO2	P2O5	K2O	CaO	TiO2	MnO	Fe2O3	Zn	Ga	Rb	Sr	Y	Zr	Nb	Ba	Pb	Date
BDX19331	I Calanchi alluv. anc.	Taravú	43621,41	1791	130783	758366	1147	44249	9101	811	238	8414	16	15	144	117	21	79	16	1053	17	07/07/17
BDX19331	I Calanchi alluv. anc.	Taravú	46101,15	1238	133101	759448	987	42346	6413	815	182	7928	14	15	133	111	23	80	16	1036	14	07/07/17
BDX19331	I Calanchi alluv. anc.	Taravú	44799,41	2174	130412	760041	1005	41472	9594	797	219	8078	14	15	134	113	22	77	15	1003	14	07/07/17
BDX19331	I Calanchi alluv. anc.	Taravú	44686,68	1829	130168	762725	1109	41087	8035	777	216	7938	15	15	126	115	23	81	16	1023	15	07/07/17
BDX19331	I Calanchi alluv. anc.	Taravú	38123,88	1780	131520	763243	1069	43831	9358	840	224	8539	17	16	138	118	23	81	16	1046	16	07/07/17
BDX19331	I Calanchi alluv. anc.	Taravú	45824,35	1520	135336	745579	1136	41525	14228	819	268	12219	19	17	131	179	27	78	18	1063	14	18/07/17
BDX19331	I Calanchi alluv. anc.	Taravú	39310,57	1311	136929	748259	1185	41540	15259	758	252	13615	17	17	130	195	29	78	19	1084	12	18/07/17
BDX19331	I Calanchi alluv. anc.	Taravú	49913,96	1532	137194	750712	1158	45926	2894	863	143	8223	12	14	141	75	18	83	16	1072	11	18/07/17
BDX19331	I Calanchi alluv. anc.	Taravú	46730,08	1536	137649	752311	1207	44956	4797	796	171	8349	12	14	141	95	22	80	17	1105	12	18/07/17
BDX19331	I Calanchi alluv. anc.	Taravú	45134,13	1430	136984	754456	1262	43882	5843	822	205	8520	18	14	131	101	22	81	17	1064	14	18/07/17
BDX19331	I Calanchi alluv. anc.	Taravú	47654,88	1531	135427	755626	1247	44366	3668	739	121	8198	13	14	133	79	20	81	16	1057	11	18/07/17
BDX19331	I Calanchi alluv. anc.	Taravú	41216,13	1619	133686	759840	1242	42242	8772	817	223	8870	17	14	135	114	23	78	17	1060	15	18/07/17
BDX19331	I Calanchi alluv. anc.	Taravú	45253,84	1464	134374	760733	1238	40529	6799	762	174	7237	16	14	128	106	22	78	16	1044	14	18/07/17
BDX19331	I Calanchi alluv. anc.	Taravú	38532,1	2173	132497	762257	1231	45448	7113	793	212	8267	19	15	144	111	20	77	17	1060	16	18/07/17
BDX19331	I Calanchi alluv. anc.	Taravú	32903,78	966	137007	762435	1276	44172	9684	828	226	8959	17	15	137	117	23	82	18	1118	16	18/07/17
BDX19493	Bergerie Manica	Taravú	30076,81	988	148768	743362	284	48397	2352	1784	23	22746	16	26	247	4	111	674	27	104	10	22/03/18
BDX19493	Bergerie Manica	Taravú	39862,76	1055	137591	747581	222	46521	1997	1665	9	22294	15	25	243	3	107	675	29	94	10	22/03/18
BDX19493	Bergerie Manica	Taravú	30483	758	145883	748348	129	48812	1977	1876	38	20421	19	25	258	3	113	723	28	94	11	22/03/18
BDX19493	Bergerie Manica	Taravú	36054,37	2007	135942	753104	137	53245	2095	1294	12	14925	18	23	287	4	95	622	22	103	10	22/03/18
BDX19494 fin	Bergerie Manica	Ascu	32928,35	2167	143433	727501	112	64647	2331	1993	0	23352	25	32	356	4	114	833	40	118	14	26/03/18
BDX19494 fin	Bergerie Manica	Ascu	31964,94	1829	122858	754958	102	59888	2259	1868	12	22827	26	31	322	4	105	771	39	123	15	26/03/18
BDX19494 fin	Bergerie Manica	Ascu	31201,97	1065	120207	757308	189	62085	2288	1847	9	22376	25	30	328	5	104	772	38	110	14	26/03/18
BDX19495	Bergerie Manica	Ascu	30287,18	2660	145883	730812	584	66437	2744	1585	161	17936	48	29	397	17	67	181	43	120	9	14/03/18
BDX19495	Bergerie Manica	Ascu	44765,43	2263	155567	732771	120	47782	2379	1129	126	12384	39	27	284	32	55	125	25	119	8	14/03/18
BDX19495	Bergerie Manica	Ascu	39466,58	9422	132148	737735	640	57106	2322	1577	173	18549	49	30	354	19	69	170	50	113	8	14/03/18
BDX19495	Bergerie Manica	Ascu	27225,59	1781	138569	744965	129	61903	2451	1581	189	20312	57	34	400	18	57	162	50	108	8	14/03/18
BDX19495	Bergerie Manica	Ascu	35416,73	3130	136399	750810	653	49286	2166	1471	193	19670	52	32	351	22	58	131	30	122	7	14/03/18
BDX19495	Bergerie Manica	Ascu	37436,28	1807	136561	756859	718	48642	2387	1202	143	13508	41	27	306	25	49	115	24	144	6	14/03/18
BDX19495	Bergerie Manica	Ascu	35579,2	3349	129999	759314	127	48525	2060	1486	187	18577	49	32	340	19	52	144	35	120	8	14/03/18
BDX19495	Bergerie Manica	Ascu	34623,16	2775	133858	760857	634	46456	1912	1391	163	16581	45	27	307	19	56	124	30	134	8	14/03/18
BDX19495	Bergerie Manica	Ascu	38835,15	2952	133009	761607	718	45389	2279	1396	197	12918	40	25	285	22	53	111	22	118	23	14/03/18
BDX19495	Bergerie Manica	Ascu	33889,94	6026	127481	765098	679	45519	1938	1524	170	16901	46	28	313	17	70	144	22	125	9	14/03/18
BDX19495	Bergerie Manica	Ascu	34466,92	2914	128631	765855	643	46571	1940	1472	169	16591	46	27	309	20	60	126	31	119	9	14/03/18

BDX	Source	Region	Na2O	MgO	Al2O3	SiO2	P2O5	K2O	CaO	TiO2	MnO	Fe2O3	Zn	Ga	Rb	Sr	Y	Zr	Nb	Ba	Pb	Date
BDX19495	Bergerie Manica	Ascu	35423,88	3785	125877	769994	676	44670	1852	1202	168	15651	44	27	294	18	52	114	29	117	5	14/03/18
BDX19495	Bergerie Manica	Ascu	35111,62	1500	129387	770211	335	44918	2401	1258	179	13983	41	26	288	24	58	120	23	124	12	14/03/18
BDX19496	Bergerie Manica	Ascu	32321,42	9644	157116	708598	343	66079	2620	1972	185	20126	55	35	410	19	99	213	43	113	9	14/03/18
BDX19496	Bergerie Manica	Ascu	34441,89	10089	149152	715175	125	64884	2396	1896	195	20715	56	37	411	17	76	174	35	114	10	14/03/18
BDX19496	Bergerie Manica	Ascu	40542,97	9317	147338	716107	276	62701	2418	1778	168	18522	45	31	375	18	66	158	23	107	9	14/03/18
BDX19496	Bergerie Manica	Ascu	34383,77	10042	141156	729171	302	60552	2407	1850	171	19125	47	32	377	16	70	159	25	108	6	14/03/18
BDX19496	Bergerie Manica	Ascu	33213,17	674	141284	739880	126	60484	2157	1400	11	19743	14	21	297	3	70	495	23	98	9	23/03/18
BDX19496	Bergerie Manica	Ascu	36784,93	757	137075	742107	162	53106	2197	2552	43	23987	24	23	290	4	100	622	39	116	10	23/03/18
BDX19496	Bergerie Manica	Ascu	31838,51	1625	130949	755809	136	62284	2230	1065	16	12799	15	27	312	4	100	662	20	99	10	23/03/18
BDX19497	Bergerie Manica	Ascu	29153,92	2058	149141	727177	130	67650	2698	1834	172	19041	46	31	400	21	81	176	57	122	11	14/03/18
BDX19497	Bergerie Manica	Ascu	26925,27	9143	131266	739198	435	68020	2470	1369	164	20074	47	29	405	17	73	168	57	128	13	14/03/18
BDX19497	Bergerie Manica	Ascu	27253,12	3711	127829	754001	712	62281	2469	1554	169	19142	46	31	381	19	63	170	40	120	11	14/03/18
BDX19497	Bergerie Manica	Ascu	33943,42	3784	130348	766332	698	45746	2160	1024	157	15126	39	26	296	20	40	112	20	115	12	14/03/18
BDX19498	Accès Bergerie Manica	Ascu	28810,41	1064	145840	730127	125	63233	2102	2023	112	24969	25	33	331	6	127	874	51	127	20	22/03/18
BDX19498	Accès Bergerie Manica	Ascu	33532,5	2101	135035	737019	542	65979	2286	1356	131	20545	56	28	329	8	112	739	43	125	33	22/03/18
BDX19498	Accès Bergerie Manica	Ascu	31209,52	1667	141761	738670	108	63824	2233	1429	74	17482	31	31	345	5	122	831	47	115	16	22/03/18
BDX19498	Accès Bergerie Manica	Ascu	34825,21	1184	130202	759065	257	47971	1690	1489	114	21876	21	27	232	5	131	729	42	119	20	22/03/18
BDX19498	Accès Bergerie Manica	Ascu	32157,78	1696	118641	782990	123	47041	1591	902	38	13745	22	20	224	4	86	583	22	102	13	22/03/18
BDX19499	Accès Bergerie Manica	Ascu	36411,17	2072	137176	766385	107	35010	990	2012	49	18564	16	24	153	2	114	737	48	121	9	14/03/18
BDX19499	Accès Bergerie Manica	Ascu	29775,64	1869	134662	778497	155	40298	1082	1740	25	10724	11	27	179	2	101	686	35	122	8	14/03/18
BDX19499	Accès Bergerie Manica	Ascu	27574,77	1925	133236	779838	440	45603	1320	252	12	8699	10	24	185	2	95	633	26	119	6	14/03/18
BDX19499	Accès Bergerie Manica	Ascu	34639,04	1623	120209	783150	134	44804	1282	1102	17	11666	14	28	198	2	104	837	48	135	8	14/03/18
BDX19499	Accès Bergerie Manica	Ascu	36751,84	1025	132277	786067	384	29514	935	1302	25	10716	11	25	136	2	88	584	40	115	5	14/03/18
BDX19499	Accès Bergerie Manica	Ascu	39877,59	602	128062	786323	468	23736	709	2075	38	17094	14	25	110	2	92	623	43	100	8	14/03/18
BDX19499	Accès Bergerie Manica	Ascu	35589,87	1207	133488	787061	98	28066	826	281	24	12321	10	26	116	2	97	644	25	110	8	14/03/18
BDX19499	Accès Bergerie Manica	Ascu	37701,98	1059	118985	792809	736	43898	1294	0	21	2387	11	24	195	2	87	600	47	137	6	14/03/18
BDX19499	Accès Bergerie Manica	Ascu	36627,87	548	124208	795773	618	27152	773	1946	19	11186	16	22	111	2	114	743	41	94	5	14/03/18
BDX19499	Accès Bergerie Manica	Ascu	32044,28	1869	104831	800003	580	52160	1608	0	14	5840	11	15	234	1	74	562	35	114	6	14/03/18
BDX19499	Accès Bergerie Manica	Ascu	26941,72	1954	119690	809398	120	34566	963	0	14	5513	10	20	148	2	59	447	22	126	5	14/03/18
BDX19500	Accès Bergerie Manica	Ascu	49921,93	616	138277	765804	585	34371	998	137	4	8127	11	35	145	3	90	730	27	115	5	14/03/18
BDX19500	Accès Bergerie Manica	Ascu	39221,16	660	130655	779298	532	30318	868	1598	14	15664	13	25	127	2	103	753	44	101	6	14/03/18
BDX19500	Accès Bergerie Manica	Ascu	33974,57	2128	132622	779370	111	35311	991	2124	12	11913	14	23	152	2	140	946	54	106	5	14/03/18

BDX	Source	Region	Na2O	MgO	Al2O3	SiO2	P2O5	K2O	CaO	TiO2	MnO	Fe2O3	Zn	Ga	Rb	Sr	Y	Zr	Nb	Ba	Pb	Date
BDX19500	Accès Bergerie Manica	Ascu	46647,05	603	124621	782971	101	27744	796	1039	16	14353	12	30	118	2	92	716	32	104	5	14/03/18
BDX19500	Accès Bergerie Manica	Ascu	34801,21	1693	121952	786493	101	41399	1317	1083	7	10237	15	17	167	2	69	507	25	109	4	14/03/18
BDX19500	Accès Bergerie Manica	Ascu	42146,65	543	128920	791399	427	24353	722	751	20	9871	11	25	111	2	67	492	27	108	4	14/03/18
BDX19500	Accès Bergerie Manica	Ascu	35945,01	821	122881	794838	648	36324	989	0	8	6595	9	18	150	2	80	566	27	95	4	14/03/18
BDX19500	Accès Bergerie Manica	Ascu	32686,66	1701	118831	807930	123	33348	935	0	12	3659	8	18	135	2	58	422	19	109	4	14/03/18
BDX19501	Accès Bergerie Manica	Ascu	48024,83	1742	127807	794365	659	13205	400	0	2	13106	6	29	41	3	47	402	24	136	2	15/03/18
BDX19501	Accès Bergerie Manica	Ascu	38810,33	1870	132464	799534	689	12561	356	0	0	13048	4	28	36	3	49	392	24	128	3	15/03/18
BDX19501	Accès Bergerie Manica	Ascu	36613,75	1890	128610	800483	707	16491	493	0	15	13978	9	31	54	4	40	424	23	132	4	15/03/18
BDX19501	Accès Bergerie Manica	Ascu	42928,14	579	133770	803970	250	6692	240	87	38	10861	12	26	26	2	54	330	23	108	3	15/03/18
BDX19501	Accès Bergerie Manica	Ascu	43067,45	951	130614	806497	255	7430	224	372	4	10030	5	25	23	2	42	321	29	107	2	15/03/18
BDX19501	Accès Bergerie Manica	Ascu	42268,19	633	128776	806900	208	9830	346	0	2	10515	4	23	29	2	36	310	18	98	2	15/03/18
BDX19501	Accès Bergerie Manica	Ascu	41461,25	1244	130296	807092	266	8986	290	0	1	9821	3	25	25	2	38	320	19	110	2	15/03/18
BDX19501	Accès Bergerie Manica	Ascu	43649,15	881	129045	807558	198	7656	263	0	0	10219	4	25	22	2	40	314	19	103	2	15/03/18
BDX19504	Pont de Valentinu	Ascu	30372,54	2283	137438	756226	317	62520	2429	664	79	6698	12	20	247	8	66	462	22	118	17	26/03/18
BDX19504	Pont de Valentinu	Ascu	28940,1	1557	140309	756512	115	61094	2390	1410	75	6671	13	21	234	8	75	430	23	109	14	26/03/18
BDX19504	Pont de Valentinu	Ascu	35830,87	627	131422	773535	450	47088	1756	938	57	7505	10	20	192	8	68	356	19	105	13	26/03/18
BDX19504	Pont de Valentinu	Ascu	36397,23	575	128529	778405	429	47156	1832	915	45	4958	8	16	188	7	57	350	20	101	11	26/03/18
BDX19504	Pont de Valentinu	Ascu	25776,12	2070	130423	784071	234	46785	2037	1699	88	5983	12	18	192	6	80	388	25	102	12	26/03/18
BDX19505	Pont de Valentinu	Ascu	27689,81	1517	134675	739742	136	44628	1457	1613	255	45642	64	34	294	2	264	1806	72	94	13	26/03/18
BDX19505	Pont de Valentinu	Ascu	34821,66	8403	127364	755224	128	40903	1355	1426	216	27735	58	31	250	3	258	1674	66	76	11	26/03/18
BDX19505	Pont de Valentinu	Ascu	36896,41	4911	132351	755624	170	38724	1160	1146	226	26356	60	34	256	3	232	1690	64	87	10	26/03/18
BDX19505	Pont de Valentinu	Ascu	30546,92	1076	128400	755814	127	42643	1393	1591	305	34948	84	43	290	4	311	2225	83	106	13	26/03/18
BDX19505	Pont de Valentinu	Ascu	32756,26	8436	129244	758346	143	39723	1224	1519	225	26103	58	31	247	3	213	1576	61	82	10	26/03/18
BDX19505	Pont de Valentinu	Ascu	37174,17	2260	130764	759748	433	40542	1247	1245	177	23918	58	33	253	3	248	1731	66	87	11	26/03/18
BDX19506	Rivière Giunte	Ascu	35826,36	2267	140130	746389	144	46401	1359	1407	22	24795	13	27	183	3	94	770	43	112	15	23/03/18
BDX19506	Rivière Giunte	Ascu	27375,01	2229	142023	752987	118	48389	1537	1238	14	22862	11	26	192	3	99	731	40	110	16	23/03/18
BDX19506	Rivière Giunte	Ascu	28303,71	2083	140239	756765	135	45509	1400	1160	15	23235	12	28	178	3	86	663	41	125	20	23/03/18
BDX19506	Rivière Giunte	Ascu	31439,35	2097	126212	762651	124	45397	1374	1586	31	27772	16	26	194	3	107	777	48	126	19	23/03/18
BDX19506	Rivière Giunte	Ascu	43502,67	856	128677	765237	131	44207	1333	186	7	14810	9	33	168	2	82	602	31	117	11	23/03/18
BDX19506	Rivière Giunte	Ascu	33090,31	589	134471	765592	311	39190	1118	1418	18	23090	12	24	157	2	89	675	38	103	13	23/03/18

BDX	Source	Region	Na2O	MgO	Al2O3	SiO2	P2O5	K2O	CaO	TiO2	MnO	Fe2O3	Zn	Ga	Rb	Sr	Y	Zr	Nb	Ba	Pb	Date
BDX19506	Rivière Glunte	Ascu	36475,18	1792	117601	767479	161	46659	1372	1321	18	25836	16	27	193	3	102	755	45	127	18	23/03/18
BDX19506	Rivière Glunte	Ascu	31438,11	771	131574	767847	95	41493	1258	1354	19	23002	16	25	188	3	95	679	36	96	12	23/03/18
BDX19506	Rivière Glunte	Ascu	30143,62	1652	119641	775820	157	46125	1430	1134	12	22767	13	27	180	3	85	638	40	116	16	23/03/18
BDX19506	Rivière Glunte	Ascu	29495,32	1637	126729	778000	176	38940	1106	1136	15	21713	12	34	159	3	79	593	41	118	14	23/03/18
BDX19507	Rivière Glunte	Ascu	41905,82	1473	140543	746512	113	45585	1348	1397	7	19900	11	26	182	3	105	740	34	105	11	23/03/18
BDX19507	Rivière Glunte	Ascu	39575,83	788	132653	763133	103	41218	1206	1408	58	18754	11	23	158	2	95	665	34	96	18	23/03/18
BDX19507	Rivière Glunte	Ascu	36114,54	715	132672	764404	100	43779	1364	1294	19	18466	10	24	171	3	86	636	29	99	14	23/03/18
BDX19507	Rivière Glunte	Ascu	35022,2	857	136418	769184	105	40214	1186	943	38	14990	9	27	146	2	83	633	28	103	13	23/03/18
BDX19507	Rivière Glunte	Ascu	31729,53	560	131402	770082	95	43187	1329	1365	62	19108	11	22	177	2	90	632	32	98	15	23/03/18
BDX19507	Rivière Glunte	Ascu	38724,34	611	124551	773816	147	40071	1176	1434	27	18156	15	22	172	2	133	791	50	90	11	23/03/18
BDX19507	Rivière Glunte	Ascu	40484,51	548	122957	775929	93	40247	1151	1053	41	16504	10	18	158	2	85	579	30	94	19	23/03/18
BDX19507	Rivière Glunte	Ascu	34605,35	650	113458	787268	103	42392	1320	1160	4	18017	10	24	153	3	84	612	27	102	9	23/03/18
BDX19508	Rivière Glunte	Ascu	39959,93	771	131687	764647	97	42650	1370	1425	32	16360	19	22	195	3	68	560	30	99	5	22/03/18
BDX19508	Rivière Glunte	Ascu	40491,38	853	131047	766597	625	41394	1330	1326	45	15358	18	20	180	3	63	523	27	95	5	22/03/18
BDX19508	Rivière Glunte	Ascu	35733,73	608	123124	777827	122	42036	1418	1399	51	16673	24	22	201	3	68	567	29	88	6	22/03/18
BDX19508	Rivière Glunte	Ascu	25978,25	586	132728	778185	158	43633	1410	1350	40	14916	19	21	197	3	67	578	29	96	6	22/03/18
BDX19508	Rivière Glunte	Ascu	31244,79	1304	107176	791442	101	45657	1477	1474	77	18951	28	23	231	4	71	604	28	101	7	22/03/18
BDX19509	Bloc Riv. Glunte	Ascu	30929,3	572	123862	756704	105	46433	1602	1673	213	36592	42	21	254	1	99	721	50	89	38	14/03/18
BDX19509	Bloc Riv. Glunte	Ascu	32490,29	549	121422	758981	106	48005	2036	1689	222	33086	57	20	222	1	122	818	49	86	38	14/03/18
BDX19509	Bloc Riv. Glunte	Ascu	34920,97	616	117032	773749	99	50742	2592	1352	90	17717	55	21	250	2	72	531	33	93	33	14/03/18
BDX19509	Bloc Riv. Glunte	Ascu	31822,76	562	117147	782886	112	48235	2108	1238	178	14567	56	22	252	1	80	568	47	85	34	14/03/18
BDX19509	Bloc Riv. Glunte	Ascu	38209,07	2068	137168	720128	101	51473	1729	1937	239	45317	45	24	285	1	146	918	67	98	48	29/03/18
BDX19509	Bloc Riv. Glunte	Ascu	27193,07	2012	139196	735971	129	55668	2582	1938	258	33386	84	26	283	2	138	933	64	94	42	29/03/18
BDX19509	Bloc Riv. Glunte	Ascu	30943,04	1852	138110	739973	130	60569	3261	1644	115	22011	68	27	311	2	95	694	45	110	42	29/03/18
BDX19509	Bloc Riv. Glunte	Ascu	44848,26	2199	138190	744792	116	46579	2474	1337	284	17812	101	27	252	2	99	688	51	107	42	29/03/18
BDX19509	Bloc Riv. Glunte	Ascu	27676,68	2066	141803	758381	128	52272	2461	1369	193	12376	81	27	291	2	78	612	45	101	39	29/03/18
BDX19510	Bloc Riv. Glunte	Ascu	33209,02	586	125958	764564	92	53470	1737	1464	226	17430	95	23	276	1	90	619	34	96	29	09/03/18
BDX19510	Bloc Riv. Glunte	Ascu	34964,83	534	125938	764692	97	52578	2650	1531	240	15568	70	23	270	2	87	604	30	93	30	09/03/18
BDX19510	Bloc Riv. Glunte	Ascu	32775,64	544	128095	773199	93	42406	2304	1640	272	17489	113	25	234	0	85	589	25	91	18	09/03/18
BDX19510	Bloc Riv. Glunte	Ascu	33459,53	610	122487	778337	149	42933	2989	1377	309	16158	139	25	237	1	90	559	26	91	23	09/03/18
BDX19510	Bloc Riv. Glunte	Ascu	32193,38	602	116403	784179	156	44996	2008	1457	324	16410	148	26	248	1	97	610	30	90	21	09/03/18
BDX19510	Bloc Riv. Glunte	Ascu	33524,22	676	133127	759583	100	48057	2776	1596	303	18916	136	29	270	1	100	657	32	98	18	29/03/18
BDX19510	Bloc Riv. Glunte	Ascu	31600,16	562	130885	767787	100	46854	2220	1460	337	16877	159	27	255	1	99	623	28	94	31	29/03/18

BDX	Source	Region	Na2O	MgO	Al2O3	SiO2	P2O5	K2O	CaO	TiO2	MnO	Fe2O3	Zn	Ga	Rb	Sr	Y	Zr	Nb	Ba	Pb	Date
BDX19510	Bloc Riv. Giunte	Ascu	29969,79	567	126678	776845	91	48272	1508	1427	250	13145	113	25	254	2	86	630	30	90	16	29/03/18
BDX19510	Bloc Riv. Giunte	Ascu	23918,2	626	118151	777540	594	64825	1969	1406	193	9681	64	18	326	1	69	488	21	92	16	29/03/18
BDX19510	Bloc Riv. Giunte	Ascu	31087,44	633	110964	787585	93	51267	1806	1529	280	13599	99	24	268	1	83	548	27	95	13	29/03/18
Bdx19511	Bloc Riv. Giunte	Ascu	35680,26	2100	135193	736839	110	49818	1956	1949	253	34561	68	24	276	2	126	850	58	100	36	12/03/18
Bdx19511	Bloc Riv. Giunte	Ascu	42897,09	1623	135756	748015	98	47707	2052	1459	133	18992	64	24	252	1	96	661	36	98	35	12/03/18
Bdx19511	Bloc Riv. Giunte	Ascu	27277,43	2264	140964	749955	120	55984	2160	1686	313	17789	178	29	306	1	104	710	36	106	16	12/03/18
Bdx19511	Bloc Riv. Giunte	Ascu	36324,73	983	136767	759449	537	46147	2706	1570	280	13830	160	27	259	2	89	720	34	93	22	12/03/18
Bdx19511	Bloc Riv. Giunte	Ascu	28710,14	1254	141259	759502	392	48960	2116	1580	231	14684	107	29	271	2	94	643	32	100	34	12/03/18
Bdx19511	Bloc Riv. Giunte	Ascu	39968,54	1657	134009	759802	143	41364	4958	1618	362	20824	159	28	204	1	111	651	30	91	19	12/03/18
Bdx19511	Bloc Riv. Giunte	Ascu	37388,26	1831	130665	762069	146	46177	2942	1432	323	15800	145	26	249	1	87	579	27	100	13	12/03/18
Bdx19511	Bloc Riv. Giunte	Ascu	33891,91	646	133892	763973	97	44972	2695	1582	343	16618	155	28	245	1	89	635	30	94	14	12/03/18
Bdx19511	Bloc Riv. Giunte	Ascu	31302,47	597	123702	776204	140	48153	2110	1478	313	14711	159	26	257	1	99	612	26	94	16	12/03/18
Bdx19511	Bloc Riv. Giunte	Ascu	30047,09	616	112546	783953	94	55504	2085	1400	282	12263	134	24	270	1	88	544	24	96	30	12/03/18
BDX19511	Bloc Riv. Giunte	Ascu	33735,05	701	112584	783258	129	48183	2831	1459	325	15494	161	27	257	1	94	625	30	91	15	29/03/18
BDX19511	Bloc Riv. Giunte	Ascu	32057,01	589	112101	783467	105	51523	2172	1524	308	14661	161	28	264	1	117	757	46	93	25	29/03/18
BDX19511	Bloc Riv. Giunte	Ascu	32161,76	626	111754	784210	91	52088	2859	1472	304	13233	130	27	257	1	78	561	30	94	23	29/03/18
BDX19511	Bloc Riv. Giunte	Ascu	33984,64	660	112287	785315	128	43466	3440	1485	327	17642	150	28	220	2	102	635	29	85	15	29/03/18
BDX19512	Bloc Riv. Giunte	Ascu	31766,42	711	131729	765553	98	43111	2537	1512	298	21511	116	26	251	1	86	558	26	96	15	09/03/18
BDX19512	Bloc Riv. Giunte	Ascu	33609,44	780	132472	766336	103	46619	2732	1333	306	14509	115	26	266	1	89	566	25	100	12	09/03/18
BDX19512	Bloc Riv. Giunte	Ascu	31544,97	555	128294	774906	93	43437	2181	1362	286	16172	131	26	249	1	83	550	25	93	13	09/03/18
BDX19512	Bloc Riv. Giunte	Ascu	30529,69	569	120015	783882	94	48368	2662	1380	272	11045	101	24	261	1	86	563	31	95	22	09/03/18
BDX19512	Bloc Riv. Giunte	Ascu	32540,45	621	112286	785993	109	46886	2201	1374	279	16502	117	26	257	1	91	586	27	91	14	29/03/18
BDX19512	Bloc Riv. Giunte	Ascu	33749,3	562	112001	786017	105	42558	2354	1405	277	19810	111	25	247	1	85	555	26	97	15	29/03/18
BDX19512	Bloc Riv. Giunte	Ascu	32497,88	619	111950	786657	96	48397	2902	1490	276	13919	109	25	263	1	88	565	31	92	20	29/03/18
BDX19513	Bloc Riv. Giunte	Ascu	33089,3	560	128168	773859	162	42263	3074	1303	290	16049	139	25	231	1	86	562	28	95	16	08/03/18
BDX19513	Bloc Riv. Giunte	Ascu	31880,3	1799	127149	776596	122	40181	2799	1327	292	16627	132	25	205	1	106	609	28	101	22	08/03/18
BDX19513	Bloc Riv. Giunte	Ascu	35178,34	592	117444	782292	109	41620	2819	1584	296	16771	139	26	227	1	110	651	30	88	23	08/03/18
BDX19513	Bloc Riv. Giunte	Ascu	35910,14	566	114242	784998	130	40681	2817	1391	308	17701	156	26	220	1	94	596	28	106	30	08/03/18
BDX19513	Bloc Riv. Giunte	Ascu	33206,71	559	130415	770683	193	42980	2840	1400	300	16208	145	26	236	1	89	580	28	93	16	29/03/18
BDX19513	Bloc Riv. Giunte	Ascu	33263,21	558	128833	771968	146	42185	2959	1486	308	17059	146	27	228	1	100	587	28	92	25	29/03/18
BDX19513	Bloc Riv. Giunte	Ascu	31540,28	1823	128602	773252	129	41814	2442	1548	300	17296	146	26	226	1	100	616	28	86	25	29/03/18
BDX19514	Bloc Riv. Giunte	Ascu	30400,4	797	125722	771496	93	51555	1693	1419	34	15612	83	25	253	1	89	588	30	101	10	08/03/18
BDX19514	Bloc Riv. Giunte	Ascu	32570,74	915	128004	776054	91	43389	1457	1299	54	15019	65	26	247	2	90	589	25	96	7	08/03/18

BDX	Source	Region	Na2O	MgO	Al2O3	SiO2	P2O5	K2O	CaO	TiO2	MnO	Fe2O3	Zn	Ga	Rb	Sr	Y	Zr	Nb	Ba	Pb	Date
BDX19514	Bloc Riv. Giunte	Ascu	33851,14	1077	125301	778914	91	42510	1473	1325	60	14327	74	26	249	2	71	519	23	97	7	08/03/18
BDX19514	Bloc Riv. Giunte	Ascu	30982,52	756	128195	780706	93	42827	1411	1260	39	12716	58	24	230	1	71	505	25	94	7	08/03/18
BDX19514	Bloc Riv. Giunte	Ascu	31240,13	684	128353	781791	157	40824	1346	1267	30	13183	54	24	208	1	77	521	25	107	7	08/03/18
BDX19514	Bloc Riv. Giunte	Ascu	32056,41	1114	120173	782389	95	43757	1535	1252	56	16425	84	26	259	1	80	564	28	99	6	08/03/18
BDX19514	Bloc Riv. Giunte	Ascu	30691,82	876	116158	783592	93	50231	1614	1325	36	14298	68	24	254	1	77	536	26	92	7	08/03/18
BDX19514	Bloc Riv. Giunte	Ascu	28531,69	689	140578	746161	118	60131	2121	1732	75	18413	94	30	334	2	106	729	35	111	9	09/03/18
BDX19514	Bloc Riv. Giunte	Ascu	43655,26	718	136845	748208	412	47766	1564	1484	58	18021	73	27	274	1	99	650	30	107	9	09/03/18
BDX19514	Bloc Riv. Giunte	Ascu	41477,95	649	138677	750150	108	47349	2133	1414	61	16658	77	29	286	1	108	678	34	100	9	09/03/18
BDX19514	Bloc Riv. Giunte	Ascu	29248,48	2289	138100	752842	121	50489	1936	1713	23	21665	59	29	280	2	149	899	41	103	12	09/03/18
BDX19514	Bloc Riv. Giunte	Ascu	26960,15	707	137738	758921	107	52033	1867	1591	64	18723	82	28	309	1	95	636	28	103	8	09/03/18
BDX19514	Bloc Riv. Giunte	Ascu	33962,48	624	135318	761968	100	43043	1355	1364	42	20970	55	27	236	1	109	683	29	106	9	09/03/18
BDX19514	Bloc Riv. Giunte	Ascu	34850,99	850	130644	774520	103	38727	1175	1377	48	16616	62	26	217	1	82	571	24	99	7	09/03/18
BDX19514	Bloc Riv. Giunte	Ascu	38318,25	894	134392	745533	105	54833	1898	1558	78	21095	83	25	316	2	94	645	28	96	7	29/03/18
BDX19514	Bloc Riv. Giunte	Ascu	28153,08	825	141598	749802	131	56839	1908	1636	62	17661	85	31	313	1	105	704	33	106	8	29/03/18
BDX19514	Bloc Riv. Giunte	Ascu	27907,24	625	142251	751284	125	53161	1746	1679	69	19759	83	30	304	2	108	719	33	105	10	29/03/18
BDX19514	Bloc Riv. Giunte	Ascu	29331,41	2210	138561	752867	133	47334	1577	1797	30	24546	62	33	266	2	150	936	39	114	12	29/03/18
BDX19514	Bloc Riv. Giunte	Ascu	38662,02	692	136861	755108	110	44862	1530	1429	52	19498	63	28	259	2	95	615	29	96	10	29/03/18
BDX19514	Bloc Riv. Giunte	Ascu	38460,91	849	133622	758471	367	45415	1540	1526	76	18449	75	27	276	1	88	628	27	95	8	29/03/18
BDX19514	Bloc Riv. Giunte	Ascu	34794,39	737	137715	758911	666	44248	1517	1509	55	18627	69	28	266	1	91	631	28	100	7	29/03/18
BDX19514	Bloc Riv. Giunte	Ascu	34196,33	841	132284	762813	97	46425	1565	1440	105	18923	73	27	273	1	118	669	31	99	20	29/03/18
BDX19514	Bloc Riv. Giunte	Ascu	33629,14	1178	129130	771857	92	43723	1522	1408	64	16277	69	25	260	1	80	562	29	90	6	29/03/18
BDX19514	Bloc Riv. Giunte	Ascu	34756,39	926	131999	772062	101	41387	1323	1337	56	14898	67	27	246	1	83	604	27	94	6	29/03/18
BDX19514	Bloc Riv. Giunte	Ascu	31741,03	592	133021	772575	195	41818	1313	1370	50	16163	64	28	239	1	90	607	30	95	7	29/03/18
BDX19515	Bloc Riv. Giunte	Ascu	41622,98	1633	130882	761851	121	41888	2516	1361	312	16601	158	25	194	2	90	601	33	96	13	07/03/18
BDX19515	Bloc Riv. Giunte	Ascu	33132,86	634	131752	766735	96	44583	2460	1558	271	17477	148	28	222	1	105	658	31	96	10	07/03/18
BDX19515	Bloc Riv. Giunte	Ascu	33627,13	839	131158	766889	105	42223	2811	1520	291	19261	112	27	232	1	94	666	32	93	18	07/03/18
BDX19515	Bloc Riv. Giunte	Ascu	32582,62	640	130594	767153	93	46638	2680	1337	161	16963	98	26	246	1	87	556	29	97	18	07/03/18
BDX19515	Bloc Riv. Giunte	Ascu	35473,58	1111	129212	768580	161	43882	2396	1412	193	16429	83	26	225	1	92	586	30	94	13	07/03/18
BDX19515	Bloc Riv. Giunte	Ascu	31707,88	772	130085	770959	96	43760	2389	1499	279	17297	106	26	229	1	94	560	30	95	17	07/03/18
BDX19515	Bloc Riv. Giunte	Ascu	32646,49	752	125036	771361	93	47316	2493	1512	183	17470	83	27	240	2	91	562	30	93	10	07/03/18
BDX19515	Bloc Riv. Giunte	Ascu	33132,08	575	129722	771624	93	41775	2456	1479	219	17805	93	26	191	2	87	577	30	101	12	07/03/18
BDX19515	Bloc Riv. Giunte	Ascu	33429,11	778	130302	771836	93	42437	2480	1343	243	15918	109	27	231	2	87	551	30	91	14	07/03/18
BDX19515	Bloc Riv. Giunte	Ascu	31627,82	638	131246	772032	94	42950	2302	1485	284	16130	156	27	198	1	92	604	32	93	8	07/03/18

BDX	Source	Region	Na2O	MgO	Al2O3	SiO2	P2O5	K2O	CaO	TiO2	MnO	Fe2O3	Zn	Ga	Rb	Sr	Y	Zr	Nb	Ba	Pb	Date
BDX19515	Bloc Riv. Giunte	Ascu	33043,85	562	129479	772388	95	41859	2174	1320	280	17648	141	27	188	1	91	564	30	100	11	07/03/18
BDX19515	Bloc Riv. Giunte	Ascu	31634,53	1922	128739	772871	148	42480	2436	1416	254	16964	98	25	202	1	86	586	30	96	13	07/03/18
BDX19515	Bloc Riv. Giunte	Ascu	32117,94	546	129239	774122	94	41868	2309	1417	229	16943	95	25	202	1	86	567	30	95	13	07/03/18
BDX19515	Bloc Riv. Giunte	Ascu	31035,05	584	130101	777248	135	40651	2094	1285	218	15565	69	26	229	1	92	535	28	95	9	07/03/18
BDX19515	Bloc Riv. Giunte	Ascu	34442,16	1157	116982	783021	101	42208	2554	1360	159	16902	74	25	241	2	90	553	26	94	9	07/03/18
BDX19515	Bloc Riv. Giunte	Ascu	33420,16	583	131200	765031	97	47717	2312	1442	202	16818	89	26	239	2	99	588	29	92	14	08/03/18
BDX19515	Bloc Riv. Giunte	Ascu	33401,5	1002	130997	765824	94	45295	2113	1505	150	18443	66	26	257	2	104	588	29	96	8	08/03/18
BDX19515	Bloc Riv. Giunte	Ascu	31641,04	570	131636	768884	96	43735	2373	1468	204	18195	98	26	216	1	98	617	32	97	14	08/03/18
BDX19515	Bloc Riv. Giunte	Ascu	32417,27	579	130754	769872	98	43584	2636	1495	238	17079	97	27	218	1	95	673	28	97	11	08/03/18
BDX19515	Bloc Riv. Giunte	Ascu	31278,96	662	131049	770142	98	44691	2598	1523	206	16546	105	27	247	2	95	585	32	101	13	08/03/18
BDX19515	Bloc Riv. Giunte	Ascu	33555,79	703	128177	773283	92	41365	2361	1582	290	17408	138	26	194	1	94	601	28	91	10	08/03/18
BDX19515	Bloc Riv. Giunte	Ascu	34000,09	912	128477	773733	93	41067	2588	1391	203	16396	91	24	235	1	89	567	29	91	12	08/03/18
BDX19515	Bloc Riv. Giunte	Ascu	31475,31	914	125871	775092	240	44573	2533	1393	213	16474	104	25	243	1	86	632	28	91	12	08/03/18
BDX19515	Bloc Riv. Giunte	Ascu	38435,16	1005	127394	780541	168	30813	2896	1303	195	16135	74	26	182	1	95	606	26	91	12	08/03/18
BDX19515	Bloc Riv. Giunte	Ascu	32238,6	970	115286	785753	115	44135	2348	1305	122	16496	63	26	249	1	112	651	28	93	9	08/03/18
BDX19515	Bloc Riv. Giunte	Ascu	34539,01	1723	133253	747858	156	52308	3324	1854	299	23183	124	34	258	2	124	780	41	124	17	29/03/18
BDX19515	Bloc Riv. Giunte	Ascu	33165,33	1676	134977	748492	155	52271	3135	1751	305	22513	205	35	264	2	125	753	38	124	14	29/03/18
BDX19515	Bloc Riv. Giunte	Ascu	34116,46	1820	133253	748954	168	52853	3300	1758	333	21850	172	35	277	2	117	808	40	131	12	29/03/18
BDX19515	Bloc Riv. Giunte	Ascu	34900,65	1749	126090	751937	146	56228	3094	1748	168	22508	86	32	298	2	112	726	39	123	13	29/03/18
BDX19515	Bloc Riv. Giunte	Ascu	39390,81	1478	137048	752008	112	46094	2671	1509	213	18247	102	28	230	2	99	624	32	99	12	29/03/18
BDX19515	Bloc Riv. Giunte	Ascu	32608,58	1884	137713	755796	107	46860	3037	1482	226	19069	95	28	231	2	99	615	31	104	14	29/03/18
BDX19515	Bloc Riv. Giunte	Ascu	34575,19	641	137501	756530	697	45788	2554	1440	273	18788	99	27	237	1	106	596	29	103	13	29/03/18
BDX19515	Bloc Riv. Giunte	Ascu	41543,2	1834	131589	758388	179	44341	2524	1477	214	16722	83	27	221	1	95	621	30	96	13	29/03/18
BDX19515	Bloc Riv. Giunte	Ascu	28118,03	1818	136444	762382	280	46761	3319	1425	171	17945	79	29	251	1	111	718	31	107	9	29/03/18
BDX19515	Bloc Riv. Giunte	Ascu	33408,85	918	133593	763313	254	44200	2741	1532	249	18535	95	26	217	1	106	668	28	101	13	29/03/18
BDX19515	Bloc Riv. Giunte	Ascu	32886,68	1594	113804	768304	170	56960	2864	1583	210	20154	138	31	303	2	111	710	37	123	17	29/03/18
BDX19515	Bloc Riv. Giunte	Ascu	31385,12	569	130085	770086	96	43966	2756	1491	264	18092	129	25	211	2	93	594	33	98	26	29/03/18
BDX19515	Bloc Riv. Giunte	Ascu	33886,59	1065	128993	771878	240	41850	2523	1450	197	16824	75	25	246	1	90	530	25	95	7	29/03/18
BDX19515	Bloc Riv. Giunte	Ascu	31280,36	1862	129068	772952	144	41832	2422	1444	213	17654	101	26	196	1	87	579	31	95	11	29/03/18
BDX19515	Bloc Riv. Giunte	Ascu	31115,17	815	127933	775519	143	41936	2162	1400	187	17627	76	26	243	1	91	606	27	87	7	29/03/18
BDX19515	Bloc Riv. Giunte	Ascu	31633,7	1555	115633	776699	156	48661	3266	1692	314	19013	165	31	239	2	107	674	37	109	13	29/03/18
BDX19516	Bloc Riv. Giunte	Ascu	33236,89	933	136263	764124	105	41215	2755	1477	335	18371	100	27	182	2	102	605	34	108	27	08/03/18
BDX19516	Bloc Riv. Giunte	Ascu	32129,85	586	133730	765734	102	42932	2993	1406	442	18795	104	25	186	2	91	577	30	101	35	08/03/18

BDX	Source	Region	Na2O	MgO	Al2O3	SiO2	P2O5	K2O	CaO	TiO2	MnO	Fe2O3	Zn	Ga	Rb	Sr	Y	Zr	Nb	Ba	Pb	Date
BDX19516	Bloc Riv. Giunte	Ascu	33933,14	573	133320	769409	101	39630	2930	1513	354	17012	104	26	176	2	99	658	34	94	31	08/03/18
BDX19516	Bloc Riv. Giunte	Ascu	32081,42	728	132561	769417	100	42304	3030	1468	294	16901	75	26	182	1	96	586	33	92	25	08/03/18
BDX19516	Bloc Riv. Giunte	Ascu	35530,04	571	130304	771142	94	40732	2647	1396	313	16184	72	25	178	1	93	571	30	94	21	08/03/18
BDX19516	Bloc Riv. Giunte	Ascu	34073,29	580	130611	771399	96	39839	2710	1338	345	17896	99	26	175	1	90	569	30	92	31	08/03/18
BDX19516	Bloc Riv. Giunte	Ascu	34425,41	598	128708	773985	210	40009	2574	1469	325	16684	75	25	173	2	85	506	29	91	29	08/03/18
BDX19516	Bloc Riv. Giunte	Ascu	35853,29	606	126533	779924	95	38155	2614	1303	309	13608	86	24	163	1	80	497	27	96	25	08/03/18
BDX19516	Bloc Riv. Giunte	Ascu	36631,79	600	127066	780026	167	34720	2705	1343	313	15421	86	24	157	1	82	518	28	93	16	08/03/18
BDX19516	Bloc Riv. Giunte	Ascu	37768,39	791	135379	755026	104	45782	2783	1574	350	19109	175	28	269	1	101	595	32	99	32	09/03/18
BDX19516	Bloc Riv. Giunte	Ascu	27013,6	572	134140	763105	194	49572	2971	1639	360	19053	189	27	284	1	103	626	34	92	25	09/03/18
BDX19516	Bloc Riv. Giunte	Ascu	35366,81	815	130517	766710	171	43272	2347	1589	438	17512	173	26	229	2	96	582	33	90	31	09/03/18
BDX19516	Bloc Riv. Giunte	Ascu	34697,86	572	129410	770483	97	41227	2878	1451	299	17749	94	25	180	2	94	582	33	98	29	09/03/18
BDX19516	Bloc Riv. Giunte	Ascu	33575,55	577	129326	770751	94	40681	3315	1403	351	18730	100	25	168	2	94	650	33	90	34	09/03/18
BDX19516	Bloc Riv. Giunte	Ascu	34724,09	550	129441	771416	258	40844	2775	1316	245	17369	72	26	178	1	90	552	31	98	15	09/03/18
BDX19516	Bloc Riv. Giunte	Ascu	32375,75	825	129780	773159	448	43913	2016	1313	447	14577	181	24	249	2	75	478	24	95	18	09/03/18
BDX19516	Bloc Riv. Giunte	Ascu	35684	561	127801	774095	91	39337	2556	1367	292	17133	83	25	169	2	90	560	32	96	26	09/03/18
BDX19516	Bloc Riv. Giunte	Ascu	34646,27	563	127417	775827	92	39461	2557	1368	305	16675	77	26	167	1	92	569	33	92	30	09/03/18
BDX19516	Bloc Riv. Giunte	Ascu	32611,14	579	121003	776719	526	52133	6136	0	235	9131	18	16	265	35	35	127	17	402	13	09/03/18
BDX19516	Bloc Riv. Giunte	Ascu	34991,73	604	119417	780675	95	40333	2900	1449	433	17902	109	25	172	2	94	637	33	98	30	09/03/18
BDX19516	Bloc Riv. Giunte	Ascu	35453,04	874	134921	748338	103	54904	3416	1590	374	18676	176	26	288	2	98	615	32	98	18	29/03/18
BDX19516	Bloc Riv. Giunte	Ascu	37469,84	1391	135891	755333	102	43821	3563	1413	358	19367	110	26	188	1	105	684	34	106	37	29/03/18
BDX19516	Bloc Riv. Giunte	Ascu	36060,45	685	136898	759268	103	40285	3961	1517	412	19391	153	28	201	2	109	752	32	106	36	29/03/18
BDX19516	Bloc Riv. Giunte	Ascu	32593,75	1055	135699	762485	102	42846	3143	1537	323	19032	75	28	186	2	102	625	35	98	33	29/03/18
BDX19516	Bloc Riv. Giunte	Ascu	31555,81	1868	125392	777591	121	40502	2828	1386	318	17344	85	25	174	2	89	566	29	99	25	29/03/18
BDX19516	Bloc Riv. Giunte	Ascu	35894,03	566	122860	778566	140	39261	2581	1454	330	17224	88	25	168	1	93	591	32	97	27	29/03/18
BDX19516	Bloc Riv. Giunte	Ascu	35214,24	585	118123	780912	135	40804	3057	1377	334	18358	103	26	178	2	91	555	29	88	28	29/03/18
BDX19517	Bloc Riv. Giunte	Ascu	31652,38	755	141071	752048	113	49209	3290	1643	99	18711	113	29	282	1	110	710	42	106	17	12/03/18
BDX19517	Bloc Riv. Giunte	Ascu	26553,78	627	136151	754920	102	59700	2420	1472	92	16574	119	28	295	1	121	679	32	101	14	12/03/18
BDX19517	Bloc Riv. Giunte	Ascu	40934,7	997	111328	767974	585	58912	2004	1402	65	14579	98	25	289	1	106	573	22	96	9	12/03/18
BDX19517	Bloc Riv. Giunte	Ascu	33206,55	633	130891	768293	96	45371	2578	1376	103	16166	105	27	250	1	113	652	33	95	12	12/03/18
BDX19517	Bloc Riv. Giunte	Ascu	34364,25	725	130883	770454	176	43871	2421	1213	49	14745	68	27	218	1	87	560	30	98	10	12/03/18
BDX19517	Bloc Riv. Giunte	Ascu	32066,98	1033	112694	778818	95	54788	1729	1499	77	15878	95	27	301	1	108	641	38	100	10	12/03/18
BDX19517	Bloc Riv. Giunte	Ascu	30684,38	720	112293	786058	92	48652	2423	1445	73	16372	89	27	257	1	96	596	23	91	9	12/03/18
BDX19517	Bloc Riv. Giunte	Ascu	27846,27	702	140418	739447	118	65056	2349	1693	87	20731	115	30	354	2	142	731	56	112	11	29/03/18

BDX	Source	Region	Na2O	MgO	Al2O3	SiO2	P2O5	K2O	CaO	TiO2	MnO	Fe2O3	Zn	Ga	Rb	Sr	Y	Zr	Nb	Ba	Pb	Date
BDX19517	Bloc Riv. Giunte	Ascu	27270,61	842	138876	747737	122	61425	2550	1583	106	18095	105	30	308	1	121	674	34	109	12	29/03/18
BDX19517	Bloc Riv. Giunte	Ascu	28007,51	1236	142375	752231	138	48774	3067	1715	70	21038	85	32	289	2	110	675	37	107	11	29/03/18
BDX19517	Bloc Riv. Giunte	Ascu	38101,12	599	132470	752574	103	53396	2617	1483	102	17190	112	28	261	1	123	695	30	95	20	29/03/18
BDX19517	Bloc Riv. Giunte	Ascu	31948,6	1959	131976	758483	174	53343	2393	1563	101	16776	111	29	269	2	101	639	28	95	12	29/03/18
BDX19517	Bloc Riv. Giunte	Ascu	35174,83	886	131638	765536	234	44298	2472	1455	65	16969	83	27	253	1	101	657	36	97	17	29/03/18
BDX19518	Bloc Riv. Giunte	Ascu	32194,95	1323	116063	774016	123	51540	1810	1589	88	20000	83	25	281	0	99	643	25	87	11	08/03/18
BDX19518	Bloc Riv. Giunte	Ascu	29951,02	783	112922	785920	160	52350	1988	1549	51	13145	87	26	260	2	89	591	28	92	8	08/03/18
BDX19518	Bloc Riv. Giunte	Ascu	30793,55	959	111800	788970	156	49376	1851	1350	34	13657	65	24	248	1	78	507	24	93	11	08/03/18
BDX19518	Bloc Riv. Giunte	Ascu	34372,37	589	112259	790326	144	41834	1473	1470	24	16309	42	23	209	1	124	650	41	87	22	08/03/18
BDX19518	Bloc Riv. Giunte	Ascu	34307,98	755	112402	795536	116	42122	1616	1268	14	10672	51	24	206	1	118	651	32	94	13	08/03/18
BDX19518	Bloc Riv. Giunte	Ascu	31983,54	889	111681	783685	113	51854	1983	1503	54	15064	97	27	265	1	86	587	27	93	8	09/03/18
BDX19518	Bloc Riv. Giunte	Ascu	33284,75	779	113350	787597	105	49178	1837	1392	34	11301	62	23	241	1	100	574	32	96	14	09/03/18
BDX19518	Bloc Riv. Giunte	Ascu	32944,96	798	113376	788830	118	47363	1973	1309	25	12242	65	24	239	1	77	484	26	95	11	09/03/18
BDX19518	Bloc Riv. Giunte	Ascu	33217,17	770	113190	791554	109	45128	2328	1397	21	11059	61	23	226	1	119	659	35	91	11	09/03/18
BDX19518	Bloc Riv. Giunte	Ascu	32113,08	673	128927	768514	187	50734	2032	1556	49	14038	84	26	256	1	88	594	27	94	8	29/03/18
BDX19518	Bloc Riv. Giunte	Ascu	33504,53	704	128661	769951	215	48529	2122	1336	35	13826	62	25	249	1	86	562	23	98	11	29/03/18
BDX19518	Bloc Riv. Giunte	Ascu	34962,97	717	128194	779767	217	40668	1488	1265	24	11573	48	23	196	1	109	614	27	90	15	29/03/18
BDX19519	Bloc Riv. Giunte	Ascu	28700,78	605	139903	745219	116	64269	2291	1673	82	15731	92	30	339	2	106	685	34	106	16	09/03/18
BDX19519	Bloc Riv. Giunte	Ascu	29119,67	813	142548	746890	118	57947	2095	1670	85	17374	97	30	320	2	94	645	31	108	12	09/03/18
BDX19519	Bloc Riv. Giunte	Ascu	34163,81	859	139591	754339	108	47402	2598	1519	48	18091	65	29	261	2	106	664	33	107	15	09/03/18
BDX19519	Bloc Riv. Giunte	Ascu	37396,58	629	134256	758592	97	45267	2450	1853	46	18107	72	27	255	2	117	697	32	94	11	09/03/18
BDX19519	Bloc Riv. Giunte	Ascu	26703,31	823	138190	759014	105	55749	2382	1591	81	14045	124	29	294	2	94	632	32	103	9	09/03/18
BDX19519	Bloc Riv. Giunte	Ascu	27563,98	1819	137475	760655	178	52813	2538	1518	78	14281	116	29	282	1	93	621	29	101	10	09/03/18
BDX19519	Bloc Riv. Giunte	Ascu	31922,05	676	130932	770408	97	43816	2739	1302	67	16812	71	25	242	1	107	635	29	108	11	09/03/18
BDX19519	Bloc Riv. Giunte	Ascu	39596,97	749	137018	760336	106	45808	2396	1507	44	11287	97	26	235	1	91	561	34	94	13	12/03/18
BDX19519	Bloc Riv. Giunte	Ascu	36281,81	985	137049	764984	105	44225	2522	1524	41	11125	96	25	213	1	100	574	38	97	13	12/03/18
BDX19519	Bloc Riv. Giunte	Ascu	29137,6	1513	137935	769081	230	44633	2758	1556	22	12034	81	25	214	1	92	532	38	104	12	12/03/18

BDX	Source	Region	Na2O	MgO	Al2O3	SiO2	P2O5	K2O	CaO	TiO2	MnO	Fe2O3	Zn	Ga	Rb	Sr	Y	Zr	Nb	Ba	Pb	Date
BDX19519	Bloc Riv. Giunte	Ascu	31791,4	561	132235	775689	103	43940	2221	1465	59	10742	94	24	211	1	105	605	42	95	15	12/03/18
BDX19519	Bloc Riv. Giunte	Ascu	32470,3	587	129833	777980	101	43227	2132	1551	31	10967	96	24	209	1	100	553	36	92	11	12/03/18
BDX19519	Bloc Riv. Giunte	Ascu	31493,38	614	129012	778949	98	43985	2208	1476	34	11051	80	24	235	1	81	529	30	91	11	12/03/18
BDX19519	Bloc Riv. Giunte	Ascu	36897,73	730	135567	762590	101	46487	3059	1641	30	11708	100	28	231	1	99	571	43	103	12	29/03/18
BDX19519	Bloc Riv. Giunte	Ascu	36922,4	1085	134376	764282	99	46155	2611	1565	66	11551	114	28	226	1	111	647	47	99	16	29/03/18
BDX19519	Bloc Riv. Giunte	Ascu	32441,46	675	134580	768401	100	45247	2987	1562	20	12738	78	26	235	1	110	633	43	109	14	29/03/18
BDX19519	Bloc Riv. Giunte	Ascu	32741,2	688	134458	769852	101	45469	2366	1754	18	11314	80	27	227	1	107	642	47	95	13	29/03/18
BDX19519	Bloc Riv. Giunte	Ascu	31084,87	609	128397	775714	175	48338	2445	1260	28	10786	71	25	233	1	95	585	36	98	18	29/03/18
BDX19519	Bloc Riv. Giunte	Ascu	31169,4	560	129066	777695	155	44535	2839	1495	32	11231	105	25	235	1	106	602	41	95	13	29/03/18
BDX19520	Filon Giunte Bas	Ascu	41112,02	901	136904	740197	109	54627	3496	1683	322	19169	162	27	306	1	95	718	40	95	34	15/03/18
BDX19520	Filon Giunte Bas	Ascu	28822,47	1876	143502	742170	136	57259	2523	1631	326	20384	80	27	313	2	95	676	34	103	39	15/03/18
BDX19520	Filon Giunte Bas	Ascu	28572,78	1938	143410	743881	126	52470	1980	1551	239	24526	49	27	317	1	96	667	25	99	25	15/03/18
BDX19520	Filon Giunte Bas	Ascu	33839,86	1733	134496	746442	153	53474	3082	1762	317	23125	79	30	327	2	128	816	41	109	43	15/03/18
BDX19520	Filon Giunte Bas	Ascu	28158,08	1913	140672	750396	118	55709	2378	1485	347	17426	74	26	296	2	104	714	33	107	42	15/03/18
BDX19520	Filon Giunte Bas	Ascu	39684,43	980	133654	753662	330	50985	2812	1327	174	15227	77	24	293	1	83	541	23	89	33	15/03/18
BDX19520	Filon Giunte Bas	Ascu	38529,55	807	131479	761955	101	48375	2457	1325	250	13448	104	24	266	1	87	628	34	98	33	15/03/18
BDX19520	Filon Giunte Bas	Ascu	31499,72	553	131192	772858	99	43969	2290	1332	221	14740	106	25	249	1	89	621	27	96	34	15/03/18
BDX19521	Filon Giunte Bas	Ascu	30126,37	1938	139170	737824	116	61724	2259	1611	397	23099	110	28	331	2	139	922	48	110	48	15/03/18
BDX19521	Filon Giunte Bas	Ascu	34896,4	2162	142674	749739	120	48593	1769	1704	353	16698	156	29	273	2	88	569	28	112	37	15/03/18
BDX19521	Filon Giunte Bas	Ascu	30479,63	1229	142055	750666	744	50986	2602	1654	318	17858	161	31	281	1	107	651	32	107	37	15/03/18
BDX19521	Filon Giunte Bas	Ascu	29632,45	2176	141469	752219	129	49826	2095	1716	400	18820	179	32	296	1	107	728	33	111	29	15/03/18
BDX19521	Filon Giunte Bas	Ascu	28819,28	1193	142201	757827	379	47015	1432	1639	337	17881	143	31	272	1	86	602	28	99	18	15/03/18
BDX19521	Filon Giunte Bas	Ascu	34965,19	1189	138124	759100	108	45930	1434	1530	306	16078	135	29	258	1	92	573	28	101	21	15/03/18
BDX19521	Filon Giunte Bas	Ascu	34435,68	690	132823	759991	95	44791	1457	2050	347	21980	109	25	270	2	104	660	33	100	36	15/03/18
BDX19521	Filon Giunte Bas	Ascu	31564,58	771	132840	770432	104	44625	1336	1441	311	15353	147	27	255	2	81	574	26	90	20	15/03/18
BDX19522	Filon Giunte Bas	Ascu	41102,65	819	139900	740320	104	46869	1828	1604	73	25726	79	30	270	1	170	942	57	87	19	15/03/18

BDX	Source	Region	Na2O	MgO	Al2O3	SiO2	P2O5	K2O	CaO	TiO2	MnO	Fe2O3	Zn	Ga	Rb	Sr	Y	Zr	Nb	Ba	Pb	Date
BDX19522	Filon Giunte Bas	Ascu	28854,39	961	137055	746916	117	64341	2017	1603	19	16902	57	23	296	2	85	597	28	97	29	15/03/18
BDX19522	Filon Giunte Bas	Ascu	28899,72	1878	136628	747832	221	63398	2080	1563	30	16266	70	24	298	2	91	564	27	98	33	15/03/18
BDX19522	Filon Giunte Bas	Ascu	26435,97	677	133637	755486	105	62058	1968	1577	18	16864	55	22	288	1	82	623	26	100	25	15/03/18
BDX19522	Filon Giunte Bas	Ascu	25358,23	865	133021	757360	98	62241	2159	1644	88	15709	97	28	323	1	97	771	34	91	14	15/03/18
BDX19522	Filon Giunte Bas	Ascu	25841,49	656	132223	762531	102	60358	1952	1416	13	13887	41	22	283	2	76	452	26	99	19	15/03/18
BDX19522	Filon Giunte Bas	Ascu	30859,57	859	129853	772723	94	46525	1960	1598	82	14111	91	27	262	1	97	715	35	95	13	15/03/18
BDX19523	Filon Giunte Bas	Ascu	43741,83	623	139548	744496	128	46802	3261	1599	273	18136	144	29	259	2	107	688	35	103	25	20/03/18
BDX19523	Filon Giunte Bas	Ascu	38091,57	1025	132229	745367	696	52753	3286	1844	341	22865	178	33	273	2	119	728	38	120	11	20/03/18
BDX19523	Filon Giunte Bas	Ascu	39007,72	910	140082	745481	127	48346	3256	1474	313	19612	154	30	254	1	108	725	36	109	26	20/03/18
BDX19523	Filon Giunte Bas	Ascu	35034,29	2057	133354	747115	166	54875	2799	1772	316	20983	166	36	320	2	115	707	36	128	18	20/03/18
BDX19523	Filon Giunte Bas	Ascu	33052,23	2112	134801	748064	134	52660	3151	1667	315	22427	184	35	292	2	122	804	38	121	17	20/03/18
BDX19523	Filon Giunte Bas	Ascu	39371,23	827	138658	748583	120	45507	3145	1538	363	20526	153	28	231	1	102	687	35	107	17	20/03/18
BDX19523	Filon Giunte Bas	Ascu	43277,1	679	137326	748927	122	45507	2978	1387	225	18182	140	28	265	1	107	681	32	102	33	20/03/18
BDX19523	Filon Giunte Bas	Ascu	39132,77	1217	136577	752285	112	45716	2854	1572	340	18909	160	28	228	2	104	626	28	100	10	20/03/18
BDX19523	Filon Giunte Bas	Ascu	26016,46	1009	135645	761839	294	51517	2844	1517	219	17709	134	28	284	2	102	671	31	109	31	20/03/18
BDX19523	Filon Giunte Bas	Ascu	30685,14	1919	116415	773983	150	51082	2878	1629	312	19546	159	31	284	2	102	666	31	114	12	20/03/18
BDX19524	Filon Giunte Bas	Ascu	26711,82	888	136491	738277	263	57967	1725	1811	74	34518	73	26	300	1	90	602	54	104	25	16/03/18
BDX19524	Filon Giunte Bas	Ascu	43830,2	950	137836	745934	103	42796	1320	1609	46	24361	87	28	223	2	93	608	35	104	34	16/03/18
BDX19524	Filon Giunte Bas	Ascu	30675,27	2222	140274	751073	138	52263	1763	1844	96	18137	173	34	304	2	110	724	33	120	16	16/03/18
BDX19524	Filon Giunte Bas	Ascu	29571,82	2098	141970	752652	129	51149	1724	1695	108	17398	171	33	287	2	115	728	31	118	20	16/03/18
BDX19524	Filon Giunte Bas	Ascu	39612,74	601	133974	754940	243	52801	1629	1505	65	13415	143	28	274	1	76	555	28	96	13	16/03/18
BDX19524	Filon Giunte Bas	Ascu	37147,7	749	138254	756328	109	47350	1608	1495	104	15474	159	29	271	1	92	677	30	108	14	16/03/18
BDX19524	Filon Giunte Bas	Ascu	31338,5	832	137691	761582	103	47731	1645	1587	91	16085	133	30	275	2	92	636	26	106	15	16/03/18
BDX19525	Filon Giunte Bas	Ascu	40517,7	1805	125587	760212	137	51468	1620	1326	123	16262	52	21	234	2	65	427	20	91	31	20/03/18
BDX19525	Filon Giunte Bas	Ascu	30575,05	1738	128609	784993	175	43099	1337	1113	52	7354	62	24	213	2	65	425	27	103	32	20/03/18
BDX19525	Filon Giunte Bas	Ascu	30386,87	1633	126958	785798	130	42191	1271	1307	90	9182	66	23	204	2	71	529	23	102	32	20/03/18
BDX19525	Filon Giunte Bas	Ascu	33251,61	582	112143	797458	93	44856	1447	1406	85	7720	73	23	232	2	58	414	28	94	35	20/03/18
BDX19525	Filon Giunte Bas	Ascu	33144,01	546	111798	798884	94	43412	1380	1238	75	8426	66	23	220	2	70	465	22	101	33	20/03/18
BDX19526	Filon Giunte Haut	Ascu	39599,4	751	135511	743514	100	52237	2325	1608	83	22936	35	25	270	1	118	752	33	92	11	20/03/18
BDX19526	Filon Giunte Haut	Ascu	34641,63	749	139459	754300	105	47651	2668	1525	117	17512	44	29	274	1	101	681	35	97	9	20/03/18
BDX19526	Filon Giunte Haut	Ascu	34370,47	724	138567	754856	112	47745	2369	1507	112	18365	41	27	274	2	110	671	32	105	10	20/03/18
BDX19526	Filon Giunte Haut	Ascu	38503,43	743	136595	757526	105	45387	2430	1450	163	15914	57	27	260	1	94	607	31	99	8	20/03/18

BDX	Source	Region	Na2O	MgO	Al2O3	SiO2	P2O5	K2O	CaO	TiO2	MnO	Fe2O3	Zn	Ga	Rb	Sr	Y	Zr	Nb	Ba	Pb	Date
BDX19526	Filon Giunte Haut	Ascu	27099,03	778	138728	757596	113	53568	2711	1519	131	16482	66	28	283	1	104	654	31	101	6	20/03/18
BDX19526	Filon Giunte Haut	Ascu	36136,74	747	133243	758181	97	44385	4044	1482	60	20449	28	24	238	1	106	630	32	103	12	20/03/18
BDX19526	Filon Giunte Haut	Ascu	40092,82	655	129494	762331	158	44770	2279	1362	117	17581	37	24	248	1	98	612	33	99	8	20/03/18
BDX19526	Filon Giunte Haut	Ascu	34345,42	1018	133705	763080	101	43696	2587	1461	95	18861	42	27	250	2	82	521	25	94	7	20/03/18
BDX19526	Filon Giunte Haut	Ascu	32017,89	1093	132823	765442	97	44369	1916	1437	94	19633	40	26	254	1	93	532	26	100	8	20/03/18
BDX19526	Filon Giunte Haut	Ascu	30802,12	1167	129428	765679	92	49040	2758	1438	77	18387	33	23	255	2	98	592	26	95	9	20/03/18
BDX19526	Filon Giunte Haut	Ascu	33495,28	863	131649	766734	98	43022	2744	1479	181	18540	56	26	243	1	105	630	29	95	9	20/03/18
BDX19526	Filon Giunte Haut	Ascu	34088,87	1002	128875	769646	132	43242	2849	1325	105	17586	36	24	249	1	99	613	30	88	10	20/03/18
BDX19526	Filon Giunte Haut	Ascu	31994,5	1243	128720	773214	93	43512	2038	1278	92	16669	38	24	249	1	102	605	26	92	7	20/03/18
BDX19527	Filon Giunte Haut	Ascu	38564,07	617	132363	743345	98	56270	1822	1505	13	23874	31	24	264	1	158	886	50	98	17	20/03/18
BDX19527	Filon Giunte Haut	Ascu	34973,06	571	133504	750219	104	57317	1730	1497	6	18980	37	24	272	1	93	527	36	96	12	20/03/18
BDX19527	Filon Giunte Haut	Ascu	45244,56	1056	136575	753737	114	46656	1578	1472	4	12500	43	25	225	2	91	522	34	109	15	20/03/18
BDX19527	Filon Giunte Haut	Ascu	29641,18	583	134743	758339	112	53346	1732	1397	10	18971	43	25	266	1	94	542	38	105	12	20/03/18
BDX19527	Filon Giunte Haut	Ascu	28191,28	1934	139147	762801	207	46801	1590	1752	20	16199	58	29	239	2	128	729	47	107	19	20/03/18
BDX19527	Filon Giunte Haut	Ascu	32632,87	640	133959	765554	105	44418	1406	1561	22	18614	52	25	221	1	77	555	31	114	13	20/03/18
BDX19527	Filon Giunte Haut	Ascu	34903,82	984	137493	766446	121	40672	1200	1511	5	15452	52	28	189	1	104	677	37	109	16	20/03/18
BDX19527	Filon Giunte Haut	Ascu	33444,77	690	134831	768223	367	44654	1497	1629	9	13525	34	26	210	1	97	603	41	102	15	20/03/18
BDX19527	Filon Giunte Haut	Ascu	33647,8	871	134993	768262	117	44785	1481	1564	4	13185	32	26	208	2	100	554	43	109	16	20/03/18
BDX19527	Filon Giunte Haut	Ascu	32563,24	618	132277	770510	100	41158	1350	1687	11	18483	38	26	188	1	124	709	43	102	12	20/03/18
BDX19527	Filon Giunte Haut	Ascu	35557,8	740	130637	771432	99	39604	1213	1488	12	17971	40	26	191	1	124	714	44	95	12	20/03/18
BDX19527	Filon Giunte Haut	Ascu	34269,85	881	128279	772185	91	42564	1338	1382	22	17808	41	24	208	1	108	646	36	103	11	20/03/18
BDX19527	Filon Giunte Haut	Ascu	32856,12	664	125750	780362	95	39679	1229	1350	16	16900	28	23	180	1	112	615	28	95	15	20/03/18
BDX19527	Filon Giunte Haut	Ascu	30547,96	1236	124827	786309	203	42372	1327	1388	5	10866	26	23	181	2	75	469	31	98	14	20/03/18
BDX19528	Filon Giunte Haut	Ascu	30517,6	2263	140523	743135	276	58668	2057	1692	62	19448	73	29	309	2	105	696	32	105	8	20/03/18
BDX19528	Filon Giunte Haut	Ascu	31110,3	842	139942	743186	119	60485	2211	1761	75	18943	78	30	312	2	105	652	32	106	10	20/03/18
BDX19528	Filon Giunte Haut	Ascu	29886,67	698	140875	749349	123	51316	1846	1725	67	22629	76	32	286	1	132	797	40	111	10	20/03/18
BDX19528	Filon Giunte Haut	Ascu	41940,06	1324	132077	750996	94	50232	1814	1466	80	18774	77	25	274	2	97	596	29	97	7	20/03/18
BDX19528	Filon Giunte Haut	Ascu	43452,19	802	132319	752000	94	50541	1807	1523	43	16233	57	26	253	1	96	612	34	97	8	20/03/18
BDX19528	Filon Giunte Haut	Ascu	37794,93	866	129852	759485	97	52277	1849	1501	51	15003	57	26	258	1	101	645	34	93	8	20/03/18
BDX19528	Filon Giunte Haut	Ascu	25896,36	713	135583	760714	98	56590	1991	1742	43	15411	65	28	283	2	94	614	30	94	7	20/03/18

BDX	Source	Region	Na2O	MgO	Al2O3	SiO2	P2O5	K2O	CaO	TiO2	MnO	Fe2O3	Zn	Ga	Rb	Sr	Y	Zr	Nb	Ba	Pb	Date
BDX19528	Filon Giunte Haut	Ascu	32167,95	1109	129920	767853	95	47515	1752	1507	57	16836	71	26	264	1	93	600	29	95	8	20/03/18
BDX19528	Filon Giunte Haut	Ascu	31535,34	1047	130819	769899	118	45512	1700	1337	48	16582	61	27	252	2	128	778	48	97	9	20/03/18
BDX19530	Abri de Giunte	Ascu	33599,15	726	132618	753271	471	55965	1807	1081	127	19020	118	24	294	0	95	652	27	98	8	21/03/18
BDX19530	Abri de Giunte	Ascu	38197,42	618	137074	753847	235	32541	1032	1844	144	33227	55	30	171	1	95	747	31	98	13	21/03/18
BDX19530	Abri de Giunte	Ascu	30609,01	2449	139486	754960	166	49154	1644	2153	191	17621	101	37	267	1	128	855	40	125	15	21/03/18
BDX19530	Abri de Giunte	Ascu	31308,48	2310	135613	760229	153	48698	1631	1728	147	16737	111	33	291	1	108	739	36	113	12	21/03/18
BDX19530	Abri de Giunte	Ascu	47417,5	2157	139382	760277	115	37960	1200	177	52	10172	46	32	194	1	86	585	31	109	9	21/03/18
BDX19530	Abri de Giunte	Ascu	31490,08	2088	137654	762640	153	48447	1504	1294	123	13262	84	33	270	1	101	684	40	119	11	21/03/18
BDX19530	Abri de Giunte	Ascu	34084,77	727	130119	768460	456	48132	1702	953	101	13999	72	24	248	1	100	691	29	93	9	21/03/18
BDX19530	Abri de Giunte	Ascu	35776,26	1079	133492	781062	164	34946	1160	988	76	10241	60	28	177	1	79	536	26	101	8	21/03/18
BDX19530	Abri de Giunte	Ascu	36455,8	726	130219	781791	290	32536	1292	1518	83	14029	55	26	171	1	85	591	30	91	10	21/03/18
BDX19530	Abri de Giunte	Ascu	37326,11	1157	139839	786108	130	25190	810	55	39	8243	41	31	135	0	97	655	30	102	12	21/03/18
BDX19531	Abri de Giunte	Ascu	44679,73	2191	140813	757509	102	35739	1068	1525	257	14945	109	29	189	0	81	590	30	109	33	21/03/18
BDX19531	Abri de Giunte	Ascu	33183,97	1063	134410	773204	107	38944	1240	1230	276	15138	101	28	187	0	87	628	34	105	31	21/03/18
BDX19531	Abri de Giunte	Ascu	36548,61	551	127585	783298	121	31242	972	1371	210	17063	78	26	145	0	77	553	30	99	29	21/03/18
BDX19531	Abri de Giunte	Ascu	37033,88	638	130196	783807	96	28270	869	1311	221	16607	77	25	137	0	70	488	28	94	31	21/03/18
BDX19531	Abri de Giunte	Ascu	36717,05	659	111334	789683	102	44430	1492	1375	251	12637	101	26	248	1	98	684	37	93	34	21/03/18
BDX19531	Abri de Giunte	Ascu	35409,94	568	117305	791573	123	34223	1018	1332	230	17182	72	25	157	1	78	548	30	94	31	21/03/18
BDX19531	Abri de Giunte	Ascu	34354,16	697	112934	793351	107	41130	1260	1204	231	13543	125	25	213	1	84	592	30	99	18	21/03/18
BDX19532	Abri de Giunte	Ascu	37257,46	2089	131984	740440	177	69188	2205	1161	263	13563	137	31	369	2	108	858	37	119	13	21/03/18
BDX19532	Abri de Giunte	Ascu	32805,82	2152	139070	743932	153	62592	2058	1605	231	13928	171	30	348	1	96	669	32	111	12	21/03/18
BDX19532	Abri de Giunte	Ascu	34683,5	2316	135903	747018	159	58770	1909	1576	329	15840	168	32	352	2	93	690	31	115	12	21/03/18
BDX19532	Abri de Giunte	Ascu	32918,78	2316	118735	752462	135	70347	2255	1713	323	17201	204	29	407	2	81	726	28	104	14	21/03/18
BDX19532	Abri de Giunte	Ascu	36440,91	2003	111269	759884	192	63597	2036	1886	350	20752	202	31	377	2	96	731	33	108	12	21/03/18
BDX19532	Abri de Giunte	Ascu	34636,83	1859	124120	768670	166	52120	1741	1382	247	13699	112	30	307	2	90	671	33	106	10	21/03/18
BDX19532	Abri de Giunte	Ascu	34758,69	1735	112113	770755	172	60906	1915	1420	320	14521	154	30	339	1	94	617	31	106	10	21/03/18
BDX19533	Abri de Giunte - Contrebas	Ascu	30761,4	786	138717	736814	563	72154	2382	1691	125	14363	105	26	340	1	146	873	44	98	11	21/03/18
BDX19533	Abri de Giunte - Contrebas	Ascu	27943,51	725	139944	745185	107	60485	1958	1612	291	20531	113	27	304	2	96	512	27	100	38	21/03/18
BDX19533	Abri de Giunte - Contrebas	Ascu	27781,83	632	132351	750362	610	72403	2337	1333	84	11049	64	23	329	1	52	466	21	96	6	21/03/18
BDX19533	Abri de Giunte - Contrebas	Ascu	29795,5	930	132361	751518	593	66727	2166	1499	226	13019	106	24	355	1	47	509	19	94	12	21/03/18
BDX19533	Abri de Giunte - Contrebas	Ascu	25202,37	680	130778	765364	96	59009	1806	1510	148	14394	80	22	279	1	40	473	22	91	7	21/03/18
BDX19533	Abri de Giunte - Contrebas	Ascu	24572,19	754	129472	766573	602	59343	2093	1638	222	13582	126	24	281	1	84	494	25	87	27	21/03/18

BDX	Source	Region	Na2O	MgO	Al2O3	SiO2	P2O5	K2O	CaO	TiO2	MnO	Fe2O3	Zn	Ga	Rb	Sr	Y	Zr	Nb	Ba	Pb	Date
BDX19533	Abri de Giunte - Contrebas	Ascu	24385,31	721	126172	769696	628	63095	2031	1369	175	10518	89	23	297	1	75	597	25	95	9	21/03/18
BDX19533	Abri de Giunte - Contrebas	Ascu	24671,02	627	128463	769961	471	60829	1889	1183	88	10898	58	20	281	1	34	408	18	96	4	21/03/18
BDX20921	Plateau de Stagnu	Ascu	37938,44	1135	113959	773869	198	43763	1839	1803	131	24292	21	24	206	8	95	530	39	133	19	22/03/18
BDX20921	Plateau de Stagnu	Ascu	35432,46	2431	121500	777794	182	41755	1330	1586	71	16992	17	22	183	9	70	455	26	131	13	22/03/18
BDX20921	Plateau de Stagnu	Ascu	36147,04	2135	117820	779338	734	39599	1886	639	99	20689	19	21	190	7	74	428	29	126	19	22/03/18
BDX20921	Plateau de Stagnu	Ascu	40285,59	2338	110690	779619	212	43961	1581	914	62	19341	15	22	200	8	82	478	33	142	15	22/03/18
BDX20921	Plateau de Stagnu	Ascu	37859,38	1009	111401	781801	191	41373	1513	868	84	22712	18	21	212	8	119	627	34	123	26	22/03/18
BDX20921	Plateau de Stagnu	Ascu	33317,81	1830	119107	782884	143	42287	2191	835	94	16494	16	20	158	9	63	378	25	131	15	22/03/18
BDX20921	Plateau de Stagnu	Ascu	33732,99	683	114921	783559	605	41384	1512	635	134	21877	19	21	191	7	82	463	32	123	21	22/03/18
BDX20921	Plateau de Stagnu	Ascu	32302,24	689	133041	783943	562	32149	1013	478	44	15063	11	17	140	8	58	349	23	100	10	22/03/18
BDX20921	Plateau de Stagnu	Ascu	36762,11	1534	118706	785738	807	37436	1370	455	47	16258	14	21	167	8	75	439	27	122	12	22/03/18
BDX20921	Plateau de Stagnu	Ascu	36391,72	768	110804	786415	182	40883	1449	1102	138	21342	22	22	222	8	86	478	36	126	26	22/03/18
BDX20922	Plateau de Stagnu	Ascu	41844,26	995	135500	746773	111	45523	1463	1862	250	24338	76	28	254	4	122	708	37	102	11	21/03/18
BDX20922	Plateau de Stagnu	Ascu	35578,52	691	136220	754335	103	43328	1332	1009	225	25983	77	26	245	3	97	597	32	104	14	21/03/18
BDX20922	Plateau de Stagnu	Ascu	29035,13	1809	136482	766101	290	46704	1527	1348	156	15413	65	25	250	4	91	550	35	104	9	21/03/18
BDX20922	Plateau de Stagnu	Ascu	26368,08	806	130242	768080	583	46922	1513	1006	192	19018	74	29	278	3	103	636	36	103	9	21/03/18
BDX20922	Plateau de Stagnu	Ascu	29458,08	744	134363	768433	506	45073	1396	979	162	17696	67	25	255	4	103	596	33	98	9	21/03/18
BDX20922	Plateau de Stagnu	Ascu	27648,41	808	132513	771628	571	45208	1424	934	176	17994	67	26	252	5	83	521	29	100	12	21/03/18
BDX20922	Plateau de Stagnu	Ascu	27271,52	629	135887	772620	113	43968	1308	1580	159	15330	65	25	239	3	89	561	33	109	10	21/03/18
BDX20922	Plateau de Stagnu	Ascu	26603,56	637	134764	773034	395	44831	1363	859	167	16268	64	24	237	3	81	517	33	109	9	21/03/18
BDX20922	Plateau de Stagnu	Ascu	27637,96	686	135699	773331	116	44181	1308	697	168	15018	65	26	233	4	95	587	33	110	8	21/03/18
BDX20922	Plateau de Stagnu	Ascu	36258,75	925	127431	775136	515	41206	1206	1208	153	14934	59	23	211	3	80	517	27	97	9	21/03/18
BDX20922	Plateau de Stagnu	Ascu	26955,76	582	134781	777114	111	43772	1315	368	149	13764	61	24	238	5	84	530	32	107	9	21/03/18
BDX20922	Plateau de Stagnu	Ascu	29652,63	754	130766	778064	672	43888	1311	626	130	13087	59	23	219	5	85	521	29	100	11	21/03/18
BDX20922	Plateau de Stagnu	Ascu	36819,32	1022	122844	778843	519	39510	1200	729	155	17367	59	22	219	3	76	483	27	94	9	21/03/18
BDX20922	Plateau de Stagnu	Ascu	25671,63	670	132364	780382	107	42427	1288	841	152	14991	61	24	227	4	88	562	32	100	10	21/03/18
BDX20922	Plateau de Stagnu	Ascu	36705,63	855	123690	784829	327	38312	1106	479	140	12614	54	21	200	3	77	465	27	89	7	21/03/18
BDX20922	Plateau de Stagnu	Ascu	32579,17	600	123070	791536	165	36008	1044	482	139	13415	58	22	205	3	77	466	28	91	10	21/03/18
BDX20922	Plateau de Stagnu	Ascu	24570,43	709	125843	796125	492	36869	1120	699	124	12519	54	20	192	3	76	450	28	98	9	21/03/18
BDX20923	Plateau de Stagnu	Ascu	28071,18	1408	134770	763263	571	44680	1490	1670	217	22659	87	28	258	3	92	569	44	109	9	26/03/18
BDX20923	Plateau de Stagnu	Ascu	27416,77	1234	132804	769294	569	43253	1402	1612	202	21097	78	27	239	3	87	526	40	108	8	26/03/18
BDX20923	Plateau de Stagnu	Ascu	36841,63	1500	125094	776534	101	41303	1417	606	143	15492	60	22	215	4	75	472	24	89	7	26/03/18
BDX20923	Plateau de Stagnu	Ascu	26128,28	844	127597	781732	161	40906	1329	1025	169	19098	68	24	216	3	75	485	27	104	9	26/03/18

BDX	Source	Region	Na2O	MgO	Al2O3	SiO2	P2O5	K2O	CaO	TiO2	MnO	Fe2O3	Zn	Ga	Rb	Sr	Y	Zr	Nb	Ba	Pb	Date
BDX20923	Plateau de Stagnu	Ascu	27937,45	950	123438	785161	102	39530	1273	981	165	19274	70	24	206	4	103	635	26	111	9	26/03/18
BDX20923	Plateau de Stagnu	Ascu	27668,37	716	115800	801577	571	36651	1204	300	133	14515	56	19	174	4	55	416	25	107	9	26/03/18
BDX20924	Plateau de Stagnu	Ascu	34709,03	632	141594	744706	113	56659	1989	1616	93	16882	46	25	220	7	73	468	35	99	35	22/03/18
BDX20924	Plateau de Stagnu	Ascu	31739,78	943	139137	748620	101	54975	1799	1366	135	19852	81	29	247	5	111	689	35	108	25	22/03/18
BDX20924	Plateau de Stagnu	Ascu	33308,36	868	127471	751616	98	49399	1692	1966	250	32132	76	24	214	6	104	577	54	104	40	22/03/18
BDX20924	Plateau de Stagnu	Ascu	29162,87	1976	138218	767279	456	45456	1547	506	101	14228	65	23	191	5	89	550	29	104	15	22/03/18
BDX20924	Plateau de Stagnu	Ascu	37292,06	685	131118	772729	102	40466	1331	1679	91	13572	57	22	167	5	71	473	26	98	16	22/03/18
BDX20924	Plateau de Stagnu	Ascu	26584,85	739	131637	779493	105	41998	1353	1017	113	15956	64	22	189	5	84	489	31	105	17	22/03/18
BDX20924	Plateau de Stagnu	Ascu	24073,82	1472	114555	786114	124	49008	1612	3932	155	17587	103	29	248	4	117	706	56	91	13	22/03/18
BDX20924	Plateau de Stagnu	Ascu	29640,78	667	125111	787034	99	40659	1453	643	82	13724	36	17	146	5	72	462	27	99	23	22/03/18
BDX20924	Plateau de Stagnu	Ascu	26290,42	616	125961	788876	576	39128	1238	1126	110	14952	64	22	180	4	98	609	28	105	14	22/03/18
BDX20924	Plateau de Stagnu	Ascu	32018,7	1110	116601	789530	244	42736	1366	400	118	14886	68	23	195	4	79	477	28	101	13	22/03/18
BDX20924	Plateau de Stagnu	Ascu	23223,69	773	115283	810122	198	36063	1086	737	74	11558	48	16	147	4	71	467	24	93	14	22/03/18
BDX20925	Plateau de Stagnu	Ascu	35229,92	747	132039	761364	522	51269	1637	943	255	14862	35	30	329	6	74	505	33	115	5	23/03/18
BDX20925	Plateau de Stagnu	Ascu	34914,49	795	127511	765554	274	46833	1489	1118	284	19831	40	31	328	6	121	696	45	124	6	23/03/18
BDX20925	Plateau de Stagnu	Ascu	40756,55	2358	112465	780421	166	47331	1470	682	207	12971	25	25	281	6	82	587	32	131	5	23/03/18
BDX20925	Plateau de Stagnu	Ascu	40396,89	1893	106153	785414	196	46463	1406	821	259	15717	31	27	304	5	93	656	26	132	5	23/03/18
BDX20925	Plateau de Stagnu	Ascu	37349,95	2428	98275	793763	169	46463	1341	1202	241	17531	29	25	281	5	89	632	32	137	7	23/03/18
BDX20925	Plateau de Stagnu	Ascu	30753,71	686	114851	804271	571	32721	1050	515	205	13345	27	23	231	5	81	535	33	112	4	23/03/18
BDX20925	Plateau de Stagnu	Ascu	39577,23	2309	94954	813056	328	33976	1114	288	209	13144	25	22	222	6	73	534	27	133	4	23/03/18
BDX20925	Plateau de Stagnu	Ascu	27939,75	1975	92987	814474	760	36656	1035	1254	314	21250	40	29	303	4	115	684	38	136	5	23/03/18
BDX20925	Plateau de Stagnu	Ascu	35818,37	2296	89970	826977	820	28251	865	400	184	13200	24	20	199	4	93	710	36	128	5	23/03/18
BDX20925	Plateau de Stagnu	Ascu	32029,49	772	91945	833172	227	26726	787	333	200	12819	24	18	190	2	87	535	26	106	4	23/03/18
BDX20926	Plateau de Stagnu	Ascu	28271,15	872	130618	761464	656	58842	1748	693	174	15583	57	24	313	3	63	494	21	99	5	22/03/18
BDX20926	Plateau de Stagnu	Ascu	30130,05	1095	125521	767964	112	54531	2094	992	183	16277	57	24	320	3	66	509	22	96	5	22/03/18
BDX20926	Plateau de Stagnu	Ascu	21330,29	573	123071	791012	145	47916	1455	269	145	13130	50	21	272	2	57	421	25	102	4	22/03/18

BDX	Source	Region	Na2O	MgO	Al2O3	SiO2	P2O5	K2O	CaO	TiO2	MnO	Fe2O3	Zn	Ga	Rb	Sr	Y	Zr	Nb	Ba	Pb	Date
BDX20926	Plateau de Stagnu	Ascu	24991,98	1135	118419	795539	142	41906	1308	298	165	14995	52	20	279	2	98	539	21	85	5	22/03/18
BDX20926	Plateau de Stagnu	Ascu	24465,65	2030	116945	795824	123	40824	1270	867	184	16549	56	23	264	2	76	379	19	96	3	22/03/18
BDX20926	Plateau de Stagnu	Ascu	24194,04	1149	115455	799682	542	42927	1306	1742	140	11933	46	19	258	3	60	422	32	86	4	22/03/18
BDX20926	Plateau de Stagnu	Ascu	25918,27	1030	114122	805013	135	41113	1222	251	112	10250	36	17	228	2	52	389	18	87	5	22/03/18
BDX20927	Plateau de Stagnu	Ascu	46650,74	2183	143360	736976	149	47941	1548	1109	210	18879	42	25	194	3	67	505	33	115	9	22/03/18
BDX20927	Plateau de Stagnu	Ascu	44565,03	1478	139997	740830	130	49511	1643	1161	207	19477	44	23	204	3	65	516	30	108	9	22/03/18
BDX20927	Plateau de Stagnu	Ascu	32128,23	1955	135086	745592	153	61742	1980	1867	241	18081	54	25	258	4	80	585	39	119	13	22/03/18
BDX20927	Plateau de Stagnu	Ascu	40143,08	802	137032	751706	120	48333	1606	1209	204	17882	45	21	200	3	61	493	26	103	10	22/03/18
BDX20927	Plateau de Stagnu	Ascu	36210,47	1137	136835	752407	708	54377	1780	1478	193	13806	41	25	230	3	73	536	30	120	11	22/03/18
BDX20927	Plateau de Stagnu	Ascu	36219,89	1710	130949	752942	197	54809	1847	1098	229	18784	48	26	224	2	79	661	32	131	12	22/03/18
BDX20927	Plateau de Stagnu	Ascu	34739,14	1780	130337	755438	135	54286	1765	1466	232	18607	49	28	246	4	81	637	34	126	11	22/03/18
BDX20927	Plateau de Stagnu	Ascu	33453,08	1939	130696	757894	197	51535	1704	1638	255	19504	56	27	218	3	84	622	36	127	12	22/03/18
BDX20927	Plateau de Stagnu	Ascu	31084,66	1745	123722	758747	159	57770	1854	2643	284	20872	66	26	253	4	87	531	38	103	12	22/03/18
BDX20927	Plateau de Stagnu	Ascu	30232,51	1287	137885	760876	689	47172	1461	1063	207	18098	44	24	215	4	67	518	30	120	10	22/03/18
BDX20927	Plateau de Stagnu	Ascu	33758,4	718	132542	763139	378	48124	1608	1282	235	17282	65	24	213	3	66	429	27	96	10	22/03/18
BDX20927	Plateau de Stagnu	Ascu	34908,76	1999	133510	766545	194	42814	1284	1038	234	16491	57	21	181	2	71	517	26	96	10	22/03/18
BDX20927	Plateau de Stagnu	Ascu	25371,24	2052	132058	778412	645	43035	1345	1053	209	14902	45	21	179	3	61	468	28	105	9	22/03/18
BDX20928	Plateau de Stagnu	Ascu	27192,17	797	138201	757322	106	49508	1617	1387	217	22275	76	30	271	4	121	719	36	109	13	22/03/18
BDX20928	Plateau de Stagnu	Ascu	42625,52	808	130881	758519	98	41490	1908	1588	194	20700	66	24	221	4	102	612	45	104	10	22/03/18
BDX20928	Plateau de Stagnu	Ascu	33750,62	1909	136592	758542	684	49697	1924	1038	161	14565	64	24	250	4	87	556	32	108	11	22/03/18
BDX20928	Plateau de Stagnu	Ascu	27332,02	656	137998	769233	435	45043	1299	840	159	15840	66	26	244	4	92	583	34	103	12	22/03/18
BDX20928	Plateau de Stagnu	Ascu	27666,71	726	134208	772279	467	42120	1300	1050	198	18776	71	27	238	3	103	617	35	104	13	22/03/18
BDX20928	Plateau de Stagnu	Ascu	26825,45	636	135925	773901	115	43344	1332	759	151	15903	66	25	230	4	88	550	32	105	11	22/03/18
BDX20928	Plateau de Stagnu	Ascu	30244,3	777	129272	775029	364	44452	1345	869	176	16260	69	26	241	3	99	602	35	113	23	22/03/18
BDX20928	Plateau de Stagnu	Ascu	29762,27	738	126906	776919	448	43506	2607	1016	167	16776	75	26	233	4	97	569	32	108	11	22/03/18
BDX20928	Plateau de Stagnu	Ascu	26008,3	689	130933	780356	502	42385	2563	764	145	14593	60	23	209	4	88	538	31	99	8	22/03/18

BDX	Source	Region	Na2O	MgO	Al2O3	SiO2	P2O5	K2O	CaO	TiO2	MnO	Fe2O3	Zn	Ga	Rb	Sr	Y	Zr	Nb	Ba	Pb	Date
BDX20929	Plateau de Stagnu	Ascu	31281,11	3627	115257	775232	138	49634	1475	1470	165	20639	53	23	206	3	82	580	37	86	12	23/03/18
BDX20929	Plateau de Stagnu	Ascu	30580,32	1708	113574	782771	108	48740	1508	1190	131	18669	47	22	213	3	78	513	33	99	12	23/03/18
BDX20929	Plateau de Stagnu	Ascu	32879,11	1177	112732	788663	102	43798	1459	859	130	17201	33	18	186	4	75	530	35	110	12	23/03/18
BDX20929	Plateau de Stagnu	Ascu	34388,04	1485	110504	792458	103	40205	1250	987	108	17382	37	20	172	4	94	661	30	105	11	23/03/18
BDX20929	Plateau de Stagnu	Ascu	30382,98	1090	107522	796677	99	41718	1315	1827	127	18256	36	19	176	3	81	536	31	93	12	23/03/18
BDX20931	Monte Padro	Ascu	32922,77	1945	129689	767570	161	52426	1634	202	100	12743	16	13	185	4	42	193	20	129	6	15/03/18
BDX20931	Monte Padro	Ascu	29229,1	2109	134537	770705	656	49775	1497	353	121	10465	17	11	177	4	36	154	19	118	15	15/03/18
BDX20931	Monte Padro	Ascu	40368,45	866	128462	776957	633	41418	1208	0	107	9479	14	9	136	3	33	159	16	122	8	15/03/18
BDX20931	Monte Padro	Ascu	27675,68	1502	134439	778257	434	45259	1355	610	87	9855	14	10	156	3	35	158	17	124	9	15/03/18
BDX20931	Monte Padro	Ascu	27455,55	2109	132980	778542	667	45515	1358	193	112	10547	14	10	158	4	36	161	17	113	9	15/03/18
BDX20931	Monte Padro	Ascu	37444,69	597	126162	781071	601	41381	1219	300	91	10560	14	9	140	3	35	242	16	105	10	15/03/18
BDX20932	Monte Padro	Ascu	34046,19	1768	138202	731658	614	68049	2128	994	157	21665	32	18	213	8	34	276	20	112	8	06/03/18
BDX20932	Monte Padro	Ascu	27309,56	1037	131279	770652	628	54660	1672	476	137	11617	26	12	172	5	23	154	18	116	7	06/03/18
BDX20932	Monte Padro	Ascu	26351,78	2156	134099	774617	123	47694	1547	670	146	12050	26	13	169	5	25	155	17	133	6	06/03/18
BDX20932	Monte Padro	Ascu	36423,89	1114	128075	779977	616	40878	1207	222	134	10859	24	12	124	5	24	171	16	114	4	06/03/18
BDX20932	Monte Padro	Ascu	25497,15	1638	129624	782044	636	46664	1479	479	141	11282	26	11	154	5	23	151	16	124	6	06/03/18
BDX20932	Monte Padro	Ascu	38456,92	893	125103	782507	629	40205	1167	0	127	10433	24	11	127	5	21	157	16	112	4	06/03/18
BDX20932	Monte Padro	Ascu	28520,43	1836	127155	783301	129	44298	1322	231	170	12467	30	12	147	5	29	197	18	127	5	06/03/18
BDX20932	Monte Padro	Ascu	25351,86	1692	129384	786076	660	43116	1346	736	138	11009	26	11	136	5	29	154	17	108	6	06/03/18
BDX20932	Monte Padro	Ascu	36659,09	851	123020	792138	607	35444	1028	0	123	9683	21	11	114	4	24	138	15	115	4	06/03/18
BDX20932	Monte Padro	Ascu	24349,03	1179	124159	795430	429	42691	1292	31	123	9853	22	10	132	5	23	142	16	111	5	06/03/18
BDX20932	Monte Padro	Ascu	32847,49	672	120649	796411	471	36615	1108	165	135	10268	23	10	120	4	26	151	15	106	4	06/03/18
BDX20932	Monte Padro	Ascu	24914,66	759	120952	800364	581	40460	1197	321	98	9886	19	10	130	4	22	149	15	114	4	06/03/18
BDX20932	Monte Padro	Ascu	38804,84	520	122396	776763	374	48997	1464	218	116	9884	22	10	155	4	19	134	17	98	5	07/03/18
BDX20932	Monte Padro	Ascu	37242,28	535	122302	778568	343	48953	1492	68	115	9907	22	10	155	5	20	135	16	107	4	07/03/18
BDX20932	Monte Padro	Ascu	32589,82	593	118371	780240	97	51297	1581	438	167	13980	30	14	158	4	37	255	17	127	6	07/03/18

BDX	Source	Region	Na2O	MgO	Al2O3	SiO2	P2O5	K2O	CaO	TiO2	MnO	Fe2O3	Zn	Ga	Rb	Sr	Y	Zr	Nb	Ba	Pb	Date
BDX20932	Monte Padro	Ascu	40260,69	1590	125518	781173	267	38802	1160	105	148	10512	25	11	122	4	26	155	15	102	4	07/03/18
BDX20932	Monte Padro	Ascu	36717,95	1044	126960	782192	612	40017	1199	0	149	10616	24	12	129	5	25	160	16	119	4	07/03/18
BDX20932	Monte Padro	Ascu	32179,2	576	122793	782882	348	49146	1559	98	116	10025	23	10	157	5	19	137	16	105	5	07/03/18
BDX20932	Monte Padro	Ascu	33928,48	646	123800	784920	253	41823	1283	360	153	12340	25	11	135	5	26	173	17	97	5	07/03/18
BDX20932	Monte Padro	Ascu	36023,93	1383	125776	784993	424	39032	1167	0	146	10576	25	11	124	5	26	155	15	113	4	07/03/18
BDX20932	Monte Padro	Ascu	35873,92	1059	125914	785107	339	39226	1149	119	151	10588	26	12	124	5	26	156	15	104	4	07/03/18
BDX20932	Monte Padro	Ascu	34735,48	878	126158	786322	386	39098	1177	0	147	10616	25	12	124	5	26	157	15	114	4	07/03/18
BDX20932	Monte Padro	Ascu	33900,15	884	126086	786787	493	39367	1098	116	146	10653	25	11	125	5	27	157	15	99	4	07/03/18
BDX20932	Monte Padro	Ascu	23719,36	1796	123460	788133	263	50195	1531	79	116	10215	24	12	161	5	20	140	16	110	5	07/03/18
BDX20932	Monte Padro	Ascu	35449,32	697	122449	788454	360	41298	1285	175	119	9280	23	10	126	5	20	127	15	104	4	07/03/18
BDX20932	Monte Padro	Ascu	23557,73	1722	123213	788496	247	50454	1460	61	113	10183	23	10	160	6	20	139	17	113	5	07/03/18
BDX20932	Monte Padro	Ascu	31104,61	1750	120161	796037	200	38403	1193	317	138	10222	22	11	121	5	24	152	14	122	4	07/03/18
BDX20932	Monte Padro	Ascu	24698	1529	124100	796835	156	41580	1201	185	119	9155	23	11	136	4	17	118	15	111	6	07/03/18
BDX20932	Monte Padro	Ascu	30301,48	527	120526	797335	202	38562	1137	168	149	10615	24	11	120	4	27	159	15	113	4	07/03/18
BDX20932	Monte Padro	Ascu	26485,29	799	121050	799356	360	40795	1196	199	120	9186	24	10	141	5	18	130	16	107	5	07/03/18
BDX20933	Monte Padro	Ascu	32113,21	2200	144455	701731	127	90029	2871	1602	131	23901	12	14	288	6	44	283	21	135	39	15/03/18
BDX20933	Monte Padro	Ascu	33719,9	1899	149665	715777	163	77175	2451	0	111	18291	8	15	238	6	43	239	22	136	40	15/03/18
BDX20933	Monte Padro	Ascu	37499,38	1807	138107	721476	174	78930	2576	328	101	18320	8	14	249	5	42	184	26	129	26	15/03/18
BDX20933	Monte Padro	Ascu	37431,7	1892	133593	728333	330	79352	2554	146	120	15548	8	12	245	6	44	197	23	124	40	15/03/18
BDX20933	Monte Padro	Ascu	30742,72	1202	137644	730514	690	82097	2600	470	90	13250	8	14	257	7	42	179	22	133	39	15/03/18
BDX20933	Monte Padro	Ascu	35980,07	1791	132804	738879	403	73186	2332	273	101	13537	7	12	219	5	47	230	20	135	39	15/03/18
BDX20933	Monte Padro	Ascu	30353,47	1131	125262	744041	684	77576	2479	504	105	17120	9	13	243	5	46	227	22	139	42	15/03/18
BDX20933	Monte Padro	Ascu	32558,16	1813	124983	755403	460	68901	2127	0	80	13073	8	11	206	5	37	159	23	126	26	15/03/18
BDX20933	Monte Padro	Ascu	35058,05	1484	113539	761827	144	64010	1981	242	110	20922	8	12	198	5	41	249	21	117	31	15/03/18
BDX20933	Monte Padro	Ascu	29863,92	1385	105717	773122	208	72249	2276	455	127	13958	8	12	216	5	41	165	23	131	39	15/03/18
BDX20934	Monte Padro	Ascu	35351,72	9837	111819	765180	163	39441	1290	1684	215	33381	120	31	237	3	171	918	56	93	8	15/03/18

BDX	Source	Region	Na2O	MgO	Al2O3	SiO2	P2O5	K2O	CaO	TiO2	MnO	Fe2O3	Zn	Ga	Rb	Sr	Y	Zr	Nb	Ba	Pb	Date
BDX20934	Monte Padro	Ascu	33005,6	1841	125106	785436	104	31208	931	1212	82	19807	65	25	184	3	117	740	34	91	9	15/03/18
BDX20934	Monte Padro	Ascu	32647,74	2008	123594	787800	90	32408	948	975	76	18433	57	23	157	3	78	573	30	90	8	15/03/18
BDX20934	Monte Padro	Ascu	30710,91	1536	121038	790974	101	32989	954	1067	97	19598	64	22	152	3	73	501	24	87	8	15/03/18
BDX20934	Monte Padro	Ascu	31253,84	5601	110231	791123	107	35841	1075	1104	119	22244	72	25	196	3	106	751	45	93	8	15/03/18
BDX20934	Monte Padro	Ascu	34640,4	1178	123062	796899	153	26741	799	968	57	14440	38	21	142	3	82	646	35	89	7	15/03/18
BDX20935	Pont de Valentinu	Ascu	35891,36	1610	137445	751457	513	48759	1528	1487	162	19818	55	30	268	3	121	706	40	102	6	23/03/18
BDX20935	Pont de Valentinu	Ascu	43403,38	922	135679	752885	236	43669	1357	1514	213	18834	54	27	224	3	123	707	44	98	10	23/03/18
BDX20935	Pont de Valentinu	Ascu	29619,7	1118	138312	756094	115	53409	1674	1366	160	16805	45	26	258	3	121	721	38	105	10	23/03/18
BDX20935	Pont de Valentinu	Ascu	33952,39	887	137976	759155	113	48092	1603	1486	159	15384	38	25	226	3	101	645	36	109	8	23/03/18
BDX20935	Pont de Valentinu	Ascu	30722,01	1467	130261	772673	548	44782	1779	1295	287	15024	57	23	225	4	109	604	32	101	5	23/03/18
BDX20935	Pont de Valentinu	Ascu	31185,11	1816	129288	775761	95	42337	1296	1211	161	15697	41	24	207	3	113	631	36	93	7	23/03/18
BDX20935	Pont de Valentinu	Ascu	32314,07	961	128447	777922	108	43723	1385	1595	161	12389	32	21	190	3	87	534	29	91	9	23/03/18
BDX20935	Pont de Valentinu	Ascu	31572,98	760	129138	779397	161	41697	1269	979	179	13819	35	23	183	3	95	552	31	101	5	23/03/18
BDX20936	Pont de Valentinu	Ascu	43415,79	2345	140471	749873	127	35177	1121	1523	78	24494	19	27	168	5	127	864	38	114	12	23/03/18
BDX20936	Pont de Valentinu	Ascu	36696,91	680	141559	752555	101	34740	1114	1869	238	28889	24	31	180	5	165	972	45	108	30	23/03/18
BDX20936	Pont de Valentinu	Ascu	47528,59	2013	137273	752814	159	31478	1012	1399	50	24996	16	30	156	6	116	769	44	126	14	23/03/18
BDX20936	Pont de Valentinu	Ascu	40472,53	767	143445	753629	151	33659	1561	2332	308	22095	41	35	193	16	188	934	57	104	15	23/03/18
BDX20936	Pont de Valentinu	Ascu	34964,37	794	140696	761604	692	34792	1118	1580	78	22397	24	29	183	6	103	784	35	109	11	23/03/18
BDX20936	Pont de Valentinu	Ascu	33490,27	744	136649	762393	112	40094	1244	1398	164	22308	37	31	236	6	124	813	34	101	21	23/03/18
BDX20936	Pont de Valentinu	Ascu	43016,9	704	128721	763976	376	36770	1424	1588	118	22204	21	21	177	5	98	612	48	102	16	23/03/18
BDX20936	Pont de Valentinu	Ascu	34501,34	821	139560	764739	105	34512	1053	1485	44	21755	19	29	165	5	110	948	37	101	11	23/03/18
BDX20936	Pont de Valentinu	Ascu	30453,66	2063	134381	767889	178	38887	1342	1497	165	21693	25	31	198	7	113	896	40	122	19	23/03/18
BDX20936	Pont de Valentinu	Ascu	44030,95	1274	128333	769583	674	34650	1134	1001	73	18232	16	21	149	5	88	569	44	107	15	23/03/18
BDX20936	Pont de Valentinu	Ascu	39162,38	662	131164	777386	98	30067	971	1100	51	18327	17	24	143	5	86	595	31	101	12	23/03/18
BDX20936	Pont de Valentinu	Ascu	34784,59	668	131787	777618	101	38107	1289	907	112	13376	25	27	185	6	87	775	26	106	15	23/03/18
BDX20936	Pont de Valentinu	Ascu	34449,39	1833	135881	779135	672	31886	941	282	44	13723	18	26	150	5	89	722	24	109	9	23/03/18
BDX20937	Pont de Valentinu	Ascu	25947,28	8764	117817	766847	173	49610	1643	918	263	26069	91	41	429	4	198	1010	53	107	16	23/03/18
BDX20937	Pont de Valentinu	Ascu	37942,78	1946	128612	773117	99	40342	1336	0	130	14986	54	29	281	7	151	816	34	103	14	23/03/18
BDX20937	Pont de Valentinu	Ascu	24953,4	3756	125705	779699	226	40907	1275	739	198	20791	71	35	354	4	179	957	51	88	11	23/03/18
BDX20937	Pont de Valentinu	Ascu	26004,2	7736	120158	781660	97	38513	1212	397	191	22162	74	33	346	2	188	1085	45	85	12	23/03/18
BDX20937	Pont de Valentinu	Ascu	24297,83	5167	122282	784922	113	39647	1248	180	167	20389	68	33	343	3	149	823	48	101	18	23/03/18

BDX	Source	Region	Na2O	MgO	Al2O3	SiO2	P2O5	K2O	CaO	TiO2	MnO	Fe2O3	Zn	Ga	Rb	Sr	Y	Zr	Nb	Ba	Pb	Date
BDX20937	Pont de Valentinu	Ascu	37728,4	2485	117575	784986	129	32350	1060	732	311	20983	72	21	238	10	163	900	46	102	111	23/03/18
BDX20937	Pont de Valentinu	Ascu	37858,93	2143	117508	790711	116	32358	985	49	192	16748	59	23	257	5	123	692	42	93	37	23/03/18
BDX20937	Pont de Valentinu	Ascu	23971,85	3895	117355	796729	202	36116	1085	227	167	18676	63	28	312	3	163	858	48	90	11	23/03/18
BDX20937	Pont de Valentinu	Ascu	24190,93	1115	111756	815420	104	28704	869	1165	152	15339	52	21	242	3	110	597	45	86	28	23/03/18
BDX20938	Pont de Valentinu	Ascu	30088,17	1668	148494	737316	171	61518	1969	1582	178	15938	41	31	294	3	65	488	29	114	12	23/03/18
BDX20938	Pont de Valentinu	Ascu	35642,16	596	137286	745123	116	57701	1814	1405	139	19361	33	23	247	4	47	310	30	108	14	23/03/18
BDX20938	Pont de Valentinu	Ascu	28635,51	1842	138830	745330	196	63416	2076	1067	160	17459	39	29	275	4	59	426	29	116	11	23/03/18
BDX20938	Pont de Valentinu	Ascu	31558,04	1300	134404	765168	690	48282	1560	903	175	14965	33	21	217	3	65	512	26	107	11	23/03/18
BDX20938	Pont de Valentinu	Ascu	33343,17	778	132314	768023	115	45021	1487	1320	155	16637	31	20	201	3	53	360	29	97	12	23/03/18
BDX20938	Pont de Valentinu	Ascu	39287,35	806	130782	768557	110	43868	1411	891	148	13257	31	20	202	3	57	432	25	103	10	23/03/18
BDX20938	Pont de Valentinu	Ascu	29002,6	2060	130781	769740	133	48794	1561	1288	187	15539	36	21	213	3	59	436	26	110	10	23/03/18
BDX20938	Pont de Valentinu	Ascu	30977,74	577	130417	774224	101	44837	1471	898	153	15519	30	20	200	3	55	380	24	103	11	23/03/18
BDX20938	Pont de Valentinu	Ascu	38678,63	1617	113541	774382	208	50412	1593	1096	187	17262	37	23	219	3	69	510	31	119	12	23/03/18
BDX20938	Pont de Valentinu	Ascu	29204,49	802	131810	775108	119	45406	1438	935	153	14139	31	20	203	3	60	432	24	102	9	23/03/18
BDX20938	Pont de Valentinu	Ascu	32889,91	1526	129692	775667	364	44592	1400	638	140	12230	32	21	210	3	56	408	22	100	9	23/03/18
BDX20938	Pont de Valentinu	Ascu	34874,3	1775	110547	794151	163	41790	1280	980	156	13399	31	20	192	2	57	431	27	113	10	23/03/18
BDX20939	Pont de Valentinu	Ascu	35984,88	600	137158	762202	114	43276	1547	1005	363	16602	14	23	164	4	152	647	34	108	4	23/03/18
BDX20939	Pont de Valentinu	Ascu	44219,27	633	132333	763636	679	41198	2053	471	154	13526	12	21	154	4	118	645	36	106	3	23/03/18
BDX20939	Pont de Valentinu	Ascu	32898,28	666	137907	767173	120	41175	2826	1112	293	14679	13	23	162	6	131	662	40	109	4	23/03/18
BDX20939	Pont de Valentinu	Ascu	39484,76	845	124339	776849	97	41246	2490	1324	269	12050	15	18	160	5	118	565	30	91	4	23/03/18
BDX20939	Pont de Valentinu	Ascu	32462,1	933	126829	781564	214	40464	2145	870	270	13219	15	21	160	5	125	574	32	93	4	23/03/18
BDX20940	Pont de Valentinu	Ascu	38041,11	12859	146620	691939	219	36642	3318	5550	800	63156	68	22	148	25	54	392	25	120	3	23/03/18
BDX20940	Pont de Valentinu	Ascu	34134,61	2527	133844	693696	160	39109	3746	8413	1033	82316	84	26	168	31	67	469	30	143	4	23/03/18
BDX20940	Pont de Valentinu	Ascu	31287,66	5336	134508	697283	388	37310	4063	7751	1008	80004	84	26	159	32	72	515	30	141	3	23/03/18
BDX20940	Pont de Valentinu	Ascu	34311,36	2388	130726	698421	235	37277	3874	9132	995	81585	87	27	140	33	75	509	28	151	5	23/03/18
BDX20940	Pont de Valentinu	Ascu	31837,5	4628	135504	705459	421	36054	3652	8408	896	72214	76	24	137	32	60	432	29	132	3	23/03/18
BDX20940	Pont de Valentinu	Ascu	29751,25	4796	134324	706428	382	38406	3800	6671	896	73603	76	24	152	30	58	435	25	140	3	23/03/18
BDX20940	Pont de Valentinu	Ascu	37064,32	10557	133559	707815	291	33042	3259	7909	771	64972	66	20	125	23	48	348	24	104	3	23/03/18
BDX20940	Pont de Valentinu	Ascu	33849,67	10837	135931	707966	518	30396	3268	9808	888	65772	68	21	108	26	54	351	24	112	3	23/03/18
BDX20940	Pont de Valentinu	Ascu	32826,68	11478	134740	708790	426	32916	3097	5261	851	68880	69	20	120	24	44	324	22	108	2	23/03/18
BDX20940	Pont de Valentinu	Ascu	34476,73	11473	136461	709052	562	33903	3280	5494	825	63700	65	20	125	25	50	355	23	108	2	23/03/18
BDX20942	Pont de Valentinu	Ascu	32522,88	1945	126248	759981	188	32944	1031	1881	571	39967	100	44	175	2	282	1965	70	79	5	23/03/18
BDX20942	Pont de Valentinu	Ascu	31575,84	1786	124252	761751	266	34217	1086	1830	567	40056	96	41	172	3	270	1870	68	86	5	23/03/18

BDX	Source	Region	Na2O	MgO	Al2O3	SiO2	P2O5	K2O	CaO	TiO2	MnO	Fe2O3	Zn	Ga	Rb	Sr	Y	Zr	Nb	Ba	Pb	Date
BDX20942	Pont de Valentinu	Ascu	33055,07	1423	122712	771893	213	31043	939	1489	467	34425	85	39	164	2	240	1668	63	78	4	23/03/18
BDX20942	Pont de Valentinu	Ascu	35715,05	1700	112049	774795	246	31602	1040	1698	537	38164	96	43	170	3	250	1729	65	93	4	23/03/18
BDX20942	Pont de Valentinu	Ascu	32064,43	1308	120852	775613	224	31506	968	1302	472	33553	79	35	144	3	219	1515	62	77	4	23/03/18
BDX20944	Plateau d'Aizu	Ascu	29390,09	756	140393	744012	626	59933	1843	1070	87	20957	24	22	228	5	71	417	31	120	16	21/04/19
BDX20944	Plateau d'Aizu	Ascu	46179,92	935	142060	744671	121	41475	1254	1467	37	20818	14	24	183	6	83	519	29	109	14	21/04/19
BDX20944	Plateau d'Aizu	Ascu	41322,71	1259	141254	747365	145	44185	1345	1180	36	21012	13	21	171	6	75	459	33	105	15	21/04/19
BDX20944	Plateau d'Aizu	Ascu	28491,99	1454	146170	751814	718	46216	1470	888	30	21642	12	24	180	6	109	610	32	117	16	21/04/19
BDX20944	Plateau d'Aizu	Ascu	39254,07	669	134695	759388	377	38793	1126	1273	39	23411	15	20	166	5	89	526	35	102	14	21/04/19
BDX20944	Plateau d'Aizu	Ascu	28135,96	714	138739	760615	144	45928	1416	987	72	22206	21	25	188	5	97	546	35	113	12	21/04/19
BDX20944	Plateau d'Aizu	Ascu	39425,73	658	136179	762215	675	38269	1116	1101	33	19506	14	20	147	6	70	418	30	103	13	21/04/19
BDX20944	Plateau d'Aizu	Ascu	39510,82	736	137404	764308	691	34193	978	1209	32	20059	15	21	141	5	82	468	30	105	13	21/04/19
BDX20945	Plateau d'Aizu	Ascu	30437,6	1784	137926	726278	741	76803	2713	1754	76	19751	29	27	541	2	180	784	46	115	12	10/04/19
BDX20945	Plateau d'Aizu	Ascu	32471,57	2266	143522	729091	414	68102	2479	991	52	19068	25	30	416	2	169	735	42	115	10	10/04/19
BDX20945	Plateau d'Aizu	Ascu	31646,77	869	140451	731163	122	71001	2513	1782	72	18753	26	28	463	2	180	771	40	108	11	10/04/19
BDX20945	Plateau d'Aizu	Ascu	35242,69	2058	136450	735531	140	63958	2403	2092	39	20451	24	32	437	2	179	790	47	115	11	10/04/19
BDX20945	Plateau d'Aizu	Ascu	35788,3	2150	132706	736654	391	68668	2321	1077	50	18537	25	29	462	2	175	794	48	112	10	10/04/19
BDX20945	Plateau d'Aizu	Ascu	29952,05	1462	137664	743628	463	63246	2511	1329	60	18279	22	27	407	2	141	653	39	103	9	10/04/19
BDX20945	Plateau d'Aizu	Ascu	28861,09	697	137069	743969	586	66686	2374	1346	55	16774	24	27	404	2	175	787	58	97	10	10/04/19
BDX20945	Plateau d'Aizu	Ascu	33954,18	1850	118113	750796	139	71020	2854	1306	52	18074	27	27	466	2	214	939	58	99	11	10/04/19
BDX20945	Plateau d'Aizu	Ascu	27412,75	794	139427	751974	117	58118	2950	929	49	16913	20	28	354	2	130	619	40	115	8	10/04/19
BDX20945	Plateau d'Aizu	Ascu	31540,96	1887	115208	755845	137	72138	2513	1444	84	17588	29	29	490	2	165	735	43	113	9	10/04/19
BDX20945	Plateau d'Aizu	Ascu	25253,75	1197	112751	757334	640	77155	2682	1135	65	20222	28	27	516	2	152	693	33	104	10	10/04/19
BDX20945	Plateau d'Aizu	Ascu	34914,26	1696	116592	760321	475	61990	2220	1391	40	18542	20	27	391	2	179	1029	57	106	10	10/04/19
BDX20945	Plateau d'Aizu	Ascu	34270,16	1692	116380	762243	120	62771	2633	1177	36	17133	24	28	386	2	180	756	43	115	9	10/04/19
BDX20948	Contrebas plateau de Staaznu	Ascu	33463,99	1020	129510	774956	96	27074	813	1714	199	29896	43	30	142	3	127	756	49	96	11	26/03/18
BDX20948	Contrebas plateau de Staaznu	Ascu	36901,07	2022	132402	775992	138	27099	863	1486	157	21131	26	37	154	6	240	1159	65	113	8	26/03/18
BDX20948	Contrebas plateau de Staaznu	Ascu	35658,51	1019	132568	783376	227	28855	833	1053	87	15525	17	26	130	4	83	383	52	98	6	26/03/18
BDX20948	Contrebas plateau de Staaznu	Ascu	35718,5	1876	116224	788185	134	39197	1327	877	90	14304	23	29	178	4	271	1372	59	122	11	26/03/18
BDX20948	Contrebas plateau de Staaznu	Ascu	31081,55	1949	117548	793674	137	37320	1128	951	144	14815	26	28	180	4	145	692	55	115	8	26/03/18
BDX20948	Contrebas plateau de Staaznu	Ascu	41759,03	2122	111547	815303	701	79668	300	772	77	19060	29	26	51	3	28	81	50	116	8	26/03/18
BDX20949	Contrebas plateau de Staaznu	Ascu	36115,32	737	148623	711548	611	72750	2655	2883	334	22462	71	24	417	15	54	509	31	152	9	26/03/18
BDX20949	Contrebas plateau de Staaznu	Ascu	36410,92	721	148803	714257	517	70910	2486	3393	320	20971	70	22	401	15	49	477	32	136	9	26/03/18
BDX20949	Contrebas plateau de Staaznu	Ascu	34537,88	670	140344	718840	580	76544	2809	2239	253	21918	75	23	429	17	53	487	21	151	9	26/03/18

BDX	Source	Region	Na2O	MgO	Al2O3	SiO2	P2O5	K2O	CaO	TiO2	MnO	Fe2O3	Zn	Ga	Rb	Sr	Y	Zr	Nb	Ba	Pb	Date
BDX20949	Contrebas plateau de Stazenn	Ascu	35842,11	668	140812	720555	602	76759	2910	2335	256	18119	67	23	416	15	44	404	24	141	8	26/03/18
BDX20949	Contrebas plateau de Stazenn	Ascu	32425,84	715	136405	729351	99	69777	2773	3605	339	23251	74	23	395	14	53	534	34	123	9	26/03/18
BDX20949	Contrebas plateau de Stazenn	Ascu	32011,44	704	135921	730106	651	77055	2759	1936	198	17580	67	22	416	14	42	346	24	139	8	26/03/18
BDX20949	Contrebas plateau de Stazenn	Ascu	32798,19	750	139215	730765	595	74584	2562	2127	189	15242	62	21	383	14	52	476	22	133	8	26/03/18
BDX20949	Contrebas plateau de Stazenn	Ascu	33308,13	1061	138811	731120	596	72107	2564	2222	173	17008	63	22	387	13	40	349	21	127	6	26/03/18
BDX20949	Contrebas plateau de Stazenn	Ascu	28920,49	1264	130303	738586	171	74007	2479	2170	256	20574	70	24	413	12	67	530	23	123	8	26/03/18
BDX20949	Contrebas plateau de Stazenn	Ascu	36450,45	747	125740	743293	415	70541	2389	1923	203	17184	64	22	381	13	45	406	23	150	9	26/03/18
BDX20949	Contrebas plateau de Stazenn	Ascu	29216	880	119690	748627	475	73601	2625	4850	272	18647	65	21	389	14	51	405	21	142	10	26/03/18
BDX20949	Contrebas plateau de Stazenn	Ascu	30264,87	851	120279	752638	481	73236	2615	1979	208	16370	61	21	381	15	47	376	21	147	9	26/03/18
BDX20950	Plateau d'Alzu	Ascu	27357,61	1044	133790	714681	705	82317	3050	2815	404	32935	47	25	434	19	30	153	23	153	15	05/04/19
BDX20950	Plateau d'Alzu	Ascu	26240,15	1254	138517	715301	464	80351	2883	2628	377	31088	48	25	425	18	29	175	25	138	14	05/04/19
BDX20950	Plateau d'Alzu	Ascu	21381,76	986	141553	720248	163	78795	2872	2835	405	29918	44	22	404	19	28	152	23	138	14	05/04/19
BDX20950	Plateau d'Alzu	Ascu	21313,29	767	134855	723179	278	82850	3114	2299	337	30070	47	24	445	20	32	187	28	140	14	05/04/19
BDX20950	Plateau d'Alzu	Ascu	22330,72	673	131306	723185	264	82722	3003	2920	409	32254	49	24	445	20	33	181	27	139	15	05/04/19
BDX20950	Plateau d'Alzu	Ascu	24549,44	2894	136168	729033	158	73945	2764	2372	338	26991	40	21	375	16	26	139	24	135	12	05/04/19
BDX20951	Plateau d'Alzu	Ascu	27300,74	1782	147281	698549	667	86305	3110	2483	392	31144	53	28	482	19	36	202	23	130	13	09/04/19
BDX20951	Plateau d'Alzu	Ascu	28065,16	2270	144410	705695	622	83478	2977	2457	293	28818	51	27	467	18	32	166	21	123	11	09/04/19
BDX20951	Plateau d'Alzu	Ascu	26980,83	1640	143722	707895	599	84931	3072	3020	337	26832	43	25	442	18	42	242	21	127	11	09/04/19
BDX20951	Plateau d'Alzu	Ascu	27233,54	3770	143075	709589	673	76324	2735	2261	369	33009	55	28	457	16	34	206	23	128	12	09/04/19
BDX20951	Plateau d'Alzu	Ascu	27490,54	9979	138779	709798	178	77113	2755	2322	371	30340	49	26	435	15	32	169	19	118	12	09/04/19
BDX20951	Plateau d'Alzu	Ascu	26661,45	1142	138372	714542	647	82681	3001	2540	300	29203	46	26	444	18	31	174	23	135	12	09/04/19
BDX20951	Plateau d'Alzu	Ascu	24057,67	1424	135937	714983	554	89108	3279	2312	304	27089	49	27	469	19	42	188	23	122	12	09/04/19
BDX20951	Plateau d'Alzu	Ascu	30082,33	1473	133952	718822	682	76222	2750	2427	347	32281	54	28	460	17	35	198	23	134	12	09/04/19
BDX20951	Plateau d'Alzu	Ascu	26579,25	4855	137638	723158	213	78458	2763	2018	263	23202	38	22	396	16	32	199	23	118	9	09/04/19
BDX20951	Plateau d'Alzu	Ascu	26085,05	1894	133868	723628	526	80644	2944	2066	322	27164	47	24	431	16	31	160	22	117	11	09/04/19
BDX20951	Plateau d'Alzu	Ascu	21099,62	1022	137084	724424	244	75602	2735	2829	419	33606	54	28	458	18	34	178	23	132	11	09/04/19
BDX20951	Plateau d'Alzu	Ascu	26824,54	1128	129967	725997	564	83678	3092	2233	286	25188	45	25	427	18	53	310	20	131	14	09/04/19
BDX20951	Plateau d'Alzu	Ascu	24926,47	1453	130580	728826	581	77903	2987	2381	330	29044	46	24	416	17	48	288	19	119	12	09/04/19
BDX20951	Plateau d'Alzu	Ascu	26782,55	1049	123794	735714	576	79098	2943	2231	314	26632	44	25	430	16	29	163	25	124	11	09/04/19
BDX20951	Plateau d'Alzu	Ascu	26093,82	2468	135967	738173	199	66980	2351	2693	257	24044	39	22	373	15	27	149	21	118	11	09/04/19
BDX20951	Plateau d'Alzu	Ascu	18484,05	704	120706	747516	413	77604	2884	2752	362	27914	46	26	435	18	29	153	25	118	11	09/04/19
BDX20951	Plateau d'Alzu	Ascu	20096,24	790	102830	795499	243	53579	2001	1115	223	22760	38	22	363	13	42	213	24	137	10	09/04/19
BDX20952	Fangu indéterminé	Fangu	40241,2	10343	146401	745596	291	19772	4617	1621	737	29536	69	28	104	56	184	238	28	130	7	26/03/18

BDX	Source	Region	Na2O	MgO	Al2O3	SiO2	P2O5	K2O	CaO	TiO2	MnO	Fe2O3	Zn	Ga	Rb	Sr	Y	Zr	Nb	Ba	Pb	Date
BDX20952	Fangu indéterminé	Fangu	46520,29	11103	138863	751380	677	19149	3231	985	625	26755	63	26	96	51	89	227	21	133	6	26/03/18
BDX20952	Fangu indéterminé	Fangu	37185,07	11073	142493	753377	695	22560	1010	1588	545	28771	66	26	111	43	68	229	26	129	4	26/03/18
BDX20952	Fangu indéterminé	Fangu	41539,68	12698	138174	753465	315	21240	1105	1651	552	28570	61	26	109	40	80	232	24	116	4	26/03/18
BDX20952	Fangu indéterminé	Fangu	40468,49	9810	143901	754341	392	19834	1516	1292	500	27243	60	27	100	50	81	223	23	132	5	26/03/18
BDX20952	Fangu indéterminé	Fangu	41329,38	9865	144147	756252	693	19992	2204	1432	422	22966	59	25	102	49	76	225	25	131	5	26/03/18
BDX20952	Fangu indéterminé	Fangu	45815,41	10420	117750	785868	255	19834	876	1214	294	17070	49	21	97	41	51	187	22	132	4	26/03/18
BDX20952	Fangu indéterminé	Fangu	41418,74	10072	121565	786989	210	21025	883	1278	281	15715	47	20	103	37	48	167	22	115	4	26/03/18
BDX20952	Fangu indéterminé	Fangu	43771,74	11339	114352	787725	205	19644	1638	1345	327	19067	52	21	98	39	47	175	23	124	7	26/03/18
BDX20952	Fangu indéterminé	Fangu	43410,48	9788	121453	787838	206	20391	962	1193	269	13925	40	19	99	40	48	173	21	121	4	26/03/18
BDX21181	Plage Ajaccio	Ajaccio	36928,19	849	136606	741803	145	42438	17036	1842	497	19860	46	18	220	174	33	240	23	1218	25	30/03/18
BDX21181	Plage Ajaccio	Ajaccio	41258,94	1136	141371	742760	155	35565	15161	1574	460	18704	43	16	182	163	30	218	20	1162	23	30/03/18
BDX21181	Plage Ajaccio	Ajaccio	38986,88	1183	138241	744744	149	38125	14550	1826	533	19793	50	17	200	150	29	233	20	1150	19	30/03/18
BDX21181	Plage Ajaccio	Ajaccio	38234,98	1197	137068	746439	121	39520	14151	1774	475	19110	43	16	205	152	29	253	20	1169	22	30/03/18
BDX21181	Plage Ajaccio	Ajaccio	38395,98	941	134625	747528	135	38150	15368	1870	543	20492	54	18	199	179	31	235	21	1194	22	30/03/18
BDX21181	Plage Ajaccio	Ajaccio	34200,43	792	129833	749895	102	46753	14223	1839	471	19659	44	16	249	166	33	261	23	1411	30	30/03/18
BDX21181	Plage Ajaccio	Ajaccio	35396,44	1019	133303	750834	126	42425	12995	1750	490	19615	45	14	218	146	29	234	20	1316	25	30/03/18
BDX21182	Plage Ajaccio	Ajaccio	39104,66	1059	137861	746167	124	38065	15060	1658	470	18491	44	17	190	165	30	221	19	1235	21	30/03/18
BDX21182	Plage Ajaccio	Ajaccio	38547,89	1179	137284	746557	102	38449	14541	2110	529	18853	42	16	195	155	30	224	20	1143	24	30/03/18
BDX21182	Plage Ajaccio	Ajaccio	36447,47	992	136993	746804	133	38691	13983	1788	562	21602	56	17	207	153	34	277	20	1226	16	30/03/18
BDX21182	Plage Ajaccio	Ajaccio	39078,97	1127	136395	747859	110	37146	14774	1742	517	19363	51	16	191	157	32	244	20	1158	21	30/03/18
BDX21182	Plage Ajaccio	Ajaccio	37592,08	1116	133345	751035	117	38827	14368	1759	523	19448	51	15	197	156	31	215	20	1165	19	30/03/18
BDX21182	Plage Ajaccio	Ajaccio	32835,88	583	134437	754018	116	40447	13822	1878	519	19335	51	17	209	151	33	242	20	1269	16	30/03/18
BDX21310	Passitini Calavu	Sartenais	28470,2	885	142639	738494	112	68220	6292	1331	346	12281	21	20	326	38	39	157	19	300	11	20/07/18
BDX21310	Passitini Calavu	Sartenais	28621,95	1062	143249	741205	119	65494	5969	1384	333	11629	19	20	315	37	36	154	18	327	10	20/07/18
BDX21310	Passitini Calavu	Sartenais	29061,09	1145	144235	741857	113	62195	5998	1324	340	12753	19	20	298	38	40	159	19	376	10	20/07/18
BDX21310	Passitini Calavu	Sartenais	27134,17	597	140709	742447	690	67784	5966	1438	345	12003	18	19	307	38	38	159	20	277	10	20/07/18
BDX21310	Passitini Calavu	Sartenais	27403,56	723	142186	744495	112	65682	5592	1259	314	11248	25	19	309	36	34	154	19	379	10	20/07/18
BDX21310	Passitini Calavu	Sartenais	36648,96	704	120851	765520	272	55948	6043	1354	325	11555	16	18	281	35	36	143	17	223	9	20/07/18
BDX21311	Passitini Calavu	Sartenais	30317,45	1238	152317	736141	122	60327	6457	1402	288	10584	13	17	280	39	36	147	24	236	14	19/07/18
BDX21311	Passitini Calavu	Sartenais	29264,68	695	150062	738487	119	63034	6576	1217	275	9466	13	18	276	38	36	143	21	248	11	19/07/18
BDX21311	Passitini Calavu	Sartenais	31780,54	1468	153162	740694	127	54601	6592	1115	284	9405	13	17	260	38	41	135	23	236	10	19/07/18
BDX21311	Passitini Calavu	Sartenais	30289,4	1211	152285	742698	122	52898	6510	1241	318	11586	16	18	264	39	39	146	24	280	15	19/07/18
BDX21311	Passitini Calavu	Sartenais	31052,44	1793	151416	744026	294	53458	6296	1009	263	9608	14	17	255	38	39	140	22	249	11	19/07/18

BDX	Source	Region	Na2O	MgO	Al2O3	SiO2	P2O5	K2O	CaO	TiO2	MnO	Fe2O3	Zn	Ga	Rb	Sr	Y	Zr	Nb	Ba	Pb	Date
BDX21311	Pastini Calavu	Sartenais	31376,29	1622	145956	744151	258	55013	6868	1270	332	12296	17	19	265	39	38	153	20	290	15	19/07/18
BDX21311	Pastini Calavu	Sartenais	27522,33	667	145367	745216	114	62905	6294	1109	278	9634	42	18	297	38	35	143	21	289	12	19/07/18
BDX21311	Pastini Calavu	Sartenais	30035,97	739	150123	746351	116	54179	6334	1219	290	9783	12	17	259	37	36	138	22	297	11	19/07/18
BDX21312	Pastini Calavu	Sartenais	33976,14	646	153007	745876	265	50035	4682	1355	231	9234	10	15	253	33	29	125	23	196	8	20/07/18
BDX21312	Pastini Calavu	Sartenais	33121,94	891	151048	747467	243	50069	4815	1430	259	9929	11	16	266	32	26	126	21	222	7	20/07/18
BDX21312	Pastini Calavu	Sartenais	35960,96	1434	132086	764727	111	48238	5204	1288	218	9968	10	16	268	34	29	131	21	246	9	20/07/18
BDX21313	Pastini Calavu	Sartenais	33513,82	808	151624	731441	122	64868	3855	1359	253	11377	15	16	294	33	35	138	24	211	14	19/06/18
BDX21313	Pastini Calavu	Sartenais	30381,24	1469	155247	745255	192	50315	4497	1264	275	10361	16	19	224	38	34	141	20	238	14	19/06/18
BDX21313	Pastini Calavu	Sartenais	34670,07	647	143143	746673	108	57712	4332	1213	251	10467	15	17	273	34	37	142	21	232	13	19/06/18
BDX21313	Pastini Calavu	Sartenais	35707,31	1015	143970	748371	130	54490	4995	1789	284	8406	13	20	224	45	42	173	24	292	12	19/06/18
BDX21313	Pastini Calavu	Sartenais	29651,46	1171	137293	756905	104	47849	4478	1338	387	20020	19	18	221	37	31	129	22	314	13	19/06/18
BDX21313	Pastini Calavu	Sartenais	32924,56	1122	132695	767474	119	50251	3863	1417	253	9155	12	15	218	32	32	124	22	257	13	19/06/18
BDX21314	Pastini Calavu	Sartenais	30386,32	1938	148730	745471	123	55681	5746	1065	303	9742	15	18	282	36	34	145	20	257	7	19/06/18
BDX21314	Pastini Calavu	Sartenais	29421,53	1924	147078	746648	124	56165	5880	1202	320	10417	13	18	295	36	34	146	20	251	7	19/06/18
BDX21314	Pastini Calavu	Sartenais	27710,65	1868	140632	761129	256	53032	4986	910	266	8399	13	17	260	33	31	134	19	297	7	19/06/18
BDX21314	Pastini Calavu	Sartenais	34912,52	673	121232	780547	288	47192	5085	984	270	8078	12	16	232	32	31	130	17	263	7	19/06/18
BDX21315	Pastini Calavu	Sartenais	41916,4	591	126380	755097	99	62045	7044	971	151	5057	9	16	212	43	35	124	17	180	12	15/05/18
BDX21315	Pastini Calavu	Sartenais	27763,8	792	141092	757054	112	58097	6420	896	211	6928	11	14	210	43	35	128	21	162	12	15/05/18
BDX21315	Pastini Calavu	Sartenais	30016,24	619	140180	765361	107	48271	6050	722	252	7824	12	15	185	40	33	120	21	161	12	15/05/18
BDX21315	Pastini Calavu	Sartenais	31489,34	827	122589	772059	112	57470	6812	1143	199	6629	13	16	209	42	33	126	15	204	13	15/05/18
BDX21315	Pastini Calavu	Sartenais	26630,71	2000	120637	780959	165	53954	6929	958	202	6907	12	15	198	43	34	132	17	194	13	15/05/18
BDX21316	Pastini Calavu	Sartenais	31570,11	1965	149682	749630	123	51804	4995	913	266	8375	13	15	262	30	24	120	23	183	8	12/06/18
BDX21316	Pastini Calavu	Sartenais	39121,52	660	141971	754425	109	47336	5455	1125	272	8849	14	16	237	32	31	125	18	196	8	12/06/18
BDX21316	Pastini Calavu	Sartenais	27225,98	615	142100	758533	103	51584	6058	1471	320	11245	21	19	270	36	33	141	19	198	8	12/06/18
BDX21316	Pastini Calavu	Sartenais	25814,79	697	120006	789386	187	47620	5091	1317	285	8888	15	15	247	32	27	124	19	221	9	12/06/18
BDX21317	Pastini Calavu	Sartenais	43028,58	721	137776	748803	109	55234	4959	1234	205	7186	10	17	271	35	27	135	19	220	14	15/05/18
BDX21317	Pastini Calavu	Sartenais	29700,1	1821	144230	749546	375	59087	4575	934	228	8660	9	16	275	36	22	129	22	225	9	15/05/18
BDX21317	Pastini Calavu	Sartenais	43712,7	578	135673	750708	105	55550	4764	999	196	6942	9	16	272	34	24	132	17	258	10	15/05/18
BDX21317	Pastini Calavu	Sartenais	27314,97	1264	140683	757498	695	57041	4824	1241	217	8398	10	18	294	37	24	141	19	272	10	15/05/18
BDX21317	Pastini Calavu	Sartenais	27785,14	602	139644	758225	117	58741	4550	1284	210	8060	9	16	287	36	25	136	18	245	10	15/05/18
BDX21317	Pastini Calavu	Sartenais	26926,64	810	137124	760643	106	57307	4596	1044	266	10384	12	17	291	37	25	142	18	244	10	15/05/18
BDX21318	Pastini Calavu	Sartenais	34158,73	1771	150587	731638	131	67645	6767	867	131	5518	9	17	266	55	34	144	23	228	10	12/06/18
BDX21318	Pastini Calavu	Sartenais	33148,09	949	147458	733015	128	69735	7363	1095	163	6113	9	18	259	54	36	144	20	283	10	12/06/18

BDX	Source	Region	Na2O	MgO	Al2O3	SiO2	P2O5	K2O	CaO	TiO2	MnO	Fe2O3	Zn	Ga	Rb	Sr	Y	Zr	Nb	Ba	Pb	Date
BDX21318	Pastini Calavu	Sartenais	30690,73	1293	147139	734147	124	70536	8064	1201	135	5824	9	19	283	57	37	155	20	258	11	12/06/18
BDX21318	Pastini Calavu	Sartenais	29344,66	634	142577	735416	702	75643	7787	1098	135	5797	8	17	291	55	34	148	20	280	12	12/06/18
BDX21318	Pastini Calavu	Sartenais	31445,82	869	142267	741499	628	66845	7157	1226	206	7086	10	17	240	51	39	140	19	246	9	12/06/18
BDX21318	Pastini Calavu	Sartenais	26167,02	928	125368	761193	180	69416	6973	1132	217	7640	11	18	275	51	31	137	19	232	12	12/06/18
BDX21319	Pastini Calavu	Sartenais	39747,69	620	123376	760655	484	57324	6920	932	234	8936	15	17	253	39	32	135	20	246	14	15/05/18
BDX21319	Pastini Calavu	Sartenais	40122,37	663	123919	762800	252	56459	6138	770	215	7974	13	15	217	35	32	122	20	220	13	15/05/18
BDX21319	Pastini Calavu	Sartenais	30586,54	910	128632	763803	94	59417	6574	1080	212	8021	12	17	216	37	32	127	16	200	14	15/05/18
BDX21319	Pastini Calavu	Sartenais	33905,92	583	124258	767003	144	55966	6299	1234	262	9683	13	15	240	35	33	128	16	166	14	15/05/18
BDX21319	Pastini Calavu	Sartenais	34906,41	797	123033	768004	96	56914	6259	929	218	8103	16	15	240	36	31	124	19	245	14	15/05/18
BDX21319	Pastini Calavu	Sartenais	34370,01	721	124555	770617	228	52821	6203	864	212	8716	14	15	221	35	33	124	19	218	13	15/05/18
BDX21319	Pastini Calavu	Sartenais	31369,11	749	121750	777064	250	51449	6713	1141	230	8638	15	16	222	36	34	129	17	168	12	15/05/18
BDX21320	Pastini Calavu	Sartenais	29344,07	738	142370	755527	497	57730	4248	951	192	7712	9	14	264	34	21	121	21	201	6	15/05/18
BDX21320	Pastini Calavu	Sartenais	38232,62	620	134420	763318	333	49665	4190	788	209	7551	9	14	246	35	21	121	17	205	6	15/05/18
BDX21320	Pastini Calavu	Sartenais	28772,06	604	133721	766116	598	56515	4662	1218	200	6869	8	14	266	36	21	127	18	228	6	15/05/18
BDX21320	Pastini Calavu	Sartenais	27630,65	1180	139109	774752	396	45361	4141	901	147	5715	8	14	246	33	19	114	20	206	6	15/05/18
BDX21320	Pastini Calavu	Sartenais	40745,37	628	118999	775214	327	49518	4753	1281	211	7640	9	17	242	36	22	131	18	203	7	15/05/18
BDX21321	Pastini Calavu	Sartenais	29479,5	675	152307	747656	131	52575	5407	1126	267	9651	17	15	258	37	35	127	23	202	11	14/05/18
BDX21321	Pastini Calavu	Sartenais	35775,27	1254	134737	756418	97	55379	5286	1051	230	9086	11	16	266	37	33	128	18	169	10	14/05/18
BDX21321	Pastini Calavu	Sartenais	37585,23	809	129902	762001	110	54007	5620	387	236	8544	11	17	268	37	35	129	21	271	11	14/05/18
BDX21321	Pastini Calavu	Sartenais	31647,94	1039	130267	771136	97	48916	5304	1123	248	9570	12	16	250	36	33	127	18	147	14	14/05/18
BDX22109	Gravonna	Gravonna	33600,41	1675	140285	750614	112	43833	3723	3352	560	20889	29	18	155	61	24	87	22	952	8	30/08/18
BDX22109	Gravonna	Gravonna	31960,4	851	144298	751446	107	47397	3265	2119	391	16714	20	18	168	65	32	124	23	992	10	30/08/18
BDX22109	Gravonna	Gravonna	39970,27	661	142497	757527	685	45741	2980	0	287	8448	17	17	157	57	26	85	20	817	8	30/08/18
BDX22109	Gravonna	Gravonna	34320,23	637	143694	757841	370	47969	3351	0	315	10188	15	17	161	60	27	101	22	903	9	30/08/18
BDX22109	Gravonna	Gravonna	29080,4	2148	145275	758763	710	47455	3354	772	326	10541	17	18	159	64	24	99	21	1166	8	30/08/18
BDX22109	Gravonna	Gravonna	28539,08	839	146252	760264	578	49669	3517	0	279	8752	15	18	171	65	26	87	22	900	9	30/08/18
BDX22109	Gravonna	Gravonna	27344,15	2013	141682	766873	681	48226	2987	0	272	8384	13	15	165	57	29	109	20	1121	8	30/08/18
BDX22109	Gravonna	Gravonna	33179,63	770	136470	769464	634	44534	3080	820	292	9332	16	15	149	54	20	81	20	1062	8	30/08/18
BDX22109	Gravonna	Gravonna	34185,79	1479	119607	779381	649	44908	2677	2050	349	13451	20	17	155	54	25	100	21	864	8	30/08/18
BDX22109	Gravonna	Gravonna	36856,87	1015	121543	785938	191	41368	2953	182	273	8488	16	15	136	54	21	98	19	827	7	30/08/18
BDX22110	Gravonna	Gravonna	42145,84	1243	151582	744352	761	34323	5829	2474	240	15957	36	19	88	75	25	149	22	676	3	03/09/18
BDX22110	Gravonna	Gravonna	42716,96	1031	147921	748777	697	40097	5384	1501	208	10665	33	17	105	61	23	97	20	644	3	03/09/18
BDX22110	Gravonna	Gravonna	31445,51	1793	146042	756733	196	38284	8247	1559	284	13843	32	16	90	83	53	108	22	1166	3	03/09/18

BDX	Source	Region	Na2O	MgO	Al2O3	SiO2	P2O5	K2O	CaO	TiO2	MnO	Fe2O3	Zn	Ga	Rb	Sr	Y	Zr	Nb	Ba	Pb	Date
BDX22110	Gravonna	Gravonna	30088,46	2206	150825	758140	152	40136	6020	0	153	11366	24	18	101	81	24	104	23	533	3	03/09/18
BDX22110	Gravonna	Gravonna	28783,62	1825	149507	761502	132	38557	5652	1189	240	11582	38	19	99	65	33	107	21	646	3	03/09/18
BDX22110	Gravonna	Gravonna	35057,31	1014	141698	762426	213	36932	7788	1808	291	11636	41	18	90	69	36	102	19	758	3	03/09/18
BDX22110	Gravonna	Gravonna	35700,27	1994	140874	766930	553	39741	4977	226	113	7844	20	16	99	57	24	87	19	723	3	03/09/18
BDX22110	Gravonna	Gravonna	37808,16	744	142860	769187	710	31734	4582	641	215	10634	31	16	73	59	20	96	19	569	2	03/09/18
BDX22110	Gravonna	Gravonna	39704,42	766	128383	782841	658	32978	4605	0	135	9160	21	16	79	54	19	92	19	466	2	03/09/18
BDX22111	Gravonna	Gravonna	39560,48	1589	143045	755301	106	46598	5383	0	272	7450	39	24	295	5	66	102	25	121	20	10/09/18
BDX22111	Gravonna	Gravonna	35561,74	654	143097	760854	135	45645	5336	0	291	7757	37	23	271	4	63	100	30	123	18	10/09/18
BDX22111	Gravonna	Gravonna	35310,5	1161	144250	762551	128	42361	5279	0	295	7979	42	23	275	6	72	103	30	114	21	10/09/18
BDX22111	Gravonna	Gravonna	34506,61	1547	144829	762823	127	41730	5428	0	295	8021	40	23	269	5	68	116	30	121	20	10/09/18
BDX22111	Gravonna	Gravonna	35158,64	1800	144516	764917	685	38670	5433	0	291	7870	39	24	261	3	67	96	29	123	19	10/09/18
BDX22111	Gravonna	Gravonna	34163,5	973	141070	765523	693	44031	5162	0	272	7422	38	22	288	4	66	106	27	118	20	10/09/18
BDX22111	Gravonna	Gravonna	36294,94	699	129574	777145	660	41788	5202	0	286	7676	41	22	267	6	67	116	24	111	21	10/09/18
BDX22111	Gravonna	Gravonna	37447,91	591	130418	778328	653	39156	4848	0	270	7686	35	21	243	4	53	94	28	111	14	10/09/18
BDX22111	Gravonna	Gravonna	39953,08	636	123906	779587	688	41388	5196	0	269	7738	37	22	253	5	64	93	30	117	19	10/09/18
BDX22111 alt	Gravonna	Gravonna	39820,55	2232	143971	746871	111	37635	16431	0	592	11519	62	28	243	110	83	106	28	122	36	10/09/18
BDX22111 alt	Gravonna	Gravonna	38272,1	1164	142260	753168	664	45862	8644	0	263	8943	43	24	291	67	81	91	28	116	20	10/09/18
BDX22111 alt	Gravonna	Gravonna	35726,83	1203	141774	766355	719	36287	7267	0	529	9344	148	23	234	55	68	94	27	113	34	10/09/18
BDX22111 alt	Gravonna	Gravonna	34091,99	920	141336	768901	584	42387	3310	0	206	7596	53	22	272	7	37	88	29	127	32	10/09/18
BDX22112	Fangu Perticatu	Fangu	46671,33	714	147893	734259	130	52583	2324	1300	89	13019	21	16	224	47	31	151	20	493	15	16/11/18
BDX22112	Fangu Perticatu	Fangu	46412,13	667	144156	737793	133	55751	2184	0	62	11771	18	15	222	44	27	156	19	556	14	16/11/18
BDX22112	Fangu Perticatu	Fangu	42113,52	744	145226	741460	112	51367	2338	815	254	14419	30	15	222	45	34	186	18	588	14	16/11/18
BDX22112	Fangu Perticatu	Fangu	35071,48	725	146059	751455	114	50221	3132	631	106	11476	23	16	216	47	28	158	20	489	14	16/11/18
BDX22112	Fangu Perticatu	Fangu	35135,87	671	142079	752694	128	54062	2319	0	79	11496	18	14	217	47	33	141	21	825	19	16/11/18
BDX22112	Fangu Perticatu	Fangu	35663,37	637	142453	754687	675	50495	2073	0	61	12141	15	12	209	43	29	160	18	615	13	16/11/18
BDX22112	Fangu Perticatu	Fangu	35214,57	712	128801	764448	623	53196	2303	858	50	12669	18	16	222	45	31	170	19	591	13	16/11/18
BDX22112	Fangu Perticatu	Fangu	36275,01	796	129040	765214	642	51225	2227	124	60	12844	20	15	218	45	31	147	21	1043	13	16/11/18
BDX22113	Fangu	Fangu	34944,68	783	153140	716254	164	50783	15027	3122	503	23990	68	20	225	80	44	248	28	554	22	03/09/18
BDX22113	Fangu	Fangu	38225,9	1800	137875	722723	307	49975	23800	1478	578	21416	61	19	227	76	35	149	24	1219	14	03/09/18
BDX22113	Fangu	Fangu	34371,6	982	144854	729117	111	46964	20193	2330	481	19414	48	17	216	79	40	159	19	588	16	03/09/18
BDX22113	Fangu	Fangu	31411,74	811	149464	734089	125	50419	10219	1634	407	20247	50	17	239	77	42	174	22	536	16	03/09/18
BDX22113	Fangu	Fangu	35505,02	1358	132379	734898	593	58118	12046	1417	417	21647	53	19	250	75	38	190	23	952	21	03/09/18
BDX22113	Fangu	Fangu	41963,68	1627	136671	735126	144	42851	15682	3686	395	20856	47	15	170	84	36	162	19	430	33	03/09/18

BDX	Source	Region	Na2O	MgO	Al2O3	SiO2	P2O5	K2O	CaO	TiO2	MnO	Fe2O3	Zn	Ga	Rb	Sr	Y	Zr	Nb	Ba	Pb	Date
BDX22113	Fangu	Fangu	26356,04	854	137280	735378	655	45125	20945	626	880	30663	72	17	208	78	40	180	23	605	15	03/09/18
BDX22113	Fangu	Fangu	28556,49	733	149931	741530	740	49144	7137	1350	393	19397	52	17	214	80	37	178	22	472	15	03/09/18
BDX22113	Fangu	Fangu	28683,16	1030	138634	747871	598	48809	12713	928	391	18988	47	16	216	72	40	223	21	706	15	03/09/18
BDX22113	Fangu	Fangu	33593,41	936	142144	755922	703	43633	3521	1484	324	16793	45	14	170	75	34	145	19	422	23	03/09/18
BDX22113 alt	Fangu	Fangu	27064,19	1737	139489	744734	162	58901	3793	4884	378	17241	46	20	262	97	27	127	19	998	21	03/09/18
BDX22113 alt	Fangu	Fangu	42363,99	1529	133609	745526	288	56603	3284	3633	297	11971	36	22	289	95	22	107	21	289	13	03/09/18
BDX22113 alt	Fangu	Fangu	32371,49	1943	129145	756670	153	58475	3611	3320	293	12837	64	27	321	87	30	160	19	461	14	03/09/18
BDX22114	Fangu	Fangu	34205,15	1369	151253	740262	717	50820	3572	1366	338	15185	31	15	214	57	35	175	20	363	6	04/09/18
BDX22114	Fangu	Fangu	39830,18	1265	147406	741322	130	47049	5864	1334	336	14603	29	15	198	52	35	167	20	340	5	04/09/18
BDX22114	Fangu	Fangu	45298,54	922	145363	742468	612	47141	4104	0	311	12957	26	15	196	49	30	158	18	325	5	04/09/18
BDX22114	Fangu	Fangu	30357,22	2467	151408	742573	160	50650	3828	1097	350	16135	31	15	216	56	36	163	21	427	6	04/09/18
BDX22114	Fangu	Fangu	30072,05	2282	152903	745127	161	49882	4250	0	327	14067	27	16	211	54	33	174	23	386	6	04/09/18
BDX22114	Fangu	Fangu	41704,93	2088	140606	745374	578	44343	11881	0	318	12297	25	14	185	49	33	148	17	334	5	04/09/18
BDX22114	Fangu	Fangu	31876,68	2314	143128	746352	134	44820	15373	1224	404	13435	30	17	208	59	36	181	22	382	7	04/09/18
BDX22114	Fangu	Fangu	38948,97	661	143996	747745	119	45990	5722	2696	306	12949	26	14	195	50	38	147	18	372	5	04/09/18
BDX22114	Fangu	Fangu	35089,2	608	141524	759021	656	46259	3680	0	285	12074	24	14	188	48	29	141	21	333	6	04/09/18
BDX22114	Fangu	Fangu	34064,27	637	141812	759570	669	46133	3674	0	289	12280	24	13	191	48	34	162	17	377	5	04/09/18
BDX22114	Fangu	Fangu	27978,83	2083	131564	769736	132	46102	5920	1273	321	13954	27	14	191	50	38	286	19	306	6	04/09/18
BDX22114	Fangu	Fangu	29055,47	2000	132050	771481	151	47120	3023	0	316	13972	27	15	197	49	38	172	20	307	5	04/09/18
BDX22115	Fangu	Fangu	38652,86	752	148096	730793	732	48756	11666	610	764	17827	46	20	249	50	41	469	21	420	36	11/09/18
BDX22115	Fangu	Fangu	35247,29	1432	150529	736038	652	53594	2595	1518	276	17167	43	17	243	46	28	162	22	376	13	11/09/18
BDX22115	Fangu	Fangu	32441,35	902	146515	749795	125	49398	2874	832	295	15888	43	14	211	46	26	147	22	412	14	11/09/18
BDX22115	Fangu	Fangu	39155,09	640	141710	752870	601	47693	2434	0	234	13540	33	13	199	41	26	180	21	595	14	11/09/18
BDX22115	Fangu	Fangu	37208,54	666	142120	753051	712	46619	2661	0	223	15777	35	16	216	46	29	149	22	436	14	11/09/18
BDX22115	Fangu	Fangu	31474,08	677	143550	756623	128	49239	2432	0	257	14692	37	15	208	43	25	153	22	412	12	11/09/18
BDX22115	Fangu	Fangu	35747,19	2076	131075	759466	552	50594	2695	656	280	15784	44	17	236	48	30	180	21	461	39	11/09/18
BDX22115	Fangu	Fangu	41137,8	654	136764	759857	666	42669	2104	698	256	14396	36	14	180	40	23	125	19	353	10	11/09/18
BDX22115	Fangu	Fangu	33125,25	809	132857	762861	663	46318	5177	1493	304	15396	42	14	196	42	37	160	19	475	11	11/09/18
BDX22115	Fangu	Fangu	31495,23	1895	130559	763427	184	49663	3015	833	297	17658	44	15	214	45	30	156	20	426	23	11/09/18
BDX22115	Fangu	Fangu	31133,6	1971	127998	764308	445	49862	3457	2068	276	17438	40	16	222	45	31	158	21	492	19	11/09/18
BDX22115	Fangu	Fangu	34882,01	917	124720	768822	669	47428	2336	448	286	18463	44	16	207	43	30	158	22	498	12	11/09/18
BDX22115	Fangu	Fangu	32099,79	1724	125646	768867	402	51221	2613	0	278	16117	38	13	216	46	31	244	21	403	21	11/09/18
BDX22116	Fangu	Fangu	30252,77	1042	127851	768169	92	43589	1434	1234	236	24717	62	30	265	2	115	761	50	89	8	06/09/18

BDX	Source	Region	Na2O	MgO	Al2O3	SiO2	P2O5	K2O	CaO	TiO2	MnO	Fe2O3	Zn	Ga	Rb	Sr	Y	Zr	Nb	Ba	Pb	Date
BDX22116	Fangu	Fangu	31396,39	899	129006	769199	100	43227	1420	1150	216	21729	55	32	257	3	141	1003	63	95	8	06/09/18
BDX22116	Fangu	Fangu	36621,71	1386	122651	770719	528	40508	1272	1396	293	23235	64	30	241	3	103	800	50	92	8	06/09/18
BDX22116	Fangu	Fangu	33053,19	693	130371	771388	103	40175	1251	1185	146	20255	36	32	243	2	107	802	57	93	7	06/09/18
BDX22116	Fangu	Fangu	35383,1	676	132217	771941	111	36320	1060	1421	125	19721	35	32	214	2	68	537	33	97	7	06/09/18
BDX22116	Fangu	Fangu	32659,4	948	127340	773633	91	39408	1193	1393	239	21884	58	30	231	2	86	658	47	94	7	06/09/18
BDX22117	Fangu	Fangu	27966,16	2146	139675	745996	111	59346	1885	1052	22	20143	38	28	356	2	173	887	59	101	14	03/12/18
BDX22117	Fangu	Fangu	28715,35	1367	141546	747501	113	56442	6311	1309	48	15156	37	29	365	2	118	772	54	101	15	03/12/18
BDX22117	Fangu	Fangu	38013,99	673	137310	751010	115	42609	3039	1151	214	23936	67	33	273	2	193	1191	57	91	21	03/12/18
BDX22117	Fangu	Fangu	28754,24	1714	139818	752434	109	52362	1739	1236	56	19112	57	31	339	2	326	1709	66	102	34	03/12/18
BDX22117	Fangu	Fangu	29036,84	2183	139837	752531	113	49952	1643	1377	30	21672	45	29	336	2	145	882	66	105	15	03/12/18
BDX22117	Fangu	Fangu	29948,91	2264	143244	752984	126	47530	1485	985	44	19942	49	31	309	2	122	755	55	111	13	03/12/18
BDX22117	Fangu	Fangu	36523,84	637	135971	759124	101	40697	1222	1191	73	22878	63	33	263	2	172	880	60	93	16	03/12/18
BDX22117	Fangu	Fangu	33187,41	642	136728	760910	430	42892	1546	1248	91	20790	66	29	268	3	159	850	56	92	14	03/12/18
BDX22117	Fangu	Fangu	33254,24	686	136853	764518	103	41292	1196	1160	95	19332	67	30	253	2	165	834	51	97	14	03/12/18
BDX22117	Fangu	Fangu	34421	597	136382	764552	491	39790	1159	1267	80	19774	66	30	252	2	157	824	50	90	13	03/12/18
BDX22117	Fangu	Fangu	27457,04	1117	135976	765460	103	47495	1499	1163	85	17966	67	30	293	1	159	964	53	93	17	03/12/18
BDX22117	Fangu	Fangu	34010,88	669	131556	766713	610	44104	1386	957	168	18279	73	28	268	2	156	853	60	95	13	03/12/18
BDX22117	Fangu	Fangu	27284,31	2072	133147	770793	329	43671	1374	1216	40	18828	44	24	285	2	119	617	50	90	14	03/12/18
BDX22117	Fangu	Fangu	33482,96	608	131827	775511	100	36160	1029	1357	44	18290	62	29	216	2	166	947	58	98	13	03/12/18
BDX22119	Fangu	Fangu	43294,31	695	136722	742234	105	31802	946	3029	484	39199	117	33	133	1	183	878	38	105	3	12/09/18
BDX22119	Fangu	Fangu	36808,94	750	136746	745786	99	32975	969	2463	504	41463	116	32	136	2	187	823	35	101	4	12/09/18
BDX22119	Fangu	Fangu	32513,98	1047	125312	747142	150	38221	1193	2998	550	49145	133	36	167	2	227	999	48	113	4	12/09/18
BDX22119	Fangu	Fangu	34150,26	2602	127168	749077	149	34885	1102	2874	550	45609	142	39	157	2	256	1070	46	120	3	12/09/18
BDX22119	Fangu	Fangu	35310,76	2566	123384	750870	140	36497	1123	2823	550	44934	138	38	159	3	231	1055	44	129	4	12/09/18
BDX22119	Fangu	Fangu	33344,27	1470	130828	752451	93	28332	908	2796	615	47708	125	32	123	1	208	840	29	94	3	12/09/18
BDX22119	Fangu	Fangu	32882,42	1651	122814	753784	136	34284	1059	3495	581	47471	142	40	155	2	245	1092	48	116	3	12/09/18
BDX22119	Fangu	Fangu	34231,59	1045	133843	754632	100	31547	927	2441	535	39260	121	33	130	1	181	837	35	100	3	12/09/18
BDX22119	Fangu	Fangu	32480,21	1192	130704	755757	94	29311	888	2551	591	45100	118	32	124	2	166	757	35	96	3	12/09/18

BDX	Source	Region	Na2O	MgO	Al2O3	SiO2	P2O5	K2O	CaO	TiO2	MnO	Fe2O3	Zn	Ga	Rb	Sr	Y	Zr	Nb	Ba	Pb	Date
BDX22119	Fangu	Fangu	28475,42	681	127901	757893	113	33586	1028	2424	534	45727	126	35	145	2	232	951	37	108	1	12/09/18
BDX22119	Fangu	Fangu	34580,78	701	131353	759262	183	29983	912	2200	485	38956	110	31	126	2	169	818	31	97	3	12/09/18
BDX22119	Fangu	Fangu	34218,08	2373	116445	759423	188	34864	1050	2973	562	46075	133	36	155	2	247	1077	53	124	3	12/09/18
BDX22119	Fangu	Fangu	32010,73	2160	105469	778199	144	33496	1036	2771	546	42563	126	35	145	2	210	941	37	106	3	12/09/18
BDX22120	Fangu	Fangu	34242,75	994	141583	753148	105	44909	2330	1928	308	19683	43	19	184	51	32	156	18	257	10	31/08/18
BDX22120	Fangu	Fangu	34884,17	860	142125	754558	115	46885	2354	852	291	16174	40	18	195	50	35	173	18	365	9	31/08/18
BDX22120	Fangu	Fangu	36649,08	1763	128859	765969	237	44607	2411	1441	322	17005	45	17	182	47	35	144	17	240	11	31/08/18
BDX22120	Fangu	Fangu	35987,59	1279	128458	771945	97	45555	2450	791	279	12196	39	17	185	47	30	171	19	443	9	31/08/18
BDX22120	Fangu	Fangu	38567,16	1404	124764	776310	95	42560	2103	0	274	13083	36	17	169	44	29	185	16	332	12	31/08/18
BDX22121	Sotta	Sotta	35346,85	2180	139566	756447	117	47793	3659	504	370	13029	123	26	316	0	112	277	31	95	8	23/01/19
BDX22121	Sotta	Sotta	37516,84	1923	138354	758170	114	46457	3697	299	393	12135	101	25	295	0	107	276	36	97	5	23/01/19
BDX22121	Sotta	Sotta	35489,3	2058	140954	758473	698	44819	3785	117	417	12303	55	26	286	0	106	269	30	110	5	23/01/19
BDX22121	Sotta	Sotta	37387,6	1177	139830	760396	129	39586	5597	226	373	14147	315	26	261	0	102	278	43	110	15	23/01/19
BDX22121	Sotta	Sotta	33774,33	2133	140340	761178	640	44748	3713	103	375	12084	76	27	285	0	109	265	35	109	5	23/01/19
BDX22121	Sotta	Sotta	34154,12	2219	139813	762038	634	42929	3881	510	381	12609	34	25	264	0	97	270	31	107	3	23/01/19
BDX22121	Sotta	Sotta	33267,62	1814	140051	762114	671	44957	3643	0	370	12204	98	26	292	0	107	242	27	112	5	23/01/19
BDX22121	Sotta	Sotta	32850,96	1618	138358	762902	677	46672	3621	235	359	11798	77	25	285	0	103	272	34	102	9	23/01/19
BDX22121	Sotta	Sotta	35043,98	1418	136880	763938	626	46170	3474	46	354	11193	68	23	286	0	105	237	30	101	6	23/01/19
BDX22121	Sotta	Sotta	37282,07	952	135727	765781	590	42464	3591	244	328	12144	112	24	264	0	101	254	31	105	6	23/01/19
BDX22121	Sotta	Sotta	35450,96	1793	138371	766680	666	40371	3557	169	356	11737	77	25	263	0	98	243	31	106	6	23/01/19
BDX22121	Sotta	Sotta	33866,58	1543	135376	775735	136	37180	3376	0	384	11490	133	23	238	0	95	267	35	111	12	23/01/19
BDX22121	Sotta	Sotta	38045,87	1010	123739	776924	589	42456	3625	400	351	12001	62	25	270	0	104	268	28	97	5	23/01/19
BDX22121	Sotta	Sotta	42878,47	1932	146838	739870	551	49268	3833	291	438	13057	136	26	318	0	116	289	36	109	12	24/01/19
BDX22121	Sotta	Sotta	33665,36	1023	137144	750599	416	62070	3973	0	382	9874	98	28	310	1	78	180	29	120	11	24/01/19
BDX22121	Sotta	Sotta	34937,67	892	134913	753596	495	59751	4350	0	620	9308	267	30	312	1	104	264	35	118	6	24/01/19
BDX22121	Sotta	Sotta	35437,77	832	116136	765192	440	57211	5597	1399	539	16039	81	31	375	0	131	348	40	127	44	24/01/19

BDX	Source	Region	Na2O	MgO	Al2O3	SiO2	P2O5	K2O	CaO	TiO2	MnO	Fe2O3	Zn	Ga	Rb	Sr	Y	Zr	Nb	Ba	Pb	Date
BDX22121	Sotta	Sotta	30095,1	1558	128570	767352	179	49383	7442	326	391	13677	203	28	315	0	105	220	30	121	6	24/01/19
BDX22121	Sotta	Sotta	40312,6	1504	125126	769086	146	45865	3755	132	496	12482	210	26	289	0	116	291	34	109	22	24/01/19
BDX22121	Sotta	Sotta	36467,3	1340	119070	770273	396	52591	4312	249	436	13708	178	29	337	0	127	321	38	119	8	24/01/19
BDX22121	Sotta	Sotta	36397,88	1365	116618	778744	374	45899	4036	486	425	14437	246	33	297	0	126	337	39	137	4	24/01/19
BDX22121	Sotta	Sotta	32582,08	1293	121700	784167	198	41786	3809	269	394	12775	172	30	270	0	120	276	40	113	5	24/01/19
BDX22289	Roccapina	Sartenais	29048,3	2279	146472	747395	626	57566	6359	0	342	9009	22	16	272	36	36	116	22	361	22	26/10/18
BDX22289	Roccapina	Sartenais	41025,17	1322	141818	748453	588	46476	6445	1808	354	11012	25	17	239	34	34	114	18	198	19	26/10/18
BDX22289	Roccapina	Sartenais	34846,05	1861	140875	753042	523	52930	6298	0	333	8447	19	17	265	37	37	119	20	311	20	26/10/18
BDX22289	Roccapina	Sartenais	40678,41	621	138728	755377	622	47778	6215	408	336	8545	19	16	240	32	33	163	17	148	23	26/10/18
BDX22289	Roccapina	Sartenais	28036,06	2119	144483	757215	119	49565	5839	760	381	10771	23	17	260	34	33	119	19	190	17	26/10/18
BDX22289	Roccapina	Sartenais	41119,72	681	137063	759573	511	45850	5715	0	326	8330	20	16	228	35	32	99	18	362	20	26/10/18
BDX22289	Roccapina	Sartenais	26922,76	1460	142590	760196	684	50731	6227	461	370	9679	23	17	264	33	33	105	18	167	20	26/10/18
BDX22289	Roccapina	Sartenais	34408,99	1723	138439	762147	330	47415	5638	432	340	8483	21	14	239	31	28	97	18	176	21	26/10/18
BDX22289	Roccapina	Sartenais	36937,13	1802	134806	764980	384	45700	5966	213	312	8263	20	15	230	31	31	97	17	181	14	26/10/18
BDX22289	Roccapina	Sartenais	32166,01	1702	129736	767186	146	52603	6751	120	336	8477	21	16	264	41	38	135	20	215	26	26/10/18
BDX22289	Roccapina	Sartenais	30240,33	1623	129615	769285	138	50259	7245	436	376	10078	24	17	255	35	36	127	20	171	20	26/10/18
BDX22289	Roccapina	Sartenais	33314,34	721	121090	781914	645	45988	5531	545	341	9191	22	16	239	31	33	146	17	200	16	26/10/18
BDX22290	Roccapina	Sartenais	43017,19	816	139469	752466	163	46530	6389	994	315	9139	28	15	265	34	33	100	20	181	26	25/10/18
BDX22290	Roccapina	Sartenais	38398,76	1464	142109	752569	705	47008	6450	0	351	9557	30	16	258	46	33	99	19	856	31	25/10/18
BDX22290	Roccapina	Sartenais	29138,55	2111	145144	754606	677	51445	6431	235	338	9123	30	16	291	38	38	111	20	177	31	25/10/18
BDX22290	Roccapina	Sartenais	33066,83	637	132583	772719	425	45861	5641	60	294	7978	32	14	264	31	32	102	18	216	26	25/10/18
BDX22290	Roccapina	Sartenais	34063,33	657	123127	778524	364	46269	6132	748	335	9054	29	15	250	45	32	95	17	214	29	25/10/18
BDX22290	Roccapina	Sartenais	32761,47	625	124519	782234	404	45066	5423	0	301	7916	21	14	254	28	31	93	18	270	20	25/10/18
BDX22291	Roccapina	Sartenais	33970,75	1854	147834	719380	142	80496	6519	1022	286	7559	14	15	461	47	31	129	24	196	17	25/10/18
BDX22291	Roccapina	Sartenais	32383,84	1666	147039	733370	138	68924	5799	0	442	9413	37	17	376	46	30	118	22	164	15	25/10/18
BDX22291	Roccapina	Sartenais	32101,73	2130	143135	736108	127	72687	5612	0	241	7004	13	15	419	43	30	131	22	167	16	25/10/18

BDX	Source	Region	Na2O	MgO	Al2O3	SiO2	P2O5	K2O	CaO	TiO2	MnO	Fe2O3	Zn	Ga	Rb	Sr	Y	Zr	Nb	Ba	Pb	Date
BDX22291	Roccapina	Sartenais	30051,96	1130	139891	741339	681	69881	6004	1406	323	8345	20	14	405	44	27	118	22	283	17	25/10/18
BDX22291	Roccapina	Sartenais	27109,52	650	138427	750834	623	67641	5119	979	227	7552	13	16	395	42	23	104	20	209	15	25/10/18
BDX22292	Roccapina	Sartenais	40394,13	732	140823	741381	602	60008	5467	262	406	9094	31	16	320	39	30	95	21	256	21	29/10/18
BDX22292	Roccapina	Sartenais	29158,15	2090	139655	750470	434	58484	6335	1651	337	10283	18	12	323	38	32	116	22	525	16	29/10/18
BDX22292	Roccapina	Sartenais	33460	782	139513	752404	599	56074	5539	714	344	9653	19	14	314	38	31	100	22	359	19	29/10/18
BDX22292	Roccapina	Sartenais	39961,49	609	121593	764631	656	58071	5595	0	341	7562	23	14	309	37	30	114	21	414	20	29/10/18
BDX22292	Roccapina	Sartenais	37040,41	642	120117	768499	367	58099	6018	200	361	7905	26	16	313	38	34	103	20	185	16	29/10/18
BDX22292	Roccapina	Sartenais	35572,45	617	120184	772862	105	54961	6138	830	323	7675	24	13	284	37	31	105	19	201	19	29/10/18
BDX22292	Roccapina	Sartenais	31208,44	2008	122944	772925	344	55921	5483	297	261	7717	16	14	315	36	28	111	21	338	12	29/10/18
BDX22292	Roccapina	Sartenais	34452,97	687	117808	776486	343	55782	5322	433	282	7656	19	13	292	36	27	116	20	209	15	29/10/18
BDX22293	Roccapina	Sartenais	31011,63	1971	146997	746510	681	57019	5784	189	371	8730	16	17	283	33	34	117	20	195	23	29/10/18
BDX22293	Roccapina	Sartenais	28105,58	2043	146920	757688	709	49086	5753	0	364	8571	17	16	253	32	33	120	20	251	18	29/10/18
BDX22293	Roccapina	Sartenais	28003,15	2118	145076	761292	733	47475	5682	152	357	8453	17	16	233	30	36	116	19	174	18	29/10/18
BDX22293	Roccapina	Sartenais	31026,88	1783	141813	761606	683	48553	5434	45	338	8052	16	16	243	30	33	113	20	177	18	29/10/18
BDX22293	Roccapina	Sartenais	27280,34	2139	141499	769286	675	44368	5401	0	331	7814	15	16	219	32	33	114	18	743	16	29/10/18
BDX22293	Roccapina	Sartenais	33374,86	588	128800	770425	313	51109	5453	964	370	7904	15	15	252	30	34	119	19	195	19	29/10/18
BDX22293	Roccapina	Sartenais	32635,96	620	121912	784440	653	45445	5466	944	343	6960	14	14	228	27	34	101	18	124	22	29/10/18
BDX22294	Roccapina	Sartenais	33311,3	1845	147849	742065	691	54315	6730	1002	338	11004	21	16	326	41	36	117	24	253	16	25/10/18
BDX22294	Roccapina	Sartenais	31219,8	1997	148805	747844	138	52571	6226	1100	420	8852	26	16	322	41	35	127	23	220	17	25/10/18
BDX22294	Roccapina	Sartenais	45264,46	827	140565	749385	631	47979	6099	0	370	8167	26	16	284	37	31	105	21	182	13	25/10/18
BDX22294	Roccapina	Sartenais	28612,69	2321	144964	753843	656	53215	5762	0	393	9333	28	17	316	41	34	111	22	319	13	25/10/18
BDX22294	Roccapina	Sartenais	28722,64	1371	143409	755552	648	54036	6373	0	366	8693	24	15	307	39	35	105	20	270	15	25/10/18
BDX22294	Roccapina	Sartenais	30028,37	2106	144635	756005	132	50146	5993	1020	343	8819	21	16	304	40	36	122	21	200	13	25/10/18
BDX22294	Roccapina	Sartenais	26950,16	1846	140254	763478	450	47414	5380	1930	494	11008	32	16	291	38	32	101	21	252	13	25/10/18
BDX22294	Roccapina	Sartenais	29817,31	1076	141715	764507	700	48189	5433	0	330	7326	19	15	293	38	30	134	18	346	13	25/10/18
BDX22294	Roccapina	Sartenais	34071,29	614	136062	769519	526	45731	5134	329	247	7079	14	14	269	38	24	109	20	189	11	25/10/18
BDX22294	Roccapina	Sartenais	32130	638	130280	773647	196	46691	5266	1145	345	8853	21	14	277	36	29	98	20	302	12	25/10/18
BDX22295	Roccapina	Sartenais	31929,1	2090	149731	741496	609	53554	7150	1628	416	10657	23	18	279	39	37	116	21	188	20	08/11/18
BDX22295	Roccapina	Sartenais	30849,25	2097	149548	744804	619	52736	7479	796	423	9872	22	17	277	37	38	116	20	230	20	08/11/18
BDX22295	Roccapina	Sartenais	29211,61	2225	147552	749086	604	53297	7195	268	384	9457	21	18	278	36	35	105	20	184	23	08/11/18
BDX22295	Roccapina	Sartenais	28807,2	2124	146895	751360	611	53788	6540	0	395	8556	21	16	279	40	34	102	22	390	19	08/11/18
BDX22295	Roccapina	Sartenais	28306,95	2326	146678	753657	588	50659	6758	111	383	9687	22	16	267	39	32	189	23	236	22	08/11/18

BDX	Source	Région	Na2O	MgO	Al2O3	SiO2	P2O5	K2O	CaO	TiO2	MnO	Fe2O3	Zn	Ga	Rb	Sr	Y	Zr	Nb	Ba	Pb	Date
BDX22295	Roccapina	Sartenais	28633,3	2248	144624	754575	708	50883	6124	1271	380	9787	24	16	271	35	33	105	21	234	29	08/11/18
BDX22295	Roccapina	Sartenais	33468,16	1668	136387	757324	165	53068	7840	96	384	8782	18	18	286	39	40	121	22	257	18	08/11/18
BDX22295	Roccapina	Sartenais	37565,53	1350	118791	758894	568	60398	7334	1705	453	12001	24	19	325	45	47	194	26	237	24	08/11/18
BDX22295	Roccapina	Sartenais	38408,5	1349	115934	759722	285	61788	7769	24	431	13346	22	21	350	48	47	143	27	266	22	08/11/18
BDX22295	Roccapina	Sartenais	36124,1	1337	117472	760756	382	63401	7952	0	441	11108	24	21	346	49	45	129	26	360	27	08/11/18
BDX22295	Roccapina	Sartenais	39551,61	1417	116502	760764	314	61073	7460	718	453	10886	24	22	330	47	44	142	29	205	19	08/11/18
BDX22295	Roccapina	Sartenais	37655,08	1332	116599	764117	415	58341	7899	1115	466	11095	25	20	319	46	49	213	23	257	16	08/11/18
BDX22295	Roccapina	Sartenais	35242,11	1337	116483	764156	346	62448	7530	0	440	10624	23	22	351	49	42	119	29	734	25	08/11/18
BDX22295	Roccapina	Sartenais	36680,22	1335	113224	765117	321	61856	7321	1449	466	11272	26	21	343	47	45	147	27	264	39	08/11/18
BDX22295	Roccapina	Sartenais	38627,24	1402	119352	768428	391	53505	7173	298	386	9672	20	18	281	40	40	109	23	221	17	08/11/18
BDX22295	Roccapina	Sartenais	32539,46	1615	126615	769090	125	51659	6814	1102	344	9317	20	15	254	36	38	167	20	211	19	08/11/18
BDX22295	Roccapina	Sartenais	29712,55	1717	131297	770964	462	49805	6610	0	346	8278	18	16	258	35	38	121	20	287	15	08/11/18
BDX22295	Roccapina	Sartenais	36914,68	1339	110352	771197	326	60645	7335	32	440	10508	24	20	327	45	44	131	26	273	21	08/11/18
BDX22295	Roccapina	Sartenais	35888,35	1512	117690	776404	434	50833	6047	0	380	9255	21	15	264	35	39	129	20	1015	20	08/11/18
BDX22295	Roccapina	Sartenais	28596,53	884	116087	777005	454	59030	6539	0	399	9783	27	18	306	44	42	170	23	551	41	08/11/18
BDX22296	Linarellu	MontiBarbatu	32347,3	2048	154097	739851	733	44460	13814	401	326	10193	13	19	135	141	28	102	20	1251	19	31/10/18
BDX22296	Linarellu	MontiBarbatu	46010,89	1745	143838	746257	367	40601	11566	0	259	7829	11	16	121	125	24	80	19	1116	15	31/10/18
BDX22296	Linarellu	MontiBarbatu	29762,49	2315	151144	746545	725	45691	12209	0	327	9545	17	17	136	138	27	96	20	1271	16	31/10/18
BDX22296	Linarellu	MontiBarbatu	29379,9	2133	146821	749739	713	51311	8469	963	308	8496	14	15	156	126	25	89	21	1206	16	31/10/18
BDX22296	Linarellu	MontiBarbatu	28213,8	1255	148425	751930	727	46365	12884	0	270	8268	12	16	134	132	28	95	19	1209	18	31/10/18
BDX22296	Linarellu	MontiBarbatu	39439,54	660	131384	760076	442	48574	10113	0	240	7551	13	15	141	112	25	83	18	1099	16	31/10/18
BDX22296	Linarellu	MontiBarbatu	34822,21	615	141234	760967	388	40057	11989	0	266	8107	11	16	115	123	25	88	17	1143	16	31/10/18
BDX22296	Linarellu	MontiBarbatu	32587,43	1788	130805	762802	605	48231	11878	0	296	9348	12	16	140	130	26	88	19	1210	18	31/10/18
BDX22296	Linarellu	MontiBarbatu	29158,12	1857	132550	767145	543	47522	11014	180	284	8176	14	16	136	122	24	88	19	1136	16	31/10/18
BDX22296	Linarellu	MontiBarbatu	33682,58	1060	130023	770098	649	42294	11803	0	279	8465	11	16	130	130	24	86	18	1215	16	31/10/18
BDX22296 alt rge	Linarellu	MontiBarbatu	39113,12	658	144597	746737	689	46154	12176	0	218	8093	13	15	134	123	22	87	21	1129	21	31/10/18
BDX22296 alt rge	Linarellu	MontiBarbatu	30754,56	1910	145396	762369	730	34419	12969	350	255	9173	15	17	104	133	25	108	19	1232	21	31/10/18
BDX22297	Linarellu	MontiBarbatu	30128,63	2076	151851	741937	427	51110	13206	0	258	7398	14	17	154	136	28	100	19	1117	24	30/10/18
BDX22297	Linarellu	MontiBarbatu	28750,77	2248	146551	751897	641	49138	11735	0	251	7359	16	15	144	121	25	94	21	975	18	30/10/18
BDX22297	Linarellu	MontiBarbatu	39878,45	659	141074	753370	400	44721	11288	0	237	6836	12	14	124	113	22	86	18	1129	17	30/10/18
BDX22297	Linarellu	MontiBarbatu	36899,8	1077	145451	756794	732	37944	12132	0	240	7187	15	16	117	120	25	90	17	1129	16	30/10/18
BDX22297	Linarellu	MontiBarbatu	36520,75	675	142002	756810	660	43343	11816	0	227	6620	14	16	122	120	24	90	17	905	19	30/10/18
BDX22297	Linarellu	MontiBarbatu	29205,93	1537	144626	761456	564	42007	11981	102	246	6793	15	15	127	120	23	84	18	1064	16	30/10/18

BDX	Source	Region	Na2O	MgO	Al2O3	SiO2	P2O5	K2O	CaO	TiO2	MnO	Fe2O3	Zn	Ga	Rb	Sr	Y	Zr	Nb	Ba	Pb	Date
BDX22297	Linarellu	MontiBarbatu	35703,25	619	126345	769938	653	45454	11987	995	254	6459	14	16	132	130	26	95	18	1146	17	30/10/18
BDX22297	Linarellu	MontiBarbatu	34285,29	618	125498	773612	109	44917	11239	0	248	7809	14	15	143	123	19	87	18	1229	16	30/10/18
BDX22297	Linarellu	MontiBarbatu	36799,09	643	124219	779684	243	38322	11732	0	232	6703	14	16	106	128	23	88	17	1016	15	30/10/18
BDX22297 alt rge	Linarellu	MontiBarbatu	28648,27	2344	148493	751452	656	46252	12279	0	237	8317	14	16	138	121	25	95	19	875	19	30/10/18
BDX22297 alt rge	Linarellu	MontiBarbatu	30552,24	1810	139709	760742	612	49684	8414	0	203	7243	15	15	143	110	25	97	18	593	14	30/10/18
BDX22298	Linarellu	MontiBarbatu	42799,16	2255	145005	745538	335	41957	11985	7	309	8552	15	15	115	132	26	88	17	828	20	08/11/18
BDX22298	Linarellu	MontiBarbatu	31619,14	1404	147842	747080	661	48530	12008	348	315	8525	18	17	135	138	27	93	19	1199	22	08/11/18
BDX22298	Linarellu	MontiBarbatu	30047,89	2171	147858	747176	753	50211	11304	0	317	8378	21	16	146	129	27	94	19	1312	21	08/11/18
BDX22298	Linarellu	MontiBarbatu	42503,71	988	143487	748891	649	41154	12443	486	302	8046	15	16	115	129	25	86	17	626	19	08/11/18
BDX22298	Linarellu	MontiBarbatu	30024,12	1278	148553	754838	433	40607	12735	0	333	9637	18	17	118	134	27	92	19	1113	25	08/11/18
BDX22298	Linarellu	MontiBarbatu	36983,59	610	140946	756925	226	42800	11712	377	295	7962	15	15	119	125	24	87	18	743	19	08/11/18
BDX22298	Linarellu	MontiBarbatu	29211,2	1339	146448	758812	390	45291	9578	0	277	6944	18	17	140	121	24	93	19	1257	21	08/11/18
BDX22298	Linarellu	MontiBarbatu	26876,89	722	140239	760603	260	54230	7446	138	285	7526	20	15	151	119	24	116	19	1190	19	08/11/18
BDX22298	Linarellu	MontiBarbatu	34508,9	623	133472	771163	622	37941	11855	0	292	7987	19	15	109	127	27	90	17	1112	21	08/11/18
BDX22298	Linarellu	MontiBarbatu	32306,1	606	125996	773558	192	46809	11047	119	288	7477	15	14	138	119	21	79	18	1176	22	08/11/18
BDX22298	Linarellu	MontiBarbatu	38783,05	680	123206	783124	207	33961	10749	0	267	7581	15	14	103	119	24	82	16	1052	17	08/11/18
BDX22299	Linarellu	MontiBarbatu	39077,93	804	143520	760326	589	39716	7516	181	418	7104	17	15	138	81	21	50	17	384	23	30/10/18
BDX22299	Linarellu	MontiBarbatu	34402,21	670	141454	761376	662	45727	6475	0	432	7193	17	16	165	77	22	57	17	1214	24	30/10/18
BDX22299	Linarellu	MontiBarbatu	38288,45	741	140139	763982	611	42660	6374	0	321	5429	12	16	147	76	18	68	17	1083	16	30/10/18
BDX22299	Linarellu	MontiBarbatu	34979,2	840	143504	766016	621	40665	7522	0	332	4725	13	17	134	83	23	65	17	427	16	30/10/18
BDX22299	Linarellu	MontiBarbatu	33297,06	607	140469	770298	677	41870	6869	0	301	4110	12	15	141	79	19	58	18	1146	16	30/10/18
BDX22299	Linarellu	MontiBarbatu	35775,09	641	131147	773244	654	44674	7627	0	326	4294	14	15	154	83	22	67	20	1227	15	30/10/18
BDX22300	Linarellu	MontiBarbatu	30237,4	2082	152946	746601	564	52122	8013	0	278	6205	18	19	165	85	25	71	20	525	22	31/10/18
BDX22300	Linarellu	MontiBarbatu	28182,37	1027	144768	749580	137	62012	6226	0	281	6832	17	16	206	72	19	60	18	532	15	31/10/18
BDX22300	Linarellu	MontiBarbatu	29207,69	2202	149101	754217	748	49616	7540	0	259	6127	16	18	164	81	27	83	21	558	17	31/10/18
BDX22300	Linarellu	MontiBarbatu	32033,59	2237	146682	754280	593	49763	7480	0	245	5832	16	17	166	77	31	66	19	446	15	31/10/18
BDX22300	Linarellu	MontiBarbatu	27117,58	805	142403	754980	667	61011	6605	0	252	5115	16	16	190	70	17	59	18	645	15	31/10/18
BDX22300	Linarellu	MontiBarbatu	28762,22	2135	149229	757015	544	48266	8162	0	230	4885	15	18	155	81	23	66	20	376	17	31/10/18
BDX22300	Linarellu	MontiBarbatu	28161,3	2193	146867	759663	275	48606	7489	0	236	5722	14	16	155	81	20	62	19	405	17	31/10/18
BDX22300	Linarellu	MontiBarbatu	35117,13	866	143092	762602	260	44597	7564	0	237	4907	15	15	147	73	21	64	19	388	15	31/10/18
BDX22300	Linarellu	MontiBarbatu	35576,36	661	125250	779456	280	46489	6685	0	211	4702	13	15	152	68	19	60	17	332	14	31/10/18
BDX22301	Linarellu	MontiBarbatu	30128,79	2109	151318	734031	139	58947	12173	454	216	8799	18	17	133	128	19	100	20	1240	10	07/11/18
BDX22301	Linarellu	MontiBarbatu	30311,26	2043	149238	748861	295	49472	12325	0	194	5618	15	16	101	130	17	92	19	1245	9	07/11/18

BDX	Source	Region	Na2O	MgO	Al2O3	SiO2	P2O5	K2O	CaO	TiO2	MnO	Fe2O3	Zn	Ga	Rb	Sr	Y	Zr	Nb	Ba	Pb	Date
BDX22301	Linarellu	MontiBarbatu	36792,39	791	143871	755262	157	41992	12723	112	229	6573	14	16	90	122	15	88	18	1125	10	07/11/18
BDX22301	Linarellu	MontiBarbatu	32732,85	1550	143940	755720	128	43572	12575	0	205	8142	17	16	76	135	17	92	18	1056	9	07/11/18
BDX22301	Linarellu	MontiBarbatu	39104,26	682	127430	756769	215	60536	7510	109	177	5932	12	14	154	97	14	77	20	1139	8	07/11/18
BDX22301	Linarellu	MontiBarbatu	35480,3	729	144802	763283	202	30914	13450	0	199	9354	17	17	79	130	17	88	18	1211	10	07/11/18
BDX22302	Linarellu	MontiBarbatu	40251,79	1211	144947	742913	635	49549	12274	5	165	6492	15	17	122	120	21	91	19	1144	9	09/11/18
BDX22302	Linarellu	MontiBarbatu	36814,68	782	141033	754433	671	46441	11763	0	165	6367	13	15	112	112	21	85	17	1145	9	09/11/18
BDX22302	Linarellu	MontiBarbatu	29340,94	1540	146666	754519	242	46940	12969	0	143	6042	12	17	112	121	18	88	18	1203	10	09/11/18
BDX22302	Linarellu	MontiBarbatu	27460,72	1442	145118	755079	127	51045	11758	0	138	6208	13	16	125	116	23	95	19	1208	9	09/11/18
BDX22302	Linarellu	MontiBarbatu	29274,4	1204	147416	759480	347	41285	13650	0	126	5636	12	16	93	131	22	90	19	1191	8	09/11/18
BDX22302	Linarellu	MontiBarbatu	39601,67	680	129427	768516	632	40976	12475	0	153	6319	15	17	91	117	24	83	16	849	9	09/11/18
BDX22302	Linarellu	MontiBarbatu	36284,54	676	127303	771455	660	44605	12095	0	121	5303	12	15	103	123	23	82	19	1112	9	09/11/18
BDX22302	Linarellu	MontiBarbatu	35754,52	712	123975	782471	151	37672	12367	0	127	5286	12	15	86	119	23	87	16	1115	9	09/11/18
BDX22303	Linarellu	MontiBarbatu	31988,95	1971	152859	731224	153	59828	11398	121	527	8144	27	18	180	123	26	89	20	1276	26	05/11/18
BDX22303	Linarellu	MontiBarbatu	32448,01	2144	151272	740442	130	53361	10491	0	416	7578	22	18	175	121	27	80	19	1234	24	05/11/18
BDX22303	Linarellu	MontiBarbatu	29379,07	2318	149365	749132	139	47321	12071	0	458	8153	25	18	152	120	28	73	19	1207	22	05/11/18
BDX22303	Linarellu	MontiBarbatu	29681,97	1548	146518	751112	661	49870	11420	0	411	7502	23	18	162	116	29	83	19	800	27	05/11/18
BDX22303	Linarellu	MontiBarbatu	34626,54	1499	126030	765714	500	51029	11606	0	423	6874	23	18	175	118	28	88	19	1206	23	05/11/18
BDX22303	Linarellu	MontiBarbatu	34703,94	1611	124157	768598	538	48912	11236	0	459	8105	26	18	174	116	26	74	20	1205	23	05/11/18
BDX22303	Linarellu	MontiBarbatu	32441,04	1705	126747	768647	670	47859	11758	0	469	8046	25	18	152	121	30	79	18	1191	24	05/11/18
BDX22303	Linarellu	MontiBarbatu	32326,29	1509	128330	768850	559	48287	11723	0	414	6703	22	17	155	119	28	77	19	838	22	05/11/18
BDX22303	Linarellu	MontiBarbatu	41235,45	664	122501	768952	653	47634	10095	0	378	6358	21	16	152	107	24	72	17	1098	21	05/11/18
BDX22303	Linarellu	MontiBarbatu	31172,22	1802	127638	769452	544	48866	11656	0	416	7195	24	17	168	116	28	81	19	781	25	05/11/18
BDX22303	Linarellu	MontiBarbatu	31915,49	1552	127999	772986	538	43441	11745	92	430	8171	24	17	151	113	25	71	18	686	24	05/11/18
BDX22303	Linarellu	MontiBarbatu	33782,05	726	123249	779885	217	41371	11208	0	379	7673	22	16	138	103	27	77	17	1090	19	05/11/18
BDX22304	Linarellu	MontiBarbatu	40561,3	717	142398	749013	258	44755	11708	825	349	8058	16	15	127	129	20	76	18	937	21	07/11/18
BDX22304	Linarellu	MontiBarbatu	38585,37	775	143018	750060	237	46252	11167	401	336	7608	21	16	132	123	22	82	18	1124	20	07/11/18
BDX22304	Linarellu	MontiBarbatu	42506,41	714	139349	752338	345	44481	10389	456	336	7918	17	15	130	114	13	62	17	782	18	07/11/18
BDX22304	Linarellu	MontiBarbatu	37858,73	598	140385	754269	102	44879	10432	810	352	8803	20	15	137	116	19	68	18	1099	18	07/11/18
BDX22304	Linarellu	MontiBarbatu	27555,69	1308	145695	755518	534	47292	11519	527	364	8084	20	16	140	130	16	72	18	1181	20	07/11/18
BDX22304	Linarellu	MontiBarbatu	27315,12	1838	142935	759839	210	45680	11721	439	343	8112	18	15	136	130	20	77	20	1132	20	07/11/18
BDX22304	Linarellu	MontiBarbatu	34890,9	652	127130	768796	250	47216	11181	436	343	7766	19	15	131	119	20	77	19	920	20	07/11/18
BDX22304	Linarellu	MontiBarbatu	33550,61	707	125033	776736	236	43109	10932	264	336	7621	15	14	127	112	19	83	18	1068	19	07/11/18

BDX	Source	Region	Na2O	MgO	Al2O3	SiO2	P2O5	K2O	CaO	TiO2	MnO	Fe2O3	Zn	Ga	Rb	Sr	Y	Zr	Nb	Ba	Pb	Date
BDX22305	Gravonna	Gravonna	38074,97	821	138612	760124	225	47511	3297	274	243	10125	59	22	271	5	46	126	21	120	25	16/11/18
BDX22305	Gravonna	Gravonna	27513,89	1443	142449	765087	738	48360	3253	0	240	10198	60	23	279	5	38	151	21	118	23	16/11/18
BDX22305	Gravonna	Gravonna	27092,78	2234	141649	766159	138	49214	3186	0	245	9366	59	22	278	4	41	148	21	118	26	16/11/18
BDX22305	Gravonna	Gravonna	35773,92	619	130591	773230	566	46735	3077	88	237	8439	58	20	265	4	34	107	19	108	30	16/11/18
BDX22305	Gravonna	Gravonna	33635,54	582	123550	783156	676	46212	3052	0	220	8297	55	20	258	5	38	93	18	105	28	16/11/18
BDX22305	Gravonna	Gravonna	33814,25	615	116925	790083	305	46096	3092	0	219	8216	49	18	261	5	34	108	18	111	31	16/11/18
BDX22306	Fangu	Fangu	30989,28	1385	151685	734797	121	49656	6403	1842	338	21755	53	21	237	48	43	241	21	349	18	20/11/18
BDX22306	Fangu	Fangu	29422,32	1778	151563	746942	528	51226	2526	0	250	14862	37	15	210	47	33	164	21	363	12	20/11/18
BDX22306	Fangu	Fangu	36526,01	758	145475	748230	135	48075	2369	0	234	17126	40	15	207	43	28	142	21	552	21	20/11/18
BDX22306	Fangu	Fangu	31714,06	2257	145115	749286	583	48453	2398	0	253	18984	41	17	211	49	31	179	25	375	29	20/11/18
BDX22306	Fangu	Fangu	31870,87	2497	144358	749596	584	45360	2528	578	272	21463	44	20	211	51	29	190	23	310	15	20/11/18
BDX22306	Fangu	Fangu	32015,51	2067	142407	749813	167	51331	3102	606	268	17251	39	15	214	49	34	174	25	409	14	20/11/18
BDX22306	Fangu	Fangu	35417,34	659	140586	753888	681	46474	3264	1133	265	16709	41	13	189	42	28	140	22	421	28	20/11/18
BDX22306	Fangu	Fangu	33259,06	2120	139955	754068	561	46809	2449	135	264	19521	45	18	208	50	35	171	21	296	14	20/11/18
BDX22306	Fangu	Fangu	35811,86	1727	125715	762647	432	51723	2952	739	284	16896	44	18	230	47	37	162	22	500	12	20/11/18
BDX22306	Fangu	Fangu	32136,87	1810	128793	764683	495	50527	5913	1369	323	13007	42	15	215	46	31	145	21	417	12	20/11/18
BDX22306	Fangu	Fangu	35087,48	1801	118020	766430	139	48477	6968	1761	321	19926	44	17	211	49	57	303	21	352	16	20/11/18
BDX22306	Fangu	Fangu	31590,81	2002	125940	769306	500	48505	2820	0	313	18139	51	19	223	46	34	165	22	310	14	20/11/18
BDX22306	Fangu	Fangu	32887,96	1716	123979	773353	493	45893	2704	0	278	17798	40	16	192	46	32	167	23	366	15	20/11/18
BDX22306	Fangu	Fangu	30967,92	1772	119978	781949	515	42903	2294	266	236	18305	37	16	186	45	31	155	23	304	17	20/11/18
BDX22307	Fangu	Fangu	46056,16	1281	148645	727403	731	43411	6034	1337	450	22940	44	16	188	69	26	103	23	1185	57	26/11/18
BDX22307	Fangu	Fangu	34996,8	912	130941	747059	537	43737	2979	1037	814	35735	67	21	215	76	24	96	26	677	50	26/11/18
BDX22307	Fangu	Fangu	36335,81	1838	143869	750966	180	40195	2710	1550	402	20985	40	18	178	64	36	88	20	488	38	26/11/18
BDX22307	Fangu	Fangu	30524,72	1088	146610	751978	668	42110	2471	517	425	21940	43	16	176	64	26	84	23	1191	47	26/11/18
BDX22307	Fangu	Fangu	39357,54	696	139956	753964	697	39425	6388	1237	339	16322	33	13	164	74	19	197	22	1050	44	26/11/18
BDX22307	Fangu	Fangu	35085,75	1441	133679	754079	505	44902	3452	1064	467	23487	44	17	209	76	24	100	25	1295	49	26/11/18
BDX22307	Fangu	Fangu	29479,3	633	135722	763290	566	41940	2613	1160	450	22672	42	16	186	75	23	153	23	911	46	26/11/18
BDX22307	Fangu	Fangu	33978,99	1677	129875	763397	563	43301	3073	0	444	22179	42	17	199	72	28	107	25	969	52	26/11/18
BDX22307	Fangu	Fangu	32217,01	2084	132691	763854	673	40045	2327	0	486	23980	43	15	179	66	27	99	21	1149	45	26/11/18
BDX22307	Fangu	Fangu	28095,31	659	140535	764473	606	41518	2639	150	380	19811	36	15	180	76	27	97	22	635	45	26/11/18
BDX22307	Fangu	Fangu	29308,34	650	135696	765254	569	42776	2696	0	417	20928	40	16	185	67	30	102	21	1171	75	26/11/18
BDX22307	Fangu	Fangu	33178,56	1565	121213	775485	555	42195	3830	0	403	20099	38	14	196	70	26	115	24	942	52	26/11/18

BDX	Source	Region	Na2O	MgO	Al2O3	SiO2	P2O5	K2O	CaO	TiO2	MnO	Fe2O3	Zn	Ga	Rb	Sr	Y	Zr	Nb	Ba	Pb	Date
BDX22308	Fangu	Fangu	35813,29	691	146488	741797	171	58707	2106	825	237	12318	51	23	325	5	54	231	30	124	4	29/11/18
BDX22308	Fangu	Fangu	41745,95	1025	140309	750377	538	52624	1847	567	195	10089	42	20	269	4	48	164	26	106	4	29/11/18
BDX22308	Fangu	Fangu	44239,82	930	140654	753501	155	46549	2685	495	222	9906	44	19	230	4	46	176	28	112	4	29/11/18
BDX22308	Fangu	Fangu	35718,84	1342	138273	754013	207	55931	1999	607	190	10874	44	22	305	5	62	258	29	116	4	29/11/18
BDX22308	Fangu	Fangu	Obsidienne	805	143966	756195	175	51738	2562	275	186	10937	43	21	273	6	52	242	28	118	4	29/11/18
BDX22308	Fangu	Fangu	45980,64	879	138009	756917	556	43200	1472	436	256	11694	51	18	206	5	36	160	21	100	3	29/11/18
BDX22308	Fangu	Fangu	37481,08	1844	134965	758238	617	52318	1897	104	261	11519	52	21	277	4	50	198	29	122	4	29/11/18
BDX22308	Fangu	Fangu	37157,09	1920	130620	760076	202	54397	1923	587	247	12058	53	22	288	4	60	235	30	119	4	29/11/18
BDX22308	Fangu	Fangu	39676,54	1809	125888	760419	182	55027	2042	1438	279	12405	56	22	294	4	59	237	34	125	4	29/11/18
BDX22308	Fangu	Fangu	27260,45	736	140719	760963	618	53760	1907	880	222	12209	48	19	279	4	45	187	28	112	4	29/11/18
BDX22308	Fangu	Fangu	33388,17	672	134450	762502	166	53249	1893	294	253	12389	58	19	284	3	45	195	25	110	4	29/11/18
BDX22308	Fangu	Fangu	38502,03	769	138334	764167	135	45864	1575	125	207	9655	42	18	222	3	51	187	31	111	3	29/11/18
BDX22308	Fangu	Fangu	27584,81	769	143697	764766	658	49774	1766	162	200	9904	42	19	270	4	50	191	25	114	4	29/11/18
BDX22308	Fangu	Fangu	33824,49	777	130563	768997	340	49907	1786	953	261	11863	50	20	260	3	48	196	29	118	4	29/11/18
BDX22308	Fangu	Fangu	33932,33	1476	120221	777434	564	51569	1891	875	223	11061	47	20	275	5	50	214	27	112	4	29/11/18
BDX22308	Fangu	Fangu	32231,89	2227	118170	783483	212	51190	1805	178	165	9583	42	20	275	9	54	214	26	113	4	29/11/18
BDX22308	Fangu	Fangu	29845,72	731	129605	783512	554	42951	1436	368	232	10102	45	18	214	3	39	198	24	118	4	29/11/18
BDX22309	Fangu Marsolinu	Fangu	35417,53	5415	145008	732975	625	46413	2808	855	1395	27964	148	25	170	57	246	238	22	211	9	06/12/18
BDX22309	Fangu Marsolinu	Fangu	40553,87	1842	126008	756654	306	55450	3707	2057	451	12145	50	24	192	85	48	124	26	247	30	06/12/18
BDX22309	Fangu Marsolinu	Fangu	29911,09	1387	155836	757986	637	37306	8829	0	360	7100	24	19	132	86	26	102	19	237	4	06/12/18
BDX22309	Fangu Marsolinu	Fangu	43013,58	1461	152050	758060	697	30550	2757	327	239	10214	18	18	99	83	32	118	20	240	5	06/12/18
BDX22309	Fangu Marsolinu	Fangu	37678,56	734	150470	759105	674	34635	2639	929	343	12029	34	20	119	77	40	230	19	218	5	06/12/18
BDX22309	Fangu Marsolinu	Fangu	40871,98	787	146447	761215	605	36596	2621	186	349	9588	38	18	127	67	36	197	18	228	6	06/12/18
BDX22309	Fangu Marsolinu	Fangu	39271,53	784	145906	761455	690	41339	2718	0	339	6839	31	18	137	69	32	106	17	244	5	06/12/18
BDX22309	Fangu Marsolinu	Fangu	33043,91	1896	130950	768087	546	48175	3418	114	367	12611	33	21	163	80	44	137	20	289	6	06/12/18
BDX22309	Fangu Marsolinu	Fangu	36414,27	822	149073	771816	602	26934	2406	0	520	10733	57	20	97	79	40	171	19	191	5	06/12/18
BDX22309	Fangu Marsolinu	Fangu	28670,29	1922	137844	773954	412	40071	3267	1075	316	11849	30	20	135	80	29	120	19	183	5	06/12/18
BDX22309	Fangu Marsolinu	Fangu	34360,82	2009	124033	777317	341	41741	3635	2004	418	13380	43	21	149	76	39	132	21	275	6	06/12/18
BDX22309	Fangu Marsolinu	Fangu	36009,91	623	143960	779502	356	23707	7525	0	340	7358	27	18	87	82	48	164	20	169	4	06/12/18
BDX22309	Fangu Marsolinu	Fangu	37849,4	1528	123898	781357	363	44766	3189	0	288	6063	25	20	148	89	36	115	22	239	6	06/12/18
BDX22309	Fangu Marsolinu	Fangu	39204,86	958	142310	781634	673	17914	2366	758	724	12919	70	20	63	73	35	66	18	182	10	06/12/18
BDX22309	Fangu Marsolinu	Fangu	40464,4	2100	114098	782399	410	38553	6817	0	555	13837	67	24	139	90	53	113	23	252	7	06/12/18
BDX22309	Fangu Marsolinu	Fangu	31353,63	1622	132095	785906	451	37231	3648	294	289	6432	24	20	126	87	34	129	19	233	6	06/12/18

BDX	Source	Region	Na2O	MgO	Al2O3	SiO2	P2O5	K2O	CaO	TiO2	MnO	Fe2O3	Zn	Ga	Rb	Sr	Y	Zr	Nb	Ba	Pb	Date
BDX22309	Fangu Marsolinu	Fangu	29683,12	1887	134295	786151	438	33990	2549	0	265	10080	21	18	120	80	35	150	18	214	5	06/12/18
BDX22309	Fangu Marsolinu	Fangu	28409,3	1892	131795	789405	506	34584	4682	0	312	7752	26	19	117	78	38	151	19	209	5	06/12/18
BDX22309	Fangu Marsolinu	Fangu	30397,01	1736	121187	797969	131	30910	4003	1508	292	11148	26	19	105	79	42	215	24	203	5	06/12/18
BDX22309	Fangu Marsolinu	Fangu	32278,83	1875	129370	798505	605	26983	2612	0	224	6991	17	18	92	79	26	93	18	207	5	06/12/18
BDX22310	Fangu Marsolinu	Fangu	46071,49	660	144476	741287	134	38804	1183	1387	84	24502	64	29	191	4	121	827	52	112	12	05/12/18
BDX22310	Fangu Marsolinu	Fangu	42536,88	796	142393	749936	121	38408	1185	1174	84	22116	55	27	184	3	106	718	39	107	10	05/12/18
BDX22310	Fangu Marsolinu	Fangu	44860,47	830	147036	754834	148	27652	885	1408	69	21161	51	32	158	4	97	600	56	110	9	05/12/18
BDX22310	Fangu Marsolinu	Fangu	31905,97	760	132596	756211	137	48303	1577	1547	94	25572	47	26	216	3	105	727	52	112	11	05/12/18
BDX22310	Fangu Marsolinu	Fangu	34115,28	727	141653	756287	124	40988	1303	1172	62	22347	43	26	179	3	105	710	39	105	11	05/12/18
BDX22310	Fangu Marsolinu	Fangu	30496,1	2134	136924	757800	337	45860	1427	1149	74	22526	42	23	202	3	106	732	42	113	9	05/12/18
BDX22310	Fangu Marsolinu	Fangu	37399,23	892	133744	759014	108	41086	1273	1365	87	23912	43	23	181	3	94	612	47	108	9	05/12/18
BDX22310	Fangu Marsolinu	Fangu	34656,98	809	139580	761223	131	33919	1094	1579	94	25449	68	29	187	4	136	858	55	115	11	05/12/18
BDX22310	Fangu Marsolinu	Fangu	45063,52	1734	147373	761993	713	19872	711	1008	108	20121	81	38	135	4	111	762	46	114	11	05/12/18
BDX22310	Fangu Marsolinu	Fangu	29499,88	671	134604	764785	114	38128	1218	1735	92	27827	51	27	189	3	112	765	57	108	13	05/12/18
BDX22310	Fangu Marsolinu	Fangu	36685,56	693	145845	768273	717	26719	902	1072	77	17962	60	31	150	4	87	548	52	112	10	05/12/18
BDX22310	Fangu Marsolinu	Fangu	36631,66	745	135017	769409	327	31206	968	1326	79	23185	38	25	142	3	96	644	43	106	9	05/12/18
BDX22310	Fangu Marsolinu	Fangu	35984,12	665	139906	776060	725	24689	773	1153	47	19093	33	25	121	3	81	479	49	105	8	05/12/18
BDX22310	Fangu Marsolinu	Fangu	37984,88	693	149873	776236	152	17827	677	1143	87	14041	73	34	135	3	113	761	44	111	12	05/12/18
BDX22310	Fangu Marsolinu	Fangu	37638,47	739	133660	784061	327	22751	738	1016	59	17968	38	25	118	3	96	610	37	105	9	05/12/18
BDX22311	Fangu Marsolinu	Fangu	44955,46	657	150013	740066	214	45161	1975	0	400	15312	17	16	156	64	29	76	22	860	5	23/11/18
BDX22311	Fangu Marsolinu	Fangu	48036,47	843	148688	741425	627	45618	1939	0	352	11446	14	14	157	61	26	118	22	608	5	23/11/18
BDX22311	Fangu Marsolinu	Fangu	44005,95	667	146751	749016	140	42694	1797	415	377	13173	17	15	148	59	24	103	21	572	5	23/11/18
BDX22311	Fangu Marsolinu	Fangu	41799,35	718	147728	750999	151	44477	1890	0	338	10982	14	15	153	61	26	81	19	544	5	23/11/18
BDX22311	Fangu Marsolinu	Fangu	40952,44	651	147252	751017	139	45089	1858	681	350	10936	13	15	154	61	29	101	20	675	6	23/11/18
BDX22311	Fangu Marsolinu	Fangu	35639,24	756	149941	751829	677	44338	1999	0	722	12962	18	16	159	63	33	79	22	740	6	23/11/18
BDX22311	Fangu Marsolinu	Fangu	36349,27	683	150548	752629	135	44697	2195	0	339	11521	17	15	156	63	39	80	22	507	4	23/11/18
BDX22311	Fangu Marsolinu	Fangu	41209,98	661	147785	753282	151	41870	1924	0	360	11788	16	15	149	61	28	88	22	585	5	23/11/18
BDX22311	Fangu Marsolinu	Fangu	36404,79	658	147217	755563	135	43860	1868	1764	342	11182	13	15	154	61	29	95	20	614	5	23/11/18

BDX	Source	Region	Na2O	MgO	Al2O3	SiO2	P2O5	K2O	CaO	TiO2	MnO	Fe2O3	Zn	Ga	Rb	Sr	Y	Zr	Nb	Ba	Pb	Date
BDX22311	Fangu Marsolinu	Fangu	36817,56	702	148418	755586	217	43309	2317	0	351	11324	14	15	152	62	25	87	20	577	5	23/11/18
BDX22311	Fangu Marsolinu	Fangu	38717,17	1294	145617	756476	712	35296	1750	1344	429	17480	20	17	134	58	28	86	20	515	4	23/11/18
BDX22311	Fangu Marsolinu	Fangu	37068,78	862	146378	756894	611	43643	1849	0	347	11542	14	15	152	61	28	78	20	434	4	23/11/18
BDX22311	Fangu Marsolinu	Fangu	36849,17	1274	143078	760758	369	35267	1868	0	484	19254	20	18	127	58	23	110	20	415	8	23/11/18
BDX22311	Fangu Marsolinu	Fangu	35092	799	145218	761068	651	42234	1811	0	352	11806	15	14	148	59	23	85	19	600	5	23/11/18
BDX22311	Fangu Marsolinu	Fangu	29785,27	1746	150662	761704	700	41935	1801	0	337	10383	13	14	146	64	24	92	22	567	6	23/11/18
BDX22311	Fangu Marsolinu	Fangu	41987,49	1199	126959	768151	687	40126	1746	3478	381	14348	17	17	143	59	24	116	22	535	5	23/11/18
BDX22312	Fangu Marsolinu	Fangu	43940,31	1052	137875	747637	109	47158	1570	1406	39	18089	13	23	228	3	90	626	27	107	8	22/11/18
BDX22312	Fangu Marsolinu	Fangu	39173,36	952	139456	748171	115	45736	1429	1802	50	22054	11	23	211	3	92	567	36	110	8	22/11/18
BDX22312	Fangu Marsolinu	Fangu	38987,3	667	138162	750789	108	46752	1522	1706	47	20167	13	23	220	4	83	609	30	104	7	22/11/18
BDX22312	Fangu Marsolinu	Fangu	27136,89	598	136498	752373	102	59378	1901	1553	58	19199	16	21	281	3	85	654	30	105	8	22/11/18
BDX22312	Fangu Marsolinu	Fangu	33418,29	721	138399	757641	111	45195	1436	1722	49	20182	11	24	206	3	80	656	32	106	8	22/11/18
BDX22312	Fangu Marsolinu	Fangu	42542,77	1203	136748	758206	105	43665	1341	1258	29	13882	8	23	193	3	70	593	25	99	6	22/11/18
BDX22312	Fangu Marsolinu	Fangu	35916,9	593	136715	758280	104	46099	1637	1591	39	17903	11	22	229	3	77	647	28	97	8	22/11/18
BDX22312	Fangu Marsolinu	Fangu	40954,58	1750	134138	759309	183	43483	1526	1466	35	16162	11	23	199	3	65	551	28	104	7	22/11/18
BDX22312	Fangu Marsolinu	Fangu	35363,54	654	134843	760223	101	46137	1521	1581	43	18440	10	23	231	3	76	614	29	100	7	22/11/18
BDX22312	Fangu Marsolinu	Fangu	26503,09	670	134300	760861	103	53757	1683	1624	86	19282	19	21	265	3	83	606	30	95	7	22/11/18
BDX22312	Fangu Marsolinu	Fangu	35727,03	2005	135455	763387	168	44141	1378	1497	35	15139	10	24	207	3	70	619	28	98	8	22/11/18
BDX22312	Fangu Marsolinu	Fangu	39083,97	848	134726	764884	107	42714	1337	1219	27	14052	10	22	191	2	73	571	25	99	8	22/11/18
BDX22312	Fangu Marsolinu	Fangu	33882,77	664	137277	765222	109	43663	1372	1540	40	15201	8	25	193	3	67	601	28	101	6	22/11/18
BDX22312	Fangu Marsolinu	Fangu	32304,26	731	135725	766662	103	43603	1337	1576	36	16911	9	24	192	3	70	575	32	101	7	22/11/18
BDX22312	Fangu Marsolinu	Fangu	38135,36	1738	137770	768997	108	37375	1193	1229	20	12470	8	25	174	3	63	554	26	104	6	22/11/18
BDX22312	Fangu Marsolinu	Fangu	33566,76	1930	133227	777243	211	35194	1178	1595	36	14836	9	25	158	4	73	572	38	100	6	22/11/18
BDX22313	Fangu	Fangu	33269	2430	151796	724966	139	64359	5178	629	351	15830	38	20	270	64	39	191	24	386	22	19/11/18
BDX22313	Fangu	Fangu	34396,63	873	149940	725232	709	62244	5728	2105	340	17467	48	20	273	72	37	193	21	280	23	19/11/18
BDX22313	Fangu	Fangu	33817,68	2299	153592	728183	145	62354	3679	312	267	14383	35	19	260	63	36	188	22	324	22	19/11/18
BDX22313	Fangu	Fangu	30826,3	1792	150668	728897	137	65006	4746	1443	293	15164	40	19	270	68	37	178	21	368	28	19/11/18
BDX22313	Fangu	Fangu	29330,9	823	148701	731912	682	64795	4130	1581	315	16660	41	20	275	64	41	205	20	382	23	19/11/18
BDX22313	Fangu	Fangu	30723,19	1072	147615	736959	146	63983	3510	750	266	14115	52	17	255	60	37	160	22	237	21	19/11/18
BDX22313	Fangu	Fangu	33056,05	2433	149557	739090	138	55244	3872	928	296	14468	37	19	250	58	36	179	22	298	19	19/11/18
BDX22313	Fangu	Fangu	28830,16	2096	146210	740738	510	61157	4224	444	270	14529	37	19	247	64	36	156	19	378	37	19/11/18
BDX22313	Fangu	Fangu	28230,2	962	140764	741552	126	60220	3942	349	616	22311	63	20	252	59	34	147	23	310	21	19/11/18
BDX22313	Fangu	Fangu	28441,32	678	146211	742356	123	59430	3562	1759	335	16166	36	17	244	58	33	157	22	351	21	19/11/18

BDX	Source	Region	Na2O	MgO	Al2O3	SiO2	P2O5	K2O	CaO	TiO2	MnO	Fe2O3	Zn	Ga	Rb	Sr	Y	Zr	Nb	Ba	Pb	Date
BDX22313	Fangu	Fangu	40840,57	868	128651	743660	712	58344	6502	928	388	18151	47	20	250	61	36	159	21	340	22	19/11/18
BDX22313	Fangu	Fangu	27377,49	603	143292	745352	696	61529	5431	1224	279	13315	29	17	245	64	34	158	19	300	35	19/11/18
BDX22313	Fangu	Fangu	32350,01	1884	128536	756305	133	58943	5269	938	294	14487	36	19	241	63	40	170	21	251	21	19/11/18
BDX22313	Fangu	Fangu	31865,07	1837	135584	757871	138	55066	3769	159	240	12608	25	15	223	57	31	141	20	325	26	19/11/18
BDX22314	Fangu	Fangu	37175,66	801	148764	727063	119	61428	2896	1204	237	19097	46	20	274	51	41	242	19	505	15	23/11/18
BDX22314	Fangu	Fangu	36601,42	1926	139843	728637	125	57142	2710	2443	366	28962	88	28	313	51	43	197	29	482	14	23/11/18
BDX22314	Fangu	Fangu	38066,03	1868	132897	737179	107	51431	2727	2740	442	31519	87	20	213	47	37	196	20	393	12	23/11/18
BDX22314	Fangu	Fangu	45775,72	778	146084	737182	127	51724	2398	387	161	14465	38	19	241	43	36	156	21	351	13	23/11/18
BDX22314	Fangu	Fangu	29133,31	687	152745	740087	132	53800	2832	1285	201	18008	51	21	260	51	39	178	22	454	14	23/11/18
BDX22314	Fangu	Fangu	28900,53	712	149705	744358	156	51789	2398	0	256	20646	59	20	256	47	37	225	24	396	15	23/11/18
BDX22314	Fangu	Fangu	34310,02	1277	131694	757076	102	54152	2459	66	212	17670	47	19	250	43	37	182	19	372	11	23/11/18
BDX22314	Fangu	Fangu	35150,43	1441	131476	760426	265	48161	2420	1290	354	18035	54	18	223	43	32	229	21	350	12	23/11/18
BDX22314	Fangu	Fangu	37739,13	1184	127950	762499	309	46978	2053	294	229	19820	57	19	222	43	33	165	20	374	12	23/11/18
BDX22315	Fangu	Fangu	42094,47	763	146741	734465	106	57959	2667	1125	137	12832	35	18	252	44	33	156	21	538	14	26/11/18
BDX22315	Fangu	Fangu	33131,66	938	148521	740983	548	56452	2501	817	175	14845	38	19	251	45	39	166	21	497	14	26/11/18
BDX22315	Fangu	Fangu	35482,06	993	138035	742243	114	65912	2791	913	102	12347	31	19	281	47	36	179	24	438	14	26/11/18
BDX22315	Fangu	Fangu	42999,37	818	135036	744054	122	60881	2496	1013	109	11389	30	18	257	42	30	152	22	518	14	26/11/18
BDX22315	Fangu	Fangu	35731,34	843	146044	744285	108	47692	2681	2105	209	19351	42	19	223	47	38	222	19	320	19	26/11/18
BDX22315	Fangu	Fangu	42030,47	820	128076	751087	611	60351	2434	1582	128	11916	33	17	247	43	30	172	21	388	14	26/11/18
BDX22315	Fangu	Fangu	36341,58	1100	128178	763188	129	47875	2331	1194	238	18631	50	19	217	47	32	157	19	230	23	26/11/18
BDX22315	Fangu	Fangu	38315,39	937	139484	768464	699	27846	2839	1481	283	18862	58	14	127	51	35	179	21	276	28	26/11/18
BDX22316	Fangu	Fangu	32150,31	803	151321	738900	707	52135	2698	2263	352	17788	41	20	249	45	34	174	22	287	11	28/11/18
BDX22316	Fangu	Fangu	31903,29	1093	151971	743461	570	48763	2516	979	352	17480	41	21	230	50	36	166	21	336	10	28/11/18
BDX22316	Fangu	Fangu	35108,6	1794	142124	749486	748	45585	2423	2199	379	19368	41	18	204	48	32	183	21	228	10	28/11/18
BDX22316	Fangu	Fangu	29453,62	838	149404	749734	624	48235	2552	2426	328	15339	37	19	209	47	32	165	23	326	10	28/11/18
BDX22316	Fangu	Fangu	33041,26	2506	140311	753181	553	47026	2422	0	382	19623	44	19	211	50	35	219	21	343	12	28/11/18
BDX22316	Fangu	Fangu	30994,87	1076	146339	753542	616	47252	2339	0	330	16590	36	19	206	48	28	152	21	399	11	28/11/18
BDX22316	Fangu	Fangu	33152,96	2204	139772	759350	668	41406	2352	0	367	19976	40	20	192	52	27	142	24	243	12	28/11/18
BDX22316	Fangu	Fangu	37587,42	846	139260	762440	694	36112	2049	923	347	19002	37	17	161	43	21	113	21	317	11	28/11/18
BDX22316	Fangu	Fangu	34942,1	833	141699	762861	685	37433	2141	0	336	18368	38	18	169	47	22	132	21	244	13	28/11/18
BDX22316	Fangu	Fangu	33666,54	1509	136251	763124	677	38546	2324	1259	383	21500	45	20	185	54	27	132	21	263	14	28/11/18
BDX22316	Fangu	Fangu	33018,18	2561	135876	764045	161	37681	3193	0	414	22210	49	20	183	52	36	170	22	301	11	28/11/18
BDX22316	Fangu	Fangu	33236,22	1255	118756	772817	500	49392	2318	1700	380	18831	41	19	221	45	29	157	24	269	10	28/11/18

BDX	Source	Region	Na2O	MgO	Al2O3	SiO2	P2O5	K2O	CaO	TiO2	MnO	Fe2O3	Zn	Ga	Rb	Sr	Y	Zr	Nb	Ba	Pb	Date
BDX22316	Fangu	Fangu	34933,79	2101	116406	774508	132	41091	2547	1748	422	25297	50	21	188	53	35	153	21	282	12	28/11/18
BDX22316	Fangu	Fangu	30876,1	2220	124411	781986	147	35100	2607	470	384	21095	43	19	167	51	26	134	22	229	13	28/11/18
BDX22316	Fangu	Fangu	33996,99	1253	117596	782806	587	42910	2283	1619	330	15885	34	17	181	47	29	139	21	257	10	28/11/18
BDX22316	Fangu	Fangu	31718,23	2090	129832	783745	569	30532	1901	616	382	17920	39	15	143	47	24	111	22	255	37	28/11/18
BDX22317	Fangu	Fangu	34990,74	1195	145855	749207	132	45862	6978	0	291	14679	30	16	189	31	39	182	19	289	14	19/11/18
BDX22317	Fangu	Fangu	36446,56	634	146662	750928	544	46203	3861	300	181	13421	25	19	209	32	38	156	18	316	6	19/11/18
BDX22317	Fangu	Fangu	37667,51	639	145189	753931	662	46573	3378	0	98	10998	20	18	206	29	33	194	18	341	6	19/11/18
BDX22317	Fangu	Fangu	27715,82	2218	138986	765147	131	47413	2821	813	117	13798	23	19	219	31	35	190	18	298	7	19/11/18
BDX22317	Fangu	Fangu	28678,3	2106	136907	765991	130	46249	4167	180	231	14537	29	19	202	30	38	199	18	281	7	19/11/18
BDX22317	Fangu	Fangu	34482,49	670	133925	768357	676	45151	5450	0	147	10284	19	17	196	31	33	144	17	392	7	19/11/18
BDX22318	Fangu	Fangu	28105,62	1827	144925	690713	510	95400	3107	2724	136	30616	42	24	301	12	85	1286	41	105	41	09/11/18
BDX22318	Fangu	Fangu	33632,48	1754	141406	696385	678	90360	2974	2504	56	28338	52	24	275	12	85	1294	38	95	38	09/11/18
BDX22318	Fangu	Fangu	33564,9	2023	138698	702580	608	88701	2907	2282	56	26764	35	21	274	11	93	1207	47	91	37	09/11/18
BDX22318	Fangu	Fangu	30304,68	2239	143461	710955	101	83654	2651	2277	43	22445	33	23	244	15	86	1289	38	103	38	09/11/18
BDX22318	Fangu	Fangu	32755,62	2130	137165	712286	100	82700	2694	2372	66	26029	30	20	255	11	85	1141	39	86	37	09/11/18
BDX22318	Fangu	Fangu	29061,94	855	137478	723316	201	80386	2554	2178	34	22193	28	22	231	13	84	1204	38	86	36	09/11/18
BDX22318	Fangu	Fangu	27780,8	573	119483	731667	257	89540	2917	2260	58	23738	41	22	274	10	77	1141	35	90	36	09/11/18
BDX22318	Fangu	Fangu	29925,9	897	122167	732495	575	82936	2667	2368	43	24206	28	20	244	12	81	1172	38	90	36	09/11/18
BDX22318	Fangu	Fangu	30327,4	673	115689	733896	131	84601	2707	2110	82	28197	26	19	255	9	88	1020	46	88	36	09/11/18
BDX22318	Fangu	Fangu	31806,17	637	116997	737352	287	83225	2618	2251	50	23093	28	19	251	11	77	1138	34	90	35	09/11/18
BDX22319	Fangu	Fangu	30980,91	2212	141379	754409	132	45990	1347	1239	111	20603	23	29	281	3	135	949	58	111	8	27/11/18
BDX22319	Fangu	Fangu	29612,76	2253	138728	754789	152	47428	1423	1469	179	22175	34	32	293	4	181	1051	76	111	8	27/11/18
BDX22319	Fangu	Fangu	31895,94	1581	137374	755605	766	41399	1258	1366	289	26888	40	34	253	4	138	926	58	117	7	27/11/18
BDX22319	Fangu	Fangu	41370,32	1152	142853	755886	107	37076	1071	1077	192	17934	30	33	228	3	142	876	56	110	5	27/11/18
BDX22319	Fangu	Fangu	28461,66	2233	139263	755812	137	48423	1579	1317	144	21233	30	27	302	3	125	740	56	105	7	27/11/18
BDX22319	Fangu	Fangu	36218	895	139118	756449	295	42653	1282	1281	120	20334	23	27	260	3	124	771	36	103	7	27/11/18
BDX22319	Fangu	Fangu	30381,67	2139	135310	758102	152	44770	1337	1485	154	24516	31	32	274	4	148	973	66	117	9	27/11/18
BDX22319	Fangu	Fangu	28628,85	2221	141562	759002	133	42376	1273	1092	228	22113	33	33	258	3	118	757	55	108	7	27/11/18
BDX22319	Fangu	Fangu	35245,85	2201	141242	759248	163	37842	1128	1122	142	20264	26	29	240	4	117	831	46	103	7	27/11/18
BDX22319	Fangu	Fangu	39361,53	1696	142491	760141	117	34045	978	1232	110	18267	23	32	204	3	154	968	62	108	7	27/11/18
BDX22320	Fangu (Pirio?)	Fangu	44272,45	9812	138778	771066	672	16186	1388	1464	307	15474	42	21	64	53	37	208	23	128	3	28/11/18
BDX22320	Fangu (Pirio?)	Fangu	38391,2	1562	152453	771333	158	16330	939	1375	335	16454	65	27	68	69	41	231	28	139	3	28/11/18
BDX22320	Fangu (Pirio?)	Fangu	39759,83	1805	153207	771637	0	14388	828	1188	329	16237	62	26	61	69	38	203	26	134	3	28/11/18

BDX	Source	Region	Na2O	MgO	Al2O3	SiO2	P2O5	K2O	CaO	TiO2	MnO	Fe2O3	Zn	Ga	Rb	Sr	Y	Zr	Nb	Ba	Pb	Date
BDX22320	Fangu (Prior?)	Fangu	47148,62	9020	142384	772491	695	12772	724	798	277	13142	51	22	51	60	33	180	22	126	3	28/11/18
BDX22320	Fangu (Prior?)	Fangu	40028,77	2769	147637	773284	674	15871	1293	1474	324	16011	60	24	62	61	40	218	26	141	4	28/11/18
BDX22320	Fangu (Prior?)	Fangu	47151,06	9239	139735	774325	674	13389	1031	1301	278	12347	49	22	52	56	33	181	21	112	3	28/11/18
BDX22320	Fangu (Prior?)	Fangu	46018,69	9465	137866	775148	447	14769	702	1168	274	13582	54	21	57	52	35	195	22	122	3	28/11/18
BDX22320	Fangu (Prior?)	Fangu	38703,14	2153	147645	775475	713	17204	1211	1449	307	14514	55	24	69	59	38	217	27	133	4	28/11/18
BDX22320	Fangu (Prior?)	Fangu	44784,42	9373	136908	776842	335	15295	797	1277	275	13549	51	20	60	52	36	205	24	114	3	28/11/18
BDX22321	Fangu	Fangu	44076,34	9878	138704	774114	568	13137	1259	873	315	16514	63	23	52	55	34	181	21	128	2	09/11/18
BDX22321	Fangu	Fangu	42116,82	4616	141609	780909	682	14039	757	1025	292	13401	50	21	56	56	34	185	22	125	3	09/11/18
BDX22321	Fangu	Fangu	43634,02	5141	139111	781535	339	13224	900	868	297	14399	48	21	56	58	33	177	21	135	3	09/11/18
BDX22321	Fangu	Fangu	48989,02	5223	129363	787067	337	12768	840	775	289	13745	56	23	53	63	34	189	21	160	4	09/11/18
BDX22322	Fangu (Prior?)	Fangu	53877,21	5812	152606	761488	642	8734	590	642	305	14730	50	26	35	63	35	210	26	126	3	29/11/18
BDX22322	Fangu (Prior?)	Fangu	51411,87	9493	146749	765661	669	9960	581	1051	283	13602	40	24	41	53	33	191	22	132	2	29/11/18
BDX22322	Fangu (Prior?)	Fangu	50803,09	4488	149905	768327	20	9654	583	1169	295	14210	38	25	37	58	35	211	26	115	3	29/11/18
BDX22322	Fangu (Prior?)	Fangu	51064,51	9587	144341	768728	691	9829	553	564	282	13841	58	23	40	52	33	168	22	124	2	29/11/18
BDX22322	Fangu (Prior?)	Fangu	56818,07	9719	135993	771629	651	9115	583	792	296	13829	52	25	35	59	35	210	26	128	2	29/11/18
BDX22322	Fangu (Prior?)	Fangu	58364,76	9626	135428	772299	720	8838	606	711	281	12552	51	24	34	60	35	212	26	131	2	29/11/18
BDX22322	Fangu (Prior?)	Fangu	54038,08	2836	138826	777445	661	8924	1438	851	327	14076	42	27	35	73	37	216	25	120	2	29/11/18
BDX22322	Fangu (Prior?)	Fangu	47680,24	4807	142407	779121	419	9898	576	832	291	13466	42	22	40	51	33	165	22	127	2	29/11/18
BDX22322	Fangu (Prior?)	Fangu	35337,7	1839	132992	808254	290	10464	473	0	238	9660	36	17	43	39	28	124	18	145	3	29/11/18
BDX22323	Fangu	Fangu	39339,39	3980	150759	765659	630	15894	1761	1307	343	19688	81	26	74	71	38	198	27	120	5	08/11/18
BDX22323	Fangu	Fangu	46366,84	9540	143606	768371	671	13387	727	875	293	15582	58	23	60	66	34	178	22	136	3	08/11/18
BDX22323	Fangu	Fangu	52780,23	10180	129740	774457	679	12979	1340	1114	302	15847	42	24	53	69	52	197	23	118	3	08/11/18
BDX22323	Fangu	Fangu	43811,98	1933	146386	776299	739	13074	1446	1083	301	14335	65	25	56	74	35	184	24	125	4	08/11/18
BDX22323	Fangu	Fangu	51275,23	9939	126741	780745	428	12913	1260	970	297	14839	58	22	56	66	35	195	22	136	4	08/11/18
BDX22324	Fangu	Fangu	29599,75	1286	124968	770778	92	48794	1736	1918	371	19674	28	17	227	20	59	295	18	105	15	15/11/18
BDX22324	Fangu	Fangu	27427,01	1770	125915	771087	253	52660	1732	0	378	17976	30	17	235	21	60	304	20	108	9	15/11/18
BDX22324	Fangu	Fangu	25466,52	2893	122638	775042	91	48425	1596	1503	363	21178	38	17	224	21	57	307	17	110	14	15/11/18
BDX22324	Fangu	Fangu	34121,09	821	118764	779356	374	51252	1735	0	376	12261	28	18	262	21	84	372	22	128	5	15/11/18
BDX22324	Fangu	Fangu	33317,4	794	119691	780342	294	50302	1742	763	355	11509	25	17	258	21	84	379	20	112	4	15/11/18
BDX22324	Fangu	Fangu	32166,92	835	117806	785024	262	49789	1746	0	351	11152	24	17	253	20	73	330	21	124	5	15/11/18
BDX22324	Fangu	Fangu	27145,89	1345	122182	791022	141	44115	1511	0	332	11417	25	15	222	19	69	315	19	102	3	15/11/18

BDX	Source	Region	Na2O	MgO	Al2O3	SiO2	P2O5	K2O	CaO	TiO2	MnO	Fe2O3	Zn	Ga	Rb	Sr	Y	Zr	Nb	Ba	Pb	Date
BDX22324	Fangu	Fangu	26841,43	1280	117181	795533	123	46531	1580	226	301	9665	21	14	220	18	58	279	17	108	3	15/11/18
BDX22324	Fangu	Fangu	28931,91	1045	117265	795814	152	44038	1488	270	305	9918	22	14	220	18	66	305	16	109	3	15/11/18
BDX22325	Fangu (Pirio?)	Fangu	40558,17	11461	140734	748759	657	23001	11150	1490	817	20687	60	22	115	55	61	216	24	128	4	30/11/18
BDX22325	Fangu (Pirio?)	Fangu	35118,42	8835	147822	749660	500	24312	11777	1242	1254	18747	65	24	125	59	78	223	23	129	5	30/11/18
BDX22325	Fangu (Pirio?)	Fangu	40093,87	10404	143827	755512	688	24032	1396	1553	356	21441	65	24	122	48	62	226	25	119	8	30/11/18
BDX22325	Fangu (Pirio?)	Fangu	41697,66	9581	142804	756884	685	23605	1028	1755	351	20926	65	22	114	49	58	222	23	125	4	30/11/18
BDX22325	Fangu (Pirio?)	Fangu	39132,07	9885	142917	757325	599	22627	1780	1674	405	23000	65	24	109	44	55	204	25	127	3	30/11/18
BDX22325	Fangu (Pirio?)	Fangu	43367,28	9407	140723	760218	542	22188	4185	1029	432	17253	59	22	109	52	54	215	21	118	5	30/11/18
BDX22325	Fangu (Pirio?)	Fangu	42576,68	9385	140591	761216	348	23496	1030	1033	325	19349	61	22	111	48	52	218	21	114	4	30/11/18
BDX22325	Fangu (Pirio?)	Fangu	40048,98	9278	142146	762083	578	22982	941	1214	333	19746	59	22	107	43	54	212	24	125	3	30/11/18
BDX22325	Fangu (Pirio?)	Fangu	38148,51	9413	140784	764302	589	23321	1149	327	349	20960	64	22	108	46	51	208	21	132	4	30/11/18
BDX22326	Fangu	Fangu	49166,75	826	151972	754191	668	21824	972	1480	307	17909	65	26	104	38	46	239	27	138	3	14/11/18
BDX22326	Fangu	Fangu	46784,75	5917	143124	764902	542	19300	823	265	284	17427	58	24	84	36	61	215	22	130	2	14/11/18
BDX22326	Fangu	Fangu	45026,48	9136	140345	766071	260	18701	965	766	284	17834	59	23	87	34	50	218	24	113	2	14/11/18
BDX22326	Fangu	Fangu	37022,53	1231	152337	767008	149	23050	1261	0	306	16932	62	25	108	38	44	266	23	136	2	14/11/18
BDX22326	Fangu	Fangu	40630,98	2001	145277	768667	681	22726	990	968	291	17125	62	25	102	35	42	209	23	143	2	14/11/18
BDX22326	Fangu	Fangu	40023,2	971	148748	769193	662	19946	861	1397	296	17227	63	25	89	37	58	248	26	128	2	14/11/18
BDX22326	Fangu	Fangu	38087,39	1516	146004	770148	633	21302	925	0	335	20360	69	26	104	36	44	241	23	142	2	14/11/18
BDX22326	Fangu	Fangu	44080,94	2872	142402	771362	125	20758	859	914	267	15754	58	24	95	35	39	213	22	119	2	14/11/18
BDX22326	Fangu	Fangu	40551,6	2933	143576	773161	126	19438	832	23	289	18459	63	24	90	35	49	206	22	120	2	14/11/18
BDX22326	Fangu	Fangu	40746,52	1655	143612	774343	698	23676	985	1145	227	12226	46	21	105	32	47	268	24	140	2	14/11/18
BDX22326	Fangu	Fangu	37215,82	1482	145107	774421	717	23093	987	361	277	15679	61	23	102	33	42	246	25	124	3	14/11/18
BDX22326	Fangu	Fangu	43452,42	2136	144642	774847	589	17723	795	52	265	14848	56	23	83	37	61	232	23	134	2	14/11/18
BDX22326	Fangu	Fangu	38521,06	1824	144259	774904	674	18701	882	973	303	18355	65	24	87	34	41	202	23	126	2	14/11/18
BDX22326	Fangu	Fangu	41560,18	2420	139688	776316	478	24266	940	857	241	12588	51	21	99	31	49	253	24	115	2	14/11/18
BDX22326	Fangu	Fangu	36015,76	1302	144356	776688	641	20896	873	1191	300	17069	64	24	107	35	42	229	24	141	2	14/11/18

BDX	Source	Region	Na2O	MgO	Al2O3	SiO2	P2O5	K2O	CaO	TiO2	MnO	Fe2O3	Zn	Ga	Rb	Sr	Y	Zr	Nb	Ba	Pb	Date
BDX22326	Fangu	Fangu	46226,71	2803	130067	778678	504	19849	917	1329	303	18633	63	25	86	38	57	255	28	137	2	14/11/18
BDX22326	Fangu	Fangu	42952,86	4795	135769	778894	259	20591	874	22	256	15014	54	22	89	32	33	200	19	122	2	14/11/18
BDX22326	Fangu	Fangu	43247,2	830	137032	780123	671	28305	1103	0	156	7950	31	17	133	28	43	164	18	145	3	14/11/18
BDX22326	Fangu	Fangu	39229,81	2185	141042	780365	712	20503	1043	0	265	14040	54	22	96	33	40	207	22	139	2	14/11/18
BDX22326	Fangu	Fangu	34612,9	956	143280	781162	705	21930	889	0	282	15576	60	24	97	35	36	211	20	121	2	14/11/18
BDX22326	Fangu	Fangu	44729,96	3260	131869	782502	245	21289	1108	1669	234	12441	50	21	95	32	52	249	31	122	3	14/11/18
BDX22326	Fangu	Fangu	36901,8	883	137406	785146	655	29130	1451	744	136	6974	25	15	131	28	46	172	22	133	3	14/11/18
BDX22326	Fangu	Fangu	39781,06	2541	136447	785272	395	19710	851	783	255	13386	53	20	89	30	42	205	24	116	2	14/11/18
BDX22326	Fangu (Prior?)	Fangu	40666,71	10262	151689	744199	134	32080	1567	1959	322	16389	56	23	141	34	48	289	26	113	1	21/09/18
BDX22326	Fangu (Prior?)	Fangu	34179,46	7248	146649	758059	154	42644	1822	320	270	7963	28	18	195	33	65	203	19	127	4	21/09/18
BDX22371	Monte San Petru	Taravu	38915,86	658	142048	743132	143	45174	12379	1949	711	13562	27	15	243	77	25	115	22	781	23	28/01/19
BDX22371	Monte San Petru	Taravu	42457,38	597	140005	746596	116	46303	9550	1409	581	11104	21	14	250	78	22	116	21	740	21	28/01/19
BDX22371	Monte San Petru	Taravu	41016,07	598	140213	748036	621	45995	10780	1288	500	9937	22	15	242	74	21	107	21	496	21	28/01/19
BDX22371	Monte San Petru	Taravu	41001,92	693	138541	748967	262	44802	10746	1517	573	11646	24	15	227	74	24	114	20	732	20	28/01/19
BDX22371	Monte San Petru	Taravu	33910,68	709	139284	753558	684	45636	10960	1698	588	11798	23	14	247	74	20	131	21	622	22	28/01/19
BDX22371	Monte San Petru	Taravu	27790,3	1880	142028	755656	394	46928	11128	1515	559	10994	23	15	245	78	25	109	22	591	20	28/01/19
BDX22371	Monte San Petru	Taravu	39500,31	918	123182	763046	126	46346	11589	1756	645	11893	22	14	254	74	25	117	22	445	23	28/01/19
BDX22371	Monte San Petru	Taravu	33302,44	760	128733	764569	170	45446	12589	1419	549	11259	22	15	250	82	21	105	21	663	23	28/01/19
BDX22371	Monte San Petru	Taravu	33774,42	784	125634	765941	200	44640	11896	1879	694	13542	31	14	236	78	29	123	20	451	34	28/01/19
BDX22372	Monte San Petru	Taravu	44586,78	614	139386	746048	127	44211	11765	1378	372	10438	22	14	224	77	24	113	21	564	14	25/01/19
BDX22372	Monte San Petru	Taravu	44937,77	607	138302	747451	222	42560	12115	1444	383	10688	25	13	217	77	17	124	20	781	15	25/01/19
BDX22372	Monte San Petru	Taravu	35341,13	644	140867	749827	196	45605	12145	1844	436	12002	29	14	233	79	16	107	21	577	15	25/01/19
BDX22372	Monte San Petru	Taravu	38621,53	645	138951	751950	179	44336	11737	1435	376	10391	23	14	224	78	17	123	21	862	16	25/01/19
BDX22372	Monte San Petru	Taravu	35231,52	655	139886	753424	180	44283	12735	1387	520	10557	22	14	223	79	24	105	20	637	19	25/01/19
BDX22372	Monte San Petru	Taravu	28279,46	2010	141587	754962	217	46361	12093	1614	453	11142	26	15	233	81	17	118	21	749	20	25/01/19
BDX22372	Monte San Petru	Taravu	29464,16	602	141341	755669	193	45623	12626	1487	409	11154	25	14	237	81	23	136	20	877	17	25/01/19

BDX	Source	Region	Na2O	MgO	Al2O3	SiO2	P2O5	K2O	CaO	TiO2	MnO	Fe2O3	Zn	Ga	Rb	Sr	Y	Zr	Nb	Ba	Pb	Date
BDX22372	Monte San Petru	Taravu	27714,94	1949	140898	755755	130	45756	12292	1782	438	12089	28	14	233	79	22	126	22	655	17	25/01/19
BDX22372	Monte San Petru	Taravu	43496	658	128573	755878	667	45217	12269	1431	371	10155	23	14	228	79	18	110	21	777	17	25/01/19
BDX22372	Monte San Petru	Taravu	43846,53	995	125611	759537	190	43939	12153	1520	387	10679	25	13	220	77	18	103	21	652	16	25/01/19
BDX22372	Monte San Petru	Taravu	39613	759	123263	763988	177	44893	12065	2028	462	11533	26	15	231	79	22	110	21	701	16	25/01/19
BDX22372	Monte San Petru	Taravu	35644,18	746	121932	769429	168	45781	12077	1570	430	11086	24	15	238	80	21	105	21	617	16	25/01/19
BDX22373	Monte San Petru	Taravu	31199,57	2450	152444	727023	132	51425	14258	2442	494	16265	27	17	253	92	25	134	25	1278	17	11/02/19
BDX22373	Monte San Petru	Taravu	33358,98	1601	150818	732504	354	51352	14517	1467	389	12380	25	16	241	89	22	128	24	695	18	11/02/19
BDX22373	Monte San Petru	Taravu	30872,38	2352	151297	734004	703	50542	14309	1745	410	12567	25	16	239	90	32	121	24	632	18	11/02/19
BDX22373	Monte San Petru	Taravu	31352,41	2002	149441	734713	701	50700	13832	1935	416	13636	28	16	237	88	22	124	23	717	17	11/02/19
BDX22373	Monte San Petru	Taravu	34873,3	1403	148356	735108	348	49411	14217	1688	406	12725	26	17	225	88	25	138	24	903	19	11/02/19
BDX22373	Monte San Petru	Taravu	29488,82	1611	149474	737258	706	51331	14113	1774	411	12540	26	16	247	89	24	125	24	724	17	11/02/19
BDX22373	Monte San Petru	Taravu	29301,17	1459	148849	739442	649	51101	13670	1720	400	12170	25	16	236	87	35	127	24	674	17	11/02/19
BDX22373	Monte San Petru	Taravu	30188,59	1195	147289	740688	539	50275	13110	1744	412	12970	26	16	234	84	22	128	24	1040	16	11/02/19
BDX22373	Monte San Petru	Taravu	29970,38	867	148110	741669	329	48415	15964	1485	380	11463	30	17	221	95	21	124	24	798	17	11/02/19
BDX22373	Monte San Petru	Taravu	27755,27	622	146031	743019	728	51321	13293	1992	423	13559	26	16	236	85	22	120	24	713	16	11/02/19
BDX22373	Monte San Petru	Taravu	28961,3	730	146236	743437	325	50398	13427	1843	410	13040	26	16	237	85	22	119	23	647	17	11/02/19
BDX22373	Monte San Petru	Taravu	29583,34	2309	147603	743755	645	49823	12879	1372	358	10453	21	15	219	85	24	148	23	668	17	11/02/19
BDX22373	Monte San Petru	Taravu	28657,69	849	145458	746817	739	48947	13522	1500	374	11416	23	16	221	86	25	131	23	1179	17	11/02/19
BDX22373	Monte San Petru	Taravu	28334,95	691	145150	747265	692	49550	13132	1716	389	11741	26	16	228	84	26	118	23	802	15	11/02/19
BDX22373	Monte San Petru	Taravu	28861,44	812	145090	747678	732	48468	13371	1756	387	11802	26	16	224	83	23	126	23	505	16	11/02/19
BDX22373	Monte San Petru	Taravu	31092,69	712	143450	748479	672	47162	13220	1790	379	11755	24	14	214	83	29	124	23	762	16	11/02/19
BDX22374	Monte San Petru	Taravu	45243,66	725	141163	738919	105	46225	11743	1715	411	12560	30	15	224	77	19	122	20	658	26	23/01/19
BDX22374	Monte San Petru	Taravu	43585,04	654	139731	743782	684	45050	12250	1495	366	11024	31	14	218	76	18	122	20	852	26	23/01/19
BDX22374	Monte San Petru	Taravu	28371,12	1862	142802	748979	158	47633	13015	2020	434	13286	32	15	232	82	21	122	23	893	22	23/01/19
BDX22374	Monte San Petru	Taravu	26988,11	2143	140666	756035	234	45826	12525	1605	393	12232	31	15	221	78	16	120	21	827	25	23/01/19
BDX22374	Monte San Petru	Taravu	38011,3	955	126683	756239	688	45773	11870	1615	525	16375	34	15	270	76	18	117	22	692	20	23/01/19

BDX	Source	Region	Na2O	MgO	Al2O3	SiO2	P2O5	K2O	CaO	TiO2	MnO	Fe2O3	Zn	Ga	Rb	Sr	Y	Zr	Nb	Ba	Pb	Date
BDX22374	Monte San Petru	Taravu	35886,51	782	124854	764375	385	46061	12289	1540	384	11892	30	15	226	78	17	122	21	1020	25	23/01/19
BDX22374	Monte San Petru	Taravu	35819,27	799	123967	764601	99	44520	11965	1823	470	14313	32	16	210	76	22	126	20	1098	23	23/01/19
BDX22374	Monte San Petru	Taravu	37011,36	769	124335	765727	99	44916	11872	1664	395	12044	29	15	218	76	16	117	21	655	21	23/01/19
BDX22374	Monte San Petru	Taravu	32924,27	786	124823	769169	252	45426	11548	1557	396	11845	27	15	219	77	17	118	20	760	20	23/01/19
BDX22375	Monte San Petru	Taravu	44423,51	728	139415	736744	116	44932	12961	2111	406	17024	23	15	246	83	23	117	21	595	16	05/02/19
BDX22375	Monte San Petru	Taravu	44088,38	732	140374	737100	181	47173	12607	1896	355	13822	21	15	256	82	22	130	21	1107	17	05/02/19
BDX22375	Monte San Petru	Taravu	42546,46	704	138753	744306	159	44221	12790	1504	336	13065	20	16	224	83	27	126	21	1082	18	05/02/19
BDX22375	Monte San Petru	Taravu	41291,15	681	139359	745613	155	44377	12720	1584	346	12236	19	15	232	80	27	129	21	1098	16	05/02/19
BDX22375	Monte San Petru	Taravu	31390,7	631	142249	749412	102	48203	12795	1661	328	11520	20	16	258	85	24	129	21	1139	16	05/02/19
BDX22375	Monte San Petru	Taravu	27892,22	694	143719	750189	203	48156	14011	1466	348	11685	22	16	251	91	24	130	22	1064	18	05/02/19
BDX22375	Monte San Petru	Taravu	27220,81	619	142271	750896	157	47330	13388	1932	383	14351	22	15	251	85	30	137	22	872	17	05/02/19
BDX22375	Monte San Petru	Taravu	27805,13	705	142294	751687	236	48710	12639	1586	355	12255	21	16	255	85	25	132	23	1155	17	05/02/19
BDX22375	Monte San Petru	Taravu	31837,33	612	142389	752232	103	44264	14449	1430	335	11127	20	15	222	85	32	135	21	677	16	05/02/19
BDX22375	Monte San Petru	Taravu	30231,07	638	141218	752414	192	45840	13615	1699	355	12437	22	16	220	86	30	145	21	807	16	05/02/19
BDX22375	Monte San Petru	Taravu	27767,12	2111	141425	752986	236	46714	13022	1517	344	12155	19	16	246	84	28	128	22	1162	17	05/02/19
BDX22375	Monte San Petru	Taravu	31835,2	629	140018	753871	190	46288	12699	1573	336	11203	18	14	240	83	29	125	22	811	17	05/02/19
BDX22376	Monte San Petru	Taravu	37115,34	740	136588	755195	178	45726	11092	1281	526	10482	21	14	234	67	24	129	21	543	24	01/02/19
BDX22376	Monte San Petru	Taravu	42750,76	688	121436	764896	115	45386	10882	1533	560	10909	20	13	234	67	24	111	20	330	23	01/02/19
BDX22376	Monte San Petru	Taravu	33372,12	877	122797	769069	122	43102	12271	1893	706	14758	27	15	233	71	28	111	21	496	30	01/02/19
BDX22376	Monte San Petru	Taravu	33290,85	786	123315	773679	167	44578	11163	1216	471	10009	19	13	224	67	23	115	20	818	26	01/02/19
BDX22376	Monte San Petru	Taravu	31569,76	772	122448	777338	173	43915	11242	1348	464	9840	20	14	212	67	24	112	20	395	23	01/02/19
BDX22847	Curatoja (route accès.MB)	MontiBarbatu	31317,73	2140	149529	732243	622	66046	8472	0	276	7834	15	17	204	106	23	89	20	1020	25	28/03/19
BDX22847	Curatoja (route accès.MB)	MontiBarbatu	28405,2	2276	148237	749239	591	53220	9690	130	259	6681	13	17	174	107	22	82	19	817	21	28/03/19
BDX22847	Curatoja (route accès.MB)	MontiBarbatu	27877,76	1527	145150	749617	703	53008	11215	363	329	8741	18	16	175	107	28	92	19	992	22	28/03/19
BDX22847	Curatoja (route accès.MB)	MontiBarbatu	29265,87	2284	147153	749690	641	48933	11483	220	296	8870	17	17	159	106	26	83	18	715	23	28/03/19
BDX22847	Curatoja (route accès.MB)	MontiBarbatu	28395,48	2282	148749	751057	630	48004	12024	0	285	7543	16	17	161	105	24	80	19	588	22	28/03/19
BDX22847	Curatoja (route accès.MB)	MontiBarbatu	38928,14	650	141487	751555	212	47753	10613	0	241	7236	15	15	144	103	24	78	17	906	23	28/03/19

BDX	Source	Region	Na2O	MgO	Al2O3	SiO2	P2O5	K2O	CaO	TiO2	MnO	Fe2O3	Zn	Ga	Rb	Sr	Y	Zr	Nb	Ba	Pb	Date
BDX22847	Curraoia (route accès.MB)	MontiBarbatu	37628,68	693	140056	757684	297	42600	11337	0	268	8570	16	16	133	98	27	76	17	461	21	28/03/19
BDX22847	Curraoia (route accès.MB)	MontiBarbatu	31897,94	1642	129776	766718	608	47561	12073	145	299	8270	16	17	150	109	22	81	18	578	19	28/03/19
BDX22847	Curraoia (route accès.MB)	MontiBarbatu	30636,32	1556	129426	769212	516	47996	11622	0	271	7598	14	17	154	103	29	85	18	728	19	28/03/19
BDX22847	Curraoia (route accès.MB)	MontiBarbatu	28948,75	1612	132082	770080	652	44902	11950	0	285	7893	17	17	145	108	30	90	18	1153	19	28/03/19
BDX22847	Curraoia (route accès.MB)	MontiBarbatu	32791,47	2069	153769	729597	640	62071	8787	64	301	8276	16	17	189	110	25	86	21	1153	20	08/04/19
BDX22847	Curraoia (route accès.MB)	MontiBarbatu	33874,07	1297	152492	741393	649	49579	11616	0	277	7671	15	17	169	103	21	73	21	712	21	08/04/19
BDX22847	Curraoia (route accès.MB)	MontiBarbatu	29842,09	2144	152284	743125	739	49821	12464	0	275	8216	17	18	152	115	27	86	20	692	23	08/04/19
BDX22847	Curraoia (route accès.MB)	MontiBarbatu	30280,85	1506	147315	745385	741	56657	9314	0	256	6914	15	17	172	105	24	82	19	1178	20	08/04/19
BDX22847	Curraoia (route accès.MB)	MontiBarbatu	29369,9	2176	151577	746240	692	48690	11995	0	304	8004	17	18	163	107	19	70	20	520	18	08/04/19
BDX22847	Curraoia (route accès.MB)	MontiBarbatu	29684,9	2177	152375	749038	704	42596	12989	47	303	9142	15	18	143	112	29	83	19	505	19	08/04/19
BDX22847	Curraoia (route accès.MB)	MontiBarbatu	27790,25	1279	144095	758827	709	49024	9481	0	254	7417	14	16	147	107	21	74	18	706	20	08/04/19
BDX22847	Curraoia (route accès.MB)	MontiBarbatu	31503,32	1581	132281	765746	137	50811	9202	0	268	7020	15	16	155	98	25	81	18	1024	20	08/04/19
BDX22847	Curraoia (route accès.MB)	MontiBarbatu	30332,62	1662	131029	771277	610	43581	11792	0	283	8424	16	16	143	101	29	90	18	578	19	08/04/19
BDX23087	Fangu Ghineparu	Fangu	35465,55	1794	139808	754010	780	54674	2129	1827	39	8542	11	20	204	33	72	430	32	126	5	17/07/19
BDX23087	Fangu Ghineparu	Fangu	29496,46	691	142726	758977	459	55642	2108	0	47	8870	11	21	206	32	108	430	25	145	5	17/07/19
BDX23087	Fangu Ghineparu	Fangu	31210,3	836	146966	759987	493	48636	1848	1480	32	7693	11	20	182	30	56	360	29	129	4	17/07/19
BDX23087	Fangu Ghineparu	Fangu	27637,52	791	142518	766012	413	50186	2032	654	55	8793	11	20	191	33	70	404	26	149	5	17/07/19
BDX23087	Fangu Ghineparu	Fangu	26603,12	918	138422	769917	461	50851	1963	0	147	9823	13	19	191	29	64	407	22	146	5	17/07/19
BDX23088	Fangu Ghineparu	Fangu	33372,89	983	143151	740189	152	63883	2191	0	288	14848	19	22	218	35	90	402	20	131	6	18/07/19
BDX23088	Fangu Ghineparu	Fangu	32737,05	681	142453	746112	129	61652	2272	1874	126	10975	14	22	225	32	87	409	50	144	7	18/07/19
BDX23088	Fangu Ghineparu	Fangu	32732,83	962	136203	753550	268	57878	2037	4429	98	10856	12	18	196	33	147	381	58	136	6	18/07/19
BDX23088	Fangu Ghineparu	Fangu	34053,54	2310	137425	754216	731	55331	1968	849	186	12058	15	21	197	32	85	355	25	137	5	18/07/19
BDX23088	Fangu Ghineparu	Fangu	31407,3	633	140157	754478	636	60648	2025	0	42	9022	11	20	224	28	92	406	34	130	6	18/07/19
BDX23088	Fangu Ghineparu	Fangu	34752,65	870	133350	755582	418	62370	2179	327	80	8831	11	20	229	54	92	391	22	417	7	18/07/19
BDX23088	Fangu Ghineparu	Fangu	31606,63	977	134784	767844	419	51031	1953	0	169	10243	11	18	182	32	154	398	24	148	6	18/07/19
BDX23088	Fangu Ghineparu	Fangu	27693,59	640	132247	772313	491	56117	2023	0	30	7585	10	17	181	34	113	348	20	130	6	18/07/19
BDX23088	Fangu Ghineparu	Fangu	26945,15	775	132562	775757	554	51087	1767	1868	29	7786	9	18	191	25	71	392	24	135	5	18/07/19
BDX23088	Fangu Ghineparu	Fangu	25801,74	776	128779	779233	550	53837	1848	483	28	7808	7	17	189	27	92	370	23	126	5	18/07/19
BDX23088	Fangu Ghineparu	Fangu	26875,55	660	129021	783878	246	50032	1751	0	14	6693	8	16	180	24	71	382	16	128	5	18/07/19
BDX23088	Fangu Ghineparu	Fangu	26285,84	636	127240	784035	652	49571	1934	1313	31	7458	8	17	174	26	126	350	20	118	5	18/07/19
BDX23088	Fangu Ghineparu	Fangu	26449,98	604	127577	785131	197	50770	1779	0	4	6607	8	16	175	28	159	348	16	127	5	18/07/19
BDX23089	Fangu San Quilicu	Fangu	29156,58	2077	136967	769249	236	45127	3384	616	217	11833	58	29	222	7	91	586	28	108	9	29/07/19
BDX23089	Fangu San Quilicu	Fangu	26725,2	678	138609	771802	537	43427	5477	832	231	10585	47	25	194	7	95	580	29	110	9	29/07/19

BDX	Source	Region	Na2O	MgO	Al2O3	SiO2	P2O5	K2O	CaO	TiO2	MnO	Fe2O3	Zn	Ga	Rb	Sr	Y	Zr	Nb	Ba	Pb	Date
BDX23089	Fangu San Quilicu	Fangu	25768,41	682	136252	780646	698	41301	2387	1045	222	9950	45	25	186	9	89	549	33	105	8	29/07/19
BDX23089	Fangu San Quilicu	Fangu	25036,05	1515	132007	780905	210	41333	6560	993	256	10158	41	24	182	9	86	537	37	102	9	29/07/19
BDX23089	Fangu San Quilicu	Fangu	33519,18	636	128542	785260	512	38552	1680	902	213	9336	35	22	177	8	87	554	43	112	10	29/07/19
BDX23090	Fangu San Quilicu	Fangu	31304,78	796	142841	754364	665	48392	4327	171	271	15677	69	35	269	8	95	563	24	118	8	29/07/19
BDX23090	Fangu San Quilicu	Fangu	44193,53	868	135903	760630	180	42360	1819	1299	223	11353	54	28	200	8	101	630	39	100	11	29/07/19
BDX23090	Fangu San Quilicu	Fangu	27144,78	939	143981	764341	334	44144	1908	1119	283	14575	58	29	200	9	110	667	37	110	12	29/07/19
BDX23090	Fangu San Quilicu	Fangu	37047,01	1029	123568	771970	663	44570	4230	947	246	14451	61	32	234	8	111	669	44	110	11	29/07/19
BDX23090	Fangu San Quilicu	Fangu	36635,31	1039	130322	774935	113	40308	1799	1518	247	11993	50	27	187	8	92	574	38	105	11	29/07/19
BDX23767	Taravu	Taravu	37454,37	2302	135738	751092	706	54689	2650	0	282	14254	42	18	320	38	49	198	26	138	2	29/07/19
BDX23767	Taravu	Taravu	33574,89	2507	139397	751353	513	54342	2642	445	278	14134	43	18	314	40	51	195	27	124	2	29/07/19
BDX23767	Taravu	Taravu	31024,03	1399	142280	756429	595	52217	2526	135	242	12388	37	15	297	37	48	189	23	118	2	29/07/19
BDX23767	Taravu	Taravu	35744,66	1784	117363	768214	320	56062	2657	1960	286	14793	44	17	310	38	50	197	26	133	2	29/07/19
BDX23767	Taravu	Taravu	35978,98	1920	116652	769117	230	56324	2691	1359	281	14625	44	18	322	39	52	195	28	124	2	29/07/19
BDX23767	Taravu	Taravu	34067,03	1773	110550	774220	356	60330	2713	280	284	14543	44	16	342	39	54	213	27	146	3	29/07/19
BDX23767	Taravu	Taravu	35048,87	1845	116940	774304	449	54851	2461	146	253	12934	38	15	305	35	48	184	25	118	2	29/07/19
BDX23767	Taravu	Taravu	34068,12	2021	117480	775058	189	54729	2655	0	252	12745	39	17	303	37	50	191	27	137	2	29/07/19
BDX23767	Taravu	Taravu	35641,93	2008	113813	780057	115	53912	2468	18	221	11007	32	13	295	32	48	167	26	124	2	29/07/19
BDX23767	Taravu	Taravu	29656,35	1137	112738	780092	544	57717	2685	230	284	14075	44	16	329	37	55	201	28	130	2	29/07/19
BDX23767	Taravu	Taravu	30375,26	1105	112555	782109	536	55339	2703	0	276	14172	42	18	317	38	51	195	27	138	3	29/07/19
BDX23767	Taravu	Taravu	34850,4	1708	107713	784996	403	53878	2554	0	271	12834	40	15	302	36	50	184	25	141	1	29/07/19
BDX23802	Tartagna	Tartagna	35932,64	1826	140833	719341	150	75175	2381	1822	32	21072	45	31	393	3	97	687	36	122	23	24/09/19
BDX23802	Tartagna	Tartagna	35999,98	1764	132909	729911	154	72417	2378	1561	127	21261	53	31	415	3	107	725	36	123	24	24/09/19
BDX23802	Tartagna	Tartagna	32356,15	1766	138772	738508	140	61141	1948	1533	34	22396	48	29	337	2	101	712	33	119	26	24/09/19
BDX23802	Tartagna	Tartagna	28918,06	1981	142390	741774	121	56704	1850	1322	35	23530	61	28	319	2	99	687	33	118	28	24/09/19
BDX23802	Tartagna	Tartagna	33452,58	1837	137415	745431	152	54257	1784	1211	277	22641	69	36	320	3	123	801	39	130	23	24/09/19
BDX23802	Tartagna	Tartagna	28461,17	1964	148080	747207	138	50297	1663	1104	17	19458	66	35	289	3	143	879	37	124	36	24/09/19
BDX23802	Tartagna	Tartagna	26655,1	2088	135918	748681	111	59382	1779	1288	42	22792	49	25	320	2	85	623	29	110	22	24/09/19
BDX23802	Tartagna	Tartagna	26980,28	2190	136725	750485	111	57563	1748	1244	83	21600	55	25	317	2	82	630	33	104	21	24/09/19
BDX23802	Tartagna	Tartagna	35740,88	1196	137941	753621	381	63478	1938	351	12	3977	30	29	341	2	106	698	26	113	18	24/09/19
BDX23802	Tartagna	Tartagna	30509,58	2014	142109	755606	505	62724	2010	1517	48	1504	36	31	349	3	112	741	43	116	21	24/09/19
BDX23802	Tartagna	Tartagna	32776,69	1504	115362	763325	153	58396	1781	1502	62	23763	60	28	320	2	99	701	35	104	28	24/09/19
BDX23802	Tartagna	Tartagna	27173,04	2043	140070	767579	501	53739	1781	2489	28	3299	38	30	320	2	92	655	30	114	15	24/09/19
BDX23803	Tartagna	Tartagna	33572,35	1734	129635	730060	136	85156	2835	434	37	15011	24	23	415	8	84	665	21	137	15	26/09/19

BDX	Source	Region	Na2O	MgO	Al2O3	SiO2	P2O5	K2O	CaO	TiO2	MnO	Fe2O3	Zn	Ga	Rb	Sr	Y	Zr	Nb	Ba	Pb	Date
BDX23803	Tartagna	Tartagna	31674,11	1804	147888	735581	152	54119	1818	1483	49	23981	26	31	323	9	106	776	28	135	16	26/09/19
BDX23803	Tartagna	Tartagna	30702,71	1389	136379	739091	544	72159	2255	757	37	15516	21	20	361	7	64	546	21	116	14	26/09/19
BDX23803	Tartagna	Tartagna	36328,81	1160	128359	750049	786	53957	1803	1340	64	24689	31	28	339	10	105	775	29	133	16	26/09/19
BDX23803	Tartagna	Tartagna	27125,37	1678	118849	750854	373	87103	2801	9	50	9742	36	23	456	7	70	636	27	143	19	26/09/19
BDX23803	Tartagna	Tartagna	27752,67	2030	132071	755605	573	70247	2168	843	27	7591	18	18	355	6	53	487	23	118	13	26/09/19
BDX23803	Tartagna	Tartagna	29915,32	2078	134456	758871	436	53449	1691	1247	28	16566	26	21	280	7	103	664	28	113	21	26/09/19
BDX23803	Tartagna	Tartagna	37759,85	1722	118601	759796	156	51718	1604	1624	79	25442	36	25	297	8	114	819	43	141	17	26/09/19
BDX23803	Tartagna	Tartagna	35772,21	1135	119703	766093	376	44462	1285	1707	81	27662	32	25	251	8	157	1074	34	123	18	26/09/19
BDX23803	Tartagna	Tartagna	31740,44	1977	123123	774926	231	49519	1601	529	27	15239	25	17	262	6	94	528	21	120	17	26/09/19
BDX23804	Tartagna	Tartagna	32890,89	1165	144455	717111	129	65822	2027	1713	194	32517	185	41	423	4	179	951	60	113	20	01/10/19
BDX23804	Tartagna	Tartagna	34290	1971	139453	717607	131	68948	2097	1436	126	32413	88	31	369	4	140	714	39	120	23	01/10/19
BDX23804	Tartagna	Tartagna	36106,59	1923	132899	728070	153	67460	2188	1431	98	28249	82	29	369	4	116	641	45	113	24	01/10/19
BDX23804	Tartagna	Tartagna	29091,05	2231	142812	729723	118	58869	1809	1629	143	32215	61	26	316	3	125	666	37	100	26	01/10/19
BDX23804	Tartagna	Tartagna	33266,17	1946	135110	732488	127	62147	1922	1482	146	29890	66	26	324	4	137	748	37	107	27	01/10/19
BDX23804	Tartagna	Tartagna	27158,63	1015	140740	738269	114	60959	1860	1352	77	26987	85	29	328	3	129	735	31	103	24	01/10/19
BDX23804	Tartagna	Tartagna	32224,59	1300	135171	745987	227	54329	1660	1076	71	26682	77	23	287	3	114	599	35	100	36	01/10/19
BDX23804	Tartagna	Tartagna	29372,65	2077	134264	748687	438	55047	1629	1104	144	26029	64	23	291	3	103	557	32	104	32	01/10/19
BDX23804	Tartagna	Tartagna	33055,06	1873	129595	749718	127	55592	1779	892	83	26047	83	25	298	3	109	554	34	112	20	01/10/19
BDX23804	Tartagna	Tartagna	30940,66	2193	127363	758850	118	50518	1705	1467	103	25502	72	24	277	4	109	586	35	115	20	01/10/19
BDX23805	Tartagna	Tartagna	34106,53	1672	138556	728523	124	64724	2100	1805	86	26604	117	33	345	5	130	893	43	116	16	01/10/19
BDX23805	Tartagna	Tartagna	33739,2	794	141607	732355	137	56772	1944	1756	117	29172	141	39	341	5	111	798	35	123	15	01/10/19
BDX23805	Tartagna	Tartagna	30707,95	1999	136731	736014	139	60212	1893	1852	102	28882	121	39	327	5	98	719	34	110	15	01/10/19
BDX23805	Tartagna	Tartagna	32121	1343	136338	739489	222	62491	2005	1720	79	22834	90	28	301	4	101	678	32	111	13	01/10/19
BDX23805	Tartagna	Tartagna	35582,42	1904	125365	747457	556	62304	1965	1499	39	21994	71	24	301	5	93	680	33	113	14	01/10/19
BDX23805	Tartagna	Tartagna	28326,17	1998	140284	749889	129	50034	1699	1798	74	24470	84	35	278	5	87	654	32	108	15	01/10/19
BDX23805	Tartagna	Tartagna	33139,71	2170	120689	750224	265	69125	2184	1255	52	19608	76	27	309	4	86	635	31	108	12	01/10/19
BDX23805	Tartagna	Tartagna	35518,79	2156	120964	761301	118	50886	1737	1495	62	24381	86	26	292	5	101	704	36	119	14	01/10/19
BDX23805	Tartagna	Tartagna	39294,13	2207	118159	761732	179	48887	1538	1881	85	24328	125	36	303	5	131	928	44	124	14	01/10/19
BDX23805	Tartagna	Tartagna	33817,64	1463	119116	764876	725	51028	1701	1796	56	23965	87	28	287	5	110	765	37	123	16	01/10/19
BDX23805	Tartagna	Tartagna	30320,76	1054	106819	782169	609	49649	1672	1769	54	24519	84	30	261	5	101	713	37	120	15	01/10/19

BDX	Source	Region	Na2O	MgO	Al2O3	SiO2	P2O5	K2O	CaO	TiO2	MnO	Fe2O3	Zn	Ga	Rb	Sr	Y	Zr	Nb	Ba	Pb	Date
BDX23806	Tartagna	Tartagna	33410,54	1110	152069	730982	601	66431	2101	1783	159	10540	30	21	193	11	42	321	22	157	14	27/09/19
BDX23806	Tartagna	Tartagna	36371,16	1723	137173	731046	207	66991	2146	2326	251	20912	43	20	204	11	42	346	22	156	11	27/09/19
BDX23806	Tartagna	Tartagna	31353,58	2055	142613	732782	220	63865	2042	1848	257	22048	40	20	195	11	43	428	20	150	10	27/09/19
BDX23806	Tartagna	Tartagna	31957,48	1790	141894	735916	165	65119	2087	1784	285	18236	42	18	195	10	43	280	20	148	10	27/09/19
BDX23806	Tartagna	Tartagna	28736,69	2059	147480	736438	423	69780	2288	1805	78	9939	44	22	209	12	67	428	20	159	12	27/09/19
BDX23806	Tartagna	Tartagna	39172,22	2057	143493	737351	120	60250	1943	1635	148	13023	34	17	176	9	38	375	20	130	9	27/09/19
BDX23806	Tartagna	Tartagna	28741,86	2094	145778	737894	166	63661	2050	1974	241	16591	43	20	183	11	41	348	21	130	13	27/09/19
BDX23806	Tartagna	Tartagna	33793,5	1706	138238	740368	227	63541	2061	1314	269	17653	47	18	191	10	42	336	20	152	15	27/09/19
BDX23806	Tartagna	Tartagna	28929,02	1976	142799	743886	173	59792	1901	1636	261	17736	38	17	178	9	38	463	19	138	10	27/09/19
BDX23806	Tartagna	Tartagna	26900,25	2019	139323	748740	123	59816	1916	1924	251	18235	39	17	172	9	43	307	18	136	10	27/09/19
BDX23806	Tartagna	Tartagna	27115,21	1678	137693	750587	190	59173	1924	2014	253	18604	39	21	162	13	39	335	21	126	12	27/09/19
BDX23806	Tartagna	Tartagna	33581,24	1750	128636	753697	168	59737	1933	1974	264	17375	44	17	181	9	46	404	21	149	15	27/09/19
BDX23806	Tartagna	Tartagna	32132,19	1535	125130	756611	182	64617	2075	1829	234	14887	35	19	190	10	38	305	20	143	10	27/09/19
BDX23806	Tartagna	Tartagna	27198,48	2044	133351	763954	109	52692	1598	1492	277	16603	41	13	152	8	37	282	18	121	11	27/09/19
BDX23806	Tartagna	Tartagna	31510,21	1508	127082	768641	167	53353	1778	1835	215	13193	34	21	165	14	35	279	19	140	11	27/09/19
BDX23807	Tartagna	Tartagna	33157,86	1949	139881	718576	113	74345	2432	1297	241	26327	75	22	344	12	204	861	30	103	28	01/10/19
BDX23807	Tartagna	Tartagna	32585,04	1760	137436	722336	101	74513	2365	1176	140	26039	75	21	343	12	132	806	30	102	29	01/10/19
BDX23807	Tartagna	Tartagna	30916,73	1282	133420	730284	586	72659	2353	935	140	25933	65	21	329	12	123	794	25	102	22	01/10/19
BDX23807	Tartagna	Tartagna	37066,08	1564	130114	731060	132	72879	2317	830	129	22732	70	22	335	13	80	469	30	117	39	01/10/19
BDX23807	Tartagna	Tartagna	31525,09	1756	132233	735498	628	69509	2205	892	74	24607	44	19	310	14	61	483	26	95	20	01/10/19
BDX23807	Tartagna	Tartagna	24312,1	1244	133654	736242	121	74398	2235	1059	115	25599	64	18	344	11	59	376	27	99	23	01/10/19
BDX23807	Tartagna	Tartagna	35377,19	1707	131158	736999	144	64883	2088	971	102	25266	45	24	315	15	114	643	30	119	19	01/10/19
BDX23807	Tartagna	Tartagna	35232,04	1821	130358	743677	139	61293	1901	1444	145	22562	98	26	299	18	135	673	30	109	41	01/10/19
BDX23807	Tartagna	Tartagna	28802,36	1935	124834	755864	183	62900	2073	719	207	21580	48	15	288	10	53	347	25	100	16	01/10/19
BDX23807	Tartagna	Tartagna	35214,32	1352	109917	771780	142	54214	1723	823	130	23386	49	22	271	11	117	700	25	106	17	01/10/19
BDX23816	Capu Russellu	Capu Russellu	31841,3	2029	151694	733203	546	64565	3090	0	104	11747	40	21	285	66	43	162	20	530	14	07/10/19
BDX23816	Capu Russellu	Capu Russellu	32887,52	1372	152056	735863	530	64315	3177	63	96	8596	31	20	269	68	37	158	21	428	14	07/10/19
BDX23816	Capu Russellu	Capu Russellu	32315,03	1856	148126	745822	148	56550	3214	0	70	10471	39	20	274	67	37	273	22	672	22	07/10/19
BDX23816	Capu Russellu	Capu Russellu	35673,5	1515	123780	758672	414	65394	3337	0	56	9946	35	20	291	67	37	148	20	572	22	07/10/19
BDX23816	Capu Russellu	Capu Russellu	35255,78	1632	124783	760656	411	60765	3129	212	102	12021	42	21	272	63	41	173	20	388	14	07/10/19
BDX23816	Capu Russellu	Capu Russellu	38941,38	1410	122893	762182	373	58621	3216	0	90	11266	42	22	284	61	37	179	22	339	21	07/10/19
BDX23816	Capu Russellu	Capu Russellu	30343,36	1723	136897	762534	394	53514	3195	0	121	10216	31	18	250	46	35	148	20	499	14	07/10/19
BDX23816	Capu Russellu	Capu Russellu	37354,96	1531	123570	762824	402	58577	3402	0	118	11028	40	21	286	65	40	171	21	528	21	07/10/19

BDX	Source	Region	Na2O	MgO	Al2O3	SiO2	P2O5	K2O	CaO	TiO2	MnO	Fe2O3	Zn	Ga	Rb	Sr	Y	Zr	Nb	Ba	Pb	Date
BDX23816	Capu Russellu	Capu Russellu	30052,11	1572	131862	769704	157	52205	3339	0	67	10062	41	19	244	62	35	122	18	422	17	07/10/19
BDX23816	Capu Russellu	Capu Russellu	29833,39	1063	132887	771410	533	45522	3275	0	154	14371	39	19	199	33	39	150	20	444	9	07/10/19
BDX23816	Capu Russellu	Capu Russellu	30332,24	1597	131206	771875	171	49745	3062	0	93	11053	44	19	230	53	38	168	18	282	13	07/10/19
BDX23816	Capu Russellu	Capu Russellu	30796,61	1606	127519	772412	430	50775	2993	0	112	12404	38	18	238	50	39	164	19	374	14	07/10/19
BDX23817	Capu Russellu	Capu Russellu	30319,91	696	146994	745176	580	59039	2165	1810	197	11983	15	22	279	32	74	194	25	382	18	07/10/19
BDX23817	Capu Russellu	Capu Russellu	28076,36	1050	145261	759306	637	53905	2115	851	165	7509	12	16	237	35	32	120	19	643	13	07/10/19
BDX23817	Capu Russellu	Capu Russellu	27541,94	745	143276	760739	605	56616	2178	0	226	6943	12	13	234	34	35	138	18	580	65	07/10/19
BDX23817	Capu Russellu	Capu Russellu	32000,07	1788	124847	777579	175	49606	1895	1296	238	9567	14	16	205	34	66	244	22	387	19	07/10/19
BDX23817	Capu Russellu	Capu Russellu	31156,22	1808	127346	780326	473	48970	1928	0	146	7097	11	17	187	37	43	134	21	286	13	07/10/19
BDX23817	Capu Russellu	Capu Russellu	30493,52	1822	127111	780897	450	45797	1738	1221	226	9460	15	16	175	36	35	169	20	302	18	07/10/19
BDX23817	Capu Russellu	Capu Russellu	31610,1	1710	123873	783038	475	48776	1890	0	165	7628	12	15	186	35	39	166	19	351	13	07/10/19
BDX23818	Capu Russellu	Capu Russellu	39897,65	1902	146027	749457	632	46408	2097	1780	230	10754	9	17	181	46	38	155	27	333	12	07/10/19
BDX23818	Capu Russellu	Capu Russellu	41698,63	1156	146918	751016	606	43920	1890	0	261	11757	11	17	163	46	35	121	20	356	10	07/10/19
BDX23818	Capu Russellu	Capu Russellu	31711,84	2027	146480	752368	170	49979	2205	29	294	13684	13	20	192	52	43	153	23	546	12	07/10/19
BDX23818	Capu Russellu	Capu Russellu	29424,79	2114	150513	753893	624	51436	2195	0	197	8628	8	17	201	48	40	150	19	482	12	07/10/19
BDX23818	Capu Russellu	Capu Russellu	32351,96	1986	142854	756386	548	48882	2154	1249	270	12388	12	18	187	52	52	152	24	422	13	07/10/19
BDX23818	Capu Russellu	Capu Russellu	35596,34	735	140940	759249	607	44129	1852	0	303	15992	12	16	166	43	32	115	18	185	8	07/10/19
BDX23818	Capu Russellu	Capu Russellu	34170,35	1229	139958	765786	745	44992	2049	2422	242	11444	10	17	176	47	41	164	25	466	15	07/10/19
BDX23818	Capu Russellu	Capu Russellu	33158,43	1068	139991	771094	651	48042	2128	0	210	8718	9	15	182	45	38	128	22	487	10	07/10/19
BDX23818	Capu Russellu	Capu Russellu	38819,14	1100	128123	774257	745	45612	2003	0	182	8201	9	15	172	47	40	142	24	496	14	07/10/19
BDX23818	Capu Russellu	Capu Russellu	30817,91	1558	123319	784532	463	47263	1978	0	207	8931	9	15	181	46	37	135	18	479	10	07/10/19
BDX23819	Capu Russellu	Capu Russellu	31915,39	2319	149985	737638	144	54895	2214	2256	260	17037	20	20	251	34	39	166	20	723	62	08/10/19
BDX23819	Capu Russellu	Capu Russellu	39811,18	2329	147288	749911	563	48150	1920	0	116	8644	13	17	195	33	34	154	19	754	48	08/10/19
BDX23819	Capu Russellu	Capu Russellu	30788,12	1926	140368	761174	163	52591	2143	919	116	8088	13	17	225	33	32	149	19	1188	47	08/10/19
BDX23819	Capu Russellu	Capu Russellu	34789,14	1078	127262	769263	550	50502	2000	14	235	12859	15	17	208	32	33	199	20	857	67	08/10/19
BDX23819	Capu Russellu	Capu Russellu	31825,72	1749	126262	770324	174	55846	2049	0	162	9889	13	17	235	31	39	166	20	1145	54	08/10/19
BDX23820	Capu Russellu	Capu Russellu	40202,21	2205	147076	745325	534	50216	3029	0	71	10466	21	19	239	49	29	153	18	338	10	08/10/19
BDX23820	Capu Russellu	Capu Russellu	30548,87	1862	150932	747027	162	56680	3167	0	40	8597	20	20	269	60	32	149	20	398	17	08/10/19
BDX23820	Capu Russellu	Capu Russellu	40411,04	1882	144360	747244	634	47629	2804	17	127	13989	27	18	228	45	34	140	17	385	12	08/10/19
BDX23820	Capu Russellu	Capu Russellu	28798,79	2040	150398	751045	587	53662	3355	0	44	9142	20	20	259	58	32	155	19	350	15	08/10/19
BDX23820	Capu Russellu	Capu Russellu	28624,1	2118	147852	751674	144	50957	2918	321	106	14503	27	18	246	45	26	155	19	231	13	08/10/19
BDX23820	Capu Russellu	Capu Russellu	33840,68	985	135960	764660	582	52753	3108	0	27	7171	17	19	246	56	29	135	19	379	14	08/10/19
BDX23820	Capu Russellu	Capu Russellu	29524	1716	135454	770412	158	50785	3033	0	41	7333	17	19	245	47	29	190	19	971	8	08/10/19

BDX	Source	Region	Na2O	MgO	Al2O3	SiO2	P2O5	K2O	CaO	TiO2	MnO	Fe2O3	Zn	Ga	Rb	Sr	Y	Zr	Nb	Ba	Pb	Date
BDX23821	Capu Russellu	Capu Russellu	30225,83	2131	152873	725311	120	50537	12188	1608	614	21903	68	21	232	56	44	264	21	1742	39	04/10/19
BDX23821	Capu Russellu	Capu Russellu	28874,5	1912	138581	730484	389	46483	15033	2444	970	32304	81	21	233	68	43	288	21	1731	39	04/10/19
BDX23821	Capu Russellu	Capu Russellu	28849,14	2145	151836	740081	669	52585	7000	74	433	14236	51	20	249	39	41	194	20	1442	38	04/10/19
BDX23821	Capu Russellu	Capu Russellu	35038,8	1468	128410	757264	483	53300	7035	0	431	14237	50	21	249	42	41	259	20	1613	39	04/10/19
BDX23821	Capu Russellu	Capu Russellu	28239,68	1716	134143	758345	575	47482	7823	1447	486	17645	58	19	220	50	36	208	20	1451	37	04/10/19
BDX23821	Capu Russellu	Capu Russellu	30326,25	1539	131804	759809	614	49841	7343	888	451	15198	59	20	231	44	40	212	19	1523	37	04/10/19
BDX23821	Capu Russellu	Capu Russellu	30522,39	1638	131485	762033	149	50386	6892	284	412	14056	49	19	228	43	39	202	19	1507	38	04/10/19
BDX23821	Capu Russellu	Capu Russellu	34027,48	1482	127031	762275	503	52241	6314	0	391	13720	45	20	248	38	38	185	19	1387	37	04/10/19
BDX23826	Fangu Montestremu	Fangu	30042,35	1354	151919	741409	648	52583	8862	0	347	11551	29	18	269	66	30	119	20	717	16	10/10/19
BDX23826	Fangu Montestremu	Fangu	29459,45	1197	149321	745722	721	52137	9058	0	334	10792	29	16	257	66	28	100	23	701	37	10/10/19
BDX23826	Fangu Montestremu	Fangu	30150,51	1511	153281	753149	618	43687	5352	351	290	10882	28	20	206	77	22	90	19	248	20	10/10/19
BDX23826	Fangu Montestremu	Fangu	48197,52	2389	146984	759176	670	23993	5036	1663	298	11006	29	19	147	82	29	83	18	165	16	10/10/19
BDX23826	Fangu Montestremu	Fangu	30828,24	2025	131494	762894	552	48696	10209	0	344	11511	26	15	243	63	36	77	23	944	22	10/10/19
BDX23826	Fangu Montestremu	Fangu	32637,23	1992	125136	770222	559	49766	6767	0	307	11290	29	17	243	66	31	104	19	784	31	10/10/19
BDX23826	Fangu Montestremu	Fangu	28862,93	2123	130679	774226	554	44839	6217	145	310	11159	29	17	214	63	27	95	21	399	21	10/10/19
BDX23827	Fangu Montestremu	Fangu	42649,98	638	147010	724779	600	46838	16993	211	1022	18262	26	16	213	162	40	74	21	310	135	10/10/19
BDX23827	Fangu Montestremu	Fangu	35933,01	1356	150642	739660	708	53058	3732	0	272	13451	21	18	263	68	26	89	24	654	27	10/10/19
BDX23827	Fangu Montestremu	Fangu	30597,84	2339	148492	740710	265	51096	4307	2635	334	17917	23	17	262	62	40	102	25	699	75	10/10/19
BDX23827	Fangu Montestremu	Fangu	30929,89	2229	152733	741982	676	52779	3578	0	364	13529	20	17	258	64	27	94	22	648	51	10/10/19
BDX23827	Fangu Montestremu	Fangu	29681,79	2402	150572	746825	710	50864	4376	0	343	13125	18	17	244	60	36	102	20	554	51	10/10/19
BDX23827	Fangu Montestremu	Fangu	33152,12	2108	146024	747980	166	51490	3079	0	994	13372	21	17	255	57	29	178	23	1019	38	10/10/19
BDX23827	Fangu Montestremu	Fangu	28916,63	1815	148604	753557	642	50490	3083	0	288	11644	18	17	238	56	30	79	22	463	37	10/10/19
BDX23827	Fangu Montestremu	Fangu	32844,66	1177	125136	770010	671	48429	5489	0	406	14608	27	19	246	69	36	84	20	683	47	10/10/19
BDX23827	Fangu Montestremu	Fangu	31811,04	1821	128993	771481	430	49683	2981	0	360	11339	20	15	237	58	26	143	22	506	75	10/10/19
BDX23827	Fangu Montestremu	Fangu	30563,58	1838	128349	773632	561	48446	3500	0	344	11553	17	14	231	55	26	87	21	667	96	10/10/19
BDX23827a	Fangu Montestremu	Fangu	46460,63	973	145771	746588	205	44056	2844	15	280	11963	16	15	203	52	19	78	21	429	13	20/11/19
BDX23827a	Fangu Montestremu	Fangu	37988,15	745	143237	758523	208	44232	2885	0	282	11026	15	15	205	53	18	79	21	457	11	20/11/19
BDX23827a	Fangu Montestremu	Fangu	27966,16	2190	147037	760482	318	46228	3365	582	301	10784	17	14	198	54	29	77	22	325	11	20/11/19
BDX23827a	Fangu Montestremu	Fangu	37098,76	1181	128721	767408	173	44735	3570	1093	347	14735	24	18	230	58	35	95	17	444	16	20/11/19
BDX23828	Fangu Montestremu	Fangu	43877,92	1410	146856	742227	125	24512	847	1697	257	37109	42	27	133	5	83	585	62	109	35	10/10/19
BDX23828	Fangu Montestremu	Fangu	29563,21	1911	138707	758938	117	49001	1601	592	60	18652	20	20	208	4	74	563	49	106	15	10/10/19
BDX23828	Fangu Montestremu	Fangu	34667,67	1315	130292	791202	257	34448	1037	1463	16	4276	8	17	135	3	98	622	44	94	7	10/10/19
BDX23828	Fangu Montestremu	Fangu	39251,38	1759	107822	792635	485	50740	1595	0	51	4065	16	23	240	4	161	977	30	140	8	10/10/19

BDX	Source	Region	Na2O	MgO	Al2O3	SiO2	P2O5	K2O	CaO	TiO2	MnO	Fe2O3	Zn	Ga	Rb	Sr	Y	Zr	Nb	Ba	Pb	Date
BDX23828	Fangu Montestremu	Fangu	33112,92	1672	113390	816508	366	28675	858	0	30	4136	9	19	136	4	127	794	31	125	7	10/10/19
BDX23828	Fangu Montestremu	Fangu	25236,98	1897	108397	829558	192	27604	816	0	21	5157	8	13	118	3	116	723	30	103	7	10/10/19
BDX23828	Fangu Montestremu	Fangu	27843,58	1921	95388	832915	244	23966	726	273	103	15795	23	12	109	3	61	463	37	104	16	10/10/19
BDX23829	Fangu Montestremu	Fangu	34287,99	2284	147990	734782	122	50791	4184	6023	386	17313	43	21	275	63	34	135	30	1223	13	10/10/19
BDX23829	Fangu Montestremu	Fangu	31444,89	2403	153727	741372	628	52686	3509	1303	321	11275	32	21	277	67	42	110	19	749	13	10/10/19
BDX23829	Fangu Montestremu	Fangu	31941,12	2263	150057	744843	588	55283	3101	0	307	9848	27	18	276	62	29	97	24	1218	19	10/10/19
BDX23829	Fangu Montestremu	Fangu	31030,11	2400	151318	750111	494	49843	3109	0	374	10103	30	20	250	64	29	118	24	671	14	10/10/19
BDX23829	Fangu Montestremu	Fangu	30495,07	1788	146696	756185	561	50949	2678	0	285	9096	27	19	260	57	21	92	22	758	10	10/10/19
BDX23829	Fangu Montestremu	Fangu	31579,76	2198	135182	759433	164	50894	3526	0	799	14362	31	18	254	63	29	125	22	1282	39	10/10/19
BDX23829	Fangu Montestremu	Fangu	29656,45	639	139176	769569	622	46758	2352	0	361	9450	27	18	239	52	26	74	20	951	10	10/10/19
BDX23829	Fangu Montestremu	Fangu	27684,17	2286	134771	787874	581	33546	2423	0	320	9579	26	15	169	58	25	65	21	549	7	10/10/19
BDX23829	Fangu Montestremu	Fangu	34670,68	1971	144436	752173	157	50822	4180	0	245	9790	28	19	259	60	27	85	24	1043	9	11/10/19
BDX23829	Fangu Montestremu	Fangu	32468,76	2244	145876	752445	155	52842	4373	0	197	8308	26	17	254	59	35	125	23	546	7	11/10/19
BDX23829	Fangu Montestremu	Fangu	30473,23	2322	149661	752516	159	50120	3966	0	248	9601	28	17	242	60	25	94	23	433	12	11/10/19
BDX23829	Fangu Montestremu	Fangu	32547,43	2211	145178	754019	140	51516	3476	0	275	9486	27	17	246	56	24	84	23	662	11	11/10/19
BDX23829	Fangu Montestremu	Fangu	30209,11	2188	146067	759353	132	48325	2850	484	235	9183	26	16	214	59	25	113	21	485	15	11/10/19
BDX23830	Fangu Montestremu	Fangu	44122,88	767	137734	740478	461	44997	1713	1173	229	27101	23	24	208	26	105	690	36	105	8	09/10/19
BDX23830	Fangu Montestremu	Fangu	37211,22	1979	127886	747428	141	51833	1896	1288	97	28787	16	25	242	33	128	823	48	131	9	09/10/19
BDX23830	Fangu Montestremu	Fangu	39869,92	619	137613	747995	100	43996	1641	1435	66	25462	12	21	192	27	106	696	40	101	8	09/10/19
BDX23830	Fangu Montestremu	Fangu	31227,47	873	136952	750009	140	47544	1747	1155	288	28666	24	28	218	32	123	817	35	116	8	09/10/19
BDX23830	Fangu Montestremu	Fangu	27712,98	997	136237	753827	119	48315	1830	1288	135	28114	19	22	221	25	131	838	51	109	9	09/10/19
BDX23830	Fangu Montestremu	Fangu	34925,13	1699	125636	753989	128	50627	1895	1090	281	28328	24	25	239	27	125	795	39	118	9	09/10/19
BDX23830	Fangu Montestremu	Fangu	28523,51	2143	140701	754926	111	46498	1701	1077	101	22901	15	24	205	30	116	768	44	109	7	09/10/19
BDX23830	Fangu Montestremu	Fangu	27960,7	740	138939	755897	114	44583	1687	1049	176	27489	20	22	202	27	129	795	43	119	10	09/10/19
BDX23831	Fangu Montestremu	Fangu	37866,17	2223	136199	737940	178	65237	2348	1620	28	15226	9	28	277	11	106	540	37	119	8	09/10/19
BDX23831	Fangu Montestremu	Fangu	38302,87	2004	135257	752320	176	58871	2213	1197	16	8642	7	26	253	12	90	444	35	128	5	09/10/19
BDX23831	Fangu Montestremu	Fangu	36575,11	1325	135619	756445	735	55236	2109	1076	29	9800	6	29	243	11	98	489	36	132	6	09/10/19
BDX23831	Fangu Montestremu	Fangu	35523,1	1984	129926	758628	137	59951	2245	1213	26	9337	6	28	253	11	96	467	36	127	5	09/10/19

BDX	Source	Region	Na2O	MgO	Al2O3	SiO2	P2O5	K2O	CaO	TiO2	MnO	Fe2O3	Zn	Ga	Rb	Sr	Y	Zr	Nb	Ba	Pb	Date
BDX23831	Fangu Montestremu	Fangu	37939,66	1687	127220	764869	203	55400	2832	997	10	7829	4	25	218	10	101	483	37	134	4	09/10/19
BDX23831	Fangu Montestremu	Fangu	31044,98	2133	136378	765927	371	51570	1901	843	16	8824	5	27	201	9	101	475	39	129	5	09/10/19
BDX23831	Fangu Montestremu	Fangu	33053,39	1670	116376	777484	218	57002	2075	1199	23	9967	6	24	233	9	84	422	32	117	7	09/10/19
BDX23831	Fangu Montestremu	Fangu	30483,39	1457	111161	785014	88	58800	2117	1144	12	8760	5	24	238	10	93	448	34	108	4	09/10/19
BDX23832	Fangu Montestremu	Fangu	38255,76	1912	125488	762347	543	59318	3716	81	95	7396	20	22	303	15	54	268	28	131	8	14/10/19
BDX23832	Fangu Montestremu	Fangu	38537,43	2018	124941	764096	185	55544	4795	227	142	8676	21	21	293	13	48	274	28	136	7	14/10/19
BDX23832	Fangu Montestremu	Fangu	29477,91	682	137482	772251	675	48516	2664	572	85	6876	18	18	246	13	57	222	26	113	6	14/10/19
BDX23832	Fangu Montestremu	Fangu	37257,03	2074	119127	773728	308	52628	4177	2244	52	7542	17	20	270	14	60	314	27	135	7	14/10/19
BDX23832	Fangu Montestremu	Fangu	28067,68	606	136496	773883	674	48509	3004	679	78	7273	20	18	241	12	51	243	28	112	6	14/10/19
BDX23832	Fangu Montestremu	Fangu	29484,02	900	136348	775117	647	49442	1823	50	31	5415	12	19	267	14	38	229	23	136	6	14/10/19
BDX23832	Fangu Montestremu	Fangu	27658,4	656	133781	776367	120	48511	2861	2773	70	6399	18	18	251	12	77	271	34	114	9	14/10/19
BDX23833	Fangu Montestremu	Fangu	37973,8	1959	126991	744543	523	74294	2374	72	17	9801	7	24	378	21	97	757	25	129	14	09/10/19
BDX23833	Fangu Montestremu	Fangu	35691,63	1978	124968	745369	480	71391	2368	0	31	16456	10	22	364	23	75	595	40	123	14	09/10/19
BDX23833	Fangu Montestremu	Fangu	33287,15	1031	136594	747071	616	68354	2221	902	33	8592	8	23	346	18	91	671	30	107	5	09/10/19
BDX23833	Fangu Montestremu	Fangu	30807,28	841	137320	754368	567	65543	2115	0	8	7188	6	21	327	21	76	647	18	115	11	09/10/19
BDX23833	Fangu Montestremu	Fangu	34165,36	2020	118887	757202	152	72011	2356	1974	17	9822	8	22	365	21	89	703	53	119	15	09/10/19
BDX23833	Fangu Montestremu	Fangu	29717,52	660	134442	757618	616	66314	2145	0	12	7231	7	21	325	20	81	641	22	116	12	09/10/19
BDX23833	Fangu Montestremu	Fangu	29822,4	616	135069	758356	672	67367	2208	181	26	4414	8	22	323	18	84	653	41	111	7	09/10/19
BDX23834	Fangu Montestremu	Fangu	32117,02	911	147550	720845	133	56710	1931	1915	270	35804	46	34	381	8	171	985	66	105	18	11/10/19
BDX23834	Fangu Montestremu	Fangu	36378,62	2350	141695	733177	773	53337	1887	1783	159	26583	41	35	383	7	188	1036	63	109	17	11/10/19
BDX23834	Fangu Montestremu	Fangu	33919,29	755	139334	738418	137	50606	1717	1775	281	31539	42	34	357	7	135	750	64	111	17	11/10/19
BDX23834	Fangu Montestremu	Fangu	27908,29	1339	139419	739934	449	56133	1864	1552	242	29150	43	30	340	6	237	1164	70	104	16	11/10/19
BDX23834	Fangu Montestremu	Fangu	42292,46	1235	136511	750057	603	42002	1492	1248	211	22776	33	27	269	6	163	893	55	98	29	11/10/19
BDX23834	Fangu Montestremu	Fangu	27657,85	1365	138636	751978	637	46854	1669	1728	220	27712	36	30	326	6	150	816	60	106	13	11/10/19
BDX23834	Fangu Montestremu	Fangu	27987,69	748	137496	759230	183	45888	1642	1211	182	24001	38	27	301	6	135	753	52	102	17	11/10/19
BDX23835	Fangu Montestremu	Fangu	33784,94	2151	148183	744969	638	53824	4020	0	380	10875	32	19	284	65	25	108	24	613	7	11/10/19
BDX23835	Fangu Montestremu	Fangu	35186,39	2105	140746	751930	571	53142	4088	0	194	10191	34	19	282	68	22	95	24	1296	6	11/10/19
BDX23835	Fangu Montestremu	Fangu	32174,28	2292	144177	752830	652	50921	4837	0	244	10645	34	17	265	61	26	127	20	672	6	11/10/19
BDX23835	Fangu Montestremu	Fangu	33315,24	1530	145024	753955	711	49950	3997	0	320	9901	32	17	253	64	24	117	23	761	6	11/10/19
BDX23835	Fangu Montestremu	Fangu	33993,25	2066	138034	756844	444	52054	4259	0	210	10455	33	19	275	64	27	91	23	1123	6	11/10/19
BDX23835	Fangu Montestremu	Fangu	27430,63	706	144102	762509	632	49169	4148	289	212	9597	32	19	251	61	17	77	21	723	6	11/10/19
BDX23835	Fangu Montestremu	Fangu	31821,51	1945	131218	765186	494	53263	4487	0	233	10101	32	19	272	62	33	86	22	722	6	11/10/19
BDX23835	Fangu Montestremu	Fangu	33695,32	1787	126237	772019	490	50450	3542	0	287	10138	32	19	270	59	29	121	21	798	5	11/10/19

BDX	Source	Region	Na2O	MgO	Al2O3	SiO2	P2O5	K2O	CaO	TiO2	MnO	Fe2O3	Zn	Ga	Rb	Sr	Y	Zr	Nb	Ba	Pb	Date
BDX23835	Fangu Montestremu	Fangu	27378,62	1277	141310	772037	679	45127	3066	0	143	7790	26	15	216	56	18	77	21	756	7	11/10/19
BDX23835	Fangu Montestremu	Fangu	29948,24	1925	131635	775698	503	44577	4937	0	296	9461	28	18	217	71	28	100	20	533	6	11/10/19
BDX23836	Fangu Montestremu	Fangu	38024,63	2288	148856	745569	655	47498	3145	0	315	12311	33	17	229	57	36	86	19	848	12	15/10/19
BDX23836	Fangu Montestremu	Fangu	33492,63	1888	147618	747690	160	53078	3214	0	300	11479	32	20	258	65	37	90	21	545	14	15/10/19
BDX23836	Fangu Montestremu	Fangu	30166,15	2078	151732	748569	657	52474	3075	0	378	9663	25	17	241	60	39	88	20	704	12	15/10/19
BDX23836	Fangu Montestremu	Fangu	28128,5	2287	147575	751703	729	49901	3125	1662	258	13336	37	19	234	58	34	180	20	701	15	15/10/19
BDX23836	Fangu Montestremu	Fangu	38956,94	946	142666	756042	716	46041	2991	0	335	10165	30	17	209	59	34	71	19	690	13	15/10/19
BDX23836	Fangu Montestremu	Fangu	32788,04	1474	128484	770951	474	51244	2895	0	152	9893	28	18	244	59	36	87	18	1139	14	15/10/19
BDX23837	Fangu Montestremu	Fangu	40776,81	807	146258	753474	693	46006	2558	225	235	7970	26	18	236	60	24	107	18	497	10	09/10/19
BDX23837	Fangu Montestremu	Fangu	31493,58	2240	146741	755930	132	48928	2366	0	342	10683	38	19	240	57	32	103	19	621	14	09/10/19
BDX23837	Fangu Montestremu	Fangu	34769,68	752	147022	755954	643	49484	2734	0	251	7060	26	18	257	58	28	79	19	833	12	09/10/19
BDX23837	Fangu Montestremu	Fangu	32991,1	1942	146345	756244	702	50855	3050	0	267	6400	21	17	252	61	25	83	23	712	12	09/10/19
BDX23837	Fangu Montestremu	Fangu	28211,01	634	148215	756947	140	48935	3172	1596	274	10555	38	24	285	56	40	95	22	745	16	09/10/19
BDX23837	Fangu Montestremu	Fangu	33276,57	853	142799	763738	691	46993	2980	0	290	6776	36	17	239	58	25	79	20	1119	11	09/10/19
BDX23839	Fangu Montestremu	Fangu	33090,88	2307	150306	742865	580	52979	2540	0	297	13107	38	21	298	61	32	101	20	1319	38	14/10/19
BDX23839	Fangu Montestremu	Fangu	33006,62	2303	150476	746397	583	53488	2440	0	173	9240	28	21	304	57	37	115	20	1289	23	14/10/19
BDX23839	Fangu Montestremu	Fangu	32118,9	2132	152658	747519	586	53334	2488	0	136	7227	27	20	287	56	35	98	19	1230	30	14/10/19
BDX23839	Fangu Montestremu	Fangu	35893,24	1385	148250	747672	641	51186	2523	2159	327	8158	27	19	276	56	30	123	20	1229	27	14/10/19
BDX23839	Fangu Montestremu	Fangu	32882,73	2291	147678	749650	632	52439	2547	0	317	9946	27	20	271	60	34	84	20	1081	18	14/10/19
BDX23839	Fangu Montestremu	Fangu	29786,08	1485	149613	750729	677	50892	2575	1997	286	10188	31	20	279	55	31	98	21	1214	23	14/10/19
BDX23839	Fangu Montestremu	Fangu	31199,26	2330	149003	751888	508	51790	2362	0	269	9150	27	16	258	53	26	95	19	983	25	14/10/19
BDX23839	Fangu Montestremu	Fangu	32819,34	1924	134423	762874	546	51780	2423	0	162	11268	26	18	282	60	28	106	19	1216	26	14/10/19
BDX23839	Fangu Montestremu	Fangu	33281,86	1048	125173	777686	656	50467	2421	0	167	7360	28	18	276	52	32	107	18	1176	35	14/10/19
BDX23865	Fangu Bocca a u Ghineaaru	Fangu	28658,99	1868	143730	753504	118	50472	2032	82	12	18631	6	18	184	45	57	385	31	160	5	15/10/19
BDX23865	Fangu Bocca a u Ghineaaru	Fangu	37664,61	1695	132944	756509	156	52065	1953	0	11	15980	5	18	182	53	71	459	33	196	7	15/10/19
BDX23865	Fangu Bocca a u Ghineaaru	Fangu	27681,27	892	142822	756584	107	47791	1832	856	23	20516	7	19	171	46	60	400	28	161	6	15/10/19
BDX23865	Fangu Bocca a u Ghineaaru	Fangu	37342,06	1718	122551	756984	145	56085	2099	123	7	21975	5	17	198	48	61	408	36	193	6	15/10/19
BDX23865	Fangu Bocca a u Ghineaaru	Fangu	28237,09	1122	140577	760415	116	47953	1833	475	13	18408	5	17	162	43	58	365	28	168	6	15/10/19
BDX23865	Fangu Bocca a u Ghineaaru	Fangu	27499,52	883	135482	772220	194	45423	1630	0	6	15888	5	15	159	39	51	339	23	141	5	15/10/19
BDX23865	Fangu Bocca a u Ghineaaru	Fangu	32948,42	981	118525	777295	475	50175	1969	0	9	16706	6	16	174	48	59	394	29	185	6	15/10/19
BDX23867	Fangu Bocca a u Ghineaaru	Fangu	42797,87	827	144030	773897	600	30803	1511	0	47	4692	10	23	150	45	57	274	33	198	5	14/10/19
BDX23867	Fangu Bocca a u Ghineaaru	Fangu	44938,33	1308	144504	774404	629	27619	1532	0	43	4227	7	22	136	48	53	262	25	239	4	14/10/19
BDX23867	Fangu Bocca a u Ghineaaru	Fangu	33756,89	2252	135064	779487	134	42221	1844	0	46	4350	8	23	168	53	59	261	28	240	5	14/10/19

BDX	Source	Region	Na2O	MgO	Al2O3	SiO2	P2O5	K2O	CaO	TiO2	MnO	Fe2O3	Zn	Ga	Rb	Sr	Y	Zr	Nb	Ba	Pb	Date
BDX23867	Fangu Bocca a u Ghineparu	Fangu	37358,83	1872	127581	784785	650	40730	1918	0	45	4190	9	24	175	56	65	304	52	179	6	14/10/19
BDX23867	Fangu Bocca a u Ghineparu	Fangu	27674,46	1166	144293	786552	630	32987	1582	0	35	4327	9	21	136	49	57	258	35	183	5	14/10/19
BDX23867	Fangu Bocca a u Ghineparu	Fangu	30863,96	2463	132719	792079	619	32512	1512	1329	42	4981	11	23	155	47	75	288	54	221	5	14/10/19
BDX23867	Fangu Bocca a u Ghineparu	Fangu	33903,57	2479	124677	795101	597	34771	1524	0	56	6005	13	25	172	42	76	303	53	197	5	14/10/19
BDX23867	Fangu Bocca a u Ghineparu	Fangu	31742,71	1756	132137	802241	725	26616	1390	0	30	2672	6	17	113	47	55	233	28	186	5	14/10/19
BDX23868	Fangu Bocca a u Ghineparu	Fangu	29619,39	2152	135805	803485	653	22452	1453	0	35	3577	7	20	119	52	53	256	24	233	4	14/10/19
BDX23868	Fangu Bocca a u Ghineparu	Fangu	37219,74	2070	136207	723804	150	55129	3148	8511	506	31747	30	25	172	59	53	985	22	157	4	15/10/19
BDX23868	Fangu Bocca a u Ghineparu	Fangu	45385,12	688	141451	731501	104	45440	2594	5287	291	26016	20	22	140	53	48	861	22	132	5	15/10/19
BDX23868	Fangu Bocca a u Ghineparu	Fangu	37998,02	1696	139575	732310	186	26101	2548	8842	1218	48708	42	25	94	57	61	981	21	130	5	15/10/19
BDX23868	Fangu Bocca a u Ghineparu	Fangu	42442,53	728	155062	738528	289	33709	2369	423	66	24881	10	24	121	58	56	1059	23	145	5	15/10/19
BDX23868	Fangu Bocca a u Ghineparu	Fangu	43547,01	1421	138077	746728	184	31450	2147	2124	57	32406	12	24	109	58	79	1379	28	163	6	15/10/19
BDX23868	Fangu Bocca a u Ghineparu	Fangu	44103,31	760	137555	750748	114	34720	2190	2021	73	26237	11	22	107	57	61	1064	22	130	4	15/10/19
BDX23869	Fangu Bocca a u Ghineparu	Fangu	41290,41	629	140678	749789	591	50715	1976	547	24	12963	9	18	164	57	73	300	19	150	8	17/10/19
BDX23869	Fangu Bocca a u Ghineparu	Fangu	28271,76	2157	147845	750206	110	51713	2434	1838	16	14540	7	19	190	62	58	358	22	147	8	17/10/19
BDX23869	Fangu Bocca a u Ghineparu	Fangu	28026,01	680	140834	762638	437	49821	1857	0	17	14793	9	18	178	50	88	364	24	158	8	17/10/19
BDX23869	Fangu Bocca a u Ghineparu	Fangu	28461,35	653	136776	775005	223	40929	1640	545	107	14841	13	19	155	54	46	314	25	185	7	17/10/19
BDX23870	Fangu Bocca a u Ghineparu	Fangu	29172,5	1395	131085	778209	400	42551	1532	1	8	14919	7	15	144	42	50	307	18	136	6	17/10/19
BDX23870	Fangu Bocca a u Ghineparu	Fangu	29928,47	2238	144298	740171	144	59716	2273	477	11	19869	6	19	199	47	61	369	23	145	6	15/10/19
BDX23870	Fangu Bocca a u Ghineparu	Fangu	34764,79	2092	137967	745061	167	57527	2236	0	22	19224	7	18	191	51	61	401	25	178	7	15/10/19
BDX23870	Fangu Bocca a u Ghineparu	Fangu	33996,55	1928	135530	747592	151	52907	2140	347	7	24454	7	18	190	49	62	405	26	185	7	15/10/19
BDX23870	Fangu Bocca a u Ghineparu	Fangu	27841,44	989	140721	752072	711	54106	2122	88	17	20463	6	17	187	45	55	369	21	164	6	15/10/19
BDX23870	Fangu Bocca a u Ghineparu	Fangu	31438,66	1641	132036	753612	133	57564	2168	515	12	19970	7	19	186	50	63	394	23	164	6	15/10/19
BDX23870	Fangu Bocca a u Ghineparu	Fangu	34916,04	1680	127356	760256	143	54158	2169	57	11	18343	6	18	195	48	63	393	24	159	6	15/10/19
BDX23870	Fangu Bocca a u Ghineparu	Fangu	28132,34	965	137711	762517	113	48321	1951	1302	10	18116	6	18	173	44	63	367	32	152	7	15/10/19
BDX23870	Fangu Bocca a u Ghineparu	Fangu	33990,99	2057	128072	763599	159	45347	1722	2280	28	21849	9	18	166	44	62	352	58	182	6	15/10/19
BDX23870	Fangu Bocca a u Ghineparu	Fangu	32888,93	2122	128551	766510	640	49517	1911	0	23	16972	8	16	176	44	59	352	28	174	6	15/10/19
BDX23870	Fangu Bocca a u Ghineparu	Fangu	34145,7	2052	127846	766977	170	49856	1904	0	18	16203	8	16	169	45	56	360	24	146	5	15/10/19
BDX23871	Fangu Ghineparu	Fangu	26448,64	9272	137491	753158	109	44692	1979	2028	112	23411	29	31	229	25	97	716	42	124	6	18/11/19
BDX23871	Fangu Ghineparu	Fangu	26543,27	9440	141908	756976	262	40199	1730	1503	93	19533	22	29	190	27	113	1255	51	121	6	18/11/19
BDX23871	Fangu Ghineparu	Fangu	28728,17	2939	141690	760450	116	41674	1892	1422	77	19813	20	24	201	26	92	678	30	123	5	18/11/19
BDX23871	Fangu Ghineparu	Fangu	28242,21	1484	134346	770009	103	41945	1779	1142	60	19719	17	23	191	27	92	678	24	115	4	18/11/19
BDX23872	Fangu Bocca a u Ghineparu	Fangu	43361,78	682	136497	759522	576	35988	1577	1786	57	19123	13	21	139	32	71	394	37	116	5	16/10/19
BDX23872	Fangu Bocca a u Ghineparu	Fangu	31489,94	2298	135652	773764	157	41330	1864	634	39	11787	16	26	164	40	83	485	27	136	5	16/10/19

BDX	Source	Region	Na2O	MgO	Al2O3	SiO2	P2O5	K2O	CaO	TiO2	MnO	Fe2O3	Zn	Ga	Rb	Sr	Y	Zr	Nb	Ba	Pb	Date
BDX23872	Fangu Bocca a u Ghinearai	Fangu	32376,75	2199	133636	775532	158	39278	1843	78	17	13895	16	26	155	41	79	490	31	141	6	16/10/19
BDX23872	Fangu Bocca a u Ghinearai	Fangu	28767,46	2019	131013	778684	633	34021	1579	145	43	22213	14	23	138	36	66	436	28	139	5	16/10/19
BDX23872	Fangu Bocca a u Ghinearai	Fangu	33073,95	2062	128655	781116	160	39736	1738	0	40	12426	17	26	162	39	85	483	33	142	6	16/10/19
BDX23872	Fangu Bocca a u Ghinearai	Fangu	32001,74	2103	130776	782265	172	36695	1733	0	49	13219	14	25	146	42	82	487	33	153	6	16/10/19
BDX23872	Fangu Bocca a u Ghinearai	Fangu	29936,09	2345	124292	783097	144	35213	1494	1813	47	20726	13	21	148	34	75	431	39	126	5	16/10/19
BDX23872	Fangu Bocca a u Ghinearai	Fangu	33312,16	1986	129006	783624	614	35366	1727	0	49	13327	15	25	140	41	86	496	30	150	6	16/10/19
BDX23872	Fangu Bocca a u Ghinearai	Fangu	31656,79	2048	132408	788146	593	29567	1606	343	46	12618	13	25	120	44	90	485	28	159	5	16/10/19
BDX23872	Fangu Bocca a u Ghinearai	Fangu	33342,69	1744	113180	800734	186	34568	1653	0	93	13577	15	24	136	40	75	454	26	145	6	16/10/19
BDX23873	Fangu Bocca a u Ghinearai	Fangu	37542,44	2523	131957	751363	238	60960	2265	2118	42	9897	13	24	234	33	120	485	33	147	5	16/10/19
BDX23873	Fangu Bocca a u Ghinearai	Fangu	34337,98	2472	134757	754475	393	59590	2205	1217	39	9501	11	23	224	33	78	461	37	139	6	16/10/19
BDX23873	Fangu Bocca a u Ghinearai	Fangu	35400,5	1711	132223	759182	212	57575	2188	0	120	10354	12	24	228	34	72	464	31	166	5	16/10/19
BDX23873	Fangu Bocca a u Ghinearai	Fangu	29777,95	909	135079	773223	509	50093	1954	0	42	7501	9	19	186	30	84	425	21	134	5	16/10/19
BDX23873	Fangu Bocca a u Ghinearai	Fangu	35802,91	1361	115066	777977	175	52134	2093	1423	208	12810	17	24	212	30	71	414	54	125	5	16/10/19
BDX23873	Fangu Bocca a u Ghinearai	Fangu	27833,47	876	138557	778872	126	44545	1739	0	17	6565	10	19	171	33	86	394	22	130	6	16/10/19
BDX23874	Fangu Bocca a u Ghinearai	Fangu	34662,62	743	144143	734974	339	64941	2433	1206	108	15193	25	30	292	39	109	579	36	136	13	16/10/19
BDX23874	Fangu Bocca a u Ghinearai	Fangu	28614,48	724	143037	744857	404	61850	2255	1245	38	15804	14	24	261	35	106	563	32	122	13	16/10/19
BDX23874	Fangu Bocca a u Ghinearai	Fangu	31763,7	659	141237	750634	133	55309	2114	1186	32	15721	16	25	266	37	111	579	34	127	16	16/10/19
BDX23874	Fangu Bocca a u Ghinearai	Fangu	32897,24	704	134513	756065	439	58087	2094	988	38	13051	14	23	260	33	96	525	32	130	11	16/10/19
BDX23874	Fangu Bocca a u Ghinearai	Fangu	29667,79	782	136941	759084	468	52738	1951	1169	28	16068	15	23	241	31	99	533	32	119	11	16/10/19
BDX23874	Fangu Bocca a u Ghinearai	Fangu	26250,83	736	134411	769407	501	52944	1908	1190	35	11557	15	21	241	31	92	504	30	112	11	16/10/19
BDX23874	Fangu Bocca a u Ghinearai	Fangu	33681,6	2096	116991	776062	164	53319	2032	1379	57	13063	17	25	254	35	98	559	34	121	12	16/10/19
BDX23875	Fangu Bocca a u Ghinearai	Fangu	35250,22	1025	146804	710689	717	73236	3052	2389	144	25539	16	26	322	46	61	514	26	131	13	17/10/19
BDX23875	Fangu Bocca a u Ghinearai	Fangu	34760,27	958	145818	714188	437	73454	2823	1416	88	24876	12	23	302	45	54	578	21	131	14	17/10/19
BDX23875	Fangu Bocca a u Ghinearai	Fangu	30046,37	1269	145998	716746	607	72808	2961	2022	127	26235	15	26	310	48	55	561	23	129	14	17/10/19
BDX23875	Fangu Bocca a u Ghinearai	Fangu	29877,98	1609	141403	726682	315	71355	2805	2206	131	22584	13	22	288	44	49	449	24	130	13	17/10/19
BDX23875	Fangu Bocca a u Ghinearai	Fangu	29872,66	1561	140899	728901	689	68958	2773	1620	93	23637	12	22	286	43	50	427	21	122	13	17/10/19
BDX23875	Fangu Bocca a u Ghinearai	Fangu	29963,92	1769	140072	730410	590	69033	2743	2787	129	21518	13	23	295	44	47	407	23	121	12	17/10/19
BDX23875	Fangu Bocca a u Ghinearai	Fangu	28462,51	2615	137394	735687	617	66133	2647	2829	121	22536	11	21	282	42	44	391	19	136	13	17/10/19
BDX23876	Fangu Bocca a u Ghinearai	Fangu	32831,21	3581	147913	743059	441	49567	1706	2715	46	17080	16	33	196	24	83	522	42	143	3	16/10/19
BDX23876	Fangu Bocca a u Ghinearai	Fangu	33732,85	4301	136705	758844	471	43167	1376	2260	75	18070	15	31	193	20	89	448	37	163	2	16/10/19
BDX23876	Fangu Bocca a u Ghinearai	Fangu	33750,22	2066	131383	774509	532	38748	1247	1506	67	15184	14	28	183	23	111	451	39	157	2	16/10/19
BDX23876	Fangu Bocca a u Ghinearai	Fangu	35225,06	1122	128640	776404	571	40134	4043	996	241	11535	14	28	181	24	113	557	38	131	3	16/10/19
BDX23876	Fangu Bocca a u Ghinearai	Fangu	33411,71	3555	129403	778199	441	37366	1286	840	34	14511	13	28	175	18	81	451	38	146	2	16/10/19

BDX	Source	Region	Na2O	MgO	Al2O3	SiO2	P2O5	K2O	CaO	TiO2	MnO	Fe2O3	Zn	Ga	Rb	Sr	Y	Zr	Nb	Ba	Pb	Date
BDX23876	Fangu Bocca a u Chinezaru	Fangu	35610,43	1208	123487	789741	555	34376	1123	614	33	12342	11	25	157	17	79	442	37	142	2	16/10/19
BDX23877	Fangu Tuarelli	Fangu	28741,43	14442	149181	706492	118	52236	1840	3087	248	41786	23	28	160	32	139	1268	50	121	9	21/10/19
BDX23877	Fangu Tuarelli	Fangu	28088,82	13363	145506	706974	129	57932	2126	2618	230	41325	22	26	160	31	127	1179	32	120	10	21/10/19
BDX23877	Fangu Tuarelli	Fangu	34931,23	17480	130901	711672	100	53374	1824	5010	227	42324	21	29	164	31	168	1548	60	127	10	21/10/19
BDX23877	Fangu Tuarelli	Fangu	37120,33	14541	144435	712399	165	48261	1775	2886	195	36496	23	26	146	30	124	1206	26	116	30	21/10/19
BDX23877	Fangu Tuarelli	Fangu	29240,81	13006	148172	713602	122	48913	1870	2967	237	40146	24	27	156	31	122	1203	29	120	11	21/10/19
BDX23877	Fangu Tuarelli	Fangu	33856,16	15804	131785	720513	109	54126	1920	3938	209	35754	19	27	163	29	159	1408	57	112	11	21/10/19
BDX23877	Fangu Tuarelli	Fangu	29150,73	11622	143662	726942	128	48651	1805	2756	185	33323	20	27	153	30	124	1251	31	128	10	21/10/19
BDX23877	Fangu Tuarelli	Fangu	25734,05	12455	136289	730052	114	51608	1726	2645	204	37489	18	27	146	31	115	1196	29	113	9	21/10/19
BDX23877	Fangu Tuarelli	Fangu	27121,45	10961	134585	735796	158	46460	1766	2779	222	38269	20	27	140	30	116	1386	32	122	9	21/10/19
BDX23877	Fangu Tuarelli	Fangu	30829,63	10696	127614	736476	100	45360	1675	3392	221	41906	17	25	151	28	112	1249	30	106	12	21/10/19
BDX23877	Fangu Tuarelli	Fangu	27024,33	11224	131108	737761	108	50056	1829	2440	201	36626	20	26	147	28	111	1143	28	110	10	21/10/19
BDX23877	Fangu Tuarelli	Fangu	27472,56	11015	132462	740323	124	47006	1743	2318	208	35721	19	26	143	30	110	1122	30	118	10	21/10/19
BDX23877	Fangu Tuarelli	Fangu	28659,29	9799	129154	747038	148	45549	1728	2525	156	33695	20	23	138	30	112	1076	25	112	12	21/10/19
BDX23878	Fangu Tuarelli	Fangu	28496,61	11070	146919	683279	325	46526	36969	5860	1273	36083	70	19	176	2206	45	354	20	299	12	08/11/19
BDX23878	Fangu Tuarelli	Fangu	34238,02	1495	144883	688943	186	57177	31152	5707	1185	31973	66	18	192	1973	41	350	20	388	15	08/11/19
BDX23878	Fangu Tuarelli	Fangu	28250,34	8776	141118	695570	305	45790	36583	5481	1208	33976	66	18	174	1967	42	326	18	320	13	08/11/19
BDX23878	Fangu Tuarelli	Fangu	34821,72	1208	143449	697637	160	55689	28748	5359	1051	29009	62	18	180	1841	38	342	20	357	12	08/11/19
BDX23878	Fangu Tuarelli	Fangu	27708,05	10454	139871	702014	338	43040	35557	5790	1184	30944	55	18	157	2156	42	337	19	302	13	08/11/19
BDX23878	Fangu Tuarelli	Fangu	27576,29	709	144463	703959	107	54218	29886	5391	1085	29739	67	19	183	1854	38	348	20	323	14	08/11/19
BDX23878	Fangu Tuarelli	Fangu	31609,57	1469	138803	710027	187	51382	29234	5152	1001	28393	59	17	170	1733	37	326	18	370	13	08/11/19
BDX23878	Fangu Tuarelli	Fangu	31779,57	1615	139630	710791	187	45216	31632	5321	1102	29906	62	18	174	1830	37	325	19	343	14	08/11/19
BDX23878	Fangu Tuarelli	Fangu	27549,28	9358	131952	714552	227	43985	30436	5255	1149	32992	64	16	166	1642	38	311	18	277	14	08/11/19
BDX23878	Fangu Tuarelli	Fangu	31217,56	1260	136087	717150	104	50646	27792	5030	986	27056	50	17	159	1717	35	310	17	353	13	08/11/19
BDX23879	Fangu Tuarelli	Fangu	42631,64	2091	177894	655187	181	9453	40965	10994	967	58541	48	21	51	565	32	179	24	146	29	22/10/19
BDX23879	Fangu Tuarelli	Fangu	38170,99	2078	152880	661485	204	23530	58735	8668	1661	51655	79	10	61	318	22	95	21	282	46	22/10/19
BDX23879	Fangu Tuarelli	Fangu	48896,4	10648	132993	675379	304	15976	56171	9742	1371	47629	67	11	43	399	22	109	19	182	41	22/10/19
BDX23879	Fangu Tuarelli	Fangu	51568,37	11178	140001	693522	243	12537	28841	10186	992	50173	63	17	44	312	20	130	21	134	18	22/10/19
BDX23880	Fangu Tuarelli	Fangu	30085,26	1210	155297	727836	152	64716	2744	0	73	16603	26	19	287	53	43	247	22	570	16	22/10/19
BDX23880	Fangu Tuarelli	Fangu	32838,87	2360	153222	732854	155	57069	2378	772	78	17064	26	18	260	49	43	223	21	553	16	22/10/19
BDX23880	Fangu Tuarelli	Fangu	31025,53	2493	154266	734220	144	55926	2712	2176	76	15889	26	19	260	53	39	177	21	462	18	22/10/19
BDX23880	Fangu Tuarelli	Fangu	32379,56	2406	149718	740636	147	53295	2365	1364	79	16616	26	18	249	47	38	194	21	387	16	22/10/19
BDX23880	Fangu Tuarelli	Fangu	30358,08	1547	151913	744230	151	53127	2490	0	78	14999	27	20	253	51	36	171	24	506	20	22/10/19

BDX	Source	Region	Na2O	MgO	Al2O3	SiO2	P2O5	K2O	CaO	TiO2	MnO	Fe2O3	Zn	Ga	Rb	Sr	Y	Zr	Nb	Ba	Pb	Date
BDX23880	Fangu Tuarelli	Fangu	30305,89	1520	147971	750033	146	51043	2210	1725	72	13997	22	15	216	47	30	168	22	439	18	22/10/19
BDX23880	Fangu Tuarelli	Fangu	29550,03	1495	138861	751439	127	58702	3292	1787	115	13363	30	20	280	72	34	250	20	538	25	22/10/19
BDX23881	Fangu Tuarelli	Fangu	31076,29	10460	133625	733086	156	20867	8358	8695	808	51761	66	11	117	73	39	563	25	166	47	23/10/19
BDX23881	Fangu Tuarelli	Fangu	30395,35	5935	132607	738567	121	26748	9719	9601	735	44790	46	13	140	68	34	248	23	168	40	23/10/19
BDX23881	Fangu Tuarelli	Fangu	39132,2	1606	114445	745556	138	28419	21743	6981	731	40323	46	12	150	100	40	326	26	193	31	23/10/19
BDX23881	Fangu Tuarelli	Fangu	35936,61	3425	123246	755579	112	18746	7501	7841	810	45932	48	10	106	83	27	366	26	160	45	23/10/19
BDX23881	Fangu Tuarelli	Fangu	33318,58	4435	119960	759322	124	15331	9892	7759	913	48132	51	10	84	95	26	343	25	137	41	23/10/19
BDX23881	Fangu Tuarelli	Fangu	34328,24	1621	113800	762518	126	16277	11038	9586	931	48826	48	10	91	97	31	446	27	155	45	23/10/19
BDX23881	Fangu Tuarelli	Fangu	29782,73	10432	116097	775166	112	12533	7038	6118	765	41200	40	7	70	88	22	345	21	129	35	23/10/19
BDX23883	Fangu Tuarelli	Fangu	33587,23	1874	141332	688026	266	70503	29165	6066	1143	24268	47	16	212	2125	42	360	20	926	22	24/10/19
BDX23883	Fangu Tuarelli	Fangu	32779,06	4320	137876	693379	370	47558	44027	5589	1228	29728	55	18	178	2136	39	301	20	378	21	24/10/19
BDX23883	Fangu Tuarelli	Fangu	32944,77	2635	134681	696034	337	63889	33097	5402	1077	26278	50	17	203	2041	40	336	20	898	20	24/10/19
BDX23883	Fangu Tuarelli	Fangu	30306,29	9520	136580	701755	371	48360	33962	5133	1200	29360	53	17	170	1911	39	317	18	911	17	24/10/19
BDX23883	Fangu Tuarelli	Fangu	28846,93	7866	136066	708235	457	45744	33514	5497	1180	29679	52	18	155	1896	40	342	20	377	15	24/10/19
BDX23883	Fangu Tuarelli	Fangu	25800,92	625	138848	709101	129	60360	31720	5628	1041	23276	45	14	179	1965	41	330	18	855	25	24/10/19
BDX23883	Fangu Tuarelli	Fangu	28912,52	8139	139838	716822	191	23572	37092	4747	1569	36405	47	18	127	1634	41	324	19	493	11	24/10/19
BDX23883	Fangu Tuarelli	Fangu	33113,13	1032	141290	717343	291	28328	42270	4604	1138	27699	48	16	125	1842	42	265	19	523	14	24/10/19
BDX23883	Fangu Tuarelli	Fangu	31055,14	1246	134916	722002	286	43491	36137	4873	941	22094	47	14	141	1801	34	279	17	604	21	24/10/19
BDX23883	Fangu Tuarelli	Fangu	33140,9	919	137584	724485	341	27899	42389	5076	1087	24454	47	16	115	1800	38	301	19	275	13	24/10/19
BDX23883	Fangu Tuarelli	Fangu	27679,19	1983	135137	726197	132	19670	41352	4182	1993	39039	72	16	120	1530	44	306	20	516	10	24/10/19
BDX23883	Fangu Tuarelli	Fangu	32920,21	882	136864	727286	277	27848	41820	4797	1055	23243	45	15	139	1791	38	280	17	671	13	24/10/19
BDX23885	Fangu Tuarelli	Fangu	37600,89	11505	151622	668130	110	31471	11701	12295	1269	73198	98	18	220	162	31	309	26	180	55	28/10/19
BDX23885	Fangu Tuarelli	Fangu	30049,64	13548	141305	673986	102	41534	6250	15962	1046	74891	81	23	266	63	49	411	28	349	56	28/10/19
BDX23885	Fangu Tuarelli	Fangu	30991,8	10882	156881	678186	103	45181	4716	11895	765	59112	130	23	308	68	34	288	27	361	49	28/10/19
BDX23885	Fangu Tuarelli	Fangu	30593,81	11715	141930	700356	118	20032	10213	9407	1255	73567	69	13	137	105	36	249	25	132	46	28/10/19
BDX23885	Fangu Tuarelli	Fangu	26822,55	12690	138010	704073	124	39628	5905	11299	848	59592	130	22	255	59	42	266	23	168	43	28/10/19
BDX23885	Fangu Tuarelli	Fangu	29888,33	13091	126481	707098	159	34664	4540	13187	897	68687	78	21	210	58	34	662	24	172	49	28/10/19
BDX23885	Fangu Tuarelli	Fangu	32592,34	720	95309	765144	134	23980	58811	966	585	21156	79	6	157	116	9	25	22	173	15	28/10/19
BDX23886	Fangu San Quilicu	Fangu	51423,32	931	154730	710433	246	54505	2528	2080	311	21882	16	25	192	43	41	457	20	134	4	14/10/19
BDX23886	Fangu San Quilicu	Fangu	56562,31	1058	135576	732041	142	24890	2148	6097	353	39899	15	29	85	38	58	834	23	145	5	14/10/19
BDX23886	Fangu San Quilicu	Fangu	43688,06	2104	154516	732720	137	26545	2173	9927	140	27076	8	27	99	48	39	594	20	134	4	14/10/19
BDX23886	Fangu San Quilicu	Fangu	43871,17	2325	134726	755644	682	35442	1932	2247	274	21959	11	26	125	41	39	510	20	124	3	14/10/19
BDX23886	Fangu San Quilicu	Fangu	45677,3	819	129886	757594	711	32546	1802	2028	247	27726	11	24	109	34	45	579	21	137	3	14/10/19

BDX	Source	Region	Na2O	MgO	Al2O3	SiO2	P2O5	K2O	CaO	TiO2	MnO	Fe2O3	Zn	Ga	Rb	Sr	Y	Zr	Nb	Ba	Pb	Date
BDX23886	Fangu San Quilicu	Fangu	42307,62	645	140191	763340	694	18984	1441	3581	111	27848	8	22	45	27	44	569	19	121	3	14/10/19
BDX23886	Fangu San Quilicu	Fangu	29741,67	596	138183	734889	274	86445	3302	942	54	4821	7	10	307	49	39	135	21	173	11	24/10/19
BDX23886	Fangu San Quilicu	Fangu	30731,81	660	137454	738230	592	81001	2672	680	84	7162	9	10	284	45	36	144	21	170	13	24/10/19
BDX23886	Fangu San Quilicu	Fangu	30266,32	730	142362	743468	616	64516	2215	2544	209	12366	14	15	239	52	39	152	20	172	7	24/10/19
BDX23886	Fangu San Quilicu	Fangu	28361,79	762	142300	746967	586	59460	2139	2232	244	16291	19	18	205	50	36	137	20	165	7	24/10/19
BDX23886	Fangu San Quilicu	Fangu	31633,73	897	134277	761987	575	55714	2060	0	185	12003	15	15	216	49	38	150	21	158	7	24/10/19
BDX23886	Fangu San Quilicu	Fangu	33264,05	689	126185	767012	437	59040	1909	2241	103	8527	11	10	200	40	31	115	18	156	14	24/10/19
BDX23886	Fangu San Quilicu	Fangu	31422,02	630	126346	771255	669	60856	1931	374	61	5816	9	8	219	37	53	132	19	145	16	24/10/19
BDX23886	Fangu San Quilicu	Fangu	32058,27	583	122134	783072	531	50893	1752	1341	72	6955	9	9	199	38	28	112	17	186	11	24/10/19
BDX23887	Fangu San Quilicu	Fangu	30824,98	1122	133005	745707	114	34175	2984	2522	514	47178	82	32	175	49	133	1158	48	133	45	25/10/19
BDX23887	Fangu San Quilicu	Fangu	32938,48	740	129496	754064	533	49281	2172	2502	268	26139	54	29	219	48	150	1149	41	126	52	25/10/19
BDX23887	Fangu San Quilicu	Fangu	32652,71	813	129943	755869	113	46220	2303	2322	310	27604	65	31	195	48	145	1172	49	126	18	25/10/19
BDX23887	Fangu San Quilicu	Fangu	33115,72	788	130468	759292	119	41905	2310	3202	313	26667	63	29	171	48	136	1158	52	127	38	25/10/19
BDX23887	Fangu San Quilicu	Fangu	34176,08	687	124694	760340	519	46028	2621	2434	276	26368	55	30	198	47	147	1178	44	136	23	25/10/19
BDX23887	Fangu San Quilicu	Fangu	34573,44	773	125539	761484	119	44196	2206	2578	322	26338	65	31	194	49	146	1185	52	131	18	25/10/19
BDX23887	Fangu San Quilicu	Fangu	34615,24	713	128015	763983	266	42282	1735	2085	267	24226	55	29	176	53	135	1176	43	128	19	25/10/19
BDX23888	Fangu San Quilicu	Fangu	41222,65	685	147841	727965	108	42750	2011	2457	569	32450	45	34	147	16	157	1373	53	112	4	04/11/19
BDX23888	Fangu San Quilicu	Fangu	41327,45	688	145852	728317	113	42731	5053	2498	514	31077	41	33	150	16	138	1289	57	100	7	04/11/19
BDX23888	Fangu San Quilicu	Fangu	40880,52	720	144839	734020	107	43144	2687	3514	487	27854	37	31	148	16	123	1234	55	103	3	04/11/19
BDX23888	Fangu San Quilicu	Fangu	39804,77	821	143945	737993	140	38465	2189	2552	592	31810	42	32	136	14	113	1204	30	112	5	04/11/19
BDX23888	Fangu San Quilicu	Fangu	35626,59	707	145193	738316	110	41665	2046	3191	506	30804	42	33	143	16	125	1333	35	103	7	04/11/19
BDX23888	Fangu San Quilicu	Fangu	34720,94	761	142831	740229	537	42156	2594	3727	462	30073	39	30	145	15	150	1363	55	104	8	04/11/19
BDX23888	Fangu San Quilicu	Fangu	39998,14	800	140958	742780	126	41441	2136	1869	439	27790	34	28	142	15	114	1178	43	102	5	04/11/19
BDX23888	Fangu San Quilicu	Fangu	29080,19	2121	126387	757102	109	41855	5183	4777	520	31055	41	32	146	16	145	1263	57	103	7	04/11/19
BDX23888	Fangu San Quilicu	Fangu	27846,97	1694	126413	761196	123	43750	4008	4102	502	28484	40	32	154	15	141	1328	57	110	3	04/11/19
BDX23888	Fangu San Quilicu	Fangu	29543,57	2250	124286	764803	115	40825	2122	3915	520	29625	41	32	146	16	151	1448	57	102	3	04/11/19
BDX23889	Fangu San Quilicu	Fangu	28816,51	715	131813	717693	655	100379	3694	1086	197	12938	27	12	370	58	31	140	25	1401	9	24/10/19
BDX23889	Fangu San Quilicu	Fangu	30892,78	948	137954	725235	608	86032	2960	389	217	13485	27	13	321	57	32	136	24	1261	8	24/10/19
BDX23889	Fangu San Quilicu	Fangu	27843,27	926	123403	731312	539	93652	3322	0	272	16689	32	13	356	56	34	140	26	1379	9	24/10/19
BDX23889	Fangu San Quilicu	Fangu	29611,23	1110	119707	748827	438	84824	3018	156	165	10221	23	10	325	54	29	125	25	1323	9	24/10/19
BDX23889	Fangu San Quilicu	Fangu	24827,35	1165	123515	754048	712	75001	2537	2120	251	14133	27	11	284	43	30	152	22	1114	6	24/10/19
BDX23889	Fangu San Quilicu	Fangu	28134,93	1552	127509	758227	258	68075	2392	0	207	12033	24	9	251	44	28	128	22	1098	8	24/10/19
BDX23889	Fangu San Quilicu	Fangu	23610,53	2951	126579	759512	254	66678	2218	1206	234	15252	28	10	247	39	24	133	19	999	5	24/10/19

BDX	Source	Region	Na2O	MgO	Al2O3	SiO2	P2O5	K2O	CaO	TiO2	MnO	Fe2O3	Zn	Ga	Rb	Sr	Y	Zr	Nb	Ba	Pb	Date
BDX23889	Fangu San Quilicu	Fangu	20261,95	1804	110640	770031	801	78554	2742	1441	210	12060	24	9	302	53	39	254	28	736	10	24/10/19
BDX23890	Fangu San Quilicu	Fangu	41327,7	2096	144304	743995	199	39592	1349	1400	94	24375	17	27	172	7	112	764	31	119	19	04/11/19
BDX23890	Fangu San Quilicu	Fangu	42444,95	1856	145276	746045	131	33773	1173	1684	90	26255	15	28	159	7	115	780	39	106	24	04/11/19
BDX23890	Fangu San Quilicu	Fangu	48389,15	1841	134167	749190	140	34934	1164	1705	47	27246	11	24	157	6	105	707	40	108	17	04/11/19
BDX23890	Fangu San Quilicu	Fangu	36218,8	2041	141770	755595	127	34687	1148	1509	31	25673	9	24	161	6	106	723	36	115	19	04/11/19
BDX23890	Fangu San Quilicu	Fangu	34882,77	2102	141742	756530	626	32552	1171	1746	30	27494	9	24	153	6	98	674	38	104	16	04/11/19
BDX23890	Fangu San Quilicu	Fangu	33453,1	1245	139310	762498	400	36557	1257	1611	49	22502	12	25	168	7	93	655	34	106	18	04/11/19
BDX23890	Fangu San Quilicu	Fangu	34399,37	2026	137312	762773	367	33038	1046	1600	37	26273	11	22	149	5	98	684	37	101	19	04/11/19
BDX23890	Fangu San Quilicu	Fangu	34142,03	1684	137425	765602	115	35945	1317	1478	66	21103	13	23	163	6	97	662	30	109	18	04/11/19
BDX23890	Fangu San Quilicu	Fangu	33257,87	1461	134329	766920	296	33835	1122	1600	79	25996	14	22	152	6	97	657	36	102	18	04/11/19
BDX23891	Fangu San Quilicu	Fangu	29055,42	676	138368	714731	111	84974	3246	1670	371	24568	38	35	400	22	205	1272	79	106	72	23/10/19
BDX23891	Fangu San Quilicu	Fangu	36092,25	813	141598	716549	437	76036	2658	1803	338	21927	37	30	381	19	141	924	60	115	42	23/10/19
BDX23891	Fangu San Quilicu	Fangu	34827,87	1036	138703	724349	374	71434	2470	657	351	24117	38	31	379	19	131	911	23	108	40	23/10/19
BDX23891	Fangu San Quilicu	Fangu	32893,39	915	124607	739237	386	62884	2137	1010	506	33850	45	30	337	15	127	840	27	112	41	23/10/19
BDX23891	Fangu San Quilicu	Fangu	29020,81	1227	131736	742781	172	68981	2584	1461	302	19989	48	31	344	18	144	970	55	100	38	23/10/19
BDX23891	Fangu San Quilicu	Fangu	35858,07	1303	116528	764026	396	55216	1977	917	316	21806	34	27	330	16	126	951	28	114	33	23/10/19
BDX23891	Fangu San Quilicu	Fangu	35017,62	2504	114957	765421	485	54417	2006	234	326	23062	36	27	336	17	127	839	33	118	39	23/10/19
BDX23891	Fangu San Quilicu	Fangu	33313,63	2406	117571	766818	400	52313	2000	1328	325	21972	31	27	324	17	130	839	38	110	35	23/10/19
BDX23891	Fangu San Quilicu	Fangu	27796,49	1963	114468	781915	473	50368	1752	104	297	19453	31	24	290	14	114	763	30	114	30	23/10/19
BDX23892	Fangu San Quilicu	Fangu	42404,55	2088	151115	733318	118	38161	1246	1642	50	28057	4	39	186	15	187	1218	30	115	6	23/10/19
BDX23892	Fangu San Quilicu	Fangu	40690,93	654	148887	746205	134	42464	1394	724	63	17638	6	39	210	14	88	633	32	119	5	23/10/19
BDX23892	Fangu San Quilicu	Fangu	46302,85	765	147780	748210	150	41953	1430	0	61	12226	5	49	190	18	93	614	20	127	6	23/10/19
BDX23892	Fangu San Quilicu	Fangu	41659,19	2032	152355	749534	174	33218	1128	314	19	18432	5	39	150	14	99	659	31	131	5	23/10/19
BDX23892	Fangu San Quilicu	Fangu	39257,02	2088	146115	755656	128	22251	805	6800	586	25033	26	45	125	13	118	726	109	115	5	23/10/19
BDX23892	Fangu San Quilicu	Fangu	40067,71	998	145546	759897	118	22900	802	2943	250	25285	9	39	125	14	137	711	38	114	7	23/10/19
BDX23892	Fangu San Quilicu	Fangu	41362,84	1939	140961	760773	131	30064	1047	976	49	21330	7	40	150	14	155	866	24	108	5	23/10/19
BDX23892	Fangu San Quilicu	Fangu	30983,96	1906	128798	783391	248	23072	803	2079	44	27244	5	37	127	14	151	897	60	130	9	23/10/19
BDX23893	Fangu San Quilicu	Fangu	33020,89	1606	128601	724517	503	80979	3019	2114	22	23921	10	25	446	3	121	870	50	115	57	31/10/19
BDX23893	Fangu San Quilicu	Fangu	29979,2	1862	141594	737235	119	58480	2180	1750	46	25280	11	27	326	3	110	800	41	112	42	31/10/19
BDX23893	Fangu San Quilicu	Fangu	38095,3	1594	127282	745775	142	64300	2454	1627	17	17236	9	28	364	2	116	760	39	117	46	31/10/19
BDX23893	Fangu San Quilicu	Fangu	29024,53	1857	141417	748775	121	56556	2196	1503	15	17171	9	26	316	2	106	710	43	112	39	31/10/19
BDX23893	Fangu San Quilicu	Fangu	33970,58	1988	142428	751165	127	48350	1936	1518	37	17276	10	27	280	3	101	600	42	105	35	31/10/19
BDX23893	Fangu San Quilicu	Fangu	32997,63	1115	135193	755107	442	50986	2225	1424	21	19167	10	26	302	3	114	677	39	113	38	31/10/19

BDX	Source	Region	Na2O	MgO	Al2O3	SiO2	P2O5	K2O	CaO	TiO2	MnO	Fe2O3	Zn	Ga	Rb	Sr	Y	Zr	Nb	Ba	Pb	Date
BDX23893	Fangu San Quilicu	Fangu	33204,67	1664	131915	756441	146	51566	1973	1925	19	19396	10	29	307	3	160	1020	66	113	42	31/10/19
BDX23893	Fangu San Quilicu	Fangu	28667,41	1817	139717	760944	119	47438	1852	1578	13	16478	6	28	274	2	109	767	44	108	38	31/10/19
BDX23893	Fangu San Quilicu	Fangu	38495,8	1042	123950	761948	635	50486	2100	1595	17	18174	8	27	294	3	129	881	47	127	41	31/10/19
BDX23894	Fangu Tuarelli	Fangu	31748,24	1186	156363	655585	171	71770	36416	6323	1328	35707	74	20	231	2268	45	399	22	322	23	29/10/19
BDX23894	Fangu Tuarelli	Fangu	34537,92	1323	153496	661413	200	66086	38835	6413	1310	32959	69	20	222	2268	43	377	20	388	19	29/10/19
BDX23894	Fangu Tuarelli	Fangu	35347,8	1395	151009	666029	145	66995	33164	5865	1311	35609	73	18	224	2013	42	382	21	342	17	29/10/19
BDX23894	Fangu Tuarelli	Fangu	36522,77	1131	149779	669725	156	61060	35931	6126	1313	35012	73	19	198	2138	45	391	22	342	17	29/10/19
BDX23894	Fangu Tuarelli	Fangu	37507,1	1456	151397	669927	164	58824	33855	5778	1336	36590	70	19	198	2063	44	378	21	362	13	29/10/19
BDX23894	Fangu Tuarelli	Fangu	32374,58	1339	148853	673946	161	66966	33164	5868	1225	32927	68	20	211	2071	43	370	20	355	19	29/10/19
BDX23894	Fangu Tuarelli	Fangu	36457,92	2129	150415	677715	230	41080	46718	5956	1447	34513	72	19	175	2352	44	360	20	280	18	29/10/19
BDX23894	Fangu Tuarelli	Fangu	31489,61	9664	145156	678305	143	61764	27317	4793	1484	36551	69	14	214	2132	32	285	18	554	16	29/10/19
BDX23894	Fangu Tuarelli	Fangu	34625,12	9652	143046	678419	169	53668	31231	5539	1450	39258	73	15	203	1968	40	344	19	267	14	29/10/19
BDX23894	Fangu Tuarelli	Fangu	30347,43	9085	140498	689327	149	62853	27310	4360	1274	31303	61	15	194	2082	30	270	17	806	17	29/10/19
BDX23894	Fangu Tuarelli	Fangu	34208,28	2810	143129	690789	168	55545	33148	5608	1276	30169	62	15	189	2111	38	338	19	360	16	29/10/19
BDX23894	Fangu Tuarelli	Fangu	32911,53	4809	127169	693217	220	64192	35796	5743	1226	31577	69	18	205	2097	40	348	18	322	20	29/10/19
BDX23894	Fangu Tuarelli	Fangu	33925,08	2630	123574	699712	217	71982	30120	5611	1104	28067	64	19	206	1946	39	336	18	414	16	29/10/19
BDX23894	Fangu Tuarelli	Fangu	30192,76	9112	131625	701257	196	56883	32712	5150	1132	28747	64	16	180	1953	36	321	17	392	15	29/10/19
BDX23894	Fangu Tuarelli	Fangu	29283,46	9626	137119	705792	207	44457	33197	5013	1122	31515	65	15	168	1758	35	314	17	284	13	29/10/19
BDX23894	Fangu Tuarelli	Fangu	29849,85	2021	131325	712248	117	57163	30760	5120	1049	27483	59	16	176	1883	36	321	17	340	16	29/10/19
BDX23895	Fangu Tuarelli	Fangu	25167,16	788	135110	734536	633	91736	3190	0	80	7869	16	10	303	23	69	282	20	146	21	30/10/19
BDX23895	Fangu Tuarelli	Fangu	24884,94	1765	125481	745968	490	91201	3341	0	73	5883	17	13	310	21	68	292	27	151	14	30/10/19
BDX23895	Fangu Tuarelli	Fangu	24971,92	2409	117225	746656	596	93096	3213	0	108	10680	21	13	355	26	86	346	26	155	15	30/10/19
BDX23895	Fangu Tuarelli	Fangu	18151,06	2105	134823	746886	698	86898	2894	0	75	6595	15	11	303	24	68	279	21	144	12	30/10/19
BDX23895	Fangu Tuarelli	Fangu	22620,59	681	131042	749517	565	83314	2882	0	84	8339	18	14	309	21	87	322	23	149	14	30/10/19
BDX23895	Fangu Tuarelli	Fangu	23505,29	730	131279	752129	615	80348	2700	0	54	7806	16	9	282	22	63	258	18	140	25	30/10/19
BDX23895	Fangu Tuarelli	Fangu	26963,26	2049	108955	756770	398	93115	3213	0	76	7413	20	12	344	27	89	345	28	169	13	30/10/19
BDX23895	Fangu Tuarelli	Fangu	20782,1	1679	106688	764640	458	95422	3289	0	59	5988	14	12	342	28	84	319	29	158	11	30/10/19
BDX23895	Fangu Tuarelli	Fangu	25055,29	1714	95464	776450	220	86860	3135	0	98	10048	27	12	301	21	79	308	26	160	23	30/10/19
BDX23895	Fangu Tuarelli	Fangu	19988,58	1765	97342	781884	170	88200	2954	0	86	6592	16	13	341	27	85	327	31	171	9	30/10/19
BDX23896	Col de San Colombano	San Colombano	33136,11	12046	44511	665422	3083	7300	205760	3335	1368	23416	31	1	24	285	20	96	25	128	14	30/10/19
BDX23896	Col de San Colombano	San Colombano	29879,22	12973	45795	666545	3487	6628	194397	3150	1395	35139	40	0	21	272	20	97	24	120	17	30/10/19
BDX23896	Col de San Colombano	San Colombano	29519,97	11502	39364	695775	807	6317	185426	3279	1440	25958	19	1	21	267	17	103	28	145	13	30/10/19
BDX23896	Colombano	San Colombano	31567,27	5706	36626	705414	1581	6541	186121	3023	1237	21632	20	1	21	251	19	88	24	117	12	30/10/19

BDX	Source	Region	Na2O	MgO	Al2O3	SiO2	P2O5	K2O	CaO	TiO2	MnO	Fe2O3	Zn	Ga	Rb	Sr	Y	Zr	Nb	Ba	Pb	Date
BDX23896	Col de San Colombano	San Colombano	29149,23	2326	33699	726960	603	6770	169259	2810	1300	26545	24	1	24	244	17	94	26	135	13	30/10/19
BDX23896	Col de San Colombano	San Colombano	29643,7	14020	48802	756760	371	6860	110640	2947	1068	28393	35	2	26	146	12	106	25	130	14	30/10/19
BDX23896	Col de San Colombano	San Colombano	21612,33	3604	45332	775949	231	8134	105264	3366	1161	35367	45	2	35	142	14	140	30	155	18	30/10/19
BDX23902	Col de San Colombano	San Colombano	34857,79	14592	128145	709688	121	36879	2704	3980	277	68234	89	10	158	14	30	73	22	119	5	12/11/19
BDX23902	Col de San Colombano	San Colombano	32913,14	12382	116058	725383	129	38726	2780	4276	259	66586	82	10	156	14	31	70	21	117	5	12/11/19
BDX23903	Sotta	Sotta	31022,8	1862	146192	749111	126	50163	5511	535	201	14229	95	29	333	2	102	307	47	120	13	25/10/19
BDX23903	Sotta	Sotta	30643,15	1829	143706	750348	123	52068	4475	600	199	14910	105	29	340	1	106	312	45	123	37	25/10/19
BDX23903	Sotta	Sotta	29903,28	1922	145281	752110	141	50708	4200	227	198	14238	103	29	331	1	112	311	39	131	15	25/10/19
BDX23903	Sotta	Sotta	30096,12	1889	141229	753665	141	53455	4187	388	321	13584	66	28	359	1	115	308	48	116	5	25/10/19
BDX23903	Sotta	Sotta	46758,9	1874	138526	757270	171	34252	3847	411	271	15666	69	30	233	1	138	313	37	129	4	25/10/19
BDX23903	Sotta	Sotta	34996,74	1920	144494	763748	635	35622	3656	503	217	13323	72	28	253	1	108	267	33	110	13	25/10/19
BDX23903	Sotta	Sotta	34370,6	2136	140633	774943	643	31409	3236	0	171	11538	97	27	206	1	85	305	49	129	22	25/10/19
BDX24915	PortoVecchio	PortoVecchio	32727	2119	153637	730378	756	48602	12314	0	631	17055	38	19	183	120	23	85	24	1270	21	29/07/20
BDX24915	PortoVecchio	PortoVecchio	31120,35	2200	153601	730763	575	50730	12048	0	521	16570	36	18	195	124	19	86	23	1345	26	29/07/20
BDX24915	PortoVecchio	PortoVecchio	47933,42	1969	147591	731179	264	44049	12092	0	473	12834	34	16	140	120	23	79	22	1158	25	29/07/20
BDX24915	PortoVecchio	PortoVecchio	31044,93	2188	151762	734409	305	51095	11222	0	571	15581	36	17	191	116	20	83	24	1311	25	29/07/20
BDX24915	PortoVecchio	PortoVecchio	31307,83	1496	150462	735405	366	49198	12281	0	588	17072	35	17	181	120	53	81	23	1286	29	29/07/20
BDX24915	PortoVecchio	PortoVecchio	33876,61	1352	151666	735697	568	46731	12715	0	569	15064	40	18	160	119	26	88	24	1261	26	29/07/20
BDX24915	PortoVecchio	PortoVecchio	44257,71	2205	150297	737819	690	37573	12000	0	494	13025	34	15	130	116	20	85	22	1198	18	29/07/20
BDX24915	PortoVecchio	PortoVecchio	30460,12	2107	153331	741891	524	42462	13971	0	462	13091	34	16	142	127	28	90	24	1211	30	29/07/20
BDX24915	PortoVecchio	PortoVecchio	31465,09	1999	150404	742571	477	47519	11482	0	414	11926	33	15	158	118	20	87	23	1261	27	29/07/20
BDX24915	PortoVecchio	PortoVecchio	35034,23	1717	147778	743387	546	43856	11860	0	511	13662	31	16	161	113	21	82	22	1184	20	29/07/20
BDX24915	PortoVecchio	PortoVecchio	29642,5	2078	150857	744614	586	44363	12887	0	504	12712	32	16	156	124	28	84	23	1272	20	29/07/20
BDX24915	PortoVecchio	PortoVecchio	31631,12	2256	146964	749373	736	41498	11600	0	525	13771	34	16	153	112	20	83	22	1187	19	29/07/20
BDX24915	PortoVecchio	PortoVecchio	29203,4	1753	137993	759730	667	44020	11357	0	519	13144	32	16	164	101	20	77	21	1159	24	29/07/20
BDX24915	PortoVecchio	PortoVecchio	28381,99	1710	138707	763088	724	41452	12670	0	421	11249	30	15	130	117	28	80	22	1147	29	29/07/20
BDX24916	PortoVecchio	PortoVecchio	32619,16	11262	147365	659710	322	25452	49785	8296	2345	61936	96	19	154	275	25	135	25	172	9	28/07/20
BDX24916	PortoVecchio	PortoVecchio	43216,36	17276	136970	672850	156	20140	42911	6372	2023	57409	77	15	120	210	22	83	18	125	6	28/07/20
BDX24916	PortoVecchio	PortoVecchio	32628,13	11057	151623	674036	107	22577	47240	6037	1865	52002	78	19	124	248	21	140	22	166	8	28/07/20
BDX24916	PortoVecchio	PortoVecchio	34053,09	14682	143467	675363	336	18796	48544	6244	2161	55654	76	17	98	233	26	80	20	142	8	28/07/20
BDX24916	PortoVecchio	PortoVecchio	28434,44	11951	143824	684110	4078	21572	46355	5885	1902	51166	79	16	119	215	24	86	20	156	7	28/07/20
BDX24916	PortoVecchio	PortoVecchio	27796,42	11142	146259	688331	109	22122	46486	6105	1763	49127	71	18	116	271	18	83	20	156	7	28/07/20
BDX24916	PortoVecchio	PortoVecchio	28393	11200	142675	691725	102	21244	44048	6074	1836	51978	72	17	120	227	19	87	20	155	8	28/07/20

BDX	Source	Region	Na2O	MgO	Al2O3	SiO2	P2O5	K2O	CaO	TiO2	MnO	Fe2O3	Zn	Ga	Rb	Sr	Y	Zr	Nb	Ba	Pb	Date
BDX24916	PortoVecchio	PortoVecchio	42046,88	12879	129209	703214	181	19697	39978	5330	1656	45169	66	14	105	206	19	73	18	131	7	28/07/20
BDX24916	PortoVecchio	PortoVecchio	27366,07	11282	141417	703276	97	20339	42945	5384	1561	45662	68	17	104	216	21	77	20	141	7	28/07/20
BDX24917	Punta di a Vaca Morta	Alta Rocca	30279,58	1779	148220	712391	123	48990	8674	2484	1110	42034	139	25	127	81	86	799	27	2616	15	11/08/20
BDX24917	Punta di a Vaca Morta	Alta Rocca	31510,14	1691	146292	712877	132	49415	7803	2422	1036	42872	127	25	128	81	79	796	28	2672	16	11/08/20
BDX24917	Punta di a Vaca Morta	Alta Rocca	41281,32	1966	142383	713661	104	41458	10946	2852	1828	39851	100	22	103	85	65	728	25	2532	12	11/08/20
BDX24917	Punta di a Vaca Morta	Alta Rocca	38793,28	1788	143564	716760	113	44583	8105	2316	1059	39410	132	23	112	73	80	717	25	2334	12	11/08/20
BDX24917	Punta di a Vaca Morta	Alta Rocca	34984,9	927	143719	717182	751	48346	8176	2413	977	38566	131	24	119	92	91	769	27	2691	13	11/08/20
BDX24917	Punta di a Vaca Morta	Alta Rocca	28260,38	1871	146468	719209	119	47412	9349	2207	1079	39951	127	23	119	79	84	766	26	2839	11	11/08/20
BDX24917	Punta di a Vaca Morta	Alta Rocca	41399,44	1319	139302	721650	261	43348	9664	2216	887	36593	109	21	106	71	67	675	24	2275	12	11/08/20
BDX24917	Punta di a Vaca Morta	Alta Rocca	41439,2	1917	139854	721694	103	43597	8298	2258	971	36446	92	21	107	69	67	684	23	2345	13	11/08/20
BDX24917	Punta di a Vaca Morta	Alta Rocca	37868,55	2183	139135	725362	649	44908	7544	2142	919	35840	84	21	114	69	57	683	24	2386	11	11/08/20
BDX24917	Punta di a Vaca Morta	Alta Rocca	33133,12	1760	138623	730464	101	43615	9450	2196	920	36370	111	21	106	71	72	687	23	2263	12	11/08/20
BDX24917	Punta di a Vaca Morta	Alta Rocca	33982,5	1705	138951	731101	101	43660	9869	2187	1028	34049	120	21	106	83	63	657	23	2282	10	11/08/20
BDX24917	Punta di a Vaca Morta	Alta Rocca	34269,43	1326	139563	733025	210	42993	7840	2210	820	34376	81	21	102	82	65	662	23	2320	12	11/08/20
BDX24918	L'Ospedale	Ospedale	45430,11	2200	145551	746723	684	44802	1636	0	225	11855	29	16	163	30	42	211	20	381	3	10/08/20
BDX24918	L'Ospedale	Ospedale	30776,88	1987	150307	750245	525	48675	1841	0	251	14454	34	18	182	34	46	215	24	383	3	10/08/20
BDX24918	L'Ospedale	Ospedale	29735,35	2043	152425	752170	558	46770	1722	0	253	13220	33	19	176	34	50	236	20	532	3	10/08/20
BDX24918	L'Ospedale	Ospedale	29126,03	1849	148234	755759	677	45328	1819	969	244	14991	33	17	168	33	47	209	21	474	3	10/08/20
BDX24918	L'Ospedale	Ospedale	37168,73	1932	146966	760032	482	39408	1611	607	196	10648	27	17	143	32	44	249	19	417	2	10/08/20
BDX24918	L'Ospedale	Ospedale	32144,38	1861	146015	760834	510	43254	1692	0	251	12512	30	18	159	35	55	252	20	355	2	10/08/20
BDX24918	L'Ospedale	Ospedale	36550,9	2003	147878	761163	539	38583	1524	0	206	10531	24	18	141	33	48	212	18	527	3	10/08/20
BDX24918	L'Ospedale	Ospedale	34840,72	1542	120397	774205	439	51225	1971	0	229	13506	31	15	201	28	49	223	23	1075	3	10/08/20
BDX24918	L'Ospedale	Ospedale	31084,9	1556	122667	780738	338	46770	1686	0	244	13810	32	16	175	30	48	300	21	481	3	10/08/20
BDX24918	L'Ospedale	Ospedale	29677,97	1605	127923	786037	364	40637	1572	0	219	11015	26	17	147	34	56	274	19	376	3	10/08/20
BDX24919	U Fiumicicoli	Alta Rocca	44825,99	2270	148445	739842	624	48017	2235	1111	230	11742	19	23	158	12	53	224	26	139	5	10/08/20
BDX24919	U Fiumicicoli	Alta Rocca	35976,1	2209	152785	740836	415	50662	2473	521	270	13064	22	25	168	14	60	311	22	160	5	10/08/20
BDX24919	U Fiumicicoli	Alta Rocca	30505,09	2164	155186	741070	602	52476	2435	950	292	13729	22	26	180	13	61	296	25	162	5	10/08/20
BDX24919	U Fiumicicoli	Alta Rocca	45374,49	2323	146085	742331	642	48103	2166	0	242	12074	19	22	161	11	50	234	21	137	5	10/08/20
BDX24919	U Fiumicicoli	Alta Rocca	30475,12	2062	154709	743481	198	51938	2499	296	283	13322	22	26	176	11	61	266	23	147	5	10/08/20
BDX24919	U Fiumicicoli	Alta Rocca	29353,3	2114	153611	745311	485	51925	2367	79	274	13718	21	25	172	13	72	277	23	156	6	10/08/20
BDX24919	U Fiumicicoli	Alta Rocca	37697,66	1187	148223	749052	576	47161	2203	0	290	12939	21	24	161	11	56	223	21	151	4	10/08/20
BDX24919	U Fiumicicoli	Alta Rocca	35116,43	1397	145653	753719	536	48084	2175	511	227	11913	18	22	157	12	58	238	21	138	5	10/08/20

BDX	Source	Region	Na2O	MgO	Al2O3	SiO2	P2O5	K2O	CaO	TiO2	MnO	Fe2O3	Zn	Ga	Rb	Sr	Y	Zr	Nb	Ba	Pb	Date
BDX24919	U Flummicoli	Alta Rocca	29005,19	1790	132040	771169	140	48258	2477	829	292	13296	21	24	165	12	50	270	21	134	5	10/08/20
BDX24919	U Flummicoli	Alta Rocca	28680,88	1743	133494	773005	424	46934	2104	0	271	12627	20	24	152	11	66	277	22	141	4	10/08/20
BDX24920	Bocca di Mela	Alta Rocca	46635,54	1183	143111	742953	684	44383	4709	989	478	13361	30	17	168	30	37	80	18	1111	24	28/07/20
BDX24920	Bocca di Mela	Alta Rocca	46334,4	2280	143623	746725	695	45684	4270	0	333	8603	26	16	166	28	36	67	18	1073	22	28/07/20
BDX24920	Bocca di Mela	Alta Rocca	30149,78	2014	151083	748570	648	50263	4746	0	395	10473	31	18	189	33	41	67	19	1233	28	28/07/20
BDX24920	Bocca di Mela	Alta Rocca	45293,36	1445	142341	750385	708	45434	4264	0	318	8681	26	16	162	30	34	65	18	751	28	28/07/20
BDX24920	Bocca di Mela	Alta Rocca	30764,66	1916	148930	751320	631	49784	4885	0	367	9992	27	18	182	38	39	69	19	996	23	28/07/20
BDX24920	Bocca di Mela	Alta Rocca	29004,92	2073	148905	752980	658	48723	4572	0	394	11528	30	18	181	31	40	72	19	745	26	28/07/20
BDX24920	Bocca di Mela	Alta Rocca	29218,13	1993	149134	753538	630	49184	4348	0	373	9971	28	18	177	28	37	66	19	1214	22	28/07/20
BDX24920	Bocca di Mela	Alta Rocca	32032,09	2125	145594	756230	643	47961	4458	0	339	9036	26	17	175	32	37	70	19	1181	25	28/07/20
BDX24920	Bocca di Mela	Alta Rocca	30610,81	1359	146882	756332	686	48623	4691	0	365	9308	25	18	175	31	38	72	19	740	26	28/07/20
BDX24920	Bocca di Mela	Alta Rocca	31520,89	1598	127057	775357	528	48109	4455	0	366	9919	27	18	177	36	39	67	18	680	27	28/07/20
BDX24922	PortoVecchio	PortoVecchio	29386,7	1060	150592	740013	285	48547	10979	2630	474	14874	20	16	185	108	33	140	22	616	17	11/08/20
BDX24922	PortoVecchio	PortoVecchio	31563,42	833	145312	756343	688	38495	12992	2091	374	10639	17	14	137	83	27	86	21	272	13	11/08/20
BDX24922	PortoVecchio	PortoVecchio	30695,35	730	141370	759853	626	38736	13288	2186	383	11482	17	13	143	82	28	98	21	234	14	11/08/20

3. Rhyolites du Monti Barbatu : données EDXRF

BDX	Secteur/US	Groupes	Na2O	MgO	Al2O3	SiO2	P2O5	K2O	CaO	TiO2	MnO	Fe2O3	Zn	Ga	Rb	Sr	Y	Zr	Nb	Ba	Pb
BDX19353	MB13 Sondage	A	37208	874	149462	740685	469	49351	12250	590	340	7795	18	15	149	112	24	76	21	548	11
BDX19353	MB13 Sondage	A	41349	1013	143588	748994	1173	44701	11601	1108	307	5323	13	14	126	106	23	75	18	459	9
BDX19353	MB13 Sondage	A	40202	943	127449	758373	399	51386	12664	1159	347	5493	13	15	162	112	23	80	20	1149	11
BDX19353	MB13 Sondage	A	32792	1783	140326	760553	296	47289	10491	34	330	5376	14	12	134	100	23	70	21	348	9
BDX19355	MB13 Sondage	A	42450	1398	156954	723694	129	48565	11708	704	229	12382	27	19	149	145	28	103	20	1278	19
BDX19355	MB13 Sondage	A	34501	2320	153437	736690	111	47391	11725	776	261	10985	26	18	160	148	30	101	19	1287	17
BDX19355	MB13 Sondage	A	36767	2385	149646	737420	752	48408	11863	1221	269	10015	25	17	162	138	26	94	19	759	16
BDX19355	MB13 Sondage	A	31530	1657	146266	755030	265	42312	12456	912	175	8747	21	17	132	134	27	91	18	196	15
BDX19355	MB13 Sondage	A	36175	641	128954	766769	519	44337	12925	977	219	7613	21	17	138	126	26	92	18	420	15
BDX19356	MB13 Sondage	A	38070	1577	126128	740956	683	67304	13928	1433	214	8578	17	17	163	150	22	101	26	622	13
BDX19356	MB13 Sondage	A	29952	1903	153601	745434	114	45718	14878	7	185	6907	13	17	119	149	22	106	20	843	11
BDX19356	MB13 Sondage	A	34697	1696	130644	755850	709	54293	12967	825	190	6998	12	16	145	134	23	96	19	671	13
BDX19356	MB13 Sondage	A	33628	1683	128549	764141	584	49743	12357	1327	193	6121	12	17	131	141	17	90	21	1234	12
BDX19356	MB13 Sondage	A	33039	1013	126243	766088	522	52860	12262	866	203	5933	12	16	135	137	18	88	21	532	11
BDX19358	MB13 Sondage	A	29368	740	151505	734504	249	58057	13588	1646	349	8167	31	18	190	157	25	92	19	1275	20
BDX19358	MB13 Sondage	A	28405	1066	148184	741647	508	54395	13394	1832	426	8419	25	18	174	149	27	98	19	1195	18
BDX19358	MB13 Sondage	A	27949	905	148739	747599	447	50723	12316	1411	365	7840	25	16	164	142	25	95	19	1200	19
BDX19358	MB13 Sondage	A	41585	784	128956	754411	185	52884	11830	1152	312	6245	20	17	160	136	26	93	18	1172	15
BDX19358	MB13 Sondage	A	29058	736	139706	764918	202	45817	11568	1191	267	5614	21	15	134	126	25	88	17	481	15
BDX19359	MB13 Sondage	A	39391	1488	124364	757111	190	54377	13912	1076	225	6996	16	18	148	145	20	103	25	386	10
BDX19359	MB13 Sondage	A	39066	1357	120937	758738	577	58465	11808	693	211	7290	17	18	158	151	22	108	29	345	10
BDX19359	MB13 Sondage	A	33753	1573	126963	764892	169	50717	13486	673	204	6739	16	17	138	138	132	91	20	380	10
BDX19360	MB17 Sondage	A	38703	686	125967	757059	209	56210	12329	897	214	6390	20	16	149	122	23	91	17	883	13
BDX19360	MB17 Sondage	A	39171	1824	124414	761136	170	51701	12607	1188	217	6695	21	16	137	122	24	93	18	434	14
BDX19361	MB17 Sondage	A	28447	779	129645	764319	181	59588	8108	941	333	6855	21	15	168	84	34	70	18	379	15
BDX19361	MB17 Sondage	A	35950	1369	130107	765056	500	49226	8840	996	319	6967	20	16	148	79	21	63	18	290	14
BDX19361	MB17 Sondage	A	35377	1399	130172	770194	390	45423	8280	806	325	6925	20	16	135	80	32	63	18	332	13
BDX19361 alt	MB17 Sondage	A	34247	1121	150060	738462	260	62583	9774	1103	149	1715	11	16	138	78	18	59	17	176	14
BDX19362	MB17 Sondage	A	33037	991	149389	741949	125	61747	8627	1495	188	1904	12	15	134	80	17	58	16	201	14
BDX19362	MB17 Sondage	A	28502	765	152016	750150	182	51854	8409	600	300	6567	19	19	188	77	23	65	18	233	16
BDX19362	MB17 Sondage	A	37997	967	130652	761510	169	49412	9236	1058	296	8073	22	18	179	79	27	71	20	197	17
BDX19362	MB17 Sondage	A	33929	1062	134298	763681	148	48363	8831	1005	290	7764	22	18	173	75	26	74	19	206	17
BDX19364	MB17 Sondage	A	32245	2096	131382	767384	155	49808	11480	<10	79	4266	27	17	138	109	23	72	19	690	11
BDX19364	MB17 Sondage	A	34232	853	127305	768554	103	53371	9695	569	87	3841	20	14	142	97	20	73	17	996	11
BDX19364	MB17 Sondage	A	32369	636	125452	774616	200	51713	10322	64	66	3720	25	14	143	101	18	71	17	442	12
BDX19365	MB17 Sondage	A	35251	1000	132640	762262	122	45834	12820	978	309	7457	19	16	126	130	25	86	20	889	14
BDX19365	MB17 Sondage	A	36628	1128	131230	762326	126	45870	11674	1299	281	8119	19	15	128	126	26	89	22	880	14
BDX19365	MB17 Sondage	A	36612	765	124869	778613	195	40082	11899	<10	212	5869	17	14	101	125	25	84	19	485	12
BDX19365	MB17 Sondage	A	32631	688	124417	784481	96	36426	12919	468	212	6273	17	14	100	126	25	86	16	990	12
BDX19366	MB17 Sondage	A	25831	1187	130477	754120	160	74404	5882	784	210	5971	15	14	175	93	22	76	17	551	13
BDX19366	MB17 Sondage	A	24325	1105	128489	758510	171	72795	5811	765	274	6530	18	15	176	88	22	72	18	803	12
BDX19366 fieldsNaCa	MB17 Sondage	A	39221	1035	134956	763006	174	40488	11689	1001	268	7510	19	17	82	121	24	85	17	274	13
BDX19367	MB17 Sondage	A	39722	1212	124509	757547	289	59548	7496	765	343	7760	19	17	192	73	24	75	21	365	23
BDX19367	MB17 Sondage	A	36772	1109	129984	760372	214	55849	7156	868	390	6581	20	16	164	69	20	54	17	325	20

BDX	Secteur/US	Groupes	Na2O	MgO	Al2O3	SiO2	P2O5	K2O	CaO	TiO2	MnO	Fe2O3	Zn	Ga	Rb	Sr	Y	Zr	Nb	Ba	Pb
BDX19367	MB17 Sondage	A	43980	726	125301	764408	160	50530	7701	6	335	6037	15	16	166	73	29	69	19	409	18
BDX19367	MB17 Sondage	A	30769	610	128430	776050	100	45243	9857	862	357	7090	15	16	140	71	25	67	18	261	18
BDX19368	MB17 Sondage	A	33920	715	127613	766739	109	53292	9033	411	333	6387	17	15	162	101	21	75	16	1029	12
BDX19368	MB17 Sondage	A	26202	652	126254	766757	102	64331	6619	5	341	7162	18	14	195	93	22	75	21	1126	13
BDX19368	MB17 Sondage	A	33218	690	127535	768710	114	52660	7703	369	332	7164	19	15	169	100	22	75	17	1075	13
BDX19369	MB17 Sondage	A	32927	2107	144764	726099	108	73105	7370	862	350	10497	28	17	199	124	23	83	20	1290	27
BDX19369	MB17 Sondage	A	32998	2467	153882	735016	112	50956	13689	<10	354	8741	27	20	160	134	37	101	22	1261	27
BDX19369	MB17 Sondage	A	30505	2146	149879	743440	114	53024	11709	<10	317	7138	20	18	146	135	31	93	20	1243	22
BDX19369	MB17 Sondage	A	29704	1782	136949	750388	108	59015	11160	510	308	9056	23	18	145	122	23	86	23	557	25
BDX19369	MB17 Sondage	A	29744	907	137995	750685	163	57322	11566	457	331	9157	24	18	158	125	27	83	19	1194	25
BDX19370	MB17 Sondage	A	33335	1357	135375	757371	255	54265	10644	713	206	5266	9	15	147	96	24	86	16	810	10
BDX19370	MB17 Sondage	A	40084	1206	136243	759026	683	43141	11466	1134	256	5876	10	14	128	99	25	83	17	497	11
BDX19370	MB17 Sondage	A	33189	1366	130779	760252	228	53391	12732	1091	207	5714	9	16	151	104	29	82	16	634	11
BDX19370	MB17 Sondage	A	35242	951	130607	765383	151	47877	11348	732	204	6338	12	15	132	103	23	74	16	782	10
BDX19371	MB17 Sondage	A	28522	2066	139721	718027	220	85935	15315	3424	497	5209	10	18	159	133	43	83	27	581	11
BDX19371	MB17 Sondage	A	30421	1138	134208	742901	277	60201	17430	2104	332	10041	15	20	123	151	80	100	25	426	9
BDX19371	MB17 Sondage	A	27778	808	125518	749096	103	73936	14478	1460	327	5630	11	16	139	128	74	85	23	380	11
BDX19375	MB17 Sondage	A	30671	2149	150401	749691	112	53943	7482	<10	290	4477	18	17	174	75	24	61	19	381	16
BDX19375	MB17 Sondage	A	30228	2249	152806	751635	124	47567	7371	<10	290	7033	16	16	153	76	29	65	19	310	14
BDX19375	MB17 Sondage	A	42823	591	139301	754553	126	49100	7855	<10	273	4646	16	17	160	76	26	63	19	341	15
BDX19375	MB17 Sondage	A	27311	775	145959	762966	140	50048	7278	<10	263	4463	16	16	159	75	25	63	17	412	15
BDX19379	MB17 Sondage	A	40207	6990	134392	741121	3632	44423	4204	829	308	22798	43	16	142	105	17	95	20	649	11
BDX19379	MB17 Sondage	A	31519	1391	141365	750382	379	46664	3951	1746	231	21607	48	13	139	92	15	88	22	338	11
BDX19379	MB17 Sondage	A	34280	1122	131318	772235	152	45788	3757	1190	254	9109	23	13	136	96	19	89	17	389	11
BDX19379	MB17 Sondage	A	27998	1554	132241	772745	328	45756	3669	1285	344	13028	28	13	138	96	13	85	19	650	10
BDX19382	MB17 Sondage	A	46090	4115	155288	731565	733	42376	5392	2399	349	10192	23	15	138	102	18	71	17	1104	14
BDX19382	MB17 Sondage	A	41841	4717	151686	732431	1517	44024	6438	3565	548	11657	24	15	148	105	18	72	18	1161	15
BDX19382	MB17 Sondage	A	47236	2508	153057	736610	382	40815	5272	2384	333	9863	21	14	135	103	19	83	16	1136	14
BDX19385	MB17 Sondage	A	44101	923	150697	742574	132	42127	4483	2472	316	10683	24	14	144	100	16	71	16	1092	16
BDX19385	MB17 Sondage	A	30492	730	153571	746626	3116	43447	11922	431	247	8182	20	16	109	122	33	85	33	806	12
BDX19385	MB17 Sondage	A	34464	981	134064	760845	491	49590	12797	<10	176	5034	17	17	159	115	18	77	17	1127	10
BDX19385	MB17 Sondage	A	41627	897	129584	767031	508	36991	13970	411	139	7304	18	16	123	118	24	81	17	1132	9
BDX19385	MB17 Sondage	A	29694	997	141466	768280	455	41596	11549	<10	162	4978	13	15	115	106	20	73	21	448	10
BDX19386	MB17 Sondage	A	44982	805	151709	783356	199	47285	9116	<10	151	5797	12	16	138	122	20	89	20	1174	9
BDX19386	MB17 Sondage	A	29564	857	155472	743129	1265	53758	7857	<10	124	6250	13	14	175	125	17	87	24	1260	10
BDX19386	MB17 Sondage	A	40989	1149	153984	744653	256	43794	8257	<10	132	5643	12	15	136	116	20	82	22	732	9
BDX19386	MB17 Sondage	A	30542	1888	136909	748442	309	67126	6142	29	145	6896	10	15	188	102	17	86	21	1125	9
BDX19386	MB17 Sondage	A	34749	782	134622	760612	1288	47372	11657	90	162	6980	12	18	143	148	24	98	18	1212	11
BDX19387	MB17 Sondage	A	34767	724	133008	766191	94	45805	15107	<10	134	2710	8	15	138	134	23	70	16	1040	16
BDX19387	MB17 Sondage	A	34596	831	127095	766917	124	46513	16463	837	190	4976	10	16	121	139	25	82	17	1035	14
BDX19387	MB17 Sondage	A	32773	797	130207	768086	118	50218	11920	<10	130	4339	10	15	131	119	23	85	16	993	19
BDX19387	MB17 Sondage	A	32898	763	128128	769730	113	51859	11595	<10	135	3359	9	15	139	114	23	77	17	1011	18
BDX19388	MB17 Sondage	A	38974	1580	155597	707795	3357	49755	18273	2084	342	20481	29	19	164	133	29	101	23	1250	14
BDX19388	MB17 Sondage	A	34569	912	169667	713565	3229	45091	15230	1994	323	13667	24	19	130	139	30	106	20	1271	14

BDX	Secteur/US	Groupes	Na2O	MgO	Al2O3	SiO2	P2O5	K2O	CaO	TiO2	MnO	Fe2O3	Zn	Ga	Rb	Sr	Y	Zr	Nb	Ba	Pb	
BDX19388	MB17 Sondage	A	44054	989	135359	731393	5329	46950	12212	2411	385	19189	30	18	142	133	26	105	19	1243	14	
BDX19388	MB17 Sondage	A	38896	1207	146947	739494	1064	44496	11661	2081	279	12207	24	17	124	125	27	99	20	1218	13	
BDX19389	MB17 Sondage	A	30506	2279	154867	741550	159	51301	8779	1171	318	8083	21	16	145	134	21	77	24	529	20	
BDX19389	MB17 Sondage	A	30520	1807	133814	765394	150	47155	11267	1204	270	7618	22	16	142	127	26	90	18	341	19	
BDX19389	MB17 Sondage	A	30101	1860	133343	766850	151	49294	8053	1186	265	7962	20	15	146	124	28	101	20	464	19	
BDX19389	MB17 Sondage	A	30405	1775	137733	767886	118	46024	7644	578	257	6654	20	14	129	114	17	67	20	530	16	
BDX19392	MB17 Sondage	A	35580	1278	133528	758596	462	46998	12542	1569	480	8276	31	16	153	127	23	86	18	221	16	
BDX19392	MB17 Sondage	A	34475	1112	131280	759889	282	48894	12936	1549	417	8379	30	17	162	134	28	96	18	286	18	
BDX19394	MB17 Sondage	A	35136	1017	136945	758153	1156	47440	11832	332	825	5905	13	15	139	131	29	88	18	817	8	
BDX19394	MB17 Sondage	A	33155	1134	136525	760067	292	51000	10919	53	340	5037	12	15	140	127	16	87	17	1057	8	
BDX19394	MB17 Sondage	A	32535	1064	136603	762684	155	48957	11114	587	391	5032	12	16	140	128	34	88	18	437	7	
BDX19395	MB17 Sondage	A	34072	719	134409	766489	105	45296	13079	243	141	4683	11	14	130	102	20	73	18	385	12	
BDX19395	MB17 Sondage	A	34266	610	125112	772509	563	49235	12460	270	120	4192	11	16	142	111	21	77	19	253	13	
BDX19395	MB17 Sondage	A	36809	1808	123548	773261	224	45570	12330	864	146	4836	11	15	133	105	23	73	17	214	13	
BDX19398	MB17 Sondage	A	37985	1005	132744	755717	7043	46019	12332	860	113	4572	10	15	135	128	20	84	19	1187	12	
BDX19398	MB17 Sondage	A	35589	996	133686	758592	4809	47902	11691	940	113	4086	10	14	148	122	20	82	19	1168	13	
BDX19398	MB17 Sondage	A	37807	860	131977	758910	3844	47681	12080	1007	138	4100	11	15	135	133	24	92	18	1156	13	
BDX19398	MB17 Sondage	A	32398	918	129994	769000	5190	43262	12780	283	118	4498	10	15	131	132	22	90	17	1130	13	
BDX19400	MB17 Sondage	A	30583	1681	147369	755593	109	47290	5871	359	251	9390	23	16	132	123	21	97	19	1065	10	
BDX19400	MB17 Sondage	A	28370	966	147133	756783	118	47088	8030	381	319	9426	22	15	135	126	21	92	20	947	9	
BDX19400	MB17 Sondage	A	28667	979	147361	757557	115	49128	5844	501	240	8540	22	16	147	126	20	94	19	614	9	
BDX19400	MB17 Sondage	A	27978	651	145930	758567	190	49856	6045	723	225	8820	20	15	146	119	19	98	18	571	9	
BDX19401	MB17 Sondage	A	29537	964	152101	744262	224	47685	13159	1318	383	8967	23	17	161	125	26	83	21	925	18	
BDX19401	MB17 Sondage	A	27900	638	147733	751051	241	49161	12033	1293	349	8580	21	17	170	124	28	84	19	537	24	
BDX19401	MB17 Sondage	A	29605	1041	138480	757969	166	48711	12012	1503	355	8557	21	17	163	130	25	78	18	1127	22	
BDX19401	MB17 Sondage	A	29412	1863	141254	769927	204	40869	7580	898	301	6977	16	13	138	95	23	65	21	329	15	
BDX19402	MB17 Sondage	A	33405	639	149456	756669	127	46088	6694	<10	342	5961	19	13	139	139	72	23	47	21	268	16
BDX19402	MB17 Sondage	A	34841	886	130666	769435	112	47107	7719	122	413	7743	23	15	156	80	24	55	17	566	19	
BDX19402	MB17 Sondage	A	34366	913	130475	770549	107	47918	7565	<10	370	6880	21	15	155	77	24	61	17	465	20	
BDX19402	MB17 Sondage	A	35319	909	131540	771415	102	44343	8690	<10	364	6432	21	15	139	79	25	53	18	518	19	
BDX19410	MB17 US112	A	30707	1843	151724	746651	140	48896	8521	377	231	10229	15	11	134	99	20	79	21	293	8	
BDX19410	MB17 US112	A	36335	796	127368	751590	211	59592	11594	884	245	10390	18	16	160	117	23	94	18	538	9	
BDX19410	MB17 US112	A	30992	599	123911	777136	139	45896	11913	1197	204	7325	15	15	127	115	21	86	19	283	8	
BDX19411	MB17 US112	A	39449	1666	128824	755102	160	57133	9981	330	258	6229	13	17	175	117	24	88	27	392	14	
BDX19411	MB17 US112	A	40229	1658	126911	757282	811	53851	12410	174	213	5559	14	19	174	119	27	95	22	418	14	
BDX19412	MB17 US112	A	34637	732	135678	745745	123	60512	8931	1193	233	11254	21	16	162	143	24	96	23	462	16	
BDX19412	MB17 US112	A	30494	850	128659	752000	162	66652	8585	1490	251	9171	18	15	168	142	16	96	22	1193	15	
BDX19412	MB17 US112	A	30647	788	128463	752896	173	68594	8017	521	204	8011	17	15	177	137	37	73	20	1195	14	
BDX19413	MB17 US112	A	34390	705	130259	766580	187	46127	14570	830	245	5249	10	16	130	118	27	84	18	440	16	
BDX19413	MB17 US112	A	37010	2134	126778	768622	151	45101	13820	521	216	4911	10	17	133	114	29	81	20	316	17	
BDX19414	MB17 US112	A	38828	671	132030	770356	207	36333	16185	1137	212	3411	15	15	85	135	18	91	17	246	8	
BDX19414	MB17 US112	A	35647	619	144713	770667	146	29495	14614	<10	160	3339	14	14	76	124	19	84	19	242	8	
BDX19415	MB17 US112	A	35646	750	144341	761166	258	35689	12265	166	232	7939	14	15	133	115	26	86	19	1127	12	
BDX19415	MB17 US112	A	35477	1123	129197	762831	118	46626	11067	941	271	10689	18	15	176	118	20	79	19	1201	15	

BDX	Secteur/US	Groupes	Na2O	MgO	Al2O3	SiO2	P2O5	K2O	CaO	TiO2	MnO	Fe2O3	Zn	Ga	Rb	Sr	Y	Zr	Nb	Ba	Pb
BDX19415	MB17 US112	A	36458	813	128770	765500	140	47068	11008	52	240	8332	15	15	161	115	22	77	22	1178	14
BDX19415	MB17 US112	A	35702	933	131017	770598	171	39449	12232	40	234	8011	15	16	140	120	25	91	19	1172	13
BDX19415	MB17 US112	A	34587	1144	129369	771108	105	39163	11745	884	292	9981	17	16	145	121	26	91	18	1174	14
BDX19416	MB17 US112	A	37129	655	130377	750594	398	62824	11368	<10	175	4905	10	16	153	114	20	78	17	1148	19
BDX19416	MB17 US112	A	39427	644	128719	762768	555	49947	11359	437	183	5091	11	15	132	111	20	77	19	470	15
BDX19416	MB17 US112	A	37134	942	129679	768015	153	44287	11598	975	209	5920	13	16	121	116	23	83	18	683	17
BDX19417	MB17 US112	A	43195	691	144670	747995	136	47700	9159	919	166	4764	19	15	139	97	17	68	19	221	10
BDX19417	MB17 Sondage	A	34837	688	142858	756799	148	49077	9103	809	168	4869	18	15	144	99	18	72	18	249	11
BDX19417	MB17 US112	A	40049	926	125624	758081	177	57472	9919	1037	217	5787	19	15	164	102	21	85	19	274	12
BDX19417	MB17 US112	A	28606	2221	144396	759292	132	50436	7993	722	192	5354	18	14	142	102	21	83	18	248	11
BDX19417	MB17 Sondage	A	27487	763	146900	759574	158	49459	8331	945	200	5545	18	13	142	100	19	82	22	231	11
BDX19417	MB17 US112	A	27117	612	144314	761371	161	51616	7985	577	192	5370	19	14	140	103	24	81	20	272	11
BDX19417	MB17 Sondage	A	40330	773	125531	763063	144	55335	7950	718	201	5261	18	14	145	103	22	83	17	282	11
BDX19417	MB17 US112	A	34053	726	127953	772094	135	44574	12047	1183	215	6402	23	16	134	111	20	74	17	211	12
BDX19418	MB17 US112	A	35553	703	144335	750323	381	47781	11638	553	113	4005	8	14	129	132	18	76	19	1205	12
BDX19418	MB17 US112	A	32531	1048	128900	767815	2595	47479	11643	1700	325	4746	13	14	120	119	18	91	16	813	12
BDX19418	MB17 US112	A	34828	852	130150	767894	1889	46013	11925	133	221	4531	14	14	118	129	24	84	20	1149	13
BDX19418	MB17 US112	A	32201	876	126533	774677	392	45479	12208	1056	200	5568	12	16	117	135	20	89	17	391	13
BDX19419	MB17 US112	A	42876	924	140223	664576	51788	42326	43914	1169	597	9974	32	17	165	125	29	79	21	1135	29
BDX19419	MB17 US112	A	36184	1113	133377	668266	58598	43150	47071	1264	767	9175	32	17	160	129	26	73	19	553	25
BDX19419	MB17 US112	A	35607	1119	122104	716567	35315	44590	33473	1113	415	8506	27	17	163	126	23	87	19	699	28
BDX19419	MB17 US112	A	31526	1051	126308	752112	9699	53587	14948	928	353	8036	22	16	164	117	25	70	18	992	30
BDX19419	MB17 Sondage	A	33950	826	126977	772199	153	44038	11125	1278	343	7632	17	17	153	112	19	68	16	1059	18
BDX19419	MB17 Sondage	A	34768	695	124339	775881	167	46089	7451	882	358	8343	20	16	156	109	22	66	17	605	17
BDX19419	MB17 Sondage	A	34607	718	124448	775986	170	44956	10046	321	311	6982	18	16	146	105	26	69	16	1042	17
BDX19421	MB17 US112	A	32185	1421	154760	749713	200	45872	9330	<10	297	5407	13	16	143	87	22	67	21	432	14
BDX19421	MB17 US112	A	37470	637	135366	755829	121	52939	10586	<10	309	5962	15	18	155	90	20	62	17	386	17
BDX19421	MB17 US112	A	30139	1248	147430	763965	285	43217	7342	<10	306	5403	15	15	135	78	18	57	22	312	14
BDX19422	MB17 US112	A	47311	675	147308	736805	171	44982	12978	1126	253	7754	16	16	120	127	21	90	20	217	10
BDX19422	MB17 US112	A	32804	952	122608	777202	190	41457	13774	1612	269	8503	15	15	107	132	19	95	16	220	10
BDX19423	MB17 US112	A	35467	722	129909	767275	208	46572	11769	1042	165	6216	9	16	144	110	25	80	17	243	14
BDX19423	MB17 US112	A	36223	679	126868	775370	197	42249	11264	841	153	5531	10	16	127	110	26	78	17	228	13
BDX19424	MB17 Sondage	A	31554	693	132325	754424	112	58875	12314	1299	260	7467	16	17	115	123	16	89	17	273	10
BDX19424	MB17 Sondage	A	35202	1117	140369	754544	207	43383	14355	577	225	9272	14	16	89	126	17	90	22	356	10
BDX19424	MB17 Sondage	A	34809	643	132676	764182	137	43771	15743	658	353	6251	11	16	99	132	85	86	17	331	10
BDX19424	MB17 Sondage	A	38747	1102	122389	802527	369	13808	16816	<10	230	3167	8	16	35	133	11	72	15	550	6
BDX19425	MB17 Sondage	A	40060	902	139357	734234	2804	59313	13229	866	216	7379	13	16	177	122	16	74	17	1193	13
BDX19425	MB17 Sondage	A	42989	923	128562	754752	798	50875	12292	25	219	6772	15	15	155	135	23	92	19	1324	14
BDX19425	MB17 Sondage	A	41077	1607	130468	757128	150	43406	13968	1487	263	8766	16	17	139	137	21	89	17	1231	13
BDX19425	MB17 Sondage	A	33406	1066	136483	762926	3431	38049	14760	507	203	7695	15	16	119	130	18	89	16	1059	12
BDX19425	MB17 Sondage	A	35291	1018	128517	763391	1922	44432	13610	1399	275	8493	16	16	150	136	17	94	17	1193	13
BDX19425	MB17 Sondage	A	33935	1171	133495	763905	681	45464	12205	382	193	6946	13	16	145	130	20	86	18	1185	12
BDX19426	MB17 Sondage	A	41639	607	143341	733871	4024	56074	11728	1119	145	5719	14	18	153	145	23	93	18	1253	15
BDX19426	MB17 Sondage	A	29535	787	148043	734588	3279	67027	9216	108	139	5426	13	17	160	142	22	103	19	1361	14

BDX	Secteur/US	Groupes	Na2O	MgO	Al2O3	SiO2	P2O5	K2O	CaO	TiO2	MnO	Fe2O3	Zn	Ga	Rb	Sr	Y	Zr	Nb	Ba	Pb
BDX19426	MB17 Sondage	A	44870	687	136521	735340	5445	54969	13029	1158	157	5963	14	18	148	153	25	105	18	1366	14
BDX19426	MB17 Sondage	A	32942	732	141760	738947	97	66232	11397	<10	160	6103	13	16	143	138	19	79	19	1186	15
BDX19426	MB17 Sondage	A	32810	857	130756	757361	4737	49750	13387	1295	173	7076	15	18	145	155	23	97	18	1311	16
BDX19428	MB17 Sondage	A	43083	1068	143067	746985	101	46219	12057	831	202	5537	15	15	148	126	25	91	17	397	15
BDX19428	MB17 Sondage	A	34287	698	127906	769518	111	46987	12171	1373	223	5988	16	16	151	127	24	90	17	283	14
BDX19428	MB17 Sondage	A	33149	626	125692	769981	111	48885	13161	1152	225	6118	16	17	160	136	26	101	20	409	15
BDX19430	MB17 Sondage	A	39103	10856	151163	713923	2063	42594	23951	449	268	13945	19	18	140	154	17	91	19	1218	8
BDX19430	MB17 Sondage	A	43467	10212	150366	714031	1296	42190	23391	<10	241	13072	20	17	141	160	19	93	18	1258	9
BDX19430	MB17 Sondage	A	43236	9905	152940	714228	952	41595	24205	204	254	11278	15	15	133	146	17	88	18	1162	9
BDX19430	MB17 Sondage	A	35577	9619	151105	724053	1119	45567	19221	450	286	11371	19	16	140	144	15	78	22	1191	8
BDX19430	MB17 Sondage	A	32279	9830	150322	725610	2112	44693	22121	97	280	11014	18	17	143	152	16	86	17	1184	9
BDX19440	MB17 Sondage	A	29390	942	150255	737362	224	61055	10910	1137	279	7171	20	18	203	94	26	66	21	807	18
BDX19440	MB17 Sondage	A	28611	1156	147727	737722	400	63517	11787	1058	299	6447	18	19	200	95	29	72	22	800	19
BDX19440	MB17 Sondage	A	29370	969	151687	748481	301	52385	8779	648	259	6020	17	17	188	86	25	64	19	670	16
BDX19440	MB17 Sondage	A	46395	2520	132903	754754	893	45964	8160	1078	290	6370	16	15	158	76	22	57	18	299	13
BDX19440	MB17 Sondage	A	42116	914	130305	756804	245	49072	11301	961	307	6810	20	18	173	90	26	62	20	736	19
BDX19441	MB17 Sondage	A	38307	755	158244	739214	157	49201	5766	<10	241	6990	19	17	163	91	<10	58	19	791	20
BDX19441	MB17 Sondage	A	37255	1844	152219	739607	148	50882	5716	<10	238	6933	21	17	188	97	24	59	22	497	21
BDX19441	MB17 Sondage	A	37617	2443	156517	739624	183	49701	5597	<10	251	7175	18	15	162	84	24	68	19	482	20
BDX19441	MB17 Sondage	A	41544	746	156035	742041	153	47572	5168	<10	228	5667	17	15	157	82	24	60	18	453	18
BDX19441	MB17 Sondage	A	43776	757	157074	742320	175	42087	6215	<10	187	6607	16	16	128	92	26	59	19	431	17
BDX22265	MB18 Chapelle	A	30976	1173	149220	759167	555	46851	5300	<10	205	5563	18	15	156	84	25	60	19	596	17
BDX22265	MB18 Chapelle	A	32594	2265	151412	740486	111	53549	11164	517	273	6471	16	19	191	120	27	74	20	656	33
BDX22265	MB18 Chapelle	A	30846	773	153233	746896	212	51840	7646	491	319	6732	16	17	187	83	26	59	20	575	28
BDX22265	MB18 Chapelle	A	45294	934	142371	747116	197	45762	10841	0	309	5982	26	15	137	103	27	80	18	775	13
BDX22265	MB18 Chapelle	A	35524	1028	148569	749431	192	50315	7371	482	265	5949	13	16	176	79	24	51	18	470	26
BDX22265	MB18 Chapelle	A	31280	878	146716	750940	204	52340	7071	952	348	8148	17	15	190	90	26	66	19	673	27
BDX22265	MB18 Chapelle	A	26812	1753	116971	777848	222	59283	10029	0	249	5274	28	16	170	104	24	83	18	1101	15
BDX22265	MB18 Chapelle	A	33411	940	134750	777988	204	33914	11149	0	265	5926	26	13	112	104	24	79	17	1066	12
BDX22267	MB18 Structure A	A	28389	1047	149773	742815	178	62315	9065	357	190	4554	11	17	167	110	20	88	19	873	11
BDX22267	MB18 Structure A	A	31218	2317	138670	761720	745	50731	8389	505	126	3989	11	17	139	119	17	80	18	1181	10
BDX22267	MB18 Structure A	A	35596	1130	131383	765881	136	49552	8128	1761	214	4629	11	16	136	112	28	84	21	1170	10
BDX22267	MB18 Structure A	A	35900	2253	128933	766715	123	52841	7527	0	162	3869	10	16	150	107	22	115	21	1225	11
BDX22267	MB18 Structure A	A	32972	2303	132249	768391	331	51296	7636	0	131	3187	9	16	144	108	20	89	19	1089	10
BDX22273	MB18 Structure A	A	46238	1946	136866	748781	329	45470	8966	1409	359	8942	22	15	155	107	23	78	21	253	20
BDX22273	MB18 Structure A	A	29712	1631	144780	754204	129	48482	8088	1857	404	10060	27	15	164	109	24	74	23	198	22
BDX22274	MB18 Dolmen	A	33780	979	142799	654724	3013	27922	92423	998	1079	40178	24	35	191	284	48	82	27	1390	25
BDX22274	MB18 Dolmen	A	34271	817	144558	694338	420	32616	65167	374	586	25021	19	24	172	173	31	86	25	1282	20
BDX22274	MB18 Dolmen	A	31985	1018	143072	696059	1089	39460	62119	0	528	22768	20	22	185	169	26	84	24	1317	25
BDX22274	MB18 Dolmen	A	33578	1171	133775	718033	1703	29894	52042	1432	720	26034	22	22	155	167	34	76	21	1106	16
BDX22275	MB18 Dolmen	A	39098	2477	139235	716616	150	77100	14614	1124	242	7301	16	20	196	165	32	116	23	1460	15
BDX22275	MB18 Dolmen	A	34030	687	143194	723268	151	75876	12423	1833	220	6524	14	17	175	147	17	101	21	1288	13
BDX22275	MB18 Dolmen	A	32843	1031	153612	723575	222	68326	12578	424	168	5368	13	18	154	160	19	104	20	1354	12
BDX22275	MB18 Dolmen	A	28275	1764	143716	730414	108	73487	12943	1225	198	6168	17	18	150	142	31	97	19	1216	12

BDX	Secteur/US	Groupes	Na2O	MgO	Al2O3	SiO2	P2O5	K2O	CaO	TiO2	MnO	Fe2O3	Zn	Ga	Rb	Sr	Y	Zr	Nb	Ba	Pb
BDX22275	MB18 Dolmen	A	27231	1619	143856	736364	117	69438	12472	1780	219	5118	13	18	148	155	25	99	20	1297	12
BDX22275	MB18 Dolmen	A	33125	845	141601	737689	277	65577	11659	1548	228	5783	13	16	135	143	15	95	19	1221	13
BDX22275	MB18 Dolmen	A	36391	2458	139798	741483	180	56785	14106	1147	203	5560	12	20	151	165	24	107	21	1376	14
BDX22277	MB18 Dolmen	A	34844	652	152910	726352	136	67506	8140	1271	259	6221	16	17	143	124	27	102	20	1251	9
BDX22277	MB18 Dolmen	A	32071	866	157666	736918	238	53292	9924	1192	268	5873	12	16	110	137	27	97	19	1265	8
BDX22277	MB18 Dolmen	A	40265	1267	147062	741434	368	47236	14171	1241	301	5325	11	17	86	152	19	97	19	921	9
BDX22277	MB18 Dolmen	A	30721	816	140837	743170	338	66907	8222	1278	327	5703	12	16	152	111	24	94	19	1244	10
BDX22277	MB18 Dolmen	A	33513	1485	155969	744084	154	41252	12592	1701	280	7821	15	17	99	143	24	97	19	727	8
BDX22277	MB18 Dolmen	A	31413	675	157957	746025	205	33326	15777	934	285	11706	14	19	85	156	28	105	19	1263	9
BDX22277	MB18 Dolmen	A	35332	957	145000	756024	157	36976	16604	1222	271	6341	11	19	68	155	34	103	21	700	8
BDX22277	MB18 Dolmen	A	30406	741	146331	763118	317	32889	16073	1370	281	7002	11	18	78	148	25	97	19	1069	8
BDX22278	MB18 Dolmen	A	27772	821	147016	752801	171	54888	7465	910	335	7095	17	17	186	84	29	73	20	281	18
BDX22278	MB18 Dolmen	A	42623	1477	133894	753846	298	51242	7887	1031	344	6666	18	17	180	79	30	73	21	254	21
BDX22278	MB18 Dolmen	A	29281	618	145671	757825	108	50448	7426	917	337	6725	16	17	179	77	29	68	20	222	17
BDX22279	MB18 Dolmen	A	27658	2171	139606	761307	158	47788	11890	611	231	6976	12	15	132	129	25	92	19	1163	14
BDX22284	MB18 Sect B Tranchée	A	31554	843	130895	765970	143	48626	12178	728	243	7222	14	17	135	134	25	93	19	1146	15
BDX22284	MB18 Sect B Tranchée	A	36527	747	127583	764314	173	48219	10470	969	971	8408	25	16	156	127	21	79	19	1153	23
BDX22285	MB18 Sect B Carrés	A	31419	867	125855	768672	123	50182	11027	1208	468	8613	26	17	167	126	27	107	17	1058	23
BDX22285	MB18 Sect B Carrés	A	29991	1772	155077	732569	144	53356	13051	1710	364	10731	21	19	162	155	28	106	21	1303	18
BDX22285	MB18 Sect B Carrés	A	31005	679	142399	755698	127	47604	10974	964	288	8585	20	16	140	134	25	86	20	1223	14
BDX22285	MB18 Sect B Carrés	A	27957	1026	145614	758337	151	42375	12047	1156	331	9380	19	16	126	139	24	84	19	1182	15
BDX22285	MB18 Sect B Carrés	A	27841	1285	149726	759092	184	42149	9269	509	298	8054	15	15	127	122	19	79	19	1185	13
BDX22286	MB18 Sect B Carrés	A	28222	645	148352	732720	111	63646	12570	1388	415	10032	25	19	197	158	25	95	20	1335	24
BDX22286	MB18 Sect B Carrés	A	29331	679	148195	736523	132	60091	11983	1177	401	9636	21	18	191	150	25	94	19	1312	23
BDX22286	MB18 Sect B Carrés	A	46602	629	145166	738597	511	47661	11472	520	319	6913	16	16	157	129	32	103	17	1123	17
BDX22287	MB18 Sect B Carrés	A	42066	1802	141020	752455	196	40335	11634	631	333	7944	16	15	129	118	24	87	21	1159	14
BDX22287	MB18 Sect B Carrés	A	30840	1436	139464	754394	160	49509	12032	1187	366	9568	20	16	162	123	24	86	23	573	16
BDX22288	MB18 Sect B Carrés	A	30063	1413	140466	760282	180	44231	11282	874	361	9375	18	16	138	125	27	95	25	1014	15
BDX22288	MB18 Sect B Carrés	A	36468	931	155017	737666	506	48658	6276	1912	332	10959	19	17	155	96	13	81	20	859	15
BDX22288	MB18 Sect B Carrés	A	29744	2070	144921	742001	3635	44989	4821	1108	305	25443	13	14	158	86	12	77	19	569	15
BDX22288	MB18 Sect B Carrés	A	30352	3406	142974	755472	810	50867	5989	732	307	7762	14	17	155	96	18	96	20	899	14
BDX22288	MB18 Sect B Carrés	A	32189	2231	141537	756088	459	52154	5366	1202	298	7633	15	17	177	92	18	102	20	385	16
BDX22288	MB18 Sect B Carrés	A	30070	1271	143975	759518	530	46183	4322	1173	312	11709	17	15	160	76	23	83	18	531	13
BDX22288	MB18 Sect B Carrés	A	31445	1199	145745	760063	769	45665	5494	896	307	7135	12	15	142	92	12	75	18	901	15
BDX19354	MB13 Sondage	B	32637	1625	136081	740212	6480	63206	10409	1607	286	6623	24	16	303	37	34	144	18	248	11
BDX19354	MB13 Sondage	B	31875	929	154403	740952	906	54386	7111	1343	267	6881	23	18	285	41	38	161	19	349	12
BDX19354	MB13 Sondage	B	28778	1306	125866	740998	14983	60858	18538	1491	315	5993	27	18	305	43	40	157	21	251	11
BDX19354	MB13 Sondage	B	32372	1498	137345	750804	4786	57560	8070	1132	298	5270	21	16	267	37	33	138	17	324	11
BDX19363	MB17 Sondage	B	35459	702	124580	763362	112	59389	6040	1484	272	7915	15	17	268	36	33	142	17	146	12
BDX19363	MB17 Sondage	B	36348	648	120464	768753	152	57071	5701	1655	306	8257	15	16	253	34	33	131	17	135	11
BDX19363	MB17 Sondage	B	30871	673	121291	775699	99	54876	5490	1722	307	8345	16	16	254	33	31	129	16	120	11
BDX19374	MB17 Sondage	B	36846	1484	125943	762299	134	55114	6179	1090	408	9729	21	18	290	36	38	140	24	192	14
BDX19374	MB17 Sondage	B	32221	940	127836	764937	242	54195	6525	1476	447	10414	20	19	297	38	40	150	23	167	14
BDX19374	MB17 Sondage	B	37512	1464	118593	767341	713	54556	6900	1498	412	10217	21	19	300	43	42	152	24	179	13

BDX	Secteur/US	Groupes	Na2O	MgO	Al2O3	SiO2	P2O5	K2O	CaO	TiO2	MnO	Fe2O3	Zn	Ga	Rb	Sr	Y	Zr	Nb	Ba	Pb
BDX19381	MB17 Sondage	B	44392	986	140017	740733	532	55684	5999	1094	337	9433	19	17	279	34	35	139	19	239	11
BDX19381	MB17 Sondage	B	38960	1581	140739	750492	417	49978	6106	1263	342	9431	20	18	265	35	36	136	19	151	11
BDX19381	MB17 Sondage	B	30405	1343	141935	753053	115	55094	6474	1084	349	9335	21	18	292	36	35	146	19	235	12
BDX19397	MB17 Sondage	B	33390	793	125666	768993	160	55306	5919	1172	339	7560	25	17	258	38	33	131	16	174	12
BDX19397	MB17 Sondage	B	42583	1937	120270	769553	118	50576	5964	1267	267	6803	22	16	246	38	33	128	17	150	12
BDX19397	MB17 Sondage	B	34245	928	123673	771770	101	53682	5980	1277	354	7307	25	16	252	38	34	132	16	159	12
BDX19397	MB17 Sondage	B	35541	2052	122454	772213	114	52350	6036	1173	259	7136	23	16	250	39	33	130	17	154	12
BDX19404	MB17 Sondage	B	42138	727	141575	752250	221	45100	5261	1469	377	10251	13	14	226	32	31	122	21	162	9
BDX19404	MB17 Sondage	B	41073	711	143512	752733	197	46695	5659	1237	273	7315	11	15	217	32	31	118	21	143	10
BDX19404	MB17 Sondage	B	37734	670	124178	771196	136	49079	5726	1522	343	8752	11	16	251	33	31	129	19	164	10
BDX19406	MB17 Sondage	B	37756	654	137353	746021	134	59528	6361	1693	332	9465	17	18	269	38	35	148	17	148	13
BDX19406	MB17 Sondage	B	42901	1392	141355	755439	149	44632	5285	1103	276	6870	16	15	248	37	32	123	21	136	10
BDX19372	MB17 Sondage	B	27548	1637	143904	760421	153	50264	5823	1317	285	7991	16	15	248	37	33	136	20	142	13
BDX19372	MB17 Sondage	C	42598	1078	148343	749189	138	44943	3559	<10	297	9180	78	20	198	10	74	155	21	107	12
BDX19372	MB17 Sondage	C	36770	643	145638	757436	172	45259	3766	<10	325	9343	58	20	192	10	74	147	21	115	10
BDX19391	MB17 Sondage	C	37888	1472	137740	749458	608	56548	4721	<10	308	10481	57	24	269	12	79	187	26	108	12
BDX19391	MB17 Sondage	C	36765	1192	138385	751510	632	55620	4603	<10	307	10223	57	24	269	11	74	183	26	108	11
BDX19393	MB17 Sondage	C	38496	1183	145257	755241	145	45717	3774	<10	311	9253	29	19	214	9	71	149	19	102	10
BDX19393	MB17 Sondage	C	33756	823	142604	763260	156	45288	3785	<10	313	9370	28	19	211	10	67	173	21	108	11
BDX19393	MB17 Sondage	C	35232	658	131041	772566	165	45750	3907	<10	314	9683	46	20	218	9	68	179	22	109	11
BDX19399	MB17 Sondage	C	45105	1378	144170	745115	165	40037	4009	7550	682	11172	20	20	188	11	73	176	24	96	8
BDX19399	MB17 Sondage	C	44015	1448	141427	750916	137	46908	4193	<10	365	9932	34	22	230	10	74	161	23	95	9
BDX19399	MB17 Sondage	C	35772	591	120671	785173	105	42873	4248	<10	289	9656	28	21	202	10	72	158	23	95	12
BDX19403	MB17 Sondage	C	39256	1008	149991	725882	9644	51870	6386	1416	365	13443	27	23	261	7	55	209	27	117	15
BDX19403	MB17 Sondage	C	35622	1404	130327	735558	12801	58405	6968	1536	347	16254	38	25	268	8	54	223	28	117	17
BDX19403	MB17 Sondage	C	37156	863	145457	740439	6915	51795	5632	849	272	9926	28	20	227	7	56	200	24	119	14
BDX19403	MB17 Sondage	C	33045	1886	132545	753671	3672	56599	6062	951	259	10615	24	21	252	9	42	201	26	106	14
BDX19403	MB17 Sondage	C	35740	1326	134155	754590	4768	49969	5893	1119	426	11316	23	21	236	7	57	197	24	117	14
BDX19403	MB17 Sondage	C	44583	1672	130333	756116	721	47513	5730	1796	269	10630	18	19	212	8	38	201	22	105	14
BDX19403	MB17 Sondage	C	27164	1051	133417	768398	1726	50965	5911	980	234	9451	22	21	234	11	40	214	24	122	15
BDX19407	MB17 Sondage	C	37911	1490	137910	762555	155	44505	4337	<10	294	10211	20	22	203	12	74	162	22	107	8
BDX19407	MB17 Sondage	C	36823	1502	137139	763749	132	45319	4446	<10	297	9947	27	21	213	12	72	162	22	110	9
BDX19378	MB17 Sondage	D	32295	761	122439	752944	146	68358	2333	1453	19	17898	8	28	350	5	111	697	42	106	8
BDX19378	MB17 Sondage	D	35602	872	117819	755086	136	68452	2386	1633	45	16533	14	30	362	6	118	740	49	107	11
BDX19378	MB17 Sondage	D	29601	638	128481	756030	88	67982	2319	1806	41	11573	12	33	357	5	130	749	47	99	10
BDX19378	MB17 Sondage	D	32202	955	127687	756054	167	64807	2182	1673	22	12903	10	30	336	4	115	700	45	100	9
BDX19384	MB17 Sondage	D	47136	1749	139483	760940	117	25805	1133	1725	22	20494	12	32	126	4	149	913	40	111	10
BDX19384	MB17 Sondage	D	34582	1176	126986	778301	232	40994	1727	488	17	14445	11	22	192	4	96	556	40	120	10
BDX19384	MB17 Sondage	D	30637	848	126740	797063	234	25312	1140	1373	18	15474	9	29	115	3	117	743	30	106	8
BDX19373	MB17 Sondage	E	42023	658	142151	754869	641	40998	1996	871	75	14644	23	26	195	6	90	582	29	114	10
BDX19373	MB17 Sondage	E	41926	725	143232	758487	644	35903	1920	1120	59	14945	17	24	176	5	91	586	29	99	10
BDX19373	MB17 Sondage	E	27181	623	140957	763371	105	44957	2165	1215	96	18055	29	31	243	6	108	694	36	115	12
BDX19377	MB17 Sondage	F	40816	619	118596	787729	107	42650	3485	<10	70	5358	13	18	225	21	29	107	19	120	17
BDX19377	MB17 Sondage	F	35957	572	120399	790416	105	43145	3300	<10	105	5448	13	18	217	18	30	119	19	100	18

BDX	Secteur/US	Groupes	Na2O	MgO	Al2O3	SiO2	P2O5	K2O	CaO	TiO2	MnO	Fe2O3	Zn	Ga	Rb	Sr	Y	Zr	Nb	Ba	Pb
BDX19377	MB17 Sondage	F	32701	876	120976	793224	110	42850	3354	<10	71	5289	12	18	223	16	28	110	17	105	19
BDX19427	MB17 Sondage	G	36389	830	140533	753393	310	42328	1748	1305	112	21670	47	8	209	10	131	625	41	122	189
BDX19427	MB17 Sondage	G	32606	707	142210	757985	241	39542	1641	1359	119	22234	50	4	203	8	133	609	34	122	193
BDX19427	MB17 Sondage	G	31358	2087	127220	769843	186	43747	1875	1437	96	20953	43	10	221	9	104	539	33	101	140
BDX19429	MB17 Sondage	H	31883	597	140766	756175	108	55135	2087	1159	18	11192	12	19	255	8	75	368	25	105	13
BDX19429	MB17 Sondage	H	26726	700	141384	758444	102	58238	2398	927	16	10157	15	21	271	9	78	373	27	102	14
BDX19429	MB17 Sondage	H	26444	1909	132381	759416	115	62449	2277	923	27	13106	14	21	276	8	84	407	26	104	14
BDX19396	MB17 Sondage	H	34668	766	123412	761462	123	63696	3186	1560	22	10152	14	21	285	9	79	405	32	95	13
BDX19396	MB17 Sondage	I	33873	1820	127375	771591	134	46789	4606	412	338	12366	55	22	221	11	75	176	22	94	23
BDX19396	MB17 Sondage	I	37507	626	127323	777252	174	44393	4141	<10	287	7585	110	20	204	10	64	161	21	95	27
BDX22270	MB18 Structure A	J	47846	1079	150647	735582	3273	41112	1990	1847	1840	13930	97	26	214	2	57	303	26	116	12
BDX22270	MB18 Structure A	J	34384	2107	142233	749947	501	45414	2626	2044	1341	18332	119	32	241	2	50	465	37	116	8
BDX22270	MB18 Structure A	J	36175	2078	132703	760355	555	47266	2155	1918	502	15375	114	29	243	2	51	321	30	120	8
BDX22272	MB18 Structure A	J	49228	1793	146330	731492	124	43855	2279	1877	428	21419	159	29	223	0	77	525	32	123	7
BDX22272	MB18 Structure A	J	43659	2028	146175	731549	121	46335	3116	2304	382	23147	172	31	249	1	61	511	32	119	7
BDX22272	MB18 Structure A	J	37059	1738	150217	734919	75	49308	2101	1597	378	21508	160	34	265	0	49	431	29	125	6
BDX22272	MB18 Structure A	J	36613	2150	143834	750639	105	45010	2616	1334	338	16415	124	27	208	1	51	373	36	120	6
BDX22271	MB18 Structure A	K	27866	15518	149602	615956	4222	27897	56845	21034	2038	7982	203	19	185	219	46	216	20	121	10
BDX22271	MB18 Structure A	K	29233	14846	130990	625037	5547	30411	57161	22554	2250	80913	179	18	199	232	49	225	21	125	11
BDX22268	MB18 Structure A	L	43521	669	144188	730531	275	62104	5725	2240	316	9473	16	19	297	35	81	341	32	129	5
BDX22268	MB18 Structure A	L	37424	1781	132854	753652	192	53742	7753	1973	396	9219	12	20	290	40	79	381	32	152	7
BDX22283	MB18 Sect B Tranchée	M	28400	637	138144	750547	124	63619	2172	1472	89	13801	17	21	294	6	93	409	38	101	15
BDX22283	MB18 Sect B Tranchée	M	31426	1754	136481	757401	111	57390	1835	892	43	11865	13	18	278	5	61	289	25	96	15
BDX22283	MB18 Sect B Tranchée	M	27721	696	134663	763143	133	56365	1813	1213	38	13371	13	18	271	6	71	320	33	97	16
BDX22283	MB18 Sect B Tranchée	M	29485	890	136823	764247	170	52176	1782	1138	53	12462	11	17	261	5	61	282	24	98	15
BDX22281	MB18 Sect B Tranchée	N	29446	977	149628	744264	152	47219	9557	3130	962	13376	61	15	184	123	20	70	24	776	16
BDX22281	MB18 Sect B Tranchée	N	30950	2390	151420	752143	114	48261	7244	0	330	6151	20	15	185	110	20	82	22	531	13
BDX22281	MB18 Sect B Tranchée	N	28410	966	147400	761308	152	47845	6161	0	314	6198	23	14	181	106	21	75	20	793	13
BDX22281	MB18 Sect B Tranchée	N	44420	790	124704	762957	122	48570	6747	1919	518	8483	33	15	178	100	17	82	17	314	15
BDX22281	MB18 Sect B Tranchée	N	28054	875	145873	764568	141	46616	5644	0	321	6927	22	14	176	94	20	76	22	545	12
BDX22281	MB18 Sect B Tranchée	N	43181	710	126265	769034	167	46172	6656	763	318	6070	22	15	178	114	19	73	16	216	13
BDX22266	MB18 Chapelle	O	27736	2275	148091	741555	144	60902	4580	959	370	12142	21	14	250	80	29	121	21	700	9
BDX22266	MB18 Chapelle	O	44439	7461	125994	742020	139	58965	5250	966	365	13346	22	15	257	84	29	128	20	490	10
BDX22266	MB18 Chapelle	O	33067	9129	129267	747284	285	60413	4514	1627	349	14242	22	16	257	84	33	144	19	1057	9
BDX22266	MB18 Chapelle	O	27488	1366	143974	750721	125	57916	4144	1530	356	11030	19	15	246	81	30	123	21	809	8
BDX22266	MB18 Chapelle	O	38053	2717	127899	750747	197	59706	4636	1590	361	12665	35	16	260	85	35	146	21	824	9
BDX22266	MB18 Chapelle	O	37367	7922	128694	751353	205	55592	4266	1550	341	11032	29	15	240	79	35	138	21	1113	7
BDX22280	MB18 Sect B Tranchée	O	40466	959	144341	762072	322	34172	5397	1242	364	9138	32	13	134	80	25	109	17	1109	7
BDX22280	MB18 Sect B Tranchée	O	29806	2384	144510	772857	169	35118	5333	1269	317	6938	22	13	145	85	22	107	19	880	7
BDX22280	MB18 Sect B Tranchée	O	29904	718	150364	773880	250	30829	4651	804	308	6719	22	11	133	77	21	98	22	1182	6
BDX22280	MB18 Sect B Tranchée	O	32248	2158	127941	774270	157	42967	6127	1622	404	10416	33	15	168	93	27	125	19	1201	8
BDX22280	MB18 Sect B Tranchée	O	30538	2206	129628	781001	150	37747	5816	1066	398	9851	31	16	151	87	25	118	18	1145	9
BDX22276	MB18 Dolmen	P	45595	637	142977	748077	1267	24728	20814	0	290	14924	15	15	153	94	37	48	17	294	16
BDX22276	MB18 Dolmen	P	38011	926	148118	750028	1288	36937	11924	0	268	11654	18	16	171	82	32	50	19	439	19

BDX	Secteur/US	Groupes	Na2O	MgO	Al2O3	SiO2	P2O5	K2O	CaO	TiO2	MnO	Fe2O3	Zn	Ga	Rb	Sr	Y	Zr	Nb	Ba	Pb
BDX22276	MB18 Dolmen	P	39591	1187	135807	753737	683	39950	12881	0	317	14891	21	16	178	88	32	67	20	518	18
BDX20543	MB17 Sondage	Q	33271	2124	140495	704719	125	82875	14900	2262	135	17598	29	26	456	7	110	696	28	99	42
BDX20543	MB17 Sondage	Q	33214	2265	144264	705331	139	77267	18523	2439	175	14901	30	27	447	7	110	682	33	105	41
BDX20543	MB17 Sondage	Q	29118	661	122818	719572	213	90477	11379	1407	91	22708	28	27	479	8	112	720	29	105	46
BDX22282	MB18 Sect B Tranchée	SC	29467	1848	133287	750712	156	53907	10549	3292	383	15568	67	21	175	114	27	219	20	157	29

4. Rhyolites de Basi - données EDXRF

BDX	Groupes	US	Na2O	MgO	Al2O3	SiO2	P2O5	K2O	CaO	TiO2	MnO	Fe2O3	Zn	Ga	Rb	Sr	Y	Zr	Nb	Ba	Pb
BDX23942	N	0	28719	777	149762	738697	10176	49760	6929	1904	322	12107	19	22	248	14	74	303	27	124	15
BDX23942	N	0	29721	687	152248	728074	14219	53602	6451	1621	304	12197	19	23	265	14	75	310	29	120	23
BDX23942	N	0	28385	2081	138760	759337	6368	48465	4885	1211	255	9628	18	19	224	11	50	167	20	105	11
BDX23943	R	0	42601	659	146689	726202	9717	46628	6159	1884	448	17925	109	27	244	2	84	465	48	100	8
BDX23943	R	0	35443	743	146945	752581	133	45734	2150	1141	386	13738	108	26	221	2	76	408	46	114	5
BDX23943	R	0	36507	817	146541	754482	207	42162	2076	1390	368	14573	94	26	210	2	62	344	30	107	5
BDX23944	R	0	29203	988	141096	756398	3633	47861	2508	1684	308	15536	87	23	222	4	58	255	21	104	9
BDX23944	R	0	43887	636	149633	736166	1351	48205	2338	1802	297	14775	87	27	246	3	86	321	26	104	9
BDX23945	F	0	34858	726	148738	682134	49938	48368	12182	2484	294	19270	68	31	412	26	93	143	53	138	41
BDX23946	I	0	29371	956	157479	739044	7373	43273	12686	1180	281	7388	24	17	149	121	28	88	19	506	16
BDX23947	J	1001	35930	901	125383	769979	120	48656	10241	945	232	6805	12	18	130	98	26	100	21	392	11
BDX23947	J	1001	27534	667	145229	762027	137	48654	7413	977	225	6265	14	16	132	87	24	126	22	441	10
BDX23947	J	1001	45875	755	143257	747143	110	46619	7483	1491	232	6359	16	15	124	84	24	106	21	276	10
BDX23949	F	1001	38380	665	140906	746630	3468	55861	3028	0	149	7934	70	24	430	7	77	181	50	106	34
BDX23949	F	1001	35171	658	144142	761229	283	47049	2505	0	149	7934	73	25	381	3	75	129	50	113	33
BDX23949	F	1001	36110	659	131728	755830	3750	56982	2975	602	226	10160	79	27	439	2	90	138	51	118	35
BDX23953	P	1001	40684	647	150447	740482	217	48089	2901	1700	354	13529	86	26	237	1	67	372	43	111	7
BDX23953	P	1001	37276	665	146019	751232	170	44334	2982	1820	264	14282	92	27	206	1	62	417	34	114	4
BDX23956	I	1001	39245	879	129069	749470	326	58616	12001	1427	172	7930	18	17	158	123	28	89	19	400	13
BDX23958	R	1001	39931	643	145333	739884	150	48287	2819	1970	379	19604	102	27	237	1	79	414	36	99	5
BDX23958	R	1001	34750	823	146425	749172	105	49189	2219	1345	338	16057	82	28	231	0	77	396	38	119	5
BDX23958	R	1001	36941	639	147665	744029	119	47659	2370	1575	352	17715	120	28	226	0	69	354	33	103	4
BDX23958	R	1001	34443	732	145066	750762	167	48632	2471	1643	322	14862	80	25	239	0	69	346	24	111	6
BDX23958	R	1001	44026	1439	150219	738920	117	45046	2175	1169	355	15554	89	26	202	0	79	425	43	111	5
BDX23958	R	1001	37489	645	142884	753415	104	45750	2063	1102	317	15295	83	25	216	0	71	392	31	112	5
BDX23958	R	1001	43706	1026	150023	735005	190	49878	2397	1430	325	15051	82	26	236	0	75	411	26	108	5
BDX23958	R	1001	33962	707	140543	753224	150	47259	2318	1781	343	18723	105	28	240	0	78	393	29	100	6
BDX23960	R	1001	38376	2322	147738	742613	156	49067	2944	1665	301	13833	80	26	234	1	79	425	29	100	10
BDX23960	R	1001	36270	1491	145652	741469	108	51820	3050	1564	277	17307	103	26	238	0	74	411	26	106	7
BDX23962	L	1010	32792	2246	149951	731242	939	52456	17968	1265	286	9133	17	20	145	155	30	110	20	1209	14
BDX23962	L	1010	36912	728	145706	737687	3771	48991	15597	1050	414	7769	16	18	130	137	27	95	18	923	11
BDX23963	R	1010	43135	796	148163	740406	298	44407	3519	1752	354	16269	98	25	194	1	64	364	30	116	9
BDX23964	Q	1011	27933	2314	146304	720831	7756	56367	15416	2414	470	18806	42	20	265	60	58	310	22	608	3
BDX23964	Q	1011	27279	1841	145183	727585	6082	57566	11199	2474	604	18925	40	19	258	58	56	321	21	484	3
BDX23965	R	1011	27246	773	136566	744646	7554	51644	12883	2445	333	15097	30	13	250	45	42	287	19	127	2
BDX23966	I	1011	30147	742	149652	749937	603	46546	14924	387	609	5914	12	16	146	92	25	73	21	138	17
BDX23968	R	1011	40838	653	146093	717644	14206	43725	18624	1842	359	15003	116	28	198	10	92	447	21	94	7
BDX24001	I	1018	32859	5346	165442	682011	14145	48790	33502	2908	362	13977	35	17	257	66	15	79	24	157	8
BDX24002	Q	1019	33698	894	142432	755288	4039	43583	3475	1901	337	13520	40	24	215	38	78	292	26	117	2
BDX24002	Q	1019	29040	612	138058	767335	360	48884	2946	1724	322	9931	29	21	247	34	82	332	29	112	1
BDX24003	A	1027	38765	2391	127213	762164	156	49590	1958	573	53	16345	16	16	197	29	57	310	28	122	16
BDX24003	A	1027	30676	682	134037	772379	187	46845	1946	158	44	12367	17	16	185	28	51	234	24	112	12
BDX24004	L	1027	39422	942	128572	759706	624	47583	13426	626	210	7270	11	17	137	136	28	97	18	1165	10

BDX	Groupes	US	Na2O	MgO	Al2O3	SiO2	P2O5	K2O	CaO	TiO2	MnO	Fe2O3	Zn	Ga	Rb	Sr	Y	Zr	Nb	Ba	Pb
BDX24004	L	1027	42954	888	131138	751151	501	48525	14095	460	179	8467	10	17	132	135	29	98	19	1193	9
BDX24005	I	1028	28871	944	149300	734727	11761	48054	15655	1310	333	8306	25	17	153	126	26	82	19	273	16
BDX24005	I	1028	41872	1315	132792	730789	7524	60426	14578	1456	223	8022	22	18	191	126	23	88	19	499	18
BDX24005	I	1028	46700	626	145927	734606	4612	47230	12335	480	185	6115	17	17	153	115	24	82	19	743	15
BDX24005	I	1028	32491	2176	145631	733115	16950	41240	14855	1532	3707	7699	28	14	137	109	26	77	23	176	14
BDX24006	I	1029	29694	682	144017	730321	10463	62095	12513	1070	259	8126	24	18	194	123	21	91	22	252	16
BDX24007	F	1029	42502	666	148619	736361	990	56611	5480	0	222	7738	24	27	365	5	60	148	50	108	24
BDX24007	F	1029	41568	931	150279	742668	406	49282	4533	249	239	9059	29	27	337	5	62	143	45	117	20
BDX24008	F	1029	35716	647	149402	752096	4342	45464	3937	0	249	7323	29	25	313	6	100	164	50	115	22
BDX24009	I	1030	42626	655	144854	751467	160	39285	14882	1299	217	3951	12	15	91	117	23	87	18	231	12
BDX24011	I	1030	29101	1865	139305	760856	1360	45238	12678	881	387	7248	18	15	116	143	22	91	19	644	13
BDX24016	R	1031	29609	2038	127968	768696	134	43695	7309	2250	376	17099	123	26	177	16	41	315	20	105	3
BDX24017	I	1031	30700	711	151817	746357	261	49774	13924	612	289	4163	12	16	130	134	35	96	19	941	9
BDX24021	Q	1031	45068	1979	144473	755423	106	41031	3227	1176	180	6892	17	17	138	53	14	75	19	111	2
BDX24026	R	1035	27110	1441	138166	755188	3302	48283	4476	1550	388	18987	114	27	255	1	87	462	53	102	8
BDX24026	R	1035	29620	2032	136567	762337	237	46653	3348	1623	372	16240	106	26	226	1	72	392	42	101	5
BDX24031	R	1036	28383	1899	136122	769998	188	43122	2991	1575	498	14363	83	25	188	7	67	363	27	100	4
BDX24033	P	1039	26990	981	137857	776430	118	39801	2059	1727	305	12915	74	21	203	3	65	318	22	109	4
BDX24034	R	1039	28735	1499	144983	750888	311	33829	23400	1763	334	13374	89	25	173	18	60	377	23	112	6
BDX24035	R	1039	45332	1216	140264	753446	304	40701	2908	1664	347	13000	104	24	181	1	53	333	22	97	4
BDX24036	P	1039	49604	1600	150279	729221	122	44382	2579	2192	752	18084	106	30	226	1	93	577	41	101	8
BDX24039	I	1039	46184	904	141759	735418	875	49587	13460	2016	249	8959	22	19	151	120	22	78	20	142	15
BDX24040	R	1039	35733	859	144261	746446	3349	46370	3591	1571	283	16675	108	26	207	6	50	328	22	111	5
BDX24041	M	1039	24778	661	125065	761111	148	74279	5196	3119	128	4949	16	8	287	22	35	80	18	91	8
BDX24042	R	1039	34843	2139	143191	747109	177	47071	5020	1795	288	17475	113	27	208	8	62	332	26	114	4
BDX24043	M	1039	28639	1036	117370	740917	5137	90907	5382	2696	105	7106	24	13	400	26	24	88	20	102	8
BDX24046	R	1039	40550	934	146817	732287	166	48499	5232	1939	380	22106	155	28	222	9	81	452	37	99	9
BDX24051	R	1039	44562	2374	149114	735321	150	43774	2266	1847	325	19276	96	27	205	2	93	419	31	103	16
BDX24055	R	1039	38193	625	147037	750034	138	43556	2998	1557	322	14552	111	26	199	2	92	405	30	114	9
BDX24056	R	1039	27789	1091	140731	751921	184	59881	4736	1545	244	11090	69	25	226	10	41	295	20	97	7
BDX24056	R	1039	41566	983	149785	733172	3282	46192	3604	1907	377	18162	84	27	250	1	50	409	29	115	5
BDX24058	R	1039	30783	1106	144125	745984	3895	44244	5427	2218	433	20652	162	29	259	2	65	469	30	113	6
BDX24058	R	1039	45906	714	144323	734990	4703	45482	4078	1823	449	16464	143	27	242	1	65	451	30	103	5
BDX24060	R	1039	40890	800	153372	727992	3573	49587	5735	1915	303	14983	83	28	230	6	60	303	26	104	9
BDX24061	F	1039	44496	1266	151090	742535	4113	43493	4798	0	450	6993	38	25	318	12	90	104	39	107	35
BDX24066	R	1039	36292	718	140990	745989	503	43694	4098	1833	4927	20043	199	26	202	4	62	288	28	99	5
BDX24070	R	1039	38244	2384	155252	737669	131	42602	3462	1322	483	17549	94	27	248	3	61	337	23	105	3
BDX24071	R	1039	43106	2019	136025	768553	464	33361	5839	1406	197	8315	66	24	161	18	41	276	21	101	6
BDX24075	R	1039	28952	654	151345	733149	367	52620	7622	2879	359	21014	147	29	261	12	54	394	30	102	10
BDX24077	R	1039	47235	829	153214	727179	398	49393	3924	1386	280	15188	108	28	225	10	44	334	23	98	4
BDX24078	R	1039	44732	2042	150086	706236	3232	48613	12282	2076	136	29685	74	27	220	6	50	368	26	102	5
BDX24079	R	1039	36030	1390	153562	731682	224	48778	3648	1882	422	21383	129	29	222	5	65	403	35	103	7
BDX24091	R	1039	40908	2253	143381	741560	1621	44770	2917	1709	372	19550	103	28	208	5	68	396	27	120	2

BDX	Groupes	US	Na2O	MgO	Al2O3	SiO2	P2O5	K2O	CaO	TiO2	MnO	Fe2O3	Zn	Ga	Rb	Sr	Y	Zr	Nb	Ba	Pb
BDX24092	I	1039	36070	1528	135561	737853	1187	62172	12973	1841	348	9546	23	19	190	135	25	75	20	419	17
BDX24093	I	1039	32243	1645	138287	759799	112	47922	12051	1714	196	5481	12	15	142	121	23	72	21	131	12
BDX24094	I	1039	44975	838	147695	741651	208	40188	15796	1801	184	6113	14	17	99	146	26	82	18	138	11
BDX24097	P	1039	35307	1001	146539	748293	249	39637	2781	1961	335	22974	116	29	205	5	65	351	34	108	9
BDX24097	P	1039	48219	2163	152215	716590	1050	44202	2703	2115	375	29298	129	28	261	2	68	434	27	111	9
BDX24099	L	1039	31417	1298	139515	760651	117	49746	8149	244	291	8055	10	15	193	67	22	50	20	113	25
BDX24100	M	1039	30243	1799	144106	752737	131	57421	7778	172	146	4957	9	19	227	38	38	61	18	95	6
BDX24101	R	1039	31850	1576	136735	742831	181	63533	16483	1477	187	4609	10	13	185	92	17	65	22	123	10
BDX24102	I	1039	36653	634	142336	758623	117	39386	6080	1796	346	13350	99	25	156	10	50	217	22	98	4
BDX24104	L	1039	32634	1383	145482	735197	6681	50961	11810	2531	405	12285	29	15	210	87	26	113	22	120	8
BDX24105	R	1039	28918	1779	126469	733862	179	41180	50442	1555	389	14427	78	25	188	30	49	317	22	86	7
BDX24109	R	1040	29915	2070	153329	737338	132	50579	3097	1701	477	20292	139	29	271	1	93	399	33	102	3
BDX24109	R	1040	41138	2395	152136	734357	925	48993	3507	1292	408	13913	86	27	237	1	70	377	27	110	3
BDX24111	R	1041	28918	2027	150411	744396	181	48777	2862	1909	551	19021	115	29	233	1	75	359	25	106	3
BDX24112	R	1041	37494	1224	150753	743350	3977	36899	3223	1922	1131	19233	124	26	185	2	73	232	26	121	6
BDX24112	R	1041	38813	1046	147546	749938	942	38142	2842	1775	407	17348	123	26	190	1	74	220	31	130	5
BDX24113	I	1201	31384	1173	132274	766157	1018	53166	7985	366	361	5318	20	17	175	80	31	71	20	370	15
BDX24113	I	1201	29193	838	151351	749504	524	52795	8183	568	416	5798	23	18	186	80	32	75	22	380	15
BDX24113	I	1201	28114	998	150659	751007	1004	52536	7942	874	456	5692	20	16	179	77	34	76	20	281	15
BDX24114	P	1207	40740	1054	143857	736343	108	59551	3728	1838	248	11819	33	21	268	13	61	193	24	95	5
BDX24115	R	1207	35098	837	147803	747530	680	46865	2223	1307	353	16235	104	28	232	1	82	462	36	119	6
BDX24115	R	1207	35617	1188	143799	722219	100	38455	4005	2224	1336	49790	310	27	221	1	85	460	40	117	6
BDX24115	R	1207	40069	718	136844	753081	124	45376	2386	1663	363	18285	115	30	218	0	88	473	38	121	6
BDX24115	R	1207	36677	707	144703	749475	112	47100	2349	1189	370	16378	113	28	201	0	73	367	32	121	5
BDX24115	R	1207	44468	2170	150129	739039	453	43710	1856	2248	369	14698	83	24	200	0	67	350	25	107	3
BDX24116	I	1208	27865	636	128847	764767	115	57094	10021	950	334	8701	19	20	199	81	28	72	22	203	25
BDX24116	I	1208	30050	688	145839	741351	134	62501	8793	1239	329	8447	18	19	192	81	35	84	23	149	27
BDX24116	I	1208	27861	896	147993	747562	121	57962	7860	824	321	7933	17	18	192	73	31	77	20	218	21
BDX24117	M	1208	38400	712	150411	755713	113	45301	2391	0	279	5931	32	30	257	32	39	189	51	108	12
BDX24117	M	1208	37069	2053	141612	772179	713	37057	1747	0	138	6820	25	24	204	25	34	142	31	118	10
BDX24119	F	1208	35688	792	131263	763383	170	51980	3280	765	320	11382	72	27	437	10	85	147	47	118	36
BDX24119	F	1208	40386	934	152397	741049	127	52060	3057	0	211	8837	60	26	425	6	84	156	43	106	36
BDX24120	R	1208	48631	2323	148307	730379	645	50299	3483	1370	371	13361	85	26	217	3	60	309	28	99	3
BDX24120	R	1208	44075	1673	145901	742730	254	44663	2446	1311	346	15766	88	25	218	1	53	330	24	93	3
BDX24120	R	1208	37701	758	143934	746967	378	50700	3587	1274	335	13492	86	26	235	1	57	324	37	102	5
BDX24121	I	1208	28732	703	151443	740516	120	59787	8092	1321	317	8388	20	17	197	74	19	58	19	161	16
BDX24121	I	1208	29435	1220	139497	767173	113	49688	6284	790	223	5100	13	14	158	62	16	56	20	124	13
BDX24123	R	1208	36881	685	147195	743492	113	48557	2332	1619	356	17699	83	30	265	3	86	454	32	114	3
BDX24123	R	1208	40727	846	148942	744215	635	43906	2331	1423	373	15681	80	26	222	1	73	383	25	108	2
BDX24123	R	1208	36218	922	144225	748008	296	47541	2439	1467	360	17544	89	27	250	1	81	382	35	112	4
BDX24124	D	1216	33105	714	144676	748881	4077	42041	3067	1895	377	20169	62	21	240	22	62	426	26	136	1
BDX24124	D	1216	38676	1907	112093	801867	442	31269	2080	1161	242	9477	35	17	223	16	53	306	21	113	1
BDX24125	R	1216	44226	1052	152798	709608	226	44977	12618	5777	426	27367	149	25	187	1	75	359	34	92	3

BDX	Groupes	US	Na2O	MgO	Al2O3	SiO2	P2O5	K2O	CaO	TiO2	MnO	Fe2O3	Zn	Ga	Rb	Sr	Y	Zr	Nb	Ba	Pb
BDX24125	R	1216	27376	1141	142797	744356	127	42799	12379	6362	324	21536	121	24	171	1	60	299	29	97	2
BDX24126	I	1216	33967	892	152588	742415	299	48858	8770	1741	461	9382	35	17	167	114	26	85	20	145	21
BDX24126	I	1216	45910	926	147928	738404	283	46000	8580	1290	1290	9488	34	17	158	111	24	88	18	198	21
BDX24131	R	1217	28696	728	145741	766051	141	43949	3279	1857	242	8537	36	12	211	44	76	256	28	111	2
BDX24132	R	1217	37234	1304	146054	746960	117	42342	8456	1238	355	15084	106	25	193	11	54	329	28	103	8
BDX24133	F	1217	30799	2316	155481	747541	156	52135	4046	0	249	6474	32	22	393	12	66	126	30	99	24
BDX24134	R	1217	36656	799	148506	748439	114	42803	2243	1755	304	17467	119	28	223	12	63	329	25	105	12
BDX24138	R	1218	31898	1111	129155	771884	163	44239	2723	1277	359	16106	108	27	207	2	77	496	41	123	4
BDX24139	R	1218	37327	2003	151145	752063	122	36994	4232	1514	318	13351	101	27	193	8	54	412	25	107	5
BDX24143	Q	1218	31226	989	155417	735070	144	53741	6084	2419	334	13655	40	17	244	55	58	316	20	168	3
BDX24143	Q	1218	32719	2436	148264	751955	130	45322	5498	1991	278	10413	37	16	225	50	52	308	21	283	2
BDX24144	I	1218	32338	2128	147567	749753	149	49585	9826	1443	265	6443	17	18	145	95	21	59	20	119	11
BDX24145	I	1218	29242	816	150309	741497	137	56020	13016	1726	162	6474	13	18	166	125	24	78	21	140	14
BDX24146	P	1218	30328	1671	152092	739480	129	50419	3660	2342	746	18063	106	29	243	6	88	440	33	115	10
BDX24147	R	1218	38290	789	146577	746762	191	46017	3651	1447	376	14963	77	27	208	11	70	419	29	92	4
BDX24148	P	1218	36067	789	134795	766483	582	42616	2493	1490	311	13607	80	24	211	1	56	265	22	105	4
BDX24149	R	1218	31410	1165	144798	732647	149	48916	22935	1760	319	15042	109	26	212	16	62	310	20	100	5
BDX24150	R	1218	43235	1113	147849	733837	127	50173	2941	2029	303	17378	93	30	265	4	90	391	31	98	13
BDX24150	R	1218	33950	2178	150086	744054	125	46358	2119	1576	371	18166	131	28	260	2	60	393	30	103	10
BDX24151	N	1218	36884	750	145001	757782	135	47370	3227	190	391	7534	30	24	331	12	61	127	38	100	13
BDX24151	N	1218	41334	751	147518	745092	109	49951	5198	0	252	9058	28	25	344	10	54	117	35	112	13
BDX24152	R	1218	31117	1835	138648	760377	117	46729	6288	1055	288	12525	86	26	211	12	72	483	23	104	4
BDX24153	R	1218	34832	682	146676	745511	156	48003	3972	1484	375	17230	101	27	249	5	89	450	38	114	6
BDX24153	R	1218	42651	2008	144742	737063	3294	45728	4392	1465	1003	16670	104	27	239	2	75	386	31	115	5
BDX24154	R	1218	29815	1458	151267	744734	194	49636	3372	1489	306	16707	143	31	232	1	59	410	29	113	3
BDX24159	R	1218	45302	659	148224	732558	3556	46754	4454	1706	393	15401	110	27	265	2	65	384	30	108	3
BDX24161	R	1218	40748	2394	149279	738397	727	48820	3504	1479	318	13544	94	24	200	6	51	293	20	95	8
BDX24162	R	1218	48458	2084	151788	731367	650	43925	3227	1667	274	15653	115	26	193	5	65	360	32	103	6
BDX24166	P	1218	35031	682	144262	754067	200	44506	2345	2042	273	15616	113	27	212	1	74	413	37	90	9
BDX24167	Q	1219	29567	774	142805	753370	464	61450	2949	0	75	7629	29	16	277	49	71	284	36	155	1
BDX24167	Q	1219	32350	2175	148600	748123	113	57012	2618	0	105	8115	30	15	263	44	48	224	20	142	1
BDX24167	Q	1219	45639	950	124291	760387	167	57134	2744	375	94	7417	27	15	253	44	56	221	32	153	2
BDX24167	Q	1219	33066	2017	146936	750488	113	56102	2659	0	98	7650	31	14	260	38	59	269	30	169	2
BDX24168	R	1221	31025	1499	154198	750190	235	44132	2104	1265	365	14081	88	27	231	1	65	343	31	111	8
BDX24168	R	1221	47068	2413	150634	734582	145	46258	1899	1404	356	14230	90	27	240	1	78	426	35	111	4
BDX24168	R	1221	28375	1751	149089	754672	115	45408	1958	1680	352	15516	86	26	233	0	117	474	30	115	4
BDX24168	R	1221	37133	874	148081	748594	221	46911	2016	1470	346	13338	82	28	241	0	79	438	33	110	4
BDX24169	C	1224	34013	788	134708	763232	131	41241	1649	1743	68	21292	15	29	180	10	133	643	24	90	13
BDX24169	C	1224	34483	2227	141675	761116	119	40311	1405	1450	49	15981	16	27	210	5	116	678	23	96	13
BDX24169	C	1224	33900	1211	139936	768092	122	36947	1418	1385	51	15681	16	29	188	5	136	746	27	99	12
BDX24178	P	1225	29281	1442	148932	757703	140	39666	3267	1606	413	16657	113	28	192	1	54	362	30	102	9
BDX24179	Q	1225	44374	672	150891	724483	157	54188	8038	2758	305	13212	36	19	249	62	54	320	22	159	3
BDX24184	F	1225	40759	773	143159	732195	110	64237	7107	22	306	10379	33	26	461	17	65	148	52	112	39

BDX	Groupes	US	Na2O	MgO	Al2O3	SiO2	P2O5	K2O	CaO	TiO2	MnO	Fe2O3	Zn	Ga	Rb	Sr	Y	Zr	Nb	Ba	Pb
BDX24186	P	1225	33902	1986	141540	757667	117	44790	2715	1516	236	14640	89	26	214	3	72	357	30	92	9
BDX24187	R	1225	34814	1230	132712	768786	166	41056	5148	1309	659	13278	83	22	202	8	64	325	24	110	5
BDX24189	I	1225	29693	1354	138803	759537	108	52397	7874	1448	320	7972	22	16	157	78	15	52	22	122	12
BDX24190	I	1225	34249	1715	141813	724511	4651	51972	19734	1627	370	18769	38	17	189	100	13	53	26	134	18
BDX24192	R	1227	36210	2342	147537	748669	120	43338	2957	1595	383	15885	106	26	218	2	89	387	32	98	6
BDX24192	R	1227	37959	873	143143	749988	131	44198	3303	1455	390	17351	114	27	229	2	81	434	34	100	8
BDX24193	R	1227	39745	1663	149741	744342	126	37921	3927	1677	396	19589	124	27	188	1	86	304	28	111	5
BDX24193	R	1227	35233	1543	146947	752202	129	41498	3900	1555	363	15653	96	26	192	0	85	439	27	104	9
BDX24193	R	1227	39837	2215	150835	743686	215	39860	3592	1646	388	16995	101	27	181	0	72	208	23	115	4
BDX24194	I	1227	46612	784	153287	734315	188	42945	14351	1237	162	5489	15	17	123	130	24	88	19	202	13
BDX24194	I	1227	27958	2117	140910	763842	197	45313	13531	750	125	4542	14	17	132	121	22	85	17	296	12
BDX24194	I	1227	29927	2160	147053	753866	224	45199	13767	1448	143	5660	16	16	129	121	18	63	19	158	13
BDX24195	R	1227	29845	2053	143271	750697	115	48187	4358	1809	387	18432	108	26	221	3	65	290	22	105	5
BDX24196	I	1227	40512	676	151948	745433	280	41239	15251	1149	102	2869	9	15	95	126	21	87	21	158	11
BDX24198	R	1227	43556	2327	147151	727450	193	46448	7896	2647	319	20916	97	27	206	14	93	537	21	100	4
BDX24199	I	1227	30118	1006	148219	749731	141	50066	12389	1786	117	5866	15	16	161	105	22	81	21	126	14
BDX24203	F	1227	39952	657	147601	747421	124	49076	3741	0	293	10321	41	26	403	11	38	114	36	110	34
BDX24204	Q	1227	43540	832	150917	720954	387	62026	6640	2679	151	10950	24	13	292	40	64	306	20	163	2
BDX24205	R	1227	37084	2121	147667	750289	222	40358	3469	1544	351	16001	124	28	182	1	77	343	28	107	4
BDX24205	R	1227	36259	2237	145715	746226	108	47205	4382	1407	368	15148	113	26	226	0	70	367	23	113	5
BDX24206	P	1228	29657	1730	124121	790841	3532	32191	3665	1261	816	11476	63	21	102	9	65	278	26	142	4
BDX24206	P	1228	40127	2046	112455	815641	161	18683	2379	287	237	7317	33	16	64	9	56	325	24	137	3
BDX24206	P	1228	35978	2232	103222	797932	12092	28189	8176	1451	768	9437	50	17	81	8	44	186	19	116	3
BDX24208	R	1303	38690	711	145166	734982	232	57042	3149	1502	343	17256	112	26	253	2	66	320	22	118	9
BDX24209	R	1303	34424	695	145784	748362	151	49427	2888	1334	351	15614	94	27	218	7	70	410	24	115	5
BDX24209	R	1303	35855	660	148356	745774	227	42403	2675	1770	358	20961	111	27	193	2	80	420	29	98	3
BDX24211	G	1308	29622	2416	155770	742018	122	51581	5989	772	351	10594	27	22	307	13	49	143	26	140	38
BDX24211	G	1308	30840	982	152464	740628	222	54835	5293	1204	1494	11314	31	21	301	11	45	130	23	129	33
BDX24211	G	1308	30870	1223	155773	740274	196	53839	4971	944	718	10484	28	21	300	11	42	124	21	129	33
BDX24211	G	1308	32024	1658	151715	746068	151	52842	4519	940	638	8800	25	19	282	10	43	112	19	110	23
BDX24223	R	1321	35595	1341	131104	752835	132	50838	3582	1938	734	20934	137	31	254	1	78	315	30	114	8
BDX24225	R	1321	35218	734	148604	744179	3189	42787	2591	1508	968	19375	106	27	198	1	71	300	25	116	4
BDX24226	R	1321	39425	684	127979	761271	334	44925	2634	1653	510	19626	121	28	210	1	83	367	27	117	4
BDX24227	R	1321	41131	697	139991	750279	762	42871	2193	1574	670	18938	110	25	206	1	69	340	25	115	5
BDX24229	I	1321	28976	756	151807	736321	3614	51746	13098	1994	514	10523	24	18	167	133	27	98	19	147	20
BDX24231	R	1321	43800	1926	150738	732970	160	43951	3535	1744	2773	17419	143	28	207	1	82	371	33	112	6
BDX24233	P	1321	36447	777	150272	741010	667	48534	2326	2212	481	16244	117	27	260	3	62	391	36	122	11
BDX24237	P	1321	28089	2264	138197	760866	359	41454	3939	1717	812	21302	131	24	188	5	61	466	28	94	3
BDX24237	P	1321	27527	2094	141579	765562	722	43037	3193	1757	842	14713	103	26	200	4	56	439	25	98	3
BDX24238	P	1321	28824	1816	151459	744747	116	51974	3256	1849	658	14321	122	28	241	6	76	362	28	110	7
BDX24239	P	1321	40193	2164	137892	756336	127	44849	2368	1550	304	13374	111	25	220	3	61	300	22	97	4
BDX24240	N	1321	38983	636	146953	749093	238	50738	3310	0	364	8890	61	26	346	12	65	122	41	109	14
BDX24241	I	1321	30232	1247	134945	745896	3438	65227	8482	1331	582	7818	22	18	211	87	28	79	22	320	16

BDX	Groupes	US	Na2O	MgO	Al2O3	SiO2	P2O5	K2O	CaO	TiO2	MnO	Fe2O3	Zn	Ga	Rb	Sr	Y	Zr	Nb	Ba	Pb
BDX24241	I	1321	34025	2431	152343	745176	264	47842	7370	977	518	8378	20	16	163	87	30	73	20	253	13
BDX24242	E	1321	47500	728	147953	737351	136	46233	2134	1294	1490	14300	114	25	211	2	52	336	30	107	4
BDX24242	E	1321	30437	2262	144216	761370	131	39090	2197	1511	3604	14380	117	23	193	1	43	297	21	102	5
BDX24243	P	1321	34358	2157	138620	761468	204	41565	2326	1756	968	15667	107	25	197	1	67	383	30	93	6
BDX24244	L	1321	29576	937	140404	761285	158	49172	4406	1831	460	11128	39	14	212	106	22	93	21	123	14
BDX24246	O	1321	25854	650	142394	716394	111	93656	4561	3231	292	12116	39	14	402	21	36	91	21	109	9
BDX24247	P	1321	29713	1763	150743	754641	121	44009	2368	1801	588	13433	82	23	211	2	61	313	20	106	3
BDX24248	F	1321	3678	608	140941	763184	139	47415	3860	345	356	8710	27	22	336	4	78	145	27	105	18
BDX24249	R	1321	29058	1648	135518	749991	228	41836	4577	3024	1414	31543	149	27	218	2	83	367	32	119	5
BDX24250	R	1321	29771	963	150701	744872	224	50983	2880	2173	334	16003	127	28	271	2	84	423	35	116	12
BDX24252	R	1321	30453	1504	137817	759766	433	46440	2924	3670	826	15160	74	28	258	3	44	436	32	125	7
BDX24253	P	1323	28133	948	139208	771582	179	39916	2191	1795	626	14476	101	25	192	2	62	426	27	107	4
BDX24254	R	1323	29755	1893	155036	728942	190	45833	8073	2178	2411	24736	166	28	224	2	75	311	29	111	7
BDX24255	R	1323	37328	1332	149309	742395	427	45766	2756	1222	359	18170	113	25	197	1	69	396	28	104	4
BDX24255	R	1323	43764	688	150701	733096	585	47160	3008	1990	389	17602	121	26	207	1	69	439	32	117	6
BDX24256	P	1323	38948	675	155138	732774	356	49506	2935	1860	710	16125	64	30	244	6	43	446	25	110	6
BDX24257	P	1323	35416	2271	152846	742488	148	46936	2078	1685	256	14951	50	29	226	4	42	419	31	116	7
BDX24258	R	1323	44745	1010	147315	734300	4270	47709	3040	1910	804	13928	59	30	245	5	38	444	29	114	3
BDX24259	F	1323	46067	740	146924	743140	283	45362	3673	653	1648	10757	36	24	319	4	68	121	45	104	32
BDX24260	Q	1325	34595	2226	154898	748456	194	46576	3558	1140	242	7512	22	19	174	57	37	106	20	163	2
BDX24260	Q	1325	41776	1958	139821	770883	195	34593	2774	1323	207	5992	18	17	123	47	27	106	20	118	1
BDX24262	I	1328	29492	971	144076	751481	2195	42087	13146	2009	1680	12017	35	17	129	137	26	94	19	374	14
BDX24262	I	1328	29107	1347	144464	747520	3669	44681	12617	1963	1949	11303	34	16	134	136	25	98	19	903	14
BDX24263	F	1328	29862	2211	143018	763691	168	43445	3966	543	599	11772	36	24	302	6	77	105	36	119	22
BDX24263	F	1328	45563	683	152169	737982	251	47431	3885	666	315	10316	31	26	336	6	65	108	46	95	27
BDX24263	F	1328	27559	802	142018	764835	256	47810	3911	1266	565	10252	30	23	335	4	62	110	35	101	26
BDX24265	R	1329	38929	1058	140033	711561	10269	54538	3206	1369	615	37465	62	15	319	26	70	312	25	125	4
BDX24265	R	1329	28637	698	140134	728626	8635	56896	3238	1210	355	30601	59	15	305	25	63	349	24	129	3
BDX24267	B	1401	36404	1189	153004	732498	151	50263	1852	1578	36	21580	17	34	265	2	136	828	32	115	14
BDX24267	B	1401	31162	1913	156179	740599	115	46831	1840	1520	72	18404	17	29	235	2	115	812	28	114	11
BDX24267	B	1401	26905	721	140401	754351	129	45664	1623	1775	218	26892	19	24	247	2	119	751	37	108	15
BDX24267	B	1401	26717	1228	139230	762412	909	43243	2084	1712	111	21208	17	26	209	2	104	648	29	98	11
BDX24267	B	1401	35106	693	136416	752246	184	42908	1584	1632	31	26912	19	28	224	2	120	731	44	107	14
BDX24267	B	1401	41462	1806	147118	748536	131	36240	1257	1675	33	20490	18	29	187	2	123	744	36	100	13
BDX24267	B	1401	30886	1997	156626	745959	138	43889	1732	1554	103	15863	18	29	224	2	116	713	27	113	12
BDX24268	L	1401	30702	2013	153641	742923	146	52988	8533	494	593	7360	22	17	185	68	26	61	20	175	33
BDX24268	L	1401	30794	2441	155068	748175	139	46806	7356	966	462	7247	21	15	163	60	22	55	20	169	21
BDX24268	L	1401	34843	1313	144091	767876	151	41903	6114	0	351	5976	19	14	142	53	19	43	19	155	16
BDX24270	R	1401	36425	662	144791	749511	234	45730	2818	1610	346	16900	106	27	232	1	76	392	33	95	8
BDX24270	R	1401	35863	1925	145785	748734	105	45427	2636	1525	341	16577	104	27	230	1	81	485	30	113	8
BDX24271	O	1401	25967	684	140029	716567	155	98003	4412	1823	228	11338	35	13	431	19	41	114	20	113	10
BDX24271	O	1401	25517	756	137283	728986	132	89375	3787	2348	218	10863	34	14	383	15	38	118	18	105	9
BDX24272	I	1401	38589	741	128811	762439	121	48617	13033	935	124	5640	14	18	166	117	30	91	19	479	15

BDX	Groupes	US	Na2O	MgO	Al2O3	SiO2	P2O5	K2O	CaO	TiO2	MnO	Fe2O3	Zn	Ga	Rb	Sr	Y	Zr	Nb	Ba	Pb
BDX24272	I	1401	28020	762	147952	751198	553	51018	12250	1339	493	5722	15	17	163	110	28	82	18	246	14
BDX24273	I	1401	29833	780	141484	756485	107	48376	11031	1663	440	8941	30	16	161	130	21	80	19	386	17
BDX24274	I	1404	41440	1769	132333	732784	150	59395	16494	1110	542	11793	38	24	180	184	41	131	25	1548	20
BDX24274	I	1404	38318	1864	134132	744351	120	52720	15260	805	365	10081	31	20	150	168	34	117	22	1425	16
BDX24274	I	1404	39914	1816	139850	727302	194	65563	11774	0	371	10955	27	20	193	158	30	116	31	1672	14
BDX24274	I	1404	39257	1701	135845	736614	125	59657	14139	650	360	9669	29	18	168	155	29	111	23	1434	15
BDX24274	I	1404	39682	1744	136528	743569	163	53439	13312	1119	336	9183	28	19	149	145	31	104	22	412	15
BDX24274	I	1404	33852	1958	143872	746087	129	50160	13151	525	369	8606	23	18	134	140	27	96	24	819	12
BDX24275	I	1404	30750	837	153929	726333	510	52185	19231	3154	233	11910	38	20	262	134	24	215	21	202	13
BDX24278	O	1404	26218	2424	134783	734909	162	85070	3689	2313	212	9501	32	12	383	17	35	97	13	124	8
BDX24280	K	1406	40722	1043	142560	733040	341	51168	13394	2190	1332	13438	28	21	133	113	34	149	27	253	12
BDX24280	K	1406	29914	865	149191	747694	172	48881	9434	1979	1008	10063	22	18	121	105	30	120	23	349	10
BDX24280	K	1406	29825	1466	154776	731489	3719	51179	11993	2453	642	11510	25	21	135	103	32	135	22	463	12
BDX24280	K	1406	33367	2243	138111	755126	283	48412	7716	1529	1184	11312	19	18	124	97	26	96	22	307	10
BDX24280	K	1406	32140	882	146770	753311	3303	43527	7013	1468	1177	9780	22	15	106	80	25	79	21	273	9
BDX24281	I	1406	29890	720	155863	740912	3778	45355	13239	658	217	7638	17	18	149	155	17	101	21	1236	14
BDX24281	I	1406	33574	1685	141371	763002	3127	38377	11378	809	173	5613	11	14	111	131	22	78	21	491	9
BDX24282	Q	1406	27833	631	140650	752294	291	57358	4845	2355	322	12362	36	15	282	48	48	316	21	291	2
BDX24282	Q	1406	32538	2073	147686	744987	325	51633	4889	2183	453	12266	35	14	267	47	48	311	19	223	3
BDX24283	I	1406	34677	1170	136653	744625	141	63013	8449	1829	348	8428	21	20	138	97	29	102	20	236	7
BDX24283	I	1406	36499	634	134719	750472	170	60582	7275	1178	320	7454	25	19	128	91	24	100	22	280	7
BDX24284	P	1414	40401	684	147179	739611	642	47303	3088	1491	330	18367	114	27	207	128	3	356	24	106	6
BDX24285	R	1416	34600	1694	112007	788151	214	42511	2457	1726	1628	14103	90	25	212	4	65	372	27	110	6
BDX24286	R	1416	37088	823	140308	768140	359	30378	5846	1527	354	14443	91	22	153	3	62	272	21	107	2
BDX24287	I	1416	39860	1703	131516	745174	838	61105	9239	1451	431	8033	22	21	223	93	28	76	23	143	21
BDX24287	I	1416	39220	1891	132004	750453	837	56701	8900	1135	413	7825	20	19	204	88	33	73	21	143	22
BDX24288	R	1421	30073	2168	135638	767988	247	43850	3061	1458	317	14265	113	24	229	1	74	352	28	127	8
BDX24291	R	1423	47817	924	150293	731352	234	46853	5277	1766	629	13883	127	27	204	7	74	391	26	108	8
BDX24297	P	1423	30415	2281	138604	764124	305	47020	5273	1368	998	8843	26	24	146	31	68	330	25	116	3
BDX24298	O	1425	26024	866	134963	730263	133	86311	3868	2608	278	13986	29	11	357	15	66	90	12	110	10
BDX24298	O	1425	27245	865	133017	734816	223	85740	4353	2211	235	10588	24	12	357	15	64	97	19	111	8
BDX24299	P	1430	28979	1199	135175	733478	3719	53841	15437	3780	394	23239	41	20	141	64	53	302	18	107	12
BDX24299	P	1430	31825	2357	134794	723361	187	52786	18846	4749	730	29608	61	19	151	58	59	269	19	109	11
BDX24300	P	1430	27711	1987	138728	757330	122	56200	3509	1334	118	12017	69	30	240	14	75	371	32	111	5
BDX24302	L	1433	37027	979	125554	761283	5217	43092	14249	795	486	9978	18	17	123	135	29	95	18	889	17
BDX24302	L	1433	40650	931	144705	737269	4221	44876	13460	577	2322	9319	22	17	139	135	28	95	17	1201	16
BDX24302	L	1433	36960	764	149627	735944	4539	46359	13238	1172	1183	9029	18	16	135	125	27	93	21	736	13
BDX24315	R	1438	33673	1829	130734	752683	647	51204	4169	2370	2071	19672	122	28	235	2	77	325	31	122	7
BDX24317	J	1442	42665	700	152476	737592	429	45401	8590	1896	272	9381	17	17	107	90	25	150	21	162	8
BDX24324	I	1445	37715	1977	134610	734446	156	54331	25957	1886	396	7937	24	20	174	108	22	69	21	136	16
BDX24331	R	1451	38750	913	146656	745250	219	45765	2349	1312	326	17633	107	26	202	1	53	294	28	113	4
BDX24334	R	1453	34259	1681	129572	757660	198	53096	2899	1643	1452	16559	114	26	279	5	77	328	25	117	8
BDX24337	F	1457	38476	722	129154	773016	143	45748	2330	182	214	9055	47	28	434	10	71	150	51	136	34

BDX	Groupes	US	Na2O	MgO	Al2O3	SiO2	P2O5	K2O	CaO	TiO2	MnO	Fe2O3	Zn	Ga	Rb	Sr	Y	Zr	Nb	Ba	Pb
BDX24337	F	1457	37203	860	149649	756070	261	44407	2250	0	274	8061	44	27	392	10	81	203	52	122	34
BDX24337	F	1457	47250	1260	147468	746901	113	46554	2227	0	199	7112	37	23	427	9	71	139	48	134	30
BDX24338	P	1457	27793	654	141215	774801	112	41420	3707	1250	135	8129	29	22	201	23	62	317	22	105	3
BDX24339	I	1457	31205	2133	141459	754538	108	51417	12699	952	131	4613	9	16	155	114	25	81	19	314	12
BDX24339	I	1457	32869	1997	131209	769638	112	46463	11070	1609	140	4346	9	15	135	111	21	58	18	166	11
BDX24340	R	1457	39350	1288	149269	738305	124	46623	4198	1557	361	17987	104	28	221	4	82	372	26	99	4
BDX24341	R	1457	38471	1433	153867	746249	133	40461	2319	1082	309	14934	41	29	299	6	82	165	25	93	3
BDX24341	R	1457	36654	653	149224	760687	301	40527	2824	1306	497	16389	44	29	315	3	107	299	35	105	3
BDX24342	P	1457	30715	1644	140623	763461	158	39110	2242	1858	1182	18067	92	26	200	10	47	402	29	117	16
BDX24344	R	1457	33893	1836	128984	757371	116	51422	3865	2051	376	19079	109	27	228	8	69	427	21	106	12
BDX24345	R	1457	36451	827	151551	744602	138	46407	2632	1787	248	14467	104	27	229	2	49	348	24	101	3
BDX24346	R	1457	39124	677	154899	737896	243	39004	3222	2364	368	21170	124	27	197	4	78	447	29	120	6
BDX24347	I	1460	42602	943	145942	729427	508	59150	12464	1311	723	5318	18	18	177	122	27	93	19	1125	13
BDX24347	I	1460	28496	669	139213	761560	443	48143	11803	1334	1309	5881	25	16	163	110	26	86	19	694	12
BDX24350	E	1463	43645	821	149444	718203	7845	49369	5564	2027	6849	15327	121	24	250	4	67	313	19	105	5
BDX24350	R	1463	35714	829	146488	749016	4052	40074	4344	1795	449	15983	109	25	192	2	97	693	28	106	5
BDX24353	I	1602	29202	807	151753	749726	211	45625	13685	1297	429	6074	16	18	134	142	24	112	18	712	13
BDX24353	I	1602	29427	804	149363	738747	181	57676	12388	1577	384	7694	18	17	165	137	19	90	19	1279	13
BDX24353	I	1602	28761	769	151277	751063	152	46070	12966	956	402	6543	16	15	127	133	21	108	21	588	12
BDX24354	R	1602	29459	2378	153853	749660	172	44695	2040	1776	321	14677	83	28	243	1	64	418	24	104	4
BDX24357	R	1606	38463	801	150878	736851	455	47134	2325	1826	1485	18847	99	27	241	1	69	353	26	116	2
BDX24357	R	1606	36071	749	151300	744902	170	44597	2035	1635	572	17071	90	25	211	0	62	365	25	117	3
BDX24357	R	1606	42594	663	151934	741307	146	42589	1974	1560	777	15582	85	25	201	0	72	348	25	112	3
BDX24358	Q	1611	30652	693	148040	756369	714	47834	2056	1263	310	11211	47	20	219	35	56	302	33	144	4
BDX24358	Q	1611	31649	904	135430	768496	3071	47392	1979	0	172	10130	42	18	223	33	75	255	22	106	3
BDX24358	Q	1611	33970	2153	129038	776676	166	46657	1805	172	151	8529	35	16	206	29	41	225	20	109	3
BDX24360	O	1611	30626	1822	127016	774359	177	50083	5146	1238	469	8278	16	23	346	9	90	160	26	106	11
BDX24361	R	1613	33804	664	148634	710678	5673	74363	3332	0	315	21615	46	21	333	27	62	260	20	145	7
BDX24361	R	1613	29189	734	139211	729088	6892	66209	3141	3410	228	20877	39	21	338	26	133	243	81	133	6
BDX24361	R	1613	29627	800	148460	722663	4919	68633	3009	1755	276	18949	41	21	313	26	62	266	33	143	6

5. Rhyolites de I Casteddi - données EDXRF

BDX	US	PhaseChrono	Groupe	Na2O	MgO	Al2O3	SiO2	P2O5	K2O	CaO	TiO2	MnO	Fe2O3	Zn	Ga	Rb	Sr	Y	Zr	Nb	Ba	Pb
BDX23279			A	30468	2245	143322	748480	3544	29868	3265	1745	482	33975	234	36	358	10	243	1501	71	112	43
BDX23296	303	Phase5	A	45115	2236	145467	725327	343	31734	2971	1562	538	42005	260	46	260	13	291	1604	78	116	34
BDX23306	303	Phase5	A	30344	1936	136860	738210	221	44269	2763	1639	510	40193	319	44	504	10	290	1655	81	100	52
BDX23306	303	Phase5	A	27485	2096	139677	738497	222	45997	2944	1462	493	38019	327	42	524	11	285	1675	79	102	64
BDX23468	303	Phase5	A	35089	952	118745	753030	246	43645	2508	1672	499	40426	367	47	504	7	304	1726	84	97	55
BDX23606	349	Phase4	A	29301	2021	139165	737551	134	41392	3497	1715	540	41578	319	48	389	8	300	1817	86	98	42
BDX23633	349	Phase4	A	29226	1250	134103	760054	412	33298	1350	1573	433	35569	275	38	352	7	266	1589	76	91	38
BDX23633	349	Phase4	A	39396	1367	144769	729167	193	39255	1538	1612	483	39181	303	42	440	7	288	1736	80	101	41
BDX23633	349	Phase4	A	40489	2064	143125	729689	144	40368	1397	1498	487	37715	304	43	419	7	291	1741	82	98	40
BDX23633	349	Phase4	A	34800	2109	140674	734516	119	41338	1470	1533	489	39788	323	45	420	8	305	1821	89	108	44
BDX23633	349	Phase4	A	37955	2108	141422	728411	190	43023	1555	1641	504	39981	332	46	431	8	303	1857	92	94	48
BDX23633	349	Phase4	A	38070	2056	143841	722652	203	42480	1704	1773	511	43295	351	52	452	10	334	1980	97	86	52
BDX23388	305	Phase2	B	31207	2332	132512	746158	5617	66513	4118	948	188	8948	24	19	304	35	102	824	24	120	5
BDX23388	305	Phase2	B	31050	2475	135930	741985	6008	66646	4277	841	191	9133	24	19	311	37	102	816	25	125	4
BDX23388	305	Phase2	B	30779	1523	128847	751148	3786	69327	3781	355	184	8879	25	19	300	35	101	773	19	113	5
BDX23388	305	Phase2	B	30512	2154	127722	744760	3868	75072	4019	479	217	9690	27	20	324	38	111	838	20	122	5
BDX23457	303	Phase5	B	32240	1773	124088	756190	420	71487	3684	683	176	7936	27	20	302	38	100	702	23	107	4
BDX23527	102		B	31868	1578	141472	739835	220	70492	3355	1241	209	8306	28	19	301	37	106	767	26	135	4
BDX23289	303	Phase5	C	34750	2113	118616	772253	108	50649	2460	1650	110	15989	24	26	326	6	111	663	37	97	13
BDX23488	303	Phase5	C	31237	2123	142932	673487	3418	113302	5650	5228	229	18941	63	44	802	5	322	2027	66	101	24
BDX23605	381	Phase1	C	31837	1118	150002	683853	399	81824	4111	7344	156	37544	57	36	400	9	141	955	86	99	29
BDX23168			C	32154	2066	134639	724969	698	64166	5611	1730	222	32290	37	26	290	10	108	831	27	112	15
BDX23597	350	Phase3	C	28140	667	143008	721722	2916	61890	2832	1901	222	35471	26	24	282	7	105	644	29	98	15
BDX23597	350	Phase3	C	42283	762	130789	742075	176	51890	14504	1580	741	14561	89	27	222	48	27	62	28	101	36
BDX23328	317	Phase5	C	30280	654	150486	756088	134	47984	2681	901	276	9632	39	25	208	18	69	358	37	116	14
BDX23328	317	Phase5	C	27911	832	144305	762987	599	48398	2299	1105	269	10394	39	25	220	21	70	366	39	106	15
BDX23464	303	Phase5	C	30882	1518	152769	722293	927	38427	2163	2301	263	46908	42	30	167	4	135	958	67	119	27
BDX23469	303	Phase5	C	27667	2072	144128	754666	281	43832	4233	2259	242	19240	90	30	196	25	116	727	65	120	10
BDX23471	303	Phase5	C	32117	748	133377	752137	3339	43218	2174	2156	274	29115	26	22	200	6	108	821	55	102	6
BDX23495	303	Phase5	C	28565	815	137607	752171	6537	42821	3354	2017	374	23892	56	28	232	6	100	736	37	101	5
BDX23516	332	Phase7	C	32723	1475	119749	774057	139	42954	3885	1548	284	22085	110	34	169	15	92	525	29	115	13
BDX23537	303	Phase5	C	37092	1243	119651	798743	231	24589	1758	2881	293	12730	59	20	99	45	43	331	22	145	23
BDX23661	349	Phase4	C	41027	703	141991	743711	2490	44332	3510	1604	308	19354	147	29	169	14	76	402	30	88	14
BDX23578	317	Phase5	D	28622	2060	150575	760682	531	49001	4995	0	11	2878	11	19	282	11	39	122	19	121	20
BDX23372	305	Phase2	E	28333	717	147016	751017	348	49287	17863	421	219	4258	9	18	201	61	32	56	18	110	15
BDX23411	322	Phase5	E	33113	1045	127334	775886	201	49589	6873	0	135	5303	9	15	217	49	34	54	20	113	12
BDX23512	327	Phase5	E	28913	728	148325	752377	386	50199	12607	352	142	5397	11	20	260	35	39	65	20	108	16
BDX23543	305	Phase2	E	31009	2008	153416	744781	2139	52109	8245	0	222	5491	12	19	234	55	38	66	21	115	21
BDX23325	317	Phase5	F	27611	1907	131152	717124	3777	14667	60068	360	2391	40122	7	45	84	286	87	52	21	92	58

BDX23281	302	Phase7	G	30346	1602	152201	739737	4172	17500	25069	2895	1234	24349	77	20	143	305	13	154	21	157	4
BDX23281	302	Phase7	G	31879	1478	148975	740989	3651	22314	20937	3472	1315	24088	85	19	155	291	22	149	20	156	3
BDX23281	302	Phase7	G	29102	2078	144329	745889	3248	24108	20876	3479	1208	24807	87	20	165	254	10	165	20	153	3
BDX23281	302	Phase7	G	29493	2108	145038	740232	2924	23634	22768	4183	1458	27295	89	20	177	237	15	168	21	136	3
BDX23281	302	Phase7	G	31423	1407	144661	738702	3439	25644	21531	3657	1402	27219	109	21	178	283	10	158	21	133	3
BDX23320	305	Phase2	G	27232	18135	141123	660070	3246	39620	29689	14648	1048	64200	83	20	155	263	37	263	20	147	4
BDX23412	322	Phase5	G	43460	1703	138182	744416	2521	23463	22728	3564	393	18875	62	18	71	240	11	132	20	134	6
BDX23451	303	Phase5	G	30902	11402	160708	655388	3295	18125	37192	15273	1294	65411	98	23	117	260	35	299	24	147	8
BDX23480	303	Phase5	G	38005	2248	162178	718220	4221	21692	23928	3664	1264	23672	101	25	153	251	7	193	25	144	9
BDX23507	317	Phase5	G	36362	2664	150747	726124	190	30687	15155	5021	988	31293	77	18	156	136	35	190	21	130	5
BDX23559	305	Phase2	G	28109	2572	149599	746139	4075	22483	20602	3192	774	21689	70	17	88	200	18	161	20	184	8
BDX23577	317	Phase5	G	27378	2678	140310	743798	398	21387	27488	4949	890	29886	51	18	97	278	26	212	21	130	5
BDX23622	349	Phase4	G	28190	12546	141993	656534	4354	25646	39805	15335	1207	73424	93	23	88	261	43	295	24	133	6
BDX23657	349	Phase4	G	27811	1400	140179	739846	5286	34534	16632	5059	1040	27548	58	18	158	115	27	123	22	135	10
BDX23283	304	PhaseInd	H	29265	2110	148678	759520	119	46768	4594	1216	285	6851	43	17	154	54	24	89	22	188	2
BDX23283	304	PhaseInd	H	32432	690	153491	755238	116	41864	5222	1647	335	8365	44	17	144	59	25	89	22	199	1
BDX23283	304	PhaseInd	H	31842	2146	151251	753189	115	43775	5182	2169	358	9357	49	17	148	54	23	121	22	181	1
BDX23321	313	Phase6	H	26871	12487	137749	748229	157	42749	7109	3481	330	20106	49	18	152	150	18	146	19	177	4
BDX23321	313	Phase6	H	28372	13997	137545	730411	308	46665	11167	5498	369	24803	66	21	174	173	23	195	23	187	5
BDX23485	303	Phase5	H	28914	822	151143	757048	243	28252	8374	3054	696	20823	48	18	136	124	27	126	22	119	9
BDX23505	315	Phase5	H	28247	1620	134866	760296	7213	34863	7051	2953	698	21516	50	17	152	101	26	130	22	167	10
BDX23585	331	Phase4	H	36677	812	155765	735790	608	44079	8283	2516	372	14287	42	19	152	93	38	292	22	150	4
BDX23658	349	Phase4	H	43742	1398	150156	732766	604	29925	13590	3703	754	22679	45	19	138	144	29	147	23	128	10
BDX23642	349	Phase4	I	30448	1812	142751	743228	123	51681	9528	2790	349	15401	62	20	169	119	27	249	20	1193	30
BDX23644	349	Phase3	I	38821	6796	144825	726371	4906	24075	23057	3262	1340	25699	64	22	159	279	6	171	20	121	8
BDX23384	305	Phase2	J	27693	679	147862	740998	373	58231	5700	1303	1929	14612	8	23	223	12	41	170	22	106	15
BDX23384	305	Phase2	J	29418	677	153063	745886	325	51854	5230	759	1044	11172	9	22	211	8	41	140	20	106	13
BDX23094			K	33606	1135	129725	761681	6024	46069	7245	1752	212	11874	38	23	268	9	51	143	22	99	25
BDX23213			K	42237	860	135013	755084	235	56775	3573	0	93	5510	31	21	259	6	36	107	20	121	20
BDX23223			K	27586	1992	142876	748410	110	48172	22546	162	216	7148	13	23	351	10	78	161	27	108	11
BDX23229			K	31525	2184	138953	761959	689	41571	13357	63	184	8927	17	19	215	6	55	122	18	121	15
BDX23268			K	36894	714	144559	752666	165	47535	4585	780	290	11086	69	23	281	2	57	139	21	101	34
BDX23284	305	Phase2	K	30807	1931	137545	772075	265	44711	3697	292	117	7931	36	21	234	3	47	115	19	119	34
BDX23284	305	Phase2	K	33576	1268	142291	760170	142	48811	3946	550	179	8365	38	22	269	3	45	147	24	120	34
BDX23284	305	Phase2	K	30766	2423	155789	748129	210	48933	3968	421	117	8552	42	23	259	3	51	132	23	125	35
BDX23284	305	Phase2	K	31700	2402	154396	742678	251	53252	4340	674	171	9387	43	24	298	4	51	137	26	129	37
BDX23284	305	Phase2	K	30697	2177	146562	755441	343	49491	4220	654	321	9382	49	23	271	3	49	135	25	122	35
BDX23294	303	Phase5	K	30499	878	153355	742984	485	48426	14142	802	264	7503	24	22	249	21	40	149	20	123	14
BDX23298	303	Phase5	K	45763	638	143260	751488	239	44963	3834	212	166	8760	47	21	265	4	41	138	20	117	25
BDX23298	303	Phase5	K	26733	2071	141587	764526	175	48925	4458	718	179	9908	65	22	293	7	42	133	20	108	30
BDX23299	303	Phase5	K	28202	648	148849	757755	970	48675	5008	323	127	8795	31	22	237	4	61	134	22	108	30

BDX23299	303	Phase5	K	29057	1097	143309	767143	347	46509	4654	15	132	7076	46	21	224	3	60	143	23	116	25
BDX23305	303	Phase5	K	29502	2002	134075	774966	230	46716	3943	536	214	7185	19	20	262	4	47	141	20	97	22
BDX23305	303	Phase5	K	32009	2109	150240	747412	189	52277	5609	685	259	8509	24	23	290	10	49	141	23	109	32
BDX23307	303	Phase5	K	30523	1939	152778	747934	563	50187	4154	704	157	10362	39	23	302	3	53	117	20	110	33
BDX23308	303	Phase5	K	31680	2210	144922	756179	1148	49121	4558	706	169	8578	38	23	281	3	53	174	24	105	30
BDX23308	303	Phase5	K	32762	2343	151590	744681	520	51868	4912	963	192	9374	61	24	298	4	56	175	26	114	38
BDX23310	303	Phase5	K	27809	1984	145770	761784	115	48470	4578	0	87	8846	21	20	188	10	44	122	20	118	15
BDX23314	303	Phase5	K	46825	1309	143854	746522	245	48613	4486	185	164	7121	68	21	232	7	55	143	21	105	22
BDX23316	303	Phase5	K	37402	1448	141808	761414	120	43764	3874	550	208	8730	70	24	258	7	46	132	21	98	26
BDX23316	303	Phase5	K	46464	2155	145146	751593	130	42023	3834	147	173	7664	72	20	236	5	47	128	21	108	33
BDX23317	303	Phase5	K	28284	1724	148906	757535	333	48383	4268	814	167	8883	49	23	275	6	50	139	20	106	35
BDX23323	313	Phase6	K	30388	1265	154389	753426	125	45431	4219	545	172	9341	29	22	289	6	59	144	26	103	22
BDX23326	317	Phase5	K	32242	1609	153546	744808	204	50185	6301	320	258	9807	59	23	240	8	64	164	23	110	29
BDX23330	317	Phase5	K	29250	1190	140841	765999	686	46191	4161	1073	183	9770	17	21	233	7	54	165	20	102	36
BDX23330	317	Phase5	K	30315	709	154526	748250	735	48677	4166	1175	178	10572	49	23	250	5	58	166	22	104	23
BDX23330	317	Phase5	K	33690	1411	140326	761843	348	45861	4454	1345	189	9872	65	21	230	7	53	147	21	96	22
BDX23331	318	Phase5	K	41912	642	151378	742229	329	46749	4272	875	147	8808	72	24	232	12	47	124	21	97	29
BDX23349	HS		K	37490	798	143341	756122	568	49352	3585	0	123	7916	30	22	288	2	51	148	23	108	33
BDX23349	HS		K	29305	1781	141502	766670	161	47342	3605	142	169	8592	39	22	286	2	57	152	25	115	33
BDX23353	HS		K	44857	708	144243	753342	194	44076	3551	596	94	7717	37	21	240	3	49	126	21	102	23
BDX23355	HS		K	31144	1679	143937	755045	117	51800	4181	97	237	11076	34	21	282	3	56	120	21	117	34
BDX23371	305	Phase2	K	32183	1889	151234	744438	146	52616	4847	1390	154	10369	32	23	273	6	56	172	23	114	36
BDX23373	305	Phase2	K	30092	1526	154651	758076	171	43866	3653	1266	167	5951	13	20	244	2	47	124	19	104	10
BDX23373	305	Phase2	K	47479	619	145946	748132	180	46892	3593	872	175	5483	15	21	265	2	56	128	21	106	14
BDX23375	305	Phase2	K	29731	1499	155747	747655	683	48654	4348	1002	228	9774	14	22	293	6	50	140	26	110	17
BDX23375	305	Phase2	K	29790	2185	152969	748160	421	49964	4447	979	244	10124	17	24	301	5	60	149	28	114	18
BDX23376	305	Phase2	K	27864	1808	145332	759480	502	49929	4288	745	284	9058	18	23	309	5	57	146	26	110	17
BDX23376	305	Phase2	K	30293	1597	151559	753664	362	48396	3736	814	313	8621	19	22	288	4	52	125	22	98	15
BDX23379	305	Phase2	K	33329	1660	153968	746980	274	51170	4606	840	177	6331	20	22	297	5	40	126	22	106	26
BDX23379	305	Phase2	K	29314	1005	154056	753257	180	50148	4267	810	176	6121	21	21	294	4	40	139	20	104	24
BDX23380	305	Phase2	K	29151	713	150727	748796	4349	50902	5078	980	215	8381	45	22	267	5	62	159	23	106	20
BDX23383	305	Phase2	K	46092	630	142980	748134	205	46994	4852	634	255	8512	37	22	274	12	50	153	17	114	33
BDX23386	305	Phase2	K	29143	2119	136647	768323	244	47549	4526	511	150	10151	26	21	243	7	49	127	21	108	34
BDX23389	305	Phase2	K	30991	802	150499	755662	445	46765	4271	381	185	9320	47	22	257	10	50	131	19	115	27
BDX23398	305	Phase2	K	30457	2177	144237	759198	145	49885	3891	194	134	8920	24	25	299	4	57	184	27	124	18
BDX23398	305	Phase2	K	32027	2018	151620	749214	155	50416	3865	548	185	9225	26	23	294	3	61	162	26	113	19
BDX23399	305	Phase2	K	33313	2031	154788	740292	4122	50031	4604	1034	215	8878	31	22	286	4	48	128	23	119	33
BDX23401	305	Phase2	K	44839	860	143261	742906	635	45722	12759	348	126	7883	26	22	250	5	57	146	22	113	21
BDX23403	305	Phase2	K	29589	1905	139950	752097	4006	55097	6324	1025	220	9175	19	22	260	14	39	112	18	110	17
BDX23404	305	Phase2	K	31088	1819	154140	738581	3749	53458	4989	983	243	10262	20	25	282	10	56	134	22	120	20
BDX23409	322	Phase5	K	31511	2144	151754	742932	195	54158	4879	1049	314	10301	22	26	322	7	65	161	26	111	23

BDX23410	322	Phase5	K	28941	2409	151351	752766	164	50294	4238	765	240	8163	20	24	298	3	52	122	24	106	19
BDX23417	322	Phase5	K	28001	2214	146787	759675	291	48935	4493	273	190	8474	35	22	245	6	65	146	23	105	21
BDX23419	322	Phase5	K	42686	1293	140449	756160	4100	43472	3436	113	144	7496	26	20	241	5	48	164	22	104	22
BDX23420	322	Phase5	K	40911	644	124898	761804	767	55169	4434	871	145	9640	32	24	281	8	58	166	27	100	23
BDX23422	302	Phase7	K	33053	1990	140406	772818	169	39147	3532	715	109	7519	18	19	206	3	50	117	18	96	14
BDX23423	302	Phase7	K	30302	1761	148829	758456	128	46680	4058	627	115	8383	22	22	263	3	56	141	24	110	20
BDX23424	302	Phase7	K	45587	643	144829	747058	133	48119	3672	419	188	8707	36	20	277	3	43	117	18	102	28
BDX23426	302	Phase7	K	31972	2161	152784	745776	203	52111	4342	424	260	9279	12	23	293	8	54	142	23	116	17
BDX23427	302	Phase7	K	31806	1436	149172	760263	147	44953	4091	271	143	7082	47	21	223	6	52	140	20	108	21
BDX23429	302	Phase7	K	30022	2122	147161	751459	107	46128	14801	0	118	7420	28	22	234	10	54	147	21	130	16
BDX23432	302	Phase7	K	32823	1160	137085	765408	186	48272	4161	618	217	9476	19	21	250	4	47	115	19	102	19
BDX23433	302	Phase7	K	27339	1705	144038	763830	166	47757	4175	824	184	9302	21	24	279	7	47	150	29	97	26
BDX23434	302	Phase7	K	43095	707	141257	753274	211	46870	4658	607	181	8456	38	22	271	6	56	147	23	99	23
BDX23435	302	Phase7	K	31399	1540	149438	755989	113	47858	5935	0	160	6944	37	20	251	11	35	119	18	111	22
BDX23438	302	Phase7	K	28008	1950	146406	762936	118	46648	4352	82	232	8568	49	20	259	8	57	143	23	114	28
BDX23446	302	Phase7	K	28931	679	148240	756199	362	46293	3735	409	194	10871	34	23	259	7	60	144	24	117	20
BDX23447	302	Phase7	K	31067	713	148389	753841	3518	46641	3721	633	170	10609	36	23	267	6	61	148	23	113	19
BDX23446	302	Phase7	K	29275	689	152564	750953	3614	46931	3846	518	173	10739	38	23	245	12	65	151	22	126	17
BDX23449	303	Phase5	K	27772	1687	145392	763931	131	48911	3622	54	149	7641	32	22	257	3	46	155	22	144	29
BDX23449	303	Phase5	K	33724	831	140755	766762	240	46305	3345	0	135	7205	32	22	255	2	46	147	21	144	28
BDX23456	303	Phase5	K	37149	1645	127898	766927	159	49681	4052	670	181	10930	40	22	291	5	61	147	20	101	20
BDX23458	303	Phase5	K	31024	2003	133115	770361	115	47373	6411	894	232	7866	34	22	248	10	38	110	19	97	30
BDX23462	303	Phase5	K	31703	1753	148318	753141	118	48995	4771	2171	260	8163	19	22	258	7	42	130	19	94	17
BDX23466	303	Phase5	K	30013	1781	135035	772250	133	47758	3649	495	202	8066	42	19	278	4	34	109	18	91	22
BDX23472	303	Phase5	K	31624	828	153455	743031	4862	48868	5387	273	127	10860	23	21	229	22	55	175	20	121	19
BDX23473	303	Phase5	K	34928	1488	128295	766746	192	50682	4852	1195	179	10812	22	23	269	8	47	131	21	92	19
BDX23483	303	Phase5	K	36235	638	148268	746560	3452	48957	4319	991	249	9595	23	24	277	7	47	214	25	100	17
BDX23487	303	Phase5	K	34569	2108	138785	746299	3533	55905	5918	924	154	11109	18	23	269	15	61	146	22	107	33
BDX23489	303	Phase5	K	46362	893	145823	745531	114	46827	3882	529	222	9205	24	21	242	4	53	128	20	103	15
BDX23490	303	Phase5	K	36319	1179	143635	755886	3741	43091	5857	986	128	8568	25	22	220	15	49	134	21	106	19
BDX23494	303	Phase5	K	31103	805	153638	737203	858	56722	5369	599	144	12870	15	23	272	13	66	135	25	112	27
BDX23496	303	Phase5	K	31224	662	150163	749022	3662	49580	4181	923	224	9689	21	23	277	6	49	143	22	107	21
BDX23497	305	Phase2	K	30957	1697	155956	744647	485	51270	4940	839	150	8372	21	25	255	12	67	152	24	105	26
BDX23498	305	Phase2	K	41247	711	141586	755066	324	48803	3834	411	129	7194	23	21	297	2	40	146	29	104	33
BDX23499	305	Phase2	K	36668	1412	154893	738590	752	52110	4416	964	197	9302	27	23	295	8	46	135	23	109	32
BDX23500	312	Phase6	K	30469	820	149721	756247	152	47323	3906	179	289	10166	67	21	291	2	56	131	19	112	28
BDX23500	312	Phase6	K	28656	1992	147006	757111	126	48905	4198	560	294	10398	68	21	307	2	59	141	20	103	35
BDX23506	319	Phase4	K	46929	785	128480	745781	3387	48343	16812	1194	97	7553	17	24	251	20	42	140	23	108	14
BDX23508	317	Phase5	K	32030	2371	154695	738563	474	53576	6015	1087	272	10223	24	25	283	13	53	131	23	103	38
BDX23509	317	Phase5	K	29648	824	139358	756133	5359	50685	4476	1234	326	11229	21	24	298	3	67	158	25	109	22
BDX23513	331	Phase4	K	29587	1321	152424	751871	1183	48947	4521	927	142	8402	27	23	266	12	40	158	24	103	23

BDX23519	333	Phase7	K	28689	2126	148115	759371	157	46972	4284	834	141	8663	29	23	245	8	59	152	22	93	19
BDX23523	101		K	35343	751	126979	766555	262	53470	4487	0	272	11035	37	26	316	3	63	176	27	162	34
BDX23523	101		K	27737	2031	146048	760398	132	48235	3856	53	247	10539	66	21	268	3	55	129	19	128	35
BDX23529	302	Phase7	K	33896	1577	124949	774870	114	48255	6169	283	197	8893	67	22	291	10	63	165	25	117	37
BDX23532	302	Phase7	K	28868	2136	148560	758823	130	49881	4277	600	180	8936	8	22	250	5	40	144	21	105	15
BDX23534	302	Phase7	K	29802	1977	150998	756672	645	49042	4616	722	106	4797	10	23	273	13	39	126	23	101	14
BDX23535	302	Phase7	K	37745	923	142325	757307	658	49385	4094	136	204	6513	26	21	279	4	47	171	25	108	29
BDX23540	303	Phase5	K	34944	1824	151189	752202	289	48053	4058	329	150	6098	16	23	259	3	58	347	18	123	16
BDX23544	305	Phase2	K	29541	1883	139441	766318	623	46987	4276	890	145	9198	26	21	268	4	55	177	24	94	28
BDX23548	305	Phase2	K	36191	837	150520	737009	3466	47208	14370	827	182	8776	20	22	247	17	48	124	22	97	17
BDX23557	305	Phase2	K	43389	749	144775	751615	242	46790	3926	311	134	7433	27	21	261	4	44	133	20	110	17
BDX23561	305	Phase2	K	29727	2399	150642	751483	223	50866	4416	406	170	9002	25	23	268	6	47	132	21	120	23
BDX23562	305	Phase2	K	33209	962	140750	762263	109	47603	4816	777	189	8639	55	23	250	9	52	142	21	101	32
BDX23563	305	Phase2	K	30967	2056	155000	750913	136	49185	4177	209	110	6510	26	23	288	4	51	174	22	120	29
BDX23566	305	Phase2	K	28404	1540	140093	770083	270	45292	4016	852	207	8500	24	20	229	3	49	277	19	95	26
BDX23571	305	Phase2	K	31244	1703	151122	738069	4006	48679	13288	337	134	10772	27	24	245	17	50	132	22	105	24
BDX23575	305	Phase2	K	34294	2246	142667	749928	142	53692	5065	0	124	11275	16	21	228	16	42	100	20	102	22
BDX23588	331	Phase4	K	46678	1136	144795	745939	127	48891	3998	553	150	7112	9	21	244	4	40	164	20	107	14
BDX23590	331	Phase4	K	28954	2063	151103	757687	475	49077	3005	40	75	6875	24	20	278	2	38	133	19	108	24
BDX23590	331	Phase4	K	35090	786	141578	762166	179	48250	3280	141	77	7767	28	22	283	2	38	142	22	117	32
BDX23591	364	Phase2	K	29085	1809	134843	771334	126	49692	3506	149	200	8651	11	21	264	3	46	130	21	93	15
BDX23591	364	Phase2	K	32368	1731	133507	769063	237	49877	3537	295	256	8448	13	21	269	5	49	181	25	105	14
BDX23595	350	Phase3	K	35081	717	125083	772174	273	51998	4084	253	220	9457	15	23	272	3	59	131	22	120	15
BDX23599	350	Phase3	K	40000	2173	143136	755676	118	47085	4091	237	95	6743	25	23	265	3	43	125	23	107	32
BDX23603	381	Phase1	K	29325	699	152726	750154	1203	50573	5276	743	133	8492	22	24	266	8	55	141	25	116	19
BDX23608	349	Phase4	K	29517	660	154022	741363	4038	50359	5592	991	209	12576	21	23	274	9	68	129	22	104	21
BDX23609	349	Phase3	K	30117	2319	153319	749255	363	50318	4795	274	159	8372	49	21	296	5	41	133	21	110	34
BDX23610	349	Phase4	K	33602	1424	155915	744522	442	49252	4641	585	144	8811	18	22	248	5	52	146	22	112	37
BDX23613	349	Phase3	K	29522	1935	139919	765972	384	49078	4406	864	178	7133	25	21	237	7	52	137	20	94	16
BDX23614	349	Phase3	K	27451	1446	144865	766614	123	47357	4829	431	195	6072	17	21	265	7	38	119	21	114	16
BDX23615	349	Phase3	K	37924	842	150568	741705	3237	48957	4260	598	307	10825	67	23	294	5	58	164	23	106	38
BDX23616	349	Phase3	K	28927	2181	139619	770894	792	45693	4051	577	133	6538	22	19	221	5	54	131	20	92	31
BDX23621	349	Phase3	K	35120	781	131320	764299	3112	48659	5202	946	379	9472	40	24	269	4	58	144	31	109	32
BDX23624	349	Phase4	K	34282	1251	143730	751662	1282	48723	5879	1042	213	11327	64	22	202	16	45	112	19	98	33
BDX23627	349	Phase4	K	30302	1510	146488	757699	109	49634	4082	703	99	8713	26	22	278	3	56	125	25	100	25
BDX23631	349	Phase3	K	29668	1357	149588	762881	142	45221	3233	230	153	6892	20	21	233	1	61	152	21	107	19
BDX23632	349	Phase4	K	40489	644	146391	751030	460	46075	4409	973	207	8723	64	21	212	5	43	112	21	106	15
BDX23634	349	Phase4	K	34637	622	131601	769858	363	47185	4353	847	318	9588	25	23	259	12	51	116	19	108	15
BDX23638	349	Phase3	K	34904	758	134097	766154	3059	46228	4091	603	232	9128	29	23	265	5	62	194	26	119	24
BDX23639	349	Phase3	K	29001	2161	150022	755765	122	48802	4485	458	108	8520	10	21	207	10	40	133	19	99	16
BDX23650	349	Phase3	K	30743	1911	154946	755079	146	45897	3466	0	184	6941	31	21	270	2	50	147	20	118	28

BDX23652	349	Phase4	K	30384	1955	150901	745624	152	55409	5656	388	96	8788	25	24	268	10	45	142	21	96	16
BDX23655	349	Phase4	K	31882	1245	149024	744197	134	50689	11479	754	241	9660	34	25	279	14	50	128	23	107	36
BDX23659	349	Phase3	K	32755	1858	146051	752857	3242	46694	4255	868	178	10564	38	23	283	3	50	123	21	108	30
BDX23660	349	Phase3	K	31310	1772	148683	751947	407	50067	3922	274	253	10613	36	22	306	2	57	147	21	124	36
BDX23662	349	Phase4	K	28575	834	142419	757267	5975	47876	4859	1227	236	10032	27	23	277	9	55	162	22	101	24
BDX23664	349	Phase3	K	31542	1521	153167	732434	7284	43300	18812	1170	237	9903	24	22	258	14	42	128	21	105	15
BDX23666	349	Phase4	K	38990	821	133422	759054	3966	49457	4700	936	145	7863	35	24	257	10	39	125	20	109	27
BDX23667	349	Phase4	K	29891	1953	150458	752842	112	52073	4534	627	175	6705	17	22	265	16	44	123	20	105	17
BDX23668	349	Phase4	K	29154	719	151062	752264	492	51992	3886	535	201	8938	29	23	289	2	55	186	24	128	22
BDX23668	349	Phase4	K	27320	659	145173	760849	685	49671	3928	759	193	10024	33	24	286	2	62	147	26	126	32
BDX23670	349	Phase4	K	34855	708	150903	751371	520	46800	4616	520	166	8839	42	22	266	5	58	145	22	117	25
BDX23402	305	Phase2	K	31616	1865	141366	764081	753	47409	3899	576	226	7563	24	22	260	4	44	144	23	107	16
BDX23402	305	Phase2	K	33419	1874	134031	770653	499	46441	3758	404	185	8089	32	21	237	2	54	139	23	117	22
BDX23448	302	Phase7	K	32238	1588	126626	777585	114	48180	4676	420	130	7806	12	21	284	11	37	129	20	103	20
BDX23486	303	Phase5	K	45594	641	149124	743705	4062	43274	4224	482	179	8055	14	21	219	12	56	183	21	122	13
BDX23520	306	Phase1nd	K	35132	1812	156055	735941	581	53048	4756	1013	339	10558	28	25	313	6	50	174	25	120	23
BDX23558	305	Phase2	K	34499	792	130812	766469	3848	47419	4655	901	232	9680	23	23	273	3	59	154	29	107	23
BDX23651	349	Phase3	K	31982	2273	147742	753795	388	51167	4053	640	175	7100	24	23	282	3	59	145	24	108	17
BDX23313	303	Phase5	K	40850	777	133151	765989	543	48610	3345	0	101	6000	37	19	253	5	42	128	20	108	21
BDX23319	305	Phase2	K	37296	804	134171	762193	3489	48369	4018	869	234	7866	9	24	271	11	52	165	25	117	18
BDX23319	305	Phase2	K	30469	1103	154354	751978	737	48574	3881	401	162	7695	10	21	260	5	47	146	21	119	17
BDX23319	305	Phase2	K	37758	743	131135	765283	3347	47921	3838	856	347	8068	10	24	271	9	57	173	26	119	17
BDX23329	317	Phase5	K	29081	1133	129697	771637	5014	45656	3941	1654	193	11396	8	21	252	5	38	137	21	103	12
BDX23329	317	Phase5	K	30937	880	137910	761368	5124	44940	3797	1897	228	12299	10	22	260	4	40	155	21	97	12
BDX23334	318	Phase5	K	30231	939	147229	752386	5659	45114	4093	1851	328	11541	35	21	246	3	53	129	22	95	27
BDX23334	318	Phase5	K	30199	1416	148207	742396	5888	51450	4742	1805	321	12813	41	26	296	3	62	155	26	117	35
BDX23336	318	Phase5	K	33190	984	149217	746775	3456	49417	4315	1263	317	10366	30	20	310	5	40	142	20	109	23
BDX23336	318	Phase5	K	30334	975	157424	742171	3971	48727	3983	1081	299	10341	31	21	305	4	41	132	19	121	21
BDX23406	305	Phase2	K	40893	873	153974	732993	735	50389	4731	1301	1065	12316	65	22	308	11	40	118	21	109	36
BDX23408	322	Phase5	K	34022	1152	131972	769410	241	51295	4621	952	75	5582	7	24	299	8	39	160	23	106	15
BDX23450	303	Phase5	K	33870	1571	143310	758355	508	48412	4128	1025	214	7956	13	22	270	3	42	161	22	104	16
BDX23454	303	Phase5	K	30780	1809	143440	756622	3992	49576	4033	877	218	7963	25	21	296	5	44	146	23	104	22
BDX23545	305	Phase2	K	33897	1069	141653	755569	245	51242	5557	437	108	9579	10	23	245	7	52	167	20	105	12
BDX23580	337	Phase2	K	27577	689	147073	761647	188	51486	4332	0	923	5333	31	22	312	7	30	172	22	120	36
BDX23600	350	Phase3	K	29868	673	155096	748459	720	52352	3899	1029	326	6896	19	22	309	4	40	122	20	118	29
BDX23629	349	Phase3	K	43871	707	145667	742802	4365	48996	4285	241	178	8187	23	22	289	7	44	154	21	109	32
BDX23630	349	Phase4	K	41775	1059	147365	748999	223	47629	3914	600	224	7527	18	23	278	4	45	176	24	102	14
BDX23669	349	Phase4	K	34319	1372	147709	755706	249	48507	3815	182	247	7220	31	21	278	3	45	134	21	111	31
BDX23241			L	30096	2300	148753	717658	249	69435	3707	1626	27	24726	17	27	343	10	112	747	31	113	24
BDX23241			L	33098	2156	150070	716533	3125	65621	4066	2192	56	21583	23	30	349	9	126	789	39	107	25
BDX23287	303	Phase5	L	27928	636	139895	764652	107	48054	2245	1099	35	14396	16	20	233	17	75	417	33	114	29

BDX23295	303		Phase5	L	33545	1465	145846	741615	1217	50437	2608	1104	36	21135	11	22	237	24	82	434	29	121	31
BDX23324	317		Phase5	L	34624	2324	132400	781775	154	33890	2508	41	24	11552	12	14	149	14	56	301	25	125	12
BDX23324	317		Phase5	L	29332	641	140851	776360	117	35260	2308	1700	41	12725	17	18	160	13	50	242	36	116	12
BDX23335	318		Phase5	L	35075	667	154461	735783	4430	46923	2493	1695	52	17494	11	21	216	19	80	413	26	106	34
BDX23335	318		Phase5	L	27155	1095	136276	759472	4150	47467	2548	1309	45	19496	12	22	231	21	83	459	28	98	34
BDX23369	HS			L	36204	730	129937	766720	220	44390	1885	957	50	18059	15	19	206	11	73	342	40	123	18
BDX23369	HS			L	39312	634	131745	765741	151	43254	1822	812	58	15689	16	19	197	10	65	304	34	123	15
BDX23387	305		Phase2	L	30795	668	136151	771289	142	48701	2523	1631	36	7207	14	18	232	14	75	369	24	100	9
BDX23387	305		Phase2	L	35431	879	136176	765896	195	49555	2404	1200	28	7368	15	18	233	12	73	388	25	95	10
BDX23390	305		Phase2	L	31143	2203	141583	766013	479	41226	1921	289	16	14350	8	16	181	15	65	344	19	102	28
BDX23390	305		Phase2	L	28520	1282	140706	766350	459	44435	1966	99	19	15343	10	19	193	16	66	357	21	112	28
BDX23436	302		Phase7	L	30916	1465	139030	762929	140	48277	2431	441	44	13438	15	22	211	13	87	381	34	112	13
BDX23441	302		Phase7	L	26578	648	138197	772955	177	47189	2249	342	14	10783	8	19	214	17	73	385	21	115	17
BDX23441	302		Phase7	L	28344	1509	143463	762568	173	45825	2646	721	20	13864	9	19	203	18	73	385	24	119	18
BDX23444	302		Phase7	L	27113	1009	138026	773658	140	40787	2058	824	19	15570	13	17	184	12	65	358	31	100	14
BDX23447	302		Phase7	L	31913	640	140278	748978	142	50575	2830	2037	72	21286	27	33	313	19	95	603	32	102	25
BDX23453	303		Phase5	L	28033	698	138963	775709	831	47845	2050	1363	9	3663	8	21	232	18	72	354	25	94	12
BDX23453	303		Phase5	L	28812	685	140944	772857	227	48340	2384	1240	9	3664	9	20	238	18	71	347	25	96	12
BDX23477	303		Phase5	L	33997	1845	132542	725304	209	75518	5025	1614	31	22506	28	23	400	15	118	657	30	119	19
BDX23481	303		Phase5	L	36145	1985	134456	761714	1828	45815	2381	389	20	14424	10	20	202	21	67	367	21	105	31
BDX23492	303		Phase5	L	37468	1747	119604	773663	185	48192	2198	505	21	15552	15	20	216	14	77	358	37	111	17
BDX23514	332		Phase7	L	29892	658	136556	764906	124	46046	2100	1755	20	16958	13	19	216	13	81	478	30	102	34
BDX23525	305		Phase2	L	27490	675	142166	715251	512	68112	5897	1959	162	36459	16	28	353	18	82	643	31	108	38
BDX23525	305		Phase2	L	28278	823	146257	707919	876	68984	3217	2043	180	40002	17	27	383	15	93	701	33	115	39
BDX23525	305		Phase2	L	27814	656	144994	710600	726	69090	3101	2039	181	39387	19	28	372	13	91	705	33	113	39
BDX23526	301		Phase7	L	29890	2204	138919	742845	108	60627	2744	1525	11	20123	22	19	283	12	93	405	38	108	25
BDX23536	303		Phase5	L	33509	2005	132975	761708	170	49935	2393	1660	22	14757	16	23	223	14	75	364	30	108	14
BDX23556	305		Phase2	L	27155	776	135370	774726	220	45619	2147	697	57	12425	17	19	211	11	70	328	36	104	14
BDX23570	305		Phase2	L	30266	667	148949	756751	282	45983	2291	967	26	13021	15	20	182	36	88	301	28	113	15
BDX23573	305		Phase2	L	27737	708	142372	744947	111	63657	3020	1507	29	14577	17	27	309	10	107	697	27	115	25
BDX23617	349		Phase4	L	33880	679	150057	736576	186	60286	2952	1499	98	12696	20	23	293	13	96	487	27	114	16
BDX23640	349		Phase4	L	30964	2294	140693	758165	4478	45921	2800	1796	164	11902	12	19	204	20	67	369	26	90	16
BDX23643	349		Phase3	L	35891	669	141965	765571	188	43822	2095	1707	11	7363	13	18	165	44	75	269	22	100	11
BDX23282	303		Phase5	M	32093	2211	150739	745228	172	52591	7561	1083	160	7593	13	18	122	95	29	92	23	167	9
BDX23285	310		PhaseInd	M	30781	2363	150980	748142	153	51316	6958	693	228	7606	16	18	148	92	28	114	22	327	15
BDX23285	310		PhaseInd	M	27799	1757	142792	759759	109	50530	7342	566	206	8181	18	19	146	87	34	94	18	528	15
BDX23285	310		PhaseInd	M	30895	2073	131250	776034	187	45642	5815	35	198	7141	19	16	127	79	25	84	21	348	12
BDX23286	HS			M	30694	860	149563	745315	2279	49079	7091	1786	231	12563	15	17	120	66	24	98	21	162	15
BDX23288	303		Phase5	M	34384	688	150774	746414	337	48598	6898	2274	289	8712	30	17	164	63	27	91	22	207	11
BDX23290	303		Phase5	M	39464	852	148997	745759	178	43432	7401	2086	351	10832	29	18	140	86	25	136	22	180	14
BDX23291	303		Phase5	M	33147	632	135750	729673	3077	42744	9180	1417	369	43505	16	16	112	77	18	96	20	145	7

BDX23291	303	Phase5	M	30308	854	136559	735680	3302	44379	12049	1584	358	34394	18	17	122	89	19	89	21	146	10
BDX23292	303	Phase5	M	27785	839	146866	754433	154	50810	7769	1364	152	9252	17	15	160	85	18	85	21	163	11
BDX23292	303	Phase5	M	32264	692	156480	744856	144	48675	5878	1071	144	9274	19	14	141	76	19	95	21	127	10
BDX23293	303	Phase5	M	32461	2143	132953	763647	637	48638	7583	1220	165	9859	17	17	139	88	25	95	22	280	11
BDX23293	303	Phase5	M	35183	2208	129906	759791	772	49921	8240	1518	214	11486	19	19	148	99	25	116	24	299	13
BDX23297	303	Phase5	M	30609	1097	147200	748244	6351	44864	5919	2189	225	12809	19	16	125	74	22	80	21	125	11
BDX23297	303	Phase5	M	31568	1295	152706	734962	7603	46525	7271	2288	286	14908	22	15	138	80	26	111	22	160	13
BDX23297	303	Phase5	M	33361	913	154585	734234	6557	46856	6118	2343	274	14181	23	17	141	84	25	89	23	164	12
BDX23300	303	Phase5	M	28763	685	148846	752695	271	44168	10726	2018	169	11102	13	17	139	87	23	92	23	151	12
BDX23301	303	Phase5	M	32276	794	157276	754492	346	41995	4583	2264	110	5322	14	16	148	62	25	113	22	139	3
BDX23302	303	Phase5	M	31146	1074	150367	729711	4363	49684	16102	1708	244	14833	18	18	133	101	24	113	23	329	8
BDX23303	303	Phase5	M	31192	713	141200	749010	5220	46849	11288	1784	198	12019	14	18	124	88	27	90	22	134	10
BDX23304	303	Phase5	M	29341	864	151499	747141	702	47415	12036	1812	291	8326	15	18	113	104	23	118	22	152	9
BDX23309	303	Phase5	M	29660	828	149483	737223	174	49548	15455	2468	516	13845	24	17	189	124	27	175	24	207	11
BDX23309	303	Phase5	M	32691	1069	133108	744590	168	53288	15727	2514	560	15531	28	20	195	129	27	178	22	145	10
BDX23312	303	Phase5	M	30483	798	154274	746436	3582	47452	7012	1764	214	7472	24	18	113	78	23	100	22	124	10
BDX23315	303	Phase5	M	28593	835	146971	756942	407	48681	6666	1778	175	8375	17	17	134	84	24	91	22	176	11
BDX23318	303	Phase5	M	29377	1026	156199	752932	810	41971	6670	1605	309	8616	22	17	115	75	14	86	22	131	3
BDX23318	303	Phase5	M	29139	954	153008	751331	2469	44139	7152	1761	324	9202	24	19	121	79	14	109	22	131	4
BDX23322	313	Phase6	M	33092	1310	148100	750760	708	48883	7334	1580	249	7464	12	18	114	88	22	105	21	131	10
BDX23327	317	Phase5	M	39150	792	144224	752714	160	48930	4045	1090	280	7903	19	16	183	90	24	147	21	201	10
BDX23327	317	Phase5	M	30423	1235	154659	743930	207	52120	3765	1951	423	10625	34	18	218	81	20	91	22	172	8
BDX23333	318	Phase5	M	31739	777	155382	739421	318	46196	14245	1549	314	9507	14	18	108	97	24	107	22	153	8
BDX23340	HS		M	27902	795	148480	755415	243	51302	6451	301	141	8063	11	17	129	79	42	97	20	502	9
BDX23340	HS		M	44106	1104	133385	754301	590	45032	10477	1145	235	8644	12	16	110	91	27	107	21	587	8
BDX23343	HS		M	28551	970	145504	745269	105	57394	12020	1132	311	7586	15	20	138	107	27	109	18	711	14
BDX23343	HS		M	30116	733	152886	749342	125	49851	7485	1426	309	6846	15	17	122	85	29	94	22	484	14
BDX23347	HS		M	32861	1718	145430	751715	255	48513	8075	1436	264	8966	16	17	122	98	21	97	21	363	10
BDX23348	HS		M	37869	713	146310	749977	680	48156	6590	937	170	8062	13	17	125	77	23	92	21	157	12
BDX23350	HS		M	29757	637	142170	762510	714	47095	5208	303	94	9954	14	16	144	75	26	116	22	1137	9
BDX23350	HS		M	31418	644	148456	752016	674	48781	4914	36	128	11273	18	17	156	76	26	89	23	1246	10
BDX23351	HS		M	28789	1761	145693	759049	120	46621	6627	1178	257	9213	20	17	127	85	27	95	22	286	13
BDX23352	HS		M	43263	705	141711	750426	262	47325	5885	455	114	8382	9	17	133	80	28	103	19	1075	9
BDX23352	HS		M	28935	672	149715	756039	741	48613	5807	254	138	7965	12	17	135	82	25	97	22	722	9
BDX23367	HS		M	34220	1890	129824	773921	757	43844	6649	678	219	7361	10	14	98	79	21	140	20	242	13
BDX23374	305	Phase2	M	29642	1270	147946	749668	120	51429	7780	1770	200	9585	23	19	142	98	25	92	23	152	16
BDX23377	305	Phase2	M	31264	1341	151306	744191	1956	47310	12315	1186	201	8428	13	17	107	85	28	83	22	138	9
BDX23377	305	Phase2	M	29317	610	140649	771430	2675	38355	7234	1265	228	7758	14	14	91	84	20	76	19	154	8
BDX23377	305	Phase2	M	29091	667	148804	746862	1759	48230	12784	1536	235	9490	15	18	117	88	27	93	23	153	9
BDX23377	305	Phase2	M	27672	829	145283	754524	3369	48777	7773	1454	229	9540	16	18	116	88	29	90	23	162	10
BDX23378	305	Phase2	M	27201	684	144151	768108	155	47940	4578	1481	62	5125	12	18	155	56	19	95	21	137	3

BDX23381	305	Phase2	M	29249	702	152274	747230	543	47028	11559	1644	275	8942	25	18	131	63	26	98	21	159	12
BDX23382	305	Phase2	M	30281	665	154066	742840	493	50145	11226	2006	276	7471	13	17	123	95	19	86	23	141	14
BDX23385	305	Phase2	M	44845	870	150015	744714	200	44927	4732	1258	214	7643	19	16	131	69	25	118	22	174	8
BDX23385	305	Phase2	M	30673	765	152605	749981	324	49592	5873	1188	207	8132	19	17	145	79	25	114	23	228	9
BDX23391	305	Phase2	M	34499	2132	136644	755849	308	54709	6888	905	178	7312	15	18	158	78	32	86	19	155	16
BDX23391	305	Phase2	M	31047	1402	139552	757741	162	52274	6247	1602	249	9144	22	19	158	76	30	76	22	161	15
BDX23391	305	Phase2	M	37626	1522	140347	746617	397	50831	6655	2703	327	12232	25	17	156	74	35	91	24	216	16
BDX23393	305	Phase2	M	31130	1949	135291	766390	211	45236	11127	991	183	7026	16	18	124	68	22	76	21	111	9
BDX23394	305	Phase2	M	33188	1972	146074	753930	253	48856	7228	1666	163	6122	19	19	142	65	22	110	23	145	5
BDX23395	305	Phase2	M	30998	1589	146342	735689	222	45092	13241	1787	249	24265	14	15	116	92	26	102	21	130	10
BDX23396	305	Phase2	M	37060	2017	150118	744839	236	45652	7653	2004	301	9507	33	18	144	66	21	172	20	126	13
BDX23397	305	Phase2	M	38194	655	140061	747488	155	49152	12629	1715	261	7922	14	16	183	125	28	184	17	1188	14
BDX23397	305	Phase2	M	27590	624	145273	754737	156	48213	12133	1815	260	7446	15	16	178	131	28	182	19	1173	14
BDX23397	305	Phase2	M	26909	764	142281	755882	178	47399	12935	2144	290	9384	16	17	191	126	27	193	19	1233	12
BDX23400	305	Phase2	M	28458	777	151312	749923	3700	49373	7071	1646	222	6987	22	18	141	84	25	82	22	126	11
BDX23407	322	Phase5	M	36974	1880	126630	767334	123	49662	8441	1351	160	6910	17	18	120	89	25	106	23	127	10
BDX23413	322	Phase5	M	31744	2302	136636	767135	312	45875	5337	1580	115	8433	13	14	143	73	23	88	20	147	10
BDX23414	322	Phase5	M	28101	625	144732	762190	609	48052	6615	1028	224	7260	20	17	144	64	26	95	22	164	13
BDX23415	322	Phase5	M	33966	1445	135550	770313	207	44987	4232	763	152	7764	14	15	151	73	22	90	21	225	10
BDX23415	322	Phase5	M	32111	1140	138685	763470	393	48051	4770	1438	171	9171	16	17	165	80	20	113	21	157	11
BDX23418	322	Phase5	M	42016	696	138372	756175	367	45315	7290	1292	266	7714	14	18	124	76	13	81	21	148	2
BDX23421	322	Phase5	M	37070	913	145691	759923	1205	41508	5223	1519	126	6271	10	17	125	72	30	109	21	160	9
BDX23428	302	Phase7	M	31334	2394	150391	750535	130	48139	7417	1315	262	7612	13	16	103	81	19	81	21	132	7
BDX23430	302	Phase7	M	39745	901	141163	752602	154	47035	7339	1635	185	8703	19	17	115	86	23	96	20	149	12
BDX23431	302	Phase7	M	30940	1083	149754	744156	153	49364	13189	1805	318	8734	16	18	110	98	26	83	23	118	12
BDX23437	302	Phase7	M	30538	981	153433	746901	1026	48264	7018	1924	212	9182	29	18	123	76	26	92	22	128	11
BDX23439	302	Phase7	M	29337	945	151272	752297	839	47085	6370	1428	167	9680	17	15	143	88	20	84	21	180	13
BDX23439	302	Phase7	M	31636	726	148002	752577	816	48273	6089	1974	180	9198	17	16	139	84	21	91	21	127	12
BDX23440	302	Phase7	M	30550	811	149872	758034	250	48876	3911	1758	59	5346	9	17	157	53	19	96	22	158	3
BDX23442	302	Phase7	M	30845	1469	136239	768216	224	47148	5540	1423	142	8211	18	15	139	78	25	102	21	133	12
BDX23442	302	Phase7	M	34598	1626	142425	764134	479	42851	4991	840	127	7353	20	15	131	73	22	83	19	202	10
BDX23443	302	Phase7	M	30352	661	153013	748809	238	48482	6894	1509	231	9186	21	18	122	85	26	94	23	228	9
BDX23443	302	Phase7	M	32315	928	148528	744115	228	52709	7001	1739	205	11522	24	20	149	87	25	151	24	216	12
BDX23445	302	Phase7	M	30024	914	155255	749437	356	46263	7705	1123	187	8106	12	16	122	96	24	102	22	226	8
BDX23445	302	Phase7	M	31364	766	152428	746268	223	49382	7871	2152	198	8804	13	17	125	93	29	98	23	138	9
BDX23459	303	Phase5	M	27352	996	146632	757962	419	49317	5817	533	152	9266	17	18	121	89	28	97	20	1156	10
BDX23459	303	Phase5	M	27520	989	144783	761067	540	47846	5898	393	159	9215	19	17	123	84	25	103	22	1186	10
BDX23459	303	Phase5	M	39140	1470	145609	742278	317	49722	6172	1334	247	12044	25	20	127	89	28	107	23	1240	9
BDX23460	303	Phase5	M	30475	695	153337	748857	671	49520	7903	1166	165	6643	14	17	122	90	28	96	22	169	10
BDX23461	303	Phase5	M	35198	2124	133099	766358	538	47319	6942	180	202	7273	14	17	132	104	24	90	22	352	12
BDX23461	303	Phase5	M	32715	2321	135343	761155	659	47337	10369	1009	210	8278	16	17	132	99	23	91	22	191	13

BDX23465	303	Phase5	M	27121	787	144278	761344	199	46880	10167	1383	291	6924	17	16	125	95	26	100	21	215	14
BDX23467	303	Phase5	M	30338	799	148872	750827	110	48365	7924	1630	194	10356	21	17	132	96	23	132	22	131	11
BDX23470	303	Phase5	M	29353	746	141316	772993	582	40290	5070	2042	161	6966	13	17	120	70	21	88	21	122	9
BDX23474	303	Phase5	M	32587	1047	151862	745063	322	49365	8124	2040	251	8780	16	18	125	92	22	94	23	159	10
BDX23475	303	Phase5	M	31573	2046	150532	753192	599	46892	6213	1269	237	6943	11	16	146	79	16	87	22	125	3
BDX23478	303	Phase5	M	29850	642	141740	757606	5244	46403	6505	1844	100	9539	10	18	136	84	21	97	22	125	11
BDX23479	303	Phase5	M	33722	2446	151036	743053	426	51936	6048	1661	73	9000	12	17	180	83	23	104	23	147	11
BDX23482	303	Phase5	M	34124	718	137145	755439	651	53230	8265	1965	162	7749	14	18	209	61	37	66	19	117	10
BDX23484	303	Phase5	M	26877	1005	140473	746635	4555	42253	13081	3479	392	20633	38	19	120	113	29	134	23	131	9
BDX23491	303	Phase5	M	29772	2153	140085	766726	282	48952	4794	1655	140	4932	17	15	142	61	22	88	20	133	11
BDX23493	303	Phase5	M	31931	1782	149678	754936	265	45151	6185	1515	253	7804	27	17	130	55	24	85	21	128	13
BDX23501	312	Phase6	M	36784	2037	128866	771453	137	46552	6901	92	160	6165	14	16	107	86	22	89	21	491	7
BDX23502	313	Phase6	M	34157	906	148494	738183	249	49087	14148	2253	422	11302	22	19	195	134	28	182	21	180	17
BDX23503	313	Phase6	M	42480	632	141895	751747	154	44539	9395	1354	226	7053	12	16	105	81	20	87	21	168	14
BDX23504	313	Phase6	M	35971	2134	128963	768650	146	45439	8159	1444	273	8278	14	17	106	93	25	91	22	165	8
BDX23510	327	Phase5	M	31394	2033	130939	770231	168	48824	6952	1147	162	7634	9	17	112	84	25	98	21	143	7
BDX23515	332	Phase7	M	43548	811	142778	754373	325	41608	7063	1241	241	7352	27	17	113	56	19	70	20	131	5
BDX23517	332	Phase7	M	34395	1803	153778	744770	338	50947	6928	709	256	5211	9	15	126	84	18	88	22	489	12
BDX23517	332	Phase7	M	30899	844	151012	743917	167	52256	10302	1036	285	7625	12	20	139	98	18	106	24	1227	13
BDX23518	333	Phase7	M	30419	998	150966	757071	140	44972	5135	0	86	9077	9	16	140	86	24	92	22	735	11
BDX23518	333	Phase7	M	27076	670	143359	762013	109	48427	5053	1343	197	10190	20	18	166	84	21	87	21	1135	11
BDX23521	341	Phase5	M	28467	865	149940	748210	4468	48718	8768	1678	287	8058	12	19	112	97	21	87	23	159	10
BDX23522	341	Phase5	M	29926	836	155683	747383	3878	43918	6471	1338	112	9904	14	16	129	78	24	88	21	172	8
BDX23524	HS		M	31781	2254	128858	770110	752	47265	7011	1910	240	9126	16	15	108	87	21	90	22	326	9
BDX23524	HS		M	33055	1963	125383	771495	121	49863	6726	1558	244	8932	16	17	119	91	20	113	22	253	9
BDX23528	301	Phase7	M	31911	1635	145325	749405	189	48926	8164	0	276	13447	14	16	133	78	21	97	20	333	8
BDX23528	301	Phase7	M	27663	614	144325	751992	136	49213	11099	490	288	13396	14	16	135	86	22	88	21	390	10
BDX23533	302	Phase7	M	45791	672	140609	747616	144	46676	8200	1762	264	7753	14	17	118	85	23	83	20	147	8
BDX23538	303	Phase5	M	46605	1004	143428	731281	379	42057	11343	3375	349	19550	39	19	119	97	31	148	22	148	7
BDX23541	305	Phase2	M	36277	909	133981	759029	256	49477	7140	1844	265	10237	29	19	130	102	27	93	22	151	12
BDX23542	305	Phase2	M	33322	2129	140803	758711	555	47977	12114	855	149	2806	18	18	200	113	38	66	19	99	7
BDX23546	305	Phase2	M	30674	680	152407	749437	947	46182	8420	1805	204	8746	16	17	107	85	21	96	22	126	8
BDX23547	305	Phase2	M	28939	2299	143517	758606	252	49567	7337	1566	124	7208	20	16	135	81	27	96	21	181	8
BDX23549	305	Phase2	M	31522	2034	137021	768291	507	44904	7877	1114	248	6012	13	15	103	80	22	79	20	128	11
BDX23551	305	Phase2	M	46311	613	144417	742854	281	45508	9815	1731	343	7612	20	18	147	73	23	77	21	125	12
BDX23552	305	Phase2	M	28925	781	149810	756562	209	47604	5508	746	270	8570	23	17	141	54	19	90	22	646	3
BDX23552	305	Phase2	M	37753	799	126594	770841	405	46948	5743	1004	245	8507	28	18	149	63	16	85	19	781	3
BDX23553	305	Phase2	M	29088	726	152595	745458	4827	47794	5948	1772	315	10436	29	19	147	56	19	91	23	652	4
BDX23553	305	Phase2	M	42031	1018	148530	745034	3417	42445	6056	257	170	9119	16	19	136	93	30	95	19	1205	12
BDX23560	305	Phase2	M	28933	763	153096	748300	300	49465	7247	137	173	9854	19	19	141	96	24	123	23	1277	8
BDX23568	305	Phase2	M	31070	644	132409	772944	151	46406	5881	1564	230	8002	24	18	161	86	24	103	20	248	15

BDX23569	305	Phase2	M	34422	1490	153935	745696	220	46214	12107	1252	257	3865	13	15	119	101	21	87	22	150	14
BDX23572	305	Phase2	M	32088	1869	136434	767254	201	46759	6974	1083	163	6511	14	17	138	116	24	93	21	234	10
BDX23574	305	Phase2	M	27810	751	147289	756390	1225	46478	7864	746	231	10650	12	16	114	85	26	98	22	183	11
BDX23579	317	Phase5	M	38826	945	143843	755025	310	45765	5694	918	190	7842	17	16	144	82	23	92	21	239	9
BDX23583	331	Phase4	M	36045	1876	151220	719144	301	46789	15104	1575	352	72019	19	17	122	90	24	94	23	175	12
BDX23584	331	Phase4	M	37837	1864	127928	758478	171	51786	8003	2016	180	8231	17	17	140	95	25	100	24	177	11
BDX23586	331	Phase4	M	27783	904	147998	768379	2581	46288	6498	1502	128	7313	12	16	134	77	22	103	21	133	10
BDX23587	331	Phase4	M	40698	662	142791	754725	128	45342	5316	0	141	8654	14	15	118	75	24	84	20	1183	10
BDX23587	331	Phase4	M	34040	835	128978	772001	121	46791	5814	1041	148	9142	15	17	129	76	23	91	20	707	11
BDX23589	331	Phase4	M	35440	1707	125791	769194	503	49454	7985	1644	245	7546	15	17	120	87	20	80	21	125	7
BDX23594	350	Phase3	M	43930	2199	139836	756976	197	43882	4996	1186	198	6053	11	15	125	59	17	69	19	230	2
BDX23594	350	Phase3	M	34751	878	131160	770859	139	44319	5708	1884	293	9419	14	15	135	69	18	81	22	234	2
BDX23596	350	Phase3	M	27179	631	127722	772121	112	50952	7745	2089	170	10679	12	16	133	94	22	145	22	148	8
BDX23598	350	Phase3	M	39214	624	124717	767018	174	46984	13916	1091	222	5478	12	18	115	118	25	87	21	153	12
BDX23601	382	Phase1	M	32170	803	151738	738370	421	58153	6928	1836	276	8619	32	20	190	97	37	112	22	163	12
BDX23602	HS		M	29282	640	147859	750260	170	46920	6506	499	186	16974	20	15	117	82	24	83	21	333	10
BDX23602	HS		M	27411	683	143903	754609	157	48121	6320	192	184	17607	22	17	121	81	23	97	21	422	10
BDX23604	381	Phase1	M	29000	1419	125409	769837	192	50499	8266	2652	239	11827	23	19	171	95	22	130	23	164	13
BDX23607	349	Phase3	M	30881	855	154765	744586	1159	50756	8080	1394	313	6627	15	18	133	87	23	96	22	177	12
BDX23611	349	Phase4	M	37776	969	135589	757158	881	48741	7210	1683	276	9160	18	17	126	89	26	105	22	146	9
BDX23612	349	Phase3	M	31344	1566	151789	747308	326	50295	7083	1494	150	8089	16	18	130	88	25	97	22	144	12
BDX23618	349	Phase4	M	41250	625	141691	752513	327	46311	4752	1177	111	10723	12	14	155	71	21	84	20	135	10
BDX23619	349	Phase3	M	33854	982	154653	731269	3240	40906	11363	2944	394	19754	41	19	127	100	29	153	23	141	8
BDX23623	349	Phase4	M	30004	740	151111	740488	3386	48420	11558	2028	246	11389	18	19	126	104	29	147	21	155	12
BDX23628	349	Phase4	M	29344	1020	136352	765764	223	49963	7702	1041	250	7773	14	18	120	94	22	98	22	169	10
BDX23636	349	Phase4	M	35278	677	147331	751334	150	47616	4718	1746	220	10151	21	19	184	83	30	105	21	308	10
BDX23637	349	Phase3	M	39332	707	142218	754974	230	43275	8113	834	325	9286	13	16	103	77	23	94	21	350	10
BDX23637	349	Phase3	M	29602	1788	148599	755094	233	44520	8395	1296	364	9356	14	19	106	84	30	213	22	254	10
BDX23641	349	Phase3	M	36998	771	129696	766819	412	45589	11076	1163	257	6720	10	18	100	88	24	85	21	143	9
BDX23645	349	Phase4	M	28220	758	146411	756309	206	48677	7578	1777	239	9292	16	17	119	85	23	106	21	136	9
BDX23646	349	Phase3	M	30432	1072	153918	747105	152	51151	5081	607	157	9730	12	16	171	86	20	102	21	154	12
BDX23647	349	Phase4	M	36488	1034	127923	768168	3105	47448	5091	1972	139	7964	16	18	154	80	23	107	18	243	11
BDX23648	349	Phase4	M	29847	839	141594	755028	6161	45384	10680	1864	225	7592	17	15	142	115	24	161	21	274	18
BDX23648	349	Phase4	M	32209	1005	139801	743145	5905	53060	13059	1936	282	8268	19	18	176	134	29	194	21	715	26
BDX23648	349	Phase4	M	30803	1964	143815	749877	5563	45666	11173	1787	249	8164	20	15	143	115	24	160	20	419	20
BDX23648	349	Phase4	M	36381	2392	157060	728401	4527	49201	11828	1846	222	7361	20	16	154	123	26	193	24	204	23
BDX23649	349	Phase4	M	29076	1369	147423	755973	117	47371	7448	1320	217	9163	16	16	120	83	21	85	22	144	15
BDX23654	349	Phase3	M	29813	622	147911	760114	807	46188	5283	1025	158	7371	12	18	151	74	25	107	21	292	8
BDX23656	349	Phase3	M	28534	710	152775	746978	4209	45866	7660	2339	267	10144	22	19	129	72	20	87	22	146	1
BDX23663	349		M	27796	797	142561	780446	3354	27947	4537	1777	220	10119	13	14	92	62	25	85	20	127	9
BDX23665	349	Phase3	M	28836	837	147109	758051	488	44864	5933	1771	164	11399	13	17	154	75	24	94	22	140	9

6. Rhyolites de Renaghju - données EDXRF

BDX	GroupeVerif	Na2O	MgO	Al2O3	SiO2	P2O5	K2O	CaO	TiO2	MnO	Fe2O3	Zn	Ga	Rb	Sr	Y	Zr	Nb	Ba	Pb
BDX21341	Pastini-Calavu	33676	648	114586	779546	231	53789	5371	1204	287	9938	12	17	264	33	26	136	16	213	8
BDX21341	Pastini-Calavu	37928	635	118371	773568	288	52770	5462	907	267	9062	12	16	261	33	27	135	16	234	8
BDX21341	Pastini-Calavu	26259	846	139353	769553	698	48583	4927	1089	260	7772	10	14	233	31	25	124	17	196	7
BDX21342	Pastini-Calavu	43344	1907	137518	759694	347	43306	5145	441	217	7370	10	17	199	35	34	131	16	262	8
BDX21342	Pastini-Calavu	27903	770	141518	758078	677	54269	5956	819	246	8899	12	18	269	39	37	147	18	315	10
BDX21342	Pastini-Calavu	26925	1762	140769	763532	418	51402	5403	972	241	7859	11	17	229	38	33	137	18	224	10
BDX21342	Pastini-Calavu	34371	2292	146481	753545	682	47167	5621	895	233	7990	11	17	215	39	37	135	19	241	9
BDX21342	Pastini-Calavu	29633	1652	145427	755903	744	52225	5037	899	221	7543	10	16	249	36	34	133	20	212	8
BDX21344	Pastini-Calavu	37693	1118	126378	755476	175	64145	4723	1278	180	8003	8	16	271	38	22	138	16	317	8
BDX21344	Pastini-Calavu	42703	948	129101	761499	210	50805	4822	1192	178	7843	8	17	245	38	23	133	17	212	7
BDX21344	Pastini-Calavu	38457	1069	129966	757822	224	54285	5514	1587	239	10037	11	18	259	41	25	140	17	283	8
BDX21344	Pastini-Calavu	28506	729	150062	753926	440	49597	5253	1279	217	9245	8	17	254	40	27	141	23	228	8
BDX21345	Pastini-Calavu	31949	1282	137826	763573	689	52772	4247	793	180	6033	8	15	252	32	25	116	21	182	6
BDX21345	Pastini-Calavu	29563	918	148925	748588	127	57175	5100	1030	231	7520	10	18	296	39	28	137	23	264	9
BDX21345	Pastini-Calavu	37160	1576	152857	742786	783	50649	4724	1288	231	7198	9	17	272	38	28	134	23	220	7
BDX21346	Pastini-Calavu	34344	1088	140226	726924	110	80143	6407	1101	243	8291	11	15	392	64	33	145	19	420	25
BDX21346	Pastini-Calavu	30136	892	144937	733872	699	72055	7169	1235	193	7944	14	18	334	49	37	149	20	232	15
BDX21346	Pastini-Calavu	30829	703	134104	747451	620	69754	7502	1362	195	6655	11	19	320	48	35	142	21	217	13
BDX21346	Pastini-Calavu	30401	1021	148409	736717	109	52201	9239	1215	386	19483	17	17	265	61	37	151	22	225	26
BDX21346	Pastini-Calavu	23454	1176	134605	731336	611	94558	6232	992	152	5908	11	17	422	53	34	143	22	250	24
BDX21346	Pastini-Calavu	35411	2175	148630	729439	121	71088	6272	606	126	5296	9	15	335	52	31	130	23	225	18
BDX21346	Pastini-Calavu	30052	1890	140901	726385	128	88586	5334	989	100	4778	7	15	388	44	31	121	23	215	14
BDX21347	Pastini-Calavu	30007	1303	147953	740010	679	61523	5565	1259	276	10596	15	19	300	36	32	139	20	258	10
BDX21347	Pastini-Calavu	30722	684	150020	730064	659	68256	5651	1420	280	11373	17	19	326	37	31	153	21	257	8
BDX21347	Pastini-Calavu	28149	655	145939	754235	628	50936	5602	1150	294	11495	16	18	295	34	31	140	21	354	9
BDX21347	Pastini-Calavu	34557	2281	153713	734002	713	56030	5324	1306	286	10995	15	17	295	35	30	140	22	229	8
BDX21347	Pastini-Calavu	28357	885	132591	754970	736	63294	5624	1279	294	11101	14	17	325	35	31	141	23	274	9
BDX21347	Pastini-Calavu	31121	2131	148721	742438	640	57067	5215	964	277	10600	15	18	298	33	32	137	23	262	8
BDX21350	Pastini-Calavu	33553	660	120986	782682	357	49066	4545	884	133	6296	9	15	257	35	25	125	17	344	9
BDX21350	Pastini-Calavu	26779	771	139679	759738	114	60813	4569	868	125	5823	8	16	278	36	27	127	20	201	8
BDX21350	Pastini-Calavu	25699	585	136811	767461	399	56490	4557	433	119	6520	10	16	281	37	24	126	21	404	9
BDX21350	Pastini-Calavu	27546	861	144038	764694	124	50277	4438	931	137	6240	10	16	267	36	24	121	22	213	7
BDX21351	Pastini-Calavu	25006	1406	146416	747606	126	57781	6209	1578	268	12680	17	17	291	39	31	147	19	348	15
BDX21351	Pastini-Calavu	31795	2680	143593	751754	332	50453	5891	1919	284	10487	12	16	285	37	31	135	23	261	12
BDX21352	Pastini-Calavu	33322	739	117756	778057	95	52565	4782	1566	234	10130	55	15	270	35	35	129	16	189	11
BDX21352	Pastini-Calavu	39115	746	125788	761757	221	54453	5307	1211	212	10442	13	17	278	35	34	135	17	205	14
BDX21352	Pastini-Calavu	34768	676	123269	757226	662	62588	6401	1280	227	11881	17	19	310	43	37	161	19	400	17
BDX21352	Pastini-Calavu	31530	773	121224	765682	268	61746	6533	1405	208	9727	15	17	301	41	34	152	20	308	16
BDX21353	Pastini-Calavu	28774	687	145181	750576	111	53245	5330	952	365	13984	14	16	231	36	41	130	18	298	11

BDX	GroupeVerif	Na2O	MgO	Al2O3	SiO2	P2O5	K2O	CaO	TiO2	MnO	Fe2O3	Zn	Ga	Rb	Sr	Y	Zr	Nb	Ba	Pb
BDX21353	Pastini-Calavu	29882	1664	145556	752568	552	48713	5545	831	365	13551	15	18	255	37	39	134	19	246	11
BDX21353	Pastini-Calavu	34533	810	150481	737475	120	55074	5567	503	388	14242	12	18	249	39	40	133	22	283	11
BDX21354	Pastini-Calavu	33077	807	144463	751638	565	55004	5178	1882	211	6342	10	17	275	39	24	134	19	307	9
BDX21354	Pastini-Calavu	33505	2069	123196	770538	482	56458	4947	1587	224	6185	10	17	288	38	26	134	20	267	9
BDX21354	Pastini-Calavu	33910	2029	146992	740065	687	61580	5446	1773	243	6453	11	17	296	39	24	134	20	270	10
BDX21354	Pastini-Calavu	34150	2135	129617	756345	197	64312	5380	1235	181	5567	8	18	308	39	24	141	21	314	10
BDX21354	Pastini-Calavu	34442	1410	151829	737984	664	54944	6024	827	259	10681	14	18	298	42	32	146	22	349	14
BDX21354	Pastini-Calavu	30687	1770	138045	763693	495	48605	5505	915	241	9330	11	16	259	35	32	126	22	200	12
BDX21354	Pastini-Calavu	32956	1723	123923	756537	374	68279	6042	1825	261	7154	12	20	337	45	28	158	24	291	11
BDX21354	Pastini-Calavu	34321	1716	117676	757991	295	68616	6579	2763	344	8610	15	24	397	51	35	185	27	342	14
BDX21356	RVF	43879	904	146939	743323	111	39313	12311	1228	342	10046	21	15	137	112	24	108	21	1154	12
BDX21356	RVF	32044	2428	153980	742490	171	40603	13471	1316	375	11409	24	15	146	120	25	113	23	1236	12
BDX21364	RVF	28397	856	145762	756896	174	46013	8243	889	435	11618	26	16	179	106	25	107	22	224	10
BDX21369	Pastini	27968	1581	140987	757228	630	59379	4834	19	263	6328	20	16	294	38	33	139	20	212	13
BDX21370	Pastini	34144	966	122901	770591	106	51376	6116	1184	337	10989	20	17	246	45	33	139	17	758	14
BDX21370	Pastini	32656	680	139087	765801	112	44033	5412	1011	289	9803	17	17	198	44	33	163	18	613	14
BDX21373	C	37113	1854	153349	757419	162	40227	1543	0	471	6926	80	37	549	4	21	76	52	108	8
BDX21373	C	39235	668	133040	769968	126	45320	1911	0	612	8031	100	43	641	4	25	104	57	104	10
BDX21375	Pastini	27185	642	140962	767018	108	51207	4926	124	272	6900	18	14	281	35	24	103	20	152	9
BDX21375	Pastini	27312	598	142549	757610	109	58305	5393	625	300	6552	16	14	291	37	23	95	21	142	9
BDX21398	RVF	41084	1147	128091	758121	150	43818	11666	1694	1094	12464	26	16	163	110	24	108	20	191	14
BDX21432	Pastini	31455	2172	139113	759201	137	48479	5593	1521	455	11221	19	16	235	35	28	138	20	153	10
BDX21432	Pastini	30614	2174	149272	742844	585	54061	6264	1339	379	11728	18	19	290	38	28	152	21	164	11
BDX21435	RVF	26951	705	142764	751966	110	56449	7624	1356	440	10949	29	15	180	95	22	100	22	210	12
BDX21448	Pastini	31879	669	122875	774687	218	53598	6376	788	310	7931	17	16	272	35	23	135	16	127	30
BDX21448	Pastini	31705	632	121900	777266	598	51919	6350	886	315	7803	16	15	275	33	23	101	17	117	29
BDX21449	RVF	27659	783	144608	749269	137	47195	13175	1676	505	14171	31	18	156	134	31	121	21	287	23
BDX21451	RVF	44508	1249	131670	753468	147	45806	8658	1370	495	11932	27	17	199	109	24	105	21	187	10
BDX21468	RVF	30069	1027	152361	741291	154	46069	11866	2466	420	13564	25	16	190	110	25	120	24	187	18
BDX21469	RVF	39045	687	125320	762474	105	40547	17171	1404	527	12166	28	14	128	95	21	88	21	147	12
BDX21470	Pastini	41313	665	138329	752136	278	51596	5830	1309	268	7586	12	15	269	33	28	133	20	174	5
BDX21472	RVF	33090	998	126435	773025	152	42742	10966	1221	351	10319	22	15	144	108	24	103	16	256	14
BDX21472	RVF	34822	708	123461	774360	274	43531	10813	528	355	10089	23	15	145	112	26	105	20	599	13
BDX21474	Pastini	41215	672	130460	760136	228	50245	5873	954	283	9006	28	12	243	56	29	123	17	400	19
BDX21474	Pastini	25881	684	119231	774420	232	62640	5716	709	241	9257	31	14	285	57	34	137	21	396	15
BDX21481	Pastini	42969	579	136347	746834	464	57488	5238	1387	245	7785	16	16	271	34	29	130	18	142	9
BDX21481	Pastini	28801	662	118398	773065	103	62711	5370	1335	259	8596	16	16	310	33	29	127	19	141	8
BDX21484	H	32879	813	133415	769648	106	51275	2296	0	231	8253	44	36	651	6	64	98	49	122	15
BDX21484	H	45600	798	132632	759792	271	48901	2451	0	241	8247	43	34	638	6	66	98	50	120	13

BDX	GroupeVerif	Na2O	MgO	Al2O3	SiO2	P2O5	K2O	CaO	TiO2	MnO	Fe2O3	Zn	Ga	Rb	Sr	Y	Zr	Nb	Ba	Pb
BDX21487	Pastini	28632	2248	145552	753372	118	51597	5783	1306	347	10330	18	17	218	51	30	143	22	202	12
BDX21488	C	32410	599	121160	781292	659	50328	2718	0	182	9612	56	32	618	1	35	103	51	107	36
BDX21494	RVF	28003	3853	130204	770682	230	41694	8436	1920	510	13715	40	16	165	80	29	116	21	267	17
BDX21495	RVF	32801	1612	132923	760676	144	44255	12441	236	579	12961	37	16	169	101	26	118	18	877	11
BDX21495	RVF	30144	789	152688	746037	125	44853	11302	204	704	12290	35	15	165	95	25	111	22	384	10
BDX21497	RVF	36532	671	146333	772232	329	26867	7246	947	274	7830	14	14	114	104	20	99	19	349	7
BDX21497	RVF	38936	1869	150649	767698	299	22570	7585	66	262	9433	16	16	109	106	27	95	21	237	8
BDX21497	RVF	37432	1341	152738	768583	773	23042	7125	161	269	7918	14	15	104	110	23	92	21	232	7
BDX21504	RVF	27666	1654	128731	772220	231	43613	12679	1072	435	10927	27	15	162	107	27	108	20	291	15
BDX21504	RVF	37098	773	123723	770174	104	42820	12397	1132	404	10692	26	14	158	105	26	103	22	218	12
BDX21505 trop fin	RVF	36798	882	122874	770526	135	42009	11829	1506	557	12313	31	14	124	105	25	98	18	140	17
BDX21508	RVF	25551	655	123599	778377	125	45125	11601	1201	416	12071	28	17	154	112	27	110	20	793	16
BDX21511	Pastini	28144	1100	127511	760313	238	61509	8060	1564	325	10360	29	16	303	58	39	151	19	235	25
BDX21511	Pastini	34878	669	148746	733911	116	59849	8891	1411	351	10427	27	14	280	56	36	144	23	153	17
BDX21513	Pastini	46351	847	124139	753029	121	57537	6158	1445	330	9311	19	18	276	37	37	147	19	168	11
BDX21513	Pastini	27392	755	142348	753810	140	57641	5494	1369	319	10008	20	17	275	33	34	137	21	180	8
BDX21515	RVF	33359	908	122383	771439	188	43570	12109	1461	465	13438	26	16	130	107	27	107	18	226	22
BDX21515	RVF	43781	832	121288	763583	194	44172	11661	1359	373	12107	23	16	138	104	26	103	20	201	18
BDX21521	D	45569	2245	146823	743514	657	47572	7151	0	361	5516	13	18	261	11	30	52	17	157	31
BDX21521	D	31481	1245	149967	753886	690	49405	6378	0	396	5938	16	18	265	10	41	64	19	153	30
BDX21521	D	28572	1857	150658	755439	619	49165	6976	0	372	5753	12	19	259	11	34	64	21	137	31
BDX21524	RVF	28688	1321	143479	760410	137	38963	11862	1995	349	12146	20	14	138	114	22	115	21	195	12
BDX21527	RVF	37547	613	141750	764844	269	37619	5987	955	354	9383	24	13	122	82	24	97	21	284	14
BDX21527	RVF	45291	1011	146779	751512	745	38045	5748	840	344	8999	24	13	121	81	24	96	21	294	13
BDX21529	H	44919	1771	139579	760408	604	44881	1573	0	237	5126	24	26	502	4	53	112	47	123	12
BDX21529	H	33118	726	124258	787459	416	45398	1630	0	242	5807	27	29	529	4	61	125	49	108	13
BDX21529	H	29566	2214	147026	762348	128	49144	1841	0	288	6439	34	30	561	5	58	130	57	115	16
BDX21533	Pastini	28275	602	141356	750591	238	60893	6761	713	285	9323	23	12	293	58	34	147	21	356	18
BDX21541	RVF	39081	739	128667	761966	115	42043	12717	1882	364	11762	27	15	152	111	20	109	18	195	16
BDX21545	Pastini	37893	678	133380	769550	169	45637	4518	129	338	7065	16	14	233	29	26	123	16	176	10
BDX21545	Pastini	31466	1551	143155	764173	241	49164	4642	0	228	4716	11	15	250	32	27	129	21	170	10
BDX21545	Pastini	30571	1447	143610	764953	170	47173	4921	0	329	6177	13	14	230	31	29	128	21	173	10
BDX21560	Pastini	33947	646	140474	756513	201	42944	11145	1402	399	11669	35	18	250	42	36	114	18	114	32
BDX21560	Pastini	30538	2320	144687	753180	113	52977	5580	791	352	8730	28	15	276	29	35	160	21	133	35
BDX21561	RVF	27275	790	142792	759003	216	46654	9765	0	387	11485	26	14	174	118	25	103	22	1135	14
BDX21561	RVF	29217	1196	141083	756987	179	47023	11028	0	375	11239	26	15	178	121	26	105	22	1164	15
BDX21574	RVF	30355	657	143029	753655	266	45320	12087	1053	471	12269	26	17	156	113	28	111	21	353	15
BDX21578	I	31995	1795	138653	741938	124	61817	2507	1475	379	18371	34	19	281	21	75	384	19	108	4

BDX	GroupeVerif	Na2O	MgO	Al2O3	SiO2	P2O5	K2O	CaO	TiO2	MnO	Fe2O3	Zn	Ga	Rb	Sr	Y	Zr	Nb	Ba	Pb
BDX21578	I	29043	7636	131127	743398	162	64538	2429	2266	374	18118	37	20	295	23	68	311	22	129	4
BDX21579	RVF	43424	2476	135248	747281	593	46708	9714	1225	361	11367	27	16	181	107	27	109	20	1105	13
BDX21579	RVF	28229	1135	135625	762974	362	48912	8637	687	379	11313	29	16	188	112	28	112	23	1221	17
BDX21582	Pastini	27485	679	139771	748825	104	65445	5955	1440	346	9154	28	19	308	39	37	157	19	227	14
BDX21582	Pastini	33683	1148	152778	746319	112	50120	5332	668	375	8752	26	15	243	34	31	123	21	208	11
BDX21585	Pastini	40984	963	123708	759477	173	59015	5375	1140	234	8207	11	17	265	37	31	137	16	205	7
BDX21585	Pastini	28055	1902	145842	758587	732	50452	4832	1189	195	7519	12	15	255	37	29	132	22	185	7
BDX21587	RVF	28581	667	143894	744662	111	64386	3202	1228	315	11079	21	14	240	103	27	116	21	1322	10
BDX21587	RVF	27455	680	142510	748495	107	62876	3195	1415	322	11141	21	14	239	103	27	114	21	1254	10
BDX21587	RVF	27509	696	137950	750197	108	65558	3327	1479	314	11084	19	13	247	105	26	115	22	1220	10
BDX21589	K	26944	2017	125313	779804	119	44699	13635	961	239	5213	14	14	160	125	24	124	19	556	20
BDX21589	K	38682	614	141001	757832	137	41599	13056	642	233	4940	13	14	149	119	23	107	21	800	18
BDX21596 (fracture)	L	30531	905	143400	754827	3451	48659	8597	1101	247	7490	14	16	166	61	15	80	20	405	16
BDX21596 (fracture)	L	28991	2790	151342	743744	4712	48542	9600	886	217	8190	15	15	177	65	16	96	23	563	16
BDX21596 (surf polie)	L	30110	1166	129965	761550	770	56384	9262	493	188	9254	20	16	190	68	16	87	19	423	19
BDX21596 (surf polie)	L	28399	1214	132792	756509	1236	57352	9772	585	209	10782	20	17	193	70	17	91	21	702	20
BDX21597	N	29210	1024	134279	744647	130	70336	5333	921	414	11820	35	18	314	85	34	188	23	1177	12
BDX21597	N	30138	1458	151363	707991	313	90013	5955	1290	357	9787	26	18	348	79	31	182	23	615	11
BDX21597	N	27553	680	124662	726742	261	98592	7591	2144	387	10015	31	16	380	85	31	146	24	646	15
BDX21606	RVF	35546	854	152767	741738	289	43287	5465	1792	367	17176	32	16	203	93	19	112	23	212	9
BDX21606	RVF	36294	1403	134756	759912	213	35476	7070	1848	378	21730	38	17	185	106	23	124	24	393	9
BDX21606	RVF	30710	1182	151536	739202	270	43597	6640	1811	422	23850	38	16	213	100	20	118	24	240	10
BDX21608	Pastini	39350	807	124350	773758	162	47669	5546	854	249	6619	14	13	298	34	30	99	18	116	14
BDX21608	Pastini	38569	623	134480	765830	240	45863	5173	846	262	7449	15	14	292	34	29	117	20	122	24
BDX21608	Pastini	34603	737	125217	777052	237	48003	5540	757	257	6924	16	14	315	36	31	104	21	123	14
BDX21609	E	39127	2228	148386	759040	191	41320	1626	0	279	6943	18	35	439	26	39	119	45	111	28
BDX21609	E	38475	1998	133269	789734	120	28964	1248	0	205	5244	13	25	304	18	72	122	53	121	14
BDX21609	E	41599	2051	138704	774212	581	34558	1512	0	246	5746	15	27	330	19	79	127	54	125	14
BDX21612	H	34569	668	128385	783359	100	43622	1825	0	196	6348	34	31	546	4	48	108	44	101	13
BDX21612	H	37596	752	131423	778263	92	41835	1742	0	223	7139	40	33	553	4	42	90	46	106	22
BDX21612	H	43177	1739	133696	764426	628	44367	1829	0	260	8819	51	38	600	6	57	116	51	120	20
BDX21612	H	26876	1505	140879	765033	623	54767	2170	0	215	6841	36	32	635	5	62	133	53	115	21
BDX21612	H	41122	650	134780	764736	135	45910	1939	0	275	9364	54	40	628	5	57	107	55	123	19
BDX21612	H	34671	1840	125381	781075	686	45893	1945	0	231	7223	38	32	584	5	67	111	57	133	27
BDX21612	H	35585	611	133826	771500	508	47032	1844	0	232	7748	40	33	608	6	89	155	58	106	21

BDX	GroupeVerif	Na2O	MgO	Al2O3	SiO2	P2O5	K2O	CaO	TiO2	MnO	Fe2O3	Zn	Ga	Rb	Sr	Y	Zr	Nb	Ba	Pb
BDX21614	Pastini	36742	637	134893	764913	653	46766	5987	839	293	7663	26	15	260	30	32	98	17	115	20
BDX21614	Pastini	44840	2287	148053	744980	696	41654	6682	1159	333	8721	27	15	243	33	31	93	22	110	19
BDX21615	N	35938	735	122990	772006	435	52731	5300	675	311	8009	21	17	245	75	30	156	18	296	10
BDX21615	N	43231	636	143025	746793	703	48581	5045	566	297	10080	21	16	228	71	31	132	18	518	9
BDX21615	N	45946	687	148027	743125	735	47555	4449	0	345	8282	17	13	210	67	25	125	20	364	8
BDX21615	N	29058	709	149719	748326	728	48461	9935	620	387	11176	20	17	216	75	32	131	22	357	10
BDX21616	Pastini	37970	741	132050	757184	675	50116	12739	328	240	7288	17	18	233	58	25	138	21	147	12
BDX21619	RVF	29023	932	143785	759228	105	43002	11038	1258	390	10569	24	13	141	99	26	92	20	243	12
BDX21619	RVF	43145	1647	131472	751129	152	47237	10932	1430	415	11580	29	14	159	108	29	108	22	378	15
BDX21624	Pastini	31772	1017	125499	770589	157	52406	5349	1321	336	10908	21	17	273	35	28	138	16	112	8
BDX21624	Pastini	34856	995	122229	774193	170	50724	5434	1216	332	9205	18	16	264	35	27	135	17	127	8
BDX21625	Pastini	27988	1517	141374	760469	715	56017	5239	0	295	5688	13	14	295	33	20	130	21	155	17
BDX21625	Pastini	33639	1429	144542	752242	742	52869	5409	642	387	7430	20	14	293	32	19	111	22	141	17
BDX21627	RVF	28227	711	148018	749366	282	51009	11799	784	310	8674	38	13	182	122	28	108	22	294	14
BDX21627	RVF	29139	724	149407	745920	496	50957	11395	724	340	9959	22	14	182	121	26	106	22	431	14
BDX21627	RVF	29246	870	149912	742376	124	53994	12269	850	321	8788	22	13	192	124	29	112	23	720	15
BDX21630	G	26871	1777	135383	758158	141	51642	1945	1591	41	21377	10	23	261	4	68	571	30	95	13
BDX21630	G	26928	858	136826	760146	100	48488	1869	1624	197	21789	10	23	250	4	82	661	32	99	14
BDX21630	G	38225	699	128813	756105	132	48129	2066	1597	703	22389	10	23	241	4	80	635	34	102	13
BDX21630	G	28608	559	129839	766817	120	47912	1822	1433	135	21544	10	21	237	4	92	692	35	107	12
BDX21631	RVF	43111	843	145394	741636	115	41487	12731	1204	414	11386	18	16	143	127	25	125	20	1191	14
BDX21631	RVF	30693	699	144105	760618	176	36420	12017	1635	413	11736	22	14	137	118	22	104	21	1041	13
BDX21631	RVF	46241	835	147902	736571	161	41482	12286	1500	408	10965	17	15	146	122	24	121	22	1170	14
BDX21631	RVF	28611	1200	152503	744403	165	43563	13219	1856	418	12357	25	16	152	124	24	108	23	1219	15
BDX21632	Pastini	28606	850	143031	756574	111	56029	5888	1095	253	6828	17	14	312	40	34	142	19	143	12
BDX21632	Pastini	30240	956	152197	749001	277	54089	6534	0	217	5648	11	14	313	45	36	130	21	259	13
BDX21632	Pastini	27974	905	146592	760188	259	50267	6522	267	249	5956	13	15	299	43	29	123	22	266	12
BDX21633	Pastini	30816	1277	153426	740234	112	52657	6995	2222	420	10997	24	20	298	48	37	143	21	241	12
BDX21633	Pastini	31757	697	145365	759018	120	47597	5418	1590	295	7464	17	15	253	38	32	107	22	185	10
BDX21633	Pastini	36270	1667	125468	760265	140	56772	6151	1050	397	10892	23	17	303	41	34	129	22	347	12
BDX21636	Pastini	30593	645	147399	742871	107	58996	6129	1103	407	11002	28	17	308	41	36	125	21	158	13
BDX21636	Pastini	29791	675	145176	744550	110	60849	5855	953	400	10871	30	15	303	39	33	158	22	156	14
BDX21637	RVF	27831	809	140101	760725	136	41333	14631	1981	371	10425	24	16	126	124	31	136	20	1168	12
BDX21637	RVF	33392	1613	140364	759777	137	40417	12859	1685	364	7790	21	15	113	121	26	134	21	1140	12
BDX21637	RVF	29462	1215	154145	734666	181	47124	16493	2361	399	12133	26	18	146	145	32	160	22	1260	14
BDX21637	RVF	30779	822	156022	732920	144	47190	16061	2236	417	11577	28	18	144	147	29	158	22	1272	14
BDX21640	RVF	39348	977	126850	791452	168	24982	5684	277	344	8759	24	14	101	112	25	106	18	250	9
BDX21640	RVF	36643	861	147496	776679	184	22626	5723	0	336	9293	23	13	94	110	24	101	21	266	8
BDX21644	Pastini	37112	790	124995	752769	391	64491	5933	1866	426	10543	23	17	287	37	27	109	17	158	10

BDX	GroupeVerif	Na2O	MgO	Al2O3	SiO2	P2O5	K2O	CaO	TiO2	MnO	Fe2O3	Zn	Ga	Rb	Sr	Y	Zr	Nb	Ba	Pb
BDX21644	Pastini	25788	717	128610	767455	385	58638	5281	1428	425	10532	23	17	290	37	30	159	17	158	10
BDX21644	Pastini	28462	749	141128	764709	188	52905	5036	0	260	5828	14	14	269	36	28	98	21	247	9
BDX21646	Pastini	26351	688	124531	760640	99	67298	6759	1724	352	10714	38	16	318	56	36	176	21	149	34
BDX21649	Pastini	27189	676	131466	756481	122	66929	5361	1320	320	9305	27	17	288	45	36	139	22	240	16
BDX21649	Pastini	27353	692	133040	756988	104	65565	4998	1026	303	9001	27	15	253	44	36	137	23	380	16
BDX21655	RVF	32267	1166	136532	755296	227	43949	12735	1384	717	14661	39	17	149	107	30	115	21	569	19
BDX21655	RVF	31834	667	151462	727892	259	49881	15798	1753	819	18419	47	20	182	132	35	141	21	611	27
BDX21663	RVF	27439	659	145024	750065	106	49793	13233	1044	387	11296	25	18	191	122	28	122	20	411	16
BDX21663	RVF	29919	1022	148135	746061	113	49605	12639	557	383	10498	25	18	190	119	30	123	21	526	15
BDX21671	Pastini	28999	609	133060	754138	374	64989	5866	1017	296	9777	24	15	268	45	33	121	21	331	16
BDX21674	RVF	32587	801	123389	772978	101	44478	11202	231	476	12175	27	15	177	105	26	107	20	1094	12
BDX21674	RVF	34424	723	122292	772099	378	44586	11143	233	452	12083	25	15	173	103	27	105	21	1107	12
BDX21686	RVF	33747	1118	127502	764313	114	43262	14091	1880	415	12711	25	16	164	123	24	129	17	333	18
BDX21686	RVF	27729	1932	145869	754989	203	42175	13357	1535	374	10638	22	16	162	117	22	119	22	706	15
BDX21687	Pastini	26597	1969	133088	762345	219	56092	7991	832	263	9941	12	15	236	44	34	130	17	163	10
BDX21687	Pastini	36437	672	122705	763796	103	60344	6165	893	213	7894	19	15	261	43	34	139	21	232	14
BDX21701	RVF	42365	1291	127503	758597	156	44060	11587	1269	480	12071	25	16	154	105	25	97	21	165	14
BDX21702	RVF	36398	1655	142143	756799	109	42031	6469	1394	408	11769	28	15	190	101	20	103	18	343	7
BDX21702	RVF	39963	1966	147688	733975	156	42438	11804	1873	560	18658	28	19	219	102	38	118	20	366	8
BDX21702	RVF	29087	878	138572	743416	141	66753	5564	1369	524	12744	25	13	272	87	24	126	22	374	9
BDX21702	RVF	29064	1610	138504	740858	104	61591	7407	1759	741	17378	30	15	261	90	27	134	23	396	8
BDX21707	Pastini	33933	728	123413	763650	208	55364	10057	1438	306	10245	26	15	233	52	33	126	16	143	15
BDX21710	Pastini	25276	733	134751	777102	144	47694	2732	1248	296	9378	22	16	267	36	34	127	17	114	13
BDX21710	Pastini	27157	1435	135854	769133	211	50978	3013	1133	314	10060	23	15	286	40	29	129	17	161	12
BDX21710	Pastini	39915	698	138428	759725	243	48532	2804	1072	233	7711	18	14	275	37	25	122	20	116	12
BDX21717	RVF	28471	816	146445	754821	302	45763	9900	1037	398	11276	26	16	173	111	29	115	22	265	13
BDX21717	RVF	31561	1945	148651	748702	269	45744	9531	928	402	11531	26	16	170	107	27	111	23	242	13
BDX21720	RVF	35412	1393	132203	756606	103	45170	12251	1220	570	13451	30	17	168	109	28	115	18	1106	29
BDX21720	RVF	32206	717	157460	745805	127	42174	8705	484	431	10868	24	15	147	96	26	101	21	578	15
BDX21722	RVF	28178	712	130630	769142	161	53127	5530	816	394	9424	23	12	275	124	22	106	22	1288	14
BDX21722	RVF	27092	1097	129763	770074	104	56559	4340	0	386	8739	23	11	273	124	23	107	22	1251	12
BDX21722	RVF	28165	979	128750	770714	108	55704	4440	36	384	8826	26	12	277	125	20	107	22	1292	12
BDX21722 cortex	RVF	30389	996	154247	725582	753	49521	15471	934	684	19462	31	21	316	132	34	144	24	1250	11
BDX21722 cortex	RVF	30521	1108	152522	723398	501	48501	15851	2403	835	22995	34	23	318	128	40	176	25	609	12
BDX21722 cortex	RVF	31407	1189	139130	738538	332	47815	14726	1990	746	22798	31	22	303	133	41	207	25	554	12
BDX21729	RVF	35584	778	121948	764950	333	50436	11958	323	397	12446	25	17	205	129	26	116	19	299	12

BDX	GroupeVerif	Na2O	MgO	Al2O3	SiO2	P2O5	K2O	CaO	TiO2	MnO	Fe2O3	Zn	Ga	Rb	Sr	Y	Zr	Nb	Ba	Pb
BDX21729	RVF	37531	705	121607	766406	359	49076	11353	358	373	11277	24	17	195	126	25	114	20	420	14
BDX21729	RVF	40094	652	141350	746414	342	46230	11508	164	383	11700	24	17	174	117	24	107	21	664	15
BDX21731	C	33438	890	134645	775246	126	45075	2762	0	244	6663	52	31	504	3	31	96	50	111	35
BDX21732	RVF	27792	624	144821	749740	344	47604	12939	1365	557	13512	28	18	177	112	29	114	22	189	13
BDX21734	RVF	29700	1270	137057	749137	119	44691	19070	1807	863	19502	46	20	173	119	30	123	21	234	20
BDX21740	RVF	28518	834	145186	743011	189	59117	7917	929	514	12851	33	14	251	103	27	109	22	363	13
BDX21741	RVF	28945	2251	143005	755085	157	45923	11469	1113	410	11017	23	14	172	120	24	100	21	138	12
BDX21741	RVF	31394	724	143097	749361	120	47107	12953	902	454	12819	26	16	174	131	26	110	22	547	15
BDX21742	H	38259	1593	152258	755160	774	40720	2118	0	239	7939	39	35	542	5	48	108	52	103	8
BDX21742	H	39824	706	146151	758813	717	42856	1842	0	220	7910	38	36	560	4	50	113	53	100	8
BDX21748	F	25789	1717	132490	763449	135	45990	1603	1298	212	25958	30	22	230	3	115	769	33	123	33
BDX21748	F	24609	560	125987	764433	91	54214	1773	1315	168	25494	35	23	267	4	109	733	34	121	32
BDX21748	F	33610	834	135737	749233	101	45606	1610	1483	224	30176	33	23	227	4	118	795	34	118	35
BDX21749	RVF	31813	1510	127692	769166	126	44043	12295	1388	349	10873	24	16	163	111	27	107	18	268	12
BDX21749	RVF	43575	773	124448	762268	116	45763	11890	0	332	9463	23	14	164	112	27	107	21	892	13
BDX21752	Pastini	37276	726	147077	745545	114	50013	7118	2074	669	8604	16	19	273	47	38	216	18	143	13
BDX21752	Pastini	42726	611	123443	753888	285	59902	6375	2306	388	9195	23	18	298	42	36	186	19	246	14
BDX21752	Pastini	28797	785	141509	758900	120	54534	5137	967	776	7825	16	14	284	37	29	92	21	146	11
BDX21753	Pastini	28082	1288	142416	757789	117	56860	5398	124	278	6938	17	15	291	37	25	103	22	190	10
BDX21755	C	30623	2228	152953	750609	157	51795	3076	0	244	7284	42	34	600	2	30	102	58	124	40
BDX21755	C	42019	2348	154607	739129	149	49347	3189	0	203	7947	46	35	605	2	32	118	58	127	39
BDX21755	C	29144	1974	152640	749135	173	53545	3253	0	263	8669	52	40	694	2	30	141	64	137	46
BDX21763	H	39448	638	147569	751165	459	47693	1916	0	335	9793	39	40	586	5	48	94	51	113	6
BDX21763	H	38832	2218	135390	766099	688	44890	1744	0	321	8840	36	37	569	4	53	111	52	109	7
BDX21768	RVF	29849	891	150253	744982	118	46558	12072	1490	469	12675	30	16	174	103	26	102	23	154	12
BDX21773	RVF	34821	1041	141826	748669	160	45666	11439	1568	612	13334	32	16	176	113	27	114	21	351	13
BDX21773	RVF	29046	753	148803	748439	303	45180	11243	1607	592	13314	31	17	170	116	29	115	23	206	13
BDX21774	RVF	28031	781	126879	761904	170	65150	5556	15	359	9316	28	13	258	86	24	101	21	1295	11
BDX21774	RVF	28350	690	127170	764303	247	61316	5484	0	382	10322	29	15	250	85	24	102	22	1203	8
BDX21776	Pastini	35298	1911	124596	776818	275	47594	5050	541	357	6825	17	17	252	38	31	133	17	219	12
BDX21776	Pastini	27031	1912	119453	782216	175	54855	5066	770	303	7415	22	18	272	38	32	142	17	248	14
BDX21778	RVF	33372	848	126484	768573	240	43167	11671	1325	477	12942	31	17	138	114	29	109	19	422	22
BDX21780	RVF	41542	1229	124821	748215	112	53988	12536	1272	400	14246	27	18	181	129	28	122	17	1097	20
BDX21780	RVF	29473	2190	142637	756830	161	46207	9432	41	353	11065	23	15	163	110	25	104	22	1138	11
BDX21783	RVF	28551	1000	141204	752155	162	47290	11849	1619	617	14829	32	17	192	125	27	115	19	182	15
BDX21783	RVF	28779	634	146012	744732	107	49481	12429	1327	617	15029	30	18	204	133	32	127	21	274	16
BDX21868	Pastini	38359	700	139063	752669	152	54630	4438	0	299	8812	19	17	277	32	31	136	17	336	12
BDX21868	Pastini	28225	1859	142805	764240	152	48991	5072	49	221	7501	16	17	225	35	32	147	19	380	11
BDX21868	Pastini	38684	625	139591	755534	276	50444	4658	0	267	9042	17	17	249	35	30	142	19	360	11

BDX	GroupeVerif	Na2O	MgO	Al2O3	SiO2	P2O5	K2O	CaO	TiO2	MnO	Fe2O3	Zn	Ga	Rb	Sr	Y	Zr	Nb	Ba	Pb
BDX21868	Pastini	28877	728	145125	741922	127	65536	5333	1958	289	9256	19	16	307	32	32	143	21	269	11
BDX21869	RVF	46746	784	136868	727109	124	54714	9207	3225	375	19307	60	21	223	121	25	268	20	776	26
BDX21869	RVF	42225	741	142928	729048	128	53086	8625	3547	370	18139	54	21	219	119	26	261	21	419	26
BDX21871	Pastini	40744	626	142666	752648	111	47018	4920	1085	273	9329	20	15	224	32	29	123	18	110	9
BDX21871	Pastini	32612	869	127524	771496	132	49536	5020	838	370	10943	28	17	249	34	29	129	19	145	11
BDX21875	Pastini	38059	752	122220	769935	96	54074	4790	258	288	8785	18	15	247	32	29	136	17	240	11
BDX21875	Pastini	26398	876	139193	771747	158	47329	4839	0	289	8400	18	15	237	33	31	138	19	268	11
BDX21875	Pastini	44440	703	123814	761353	229	53656	4969	0	330	9779	20	16	258	33	30	134	20	205	11
BDX21879	J	42687	2291	133683	739272	199	46903	13818	2363	1375	16605	71	14	226	97	19	100	20	222	35
BDX21886	Pastini	25937	734	124383	751904	266	70143	11534	870	318	12849	35	16	336	71	39	211	19	314	21
BDX21886	Pastini	32588	599	139499	726450	642	81739	6712	736	263	9747	28	15	365	63	37	152	22	325	19
BDX21888	Pastini	32243	2404	149209	735618	712	65784	6201	0	283	6577	13	17	326	46	36	129	20	371	12
BDX21888	Pastini	34525	2242	135069	757446	654	55586	5032	127	323	8082	19	15	288	38	28	102	22	394	10
BDX21888	Pastini	34961	2183	133386	753412	626	58606	4833	20	391	10780	24	16	289	36	29	105	23	271	10
BDX21888	Pastini	36230	1839	138468	746512	660	56577	5329	895	423	12276	26	17	299	39	29	105	23	243	11
BDX21890	RVF	37574	1442	129573	760492	150	43964	13490	1921	319	10164	19	16	162	125	22	114	20	416	17
BDX21890	RVF	43508	780	150105	742921	245	37898	12203	1676	310	9466	19	14	139	116	20	97	21	449	13
BDX21892	M	43218	657	147822	754493	116	41338	2386	379	133	8783	38	20	229	27	37	163	29	118	13
BDX21892	M	35011	699	123399	783642	276	45297	2449	0	166	8337	24	22	255	29	40	186	32	126	10
BDX21892	M	33956	748	126271	778057	104	47736	2653	0	233	9473	29	23	276	30	44	197	38	120	13
BDX21903	RVF	29246	1992	142927	761699	197	37928	9286	1543	397	13977	45	19	208	100	27	110	20	272	8
BDX21903	RVF	29449	736	148208	754231	113	40840	7884	1458	360	15750	32	20	245	94	32	127	22	392	8
BDX21905	RVF	40571	886	124321	765318	162	41727	11863	1499	500	12544	27	16	125	103	28	105	21	169	15
BDX21910	C	40131	2268	146353	754906	130	46018	2540	0	203	6547	42	27	497	1	36	105	50	108	37
BDX21910	C	37583	887	129065	774155	129	46994	2917	0	229	7077	44	31	536	1	36	108	51	120	38
BDX21911	RVF	29771	667	140018	729509	497	75066	8151	1661	546	12713	31	12	272	78	21	119	23	833	9
BDX21911	RVF	33547	2192	148075	726711	363	68806	5606	1427	416	11079	27	13	262	82	20	113	24	1229	8
BDX21911	RVF	30861	782	146440	730435	363	71806	6501	1059	401	9535	25	13	277	84	22	123	24	1239	10
BDX21913	RVF	37853	804	120914	772310	196	45206	10420	338	391	10931	26	16	174	100	24	107	20	163	7
BDX21913	RVF	26133	1396	132508	772884	189	44448	9663	649	399	11120	26	16	174	99	22	103	21	142	7
BDX21914	RVF	40387	907	123862	762466	165	45999	10552	1497	515	12926	28	16	164	113	27	112	20	222	19
BDX21915	RVF	37392	1415	128578	752906	119	51620	10510	1715	519	14509	32	16	180	134	27	110	19	172	29
BDX21916	RVF	31986	2072	146749	750151	177	45460	9384	687	428	11747	24	16	154	114	26	107	22	681	16
BDX21919	Pastini	26750	1714	141654	754263	705	62254	6000	449	246	5207	13	16	301	33	33	115	18	192	34
BDX21919	Pastini	37812	2073	142926	762808	721	41601	5742	145	247	5311	15	15	233	25	29	105	21	152	19
BDX21925	RVF	41997	878	133134	753892	106	40653	10739	1053	387	15566	44	19	227	108	33	117	20	1018	9
BDX21925	RVF	37642	1225	136571	751075	113	39829	10338	1697	358	19588	35	20	249	101	28	119	20	1033	9
BDX21925	RVF	27614	678	135180	760652	143	46554	8530	1444	362	16907	30	19	273	95	35	142	20	1313	9
BDX21925	RVF	31705	1070	133935	759776	117	46219	8314	1635	361	15050	33	20	267	102	34	141	20	1190	9

BDX	GroupeVerif	Na2O	MgO	Al2O3	SiO2	P2O5	K2O	CaO	TiO2	MnO	Fe2O3	Zn	Ga	Rb	Sr	Y	Zr	Nb	Ba	Pb
BDX21926	Pastini	28814	671	145777	747727	335	56378	5996	1602	322	11363	22	18	272	47	36	155	19	430	16
BDX21926	Pastini	26772	718	142264	750686	492	58576	6000	1349	348	11079	19	18	284	49	30	142	20	1138	16
BDX21926	Pastini	31227	631	148286	746310	326	54060	5432	1465	309	10832	19	16	236	46	35	156	21	581	13
BDX21926	Pastini	31185	767	151195	747908	116	51009	5120	1343	299	10265	21	15	204	43	33	134	23	309	14
BDX21935	Pastini	26584	608	120893	780828	127	52439	5573	1790	330	10138	20	16	277	32	25	141	16	152	11
BDX21935	Pastini	29391	981	123286	779054	121	49156	5661	1542	309	9762	19	16	272	33	25	141	19	204	10
BDX21939	Pastini	31713	742	121242	773145	227	54940	6002	1140	303	9771	22	17	245	34	33	143	17	252	11
BDX21939	Pastini	39189	575	118906	768318	676	55280	5415	1047	303	9557	22	16	261	31	33	135	18	205	10
BDX21940	Pastini	30476	1097	140174	744732	528	66779	4648	1242	299	9214	16	15	267	43	34	138	22	265	11
BDX21940	Pastini	32255	1131	145655	736524	596	68512	4307	1151	268	8707	18	15	278	42	34	146	23	327	11
BDX21945	Pastini	28903	632	120670	751984	359	76028	6673	1720	533	11599	37	19	319	52	36	158	18	229	29
BDX21945	Pastini	27259	621	136682	757048	419	61571	5096	854	289	9190	31	15	317	49	33	134	21	348	23
BDX21945	Pastini	29315	848	138842	751270	604	62351	5501	1273	306	8907	29	16	301	48	33	132	21	188	19
BDX21964	Pastini	39744	657	124323	761884	255	52980	7218	1669	317	10318	22	16	212	49	31	135	17	143	11
BDX21984	Pastini	30455	591	121426	756464	151	74242	6507	431	258	8495	22	12	321	55	32	125	20	373	20
BDX21984	Pastini	27829	794	122228	756772	98	72571	7585	581	281	10356	22	13	320	62	36	141	21	270	19
BDX21990	Pastini	26704	625	136805	761338	101	57435	5027	1445	278	9560	15	14	291	26	31	139	21	137	9

7. Rhyolites de Renaghju - Résultats complets (EDXRF et macroscopiques)

BDX	GroupeVerif	Analyses	Num. Id.	Unité Strati
BDX21355	Pastini	Id. Visuelle	9698	US278 V30
BDX21356	RVF	EDXRF	10063	US278 T33
BDX21357	RVF	Id. Visuelle	10064	US278 T33
BDX21358	Silex		9694	US278 V32
BDX21359	Silex		9949	US278 U31
BDX21360	Silex		10068	US278 T34
BDX21361	Silex		9691	US278 V32
BDX21362	Silex		9899	US278 S33
BDX21363	Silex		9883	US278 V31
BDX21364	RVF	EDXRF	9279	US278 R31
BDX21365	Silex		9682	US278 V32
BDX21366	Silex		9680	US278 V31
BDX21367	Silex		9908	US278 S34
BDX21368	Pastini	Id. Visuelle	9272	US278 Q32
BDX21369	Pastini	EDXRF	9492	US278 S31
BDX21370	Pastini	EDXRF	2161	US139 N29
BDX21371	RVF	Id. Visuelle	2071	US139 N29
BDX21372	Pastini	Id. Visuelle	2217	US139 I39
BDX21373	C	EDXRF	2205	US139 I39
BDX21374	Pastini	Id. Visuelle	2117	US139 I39
BDX21375	Pastini	EDXRF	2088	US139 N30
BDX21376	Pastini	Id. Visuelle	2113	US139 I39
BDX21377	Pastini	Id. Visuelle	2213	US139
BDX21378	RVF	Id. Visuelle	2111	US139 I39
BDX21379	RVF	Id. Visuelle	2466	US142 I22
BDX21380	RVF	Id. Visuelle	2479	US142 H25
BDX21381	RVF	Id. Visuelle	2470	US142 I24
BDX21382	RVF	Id. Visuelle	2495	US142 I24
BDX21383	RVF	Id. Visuelle	2492	US142 I23
BDX21384	RVF	Id. Visuelle	2469	US142 I23
BDX21385	RVF	Id. Visuelle	2473	US142 H23
BDX21386	Pastini	Id. Visuelle		US142 HI 22-25
BDX21387	RVF	Id. Visuelle	2467	US142 I22
BDX21388	RVF	Id. Visuelle	2502	US142 I25
BDX21389	RVF	Id. Visuelle	2471	US142 I24
BDX21390	RVF	Id. Visuelle		US142 HI 22-25
BDX21391	RVF	Id. Visuelle		US142 HI 22-26
BDX21392	RVF	Id. Visuelle		US142 HI 22-27
BDX21393	Pastini	Id. Visuelle		US142 HI 22-28
BDX21394	Roche Basique	Id. Visuelle		US142 HI 22-29
BDX21395	Roche Basique	Id. Visuelle		US142 HI 22-30
BDX21396	Roche Basique	Id. Visuelle		US142 HI 22-31
BDX21397	Roche Basique	Id. Visuelle		US142 HI 22-32
BDX21398	RVF	EDXRF		US142 HI 22-33
BDX21399	Roche Indéterminée	Id. Visuelle	NON	US109 M30/31
BDX21400	Roche Basique	Id. Visuelle	NON	US109 M30/31
BDX21401	Roche Basique	Id. Visuelle	NON	US109 M30/31
BDX21402	Roche Basique	Id. Visuelle	NON	US109 M30/31

BDX21403	Roche Indéterminée	Id. Visuelle	NON	US109 M30/31
BDX21404	Roche Indéterminée	Id. Visuelle	NON	US109 M30/31
BDX21405	Roche Basique	EDXRF	NON	US109 M30/31
BDX21406	Pastini	Id. Visuelle	1491	US109 M30
BDX21407	RVF	Id. Visuelle	1448	US109 M30
BDX21408	RVF	Id. Visuelle	1450	US109 M31
BDX21409	Roche Indéterminée	Id. Visuelle	1693	US109 M31
BDX21410	Roche Indéterminée	Id. Visuelle	1692	US109 M31
BDX21411	Pastini	Id. Visuelle	1997	US109 M31
BDX21412	Roche Basique	Id. Visuelle	NON	US29 O18
BDX21413	RVF	Id. Visuelle	NON	US29 M17-18
BDX21414	SA	EDXRF	NON	US29
BDX21415	Roche Basique	EDXRF	NON	US29 MN17
BDX21416	Roche Basique	Id. Visuelle	NON	US29 MN18
BDX21417	Roche Indéterminée	Id. Visuelle	NON	US29 L16-17
BDX21418	SC	EDXRF	NON	US29 L16-17
BDX21419	RVF	Id. Visuelle	NON	US29 L16-17
BDX21420	RVF	Id. Visuelle	NON	US29 L16-17
BDX21421	RVF	Id. Visuelle	NON	US29 L16-17
BDX21422	Roche Indéterminée	Id. Visuelle	NON	US29 L16-17
BDX21423	Roche Indéterminée	Id. Visuelle	NON	US29 L16-17
BDX21424	Roche Indéterminée	Id. Visuelle	NON	US29 L16-17
BDX21425	Roche Basique	Id. Visuelle	NON	US29 L16-17
BDX21426	Roche Basique	Id. Visuelle	NON	US29 L16-17
BDX21427	SC	EDXRF	NON	US29 M16
BDX21428	Silex		NON	US29 M16
BDX21429	RVF	Id. Visuelle	NON	US29 M16
BDX21430	RVF	Id. Visuelle	NON	US29 M16
BDX21431	Roche Basique	Id. Visuelle	NON	US29 M16
BDX21432	Pastini	EDXRF	NON	US29 O16
BDX21433	RVF	Id. Visuelle	NON	US29 O16
BDX21434	Silex	EDXRF	NON	US29 O16
BDX21435	RVF	EDXRF	NON	US29 O16
BDX21436	RVF	Id. Visuelle	NON	US29 LM16-17
BDX21437	Pastini	Id. Visuelle	NON	US29 O17
BDX21438	RVF	Id. Visuelle	NON	US29 O17
BDX21439	RVF	Id. Visuelle	NON	US29 M16
BDX21440	RVF	Id. Visuelle	NON	US29 M16
BDX21441	RVF	Id. Visuelle	NON	US29 MN17-18
BDX21442	RVF	Id. Visuelle	NON	US29 MN17-18
BDX21443	Roche Indéterminée	Id. Visuelle	NON	US29 MN17-18
BDX21444	RVF	Id. Visuelle	NON	US29 M18-19

BDX21445	RVF	Id. Visuelle	NON	US29 M18-19
BDX21446	Roche Basique	Id. Visuelle	NON	US29 M18-19
BDX21447	Silex			US19 T15
BDX21448	Pastini	EDXRF	NON	US19
BDX21449	RVF	EDXRF		US19 TU12
BDX21450	Roche Basique	Id. Visuelle		US19 T14
BDX21451	RVF	EDXRF	NON	US52 L16
BDX21452	Pastini	Id. Visuelle	NON	US52 L16
BDX21453	Pastini	Id. Visuelle		US124 K26
BDX21454	Roche Basique	Id. Visuelle		US124K26
BDX21455	Roche Basique	Id. Visuelle		US124 K26
BDX21456	RVF	Id. Visuelle		US123 J25
BDX21457	RVF	Id. Visuelle		US54 U12
BDX21458	Roche Indéterminée	Id. Visuelle		US54 U12
BDX21459	Pastini	Id. Visuelle	1824	US121 O24
BDX21460	Pastini	Id. Visuelle	1721	US118 K25
BDX21461	Pastini	Id. Visuelle	1804	US118 K27
BDX21462	Pastini	Id. Visuelle	1745	US118 J26
BDX21463	Pastini	Id. Visuelle	1751	US118 K26
BDX21464	RVF	Id. Visuelle	1667	US118 J26
BDX21465	Pastini	Id. Visuelle	1719	US118 K25
BDX21466	Pastini	Id. Visuelle	1755	US118 K27
BDX21467	Roche Indéterminée	Id. Visuelle	1714	US118 J24
BDX21468	RVF	EDXRF	1777	US118 K24
BDX21469	RVF	EDXRF	1846	US122 J25
BDX21470	Pastini	EDXRF	2285	US140 H23
BDX21471	Roche Basique	Id. Visuelle	2226	US140 F25
BDX21472	RVF	EDXRF	2408	US140 I25
BDX21473	Pastini	Id. Visuelle	2362	US140 G25
BDX21474	Pastini	EDXRF	2293	US140 I25
BDX21475	RVF	Id. Visuelle	2095	US140 H22
BDX21476	RVF	Id. Visuelle	2227	US140 F25
BDX21477	RVF	Id. Visuelle	2097	US140 I22
BDX21478	RVF	Id. Visuelle	2288	US140 I40
BDX21479	RVF	Id. Visuelle	2295	US140 H25
BDX21480	RVF	Id. Visuelle	2269	US140 G25
BDX21481	Pastini	EDXRF	2287	US140 H23
BDX21482	RVF	Id. Visuelle	2361	US140 G25
BDX21483	RVF	Id. Visuelle	2375	US140 H25
BDX21484	H	EDXRF	2331	US140 I25
BDX21485	RVF	Id. Visuelle	2335	US140 I24
BDX21486	RVF	Id. Visuelle	2363	US140 G25
BDX21487	Pastini	EDXRF	2289	US140 I25
BDX21488	C	EDXRF	2279	US140 I23
BDX21489	RVF	Id. Visuelle		US140 G25
BDX21490	RVF	Id. Visuelle		US140 G25
BDX21491	RVF	Id. Visuelle		US140 G25
BDX21492	RVF	Id. Visuelle		US140 HI
BDX21493	RVF	Id. Visuelle		US140 HI

BDX21494	RVF	EDXRF		US140 HI
BDX21495	RVF	EDXRF		US140 HI
BDX21496	RVF	Id. Visuelle	1379	US106 H21
BDX21497	RVF	EDXRF	1381	US106 I21
BDX21498	RVF	Id. Visuelle	1371	US106 I21
BDX21499	RVF	Id. Visuelle	1380	US106 I21
BDX21500	RVF	Id. Visuelle	1377 ou 1378	US106 H21
BDX21501	RVF	Id. Visuelle	1377 ou 1378	US106 H21
BDX21502	Pastini	Id. Visuelle	361	US29 O16
BDX21503	RVF	Id. Visuelle	803	US29 J18
BDX21504	RVF	EDXRF	290	US29 L16
BDX21505	RVF	EDXRF	309	US29 O18
BDX21506	RVF	Id. Visuelle	438	US29 N17
BDX21507	RVF	Id. Visuelle	800	US29 J18
BDX21508	RVF	EDXRF	799	US29 K18
BDX21509	Pastini	Id. Visuelle	299	US29 M16
BDX21510	Pastini	Id. Visuelle	2138	US136 N26
BDX21511	Pastini	EDXRF	2315	US136 N28
BDX21512	Roche Indéterminée	Id. Visuelle	2177	US136 N26
BDX21513	Pastini	EDXRF	2252	US136 N28
BDX21514	Pastini	Id. Visuelle	2348	US136 N27
BDX21515	RVF	EDXRF	2370	US136 N28
BDX21516	Pastini	Id. Visuelle	1972	US136 N26
BDX21517	Pastini	Id. Visuelle	2254	US136 N28
BDX21518	Pastini	Id. Visuelle	2197	US136 N27
BDX21519	RVF	Id. Visuelle	2174	US136 N26
BDX21520	RVF	Id. Visuelle	1978	US136 O30
BDX21521	D	EDXRF	2235	US136 O28
BDX21522	RVF	Id. Visuelle	2076	US136 O20
BDX21523	Pastini	Id. Visuelle		US136 O26
BDX21524	RVF	EDXRF		US136 O26
BDX21525	RVF	Id. Visuelle	833	US71 L21
BDX21526	RVF	Id. Visuelle	823	US71 L21
BDX21527	RVF	EDXRF	837	US71 L21
BDX21528	RVF	Id. Visuelle	835	US71 J21
BDX21529	H	EDXRF	1208	US99 L23
BDX21530	RVF	Id. Visuelle		US99 L23-22
BDX21531	RVF	Id. Visuelle	1410	US99 L23
BDX21532	Roche Indéterminée	Id. Visuelle		US136 O29
BDX21533	Pastini	EDXRF	1138	US104 O24
BDX21534	Pastini	Id. Visuelle	1160	US104 O24
BDX21535	Pastini	Id. Visuelle	1605	US92 N24
BDX21536	Pastini	Id. Visuelle	1257	US92 O24
BDX21537	RVF	Id. Visuelle	1142	US92 O24
BDX21538	Pastini	Id. Visuelle	1316	US92 N24
BDX21539	RVF	Id. Visuelle	1297	US92 N24
BDX21540	Roche Indéterminée	Id. Visuelle		US92 O25
BDX21541	RVF	EDXRF		US92 NO25-24

BDX21542	Pastini	Id. Visuelle	1473	US92 N25
BDX21543	Roche Basique	Id. Visuelle	1471	US92 N24
BDX21544	Roche Indéterminée	Id. Visuelle	1702	US92 O25
BDX21545	Pastini	EDXRF	1102	US92 N24
BDX21546	Silex	EDXRF	9859	US286 U31
BDX21547	Silex		9943	US286 U31
BDX21548	Silex		9946	US286 U31
BDX21549	Silex		9950	US286 U31
BDX21550	Silex		10090	US286 T30
BDX21551	Pastini	Id. Visuelle	8918	US273 X20
BDX21552	Pastini	Id. Visuelle	10095	US270 R30
BDX21553	Pastini	Id. Visuelle	1539	US102 O21
BDX21554	Pastini	Id. Visuelle	1513	US102 O21
BDX21555	Pastini	Id. Visuelle	1575	US102 O21
BDX21556	Pastini	Id. Visuelle	1126	US102 N20
BDX21557	Pastini	Id. Visuelle		US102 N-O 20-21
BDX21558	RVF	Id. Visuelle	1077	US102 N21
BDX21559	RVF	Id. Visuelle	1305	US102 O20
BDX21560	Pastini	EDXRF	1073	US102 O20
BDX21561	RVF	EDXRF	8927	US269 W21
BDX21562	RVF	Id. Visuelle	8937	US269 X23
BDX21563	Pastini	Id. Visuelle	8800	US269 V19
BDX21564	Pastini	Id. Visuelle	8906	US269 Y20
BDX21565	Pastini	Id. Visuelle	8816	US269 Z19
BDX21566	Pastini	Id. Visuelle	8822	US269 Z19
BDX21567	Pastini	Id. Visuelle	8819	US269 Z19
BDX21568	Pastini	Id. Visuelle	8902	US269 Z19
BDX21569	Roche Indéterminée	Id. Visuelle	8894	US269 V19
BDX21570	Pastini	Id. Visuelle	8907	US269 Z20
BDX21571	Pastini	Id. Visuelle	8901	US269 Z19
BDX21572	Pastini	Id. Visuelle	7341	US225 W12
BDX21573	Silex			US29 N16
BDX21574	RVF	EDXRF		US29 N16
BDX21575	Pastini	Id. Visuelle	7607	US227 N12
BDX21576	RVF	Id. Visuelle	7601	US226 P9
BDX21577	RVF	Id. Visuelle	7512	US221 Y14
BDX21578	I	EDXRF	1262	US92 N25
BDX21579	RVF	EDXRF	405	US29 O16
BDX21580	Pastini	Id. Visuelle	294	US29 M16
BDX21581	RVF	Id. Visuelle	701	US19 T12
BDX21582	Pastini	EDXRF	729	US19 T11
BDX21583	Pastini	Id. Visuelle	584?	US19 T14
BDX21584	Silex		607	US19 T15
BDX21585	Pastini	EDXRF	606	US19 T15
BDX21586	RVF	Id. Visuelle	417	US19 T13
BDX21587	RVF	EDXRF	354	US19 O18
BDX21588	Roche Indéterminée	Id. Visuelle	661	US19 T14

BDX21589	K	EDXRF	663	US19 T14
BDX21590	Pastini	Id. Visuelle	588	US19 T14
BDX21591	Pastini	Id. Visuelle	636	US19 T14
BDX21592	RVF	Id. Visuelle	772	US19 T11
BDX21593	Roche Basique	Id. Visuelle	8374	US248 H14
BDX21594	RVF	Id. Visuelle	8244	US248 E15
BDX21595	RVF	Id. Visuelle	8205	US248 G14
BDX21596	L	EDXRF	8583	US248 G15
BDX21597	N	EDXRF	8217	US248 F15
BDX21598	Pastini	Id. Visuelle	8562	US248 G14
BDX21599	Pastini	Id. Visuelle	8238	US248 E15
BDX21600	Pastini	Id. Visuelle	7078	US223 X17
BDX21601	Silex		7215	US223 V16
BDX21602	RVF	Id. Visuelle	7524	US223 W17
BDX21603	Pastini	Id. Visuelle	7671	US223 W18
BDX21604	Silex		7803	US223 X18
BDX21605	Roche Indéterminée	Id. Visuelle	7147	US219 N9
BDX21606	RVF	EDXRF	6729	US219 N10
BDX21607	RVF	Id. Visuelle	7310	US219 O9
BDX21608	Pastini	EDXRF	7459	US219 N12
BDX21609	E	EDXRF	6749	US219 O10
BDX21610	Silex		7033	US219 O10
BDX21611	RVF	Id. Visuelle	6794	US219 N11
BDX21612	H	EDXRF	6792	US219 N10
BDX21613	RVF	Id. Visuelle	6750	US219 O10
BDX21614	Pastini	EDXRF	7333	US219 N11
BDX21615	N	EDXRF	7007	US219 N11
BDX21616	Pastini	EDXRF	7315	US219 O9
BDX21617	Pastini	Id. Visuelle	7000	US219 N9
BDX21618	Pastini	Id. Visuelle	6748	US219 O10
BDX21619	RVF	EDXRF	6738	US219 O12
BDX21620	RVF	Id. Visuelle	7148	US219 N9
BDX21621	Pastini	Id. Visuelle	7003	US219 N10
BDX21622	Silex		6754	US219 O11
BDX21623	RVF	Id. Visuelle	6999	US219 N9
BDX21624	Pastini	EDXRF	7124	US219 O12
BDX21625	Pastini	EDXRF	7145	US219 N9
BDX21626	RVF	Id. Visuelle	7143	US219 N10
BDX21627	RVF	EDXRF	7001	US219 N9
BDX21628	Silex		7464	US219 N11
BDX21629	RVF	Id. Visuelle	7309	US219 O9
BDX21630	G	EDXRF	7256	US214 X12
BDX21631	RVF	EDXRF	7623	US214 Y18
BDX21632	Pastini	EDXRF	6709	US214 AA13
BDX21633	Pastini	EDXRF	6836	US214 Y14
BDX21634	Silex		7265	US214 X13
BDX21635	RVF	Id. Visuelle	7825	US214 X11
BDX21636	Pastini	EDXRF	6904	US214 AA13
BDX21637	RVF	EDXRF	1314	US107 O20
BDX21638	Pastini	Id. Visuelle	2720	US160 O22

BDX21639	SC	EDXRF	4446	US160 P23
BDX21640	RVF	EDXRF	2990	US160 N23
BDX21641	Pastini	Id. Visuelle	2890	US160 N22
BDX21642	Pastini	Id. Visuelle	3094	US160 N23
BDX21643	Pastini	Id. Visuelle	2829	US160 O23
BDX21644	Pastini	EDXRF	2828	US160 O23
BDX21645	silex		3098	US160 O23
BDX21646	Pastini	EDXRF	2719	US160 O22
BDX21647	Pastini	Id. Visuelle	4562	US160 P23
BDX21648	RVF	Id. Visuelle	2738	US160 O23
BDX21649	Pastini	EDXRF	2722	US160 O22
BDX21650	RVF	Id. Visuelle	3187	US160 O23
BDX21651	Pastini	Id. Visuelle	2851	US160 N22
BDX21652	Pastini	Id. Visuelle	2857	US160 N23
BDX21653	Pastini	Id. Visuelle	2736	US160 O23
BDX21654	Pastini	Id. Visuelle	2849	US160 N22
BDX21655	RVF	EDXRF	2836	US160 O22
BDX21656	RVF	Id. Visuelle	4487	US160 P23
BDX21657	Pastini	Id. Visuelle	2997	US160 N22
BDX21658	Pastini	Id. Visuelle	2844	US160 O22
BDX21659	SB2	EDXRF	2745	US160 N23
BDX21660	Pastini	Id. Visuelle	5787	US193 S8
BDX21661	Silex		5712	US193 S8
BDX21662	Pastini	Id. Visuelle	5664	US193 R8
BDX21663	RVF	EDXRF	5762	US193 S8
BDX21664	Pastini	Id. Visuelle	5801	US193 R9
BDX21665	RVF	Id. Visuelle	5716	US193 S8
BDX21666	Pastini	Id. Visuelle	9435	US277 Z19
BDX21667	Pastini	Id. Visuelle	9815	US277 Y20
BDX21668	Pastini	Id. Visuelle	9796	US277 Y21
BDX21669	Pastini	Id. Visuelle	9787	US277 Y20
BDX21670	Pastini	Id. Visuelle	9761	US277 W23
BDX21671	Pastini	EDXRF	9153	US277 Z19
BDX21672	Silex		9750	US277 X22
BDX21673	Pastini	Id. Visuelle	9440	US277 Z19
BDX21674	RVF	EDXRF	9161	US277 Z21
BDX21675	Pastini	Id. Visuelle	9444	US277 Z20
BDX21676	Pastini	Id. Visuelle	9130	US277 Y21
BDX21677	Pastini	Id. Visuelle	9460	US277 Z21
BDX21678	Pastini	Id. Visuelle	9141	US277 Y22
BDX21679	Pastini	Id. Visuelle	9799	US277 Y21
BDX21680	Pastini	Id. Visuelle	9176	US277 Z22
BDX21681	Pastini	Id. Visuelle	9164	US277 Z21
BDX21682	Pastini	Id. Visuelle	9442	US277 Z20
BDX21683	Pastini	Id. Visuelle	9163	US277 Z21
BDX21684	Pastini	Id. Visuelle	9165	US277 Y21
BDX21685	Pastini	Id. Visuelle	9465	US277 Z21
BDX21686	RVF	EDXRF	9454	US277 Y21
BDX21687	Pastini	EDXRF	9420	US277 Y19
BDX21688	Pastini	Id. Visuelle	9457	US277 Y21
BDX21689	Pastini	Id. Visuelle	9464	US277 Z21

BDX21690	Pastini	Id. Visuelle	9154	US277 Z19
BDX21691	Pastini	Id. Visuelle	9150	US277 Z19
BDX21692	Pastini	Id. Visuelle	9780	US277 Z20
BDX21693	Pastini	Id. Visuelle	9089	US277 W23
BDX21694	Pastini	Id. Visuelle	9437	US277 Z19
BDX21695	Pastini	Id. Visuelle	9394	US277 V23
BDX21696	Pastini	Id. Visuelle	9782	US277 Y20
BDX21697	Pastini	Id. Visuelle	9797	US277 Y21
BDX21698	Silex		9740	US277 W21
BDX21699	Pastini	Id. Visuelle	9441	US277 Z20
BDX21700	Pastini	Id. Visuelle	9117	US277 Y19
BDX21701	RVF	EDXRF	9422	US277 Y19
BDX21702	RVF	EDXRF	9120	US277 Y20
BDX21703	Pastini	Id. Visuelle	10038	US277 W23
BDX21704	Silex		10039	US277 W22
BDX21705	Silex		10035	US277 V23
BDX21706	Pastini	Id. Visuelle	9998	US277 W20
BDX21707	Pastini	EDXRF	10015	US277 Z22
BDX21708	Silex		9991	US277 W19
BDX21709	Pastini	Id. Visuelle	9334	US279 S31
BDX21710	Pastini	EDXRF	9327	US279 S31
BDX21711	Pastini	Id. Visuelle	9224	US268 T30
BDX21712	Pastini	Id. Visuelle	9215	US268 S30
BDX21713	Pastini	Id. Visuelle	9023	US268 U33
BDX21714	Pastini	Id. Visuelle	8770	US268 U31
BDX21715	Pastini	Id. Visuelle	8789	US268 V30
BDX21716	Roche basique	Id. Visuelle	8889	US268 V32
BDX21717	RVF	EDXRF	9256	US268 S33
BDX21718	RVF	Id. Visuelle	8882	US268 V32
BDX21719	RVF	Id. Visuelle	8799	US268 T33
BDX21720	RVF	EDXRF	8987	US268 S32
BDX21721	Silex		8854	US268 T30
BDX21722	RVF	EDXRF	8991	US268 S30
BDX21723	RVF	Id. Visuelle	8785	US268 V31
BDX21724	Silex		8887	US268 V31
BDX21725	RVF	Id. Visuelle	8871	US268 U31
BDX21726	RVF	Id. Visuelle	8849	US268 S30
BDX21727	RVF	Id. Visuelle	8796	US268 V32
BDX21728	RVF	Id. Visuelle	8835	US268 R32
BDX21729	RVF	EDXRF	8753	US268 Q31
BDX21730	RVF	Id. Visuelle	8795	US268 V33
BDX21731	C	EDXRF		Sous US39 T14
BDX21732	RVF	EDXRF	8322	US249 AA2
BDX21733	Silex		7144	US219 N9
BDX21734	RVF	EDXRF	8181	US311 R15
BDX21735	Silex	EDXRF	8193	US311 S15
BDX21736	RVF	Id. Visuelle		US141 F25
BDX21737	RVF	Id. Visuelle		US141 F25
BDX21738	RVF	Id. Visuelle		US141 F25
BDX21739	RVF	Id. Visuelle		US141 F25
BDX21740	RVF	EDXRF		US141 F25

BDX21741	RVF	EDXRF	2419	US141 F25
BDX21742	H	EDXRF	2420	US141 F25
BDX21743	RVF	Id. Visuelle	2425	US141 F25
BDX21744	RVF	Id. Visuelle	2426	US141 F25
BDX21745	Roche Indéterminée	EDXRF	3327	US163 Q26
BDX21746	RVF	Id. Visuelle	5221	US182 L9
BDX21747	RVF	Id. Visuelle	5409	US182 L9
BDX21748	F	EDXRF	5404	US182 L8
BDX21749	RVF	EDXRF	5529	US186 P10
BDX21750	Pastini	Id. Visuelle	5604	US186 P11
BDX21751	Pastini	Id. Visuelle	5528	US186 P10
BDX21752	Pastini	EDXRF	5513	US186 P11
BDX21753	Pastini	EDXRF	5562	US186 P10
BDX21754	Roche Indéterminée	Id. Visuelle	5518	US186 P11
BDX21755	C	EDXRF	5524	US186 P10
BDX21756	Silex		3911	US165 T18
BDX21757	RVF	Id. Visuelle	3919	US165 S19
BDX21758	Roche basique	Id. Visuelle	4157	US165 S19
BDX21759	Pastini	Id. Visuelle	3876	US165 U17
BDX21760	Pastini	Id. Visuelle	4144	US165 T19
BDX21761	Pastini	Id. Visuelle	4154	US165 T19
BDX21762	Silex		4626	US165 T19
BDX21763	H	EDXRF	4654	US165 S18
BDX21764	Pastini	Id. Visuelle	4153	US165 T19
BDX21765	Pastini	Id. Visuelle	8049	US244 Z2
BDX21766	Pastini	Id. Visuelle	8096	US244 Z0
BDX21767	Pastini	Id. Visuelle	8151	US244 Z1
BDX21768	RVF	EDXRF	8093	US244 AA0
BDX21769	RVF	Id. Visuelle	8147	US244 Z1
BDX21770	RVF	Id. Visuelle	8127	US244 AA0
BDX21771	Pastini	Id. Visuelle	8037	US244 AA2
BDX21772	Pastini	Id. Visuelle	5536	US183 M11
BDX21773	RVF	EDXRF	5346	US183 L10
BDX21774	RVF	EDXRF	5360	US183 M11
BDX21775	Roche basique	EDXRF	5491	US183 M11
BDX21776	Pastini	EDXRF	5348	US183 M10
BDX21777	RVF	Id. Visuelle	5449	US183 L11
BDX21778	RVF	EDXRF	5280	US183 L15
BDX21779	Pastini	Id. Visuelle	5366	US183 M12
BDX21780	RVF	EDXRF	5347	US183 L10
BDX21781	RVF	Id. Visuelle	5355	US183 M11
BDX21782	silex		5779	US192 S8
BDX21783	RVF	EDXRF	5283	US180 M13
BDX21868	Pastini	EDXRF	3661	US161 Q26
BDX21869	RVF	EDXRF	3164	US161 Q26
BDX21870	Roche basique	EDXRF	2872	US161 S28
BDX21871	Pastini	EDXRF	5029	US161 P26
BDX21872	Pastini	Id. Visuelle	5025	US161 P26
BDX21873	Roche basique	EDXRF	2800	US161 T28

BDX21874	Pastini	Id. Visuelle	3537	US161 U25
BDX21875	Pastini	EDXRF	4329	US161 R29
BDX21876	SB2	EDXRF	3693	US161 P27
BDX21877	Pastini	Id. Visuelle	4703	US161 U27
BDX21878	SC	EDXRF	3713	US161 Q28
BDX21879	J	EDXRF	2902	US161 P24
BDX21880	Pastini	Id. Visuelle	5008	US161 P26
BDX21881	Roche Indéterminée	Id. Visuelle	4228	US161 U29
BDX21882	Pastini	Id. Visuelle	2911	US161 P24
BDX21883	SC	EDXRF	3605	US161 P28
BDX21884	RVF	Id. Visuelle	3501	US161 R28
BDX21885	Pastini	Id. Visuelle	2792	US161 S27
BDX21886	Pastini	EDXRF	3805	US161 U25
BDX21887	Silex		3687	US161 P26
BDX21888	Pastini	EDXRF	4906	US161 P29
BDX21889	RVF	Id. Visuelle	4796	US161 S29
BDX21890	RVF	EDXRF	3599	US161 P28
BDX21891	Roche basique	EDXRF	3500	US161 R28
BDX21892	M	EDXRF	3476	US161 S28
BDX21893	Roche Indéterminée	EDXRF	2970	US161 Q24
BDX21894	Roche Indéterminée	Id. Visuelle	2914	US161 P24
BDX21895	Silex		3527	US161 U25
BDX21896	Silex		4209	US161 T28
BDX21897	RVF	Id. Visuelle	3484	US161 R29
BDX21898	RVF	Id. Visuelle	3084	US161 T29
BDX21899	Roche basique	Id. Visuelle	3448	US161 T29
BDX21900	silex		4316	US161 S28
BDX21901	Roche basique	Id. Visuelle	3787	US161 S27
BDX21902	Roche Indéterminée	EDXRF	3590	US161 P28
BDX21903	RVF	EDXRF	2933	US161 Q24
BDX21904	RVF	Id. Visuelle	4799	US161 S29
BDX21905	RVF	EDXRF	3822	US161 T25
BDX21906	Silex		3752	US161 R25
BDX21907	silex		3624	US161 P25
BDX21908	Roche basique	Id. Visuelle	3118	US161 Q24
BDX21909	Roche Indéterminée	Id. Visuelle	2946	US161 Q24
BDX21910	C	EDXRF	4366	US161 R26
BDX21911	RVF	EDXRF	3416	US161 P25
BDX21912	RVF	Id. Visuelle	2769	US161 P28
BDX21913	RVF	EDXRF	2789	US161 T26
BDX21914	RVF	EDXRF	3473	US161 S28
BDX21915	RVF	EDXRF	3442	US161 T29
BDX21916	RVF	EDXRF	3726	US161 R28
BDX21917	Pastini	Id. Visuelle	3927	US161 U27
BDX21918	Roche basique	Id. Visuelle	2775	US161 P29
BDX21919	Pastini	EDXRF	3610	US161 P25

BDX21920	Roche Indéterminée	Id. Visuelle	4373	US161 S26
BDX21921	Roche Indéterminée	Id. Visuelle	3165	US161 Q26
BDX21922	Roche Indéterminée	EDXRF	4127	US161 T27
BDX21923	Roche basique	Id. Visuelle	3460	US161 S29
BDX21924	RVF	Id. Visuelle	3168	US161 P26
BDX21925	RVF	EDXRF	3828	US161 T25
BDX21926	Pastini	EDXRF	3133	US161 Q24
BDX21927	Pastini	Id. Visuelle		US161
BDX21928	Pastini	Id. Visuelle		US161
BDX21929	Pastini	Id. Visuelle		US161
BDX21930	Pastini	Id. Visuelle		US161
BDX21931	Pastini	Id. Visuelle		US161
BDX21932	Pastini	Id. Visuelle		US161
BDX21933	Pastini	Id. Visuelle		US161
BDX21934	Pastini	Id. Visuelle		US161
BDX21935	Pastini	EDXRF	3455	US161 S29
BDX21936	Pastini	Id. Visuelle		US161
BDX21937	Pastini	Id. Visuelle		US161
BDX21938	Pastini	Id. Visuelle		US161
BDX21939	Pastini	EDXRF	4037	US161 U25
BDX21940	Pastini	EDXRF	4359	US161 S27
BDX21941	Pastini	Id. Visuelle		US161
BDX21942	Pastini	Id. Visuelle		US161
BDX21943	Pastini	Id. Visuelle		US161
BDX21944	Pastini	Id. Visuelle		US161
BDX21945	Pastini	EDXRF	3804	US161 U25
BDX21946	Pastini	Id. Visuelle		US161
BDX21947	Pastini	Id. Visuelle		US161
BDX21948	Pastini	Id. Visuelle		US161
BDX21949	Pastini	Id. Visuelle		US161
BDX21950	Pastini	Id. Visuelle		US161
BDX21951	Pastini	Id. Visuelle		US161
BDX21952	Pastini	Id. Visuelle		US161
BDX21953	Pastini	Id. Visuelle		US161
BDX21954	Pastini	Id. Visuelle		US161
BDX21955	Pastini	Id. Visuelle		US161
BDX21956	Pastini	Id. Visuelle		US161
BDX21957	Pastini	Id. Visuelle		US161
BDX21958	Pastini	Id. Visuelle		US161
BDX21959	Pastini	Id. Visuelle		US161
BDX21960	Pastini	Id. Visuelle		US161
BDX21961	Pastini	Id. Visuelle		US161
BDX21962	Pastini	Id. Visuelle		US161
BDX21963	Pastini	Id. Visuelle		US161
BDX21964	Pastini	EDXRF	4255	US161 S29
BDX21965	Pastini	Id. Visuelle		US161
BDX21966	Pastini	Id. Visuelle		US161
BDX21967	Pastini	Id. Visuelle		US161

BDX21968	Pastini	Id. Visuelle		US161
BDX21969	Pastini	Id. Visuelle		US161
BDX21970	Pastini	Id. Visuelle		US161
BDX21971	Pastini	Id. Visuelle		US161
BDX21972	Pastini	Id. Visuelle		US161
BDX21973	Pastini	Id. Visuelle		US161
BDX21974	Pastini	Id. Visuelle		US161
BDX21975	Pastini	Id. Visuelle		US161
BDX21976	Pastini	Id. Visuelle		US161
BDX21977	Pastini	Id. Visuelle		US161
BDX21978	Pastini	Id. Visuelle		US161
BDX21979	Pastini	Id. Visuelle		US161
BDX21980	Pastini	Id. Visuelle		US161
BDX21981	Pastini	Id. Visuelle		US161
BDX21982	Pastini	Id. Visuelle		US161
BDX21983	Pastini	Id. Visuelle		US161
BDX21984	Pastini	EDXRF	3791	US161 U24
BDX21985	Pastini	Id. Visuelle		US161
BDX21986	Pastini	Id. Visuelle		US161
BDX21987	Pastini	Id. Visuelle		US161
BDX21988	Pastini	Id. Visuelle		US161
BDX21989	Pastini	Id. Visuelle		US161
BDX21990	Pastini	EDXRF	4357	US161 S27
BDX21991	Pastini	Id. Visuelle		US161
BDX21992	Pastini	Id. Visuelle		US161

8. Rhyolites de l'Abri des Castelli - données EDXRF

BDX	Groupes	Na2O	MgO	Al2O3	SiO2	P2O5	K2O	CaO	TiO2	MnO	Fe2O3	Zn	Ga	Rb	Sr	Y	Zr	Nb	Ba	Pb
BDX17917	A	39357	2042	130127	756000	904	46125	10266	1884	745	10937	31	16	184	102	22	147	18	1079	14
BDX17917	A	45571	1729	135103	742519	976	47247	10608	1797	887	11895	33	17	191	104	24	154	21	1112	13
BDX17917	A	32948	1228	138332	748115	1058	50125	11263	1707	916	12550	40	17	212	109	25	165	19	1154	16
BDX17917	A	24980	613	136899	755500	880	45596	19149	1750	929	11905	37	18	198	122	26	175	20	1189	15
BDX17920	A	44397	2334	128214	756742	1095	43327	10092	1467	699	10091	31	15	173	97	22	139	18	1034	14
BDX17920	A	42960	5340	131239	748833	967	43991	11602	1506	858	11099	34	15	193	99	24	145	16	1065	14
BDX17920	A	46345	3857	135264	741112	1034	44620	11598	1773	890	11919	35	16	183	108	28	146	17	1042	14
BDX17920	A	37720	1521	135624	748990	241	46778	14058	1419	834	11035	35	17	198	113	29	156	20	1197	16
BDX17924	A	45293	2762	128885	751644	1084	44885	10896	1547	732	10715	32	16	185	101	21	140	17	1031	15
BDX17924	A	42194	2545	129314	756786	953	43235	10770	1594	712	10329	31	16	177	101	25	141	19	1042	15
BDX17924	A	46846	2953	130330	748464	892	43150	11447	1630	845	11879	35	16	175	103	24	147	17	1033	15
BDX17924	A	26459	915	137863	756558	314	46685	15171	1720	872	11711	34	17	197	131	27	150	22	1137	17
BDX17929	A	47797	2049	133079	746084	870	43081	11348	1687	800	11593	35	17	168	105	26	160	17	1064	22
BDX17929	A	44175	2146	133635	745689	1044	43655	12154	1853	883	13157	37	17	177	106	27	156	17	1052	20
BDX17929	A	47230	2083	132749	745736	907	43814	11530	1626	764	11847	33	16	168	108	27	152	21	1169	23
BDX17929	A	32061	823	134392	755692	349	46552	12939	1862	808	12806	36	18	184	113	28	165	20	1130	23
BDX17930	A	45518	2611	131372	747327	1026	43969	11419	2044	974	12131	34	16	183	109	25	151	18	1057	18
BDX17930	A	45567	1797	131072	745920	1092	43896	10708	2289	1024	14951	40	16	190	111	24	155	17	1110	20
BDX17930	A	40705	1505	130749	752186	1098	43854	12402	1948	1016	12874	40	16	188	115	26	175	17	1065	19
BDX17930	A	26213	753	123286	768348	201	48352	13257	2592	1140	13911	40	19	221	126	26	183	19	1291	23
BDX17931	A	44533	2112	130495	749230	1005	46001	11153	1738	766	11352	33	15	187	109	24	152	18	1056	20
BDX17931	A	45661	2168	132038	746318	1027	45729	11263	1781	788	11404	34	15	184	115	23	149	22	1266	17
BDX17931	A	32167	1490	133194	757266	1108	46516	12504	1756	783	11553	36	18	192	117	25	156	18	1082	19
BDX17931	A	25422	3513	131035	775930	2065	49208	25546	5370	1772	28131	60	20	222	156	26	204	21	1279	20
BDX17932	A	40455	1031	136602	748747	217	42057	15561	1814	752	11032	42	17	168	131	28	167	19	1141	18
BDX17943	A	31984	1052	139096	752543	998	47937	11161	1836	662	11012	32	16	203	113	27	167	21	1119	21
BDX17943	A	31464	1080	137483	755832	985	47044	10871	2099	682	10767	31	15	198	115	27	164	20	1100	22
BDX17943	A	32744	1582	137085	738301	5263	47148	16527	2605	1041	15916	45	17	207	121	29	157	21	1170	21
BDX23916	A	30238	694	136411	738803	17820	46419	10584	2155	1091	13967	31	16	238	111	18	212	19	1160	14
BDX23916	A	29630	642	136576	749658	5999	46881	11379	2604	1109	13746	34	18	244	112	25	177	19	1134	13
BDX23917	A	34134	2354	151590	726216	126	51436	14337	2634	791	15323	39	21	228	148	33	203	21	349	16
BDX23918	A	32316	1525	132274	743192	8611	48295	13942	2415	1117	14399	31	19	229	133	30	195	19	1242	16

BDX	Groupes	Na2O	MgO	Al2O3	SiO2	P2O5	K2O	CaO	TiO2	MnO	Fe2O3	Zn	Ga	Rb	Sr	Y	Zr	Nb	Ba	Pb
BDX23918	A	35580	1985	131791	748280	107	51412	13936	2289	977	11710	30	19	239	151	30	196	19	1231	16
BDX23919	A	36051	834	154351	658141	53998	50138	13934	3000	1621	25891	37	21	216	152	37	214	21	1326	18
BDX23919	A	37034	2712	163329	639960	47485	55770	14915	3319	2014	31083	48	23	256	158	36	247	24	1567	21
BDX23920	A	32083	964	149671	730954	170	55445	13661	2372	730	11989	32	19	229	136	31	199	20	1276	19
BDX23920	A	30720	700	147528	728222	193	59419	13846	2759	822	13812	38	20	230	137	33	208	20	1272	22
BDX23921	A	32119	1689	141041	746234	7906	46291	11355	2165	683	9499	24	16	204	124	22	190	21	403	15
BDX23921	A	29847	783	152544	735734	3317	47997	12207	2618	851	12266	38	18	215	124	27	178	24	1194	16
BDX23922	A	32256	1058	139224	751066	153	47122	12590	2496	850	12459	29	18	202	115	26	178	23	124	12
BDX23922	A	32714	936	134502	754013	123	47520	12505	2743	930	13245	34	18	213	121	28	190	21	131	13
BDX23923	A	37368	1015	143307	734456	224	49530	13576	2450	1007	15349	40	19	234	134	28	216	19	1013	14
BDX23923	A	31515	1245	145683	738711	307	50418	14049	2233	909	13063	31	18	243	134	26	195	19	1185	14
BDX23926	A	29006	645	148194	750572	166	49058	9268	2120	551	8833	29	15	186	113	26	167	23	1010	20
BDX23926	A	29417	2104	144565	748993	139	47867	11731	2174	675	10544	31	16	210	114	27	179	21	1176	19
BDX23927	A	32036	740	154442	727182	3921	52690	12735	2558	938	11892	32	18	241	123	26	187	24	199	16
BDX23927	A	30323	1119	134032	741681	5326	56442	13751	2508	1011	12357	34	19	248	126	28	205	19	756	17
BDX23928	A	31259	895	128461	702469	50070	48877	14081	2382	1233	18965	40	19	237	135	29	194	19	614	21
BDX23929	A	32718	800	150697	731687	640	51392	13777	2148	1392	13652	47	17	242	111	21	183	22	445	9
BDX23929	A	36080	706	148475	728380	1939	52093	13595	2177	1505	13767	48	17	235	117	21	190	24	620	10
BDX23930	A	31870	711	151963	731813	207	52058	14339	2165	952	11977	32	19	231	135	28	201	21	1263	15
BDX23931	A	30110	663	149148	740467	189	51419	12469	2477	930	11130	31	18	226	111	28	175	23	369	18
BDX23931	A	31326	869	125506	752112	102	61338	12421	2516	982	11975	34	18	259	115	28	192	18	165	24
BDX23931	A	32769	2156	145045	729195	112	61064	12513	2422	1019	12729	40	19	263	119	30	186	20	278	19
BDX23932	B	29702	806	151615	739968	252	50295	12748	2379	412	10466	33	16	175	118	20	173	24	774	24
BDX23932	B	28698	905	147260	741406	404	50428	13845	2873	480	11883	33	19	189	127	29	183	20	1194	26
BDX23933	A	33716	606	140011	747372	3896	46390	12068	2373	981	11829	30	16	207	114	22	189	21	148	14
BDX23933	A	31764	934	155487	728665	1136	51204	13783	2593	1041	12537	34	18	232	131	23	227	25	149	16
BDX23934	B	29019	751	148027	743015	214	52440	11979	1821	367	11131	31	17	188	122	16	173	22	647	21
BDX23935	A	29396	1028	149758	736486	3517	50720	11372	2532	1025	13303	36	16	236	112	26	171	23	228	14
BDX23935	A	46586	1239	128325	739027	656	54215	13405	2412	931	12358	36	17	249	113	30	178	20	186	16
BDX23924	B	32411	2166	153518	735602	4991	44126	12017	2359	424	11363	22	15	154	114	20	182	23	476	18
BDX23924	B	28022	725	149751	746751	3247	46205	12354	1901	382	9324	19	16	157	117	24	164	23	797	19
BDX23924	B	31125	2045	150452	737638	4611	46914	13605	2090	365	9917	21	15	162	122	24	171	23	677	23

BDX	Groupes	Na2O	MgO	Al2O3	SiO2	P2O5	K2O	CaO	TiO2	MnO	Fe2O3	Zn	Ga	Rb	Sr	Y	Zr	Nb	Ba	Pb
BDX23925	B	25889	2124	138234	762647	13427	32018	6712	1578	477	14965	21	16	169	123	26	183	20	1360	12
BDX23925	B	25507	907	140103	756995	13173	36246	8153	1633	468	14866	20	17	166	124	26	185	18	1381	12
BDX23925	B	32294	1853	143311	684056	40983	43494	13171	3001	822	34697	36	22	229	145	32	232	27	1578	17
BDX22979	C	38252	1764	140823	733415	138	38519	1895	1500	508	40007	316	44	499	3	299	1789	86	106	37
BDX22979	C	34140	2163	136604	737394	193	40101	1945	1570	540	42087	334	47	502	4	325	1826	87	104	36
BDX22979	C	28159	1115	137121	741629	112	43662	1962	1607	517	40788	328	46	548	4	306	1866	88	103	39
BDX23911	C	36250	776	136130	758414	417	40125	2778	1558	356	21828	114	31	211	2	128	705	50	95	33
BDX23911	C	28927	761	151257	738535	6410	43435	2991	1794	540	23825	178	30	227	2	136	743	46	107	55
BDX23937	C	44137	1128	143995	730069	2062	45167	3979	2277	578	25129	150	30	230	8	115	782	44	104	14
BDX23938	C	29879	749	152979	730302	5747	48335	3150	2172	488	24683	176	31	236	3	86	816	43	116	11
BDX23938	C	40666	1245	150902	719259	6959	46956	3242	2284	551	26370	188	33	253	3	108	817	51	102	13
BDX23939	C	33417	643	138497	729794	1498	43948	2666	1794	595	43683	337	50	550	4	338	1959	90	100	36
BDX22980	D	31483	1281	150355	725836	498	49613	2232	1498	66	35671	14	32	262	2	151	829	39	118	19
BDX22980	D	28395	2145	147627	718769	3771	52310	2190	1755	77	41383	19	34	279	3	165	883	44	119	31
BDX22980	D	39446	2270	144607	702976	2938	56391	2139	1761	196	45681	19	36	288	5	160	872	52	126	37
BDX22980	D	29582	1998	151051	720347	3563	49759	2250	1575	189	38134	21	34	265	5	161	872	39	129	28
BDX22983	D	35446	2030	106076	783228	143	53084	2071	2272	252	13914	41	30	277	6	139	812	61	104	15
BDX22983	D	38280	1271	127851	767099	166	51535	1785	1497	185	8820	36	33	247	6	154	858	44	116	18
BDX22983	D	32897	1967	111625	798168	124	38412	1538	1387	250	12170	39	35	191	6	153	856	54	115	14
BDX22983	D	30578	2427	138759	773661	219	39133	1689	1544	219	10333	38	34	190	7	153	817	54	129	16
BDX22983	D	33330	1887	115170	791151	301	42528	1766	916	262	11322	37	30	208	7	140	759	54	119	14
BDX23908	D	43740	2397	148975	753180	113	35747	1763	979	167	11829	20	27	166	7	103	633	40	100	14
BDX23908	D	36483	1083	140837	764979	566	38233	2088	971	183	13445	24	31	176	8	108	656	26	86	16
BDX23909	D	28853	833	137737	758608	3638	34569	2066	4013	358	28142	30	33	182	9	96	644	62	112	17
BDX23909	D	30482	2053	132844	786973	161	36042	1753	685	107	7745	19	26	171	11	98	658	51	107	16
BDX23912	D	36808	655	143623	760500	110	39408	2157	1189	165	14147	19	29	187	9	113	717	40	101	22
BDX23913	D	31371	2260	128258	743255	559	39706	1793	2149	275	49169	48	21	203	10	104	644	59	94	18
BDX23913	D	31368	1432	130492	750580	231	40172	2004	1855	241	40464	59	20	189	14	104	623	41	93	19
BDX23915	D	29028	1277	143726	742039	313	57187	2041	1659	71	21321	25	27	294	4	116	732	30	98	13
BDX23915	D	27524	632	141829	739272	360	58709	2132	1963	110	26010	32	30	319	4	124	797	37	104	12
BDX23936	D	29713	1507	148396	757894	381	36157	1818	1420	280	21086	25	29	184	7	127	796	38	121	17
BDX23936	D	47807	1173	152814	740605	4268	32287	1963	949	382	16401	33	34	173	8	124	793	47	125	14

BDX	Groupes	Na2O	MgO	Al2O3	SiO2	P2O5	K2O	CaO	TiO2	MnO	Fe2O3	Zn	Ga	Rb	Sr	Y	Zr	Nb	Ba	Pb
BDX23936	D	41537	945	152284	749177	466	34353	1775	2890	303	14876	30	35	183	8	132	816	57	118	14
BDX23940	D	28874	1983	143947	739286	152	51073	2029	2130	103	29004	23	30	279	4	119	801	43	108	13
BDX23940	D	33430	1211	144116	737235	599	50276	1965	1789	603	27431	25	26	263	4	113	749	34	115	15
BDX23940	D	28029	2071	145009	741845	179	52415	2170	2076	186	24558	23	30	288	5	120	820	45	114	17
BDX24366	D	28699	1757	146868	744837	1004	53551	2079	1248	774	17743	33	26	244	3	117	878	24	101	15
BDX24366	D	40712	1824	144890	731630	768	47606	1957	2001	451	26661	46	33	216	3	127	909	51	89	24
BDX24366	D	28031	1115	141181	757941	324	48152	1902	1554	280	18431	35	29	211	4	72	594	34	95	15
BDX24366	D	29766	2088	140977	764689	480	39304	1488	1355	381	18287	38	26	172	4	103	692	31	104	15
BDX23914	E	21507	871	138085	766423	30187	8555	19042	1546	317	13289	6	2	4	7	7	6	20	120	5
BDX22984	F	39923	2057	141458	736601	116	37469	1329	1524	473	36830	320	37	317	0	159	1217	75	90	4
BDX22984	F	43402	2086	140969	731507	125	40490	1362	1561	463	35911	295	35	304	1	169	1169	62	87	3
BDX22984	F	34327	2108	142064	740197	115	36108	1324	1454	468	39380	333	42	303	1	193	1408	76	96	3
BDX22981	G	32610	1344	139151	764328	5161	44720	5320	378	256	6110	22	18	283	20	43	80	19	110	30
BDX22981	G	45453	693	148638	736171	8777	46764	6172	187	181	6304	21	19	294	22	47	79	21	128	29
BDX22981	G	28833	1975	140135	765704	440	49265	6107	0	173	6696	17	20	322	22	45	77	23	122	24
BDX22981	G	42048	698	144748	747132	3971	48584	6048	304	123	5668	22	19	316	23	48	83	23	109	33
BDX22981	G	33650	1797	134347	760136	623	55260	6777	0	197	6461	19	22	369	26	49	80	26	141	23
BDX22981	G	38235	856	125518	769114	5199	48102	5972	0	144	6185	19	20	315	26	45	72	22	128	30
BDX22981	G	32014	2014	133551	761705	5179	51229	6550	738	236	6070	17	21	341	27	48	82	25	129	24
BDX22981	G	38780	1942	143995	733762	12210	53495	7466	0	324	7286	20	21	365	29	45	78	24	131	27
BDX22981	G	38033	1812	131799	734857	10328	63547	8984	582	366	8774	27	26	449	34	62	104	33	152	31
BDX22981	G	35104	1446	136296	718663	15155	72713	9634	223	416	9250	37	32	528	36	80	123	35	177	53
BDX24363	H	27472	2166	141721	767645	601	48834	5847	0	261	4916	8	19	215	38	35	69	17	131	4
BDX24363	H	43481	1010	146031	737412	257	54287	6015	0	131	10804	10	20	249	39	31	74	22	121	4
BDX24363	H	29466	2431	153951	735901	477	62994	6988	889	233	6021	8	21	286	40	41	79	23	145	5
BDX24363	H	41934	674	130546	739067	495	68173	8353	2070	248	7766	11	23	308	45	41	84	30	127	5
BDX22982	I	33801	1376	103089	805099	201	29316	1123	626	53	24275	5	17	135	4	107	646	26	89	10
BDX22982	I	31494	1831	124331	770629	124	38439	1516	445	86	29787	8	21	173	6	134	810	33	121	12
BDX22982	I	36119	1680	126272	759094	284	42948	1646	561	81	29871	10	23	200	7	147	887	32	125	14
BDX22985	I	36790	1411	97442	806389	139	32005	1706	133	21	22865	7	14	148	4	108	661	27	120	9
BDX22985	I	41441	817	123186	763325	333	33103	1374	1295	62	33981	8	16	144	5	109	649	48	93	13
BDX22985	I	31068	2139	124232	771713	417	34690	1511	1028	92	31969	7	16	154	5	113	690	41	104	11

BDX	Groupes	Na2O	MgO	Al2O3	SiO2	P2O5	K2O	CaO	TiO2	MnO	Fe2O3	Zn	Ga	Rb	Sr	Y	Zr	Nb	Ba	Pb
BDX22986	I	33009	1307	126336	776146	644	35993	1125	530	16	23762	5	18	152	4	117	699	34	94	9
BDX22986	I	31642	1265	129058	776967	169	35037	1118	279	21	23270	9	19	160	4	117	717	32	104	8
BDX22986	I	26282	1957	127117	792553	166	33494	1027	0	10	16257	5	18	145	5	118	704	21	114	8
BDX22986	I	26791	1864	124112	784059	103	32179	953	808	25	27969	7	17	144	5	116	697	44	99	9
BDX22986	I	28902	1879	130240	775916	198	33346	1033	804	22	26435	5	19	152	5	129	767	35	104	9
BDX22986	I	28761	1946	131788	776364	196	35610	1123	296	15	22751	5	19	156	5	116	706	32	104	8
BDX22986	I	29430	1928	127800	768739	98	37442	1157	865	68	31296	8	19	161	5	119	709	45	100	11
BDX22986	I	39061	2012	128916	772829	204	35249	1084	40	11	19449	5	18	148	5	120	712	29	101	8
BDX23906	I	28695	618	133402	771412	3368	35939	1726	642	78	22976	12	17	169	5	111	672	40	107	11
BDX23906	I	25691	1113	128454	770221	3005	39524	1553	944	142	28110	19	19	168	5	126	747	49	97	11
BDX23910	I	29467	1334	128904	761384	508	38423	3633	1163	237	33754	16	20	192	8	114	689	42	99	12
BDX23941	I	32519	1676	134794	743498	191	41247	1734	1852	119	41032	11	20	191	6	136	806	58	99	13
BDX24365	J	34419	2138	126970	754770	122	70275	2499	463	42	7500	27	20	206	20	81	291	36	116	6
BDX24365	J	31756	2173	130727	755140	108	70328	2742	494	52	5671	28	21	203	20	91	300	27	111	6
BDX24365	J	33564	1981	126038	752424	114	74346	2875	2263	44	5478	27	23	222	22	93	321	36	123	6
BDX24365	J	34673	1098	149622	725809	132	74608	2769	2170	44	8178	30	23	221	23	93	311	62	128	7
BDX24364	K	30377	2259	145345	742573	175	58930	1951	1441	51	15825	14	21	276	5	112	494	29	104	18
BDX24364	K	31272	2009	146553	733376	227	63884	2193	1607	64	17739	15	23	292	6	104	475	31	111	19
BDX24364	K	29547	1497	147289	729716	223	71464	2417	1268	61	15370	15	26	335	7	106	501	27	114	16
BDX24364	K	30061	1594	141383	745030	106	59217	2046	1602	66	17871	15	23	292	7	102	433	33	102	18
BDX24367	L	29990	1702	128926	766508	4052	44400	2487	1686	1328	17660	44	26	223	15	95	721	28	101	11
BDX24367	L	38061	1120	139200	746015	4027	45400	2599	1718	1006	19544	45	30	240	15	101	722	34	111	12
BDX24367	L	31868	2175	144222	743864	3541	47035	2870	1474	908	20628	48	29	250	18	108	799	33	118	12
BDX24367	L	34925	2222	146802	739540	3231	45708	2869	1766	872	20707	48	29	232	19	151	722	29	116	12

9. Rhyolites de A Petra - données EDXRF

BDX	Groupes	Na2O	MgO	Al2O3	SiO2	P2O5	K2O	CaO	TiO2	MnO	Fe2O3	Zn	Ga	Rb	Sr	Y	Zr	Nb	Ba	Pb
BDX22752	A	28811	1699	146878	762169	600	48266	2421	0	91	8295	47	26	375	9	39	101	28	134	14
BDX22752	A	42924	648	141582	754040	571	45075	3149	436	109	10700	58	26	356	8	55	116	23	110	16
BDX22753	M	51754	2236	136950	768597	190	26861	1008	1639	29	10150	15	45	106	4	25	211	49	123	8
BDX22753	M	34595	1025	144578	783857	428	28587	1222	0	30	4749	17	45	111	5	59	502	27	155	9
BDX22754	L	30178	586	126140	784827	102	37244	1018	926	69	17893	54	21	184	3	80	543	26	94	10
BDX22754	L	32151	642	119207	790801	98	33299	1022	1223	46	20586	33	16	156	3	72	515	25	95	11
BDX22755	K	30532	1714	130766	754228	128	55585	1759	1537	29	22491	11	23	272	5	109	673	33	91	16
BDX22755	K	29157	1774	131190	763785	148	48890	1641	1339	38	20900	12	26	250	5	100	598	32	98	16
BDX22755	K	37759	1728	122547	749765	241	57710	1930	2513	55	24262	14	28	306	6	129	837	38	114	18
BDX22756	B	29039	1126	138864	751988	328	40763	12115	2951	341	21221	28	12	175	152	20	93	22	726	35
BDX22756	B	31828	780	132264	764706	714	37791	11396	1988	293	17130	23	11	168	148	21	79	22	613	26
BDX22757	A	28382	979	134787	693325	395	115194	4240	2414	276	19048	47	18	519	19	36	145	20	139	17
BDX22757	A	28491	808	133474	704697	709	106591	3952	4574	286	15534	41	16	474	18	36	137	20	126	16
BDX22757	A	26072	965	141222	690989	641	119156	4255	3217	201	12118	284	18	521	17	33	116	20	140	14
BDX22757	A	29212	878	131069	711562	388	106559	3880	2425	220	12972	37	15	469	16	33	110	11	132	13
BDX22757	A	20213	2156	138427	724812	305	94764	3443	4888	200	10039	26	12	410	14	29	113	18	118	11
BDX22758	L	43112	610	136644	755044	104	45190	1682	921	237	15375	32	20	211	5	76	594	27	105	12
BDX22758	L	38633	748	132257	762412	93	38698	1392	1380	270	22967	40	26	180	5	86	655	40	100	18
BDX22759	J	40255	723	131632	794867	313	18041	912	875	77	11314	18	27	65	1	79	634	40	122	5
BDX22759	J	37359	697	128073	799719	122	16474	795	1483	57	14194	18	26	65	1	74	674	36	126	6
BDX22760	F	31055	1615	149645	755280	153	49813	2057	572	350	8053	21	30	223	7	125	863	26	101	9
BDX22760	F	36961	958	152246	751322	116	49731	2192	0	86	4781	11	33	221	7	169	991	42	125	7
BDX22761	L	33318	1889	139299	759457	391	42288	1318	1731	41	19249	21	26	202	2	90	520	34	102	20
BDX22761	L	34744	758	135185	761627	100	42056	1320	1186	69	21959	18	25	203	2	86	512	30	98	22
BDX22762	E	32268	2396	115770	791416	132	42945	1821	1529	207	10389	108	25	198	24	68	525	41	106	29
BDX22762	E	36068	1945	138580	762883	119	40594	1720	1803	237	14865	52	24	186	24	82	633	39	109	35
BDX22763	G	42381	626	123585	761281	415	62366	2136	0	24	6404	7	16	314	7	50	237	25	109	18

BDX	Groupes	Na2O	MgO	Al2O3	SiO2	P2O5	K2O	CaO	TiO2	MnO	Fe2O3	Zn	Ga	Rb	Sr	Y	Zr	Nb	Ba	Pb
BDX222763	G	29979	924	149388	758392	458	52895	1990	236	36	4987	8	14	300	6	44	200	25	104	14
BDX222764	L	27092	759	136155	761076	118	49699	1791	1154	79	20924	23	23	216	6	85	635	27	123	16
BDX222764	L	39914	985	138651	753431	107	37539	1277	1764	115	25151	27	25	167	6	78	610	29	108	17
BDX222765	B	39771	866	143529	745481	104	47769	6912	1727	314	12759	16	17	119	95	27	95	22	363	15
BDX222765	B	32794	821	147121	751546	108	48628	6429	1298	238	10296	14	16	117	87	24	91	21	343	10
BDX222766	A	27889	796	147612	700428	610	103405	3866	2721	195	11650	28	13	491	22	18	100	13	128	13
BDX222766	A	30655	1856	128760	709529	107	106519	4364	2159	230	14943	34	15	501	22	21	120	20	130	15
BDX222766	A	27428	981	128759	719606	126	106014	4416	2546	144	9094	23	12	503	21	24	132	20	129	24
BDX222767	K	32276	585	133885	757801	469	52215	1778	1623	15	18008	16	25	262	4	128	769	32	100	9
BDX222767	K	34957	589	112888	760054	120	64659	2101	1480	10	21907	16	24	316	3	101	640	30	94	12
BDX222768	K	42979	699	133669	758274	123	43176	1625	1307	14	17051	18	22	251	3	80	583	23	95	7
BDX222768	K	37596	1071	140749	746505	636	51297	2167	1381	13	17387	16	26	272	3	87	658	29	100	8
BDX222769	K	40021	1494	148916	761314	694	23700	878	1069	19	20791	13	33	116	7	121	649	36	119	12
BDX222769	K	38186	2126	146394	761346	651	27191	956	1106	17	20795	14	35	124	8	145	733	43	117	12
BDX222770	L	28771	2144	142529	749966	118	47908	1675	1336	116	23988	30	25	261	4	129	824	32	116	26
BDX222770	L	31790	645	133658	747498	100	52337	1845	1958	206	28710	45	29	279	4	89	603	51	118	33
BDX222771	L	38959	771	139603	756499	596	38052	1366	1151	162	21819	30	22	161	4	74	578	25	109	18
BDX222771	L	37018	791	139303	749045	103	42076	1447	1589	251	27247	37	21	175	4	88	649	28	102	29
BDX222772	I	40544	922	138034	762498	451	30450	1028	1285	56	23268	91	26	141	2	114	913	36	107	32
BDX222772	I	36635	1622	137063	762726	151	33149	1143	1480	59	24751	69	22	150	3	103	708	31	103	33
BDX222773	L	37551	1965	153624	734904	133	42647	1313	1232	99	25317	34	26	231	3	118	658	35	99	11
BDX222773	L	40907	2156	144857	731367	120	46840	1622	1594	218	28944	40	32	273	4	133	728	40	111	14
BDX222774	L	45994	1841	146271	722733	136	41901	1272	1746	167	36741	23	28	172	3	97	713	46	94	20
BDX222774	L	27432	976	131528	761318	220	36649	1093	1704	160	37338	22	26	150	3	149	1046	54	99	33
BDX222775	L	30348	1387	146874	733427	434	46473	1565	1776	241	35827	46	24	212	3	173	985	51	108	46
BDX222775	L	34334	1942	141898	738510	114	38529	1232	2001	242	39249	44	26	167	4	231	1278	62	79	57
BDX222776	L	34928	1560	111866	771180	151	48817	1620	1416	64	27298	20	25	264	2	90	535	37	107	19

BDX	Groupes	Na2O	MgO	Al2O3	SiO2	P2O5	K2O	CaO	TiO2	MnO	Fe2O3	Zn	Ga	Rb	Sr	Y	Zr	Nb	Ba	Pb
BDX22776	L	30195	1620	114889	776748	139	45256	1395	1331	53	27281	20	26	230	3	98	563	39	96	19
BDX22777	L	23552	537	119049	803764	279	42201	1453	359	40	7896	19	16	181	2	48	443	22	133	6
BDX22777	L	36260	517	116538	783668	255	35394	1179	1700	62	23285	21	16	146	2	92	702	44	108	11
BDX22778	K	28034	2038	135663	770009	110	45994	1502	1215	14	14286	10	24	225	3	94	634	30	106	9
BDX22778	K	32065	1891	134948	760629	131	48331	1689	1502	70	17650	10	22	240	3	85	601	24	98	11
BDX22779	F	33321	1457	128512	778608	186	43236	1771	1449	249	10048	16	20	187	4	96	690	35	108	7
BDX22780	L	32259	1270	118841	793761	322	35125	1117	375	38	15806	32	20	158	3	109	583	34	135	12
BDX22780	L	39301	856	147488	750652	109	36901	1355	945	58	21157	32	32	177	5	105	657	32	125	13
BDX22781	L	36202	770	143780	748064	114	46040	1892	2445	91	19240	30	25	211	4	116	779	43	130	24
BDX22781	L	30428	1839	127859	765917	129	48527	1875	1229	103	20798	31	24	229	5	106	726	39	110	25
BDX22782	L	46896	1315	141864	747070	129	42417	1678	1052	153	16383	29	24	186	5	78	574	29	102	15
BDX22782	L	29600	2081	123710	778534	325	40584	1536	1682	192	20565	31	20	172	4	97	686	46	115	19
BDX22783	L	33365	2219	138935	754212	110	43339	1564	1141	71	23995	17	26	208	3	93	554	28	100	22
BDX22783	L	36758	1527	135429	752637	165	42141	1944	1390	86	26757	24	28	208	2	109	623	35	113	25
BDX22784	K	33672	642	123921	757769	106	61874	2172	1451	17	17082	15	29	315	4	100	692	28	102	10
BDX22784	K	42194	641	137832	724619	96	67157	2290	2200	91	21479	23	28	337	4	129	737	34	99	11
BDX22785	L	46605	1589	121830	754001	124	24174	895	1872	132	47644	26	28	106	4	118	670	56	98	29
BDX22785	L	40135	1652	135360	744629	132	27275	1181	1643	128	46458	41	31	131	5	138	837	51	138	37
BDX22786	L	32644	1704	134673	756150	136	40669	1328	1286	79	30240	21	23	180	3	92	613	33	111	14
BDX22786	L	30526	547	128258	762057	120	41404	1336	1347	140	32872	26	23	198	3	136	845	35	109	18
BDX22787	L	35921	1575	122462	767567	208	46287	1674	1136	178	21560	25	31	200	5	118	876	30	131	16
BDX22787	L	35201	984	109075	782505	669	44495	1771	1160	175	22408	26	29	208	4	129	959	33	154	16
BDX22788	L	42244	1629	137625	732241	162	47868	1605	1921	67	33271	61	28	237	5	112	735	43	112	35
BDX22788	L	33180	862	138271	738738	99	49536	1665	1936	125	34176	61	29	245	5	116	760	46	115	35
BDX22789	K	36347	1650	95835	807266	188	38120	1299	1555	17	16632	15	24	227	3	88	587	31	106	10
BDX22789	K	31582	2030	132835	754511	457	51038	1929	2032	16	22298	17	27	276	4	98	678	35	125	12
BDX22790	L	38135	733	117161	770835	117	44031	1555	1355	129	24692	37	28	236	4	96	681	38	105	31

BDX	Groupes	Na2O	MgO	Al2O3	SiO2	P2O5	K2O	CaO	TiO2	MnO	Fe2O3	Zn	Ga	Rb	Sr	Y	Zr	Nb	Ba	Pb
BDX22790	L	35346	2078	142735	758924	354	37579	1168	875	87	20004	25	26	180	3	51	393	28	109	34
BDX22791	L	42884	740	150609	746125	122	35003	1668	1012	142	20858	47	19	166	5	53	403	26	100	17
BDX22791	L	38657	671	142685	753698	106	35465	1270	1163	154	25197	55	19	165	4	70	457	33	112	21
BDX22792	F	35226	1991	140947	769487	132	47455	1932	0	58	2002	19	33	193	4	35	308	19	149	7
BDX22793	C	34366	2459	100377	827280	198	18489	2492	0	285	13610	27	17	96	36	36	60	20	115	40
BDX22794	L	35352	1420	114535	766185	171	44034	1381	1552	206	33880	44	30	218	4	118	695	32	113	29
BDX22794	L	37146	1428	109471	754588	221	50001	1756	1778	250	41662	49	31	263	4	152	977	46	132	43
BDX22795	L	32210	1434	140995	746182	629	51054	2054	1371	92	22733	23	21	226	5	94	695	34	126	20
BDX22795	L	33915	1512	138933	741756	597	53394	2115	1422	90	24927	29	22	252	5	101	740	41	129	21
BDX22796	D	34680	715	144820	755012	695	48752	2994	1375	106	9872	21	17	160	148	43	187	19	371	14
BDX22796	D	40949	879	149488	747170	703	47393	2690	1134	59	8611	24	16	143	130	44	170	22	364	13
BDX22797	L	43243	640	131367	751722	205	45810	1705	1135	102	22732	30	22	253	3	95	767	30	119	20
BDX22797	L	26365	599	133804	751629	219	56744	1974	1371	112	25536	29	22	284	3	165	945	52	116	29
BDX22798	K	34690	1253	129607	778833	768	40871	1483	255	26	10990	14	33	133	4	106	749	52	120	13
BDX22798	K	30402	1905	128867	782972	129	40992	1415	169	34	11949	14	31	132	4	106	720	34	107	19
BDX22799	L	31940	2105	137771	769092	182	36649	1534	975	89	18310	21	30	188	5	123	808	52	111	16
BDX22799	L	33643	1759	108018	799243	197	33520	1695	916	126	19505	26	32	203	5	127	829	32	108	16
BDX22800	L	30385	2135	141170	742348	143	48647	1722	1604	207	30444	53	29	286	4	87	567	35	113	23
BDX22800	L	28263	2243	143904	727722	127	56705	1866	1719	184	35697	46	29	306	4	137	848	42	119	39
BDX22801	L	37235	698	154101	740090	118	41831	1915	1174	120	21477	56	27	178	7	103	703	39	105	24
BDX22801	L	35877	681	149895	737311	115	44994	1995	1420	163	26301	70	27	202	7	88	678	41	104	30
BDX22802	K	33502	1776	133497	765593	157	41320	2517	1269	54	18966	11	32	184	5	120	805	45	126	18
BDX22803	B	45668	1920	143795	729783	600	53798	3615	1996	921	16806	33	18	227	212	50	154	30	337	36
BDX22803	B	34406	1943	146315	741223	610	53506	3848	2126	1001	13976	25	17	206	200	44	148	23	338	42
BDX22804	L	30634	1978	131682	761136	131	44674	1586	1430	177	25550	51	21	210	5	64	514	29	109	21
BDX22804	L	30634	1978	131682	761136	131	44674	1586	1430	177	25550	51	21	210	5	64	514	29	109	21
BDX22804	L	31749	1866	128063	758086	139	47295	1817	1512	179	28213	62	22	232	5	64	526	33	113	24

BDX	Groupes	Na2O	MgO	Al2O3	SiO2	P2O5	K2O	CaO	TiO2	MnO	Fe2O3	Zn	Ga	Rb	Sr	Y	Zr	Nb	Ba	Pb
BDX22805	K	33295	1542	122747	782564	182	28841	3916	1453	35	24242	14	28	124	8	148	667	51	131	12
BDX22806	H	31163	1076	135661	740133	485	66268	2974	1522	50	19577	24	19	313	5	60	532	31	96	11
BDX22807	L	30765	1792	129568	751397	135	49958	2565	1445	224	30994	23	25	220	5	96	620	30	120	19
BDX22807	L	31964	1463	147317	720222	107	56344	2527	1629	309	36611	29	29	250	6	133	874	35	123	27
BDX22808	K	27038	671	140306	744778	111	63473	2264	2386	55	17572	15	28	328	4	109	686	54	113	10
BDX22808	K	28799	2313	144330	737142	124	60598	2045	2133	38	21033	16	28	327	4	122	771	57	111	11
BDX22809	K	33843	818	129823	767323	122	45658	2054	1643	29	17606	12	24	248	3	85	576	31	94	7
BDX22809	K	40165	746	141369	736988	99	62676	2424	1720	95	12264	25	32	346	4	112	795	35	97	8
BDX22810	B	31126	749	141635	739165	201	69962	3647	1029	397	9986	41	15	270	185	39	124	20	1374	35
BDX22810	B	31959	749	145381	746451	108	48984	3000	609	722	19984	45	18	215	161	41	132	20	1397	24
BDX22811	I	32057	1627	123675	763364	153	46839	1612	1343	95	28015	70	25	222	3	89	610	33	130	39
BDX22811	I	31487	1534	120362	764201	141	48914	1766	1535	88	28706	75	25	232	3	96	644	36	115	41
BDX22812	L	28690	1095	112059	780811	572	55039	2395	1540	93	16324	37	25	280	6	122	755	28	119	10
BDX22812	L	33091	1494	102998	753693	893	75595	3064	1921	85	25298	49	37	399	8	165	998	50	149	13
BDX22813	L	33997	677	132827	784088	195	37371	1351	1517	38	7038	24	27	151	3	61	477	17	132	9
BDX22813	L	41126	1009	153361	760378	372	30926	1248	1111	47	9318	20	37	130	5	95	673	19	118	9
BDX22813	L	33530	608	128156	787058	216	37210	1252	923	36	9950	27	23	156	3	83	608	24	129	9
BDX22813	L	27524	1746	135203	786366	143	33254	1105	819	41	12573	27	22	137	3	117	775	18	116	11
BDX22813	L	31281	1517	143883	764833	228	34591	1103	1619	20	20033	29	25	144	2	62	466	33	100	28
BDX22814	L	33644	803	140288	769515	576	42420	1353	0	20	10590	10	25	169	2	52	403	17	104	9
BDX22814	L	39217	1204	143009	758973	115	34232	1085	1534	23	19728	28	24	142	2	61	459	34	104	25
BDX22814	L	33398	1132	135413	750948	535	44544	1564	1697	145	29144	34	27	200	3	126	906	52	97	35
BDX22814	L	35993	562	132072	756391	107	38940	1313	1695	170	31384	41	25	173	2	111	838	50	98	35
BDX22815	K	36325	815	148623	770237	116	24234	834	1675	44	16111	8	26	115	3	89	613	26	98	10
BDX22815	K	35054	632	142344	774780	108	26669	908	1449	33	16977	9	25	119	3	89	669	23	99	11
BDX22816	L	36456	1491	119237	753223	172	60865	2223	1206	117	23991	31	28	312	3	51	424	32	118	18
BDX22816	L	34693	1560	121053	753184	152	59716	2705	1353	114	24018	32	27	300	5	104	827	29	109	20

BDX	Groupes	Na2O	MgO	Al2O3	SiO2	P2O5	K2O	CaO	TiO2	MnO	Fe2O3	Zn	Ga	Rb	Sr	Y	Zr	Nb	Ba	Pb
BDX22817	L	42548	1119	150595	707106	542	40744	1535	2003	254	52018	54	43	212	6	140	823	62	154	43
BDX22817	L	32298	1768	116481	750391	139	51869	1934	1899	241	41263	64	25	276	4	168	945	50	139	44
BDX22818	J	35330	1988	139936	747614	153	49824	1781	1532	181	20460	19	24	234	2	103	672	27	113	8
BDX22818	J	45956	728	149048	740563	115	38838	1326	1584	201	20485	18	25	164	3	113	686	27	112	8
BDX22818	J	28046	673	144887	760502	108	40971	2751	1254	185	19519	21	26	181	3	96	620	25	122	9
BDX22819	L	38036	1022	145491	757500	617	45499	1626	1413	48	7405	25	37	212	5	120	765	51	104	21
BDX22819	L	33707	636	136931	771170	365	44785	1980	1475	52	7567	27	32	223	6	114	760	47	100	23
BDX22820	K	28505	1886	131183	769574	618	41516	1742	1446	16	22310	22	22	221	3	145	615	51	114	12
BDX22820	K	32051	1774	124882	773789	544	40799	1534	1489	40	21624	25	21	219	4	377	649	58	108	15
BDX22821	L	35138	1358	141148	743732	106	43000	1481	1527	57	31331	25	27	197	5	76	630	32	110	19
BDX22821	L	42466	2411	149510	721465	117	43609	1846	1666	122	35820	26	29	201	6	50	476	30	128	20
BDX22822	I	29253	1583	122077	766251	134	42664	1790	1591	174	32984	66	27	196	3	131	865	38	142	33
BDX22822	I	40630	1974	144015	734929	118	45772	2085	1617	87	27350	81	32	218	4	111	753	55	132	37
BDX22823	K	36377	567	130217	772378	94	35215	1072	1374	34	21504	15	21	172	3	121	682	48	93	12
BDX22823	K	37848	961	131522	765237	437	42367	1281	1070	46	18104	22	19	235	3	107	589	37	100	13
BDX22824	L	34214	1174	137626	789731	391	27729	988	0	43	7187	42	24	124	3	73	514	20	105	13
BDX22824	L	31590	1929	136411	760257	141	28293	1334	1992	178	36424	68	31	154	4	137	853	49	126	29
BDX22825	L	32813	1099	124222	741655	114	68134	3356	2507	113	24143	45	33	427	3	151	1009	47	117	10
BDX22825	L	28633	2108	143503	736675	122	65030	2444	1389	11	18637	18	28	338	3	127	790	25	109	11
BDX22826	F	47453	1113	150547	755351	552	41444	1497	0	21	1057	17	43	170	4	63	498	19	143	6
BDX22826	F	41049	2124	150976	766206	385	36162	1219	0	12	797	12	37	149	4	86	629	25	119	6
BDX22827	L	26320	678	137784	752528	98	57659	1921	1715	77	20014	18	24	288	3	85	642	34	102	10
BDX22827	L	37165	720	131994	749123	98	56144	2000	1566	74	19939	19	25	283	3	83	625	33	97	10
BDX22828	N	26780	608	124048	717801	96	86452	2968	2124	178	37299	30	27	431	10	127	793	37	155	34
BDX22828	N	35541	606	119451	722871	104	67917	2335	2131	186	47372	27	24	334	9	133	762	47	112	37
BDX22828	N	26279	668	133460	681648	94	100121	3410	2335	234	50335	26	28	473	11	83	584	41	130	40
BDX22829	L	40751	844	128126	787645	527	26586	981	539	111	12941	21	21	131	3	76	548	35	100	12

BDX	Groupes	Na2O	MgO	Al2O3	SiO2	P2O5	K2O	CaO	TiO2	MnO	Fe2O3	Zn	Ga	Rb	Sr	Y	Zr	Nb	Ba	Pb
BDX22829	L	40063	663	130008	785009	157	26461	1014	533	119	14949	25	27	130	5	86	598	33	108	13
BDX22830	L	41267	1308	143986	723878	130	46987	1683	1558	147	37886	49	25	246	4	78	596	31	115	27
BDX22830	L	42424	609	137386	732073	106	48346	1614	1615	132	34436	67	22	252	3	89	658	28	108	33
BDX22831	L	31978	1797	137506	740502	171	52328	1831	1853	64	30382	83	31	286	2	101	908	45	118	14
BDX22831	L	32479	1901	139048	742272	167	50558	1646	1938	68	28330	72	33	254	3	109	942	40	123	15
BDX22832	L	29353	875	141523	749188	117	53331	1941	1331	56	21103	35	26	245	3	77	617	36	114	28
BDX22832	L	31802	2395	139498	743439	145	50953	1753	1792	94	26670	37	30	227	3	102	848	46	123	41
BDX22833	L	39033	1166	145518	738024	118	33017	1087	1771	202	39050	31	25	147	3	83	539	54	109	23
BDX22833	L	29467	2100	131930	750049	130	36678	1220	1866	242	44981	37	24	161	3	130	789	47	115	31
BDX22834	M	28667	1400	140748	750634	560	60532	2004	1149	32	13240	15	19	283	8	91	461	32	107	18
BDX22834	M	35547	1387	143617	748130	208	53396	1906	1251	18	13599	13	18	264	8	79	405	28	109	18
BDX22834	M	27341	728	137844	757535	107	61560	2052	1061	28	10505	15	19	290	9	128	607	33	120	18
BDX22835	L	29751	1862	119021	784232	179	39219	1608	1155	182	21396	40	29	182	6	129	822	53	118	17
BDX22835	L	36337	1274	148627	746798	147	41396	1682	1196	188	21002	43	31	183	7	127	795	36	112	18
BDX22836	H	31440	2218	121347	779203	153	49196	1772	2027	17	11430	22	27	248	5	94	662	34	96	9
BDX22837	K	31391	1387	109778	747633	281	81490	2784	1943	14	21737	25	30	432	5	117	797	32	107	18
BDX22838	K	37194	1961	131261	766699	398	40438	1250	1007	21	18661	13	23	212	3	99	624	27	100	8
BDX22838	K	45497	2103	157333	737739	169	32749	1049	1188	29	20695	16	42	168	3	137	918	36	121	8
BDX22838	K	36369	2134	144083	751524	377	44116	1497	729	48	17880	10	31	196	3	107	738	34	113	9
BDX22839	G	27524	913	143649	767119	492	51705	2494	0	16	5288	7	19	303	10	59	242	22	120	17
BDX22839	G	27524	913	143649	767119	492	51705	2494	0	16	5288	7	19	303	10	59	242	22	120	17
BDX22839	G	33637	2210	150522	753940	534	50693	2221	0	11	5489	5	17	279	7	59	211	26	124	16
BDX22840	K	28842	2190	148727	738631	121	47827	2097	2006	39	28235	12	28	260	4	109	720	37	104	12
BDX22841	G	32797	2263	154215	732680	143	68687	2885	0	11	5468	7	18	376	10	55	233	21	114	17
BDX22841	G	32797	2263	154215	732680	143	68687	2885	0	11	5468	7	18	376	10	55	233	21	114	17
BDX22842	L	36022	2217	115088	764453	124	45486	1664	1660	215	31825	35	17	296	3	99	626	39	115	17
BDX22842	L	27609	1734	137086	765327	178	33545	1394	1489	249	30359	66	20	152	4	74	540	44	103	25

BDX	Groupes	Na2O	MgO	Al2O3	SiO2	P2O5	K2O	CaO	TiO2	MnO	Fe2O3	Zn	Ga	Rb	Sr	Y	Zr	Nb	Ba	Pb
BDX22843	L	31765	2063	133245	766679	460	38378	1797	1497	176	22717	52	23	159	5	97	714	36	120	16
BDX22844	G	36760	1948	136785	745393	693	67936	2674	196	21	6754	9	21	342	12	51	236	26	124	22
BDX22844	G	33350	1077	129533	765778	698	60358	2457	375	12	5624	11	17	306	8	53	203	19	100	22
BDX22845	E	32087	2108	138509	749272	165	47387	3053	2090	312	23186	82	36	234	37	127	1123	41	128	24
BDX22845	E	31502	1944	129787	756726	117	48991	3267	1928	335	24012	85	32	248	36	119	670	49	116	37
BDX22845	E	30889	2075	143794	745679	128	48063	3093	1971	293	22675	80	31	226	35	109	673	38	119	30
BDX22846	N	30949	2171	132973	776726	134	42188	1468	2094	130	10288	14	25	168	7	73	426	37	110	19
BDX22846	N	40136	1743	118659	768571	182	49767	1940	2119	172	15654	22	29	208	8	84	483	44	138	40

10. Analyses LA-ICP-MS

Source	BDX	Li	B	Na	Mg	Al	Si	K	Ca	Sc	Ti	Mn	Fe	Zn	Rb	Sr	Y	Zr	Nb	Cs
StagnuSe	BDX17878	4,77	5,03	27201,02	394,02	76945,98	329208,64	69155,60	878,42	9,67	694,49	144,40	18017,66	51,74	382,43	3,68	32,02	229,08	30,74	11,85
StagnuSe	BDX17879	20,66	6,44	22891,13	1931,30	57049,75	364958,48	38123,53	770,97	10,69	697,48	120,60	19091,22	92,92	271,35	2,90	85,89	676,41	57,10	7,67
StagnuSe	BDX17880	12,85	7,61	19139,74	2034,63	66229,66	348005,53	55430,70	646,90	8,40	706,56	172,52	20955,62	86,25	389,76	2,84	75,25	635,71	49,47	9,82
StagnuSr	BDX17881	92,29	16,46	5151,87	8246,58	66709,71	359466,01	47069,25	823,36	13,76	2227,83	79,04	14724,72	61,89	493,51	2,74	20,10	74,84	28,34	12,39
StagnuSr	BDX17882	8,28	4,94	29463,26	1018,03	68024,40	343670,07	48144,04	809,16	10,55	771,40	69,00	22927,03	23,29	319,71	4,31	72,10	573,67	56,34	6,79
StagnuSr	BDX17883	10,68	2,90	16979,55	823,73	59417,43	361702,31	60102,99	889,99	11,76	254,54	48,39	9300,77	22,16	415,69	2,56	116,34	763,25	19,15	4,53
StagnuSr	BDX17884	7,01	6,40	22599,00	873,81	63304,49	354275,44	54109,02	940,58	10,50	554,75	55,51	15151,52	12,65	371,80	4,15	54,12	385,38	34,68	8,40
StagnuSr	BDX17885	16,19	6,48	51807,75	748,54	88373,01	323776,60	29340,82	942,27	12,42	2463,54	165,17	17669,52	49,76	186,81	6,67	300,68	1145,98	144,87	1,56
Alzu	BDX17886	28,85	1,10	32064,13	2282,55	78358,22	336411,38	32708,62	10774,79	12,31	875,52	312,58	19345,05	34,52	132,72	101,73	12,20	82,90	12,31	0,93
Alzu	BDX17887	13,68	4,00	31733,37	287,42	77225,39	350526,47	35774,91	8310,31	10,58	362,55	66,88	2813,87	8,69	125,12	146,61	10,29	81,05	6,84	0,46
Alzu	BDX17888	39,23	1,48	28673,68	2110,18	70648,33	354211,04	28125,26	11786,09	11,96	1347,29	178,71	8737,11	35,12	110,64	97,27	20,74	157,84	11,27	0,97
Alzu	BDX17889	21,18	0,73	27103,98	800,51	75761,41	345689,13	42686,08	9789,26	11,64	612,72	136,51	8238,78	11,10	133,94	112,87	13,23	119,20	8,68	0,58
Alzu	BDX17890	19,81	0,87	31810,44	1545,61	77309,97	341713,67	45069,79	5818,80	10,26	404,86	176,29	8858,42	18,77	180,57	75,88	8,81	61,78	4,75	0,71
Alzu	BDX17891	27,95	1,71	33802,39	833,72	76605,56	351326,71	29614,47	10167,00	10,85	401,34	87,04	3428,09	10,87	116,51	109,39	12,43	118,76	5,73	0,90
Alzu	BDX17892	17,22	1,33	19675,13	2033,52	71694,48	343394,98	53024,36	9706,35	18,21	1130,15	349,27	12873,16	33,93	232,63	99,65	21,03	150,51	11,55	4,73
Alzu	BDX17893	37,13	1,30	24275,33	1682,98	74445,72	345532,45	45686,21	8544,31	11,95	1190,31	270,37	9655,45	32,22	182,97	110,24	7,87	56,14	9,52	3,30
Alzu	BDX17894	30,55	1,57	30907,76	1735,41	83285,11	333759,47	49941,81	8013,28	9,27	369,77	214,52	7145,08	25,25	236,39	95,90	11,53	169,57	2,23	3,57
Alzu	BDX17895	52,47	2,07	26164,23	1426,43	78652,84	341514,93	40136,18	10669,70	10,03	1109,09	255,82	11189,17	27,13	178,46	111,65	19,91	151,45	14,74	2,30
M dOro	BDX17907	4,29	1,40	28645,84	790,47	78320,35	342621,06	57186,26	3086,47	8,98	352,56	66,34	2860,20	12,25	212,76	50,81	11,21	61,18	4,45	1,23
M dOro	BDX17909	15,44	0,62	27001,89	1738,16	70414,91	352303,08	41428,70	5867,50	10,73	815,17	251,62	9196,95	12,88	163,77	48,51	13,96	90,74	10,06	2,21
M dOro	BDX17910	17,36	1,03	27533,61	1868,65	68048,42	359410,13	34832,94	7329,90	10,35	552,24	144,70	5634,59	18,38	171,28	65,59	22,72	87,17	6,39	1,94
M dOro	BDX17912	4,23	1,45	33931,88	1325,56	72016,24	355545,77	29977,34	4704,83	7,97	520,85	251,88	7339,56	30,32	127,99	52,49	19,54	115,32	8,43	0,71
Castelli	BDX17917-20-24	156,70	2,12	23264,86	2402,45	86889,35	325118,98	55224,52	9823,88	18,66	1292,62	778,62	13596,49	38,96	307,91	84,47	16,19	188,14	18,34	4,61
Castelli	BDX17929	55,44	1,19	22103,66	1189,06	71764,40	352416,31	44718,28	8354,53	12,15	798,83	436,18	6691,19	24,14	189,54	84,93	16,22	143,02	10,48	2,21
Castelli	BDX17930	84,23	1,56	29809,07	2284,22	83907,18	330266,95	44079,78	9476,94	12,59	1491,16	986,30	13356,97	44,05	251,09	95,95	12,15	140,94	15,08	5,06
Castelli	BDX17931	32,35	0,93	32869,00	1142,93	90030,98	325581,40	46750,90	11338,94	11,63	1353,93	689,64	7021,49	21,32	218,61	122,25	18,79	191,23	16,34	3,87
Castelli	BDX17932	43,95	1,42	21429,48	1262,75	73274,04	346617,88	50349,55	8718,87	14,00	1304,48	694,03	7738,56	31,28	235,16	94,99	26,75	172,50	16,28	3,36

Source	BDX	Ba	La	Ce	Pr	Nd	Sm	Eu	Gd	Tb	Dy	Ho	Er	Tm	Yb	Lu	Hf	Ta	Th	U
StagnuSe	BDX17878	12,62	81,50	146,00	14,61	52,88	10,05	0,03	8,86	1,03	5,68	1,19	3,49	0,50	3,66	0,48	7,12	2,25	17,53	4,45
StagnuSe	BDX17879	7,97	5,03	17,76	1,42	5,84	3,01	0,02	5,13	1,80	14,44	3,19	9,41	1,36	9,63	1,27	17,32	3,04	31,90	8,45
StagnuSe	BDX17880	7,38	64,76	147,14	18,28	77,83	19,05	0,06	15,37	2,13	12,77	2,65	7,92	1,16	8,69	1,14	16,98	2,99	30,49	8,66
StagnuSr	BDX17881	138,65	62,16	136,80	13,71	53,67	10,73	0,88	9,03	0,91	3,94	0,71	1,97	0,27	1,91	0,26	2,63	2,05	14,00	2,86
StagnuSr	BDX17882	13,69	9,81	26,95	2,85	12,50	5,30	0,03	7,10	1,87	13,09	2,71	7,38	1,04	7,38	0,96	15,56	3,06	25,65	5,65
StagnuSr	BDX17883	8,10	59,74	141,38	15,46	62,24	14,58	0,05	12,86	2,59	18,50	4,04	11,57	1,59	10,76	1,35	20,41	1,48	34,68	12,44
StagnuSr	BDX17884	16,62	30,69	80,00	8,27	32,74	7,91	0,02	8,18	1,42	8,91	1,83	5,25	0,74	5,32	0,71	10,76	2,69	20,69	7,71
StagnuSr	BDX17885	5,63	7,90	57,76	13,20	87,99	49,18	0,30	47,36	9,62	59,47	10,56	25,53	3,20	20,29	2,42	30,10	5,61	38,00	19,37
Alzu	BDX17886	506,53	23,04	45,67	4,53	16,82	2,95	0,29	2,85	0,37	2,16	0,42	1,14	0,16	1,20	0,16	2,41	0,77	16,70	2,67
Alzu	BDX17887	740,95	48,90	39,30	6,71	22,81	3,47	1,03	3,46	0,37	1,94	0,36	1,03	0,14	1,01	0,13	2,57	0,67	9,63	2,64
Alzu	BDX17888	393,00	28,35	46,62	5,04	19,04	3,44	0,58	2,78	0,45	2,95	0,64	1,96	0,29	2,14	0,30	4,80	0,74	21,40	4,65
Alzu	BDX17889	567,70	29,21	54,14	5,24	19,56	3,76	0,49	3,46	0,45	2,50	0,49	1,35	0,19	1,40	0,19	3,61	0,80	17,06	3,53
Alzu	BDX17890	747,26	23,64	45,23	4,50	17,57	3,09	0,51	2,87	0,34	1,75	0,32	0,87	0,11	0,76	0,10	1,96	0,52	13,93	1,99
Alzu	BDX17891	425,25	20,09	33,46	3,18	11,71	2,11	0,51	2,18	0,31	2,01	0,43	1,28	0,19	1,42	0,19	3,52	0,61	12,96	3,58
Alzu	BDX17892	755,36	38,22	77,01	7,85	30,26	5,45	0,63	5,20	0,65	3,64	0,71	2,07	0,30	2,21	0,30	4,52	0,95	18,04	5,01
Alzu	BDX17893	747,16	13,15	24,06	2,41	8,84	1,60	0,17	1,55	0,21	1,27	0,27	0,82	0,12	0,91	0,12	1,92	0,66	12,62	2,11
Alzu	BDX17894	691,19	11,35	22,25	2,14	7,74	1,37	0,15	1,25	0,22	1,58	0,38	1,33	0,22	1,85	0,28	4,93	0,30	12,42	4,50
Alzu	BDX17895	610,68	44,32	87,44	8,63	31,87	5,68	0,69	4,38	0,63	3,70	0,70	1,96	0,28	2,12	0,29	4,56	1,09	18,29	4,91
M dOro	BDX17907	539,26	17,49	35,10	3,09	10,06	1,50	0,33	1,23	0,21	1,53	0,36	1,21	0,21	1,90	0,33	2,29	0,29	11,20	3,77
M dOro	BDX17909	437,37	12,34	25,28	2,52	9,53	2,05	0,46	1,75	0,35	2,35	0,51	1,57	0,25	2,08	0,30	3,33	0,84	8,17	3,46
M dOro	BDX17910	305,27	14,25	28,90	2,85	10,74	2,23	0,47	2,05	0,43	3,22	0,73	2,33	0,37	2,92	0,41	2,77	0,55	6,43	3,25
M dOro	BDX17912	344,65	21,78	42,91	4,13	14,82	2,61	0,51	2,09	0,39	2,78	0,64	2,14	0,35	2,82	0,40	4,00	0,76	14,23	3,94
Castelli	BDX17917-20-24	738,10	13,65	20,89	1,84	6,48	1,20	0,17	1,36	0,26	2,06	0,53	1,78	0,28	2,32	0,32	5,57	1,35	15,70	5,48
Castelli	BDX17929	691,18	34,77	66,41	6,43	23,79	4,03	0,67	3,57	0,51	2,95	0,59	1,62	0,23	1,66	0,23	4,37	0,90	18,67	4,40
Castelli	BDX17930	693,71	9,95	16,26	1,45	5,14	1,03	0,26	1,12	0,22	1,64	0,39	1,31	0,21	1,65	0,24	4,16	1,19	15,19	3,78
Castelli	BDX17931	714,36	29,36	55,37	5,26	18,90	3,30	0,35	2,97	0,45	2,84	0,64	2,03	0,31	2,50	0,34	5,69	1,36	24,80	6,25
Castelli	BDX17932	734,48	72,78	146,74	14,19	52,30	9,11	0,85	7,61	0,97	5,07	0,94	2,50	0,34	2,54	0,33	5,17	1,29	24,59	5,66

11. Analyses MEB-EDS

BDX	Source	Na2O	MgO	Al2O3	SiO2	P2O5	K2O	CaO	TiO2	MnO	Fe2O3
BDX17878	Stagnum	3,66	0,15	10,21	81,28	0,52	3,3	0	0	0	0,89
BDX17878	Stagnum	3,79	0,19	11,83	78,24	0,53	4,54	0	0,05	0	0,83
BDX17878	Stagnum	3,58	0,11	10,24	81,32	0,54	3,43	0	0,03	0	0,74
BDX17878	Stagnum	3,83	0,11	11,05	79,56	0,54	3,89	0	0,05	0	0,96
BDX17878	Stagnum	3,84	0,13	11,63	78,54	0,55	4,4	0	0,03	0	0,88
BDX17878	Stagnum	3,74	0,12	10,98	79,66	0,56	3,89	0	0,04	0	1,01
BDX17878	Stagnum	3,57	0,13	11,04	79,29	0,56	4,17	0	0,07	0	1,16
BDX17878	Stagnum	4,25	0,14	11,45	78,89	0,58	3,65	0	0,03	0,02	0,99
BDX17878	Stagnum	4	0,14	11,32	79,26	0,58	3,88	0	0,04	0	0,78
BDX17878	Stagnum	3,63	0,2	9,91	81,49	0,59	2,96	0	0,05	0	1,17
BDX17878	Stagnum	4,45	0,2	12,42	77,36	0,59	4,19	0	0,03	0	0,77
BDX17878	Stagnum	4,01	0,16	11,35	79,25	0,6	3,85	0	0,05	0	0,74
BDX17879	Stagnum	3,27	0,16	9,1	82,57	0	3,58	0	0,07	0	1,25
BDX17879	Stagnum	2,75	0,22	8,58	83,43	0	3,73	0	0,13	0	1,17
BDX17879	Stagnum	3,08	0,23	9,23	82,31	0	3,8	0,04	0,08	0	1,23
BDX17879	Stagnum	2,9	0,21	9,11	82,27	0	3,98	0,06	0,08	0	1,4
BDX17879	Stagnum	2,69	0,16	8,92	82,69	0	4,1	0	0,06	0,07	1,31
BDX17879	Stagnum	2,79	0,26	9,51	81,81	0	4,17	0	0	0	1,46
BDX17879	Stagnum	2,84	0,15	9,21	82,41	0	4,18	0	0	0,06	1,15
BDX17879	Stagnum	2,87	0,21	9,53	81,76	0	4,22	0	0,08	0	1,32
BDX17879	Stagnum	2,48	0,27	9,08	82,26	0	4,29	0	0,11	0	1,51
BDX17879	Stagnum	2,69	0,16	10,52	79,85	0	5,58	0	0,06	0	1,14
BDX17880	Stagnum	2,31	0,26	9,19	83,14	0,51	3,42	0	0,03	0,04	1,1
BDX17880	Stagnum	1,84	0,34	9,87	81,61	0,54	4,63	0	0,07	0	1,08
BDX17880	Stagnum	3,18	0,18	9,18	83,11	0,55	2,84	0	0,03	0	0,93
BDX17880	Stagnum	3,44	0,24	10,54	80,38	0,55	3,56	0	0,05	0	1,23
BDX17880	Stagnum	2,34	0,28	11,41	78,84	0,55	5,47	0	0,03	0	1,09
BDX17880	Stagnum	1,64	0,2	12,52	76,45	0,55	7,75	0	0	0	0,89
BDX17880	Stagnum	2,61	0,24	15,72	70,58	0,55	9,3	0	0	0	0,99
BDX17880	Stagnum	2,82	0,36	12,03	78,07	0,56	5,1	0	0,04	0	1,02
BDX17880	Stagnum	4,02	0,39	11,37	78,93	0,57	3,2	0	0,06	0	1,46
BDX17880	Stagnum	2,72	0,25	9,61	82,11	0,57	3,62	0	0,08	0	1,04
BDX17880	Stagnum	3,33	0,27	10,82	79,1	0,57	3,93	0	0,43	0	1,55
BDX17880	Stagnum	3,4	0,33	11,38	78,96	0,57	4,04	0	0,06	0	1,25
BDX17880	Stagnum	1,61	0,62	13,62	74,77	0,57	7,39	0	0,04	0	1,37
BDX17880	Stagnum	1,66	0,68	15,18	71,7	0,57	8,47	0	0,06	0	1,69
BDX17881	Stagnum	1,36	0,77	8,22	85,24	0	3,46	0	0,08	0	0,87
BDX17881	Stagnum	1,18	0,87	8,31	85,07	0	3,49	0	0,09	0	0,98
BDX17881	Stagnum	0,58	1,1	8,09	85,34	0	3,59	0,04	0,05	0,08	1,14
BDX17881	Stagnum	0,84	0,98	8,27	84,99	0	3,69	0	0,08	0	1,14
BDX17881	Stagnum	1,16	0,97	8,79	84,18	0	3,7	0	0,1	0	1,1
BDX17881	Stagnum	1,29	0,91	9,24	83,31	0	4,21	0,05	0,08	0	0,92
BDX17881	Stagnum	1,47	1,29	11,28	79,79	0	4,59	0	0,12	0,08	1,39
BDX17881	Stagnum	1,29	1,12	10,44	81,21	0	4,6	0,07	0,1	0	1,17
BDX17881	Stagnum	1,38	1,27	11,16	80,05	0	4,61	0,05	0,11	0	1,37
BDX17881	Stagnum	1,34	0,89	9,21	83,29	0,14	3,83	0,11	0,11	0	1,08
BDX17882	Stagnum	3,67	0	8,93	82,77	0	3,13	0	0,11	0	1,39
BDX17882	Stagnum	3,39	0,11	9,07	82,68	0	3,21	0	0	0	1,54
BDX17882	Stagnum	4,24	0	10,1	80,73	0	3,31	0	0	0	1,62
BDX17882	Stagnum	3,27	0	9,14	82,25	0	3,73	0	0,13	0	1,47
BDX17882	Stagnum	3,61	0,12	10	80,84	0	3,86	0	0	0	1,57
BDX17882	Stagnum	3,58	0	10,18	80,6	0	4,27	0	0	0	1,36
BDX17882	Stagnum	3,26	0	9,89	80,18	0	4,39	0	0,13	0	2,16
BDX17882	Stagnum	3,87	0	10,71	79,39	0	4,5	0	0	0	1,53
BDX17882	Stagnum	3,31	0,14	10,26	80,09	0	4,61	0	0,09	0	1,5
BDX17882	Stagnum	3,23	0,12	10,33	80	0	4,77	0	0	0	1,56
BDX17882	Stagnum	4,19	0,08	11,69	77,08	0	4,95	0	0,12	0	1,89
BDX17882	Stagnum	3,66	0	11,57	77,7	0	5,38	0	0,09	0	1,6
BDX17882	Stagnum	3,04	0	10,83	79,1	0	5,55	0	0	0	1,48
BDX17882	Stagnum	2,73	0,17	11,03	78,5	0	5,89	0	0,1	0	1,58
BDX17882	Stagnum	3,39	0,1	12,05	76,76	0	5,96	0	0	0	1,74
BDX17882	Stagnum	3,41	0,1	13,68	73,76	0	7,34	0	0,13	0	1,58
BDX17882	Stagnum	3,86	0,09	14,22	72,32	0,14	7,3	0	0,13	0	1,94
BDX17882	Stagnum	4,29	0,18	16,31	68,78	0,26	8,56	0	0	0	1,63
BDX17883	Stagnum	3,99	0,13	10,61	80,14	0	4,15	0	0	0	0,98
BDX17883	Stagnum	3,83	0,35	10,94	77,91	0	4,27	0	0,29	0	2,41

BDX	Source	Na2O	MgO	Al2O3	SiO2	P2O5	K2O	CaO	TiO2	MnO	Fe2O3
BDX17883	Stagnu	3,91	0,14	10,7	79,81	0	4,4	0	0	0	1,04
BDX17883	Stagnu	4,21	0,21	11,48	78,7	0	4,49	0	0	0	0,9
BDX17883	Stagnu	3,84	0,25	10,89	78,31	0	4,52	0	0,13	0	2,06
BDX17883	Stagnu	3,38	0,12	10,57	79,96	0	4,77	0	0	0	1,21
BDX17883	Stagnu	3,78	0,2	11,25	78,25	0	4,9	0	0	0	1,62
BDX17883	Stagnu	3,26	0,2	10,54	79,44	0	4,96	0	0	0	1,58
BDX17883	Stagnu	3,84	0	11,22	78,3	0	4,99	0,1	0,12	0	1,43
BDX17883	Stagnu	3,52	0,19	10,92	78,95	0	5,06	0	0	0	1,35
BDX17883	Stagnu	2,6	0,14	9,68	81,5	0	5,17	0	0	0	0,92
BDX17883	Stagnu	3,36	0,13	11,09	78,53	0	5,32	0	0,23	0	1,34
BDX17883	Stagnu	3,33	0,1	11,17	78,34	0	5,55	0	0	0	1,51
BDX17883	Stagnu	2,89	0,08	10,53	79,59	0	5,56	0	0,15	0	1,2
BDX17883	Stagnu	2,93	0,17	10,68	79,29	0	5,62	0	0	0	1,31
BDX17883	Stagnu	3,11	0,14	11,25	78,31	0	5,84	0	0,1	0	1,25
BDX17883	Stagnu	2,6	0,14	10,65	78,61	0	5,95	0	0	0	2,05
BDX17883	Stagnu	2,67	0,16	10,57	79,19	0	5,96	0	0,14	0	1,31
BDX17883	Stagnu	2,84	0,17	12,25	76,32	0	7,06	0	0,1	0	1,26
BDX17883	Stagnu	2,07	0,14	11,6	77,46	0	7,5	0,17	0	0	1,06
BDX17884	Stagnu	5,52	0,1	11,87	78,91	0	3,04	0	0	0	0,56
BDX17884	Stagnu	3,63	0,2	9,89	81,49	0	3,71	0	0	0	1,08
BDX17884	Stagnu	4,01	0	10,34	80,72	0	3,88	0	0	0	1,05
BDX17884	Stagnu	4,39	0	10,69	79,56	0	3,92	0	0,17	0	1,28
BDX17884	Stagnu	2,78	0	8,84	82,79	0	4,39	0	0,22	0	0,97
BDX17884	Stagnu	4,7	0,09	12,22	77,31	0	4,49	0	0	0	1,19
BDX17884	Stagnu	4,36	0,24	11,9	77,85	0	4,51	0	0,1	0	1,04
BDX17884	Stagnu	3,86	0,17	11,02	79,56	0	4,57	0	0,13	0	0,69
BDX17884	Stagnu	4,17	0	11,71	78,33	0	4,78	0	0	0	1
BDX17884	Stagnu	3,3	0	10,28	80,47	0	4,82	0	0	0	1,12
BDX17884	Stagnu	3,19	0,1	10,2	80,41	0	4,84	0	0	0	1,26
BDX17884	Stagnu	3,17	0	10,08	80,21	0	4,88	0	0,13	0	1,52
BDX17884	Stagnu	1,81	0,1	9,21	81,8	0	5,75	0	0,09	0	1,25
BDX17884	Stagnu	2,9	0,11	10,8	78,9	0	5,79	0	0,13	0	1,37
BDX17884	Stagnu	2,62	0,14	10,94	78,17	0	6,03	0	0,15	0	1,95
BDX17884	Stagnu	2,33	0	10,45	79,64	0	6,22	0	0,09	0	1,27
BDX17884	Stagnu	2,15	0	10,4	79,75	0	6,41	0,08	0,09	0	1,12
BDX17884	Stagnu	2,04	0	10,45	79,56	0	6,68	0	0,11	0	1,16
BDX17884	Stagnu	2,22	0,25	11,73	77,06	0	7,47	0	0,12	0	1,16
BDX17885	Stagnu	2,98	0,05	7,11	86,74	0	2,19	0	0,08	0	0,86
BDX17885	Stagnu	3,5	0,05	8,28	84,51	0	2,3	0	0	0	1,36
BDX17885	Stagnu	5,98	0	11,98	77,66	0	2,51	0,04	0,08	0	1,75
BDX17885	Stagnu	4,32	0	9,82	82,24	0	2,79	0,05	0	0	0,78
BDX17885	Stagnu	6,61	0,06	14,06	73,48	0	3,03	0,04	0,12	0	2,6
BDX17885	Stagnu	4,93	0,08	11,4	77,85	0	3,07	0	0,14	0	2,53
BDX17885	Stagnu	6,38	0	13,53	75,2	0	3,25	0	0,06	0	1,59
BDX17885	Stagnu	5,36	0,1	12,74	75,27	0	3,63	0,04	0,13	0	2,73
BDX17885	Stagnu	5,71	0,06	13,97	72,89	0	4,17	0,05	0,23	0	2,93
BDX17885	Stagnu	4,57	0	12,36	77,48	0	4,49	0	0	0	1,11
BDX17886	Alzu	4,11	0,27	12,84	77,16	0,53	3,69	0,61	0,11	0	0,69
BDX17886	Alzu	3,92	0,27	12,79	77,18	0,53	3,83	0,58	0,16	0	0,72
BDX17886	Alzu	3,68	0,27	12,33	77,82	0,54	3,88	0,57	0,2	0,04	0,66
BDX17886	Alzu	3,99	0,26	13,06	76,94	0,56	3,69	0,72	0,12	0	0,66
BDX17886	Alzu	3,74	0,29	12,94	76,92	0,56	3,96	0,68	0,16	0	0,76
BDX17886	Alzu	3,96	0,27	12,97	77,03	0,57	3,69	0,65	0,12	0,03	0,7
BDX17886	Alzu	3,81	0,29	12,78	77,26	0,57	3,81	0,61	0,13	0	0,75
BDX17886	Alzu	4,14	0,28	13,34	76,43	0,59	3,64	0,72	0,11	0	0,75
BDX17886	Alzu	4	0,27	12,97	76,96	0,59	3,77	0,63	0,12	0	0,69
BDX17886	Alzu	4,04	0,26	13,06	76,87	0,6	3,81	0,62	0,12	0	0,64
BDX17887	Alzu	4,11	0,27	11,3	79,93	0,52	2,62	0,21	0,2	0,03	0,81
BDX17887	Alzu	4,12	0,34	12,4	77,47	0,54	3,44	0,35	0,32	0,04	0,97
BDX17887	Alzu	4,18	0,3	13,01	76,84	0,54	3,63	0,46	0,16	0,03	0,84
BDX17887	Alzu	3,79	0,23	11,97	78,95	0,55	3,51	0,36	0,12	0	0,53
BDX17887	Alzu	3,85	0,32	12,6	77,71	0,55	3,77	0,32	0,11	0,03	0,74
BDX17887	Alzu	3,89	0,34	13,77	75,37	0,56	4,39	0,64	0,19	0	0,85
BDX17887	Alzu	4,39	0,27	13,03	76,85	0,58	3,43	0,6	0,15	0	0,69
BDX17887	Alzu	3,89	0,27	13,5	76,1	0,61	4,43	0,46	0,13	0	0,61
BDX17887	Alzu	3,72	0,36	12,36	76,71	1,3	3,9	0,5	0,19	0,03	0,93

BDX	Source	Na2O	MgO	Al2O3	SiO2	P2O5	K2O	CaO	TiO2	MnO	Fe2O3
BDX17887	Alzu	3,94	0,31	12,45	76,92	1,34	3,65	0,57	0,14	0	0,67
BDX17888	Alzu	3,79	0,09	11,9	78,5	0	4,2	0,82	0,14	0	0,57
BDX17888	Alzu	3,76	0,1	12,11	77,87	0	4,21	0,98	0,11	0	0,86
BDX17888	Alzu	3,77	0,14	12,1	77,89	0	4,3	0,95	0,12	0	0,73
BDX17888	Alzu	3,79	0,15	12,37	77,42	0	4,32	1	0,14	0	0,81
BDX17888	Alzu	3,43	0,11	11,89	78,39	0	4,43	0,87	0,1	0	0,78
BDX17888	Alzu	3,54	0,16	12,52	76,82	0	4,5	1,27	0,14	0	1,05
BDX17888	Alzu	3,66	0,19	13,06	76	0	4,9	1,14	0,16	0	0,88
BDX17888	Alzu	3,64	0,14	13,52	75,59	0	5,19	0,94	0,13	0	0,85
BDX17888	Alzu	4,27	0,23	14,69	72,94	0	5,35	0,93	0,16	0	1,43
BDX17888	Alzu	3,24	0,3	14,12	74	0	5,87	1,03	0,17	0	1,28
BDX17889	Alzu	3,97	0,13	12,01	78,2	0	4,06	0,93	0,1	0	0,61
BDX17889	Alzu	3,49	0,08	11,58	78,81	0	4,38	0,87	0,17	0	0,61
BDX17889	Alzu	3,4	0,18	11,73	78,31	0	4,64	0,9	0,13	0	0,71
BDX17889	Alzu	3,63	0,12	12,13	77,76	0	4,7	0,85	0,2	0	0,61
BDX17889	Alzu	3,46	0,13	12,09	77,75	0	4,73	0,94	0,15	0	0,75
BDX17889	Alzu	3,48	0,28	12,43	76,73	0	4,86	0,98	0,21	0	1,04
BDX17889	Alzu	3,2	0,14	11,8	78,17	0	4,9	0,92	0,17	0	0,7
BDX17889	Alzu	3,64	0,16	12,65	76,62	0	4,98	1,01	0,17	0	0,77
BDX17889	Alzu	3,18	0,15	11,88	77,38	0	5,08	1,2	0,38	0	0,75
BDX17889	Alzu	2,96	0,27	12,04	77,25	0	5,12	0,97	0,22	0	1,17
BDX17890	Alzu	4,36	0,24	12,05	77,41	0	4,29	0,55	0,2	0	0,9
BDX17890	Alzu	4,48	0,12	12,55	76,99	0	4,43	0,64	0,11	0	0,68
BDX17890	Alzu	4,13	0,18	12,07	76,98	0	4,58	0,58	0,21	0	1,28
BDX17890	Alzu	4,03	0,22	12,22	77,1	0	4,63	0,74	0,24	0	0,81
BDX17890	Alzu	3,86	0,33	12,33	76,66	0	4,68	0,78	0,17	0	1,18
BDX17890	Alzu	4,1	0,21	12,36	76,85	0	4,69	0,67	0,19	0	0,94
BDX17890	Alzu	3,87	0,13	12,29	77,27	0	4,69	0,72	0,12	0	0,91
BDX17890	Alzu	4,28	0,15	12,17	76,98	0,09	4,28	0,96	0,14	0	0,95
BDX17890	Alzu	4,17	0,16	12,26	77,21	0,1	4,57	0,64	0,14	0	0,75
BDX17890	Alzu	3,69	0,36	13,54	74,95	0,1	5,24	0,77	0,14	0	1,21
BDX17891	Alzu	4,12	0,29	13,21	76,7	0,54	3,73	0,67	0,15	0	0,6
BDX17891	Alzu	4,15	0,28	13,14	76,73	0,55	3,56	0,66	0,16	0	0,76
BDX17891	Alzu	3,8	0,34	13,03	76,7	0,55	4,09	0,58	0,14	0	0,76
BDX17891	Alzu	4,66	0,3	13,41	76,78	0,56	2,88	0,72	0,11	0	0,58
BDX17891	Alzu	3,91	0,32	13,13	76,62	0,56	4,01	0,61	0,12	0	0,71
BDX17891	Alzu	3,84	0,29	13,39	76,34	0,56	4,3	0,55	0,11	0,03	0,59
BDX17891	Alzu	3,91	0,29	12,24	78,4	0,57	3,28	0,58	0,08	0	0,64
BDX17891	Alzu	4,17	0,27	13,57	75,93	0,57	3,97	0,69	0,17	0	0,66
BDX17891	Alzu	3,94	0,3	13,17	76,41	0,58	4,1	0,54	0,11	0	0,85
BDX17891	Alzu	4,04	0,35	13,47	76,05	0,59	3,97	0,63	0,13	0	0,77
BDX17891	Alzu	3,83	0,35	13,47	75,74	0,59	4,3	0,63	0,13	0,03	0,93
BDX17891	Alzu	3,6	0,37	12,74	76,7	0,6	4,09	0,57	0,18	0	1,14
BDX17892	Alzu	4,32	0,14	12,3	77,6	0	4,02	0,89	0,09	0	0,65
BDX17892	Alzu	3,87	0,18	12,39	77,23	0	4,47	0,93	0,16	0	0,78
BDX17892	Alzu	3,56	0,18	12,28	77,32	0	4,54	1,09	0,15	0	0,88
BDX17892	Alzu	3,37	0,18	12,17	77,72	0	4,69	0,98	0,17	0	0,71
BDX17892	Alzu	3,28	0,14	15,5	72,73	0	4,76	2,7	0,16	0	0,72
BDX17892	Alzu	3,66	0,18	14,47	73,8	0	4,86	1,99	0,18	0	0,86
BDX17892	Alzu	3,27	0,19	12,11	77,67	0	5,01	0,78	0,15	0,05	0,76
BDX17892	Alzu	3,49	0,18	12,65	76,35	0	5,23	0,9	0,2	0	1,01
BDX17892	Alzu	3,55	0,2	15,19	73,3	0	5,23	1,59	0,14	0,07	0,73
BDX17892	Alzu	4,56	0,15	13,08	76,37	0,1	3,84	1,06	0,14	0	0,71
BDX17893	Alzu	3,78	0,15	12,6	77,01	0	4,39	1,12	0,12	0,07	0,76
BDX17893	Alzu	3,67	0,14	12,3	77,66	0	4,4	0,99	0,15	0	0,7
BDX17893	Alzu	3,82	0,16	12,58	77,04	0	4,4	1	0,14	0,06	0,79
BDX17893	Alzu	3,48	0,17	11,79	78,26	0	4,41	0,96	0,13	0	0,81
BDX17893	Alzu	3,77	0,12	12,35	77,44	0	4,43	0,99	0,17	0	0,73
BDX17893	Alzu	3,58	0,23	12,31	77,4	0	4,44	0,99	0,17	0	0,87
BDX17893	Alzu	3,58	0,17	12,45	77,26	0	4,59	0,97	0,18	0	0,81
BDX17893	Alzu	3,77	0,16	12,92	76,61	0	4,68	0,99	0,16	0	0,7
BDX17893	Alzu	2,8	0,18	13,12	75,64	0	6,45	0,82	0,16	0	0,82
BDX17893	Alzu	2,49	0,15	13,4	74,91	0	7,27	0,82	0,18	0	0,78
BDX17894	Alzu	4,13	0,15	11,82	78,57	0	3,86	0,86	0,06	0	0,55
BDX17894	Alzu	4	0,22	12,33	77,04	0	4,26	1,21	0,41	0	0,55
BDX17894	Alzu	3,64	0,15	12,04	77,89	0	4,49	0,95	0,26	0	0,57

BDX	Source	Na2O	MgO	Al2O3	SiO2	P2O5	K2O	CaO	TiO2	MnO	Fe2O3
BDX17894	Alzu	4,14	0,19	13,03	76,03	0	4,67	1,19	0,14	0	0,61
BDX17894	Alzu	4,24	0,17	13,4	75,48	0	4,79	1,1	0,15	0	0,68
BDX17894	Alzu	4,56	0,19	14,13	74,59	0	5	0,93	0	0	0,6
BDX17894	Alzu	3,51	0,17	12,26	77,48	0	5,01	0,92	0,09	0	0,56
BDX17894	Alzu	5,05	0,17	15,25	70,65	0	5,07	2,14	1,03	0	0,63
BDX17894	Alzu	3,76	0,22	13,09	75,55	0	5,42	1,04	0,34	0	0,59
BDX17894	Alzu	3,12	0,3	13,57	73,98	0	5,57	1,75	0,31	0	1,4
BDX17894	Alzu	3,44	0,19	12,82	76,42	0	5,69	0,69	0,07	0	0,68
BDX17894	Alzu	3,46	0,19	11,26	78,91	0,1	4,39	0,84	0,06	0	0,79
BDX17895	Alzu	4,25	0,14	12,91	76,81	0	3,81	1,1	0,16	0	0,81
BDX17895	Alzu	3,92	0,38	12,65	76,02	0	3,94	1,12	0,23	0	1,73
BDX17895	Alzu	3,79	0,1	12,31	77,76	0	4,26	0,94	0,16	0	0,69
BDX17895	Alzu	3,73	0,11	12,44	77,18	0	4,33	1,2	0,12	0	0,9
BDX17895	Alzu	3,77	0,13	12,35	77,4	0	4,34	1	0,17	0	0,84
BDX17895	Alzu	3,72	0,15	12,72	76,68	0	4,5	1,09	0,15	0,06	0,93
BDX17895	Alzu	3,59	0,15	12,64	76,61	0	4,66	1,18	0,2	0	0,97
BDX17895	Alzu	3,52	0,57	12,69	75	0	4,86	1,01	0,41	0	1,96
BDX17895	Alzu	3,92	0,12	12,64	76,83	0,13	4,37	1,06	0,13	0	0,79
BDX17895	Alzu	3,6	0,17	12,53	76,62	0,13	4,68	1,07	0,18	0	1,02
BDX17898	Archeo	5,03	0,19	13,32	76,13	1,14	3,53	0,51	0	0	0,16
BDX17898	Archeo	4,32	0,18	12,05	78,02	1,17	3,28	0,73	0,03	0	0,21
BDX17898	Archeo	4,21	0,15	12,65	77,07	1,27	4,02	0,44	0	0	0,19
BDX17898	Archeo	4,44	0,16	11,02	80,35	1,3	2,26	0,28	0	0	0,19
BDX17898	Archeo	4,93	0,13	13,52	75,72	1,3	3,73	0,47	0,03	0	0,16
BDX17898	Archeo	4,52	0,15	12,15	78,34	1,32	3,21	0,26	0	0	0,05
BDX17898	Archeo	4,19	0,14	11,99	78,31	1,35	3,5	0,37	0	0	0,16
BDX17898	Archeo	4,41	0,17	11,92	78,54	1,37	3,06	0,44	0	0	0,09
BDX17898	Archeo	4,23	0,15	10,86	79,91	1,44	2,21	0,77	0,05	0	0,39
BDX17898	Archeo	4,89	0,16	13,27	76,07	1,44	3,63	0,47	0	0	0,06
BDX17909	Monte d'Oro	4,46	0,24	12,34	78,44	0,54	3,16	0,21	0,07	0	0,54
BDX17909	Monte d'Oro	4,67	0,23	12,79	77,76	0,55	3,16	0,26	0,06	0	0,52
BDX17909	Monte d'Oro	3,88	0,45	11,88	78,44	0,55	3,48	0,12	0,13	0,03	1,03
BDX17909	Monte d'Oro	4,56	0,22	12,34	78,42	0,56	3,09	0,23	0,08	0	0,5
BDX17909	Monte d'Oro	4,41	0,3	12,38	78,07	0,57	3,35	0,11	0,09	0	0,72
BDX17909	Monte d'Oro	4,83	0,2	12,33	78,61	0,58	2,64	0,25	0,06	0	0,48
BDX17909	Monte d'Oro	4,24	0,28	12,16	78,51	0,58	3,17	0,28	0,08	0,02	0,67
BDX17909	Monte d'Oro	4,51	0,23	12,21	78,63	0,59	2,93	0,22	0,08	0,03	0,56
BDX17909	Monte d'Oro	4,68	0,23	11,61	79,9	0,6	2,14	0,22	0,09	0	0,53
BDX17909	Monte d'Oro	4,75	0,24	12,8	77,68	0,6	3,11	0,27	0,06	0	0,48
BDX17909	Monte d'Oro	4,51	0,2	11,91	79,34	0,61	2,73	0,2	0,03	0	0,46
BDX17909	Monte d'Oro	4,66	0,29	12,37	78,37	0,61	2,75	0,24	0,08	0	0,63
BDX17910	Monte d'Oro	3,84	0,24	13,3	76,42	0,53	5,2	0	0,04	0	0,43
BDX17910	Monte d'Oro	3,03	0,25	13,75	75,23	0,53	6,67	0	0,06	0	0,49
BDX17910	Monte d'Oro	3,47	0,18	13,38	76,19	0,54	5,92	0	0,04	0	0,28
BDX17910	Monte d'Oro	4,06	0,18	13,36	76,43	0,55	5,14	0	0,04	0	0,23
BDX17910	Monte d'Oro	3,99	0,18	12,63	77,7	0,56	4,56	0	0,03	0	0,36
BDX17910	Monte d'Oro	4,4	0,2	14,14	75,15	0,58	5,23	0	0,05	0	0,25
BDX17910	Monte d'Oro	4,63	0,2	13,4	76,49	0,59	4,3	0,04	0,05	0	0,3
BDX17910	Monte d'Oro	3,83	0,2	12,69	77,6	0,59	4,73	0	0,05	0	0,32
BDX17910	Monte d'Oro	3,81	0,32	14,15	74,49	0,6	5,95	0	0,13	0	0,55
BDX17910	Monte d'Oro	4,64	0,23	13,26	76,71	0,66	4,04	0,04	0,05	0	0,37
BDX17910	Monte d'Oro	5,05	0,21	15,74	72,5	0,68	5,52	0,07	0	0	0,23
BDX17910	Monte d'Oro	4,51	0,18	14,45	74,18	0,69	5,27	0,17	0,31	0	0,24
BDX17917	Castelli	3,9	0,34	13,2	76,3	0,53	4,15	0,51	0,17	0,04	0,86
BDX17917	Castelli	3,51	0,33	12,6	77,32	0,55	4,17	0,47	0,15	0,06	0,84
BDX17917	Castelli	3,96	0,34	13,01	76,49	0,56	3,99	0,5	0,16	0,08	0,91
BDX17917	Castelli	3,77	0,33	12,84	76,84	0,56	4,04	0,58	0,16	0,07	0,81
BDX17917	Castelli	3,87	0,35	13,3	76,08	0,57	4,29	0,48	0,16	0,05	0,84
BDX17917	Castelli	3,99	0,31	12,6	77,42	0,58	3,69	0,49	0,16	0,05	0,71
BDX17917	Castelli	4,02	0,36	13,57	75,48	0,58	4,26	0,6	0,17	0,06	0,9
BDX17917	Castelli	4,15	0,39	14,2	74,44	0,58	4,44	0,58	0,16	0,09	0,97
BDX17917	Castelli	3,54	0,33	12,53	77,32	0,59	4,01	0,64	0,16	0,07	0,82
BDX17917	Castelli	3,91	0,29	12,29	77,91	0,6	3,64	0,47	0,14	0,04	0,71
BDX17917	Castelli	4,04	0,35	13,72	75,29	0,62	4,39	0,54	0,14	0,06	0,86
BDX17917	Castelli	3,9	0,31	12,65	77,14	0,65	3,74	0,64	0,17	0,06	0,74
BDX17920	Castelli	3,75	0,37	12,87	76,89	0,55	3,95	0,62	0,17	0,06	0,78

BDX	Source	Na2O	MgO	Al2O3	SiO2	P2O5	K2O	CaO	TiO2	MnO	Fe2O3
BDX17920	Castelli	3,74	0,37	12,61	77,39	0,56	3,58	0,67	0,14	0,06	0,87
BDX17920	Castelli	3,44	0,36	12,08	78,34	0,56	3,73	0,51	0,18	0,05	0,75
BDX17920	Castelli	3,78	0,34	12,29	77,89	0,57	3,5	0,57	0,15	0,06	0,84
BDX17920	Castelli	3,9	0,31	12,32	78,04	0,58	3,4	0,52	0,15	0,04	0,72
BDX17920	Castelli	3,75	0,32	13,04	76,45	0,59	4,3	0,54	0,17	0,05	0,8
BDX17920	Castelli	3,99	0,37	13,64	75,4	0,62	4,28	0,67	0,17	0,07	0,78
BDX17920	Castelli	4,09	0,4	14,16	74,48	0,63	4,3	0,76	0,16	0,06	0,96
BDX17920	Castelli	4,16	0,3	12,78	77,12	0,64	3,64	0,51	0,14	0,04	0,69
BDX17920	Castelli	4,45	0,47	14,84	73,18	0,68	3,99	0,93	0,19	0,07	1,19
BDX17920	Castelli	3,92	0,32	13,21	76,05	0,76	4,11	0,6	0,17	0,04	0,82
BDX17920	Castelli	3,58	0,41	12,99	77,23		4,22	0,54	0,16	0,05	0,81
BDX17924	Castelli	3,5	0,33	12,32	77,65	0,52	4,03	0,55	0,16	0,04	0,89
BDX17924	Castelli	3,54	0,33	12,02	78,31	0,53	3,62	0,57	0,14	0,05	0,88
BDX17924	Castelli	3,86	0,37	13,26	76,39	0,53	3,71	0,73	0,17	0,07	0,91
BDX17924	Castelli	3,92	0,33	12,56	77,78	0,55	3,42	0,53	0,14	0,05	0,71
BDX17924	Castelli	3,81	0,33	12,42	77,5	0,55	3,78	0,49	0,2	0,06	0,85
BDX17924	Castelli	3,61	0,35	13,02	76,71	0,55	3,8	0,89	0,14	0,06	0,89
BDX17924	Castelli	3,83	0,34	12,82	76,89	0,55	3,83	0,59	0,16	0,07	0,91
BDX17924	Castelli	3,85	0,34	12,9	76,92	0,56	3,78	0,61	0,15	0,05	0,84
BDX17924	Castelli	3,66	0,42	12,94	76,6	0,56	3,88	0,64	0,17	0,06	1,07
BDX17924	Castelli	3,8	0,35	12,02	78,44	0,58	3,26	0,53	0,13	0,06	0,84
BDX17924	Castelli	3,85	0,35	12,79	77,12	0,58	3,67	0,6	0,19	0,06	0,79
BDX17924	Castelli	3,85	0,34	13,23	76	0,59	4,29	0,62	0,17	0,06	0,85
BDX17943	Archeo	5,01	0,35	13,25	75,32	1,46	2,57	1,2	0,15	0,03	0,67
BDX17943	Archeo	4,23	0,27	11,32	78,52	1,47	2,08	1,58	0,11	0	0,43
BDX17943	Archeo	4,81	0,38	13,71	74,07	1,48	3,25	1,31	0,17	0,04	0,77
BDX17943	Archeo	3,78	0,35	13,32	74,93	1,49	4,43	0,84	0,13	0,04	0,7
BDX17943	Archeo	4,42	0,35	13,28	74,98	1,5	3,45	1,12	0,14	0,04	0,72
BDX17943	Archeo	4,35	0,41	13,36	74,94	1,58	3,25	1,17	0,13	0,04	0,78
BDX17943	Archeo	4,23	0,34	13,36	74,62	1,61	3,54	1,41	0,15	0,04	0,71
BDX17943	Archeo	4,01	0,34	13,22	74,24	1,62	4	1,64	0,15	0,03	0,74
BDX17943	Archeo	1,82	0,33	8,33	82,94	1,63	2,28	1,91	0,08	0	0,68
BDX17943	Archeo	4,43	0,36	13,44	74,72	1,63	3,31	1,2	0,15	0,04	0,71
BDX17943	Archeo	4,31	0,41	13,76	73,57	1,64	3,65	1,63	0,17	0,06	0,8
BDX17943	Archeo	3,82	0,39	12,91	74,33	1,66	4,06	1,63	0,19	0,07	0,95

12. Analyses PIXE

BDX	Na2O	MgO	Al2O3	SiO2	P2O5	S	Cl	K2O	CaO	TiO2	MnO	Fe2O3	V	Cr	Co	Ni	Cu	Zn	Ga	Ge	As	Rb	Sr	Y	Zr	Nb	Sn	Sb	Ba	Ba # LB	W # LA	Au # LA	Pb # LA		
BDX17943	27813	1371	1E+05	8E+05	677	20	9	46351	11682	1876	741	12239	10	0	21	0	3	28	19	4	4	205	123	16	198	10	0	0	791	483	0	5	17		
BDX17943	27590	1740	1E+05	8E+05	529	70	63	47088	11844	1903	724	12530	0	0	12	0	3	29	17	1	1	202	126	13	197	12	0	74	560	582	0	4	24		
BDX17943	26626	2081	1E+05	8E+05	965	30	14	43978	14896	1767	694	11725	2	0	18	2	10	30	20	3	0	187	146	24	169	4	0	0	505	704	4	2	17		
BDX17943	32791	2106	1E+05	7E+05	5067	88	33	33950	24967	3889	1151	23101	0	0	16	0	0	32	20	2	1	174	195	52	183	14	101	0	1028	419	0	11	21		
BDX19499	28796	0	91398	8E+05	547	189	496	31725	273	960	42	14730	3	0	0	0	0	13	18	2	6	152	6	114	853	33	28	0	0	10	6	1	0		
BDX20937	7317	4123	84632	8E+05	625	0	9	39449	347	692	137	19240	2	0	0	1	2	65	25	3	10	363	5	125	977	34	0	0	114	0	7	0	0		
BDX19290	25060	772	1E+05	8E+05	295	55	73	53016	6411	991	287	13120	0	0	21	3	0	22	16	3	3	281	43	25	121	0	102	0	0	314	4	4	10		
BDX19495	48321	5493	2E+05	7E+05	181	30	0	50555	1399	987	121	15386	22	0	20	7	0	44	31	3	3	322	39	41	142	22	0	0	67	8	7	2	2		
BDX19281	41859	5368	1E+05	8E+05	1083	20	0	30800	4416	1703	431	23496	26	9	16	13	2	48	23	1	1	144	92	46	126	34	0	0	250	178	6	2	26		
BDX19371	41047	2117	2E+05	7E+05	478	0	677	40044	19749	649	124	5757	32	0	2	0	0	16	19	2	0	91	227	10	84	12	0	0	685	3	4	6	6		
BDX19371	30569	2523	1E+05	8E+05	1434	207	748	44523	14547	1111	197	5652	3	0	14	2	2	12	14	2	4	96	155	14	142	15	0	0	870	0	2	0	0		
BDX19371	38622	2237	2E+05	7E+05	616	196	873	47143	19228	759	246	3256	16	3	3	0	5	11	19	4	1	100	217	20	184	14	0	0	1483	912	7	2	16		
BDX19413	22853	1502	1E+05	8E+05	655	267	1802	64153	9562	995	217	7160	10	0	18	5	0	28	17	4	3	236	122	7	91	12	0	0	1392	942	10	8	29		
BDX19413	8646	1099	1E+05	8E+05	837	41	155	94100	3879	782	145	4877	0	0	13	2	0	16	17	2	7	299	89	14	109	0	0	134	0	1162	0	3	23		
BDX19413	22071	866	1E+05	8E+05	594	177	2172	68179	8853	956	176	5882	0	0	16	2	3	18	16	3	3	251	121	8	80	0	0	0	936	928	3	5	20		
BDX19395	27930	587	1E+05	8E+05	250	121	499	47698	8912	644	111	5420	0	0	16	2	3	9	12	0	0	133	87	14	79	4	0	0	543	1	0	9	9		
BDX19395	30246	824	1E+05	8E+05	387	238	1441	44948	9918	856	85	4770	0	0	14	3	1	11	18	3	2	163	118	13	88	24	0	0	1741	588	2	0	16		
BDX19395	16195	731	1E+05	8E+05	491	341	1092	77397	7305	766	83	4484	8	0	22	4	4	8	14	2	0	229	81	11	58	19	0	0	780	1	3	16	16		
BDX19417	25664	2039	1E+05	8E+05	866	263	752	55471	11721	1003	197	9428	13	0	11	1	1	34	14	3	4	186	125	14	52	11	0	139	0	657	6	0	8	8	
BDX19417	27443	1248	1E+05	8E+05	1171	14	343	47229	11058	1271	164	8236	0	0	18	1	0	28	18	4	0	122	121	26	148	15	0	0	460	0	0	9	9		
BDX19417	31065	784	1E+05	8E+05	766	0	398	40402	10217	788	155	6161	11	0	18	1	0	22	14	3	1	135	124	3	50	12	0	0	444	5	1	12	12		
BDX19381	25872	879	1E+05	8E+05	541	76	363	57969	5594	1039	301	10970	0	0	36	3	0	21	18	2	3	318	29	24	167	23	0	0	391	10	2	5	5		
BDX19381	25055	842	1E+05	8E+05	498	64	222	59796	5830	1013	306	11370	0	0	5	1	0	19	15	1	0	288	34	15	122	12	104	0	0	352	15	4	6	6	
BDX19381	24393	653	1E+05	8E+05	813	178	0	62880	6240	1206	350	11574	0	0	21	3	3	19	18	1	5	358	31	37	145	5	113	0	1010	301	0	2	2	2	
BDX19410	34523	1730	2E+05	7E+05	1495	298	2100	54280	13064	1278	193	8149	5	0	29	2	3	22	18	2	2	183	141	22	92	12	0	0	1062	3	4	4	14		
BDX19410	30961	1634	1E+05	8E+05	1191	100	1348	48202	9736	1187	184	8511	0	0	8	5	2	17	17	0	4	169	131	13	110	0	0	0	792	2	0	0	0		
BDX19410	23599	2019	1E+05	7E+05	2520	255	1721	37580	13158	1324	500	62142	36	0	10	1	60	62	14	3	7	168	138	32	133	14	0	0	1513	781	22	0	18		
BDX19407	32453	0	1E+05	8E+05	822	206	1802	50934	3579	412	275	11415	12	0	15	3	0	22	26	3	4	304	15	49	173	45	0	0	942	41	13	1	7		
BDX19407	31682	377	1E+05	8E+05	667	270	1274	46856	3809	580	294	11110	19	0	30	5	0	37	19	3	0	262	14	48	196	9	0	0	0	0	6	4	18		
BDX19407	34849	263	1E+05	8E+05	102	171	1741	47492	3964	542	271	11935	0	0	10	0	0	29	21	1	1	281	16	80	180	41	0	0	52	7	0	2	2		
BDX19408	1187	0	4762	1E+06	649	50	254	661	2266	113	33	308	32	9	0	2	14	9	1	0	3	0	24	0	0	0	0	0	0	0	6	0	0	0	0
BDX19408	1357	0	5295	1E+06	596	253	377	1040	2412	83	179	457	11	0	2	0	7	8	0	0	0	2	34	0	0	0	0	0	0	0	0	0	0	8	8
BDX19408	724	366	5817	1E+06	763	207	109	738	2436	131	213	527	1	3	8	1	5	6	2	2	2	2	17	0	3	0	0	0	45	0	0	0	1	1	

BDX	Na2O	MgO	Al2O3	SiO2	P2O5	S	Cl	K2O	CaO	TiO2	MnO	Fe2O3	V	Cr	Co	Ni	Cu	Zn	Ga	Ge	As	Rb	Sr	Y	Zr	Nb	Sn	Sb	Ba	Ba# LB	W# LA	Au# LA	Pb# LA	
BDX19408	1032	425	7727	1E+06	696	131	229	839	2659	130	74	731	2	9	8	2	4	8	0	1	0	0	17	3	0	0	0	120	0	0	0	5	3	
BDX19378	31206	1406	1E+05	7E+05	726	35	489	63311	651	1788	48	10939	0	0	7	1	0	13	36	2	4	345	12	103	967	52	0	0	0	0	0	4	0	
BDX19378	22449	1014	1E+05	8E+05	708	42	213	65639	587	1176	34	13351	0	0	8	0	0	10	24	3	0	301	8	93	670	13	0	0	0	5	5	3	8	
BDX19378	27295	922	1E+05	8E+05	471	103	169	51737	508	1194	65	14056	0	0	10	0	0	14	22	2	4	234	8	81	513	69	0	0	0	52	5	0	0	
BDX19378	18864	1063	1E+05	8E+05	504	4	269	71075	483	1032	49	18060	14	0	0	2	0	6	24	1	5	364	7	96	759	33	0	106	0	88	2	3	0	
BDX19399	29640	393	1E+05	8E+05	1280	64	488	44382	3621	585	288	11993	1	0	16	3	0	23	21	5	3	237	9	48	146	14	0	0	0	0	0	4	6	
BDX19399	32711	309	1E+05	8E+05	508	57	756	43284	4373	505	292	12242	0	10	21	0	0	24	19	2	6	245	14	114	186	17	0	0	0	44	0	0	2	
BDX19399	34991	412	1E+05	8E+05	842	73	1362	41767	4167	530	272	12547	6	0	22	1	0	18	22	0	1	197	18	70	156	18	0	0	1026	20	2	3	2	
BDX19392	29209	947	1E+05	8E+05	497	0	482	42448	10923	1369	457	11592	0	0	25	3	1	42	17	1	4	161	135	24	86	25	0	0	0	625	11	1	18	
BDX19392	31378	1250	1E+05	8E+05	331	0	326	44961	10245	992	351	8996	0	0	16	4	0	25	18	4	0	159	121	10	150	7	0	0	0	521	4	0	16	
BDX19392	29928	1092	1E+05	8E+05	754	112	968	45181	10102	903	345	8569	0	0	16	2	2	29	17	1	0	155	128	7	92	21	0	140	807	570	0	4	29	
BDX19492	514	1429	4910	1E+06	554	1204	174	583	3660	86	9	704	13	3	5	3	1	6	0	0	5	0	2	0	1	0	23	0	0	11	1	0	2	
BDX19492	6	6265	4501	1E+06	454	1403	156	650	19231	57	14	841	14	2	7	4	2	4	2	0	6	3	4	0	0	3	0	0	0	0	0	5	0	2
BDX20952	49691	10116	1E+05	8E+05	230	84	9	17497	3659	961	566	27194	21	0	2	0	3	75	27	2	3	96	57	71	182	16	70	0	0	121	3	3	0	
BDX20952	48375	11784	1E+05	8E+05	113	82	0	17527	3765	1307	622	29448	4	0	6	0	3	76	28	2	2	90	57	178	232	15	0	0	597	182	4	2	2	
BDX19526	27718	2681	1E+05	8E+05	317	0	56	48058	1061	1137	91	19075	0	0	8	0	2	40	26	3	4	270	4	103	788	38	0	0	325	9	15	2	1	
BDX19526	26088	1381	1E+05	8E+05	575	0	0	50845	1932	1147	125	18019	0	0	19	0	0	60	24	2	2	292	2	106	684	30	34	0	0	0	11	4	5	
BDX19329	29067	611	1E+05	8E+05	224	80	270	40568	10234	678	89	7048	0	0	14	2	1	10	13	2	2	128	112	24	78	14	0	0	360	507	0	1	14	
BDX19427	29206	1315	1E+05	8E+05	384	0	179	38155	395	944	92	18829	0	0	12	3	0	33	10	2	78	179	14	78	440	35	0	0	112	0	3	26		
BDX19427	34604	881	1E+05	8E+05	686	0	112	36100	0	981	81	20403	1	0	2	0	0	43	18	2	110	188	16	101	548	7	0	0	95	5	0	21		
BDX19427	31159	1989	1E+05	8E+05	1526	21	116	26294	388	911	80	20280	0	0	24	0	0	35	20	2	100	151	6	112	624	61	0	0	0	0	0	2	23	
BDX19357	2241	0	7770	1E+06	945	248	1385	1408	3624	114	19	798	5	2	5	1	1	5	0	0	2	6	13	0	0	0	0	0	0	61	1	0	1	
BDX19357	2924	87	7836	1E+06	1230	410	1201	1482	2531	117	14	853	21	8	6	0	2	4	2	0	2	0	28	0	0	0	0	0	0	24	2	3	3	
BDX19384	38197	203	1E+05	8E+05	91	275	2487	32708	727	637	24	12713	13	0	24	1	1	8	22	3	6	161	5	74	572	40	0	0	82	12	0	0		
BDX19384	42281	324	1E+05	8E+05	595	126	816	31897	464	599	0	14452	0	0	19	2	0	14	20	2	4	159	5	68	536	40	0	0	115	10	0	0		
BDX19428	30164	1328	1E+05	8E+05	808	202	786	43702	10573	1533	228	12535	0	8	26	6	6	31	17	1	4	184	150	29	121	20	0	0	963	603	7	4	11	
BDX19428	28032	1108	1E+05	8E+05	1019	197	551	45008	11285	1366	218	9536	0	0	30	3	3	19	18	4	0	186	149	23	138	13	0	0	961	738	7	7	32	
BDX19372	27989	2005	1E+05	8E+05	1428	142	978	50787	3644	570	288	9874	6	6	14	2	0	46	21	2	5	231	9	48	202	23	0	209	0	14	4	5	0	
BDX19372	30421	901	1E+05	8E+05	2272	16	1462	47730	2951	598	289	13446	0	0	28	3	0	38	24	1	1	270	13	40	169	18	0	0	0	223	4	0	14	
BDX19409	1325	0	5697	1E+06	429	0	287	863	565	75	25	394	13	0	5	1	2	5	1	0	0	0	2	2	0	0	0	0	0	0	0	4	2	0
BDX19409	1436	0	6611	1E+06	739	82	296	1031	749	58	24	563	35	0	7	1	2	7	2	0	0	3	11	2	0	0	0	0	0	5	0	0	0	
BDX19396	34052	489	1E+05	8E+05	247	0	72	46077	3501	247	176	6839	0	0	19	3	0	14	21	2	0	212	17	46	161	13	200	0	0	0	11	3	16	
BDX19396	30491	211	1E+05	8E+05	484	93	0	47681	3273	242	168	7067	13	0	22	3	0	15	18	2	2	213	16	42	138	22	0	0	20	11	0	0	6	

13. Test de l'influence de l'épaisseur des échantillons

Epaisseur (mm)	Na2O	MgO	Al2O3	SiO2	P2O5	K2O	CaO	TiO2	MnO	Fe2O3	Zn	Ga	Rb	Sr	Y	Zr	Nb	Ba	Pb	Date
15	31229	872	126266	775530	93	46137	2019	1354	56	15291	69	26	263	1	96	571	25	92	8	09/03/18
15	36552	690	128082	760722	174	54668	2270	1421	82	14040	104	26	266	1	101	666	27	95	11	09/03/18
15	34445	677	130714	761337	102	54292	2199	1386	74	13671	77	25	261	1	92	518	26	93	12	09/03/18
15	42885	1927	131452	756311	216	48489	2316	1382	76	13837	66	25	241	1	92	542	30	97	13	09/03/18
15	34047	626	129274	763958	94	52623	2346	1472	109	14274	94	26	256	1	95	571	30	92	14	09/03/18
15	33943	779	131165	765628	99	47028	2679	1413	93	15993	76	26	263	1	99	573	29	97	14	09/03/18
15	32923	618	132465	767585	99	43203	3091	1522	103	17190	86	26	220	1	102	623	33	97	14	09/03/18
15	32327	608	130068	772365	95	44630	2500	1439	119	14707	89	26	223	1	98	571	30	93	11	09/03/18
15	34700	829	133056	767867	263	39013	6243	1241	90	15368	78	29	238	1	110	736	34	95	10	09/03/18
13	36957	647	127560	762480	584	53694	2358	1250	73	13293	97	24	259	1	88	502	22	100	10	12/03/18
13	30262	664	127288	773668	95	49724	2318	1186	94	13543	74	25	256	1	93	555	24	117	13	12/03/18
13	34097	783	131095	772913	97	43293	3684	1014	70	11796	75	27	256	1	97	565	25	107	7	12/03/18
13	35111	627	130941	770846	310	39923	2486	1505	117	17013	76	27	174	1	102	603	33	92	13	12/03/18
13	30862	576	130009	769654	95	49035	2655	1433	111	14365	98	25	245	1	97	593	30	96	20	12/03/18
13	41739	608	131749	751037	95	53748	2530	1511	77	15658	97	27	264	1	103	621	29	95	12	12/03/18
13	29212	741	139256	747815	112	62704	2145	1524	64	15059	96	29	329	1	109	659	30	104	9	12/03/18
13	41260	660	133363	751503	97	52510	2748	1476	72	15082	86	26	278	1	106	600	27	92	13	12/03/18
13	32565	638	131214	770060	99	45762	2449	1424	113	14512	96	26	248	1	88	568	28	95	14	12/03/18
11	34461	550	127299	768738	163	48555	2839	1346	106	14774	104	25	243	1	90	575	29	95	9	14/03/18
11	32407	898	127227	775238	95	43091	2884	1479	112	15412	102	26	249	1	87	559	28	95	11	14/03/18
11	32047	666	112356	786641	98	46997	2634	1499	124	15732	101	25	237	1	93	597	31	92	30	14/03/18
11	32964	1170	111747	785475	591	46928	3082	1364	80	15472	72	27	265	1	97	535	26	96	10	14/03/18
11	32439	644	112094	790258	93	44614	2525	1419	107	14614	95	26	226	1	96	610	32	94	14	14/03/18

Epaisseur (mm)	Na2O	MgO	Al2O3	SiO2	P2O5	K2O	CaO	TiO2	MnO	Fe2O3	Zn	Ga	Rb	Sr	Y	Zr	Nb	Ba	Pb	Date
9	31895	752	113076	785704	102	47075	2557	1345	116	16232	104	24	230	1	91	559	28	88	23	14/03/18
9	33873	703	112842	791551	104	42033	2483	1419	111	13755	110	26	210	1	89	560	29	90	10	14/03/18
9	34726	1063	111152	789295	582	42830	2734	1353	51	15046	65	27	243	1	102	598	28	95	8	14/03/18
9	30120	602	111957	789578	111	46298	2333	1442	72	16312	83	26	253	1	98	586	26	88	13	14/03/18
9	32382	1076	112557	785086	94	50438	2443	1304	96	13402	83	26	251	1	91	540	26	89	15	14/03/18
8	32969	926	127310	776117	97	43714	1943	1235	55	14531	61	26	244	1	95	551	25	90	8	15/03/18
8	34517	1878	127405	768909	129	46559	2407	1296	119	15608	99	25	228	1	91	579	28	97	25	15/03/18
8	30342	809	128429	769855	94	48201	2487	1405	68	17113	92	25	265	1	94	585	26	97	11	15/03/18
8	32200	650	131002	771992	96	44805	2461	1486	104	14015	111	27	242	1	89	583	31	95	10	15/03/18
8	30694	759	115645	781739	94	52095	2262	1311	114	14110	91	27	259	1	91	576	27	91	15	15/03/18
7	40489	1955	129358	760661	151	48019	2205	1422	107	14517	83	25	243	1	86	542	26	94	17	20/03/18
7	34628	721	130145	765317	95	49477	1962	1282	58	15177	73	25	244	1	92	579	22	93	10	20/03/18
7	26842	1640	137308	766089	173	47555	2514	1422	113	15104	121	27	249	1	90	602	31	108	10	20/03/18
7	32984	694	127941	767773	92	46514	1735	1582	72	19475	59	24	245	1	96	581	25	97	11	20/03/18
7	33061	597	129552	768831	92	47800	2405	1392	113	14997	114	25	244	1	85	543	28	93	25	20/03/18
6	31212	557	129681	771354	101	45545	2302	1419	100	16616	88	24	235	1	84	547	26	91	19	22/03/18
6	33469	622	131044	762222	109	41348	1494	1586	60	26889	63	26	207	1	105	627	23	92	13	22/03/18
6	32180	672	126391	773371	100	48749	1556	1194	51	14619	59	23	245	1	98	566	23	94	9	22/03/18
6	30756	636	129889	773827	93	46476	2038	1350	98	13789	102	25	242	1	69	474	25	85	23	22/03/18
6	33141	578	133410	768056	99	45137	2519	1497	105	14281	113	26	229	2	87	582	30	99	10	22/03/18
5,5	29803	681	111826	785915	105	52192	2063	1388	103	14791	100	26	258	1	84	530	27	93	15	27/03/18
5,5	29398	904	112086	781673	102	55712	1991	1408	86	15467	100	26	277	1	84	551	29	94	11	27/03/18
5,5	33049	672	112139	788899	120	43779	2241	1437	94	16433	97	26	229	1	84	567	30	91	13	27/03/18

Epaisseur (mm)	Na2O	MgO	Al2O3	SiO2	P2O5	K2O	CaO	TiO2	MnO	Fe2O3	Zn	Ga	Rb	Sr	Y	Zr	Nb	Ba	Pb	Date
5,5	30589	775	111954	786745	109	51671	1857	1168	30	13986	62	24	242	1	102	560	25	89	10	27/03/18
5,5	33487	723	111470	788864	121	42360	1732	1370	58	18727	59	24	216	1	100	566	24	85	13	27/03/18
5	30093	729	112389	786366	97	52348	2079	1438	110	13244	100	25	261	1	80	517	25	86	11	28/03/18
5	32146	885	112088	778805	119	55594	2113	1433	86	15614	100	25	269	1	79	517	26	90	10	28/03/18
5	31731	684	112192	787222	114	48074	2573	1393	91	14820	89	25	246	1	81	532	28	86	17	28/03/18
5	34624	677	113489	792671	108	41294	1715	1030	54	13288	57	25	211	1	95	536	23	89	12	28/03/18
5	31373	803	111708	787001	115	47585	1695	1318	52	17210	61	24	233	1	100	595	25	90	12	28/03/18
4,5	33320	722	127782	765436	91	54330	2116	1280	86	13711	95	25	267	1	81	528	24	92	11	30/03/18
4,5	30439	698	125935	770781	100	52558	2316	1446	89	14478	83	25	261	1	84	571	31	88	16	30/03/18
4,5	31250	597	128514	773754	92	43880	1864	1352	54	17581	65	25	229	1	89	529	22	88	13	30/03/18
4,5	31506	612	128235	774294	92	43880	1695	1490	58	17042	64	24	225	1	95	559	26	91	11	30/03/18
4,5	34149	697	129192	763452	95	54946	1922	1292	81	13002	103	25	267	1	86	559	25	94	10	30/03/18
4	26085	1861	132123	761010	184	58307	2441	1449	86	15238	107	27	287	1	91	563	27	99	11	04/04/18
4	36570	631	128670	758702	610	55941	2159	1715	95	13734	101	26	274	1	86	543	39	91	13	04/04/18
4	33021	573	128328	768159	513	48347	2073	1390	69	16435	70	26	242	1	90	532	24	95	13	04/04/18
4	33368	558	129686	770961	100	45249	1789	1408	61	15682	66	26	234	1	103	577	25	94	11	04/04/18
4	29620	794	135126	754953	99	57968	2343	1527	111	16108	156	30	286	2	105	634	27	101	11	04/04/18
3,75	29177	847	122434	775011	151	54599	2000	1323	82	13277	99	24	260	1	82	512	22	90	9	25/04/18
3,75	38268	707	116444	772046	91	54640	2026	1638	104	12885	106	25	267	1	83	525	36	95	11	25/04/18
3,75	32160	668	120575	782460	538	47037	1674	1202	47	12574	61	25	236	1	86	530	23	94	10	25/04/18
3,75	32401	678	113697	780891	94	52432	2224	1426	110	14816	136	26	257	1	97	579	25	101	9	25/04/18
3,75	32162	664	127775	777217	91	43805	1574	1213	53	14363	68	25	225	1	93	546	22	91	9	25/04/18
3,5	30962	736	112193	782066	92	55259	2152	1327	77	14000	104	26	263	1	88	527	23	95	9	03/05/18

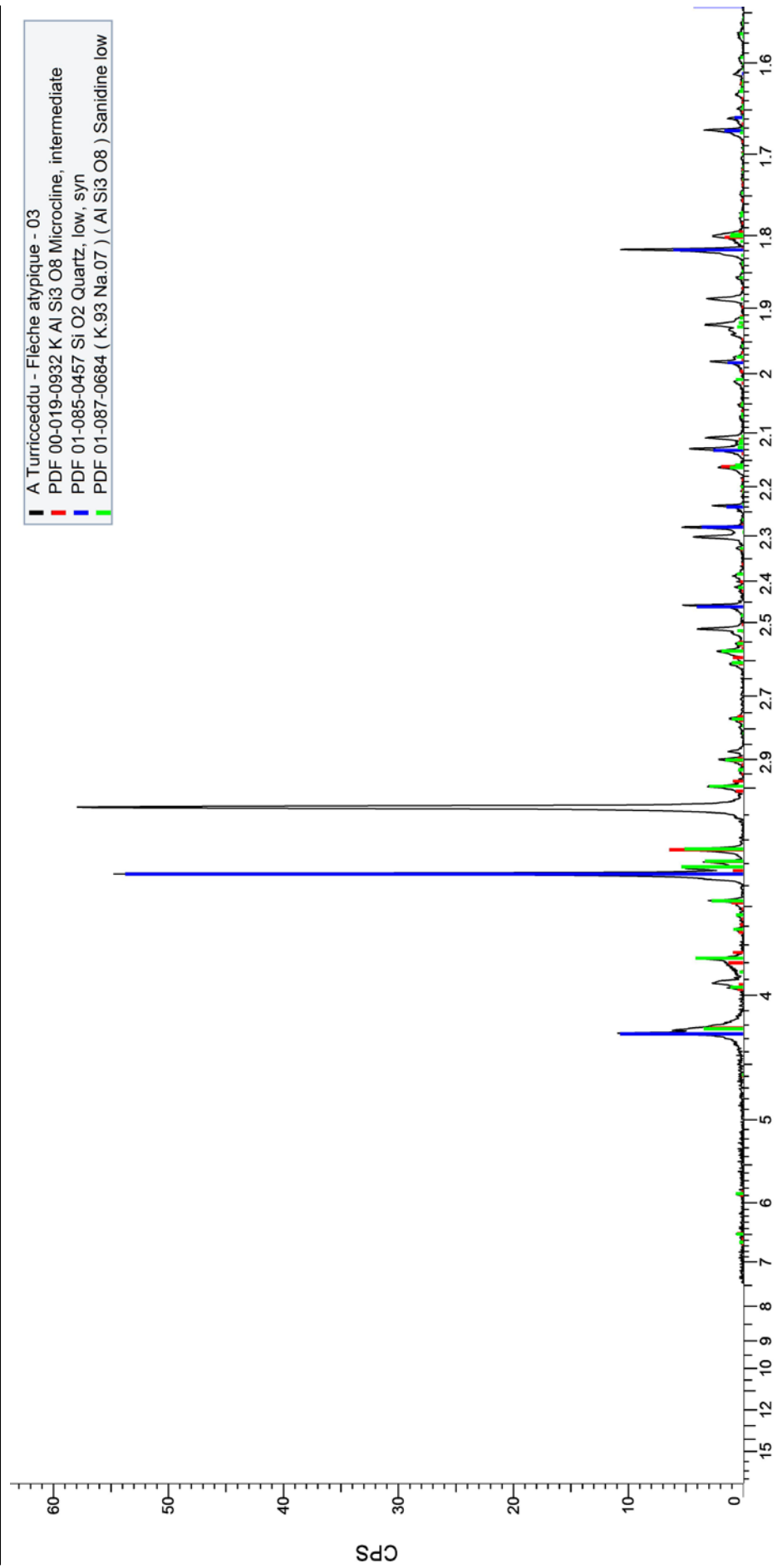
Epaisseur (mm)	Na2O	MgO	Al2O3	SiO2	P2O5	K2O	CaO	TiO2	MnO	Fe2O3	Zn	Ga	Rb	Sr	Y	Zr	Nb	Ba	Pb	Date
3,5	29612	864	112270	782151	100	55687	2292	1504	86	14271	104	24	270	1	85	547	32	89	11	03/05/18
3,5	30303	713	112300	783067	109	53191	2163	1458	102	15380	134	26	252	1	101	576	25	90	9	03/05/18
3,5	32110	696	111573	790192	98	44869	1681	1286	58	16325	72	25	232	1	93	562	23	96	9	03/05/18
3,5	30819	639	111819	793396	98	47222	1786	1181	44	11934	56	25	232	1	91	536	24	86	10	03/05/18
3,25	29509	1548	139348	749015	458	59366	2345	1551	102	15459	128	30	290	1	100	610	26	104	10	07/05/18
3,25	40086	829	135615	744551	108	55967	2711	1601	119	17077	141	28	271	2	112	643	27	102	11	07/05/18
3,25	28339	1125	138689	748113	117	61004	2566	1704	101	16871	137	29	303	1	101	651	34	104	11	07/05/18
3,25	28392	2047	142691	752665	122	53299	1929	1500	51	16017	69	30	275	2	110	650	28	111	12	07/05/18
3,25	40443	1138	137590	748353	375	49588	1821	1474	68	17899	89	29	260	1	107	626	26	103	10	07/05/18
3	30316	660	112032	788530	92	50413	2061	1330	83	13347	111	26	244	1	89	542	23	91	8	11/06/18
3	33800	720	112135	780025	101	54094	2226	1611	95	14017	120	25	257	1	87	553	29	95	9	11/06/18
3	33233	639	112618	793395	107	43468	1639	1126	45	12675	59	24	223	1	91	532	22	93	9	11/06/18
3	30081	1019	111779	795153	127	44747	1781	1169	56	12952	77	26	230	1	97	577	22	96	9	11/06/18
3	31231	596	121099	773243	92	52047	2691	1362	96	16297	121	26	247	1	103	611	27	99	10	11/06/18
2,75	34319	592	129589	763673	96	52580	2161	1442	102	14248	125	26	254	2	94	571	25	94	9	12/06/18
2,75	37287	1952	127450	760750	129	51815	2320	1481	102	15484	120	25	247	1	102	608	25	91	10	12/06/18
2,75	37521	557	129334	760298	96	52253	2304	1529	97	14794	134	27	252	1	90	582	29	92	10	12/06/18
2,75	40780	741	133978	756249	104	48176	1800	1406	58	15542	70	27	250	1	99	591	25	94	10	12/06/18
2,75	32626	573	129056	769489	94	49628	1796	1598	63	13887	81	26	246	1	102	604	23	98	9	12/06/18
2,5	39198	638	130790	757376	93	51703	2448	1429	92	15032	114	26	251	1	94	585	25	95	9	13/06/18
2,5	32571	580	128868	768775	106	47311	1871	1423	46	17303	71	25	244	1	94	580	24	97	10	13/06/18
2,5	33649	573	130335	765151	93	49596	2679	1303	76	15355	89	26	249	1	101	594	24	98	9	13/06/18
2,5	29590	1047	135123	756835	99	53913	2588	1589	106	17783	129	28	267	1	109	659	28	94	12	13/06/18

Epaisseur (mm)	Na2O	MgO	Al2O3	SiO2	P2O5	K2O	CaO	TiO2	MnO	Fe2O3	Zn	Ga	Rb	Sr	Y	Zr	Nb	Ba	Pb	Date
2,5	36705	583	130123	760148	93	52193	2230	1485	88	15141	126	27	254	1	90	584	28	92	10	13/06/18
2,25	40945	619	131581	754127	93	49203	2333	1482	72	18339	96	26	250	1	102	605	25	93	9	15/06/18
2,25	34534	582	129034	764311	99	48816	1917	1405	64	18071	73	25	244	1	95	602	23	91	10	15/06/18
2,25	37375	552	130306	762075	99	51975	1813	1359	76	13199	78	26	247	1	100	593	23	93	10	15/06/18
2,25	25927	1138	135776	759033	100	55827	2445	1680	124	16608	135	29	282	1	106	655	27	95	11	15/06/18
2,25	25004	1650	132024	768870	154	49596	2595	1515	95	17248	126	28	254	1	99	603	28	99	11	15/06/18
2	41381	626	131038	754558	96	53448	1993	1422	110	14137	113	27	260	1	92	571	24	95	10	20/07/18
2	37561	554	129062	758872	113	53189	2280	1453	93	15567	118	26	265	1	98	615	28	95	11	20/07/18
2	36293	585	130020	760772	100	53753	1929	1311	65	13975	76	25	255	1	103	605	24	97	9	20/07/18
2	38729	695	133717	747446	105	53645	2052	1566	66	20704	84	28	267	1	109	645	28	103	10	20/07/18
2	33558	557	130747	763655	94	48587	2711	1420	90	17350	120	27	248	1	95	600	29	98	12	20/07/18
1,75	27325	982	136058	759979	101	54705	2128	1463	85	15875	112	28	278	2	105	630	28	105	11	23/07/18
1,75	25660	1693	131513	765267	157	54781	2281	1542	114	15705	127	27	274	1	99	624	29	96	10	23/07/18
1,75	27363	915	135575	762161	102	52674	1927	1533	82	16389	83	28	268	1	112	651	28	99	11	23/07/18
1,75	26866	1262	137774	753392	102	56874	2281	1614	71	18453	81	29	288	1	111	656	27	108	11	23/07/18
1,75	41571	559	131571	753430	94	52732	2492	1451	84	14785	118	27	268	1	92	591	29	98	10	23/07/18
1,5	29733	788	136630	753958	104	53695	2192	1582	71	19890	101	28	284	2	119	685	30	99	11	25/07/18
1,5	39372	594	131929	756174	103	51045	2041	1312	59	16143	72	26	254	1	104	638	26	95	10	25/07/18
1,5	37167	736	134325	752335	99	54360	2409	1563	97	15640	123	29	283	2	95	600	29	97	10	25/07/18
1,5	27666	1342	138269	751115	105	59540	2622	1563	119	16242	137	29	307	1	109	686	32	106	10	25/07/18
1,5	41505	681	132018	749264	94	52976	2149	1555	75	18424	87	27	261	1	109	643	27	95	11	25/07/18
1,25	27782	587	133704	757509	95	54469	2373	1537	67	20616	87	27	280	2	106	623	27	99	10	26/07/18
1,25	34884	587	130595	763408	96	50055	2000	1320	53	15855	69	26	246	1	95	576	24	99	9	26/07/18

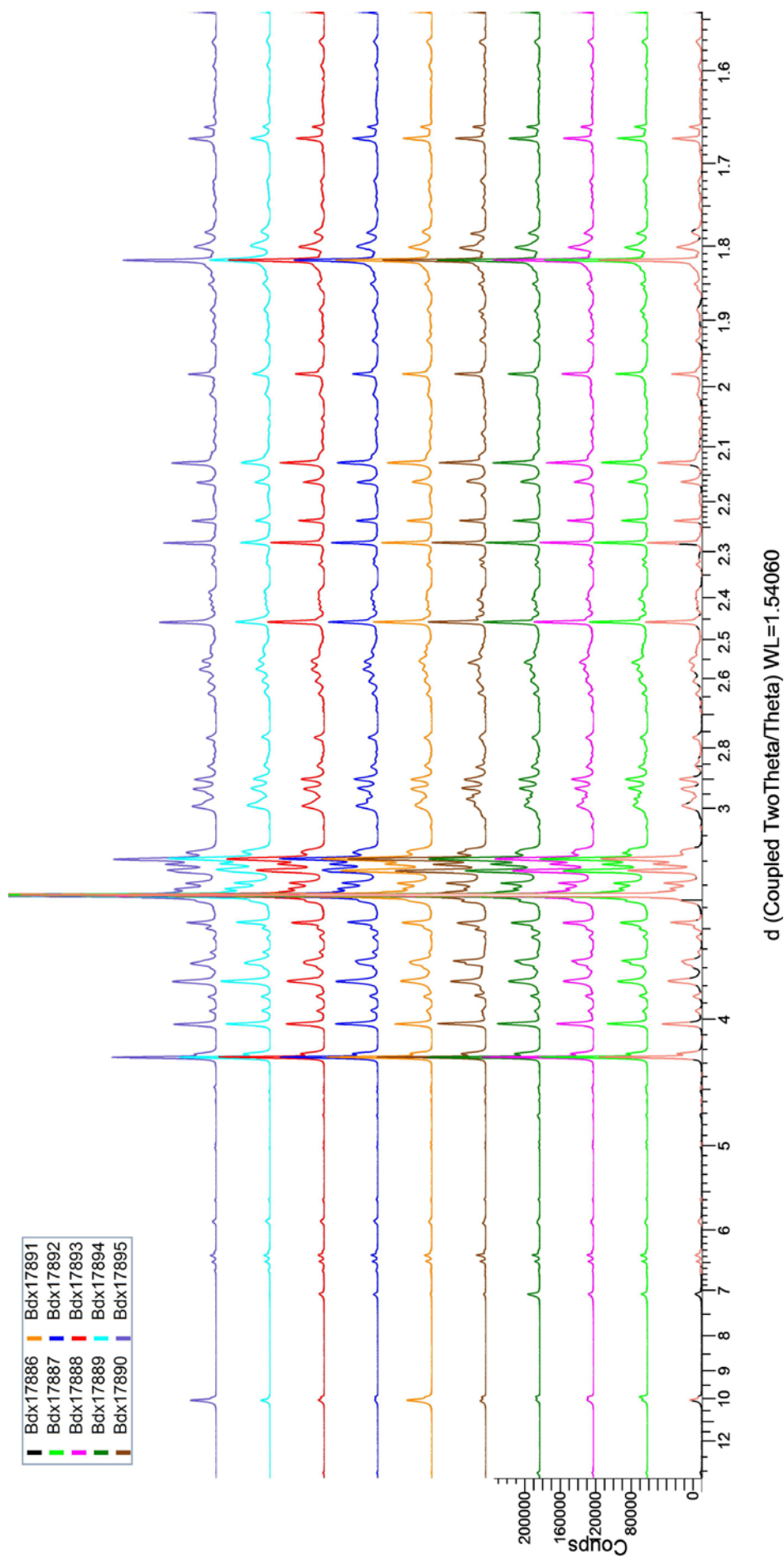
Epaisseur (mm)	Na2O	MgO	Al2O3	SiO2	P2O5	K2O	CaO	TiO2	MnO	Fe2O3	Zn	Ga	Rb	Sr	Y	Zr	Nb	Ba	Pb	Date
1,25	43230	576	131509	747019	108	51919	2322	1716	68	20294	75	25	255	2	110	639	28	95	11	26/07/18
1,25	41394	655	131502	752472	95	54807	2416	1504	95	13847	117	25	281	2	88	567	27	96	10	26/07/18
1,25	27069	764	137052	754748	101	59586	2565	1519	119	15129	131	28	307	1	98	639	30	104	10	26/07/18
1	25711	778	134855	759218	99	57067	2162	1478	76	17308	93	27	289	2	97	600	28	101	10	27/07/18
1	25103	614	132631	762767	96	59627	2223	1528	94	14060	126	26	298	2	87	581	29	99	10	27/07/18
1	26281	581	134412	761899	102	58452	2241	1489	93	13217	118	27	307	2	83	552	28	107	9	27/07/18
1	42568	647	133276	745604	96	54060	2137	1542	57	18786	78	27	260	3	102	615	27	104	12	27/07/18
1	26713	1434	137777	757888	103	56048	2092	1489	65	15158	76	28	273	3	101	615	29	99	10	27/07/18
0,75	29485	635	133368	756777	97	56900	2123	1524	81	17811	87	25	285	4	91	567	32	97	10	30/07/18
0,75	37155	787	129243	756043	641	58109	2226	1440	100	13102	109	25	282	5	79	514	30	101	11	30/07/18
0,75	26496	747	134743	758954	99	55890	2471	1598	56	17737	79	27	267	4	97	587	30	105	12	30/07/18
0,75	28199	1548	138040	755664	217	55255	2035	1422	65	16367	71	27	268	5	95	571	33	107	11	30/07/18
0,75	34825	817	130989	756372	94	59267	2179	1499	97	12739	100	24	299	5	71	495	30	90	9	30/07/18
0,5	29482	639	131380	757568	101	57417	2042	1631	73	18615	79	24	260	10	74	461	37	95	10	30/07/18
0,5	31552	791	128164	762477	442	58510	2129	1451	102	13327	110	24	263	9	63	442	37	96	10	30/07/18
0,5	27537	765	132003	762479	104	56962	1990	1349	55	15700	76	25	235	10	79	487	34	98	11	30/07/18
0,5	28940	755	135909	757664	99	54183	1970	1613	57	17744	66	27	232	10	78	501	39	101	11	30/07/18
0,5	24694	979	128943	764668	108	61694	2227	1536	106	14017	94	24	283	9	62	426	34	85	10	30/07/18
0,25	25873	701	134278	755622	212	60878	2193	1645	76	17727	76	23	178	24	44	293	51	99	8	31/07/18
0,25	24703	812	130404	764865	226	60741	2215	1559	100	13575	103	21	183	23	38	282	48	92	9	31/07/18
0,25	25654	650	133684	761853	241	57391	2008	1365	60	16313	70	22	159	24	47	299	47	102	9	31/07/18
0,25	28521	1737	136396	754782	129	57666	2213	1684	54	16071	61	23	155	25	44	283	51	96	9	31/07/18
0,25	25466	1077	131229	757812	124	64346	2546	1524	99	15000	79	20	191	24	37	274	49	95	8	31/07/18

14. Diffraction des rayons X

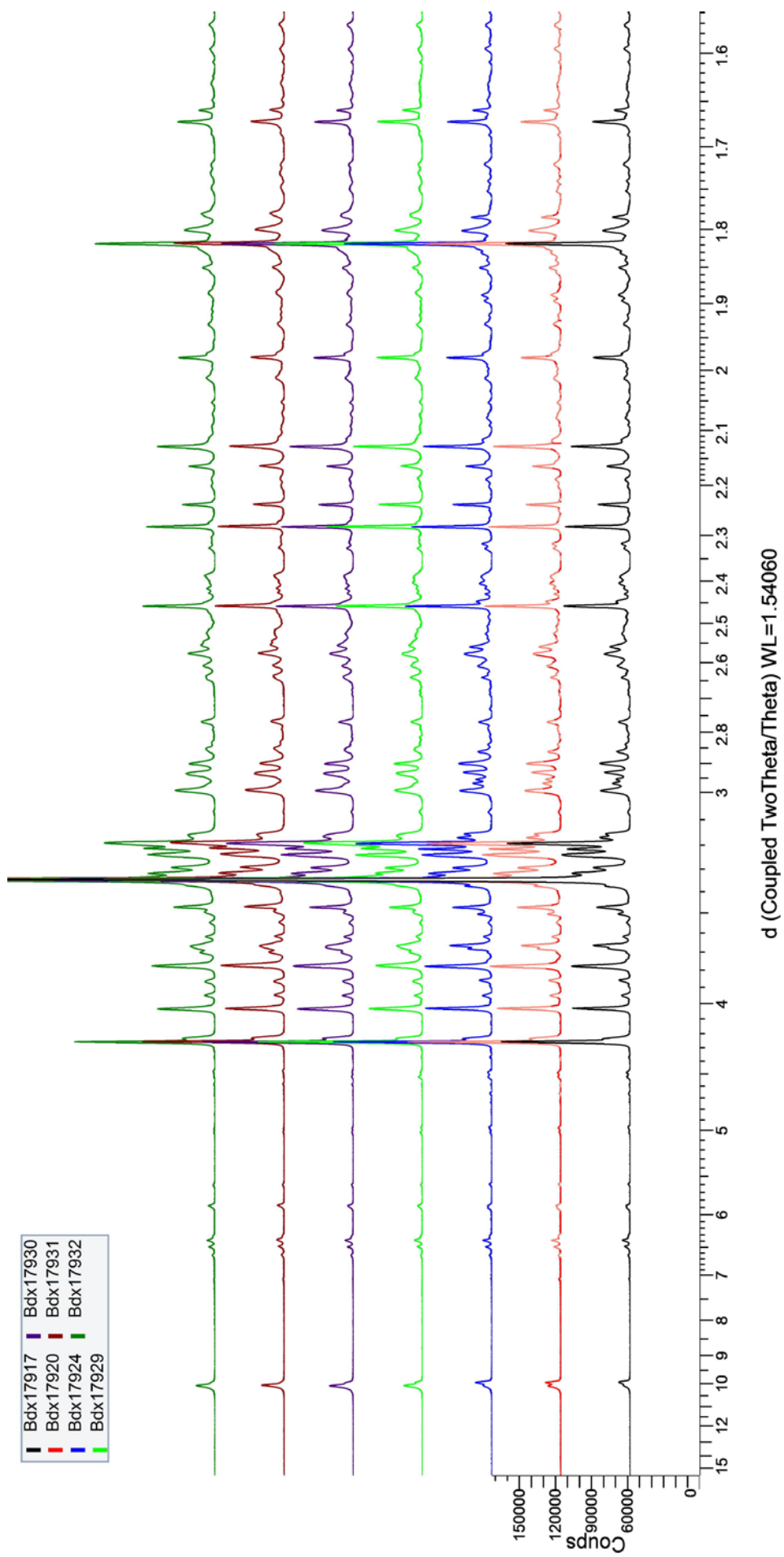
Armature Tour Eiffel



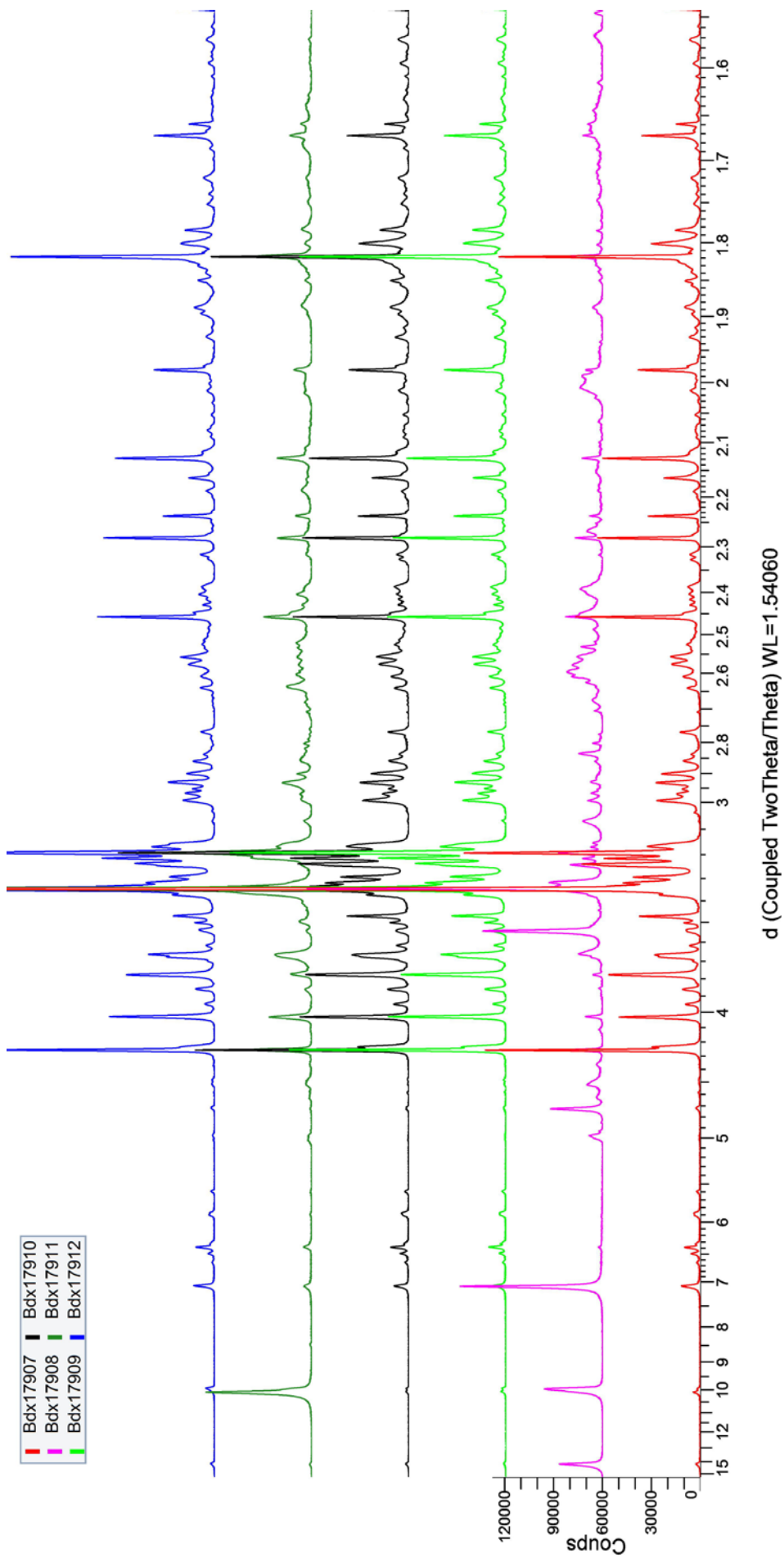
Diffraction de rayons X de l'armature percante (Tour Eiffel) Fond soustrait et signal Ka2 soustrait, échantillon fixe



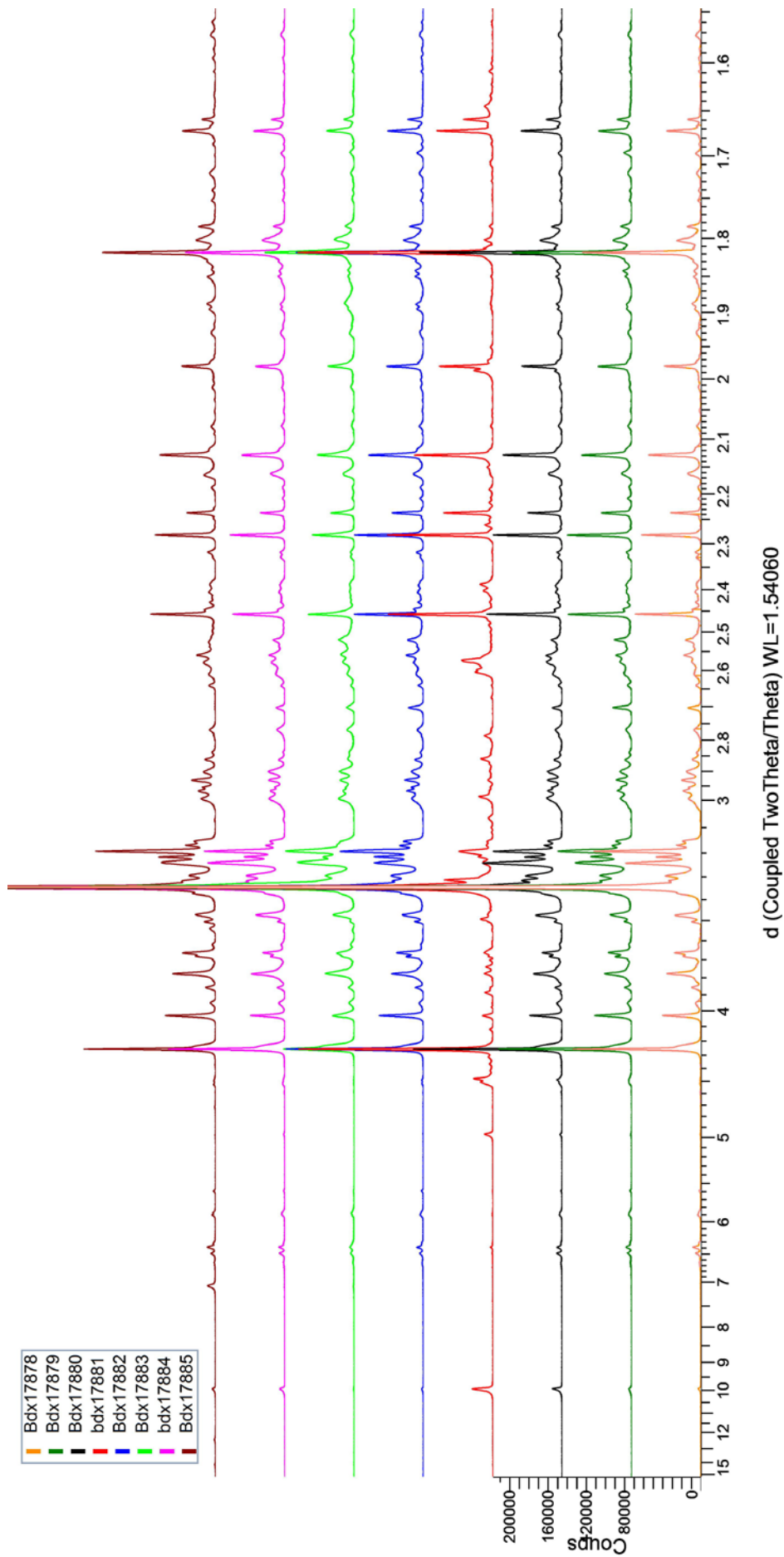
Diffractogramme de rayons X des échantillons géologiques du plateau d'Alzu (BDX17886 à 17895). Fond soustrait et signal $K\alpha_2$ soustrait.



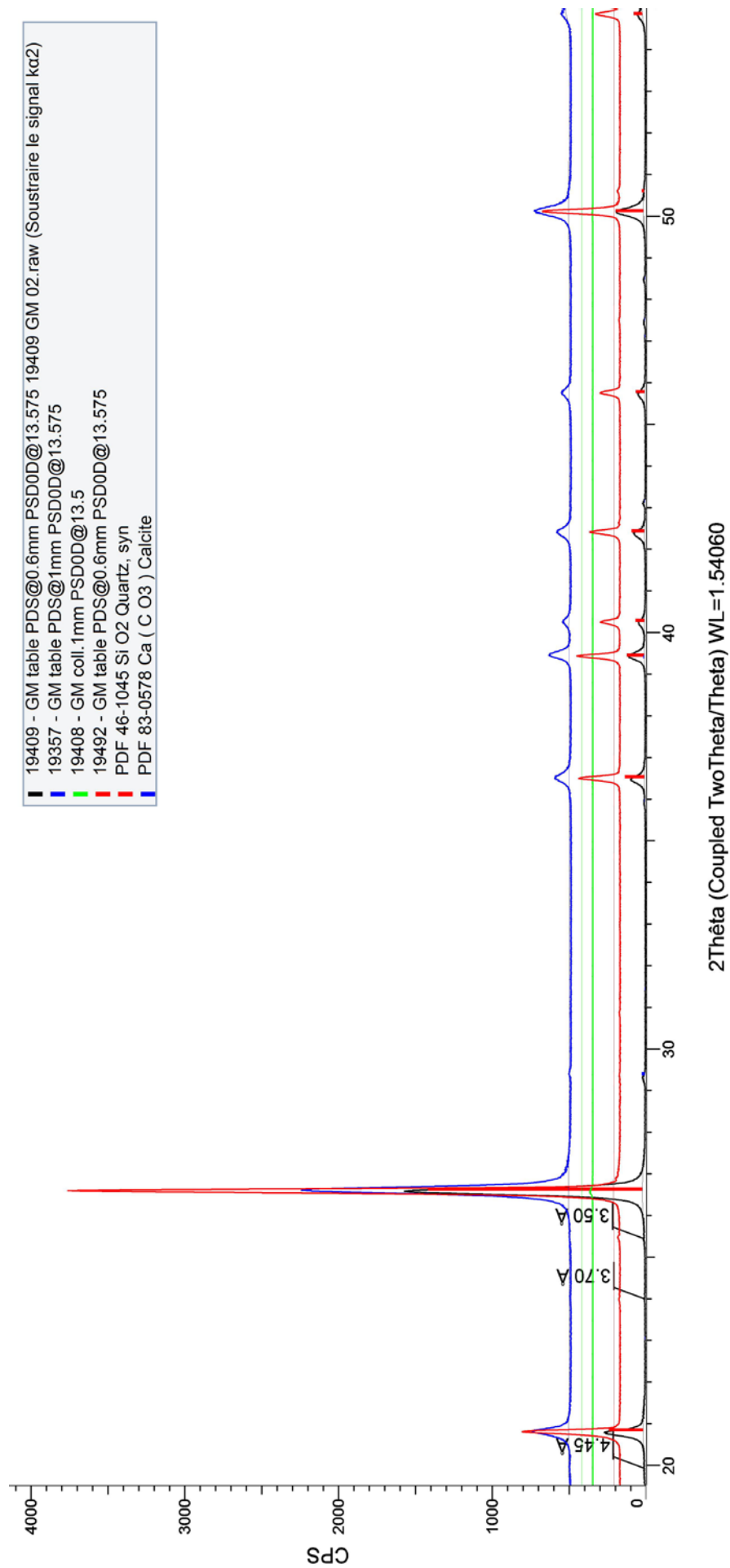
Diffractogramme de rayons X des échantillons géologiques d'I Castelli (BDX17917 à 17931). Fond soustrait et signal Ka2 soustrait.



Diffraction de rayons X des échantillons géologiques du Monte d'Oro (BDX17907 à 17912). Fond soustrait et signal $K\alpha_2$ soustrait.



Diffractogramme de rayons X des échantillons géologiques du plateau de Stagnu (BDX1878 à 17885). Fond soustrait et signal K α 2 soustrait.



Diffractogramme de rayons X des échantillons BDX19409, 19357, 19408, 19492. Analyses sur échantillons entiers. Fond soustrait et signal $K \alpha 2$ soustrait.

Source	BDX	Quartz	Sandine	Orthoclase	Microcline	A. (Na)	A. (Ca0.02)	M.2M1	M.2M2	M.1M	Hématite	Biotite	Epidote	Cronstedtite	Nimite	Clinocllore	Pyrite
Stagnu	17878	xxx		xx	x	xx	x	x	x	x	x						
Stagnu	17879	xxx		xx	x	xx	x	x	x	x	x						
Stagnu	17880	xxx		xx	x	xx	x(+)	x(+)	x(+)	x(+)	x						
Stagnu	17881	xxx		xx(-)	x(-)	xx(-)	x(+++)	x(+++)	x(+++)	x(+++)	x						
Stagnu	17882	xxx		xx	x(-)	xx	x(+)	x(+)	x(+)	x(+)	x						
Stagnu	17883	xxx		xx	x	xx	x	x	x	x	x						
Stagnu	17884	xxx		xx	x	xx	x(+)	x(+)	x(+)	x(+)	x						
Stagnu	17885	xxx		xx	traces	xx	x	x	x	x	x				x	x	
Alzu	17886	xxx	xx			xx	xx	x	x	x	x	x	x	x	x	x	x
Alzu	17887	xxx	xx			xx(+)	x	x	x	x	x	x	x	x	x	x	x
Alzu	17888	xxx	xx			xx	xx	x	x	x	x	x	x	x	x	x	x
Alzu	17889	xxx	xx			xx	xx	x	x	x	x(-)	x	x(+)	x	x	x(+)	x
Alzu	17890	xxx	xx			xx(+)	x	x	x	x	x	x(-)	x	x(-)	x(-)	x(-)	x
Alzu	17891	xxx	xx			xx	x	x	x	x	x	x	x	x	x	x(-)	x
Alzu	17892	xxx	xx			xx	xx	x	x	x	x(-)	x	x	x	x	x	x
Alzu	17893	xxx	xx			xx	xx	x	x	x	x	x	x	x	x	x	x
Alzu	17894	xxx	xx			xx	xx	x(-)	x	x	x	x	x	traces	traces	traces	x
Alzu	17895	xxx	xx			xx	xx	x	x	x	xx	x	x	traces	traces	traces	x
M. d'Oro	17907	xxx	xx			xx	xx	x	x	x	x	x	x	x	x	x	x
M. d'Oro	17908	xx(+)	traces			x	xx	xx	xx	xx	x	x	x	xx	xx	xx	x(+)
M. d'Oro	17909	xxx	xx			xx(+)	x	x	x	x	x	x(+)	x	x	x	x	x
M. d'Oro	17910	xxx	xx			xx	xx	x	x	x	x	x	x	x	x	x	x
M. d'Oro	17911	xxx	traces			xx(-)	x(+++)	x	x	x	xx	x(+)	x	x	x(-)	x	x(+)
M. d'Oro	17912	xxx	xx			xx	xx	x	x	x	x	x	x	x	x	x	x
Castelli	17917	xxx	xx?	xx?		xx	x(NH4)	x	x	x	x	x	x	x	x	x	x
Castelli	17920	xxx	xx?	xx?		xx(+)	x(+)	x	x	x	x	x(-)	x(-)	x(-)	x	x	x
Castelli	17924	xxx	xx?	xx?		xx(+)	x(+)	x	x	x	x(-)	x(-)	x(-)	x(-)	x	x	x
Castelli	17929	xxx(+)	xx?(-)	xx?		xx(-)	x(-)	x	x	x	x(+)	x	x	x	x	traces	traces
Castelli	17930	xxx	xx?(-)	xx?		xx(-)	x(-)	x	x	x	x(+)	x	x	x	x	traces	traces
Castelli	17931	xxx	xx?(-)	xx?		xx(-)	x(-)	x	x	x	x(+)	x	x	x	x	traces	traces
Castelli	17932	xxx	xx?(-)	xx?		xx(-)	x(-)	x	x	x	x(+)	x	x	x	x	traces	traces

Minéraux identifiés en DRX. A.(Na) : Albite ; A.(Ca0.02) : albite légèrement calcique ; M.2M1 : Muscovite 2M1 ; M.2M2 : Muscovite 2M2 ; M.1M : Muscovite 1M ; XXX : minéral majoritaire ; XX : minéraux secondaires ; X : minéraux accessoires

15. Tableaux des composantes ACP

Principal Components:											
	clr.MnO	clr.Fe2O3	clr.Zn	clr.Ga	clr.Rb	clr.Sr	clr.Y	clr.Zr	clr.Nb	clr.Pb	Cum.Prop. Exp.
PC1	0.2741	-0.0566	-0.1548	-0.1073	-0.0880	0.8315	-0.2625	-0.3229	-0.1173	0.0037	0.6680
PC2	-0.6997	-0.0170	-0.5125	0.1172	0.1039	0.3182	0.1644	0.2171	0.1596	0.1487	0.7987
PC3	0.0101	0.2299	0.0191	0.0725	-0.1451	0.1870	0.1653	0.2969	0.0408	-0.8765	0.8996
PC4	-0.0880	0.3170	0.1500	-0.2302	-0.7546	0.0803	-0.0194	0.3514	-0.1245	0.3180	0.9360
PC5	0.5634	-0.0080	-0.7309	-0.0934	-0.1022	-0.1931	0.1667	0.2147	0.1168	0.0660	0.9629
PC6	-0.0518	0.7029	-0.1532	-0.2972	0.4319	-0.0840	-0.3659	0.0579	-0.2463	0.0056	0.9777
PC7	0.0621	-0.4706	0.1215	-0.2968	0.2888	0.1308	-0.0137	0.6081	-0.4482	0.0180	0.9897
PC8	-0.0556	0.0685	0.0823	-0.6638	0.0959	0.0655	0.6657	-0.2934	0.0444	-0.0095	0.9954
PC9	0.0210	0.1512	-0.1063	0.4368	-0.0379	-0.0089	0.4139	-0.1779	-0.7526	0.0609	1.0000

Tableau 1 : Composantes principales calculées à partir des concentrations en MnO, De2O3, Zn, Ga, Rb, Sr, Y, Zr, Nb et Pb des rhyolites de l'ensemble des gisements échantillonnés.

Principal Components:											
	clr.MnO	clr.Fe2O3	clr.Zn	clr.Ga	clr.Rb	clr.Sr	clr.Y	clr.Zr	clr.Nb	clr.Pb	Cum.Prop. Exp.
PC1	0.2049	-0.1319	-0.1163	-0.0491	-0.1092	0.8463	-0.2695	-0.3418	-0.0733	0.0400	0.6859
PC2	-0.7433	-0.0545	-0.4280	0.0848	0.0714	0.3047	0.1961	0.2710	0.1497	0.1481	0.8375
PC3	0.1230	0.0896	-0.1521	0.2654	-0.0123	0.1463	0.0520	0.2478	0.1246	-0.8844	0.8930
PC4	-0.3411	0.7084	0.3542	-0.1595	-0.3054	0.1136	-0.3380	0.0696	-0.0351	-0.0668	0.9284
PC5	0.3344	0.5355	-0.6795	-0.2107	-0.1060	-0.0777	0.2193	-0.0377	-0.1076	0.1301	0.9537
PC6	-0.0477	0.1845	-0.2143	0.1701	0.7156	-0.1230	-0.5873	-0.1265	0.0255	0.0033	0.9719
PC7	0.2400	-0.2203	-0.1206	-0.2734	-0.1394	0.0124	-0.4531	0.7447	0.0649	0.1448	0.9839
PC8	-0.0489	0.0029	0.1793	-0.6637	0.4964	0.1808	0.2711	0.1267	-0.3354	-0.2093	0.9950
PC9	0.0049	-0.0231	-0.0150	-0.4539	0.0211	-0.0506	-0.0100	-0.2355	0.8524	-0.0904	1.0000

Tableau 2 : Composantes principales calculées à partir des concentrations en MnO, De2O3, Zn, Ga, Rb, Sr, Y, Zr, Nb et Pb des rhyolites de Monti Barbatu

Principal Components:											
	clr.MnO	clr.Fe2O3	clr.Zn	clr.Ga	clr.Rb	clr.Sr	clr.Y	clr.Zr	clr.Nb	clr.Pb	Cum.Prop .Exp.
PC1	0.0338	0.1337	0.2922	0.0705	0.0383	-0.8752	0.1703	0.2518	0.0521	-0.1675	0.7601
PC2	-0.5754	-0.0723	-0.2976	0.0744	0.1726	-0.2227	0.1453	-0.0513	0.1639	0.6630	0.8566
PC3	0.6342	-0.1303	0.0441	-0.0461	-0.0618	-0.2568	-0.2209	-0.4353	-0.0437	0.5166	0.9419
PC4	-0.3987	0.0615	0.7919	-0.0012	-0.0358	0.0938	-0.3589	-0.2185	-0.0703	0.1362	0.9616
PC5	0.0075	0.3066	-0.0661	0.0114	-0.6597	0.0278	-0.1368	0.4868	-0.3124	0.3349	0.9779
PC6	-0.0134	0.6997	-0.1379	-0.3311	0.4152	-0.0312	-0.0227	-0.1749	-0.4205	0.0167	0.9868
PC7	0.0310	-0.4242	0.2570	-0.3658	0.0820	0.0822	0.5512	0.1363	-0.5082	0.1586	0.9929
PC8	-0.0624	0.3042	0.0719	-0.1029	-0.4993	0.0319	0.5711	-0.4980	0.2442	-0.0606	0.9972
PC9	0.0383	0.0071	0.0490	-0.7957	-0.0065	0.0135	-0.1521	0.2503	0.5208	0.0754	1.0000

Tableau 3 : Composantes principales calculées à partir des concentrations en MnO, De2O3, Zn,Ga, Rb, Sr, Y, Zr, Nb et Pb des rhyolites de Basi

Principal Components:											
	clr.MnO	clr.Fe2O3	clr.Zn	clr.Ga	clr.Rb	clr.Sr	clr.Y	clr.Zr	clr.Nb	clr.Pb	Cum.Prop .Exp.
PC1	0.1777	0.0255	-0.0964	-0.0557	-0.1790	0.8655	-0.2654	-0.1690	-0.0308	-0.2724	0.6546
PC2	-0.7621	0.0195	-0.3917	0.0366	0.0616	0.2879	0.2382	0.3166	0.1259	0.0674	0.8077
PC3	0.0812	-0.2422	-0.3990	0.1678	0.2218	0.0838	-0.0790	-0.5126	0.0291	0.6491	0.8976
PC4	-0.4379	-0.0394	0.7053	-0.1260	-0.2008	0.1531	-0.1743	-0.1789	-0.0980	0.3970	0.9385
PC5	0.1089	0.6803	-0.2761	-0.2253	-0.4450	-0.0734	-0.0970	0.1173	-0.1685	0.3786	0.9662
PC6	-0.2751	0.5933	0.0367	0.2621	0.3276	-0.1204	-0.2390	-0.4623	0.1644	-0.2873	0.9825
PC7	0.0027	0.0308	0.0328	0.0475	-0.4625	0.0043	0.7032	-0.4695	0.2297	-0.1190	0.9917
PC8	-0.0031	0.1417	0.0436	-0.1563	0.3803	0.1301	0.4123	-0.1287	-0.7769	-0.0429	0.9981
PC9	0.0416	0.0537	0.0022	-0.8399	0.3327	0.0261	0.0719	-0.1098	0.4012	0.0202	1.0000

Tableau 4 : Composantes principales calculées à partir des concentrations en MnO, De2O3, Zn,Ga, Rb, Sr, Y, Zr, Nb et Pb des rhyolites de I Casteddi

Principal Components:											
	clr.MnO	clr.Fe2O3	clr.Zn	clr.Ga	clr.Rb	clr.Sr	clr.Y	clr.Zr	clr.Nb	clr.Pb	Cum.Prop .Exp.
PC1	0.1515	0.0653	-0.0514	-0.1747	-0.2759	0.8752	-0.1905	-0.0937	-0.2059	-0.1000	0.6697
PC2	-0.3127	0.0859	-0.6406	0.0262	0.1312	0.1446	0.3104	0.5376	-0.0403	-0.2424	0.7828
PC3	0.2535	0.3454	0.2898	0.0400	-0.0998	-0.1495	0.0452	0.1009	0.0028	-0.8284	0.8576
PC4	-0.0136	0.4366	0.1075	-0.2299	-0.5821	-0.2260	0.0694	0.3661	-0.2907	0.3627	0.9210
PC5	0.8079	0.0005	-0.4840	-0.0572	0.1194	-0.1917	-0.0107	-0.0524	-0.2197	0.0879	0.9505
PC6	-0.0931	0.0631	0.2747	-0.3210	0.6266	0.0046	-0.2258	0.2194	-0.5630	0.0146	0.9711
PC7	0.1181	-0.5198	0.2498	-0.2534	-0.1041	0.0509	0.7250	0.0108	-0.2152	-0.0620	0.9855
PC8	-0.1987	0.5039	-0.1174	0.1232	0.1362	0.0164	0.4200	-0.6262	-0.2978	0.0405	0.9944
PC9	0.0100	0.2242	-0.0746	-0.7929	0.1472	-0.0057	0.0862	-0.1223	0.5209	0.0070	1.0000

Tableau 5 : Composantes principales calculées à partir des concentrations en MnO, De2O3, Zn,Ga, Rb, Sr, Y, Zr, Nb et Pb des rhyolites de Renaghju, phase1

Principal Components:											
	clr.MnO	clr.Fe2O3	clr.Zn	clr.Ga	clr.Rb	clr.Sr	clr.Y	clr.Zr	clr.Nb	clr.Pb	Cum.Prop .Exp.
PC1	0.3910	-0.1506	0.0140	-0.1020	-0.0281	0.7230	-0.3617	-0.3581	-0.1713	0.0438	0.7290
PC2	-0.5953	0.0623	-0.5854	0.0848	0.1317	0.4625	0.1482	0.0293	0.0891	0.1729	0.8754
PC3	0.2317	0.5746	-0.2989	-0.1813	-0.4053	0.1323	-0.1024	0.4237	-0.0259	-0.3485	0.9197
PC4	-0.2051	-0.2895	0.2733	0.1501	0.2219	0.2803	0.0430	0.2756	0.0062	-0.7558	0.9499
PC5	0.2367	-0.4134	-0.2676	0.0727	0.1394	-0.0518	-0.0194	0.5848	-0.5229	0.2414	0.9676
PC6	0.4600	-0.0320	-0.5447	0.2580	0.3339	-0.1888	0.2178	-0.3151	0.1425	-0.3316	0.9846
PC7	0.1488	-0.5159	-0.0848	0.0081	-0.5991	0.1066	0.3113	0.1009	0.4739	0.0501	0.9952
PC8	0.0101	0.1087	0.1263	-0.1371	-0.1627	0.1314	0.7535	-0.2265	-0.5346	-0.0690	0.9984
PC9	0.0845	-0.0983	-0.0395	-0.8581	0.3900	0.0162	0.1497	0.1127	0.2407	0.0021	1.0000

Tableau 6 : Composantes principales calculées à partir des concentrations en MnO, De2O3, Zn,Ga, Rb, Sr, Y, Zr, Nb et Pb des rhyolites de l'abri des Castelli, niveaux Néolithique ancien

Principal Components :											
	clr.MnO	clr.Fe2O3	clr.Zn	clr.Ga	clr.Rb	clr.Sr	clr.Y	clr.Zr	clr.Nb	clr.Pb	Cum.Prop .Exp.
PC1	0.4184	-0.1367	0.0575	-0.1575	-0.0016	0.6739	-0.3152	-0.4408	-0.1618	0.0638	0.5085
PC2	-0.6561	-0.2637	-0.2874	0.2018	0.3050	0.5103	0.1098	0.0088	0.1006	-0.0291	0.7414
PC3	0.4259	-0.3481	-0.3703	0.1904	-0.3007	0.1574	0.2641	0.3505	0.0875	-0.4568	0.8155
PC4	-0.0054	-0.5745	0.6774	0.1992	0.2485	-0.1342	-0.0706	0.0252	-0.0847	-0.2808	0.8811
PC5	0.2607	0.1642	-0.3343	-0.0326	0.7753	-0.2026	-0.0715	-0.1126	-0.0955	-0.3510	0.9291
PC6	-0.2103	0.5513	0.3022	-0.0525	-0.1538	0.2750	-0.0006	0.0425	-0.0831	-0.6707	0.9651
PC7	0.0162	0.1064	-0.0804	0.6260	-0.1477	-0.1327	-0.4297	-0.3413	0.4883	-0.1051	0.9832
PC8	-0.0055	0.1216	-0.0924	0.4838	-0.0276	0.0413	-0.3491	0.3580	-0.6831	0.1531	0.9935
PC9	-0.0231	-0.0592	-0.0075	-0.3588	0.0864	0.0813	-0.6342	0.5683	0.3575	-0.0108	1.0000

Tableau 7 : Composantes principales calculées à partir des concentrations en MnO, Fe2O3, Zn, Ga, Rb, Sr, Y, Zr, Nb et Pb des rhyolites de A Petra

16. Article Comptes Rendus Palevol



Paléontologie humaine et préhistoire

Provenance d'artefacts en rhyolite corse : évaluation des méthodes d'analyse géochimique



Provenance studies of Corsican rhyolite artefacts: Assessment of geochemical analysis methods

Arthur Leck^{a,*}, François-Xavier Le Bourdonnec^a, Bernard Gratuze^b,
Stéphan Dubernet^a, Nadia Ameziane-Federzoni^{c,d}, Céline Bressy-Leandri^{e,c},
Rémy Chapoulie^a, Sylvain Mazet^f, Jean-Michel Bontempi^g, Nathalie Marini^h,
Maxime Remicourt^c, Thomas Perrin^c

^a IRAMAT-CRP2A, UMR5060 CNRS, université Bordeaux-Montaigne, Maison de l'archéologie, esplanade des antilles, 33607 Pessac, France

^b IRAMAT-CEB, UMR 5060 CNRS, Université d'Orléans, 3D, rue de la Férellerie, 45071 Orléans cedex 2, France

^c TRACES, UMR 5608, CNRS, Université Toulouse-2 Jean-Jaurès, Maison de la recherche, 5, allée Antonio-Machado, 31058 Toulouse cedex 9, France

^d ARCHÉO-ÎLE, Valle Longa, 20117 Ocana, Corse, France

^e Ministère de la Culture, DRAC de Corse, Service régional de l'archéologie, Villa San-Lazaro, 1, chemin de la Pietrina, 20704 Ajaccio cedex 9, France

^f Institut national de recherches archéologiques préventives (INRAP), 30, boulevard de Verdun, 76120 Grand-Quevilly, France

^g Musée départemental d'archéologie Jérôme-Carcopino, département de la Haute-Corse, Hameau-du-Fort-de-Matra, 20270 Aléria, France

^h University of Reading, Reading, Royaume-Uni

INFORMATION

Historique de l'article :

Reçu le 16 juin 2017

Accepté après révision le 25 octobre 2017

Disponible sur internet le 8 mars 2018

Géré par Marcel Otte

Mots clés :

Néolithique

Chalcolithique

Corse

Rhyolite

Provenance de matériaux lithiques

EDXRF

LA-ICP-MS

RÉSUMÉ

L'analyse d'artefacts en silex et en obsidienne a permis de mettre en évidence les liens qui existaient au Néolithique et au Chalcolithique entre la Corse et la Sardaigne. Cependant, on ne sait aujourd'hui que peu de choses sur les déplacements et les échanges ayant eu lieu à l'intérieur même de la Corse. Pourtant, une roche volcanique siliceuse, la rhyolite, a été exploitée en Corse et diffusée à travers tout le territoire dès le Néolithique ancien. Une seule étude d'envergure a été menée, dans le Nord de l'île, afin d'identifier par l'analyse pétrographique les gîtes de matière première de ces artefacts en rhyolite. La pétrographie étant une méthode destructive, il est difficile de l'appliquer sur de grandes séries d'objets archéologiques. Notre étude a donc consisté à rechercher des méthodes d'analyse moins invasives, basées sur la géochimie des roches, afin de mener de futures études de provenance sur ces vestiges en rhyolite. Nous avons analysé 34 échantillons géologiques provenant de quatre gisements différents, ainsi que 31 échantillons archéologiques mis au jour sur trois sites différents. La méthode EDXRF est particulièrement performante pour discriminer les sources et peut être mise en œuvre de manière non destructive pour caractériser les artefacts. Une

* Auteur correspondant.

Adresses e-mail : arthur.leck@u-bordeaux-montaigne.fr (A. Leck), francois-xavier.le-bourdonnec@u-bordeaux-montaigne.fr (F.-X. Le Bourdonnec), gratuze@cnrs-orleans.fr (B. Gratuze), stephan.dubernet@u-bordeaux-montaigne.fr (S. Dubernet), nadia.federzoni@gmail.com (N. Ameziane-Federzoni), celine.leandri@culture.gouv.fr (C. Bressy-Leandri), remy.chapoulie@u-bordeaux-montaigne.fr (R. Chapoulie), sylvain.mazet@inrap.fr (S. Mazet), jmbontempi@haute-corse.fr (J.-M. Bontempi), n.a.marini@reading.ac.uk (N. Marini), m.remicourt@laposte.net (M. Remicourt), tperrin@univ-tlse2.fr (T. Perrin).

<https://doi.org/10.1016/j.crpv.2017.10.003>

1631-0683/© 2017 Académie des sciences. Publié par Elsevier Masson SAS. Cet article est publié en Open Access sous licence CC BY-NC-ND (<http://creativecommons.org/licenses/by-nc-nd/4.0/>).

autre méthode employée, la spectroscopie LA-ICP-MS, très peu intrusive, se heurte à des problèmes d'hétérogénéité des roches.

© 2017 Académie des sciences. Publié par Elsevier Masson SAS. Cet article est publié en Open Access sous licence CC BY-NC-ND (<http://creativecommons.org/licenses/by-nc-nd/4.0/>).

A B S T R A C T

Keywords:

Neolithic
Chalcolithic
Corsica
Rhyolite
Lithic source provenance study
EDXRF
LA-ICP-MS

Through the analysis of flint and obsidian artefacts, numerous studies have shown the links that existed between Corsica and Sardinia during Neolithic and Chalcolithic. However, we have almost no information about the movements and exchanges that took place in Corsica itself. Rhyolite, a siliceous volcanic rock, has been exploited in Corsica and disseminated throughout the territory from the early Neolithic. Up to now, only one major study has been conducted in the North of the island, in order to identify, by petrographic analysis, the raw material deposits of these rhyolite artefacts. Petrography is a destructive method; it is thus difficult to apply it to large series of archaeological objects. Our aim was therefore to investigate less invasive analytical methods, based on the geochemistry of rocks, in order to conduct future studies based on these rhyolite remains. We analysed 34 geological samples from four different sources, as well as 31 archaeological samples unearthed at three different archaeological areas. We show that EDXRF is an effective method to discriminate sources but also to characterise artefacts using nondestructive protocol. LA-ICP-MS encounters issues due to heterogeneity of the studied rocks. However, we show that by adjusting our testing protocol this method can complement the EDXRF analysis, which is ineffective on objects that are too thin.

© 2017 Académie des sciences. Published by Elsevier Masson SAS. This is an open access article under the CC BY-NC-ND license (<http://creativecommons.org/licenses/by-nc-nd/4.0/>).

Abridged English version

Introduction

Provenance studies of lithic components from prehistoric times in Corsica have long focused on obsidian and most recently on flint artefacts. It is now understood that nearly all of these geological resources, sources of which do not exist in Corsica, were then coming from neighboring Sardinia (Bressy et al., 2007; Bressy et al., 2008; Le Bourdonnec et al., 2010; Tykot, 2011). Some poorer quality components, but still good enough to be knapped, were exploited in Corsica. Rhyolite, a fine-grained and silica-rich igneous rock, seems to have been the object of large diffusion in the island, making it an essential witness of internal island exchanges and mobilities during late prehistory. Petrographic analyses carried out on rhyolite artefacts from North Corsica have been shown to be efficient to assess provenance (Ameziane-Federzoni, 2011). However, the destructive character of the method is problematic and it is important to develop less invasive methods.

A few rhyolite provenance studies using little or non-invasive geochemical methods have already been conducted in the last two decades, in different contexts. Most used EDXRF (Energy Dispersive X-Ray Fluorescence) to characterise this material (Hermes and Ritchie, 1997a; Hermes et al., 2001; Williams-Thorpe et al., 1999). However, non-destructive analyses may be limited in the presence of irregular surfaces or heterogeneity of the material (Coffman and Rasic, 2015; Hermes and Ritchie, 1997b; Kristmanson, 2004). Laser Ablation Inductively

Coupled Plasma Mass Spectrometry (LA-ICP-MS) has also revealed its efficacy when it is possible to focus on a specific phase or mineral (Bevins et al., 2011; Scharlotta, 2010).

This explorative study aims to evaluate geochemical analyses for Corsican rhyolite, by determining the potential of different methods and protocols. We analysed 34 geological samples from four distinctive regions and 31 artefacts from three Corsican Neolithic and Chalcolithic archaeological sites. These samples were the object of different preparations (sampling, polishing and simple cleaning) and were analysed by different methods: Scanning Electron Microscope with Energy-Dispersive X-ray Spectroscopy (SEM-EDXS), EDXRF, LA-ICP-MS.

Corsica

Rhyolites are present all over crystalline Corsica, an Hercynian formation made of granite and volcanic stone covering two-thirds of the island (Gauthier and Demouren, 1991). Aphanitic rhyolites are mainly found around the Monte Cintu caldera, in the North-west of Corsica (Ameziane-Federzoni, 2011). Many acidic veins intermingling with the granite massif can also provide fine-grained rhyolites.

Our corpus consists of 44 geological samples extracted from 4 different deposits (Fig. 1). Eight samples were extracted from the Stagnu plateau, in the Mont Cintu cauldron, either in primary position on the outcrops (StagnuSe), or sub-primary in a Quaternary moraine [StagnuSr; (Ameziane-Federzoni, 2011)]. Six samples were taken from the western hillside of the Monte d'Oro, 6 km southwest of

Vivario. About thirty samples come from an acid vein, set in the joints of the calco alkaline batholith, between the Res-tonica and Tavignanu valleys. This vein spreads from the Punta di Castelli to the plateau d'Alzu, a few kilometers south-west of Corte. Several archaeological deposits have been spotted on the plateau d'Alzu (Ameziane-Federzoni et al., 2008) and the Castelli rock shelter (Ameziane-Federzoni et al., 2008; Mazet, 2014; Mazet et al., 2016), occupied since the Early Neolithic. Ten samples come from the plateau d'Alzu and some twenty samples come from veins situated near the Castelli shelter.

Archaeological samples come from three different sites. Eleven artefacts come from a surface collection performed on the plateau d'Alzu (Ameziane-Federzoni et al., 2008), twelve artefacts come from the cleaning of the Castelli shelter (Mazet et al., 2016). Thirty-eight artefacts come from layer B, northern terrace, on the I Calanchi site (Cesari, 1987; Cesari, 1999), each sample representing one of the groups or subgroups of raw materials discovered among the whole collection of lithic material from stratum B (Remicourt, 2014).

The samples have undergone different preparations prior to SEM-EDXS, LA-ICP-MS and EDXRF analyses (Appendix 1): cubic samplings of one to two centimeters on the side were obtained using a rock chainsaw on the geological samples which were polished with diamond solutions. Small cubes of about 5mm³ were also cut (two samples per geological sample) but left unpolished. In order to avoid pollution, the artifacts were brushed and then put in an ultrasonic tank, then rinsed with distilled water and rinsed with ethanol. Two artifacts (BDX17898, coming from a surface collection on the Alzu plateau, and BDX17943, resulting from the cleaning of the Castelli Abri) were sampled in order to produce X-ray mapping on polished sections. To know if the analysis obtained with unpolished samples was efficient, we performed EDXRF analysis on both polished sections and raw samples.

Assessment of EDXRF data on non-prepared samples

Because X-rays are sensitive to the topography of the samples, surface irregularities of artefacts may affect the results obtained using EDXRF (Hermes and Ritchie, 1997b). Consequently, we made sure the additional error induced by the morphology did not throw into question the validity of our results and our capacity to obtain a clear geochemical signature, enabling us to find a geological source for the analysed artefacts.

The reproducibility of the measurement has been tested by analysing sample BDX17943 from Castelli's shelter, in polished section and/or without preparation, each time the series of analyses was conducted with EDXRF (Table 1). We also evaluated the scattering by repeating many times the same acquisition on different points on sample BDX17943 (Table 2). To conclude each series of analyses a measurement on a Sardinian obsidian standard from our laboratory (ARC-URS, used for calibration ; Bellot-Gurlet, 1998; Lugliè et al., 2007) has enabled us to certify the absence of drift in the device.

We noticed that the dispersion is almost identical between polished sections and raw samples. However, the

reproducibility varies depending on the chemical elements measured. Titanium may present an important dispersion because it is not distributed homogeneously in our material. Variations in Fe₂O₃ and CaO contents are likely to be due to the formation of surface modification. Finally, the dispersion is globally more important on the low concentration elements, a phenomenon directly linked to the counting statistics.

Accuracy is estimated from measurements carried out on a powdered international standard (NIST-278) (Table 3) as well as on our internal standard ARC-URS. Most of the measured concentrations match the certified ones. Nevertheless, our procedures will need to be made more precise for further analyses in order to obtain better results, particularly for strontium, which appears to be essential for differentiating the deposits. We also compared the results obtained in EDXRF with those coming from SEM-EDXS and LA-ICP-MS for major and trace elements, respectively. The number of measured elements and the detection limit being specific to each method, the concentrations obtained are not exactly comparable. Yet, results remain coherent no matter which analysis or sample preparation method was used.

Finally, we have checked the state of alteration of the surface of two artefacts (BDX17943 and BDX17898) using X-ray cartography carried out with SEM-EDXS on the edge of the samplings. Major and minor elements are spread out regularly, irrespective of the distance from the surface. A thin layer, rich in calcium, is however present on the surface of BDX17898, which may reveal a white crust visible to the naked eye on some areas of the sample. So the analysed rhyolites are not or are very slightly prone to modification on the scales of the period we are interested in (from Neolithic to our present days). Yet, we must check that a crust did not form on the surface.

Distinction of geologic sources

The discriminating elements were measured too close to the detection limits of the SEM-EDXS. Nonetheless, the results enabled us to confirm the nature of the studied stones.

With LA-ICP-MS, the laser's width (100 μm) was too low to include a large quantity of minerals, representative of the global composition. The results are thus too scattered. However, it is possible to discriminate some sources from a few components distributed more homogeneously in the material (Fig. 3). Nevertheless, we will have to use a better protocol for future measurements.

With EDXRF, it is possible to differentiate all the studied sources with the help of some discriminating elements (Fig. 4). Rocks from the Stagnu plateau are for example rich in yttrium but have weaker strontium concentrations. Compositions of rhyolites from Alzu and Castelli, separated by 2.5 km, but belonging to the same acid vein (Amaudric du Chaffaut et al., 1985a) are identical, excepting for their concentrations in manganese and rubidium. Finally, samples from the Monte d'Oro stood out by their concentration in zirconium.

Artefacts characterisation

Artefacts from the plateau d'Alzu and Castelli's shelter

Based on available data, the human presence in the plateau d'Alzu and at the Castelli's shelters during the Neolithic seems to be strongly linked to the existence of rhyolite veins, on the sites or close at hand (Ameziane-Federzoni et al., 2008; Mazet, 2011). A large part of rhyolite artefacts coming from those sites seems to have been elaborated from the local rhyolite. It is a great opportunity for us to test the developed protocols on archaeological items to determine their geological sources.

The EDXRF analysis enabled us to distinguish three groups among those artefacts (Fig. 5). One group (roche verte) does not seem to correspond to any deposits analysed during our study and remains unattributed. The two other groups are made of samples revealed at Castelli's shelter and on the plateau d'Alzu. Their compositions correspond to deposits next to each site, confirming the viability of non-destructive analyses.

Artefacts from I Calanchi

Pieces from I Calanchi were observed macroscopically by M. Remicourt and N. Ameziane-Federzoni who provisionally suggested potential sources based on the different facies (Remicourt, 2014). From these observations, it is readily seen that our corpus did not include the potential sources for the artefacts. Therefore, EDXRF analysis was used to verify whether non-sampled geological sources possessed enough characteristic features for enabling a discrimination.

We compared with Principal Component Analysis (PCA) trace element compositions, which are less affected by alterations or morphological problems. Concentrations in strontium, notably, can be used to define two large groups (Fig. 6A) that need to be better individualised (Fig. 6B and C).

No samples from I Calanchi have trace element compositions comparable to Alzu, Castelli or Monte d'Oro (Fig. 6B). Nevertheless, it is not possible to define clearly differentiated groups even though distinctive regions had been proposed as origins for the primary matter for those artefacts. On the other hand, it can be seen on Fig. 6C that samples from I Calanchi are spread into three distinctive groups, corresponding to three potential geographic zones for the procurement.

These results also emphasize the pertinence of geochemical analyses because no measurement has led us to propose origins for the primary matter in contradiction with the visual assessment and hypotheses from M. Remicourt and N. Ameziane-Federzoni. Nevertheless, they highlight the small number of geological samples we disposed of, which, although sufficient for our preliminary study, will have to be increased and extended considerably for future studies.

1. Introduction

Les études de provenance concernant les matériaux lithiques de la Préhistoire récente en Corse se sont longtemps focalisées sur l'étude des artefacts en obsidienne

et plus récemment en silex. Il est aujourd'hui attesté que la quasi-totalité de ces matériaux, dont les gisements n'existent pas en Corse, était alors acheminée depuis la Sardaigne voisine (Bressy et al., 2007 ; Bressy et al., 2008 ; Le Bourdonnec et al., 2010 ; Tykot, 2011).

Certains matériaux de moindre qualité, mais néanmoins aptes à être taillés ont cependant été exploités en Corse, comme le quartz, le microgranite ou la rhyolite. Cette dernière, une roche silicatée à grains fins d'origine volcanique, semble avoir fait l'objet d'une large diffusion au sein de l'île faisant de ce matériau un témoin essentiel des échanges et des mobilités intra-île durant la Préhistoire récente. Des travaux focalisés sur le Nord de la Corse ont permis de montrer l'efficacité de la caractérisation pétrographique pour établir la provenance d'artefacts en rhyolite (Ameziane-Federzoni, 2011). Toutefois, le caractère destructif de cette méthode est problématique et il est important de développer l'utilisation de méthodes moins invasives.

Quelques études de provenance de rhyolite utilisant des méthodes de caractérisations géochimiques peu ou pas invasives ont déjà été conduites dans des contextes différents au cours des deux dernières décennies. La plupart ont utilisé principalement la fluorescence X et notamment l'EDXRF (fluorescence X en énergie dispersive), au moyen d'instruments de paillasse ou portables, afin de caractériser ce matériau (Hermes et Ritchie, 1997a ; Hermes et al., 2001 ; Williams-Thorpe et al., 1999), parfois en utilisant un protocole totalement non destructif (Coffman et Rasic, 2015 ; Hermes et Ritchie, 1997b ; Kristmanson, 2004). Cependant, ce type de protocole peut rencontrer des problèmes liés aux irrégularités de surface ou à l'hétérogénéité du matériau. La technique LA-ICP-MS (ablation laser couplée à un spectromètre de masse à plasma induit) s'est également révélée efficace lorsqu'il était possible de focaliser les analyses sur une phase ou un minéral particulier (Bevins et al., 2011 ; Scharlotta, 2010).

Cette étude exploratoire vise à évaluer la pertinence des analyses géochimiques de rhyolites corses. L'objectif étant de déterminer les potentialités de différentes méthodes d'analyse et de mettre en place un protocole d'analyse efficace, applicable lors de futures études de provenance plus ambitieuses. Pour cela, nous avons analysé des échantillons géologiques ($n=34$) provenant de quatre régions distinctes, ainsi que des artefacts ($n=31$) issus de trois sites archéologiques du Néolithique et du Chalcolithique corses. Ces échantillons ont fait l'objet de différentes préparations (prélèvement, polissage, simple nettoyage) et ont été analysés selon différentes méthodes : MEB-EDXS (microscope électronique à balayage équipé d'un détecteur de rayons X), EDXRF, LA-ICP-MS.

2. Les gisements de rhyolite en Corse

Les rhyolites sont présentes dans toute la Corse cristalline ; cette formation hercynienne composée de granites et de roches volcaniques couvre les deux tiers de l'île (Gauthier et Demounen, 1991). Les roches présentant les propriétés les plus intéressantes pour la taille se répartissent majoritairement autour de la caldeira du Monte Cintu, dans le Nord-Ouest de la Corse, où l'on peut trouver des rhyolites aphyriques (Ameziane-Federzoni, 2011).

De multiples filons acides entrecoupant les massifs granitiques peuvent également fournir des rhyolites à grains très fins. Les échantillons que nous avons analysés proviennent de trois régions du Nord de la Corse : le plateau de Stagnu, le massif du Monte d'Oro, le plateau d'Alzu et la Punta di Castelli (Fig. 1).

2.1. Le plateau de Stagnu et le massif du Monte Cintu

Le cauldron du Monte Cintu, dans le Nord-Ouest de la Corse, s'étend sur 250 km² (Vellutini, 1977). Il s'agit d'un complexe alcalin à caldeira dont les formations volcaniques constituent 80 % de la surface aujourd'hui affleurante (Mercury et al., 1994). On y trouve de très nombreuses roches de composition rhyolitique qui témoignent d'évènements volcaniques violents qui se sont produits durant tout le Permien : pyroclastites, ignimbrites, tufs, cinérites, filons et dômes acides. C'est dans cette région que se trouvent les rhyolites les plus fines. Certaines zones ont été prospectées par N. Ameziane-Federzoni afin de retrouver les gîtes primaires des rhyolites mises au jour sur certains sites néolithiques du Nord de l'île. Ces recherches ont conduit à retenir plusieurs sources d'approvisionnement possibles : la vallée de la Melaja, la vallée du Fangu et le plateau de Stagnu dans le Haut-Asco. La plupart des rhyolites en provenance de ces zones sont aphyriques, de teinte souvent noire, brune et verte (Ameziane-Federzoni, 2011).

2.2. Le massif du Monte d'Oro

Situé à environ 6 km au sud-ouest de Vivario (Haute-Corse), le complexe volcanique du Monte d'Oro est, comme le Monte Cintu, lié au magmatisme permien (Amaudric du Chaffaut et al., 1985a). On retrouve à son sommet les restes d'un dôme de rhyolite, ainsi que plusieurs filons acides de composition rhyolitique sur ses flancs, probablement liés

aux dernières phases éruptives. Des indices d'extractions anciennes ont été repérés par L.-J. Costa et al. (2002) sur un filon situé sur le flanc ouest du massif. Un sondage a permis de mettre en évidence une activité de débitage à proximité durant le Néolithique. Les échantillons que nous avons étudiés ont été prélevés par T. Perrin (2015) sur différents affleurements situés sur le flanc ouest du Monte d'Oro et distants les uns des autres de quelques dizaines à quelques centaines de mètres.

2.3. Filon acide du Cortenais : plateau d'Alzu et Punta di Castelli

Un filon acide installé dans les diaclases du batholithe calco-alcalin, entre les vallées de la Restonica et du Tavignanu, s'étend de la Punta di Castelli au plateau d'Alzu, à quelques kilomètres au sud-ouest de Corte (Haute-Corse), à environ 1600 m d'altitude (Amaudric du Chaffaut et al., 1985a ; Amaudric du Chaffaut et al., 1985b). Différents gisements archéologiques ont été repérés sur le plateau d'Alzu (Ameziane-Federzoni et al., 2008) et à l'Abri des Castelli (Ameziane-Federzoni et al., 2008 ; Mazet, 2014 ; Mazet et al., 2016), un abri sous roche proche de la Punta di Castelli occupé dès le Néolithique ancien. Ces occupations semblent directement liées à l'exploitation des affleurements de rhyolite sur lesquels des traces d'extractions anciennes sont attestées. Les roches extraites sont généralement de teinte grise verdâtre à noire et présentent des phénocristaux blancs millimétriques (Ameziane-Federzoni, 2011).

3. Échantillonnage et préparations

Le corpus que nous avons étudié se compose de 105 échantillons, provenant d'affleurements géologiques, ainsi que de différents sites archéologiques (Fig. 1).

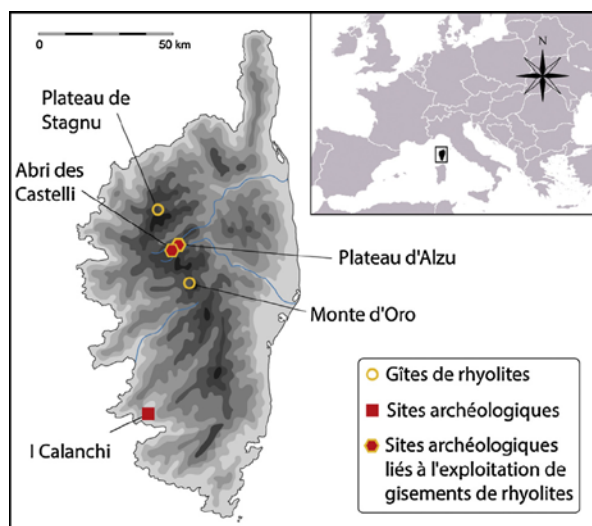


Fig. 1. Carte des différents gisements archéologiques et géologiques intégrés à l'étude.
Fig. 1. Map of the different rhyolite deposits and/or archaeological sites used in this study.

Les échantillons géologiques proviennent de quatre sources distinctes. Huit échantillons ont été prélevés sur plateau de Stagnu, en position primaire sur les affleurements (StagnuSe) ou sub-primaire dans la moraine quaternaire (StagnuSr ; [Ameziane-Federzoni, 2011](#)). Dix échantillons proviennent du plateau d'Alzu et ont été prélevés sur des zones ayant livré des traces d'extractions anciennes. Une vingtaine d'échantillons est issue de filons situés à proximité de l'Abri des Castelli. Les six derniers échantillons géologiques ont été prélevés sur le flanc ouest du Monte d'Oro.

Les échantillons archéologiques proviennent de trois sites différents. Onze artefacts sont issus du ramassage de surface effectué sur le plateau d'Alzu par N. Ameziane-Federzoni. Douze artefacts proviennent du nettoyage de l'Abri des Castelli, mis au jour lors des fouilles effectuées par S. Mazet et J.-M. Bontempi. Trente-huit artefacts proviennent de la couche B, terrasse nord, du site d'I Calanchi ([Cesari, 1987](#) ; [Cesari, 1999](#)) et ont été mis au jour lors de différentes fouilles de la fin des années 1980 au début des années 2000. Chaque échantillon est représentatif de l'un des groupes ou sous-groupes de matières premières repérées parmi l'ensemble du matériel lithique de la couche B ([Remicourt, 2014](#)). Certains artefacts d'I Calanchi n'ont pas été identifiés par les archéologues comme des rhyolites ou des roches intermédiaires entre la rhyolite et le microgranite ([Remicourt, 2014](#)) et n'ont pas été analysées.

Les différents types de préparation des échantillons et les méthodes d'analyse utilisées sont récapitulés dans un tableau ([Annexe 1](#)). Des prélèvements grossièrement cubiques d'un à deux centimètres de côté ont été obtenus à l'aide d'une tronçonneuse à roche sur les échantillons géologiques, puis polis au moyen de solutions diamantées. De petits cubes de 5 mm³ environ ont également été préparés (deux prélèvements par échantillons géologiques) et non polis. Afin d'éviter toute pollution, les artefacts ont fait l'objet d'un nettoyage à la brosse avant un passage à la cuve à ultra-sons, puis un rinçage à l'eau distillée et enfin à l'éthanol.

Les artefacts BDX17898, issus d'un ramassage de surface sur le plateau d'Alzu, et BDX17943, issu du nettoyage de l'Abri des Castelli, ont fait l'objet d'un prélèvement en vue de réaliser des cartographies X sur des sections polies ainsi que pour comparer les compositions chimiques obtenues sur pièces entières et sur sections polies en EDXRF.

4. Méthodes

La totalité des échantillons de rhyolite en notre possession a été analysée en EDXRF, à l'exception de trois pièces archéologiques dont l'épaisseur ne dépassait pas 3 mm, profondeur moyenne de pénétration des rayons X dans ce type de matériau. Seuls les échantillons géologiques polis ont été analysés au MEB-EDXS, ainsi que deux prélèvements effectués sur les artefacts BDX17943 et BDX17898. Les analyses LA-ICP-MS ont été conduites sur l'ensemble des échantillons géologiques ainsi que sur six artefacts.

4.1. Équipements

Les compositions en éléments majeurs ont été mesurées grâce à un microscope électronique à balayage JEOL JMS 6460 LV équipé d'un détecteur de rayonnement X en énergie dispersive Oxford Industries INCAx-sight (MEB-EDXS). Le protocole d'analyse est détaillé par [Le Bourdonnec et al. \(2010\)](#). Une dizaine de mesures a été effectuée sur chaque échantillon sur des surfaces de 0,5 mm², afin de prendre en compte les éventuelles hétérogénéités de la roche à cette échelle.

Les concentrations en éléments majeurs, mineurs et traces ont été obtenues grâce à un spectromètre de masse Thermo Fisher Scientific Element XR couplé à une ablation laser Resonetics RESolution M50e. Le temps d'ablation était fixé à 65 s, dont 12 s de pré-ablation afin d'éviter toute contamination de surface. Le protocole et la méthode de calcul utilisés sont détaillés par [Gratuze et al. \(2001\)](#).

Les analyses XRF ont été conduites avec un appareil Seiko SEA 6000vx équipé d'une source au rhodium (50 kV/1 mA) et d'un détecteur SDD Vortex. Le collimateur utilisé, d'une largeur de 3 × 3 mm, permet de s'affranchir en grande partie des problèmes d'hétérogénéité du matériau. Le protocole utilisé est plus précisément décrit dans [Lugliè et al. \(2014\)](#) et [Orange et al. \(2017\)](#).

4.2. Validité de données EDXRF sur échantillons non préparés

Les rayons X étant sensibles à la topographie des échantillons, l'irrégularité des surfaces des artefacts est susceptible d'affecter les résultats obtenus en EDXRF ([Hermes et Ritchie, 1997b](#)). Nous avons donc vérifié que l'erreur supplémentaire introduite par ces problèmes de morphologie ne remettait pas en cause la validité de nos résultats ainsi que notre capacité d'obtenir une signature géochimique claire permettant d'attribuer une source géologique aux artefacts analysés.

La reproductibilité des mesures a été testée en analysant l'échantillon BDX17943, en surface polie et/ou sans préparation, lors de chaque série d'analyses effectuée en EDXRF ([Tableau 1](#)). La dispersion des résultats est due à l'erreur machine, à la topographie de l'échantillon mais également à l'hétérogénéité de la roche. Nous avons donc également testé la reproductibilité des mesures en effectuant plusieurs fois la même acquisition sur différents points de l'échantillon BDX17943 ([Tableau 2](#)). Nous avons ainsi pu évaluer que la dispersion observée pour certains éléments trouvait son origine soit dans l'hétérogénéité de la roche, soit dans des problèmes liés à la topographie. Pour conclure chaque série d'analyses, une mesure sur un standard en obsidienne sarde interne à notre laboratoire (ARC-URS, utilisé comme étalon ; [Bellot-Gurlet, 1998](#) ; [Lugliè et al., 2007](#)) a permis de vérifier l'absence de dérive liée à l'appareil de mesure.

On observe qu'entre les mesures sur section polie et sur échantillon brut, la dispersion est sensiblement identique. L'erreur standard est même légèrement meilleure pour les mesures sur échantillon non préparé, notamment car elles ont été trois fois plus nombreuses que sur

Tableau 1

Données EDXRF pour l'échantillon archéologique BDX17943 (échantillon sans préparation et section polie) montrant la reproductibilité des mesures sur les éléments dosés. Les concentrations sont données en ppm.

Table 1

EDXRF data for the archaeological sample BDX17943 (sample without preparation and polished section) showing the reproducibility of the measurements. Concentrations are given in ppm.

BDX17943 – Sans préparation (30 mesures)																	
	Na ₂ O	MgO	Al ₂ O ₃	SiO ₂	P ₂ O ₅	K ₂ O	CaO	TiO ₂	MnO	Fe ₂ O ₃	Zn	Ga	Rb	Sr	Y	Zr	Nb
Moyenne	32 479	998	129 970	756 508	813	48 875	12 697	2288	852	13 851	35	16	229	154	26	174	34
Écart-type	2637	47	3723	4805	27	3634	1477	204	72	1098	2	1	19	12	2	12	2
Err. Std.	481,5	8,5	679,6	877,2	4,9	663,4	269,6	37,3	13,1	200,4	0,4	0,2	3,6	2,1	0,4	2,3	0,4
Dispersion	8 %	5 %	3 %	1 %	3 %	7 %	12 %	9 %	8 %	8 %	6 %	8 %	9 %	8 %	9 %	7 %	7 %
BDX17943 – Poli (10 mesures)																	
	Na ₂ O	MgO	Al ₂ O ₃	SiO ₂	P ₂ O ₅	K ₂ O	CaO	TiO ₂	MnO	Fe ₂ O ₃	Zn	Ga	Rb	Sr	Y	Zr	Nb
Moyenne	35 471	989	130 936	757 885	856	46 737	11 112	2388	841	12 155	31	16	209	150	27	165	31
Écart-type	2333	55	2726	2231	36	1614	638	477	66	473	1	1	11	9	2	10	2
Err. Std.	737,6	17,5	861,9	705,4	11,4	510,3	201,7	150,8	21,0	149,7	0,4	0,3	3,5	2,8	0,6	3,0	0,6
Dispersion	7 %	6 %	2 %	0 %	4 %	3 %	6 %	20 %	8 %	4 %	4 %	6 %	5 %	6 %	7 %	6 %	6 %

Tableau 2

Données EDXRF de mesures répétées 5 fois en un même point de l'échantillon BDX17943 (une zone pour l'échantillon poli, trois zones pour l'échantillon non préparé). Les concentrations sont données en ppm.

Table 2

EDXRF data of 5 times repeated measurements at the same point of BDX17943 sample (one zone for the polished sample, three zones for the unprepared sample). Concentrations are given in ppm.

BDX17943 – Poli (5 mesures sur 1 zone)																	
	Na ₂ O	MgO	Al ₂ O ₃	SiO ₂	P ₂ O ₅	K ₂ O	CaO	TiO ₂	MnO	Fe ₂ O ₃	Zn	Ga	Rb	Sr	Y	Zr	Nb
Moyenne	35 771	967	129 409	758 488	870	47 284	11 015	2383	862	12 304	32	16	213	157	28	169	32
Écart-type	1393	24	310	1274	8	128	82	18	10	36	1	1	2	1	1	0	1
Dispersion	4 %	2 %	0 %	0 %	1 %	0 %	1 %	1 %	1 %	0 %	2 %	3 %	1 %	0 %	2 %	0 %	2 %
BDX17943 – Sans préparation (5 mesures sur 3 zones)																	
	Na ₂ O	MgO	Al ₂ O ₃	SiO ₂	P ₂ O ₅	K ₂ O	CaO	TiO ₂	MnO	Fe ₂ O ₃	Zn	Ga	Rb	Sr	Y	Zr	Nb
Zone 1																	
Moyenne	30 679	949	12 6958	759 230	821	48 427	14 010	2350	887	14 978	37	18	232	171	28	187	37
Écart-type	2276	45	211	2144	10	155	131	44	12	131	1	1	2	1	1	2	1
Dispersion	7 %	5 %	0 %	0 %	1 %	0 %	1 %	2 %	1 %	1 %	2 %	6 %	1 %	1 %	3 %	1 %	1 %
Zone 2																	
Moyenne	30 206	969	12 5938	757 495	807	55 085	11 913	2600	821	13 462	35	17	258	143	27	190	34
Écart-type	3342	47	231	2908	21	309	129	38	9	122	1	0	3	1	1	2	1
Dispersion	11 %	5 %	0 %	0 %	3 %	1 %	1 %	1 %	1 %	1 %	3 %	3 %	1 %	1 %	5 %	1 %	2 %
Zone 3																	
Moyenne	34 177	1011	12 8312	753 587	799	49 179	14 298	2193	925	14 839	37	17	239	159	27	166	34
Écart-type	2004	16	296	2339	20	130	42	27	14	35	1	0	1	1	1	1	0
Dispersion	6 %	2 %	0 %	0 %	2 %	0 %	0 %	1 %	2 %	0 %	2 %	3 %	0 %	1 %	2 %	1 %	1 %

échantillon poli. Cependant, cette reproductibilité varie en fonction des éléments dosés. Le titane présente une forte dispersion sur section polie, probablement causée par la présence d'hétérogénéités dans l'échantillon. Les concentrations en Fe₂O₃ et CaO sont sensiblement différentes entre les échantillons polis et non préparés. Il est probable que cela soit dû à la formation d'altération en surface, comparable à ce qu'ont pu observer [Gauthier et Burke, 2011](#) sur des artefacts en trachy-andésite du New Hampshire. Ces concentrations sont d'ailleurs légèrement plus importantes sur l'échantillon non préparé, notamment au détriment du sodium. Enfin, la dispersion est globalement plus importante sur les éléments à faible concentration, ce qui est directement lié aux statistiques de comptage.

La justesse a été estimée à partir de mesures effectuées sur un standard international NIST-278 en poudre et pastillé ([Tableau 3](#)), ainsi que sur un standard interne à notre laboratoire (ARC-URS, utilisé comme étalon). La plupart des concentrations mesurées, en adéquation avec les teneurs certifiées, sont soit très bonnes (0 % à 5 % d'écart) soit acceptables (de 8 à 13 % d'écart). Le phosphore et le manganèse ne sont pas dosés correctement et nous ne les utilisons donc pas par la suite pour discriminer les sources. Notre protocole devra cependant être affiné pour de futures analyses afin d'obtenir de meilleurs résultats, notamment concernant le strontium, qui s'avère essentiel pour différencier les gisements. Améliorer la justesse est indispensable pour la constitution d'un référentiel géologique utilisable par tous.

Tableau 3

Données EDXRF de deux mesures effectuées sur un standard international NIST-278 et comparaison avec les valeurs certifiées ainsi que les résultats obtenus par différentes équipes. Les oxydes sont exprimés en %, les éléments traces en ppm.

Table 3

EDXRF data of two measurements carried out on an international standard NIST-278 and comparison with the certified values as well as the results obtained by different teams. The oxides are expressed in %, the trace elements are given in ppm.

	Mesure 1	Mesure 2	NIST (certificat)	Écart mesures/ NIST	Govindaraju (1994)	Wilcock et al. (2012)	Shackley (2012)	Bellot-Gurlet (1998)	Glascock (1991)	Glascock et Anderson (1993)
Na ₂ O	4,88	4,64	4,84 ± 0,05	1 %	4,84	4,7 ± 0,2	n.r.	n.r.	n.r.	4,64
MgO	0,11 ^a	0,11 ^a	(0,23)	52 %	0,23	0,31 ± 0,09	n.r.	n.r.	n.r.	n.r.
Al ₂ O ₃	14,24	14,3	14,15 ± 0,15	1 %	14,15	14,12 ± 0,03	n.r.	n.r.	n.r.	14,08
SiO ₂	73,61	73,82	73,05 ± 0,13	1 %	72,97	72,18 ± 0,26	n.r.	n.r.	n.r.	n.r.
P ₂ O ₅	0,057 ^a	0,053 ^a	0,036 ± 0,003	53 %	0,036	0,04 ± 0	n.r.	n.r.	n.r.	n.r.
K ₂ O	3,96	3,95	4,16 ± 0,02	5 %	4,16	4,24 ± 0,05	n.r.	n.r.	n.r.	4,18
CaO	0,863	0,85	0,983 ± 0,002	13 %	0,983	1,03 ± 0,04	n.r.	n.r.	n.r.	0,99
TiO ₂	0,269	0,27	0,245 ± 0,007	10 %	0,245	0,24 ± 0,004	n.r.	n.r.	n.r.	0,24
MnO	0,058	0,059	0,052 ± 0,002	13 %	0,052	0,05 ± 0	n.r.	n.r.	n.r.	0,06
Fe ₂ O ₃	1,89	1,88	2,04 ± 0,02	8 %	2,04	2,21 ± 0,01	n.r.	n.r.	n.r.	2,03
Zn	52	48	(55)	9 %	55	n.r.	n.r.	n.r.	n.r.	n.r.
Ga	17	17	n.r.		13	n.r.	n.r.	n.r.	n.r.	n.r.
Rb	129	126	127,5 ± 0,3	0 %	127,5	n.r.	130 ± 2	134	126 ± 2	128
Sr	79	77	63,5 ± 0,1	23 %	63,5	n.r.	67 ± 1	64,07	67 ± 3	61
Y	46	45	n.r.		39	n.r.	40 ± 2	45,95	n.r.	n.r.
Zr	268	264	n.r.		290	n.r.	276 ± 2	344	272 ± 31	208
Nb	34 ^a	34 ^a	n.r.		18	n.r.	15 ± 2	19,71	11,7 ± 0,13	n.r.

n.r. : non reportée.

Les données entre parenthèses sont fournies à titre informatif.

^a Les données en inadéquation avec les valeurs certifiées et/ou les données obtenues par d'autres laboratoires.

De plus, cela permettra d'éventuelles comparaisons au sein d'autres laboratoires. Nous avons également confronté les résultats obtenus en EDXRF avec ceux issus d'analyses MEB-EDXS pour les éléments majeurs et LA-ICP-MS pour les traces. Le nombre d'éléments dosés et les limites de détection étant propres à chaque méthode, les concentrations obtenues ne sont pas exactement comparables. Mais nous avons pu vérifier que ces résultats étaient tous cohérents entre eux, quelle que soit la méthode d'analyse utilisée ou le mode de préparation de l'échantillon.

Enfin, nous avons vérifié l'état d'altération de la surface des artefacts à l'aide de cartographie de rayons X réalisées au MEB-EDXS en bordure des prélèvements effectués sur les échantillons BDX17943 et BDX17898. Les éléments majeurs et mineurs sont répartis uniformément, indifféremment de l'éloignement à la surface. Une fine couche riche en calcium est cependant présente à la surface de BDX17898 qui semble correspondre à un encroûtement blanc visible à l'œil nu sur certaines parties de l'échantillon. Les rhyolites analysées ne sont donc pas ou peu sujettes à l'altération sur les échelles de temps qui nous intéressent (du Néolithique à nos jours). Il faut cependant vérifier qu'un encroûtement ne s'est pas formé en surface.

5. Traitements statistiques des données

Avant toute représentation graphique, les données ont subi une transformation, soit par ratio-logarithmique additif (alr) pour les graphiques bivariés, soit par ratio-logarithmique centré (clr) pour les analyses en composantes principales (ACP ; Aitchison, 1986 ; Aitchison et Greenacre, 2002). Ces transformations permettent de casser l'interdépendance des données, les résultats four-

nis par les appareils de mesures étant bouclés à 100 %. Elles sont décrites par les équations (1) et (2) :

$$alr(x) = \left[\ln \left(\frac{x_1}{x_D} \right), \dots, \ln \left(\frac{x_{D-1}}{x_D} \right) \right] \quad (1)$$

L'oxyde SiO₂, très largement majoritaire dans notre matériau, est ici utilisé comme dénominateur x_D afin de réduire la dispersion des résultats liés à l'hétérogénéité des rhyolites.

$$clr(x) = \left[\ln \left(\frac{x_1}{x_D} \right), \ln \left(\frac{x_2}{g(x)} \right), \dots, \ln \left(\frac{x_D}{g(x)} \right) \right] \quad (2)$$

où $g(x)$ est la moyenne géométrique d'un ensemble de D parties.

Le traitement des données et les graphiques bivariés présentés ici ont été effectués avec le logiciel R (R Core Team, 2014) et le package *compositions* (Van Den Boogaart et Tolosana-Delgado, 2013). Les ACP ont été réalisées avec le logiciel CoDaPack (Comas-Cufí et Thió-Henestrosa, 2011).

6. Résultats

6.1. Caractérisation des échantillons géologiques et discrimination des sources

Au MEB-EDXS, les éléments potentiellement discriminants comme le titane ou le manganèse ont été mesurés dans des concentrations trop proches des limites de détection de l'appareil. Les résultats ont cependant permis de confirmer la nature rhyolitique des roches étudiées et d'éliminer les roches différentes de notre étude (Fig. 2, Annexe 2).

Les résultats des analyses conduites en LA-ICP-MS sont très dispersés (Annexe 3). La largeur de faisceau utilisée

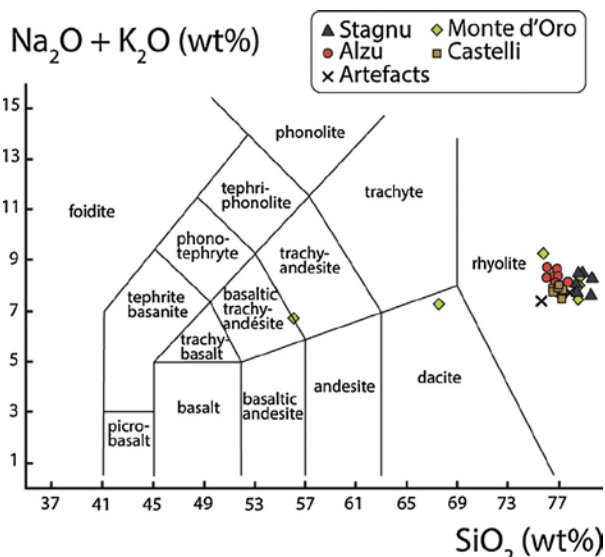


Fig. 2. Répartition des roches analysées au MEB-EDXS à travers le diagramme TAS (d'après Le Bas et al., 1986).

Fig. 2. Distribution of the rocks analysed in the SEM-EDXS through the TAS diagram (from Le Bas et al., 1986).

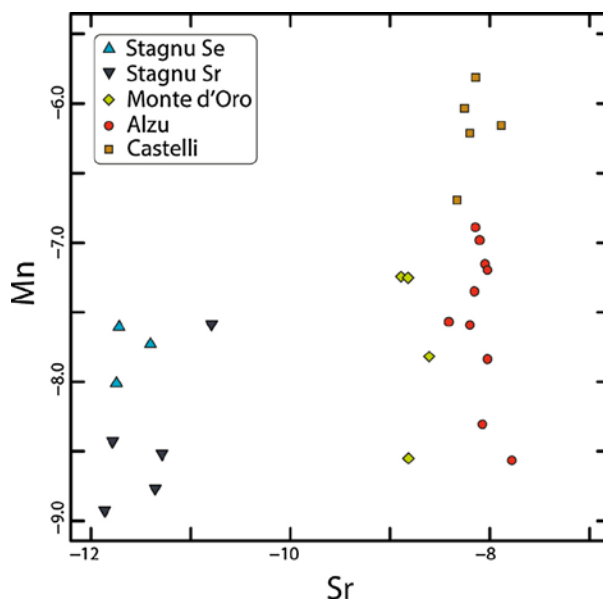


Fig. 3. Graphique bivarié comparant les teneurs en Mn et Sr mesurées en LA-ICP-MS pour chaque échantillon géologique.

Fig. 3. Biplot comparing Mn and Sr contents measured in LA-ICP-MS for each geological sample.

(100 μm) est du même ordre de grandeur que la plupart des minéraux présents dans les roches étudiées. Elle est donc trop importante pour ablater un seul minéral à la fois, et trop faible pour englober une grande quantité de minéraux, représentative de la composition globale. Cependant, quelques éléments discriminants semblent répartis de manière plus homogène, comme le Sr, le Mn et le Ba, permettant de discriminer une partie des sources (Fig. 3). Il faudra confirmer ces observations par de nouvelles mesures sur un corpus plus important tout en utilisant

un protocole d'analyse mieux adapté à notre matériau (mesures par échantillon plus nombreuses et/ou étude d'une phase ou minéral particulier).

En EDXRF, il est possible de différencier toutes les sources étudiées à l'aide de quelques éléments discriminant (Fig. 4, Annexe 4). Chaque source possède en effet certaines caractéristiques spécifiques. Les roches du plateau de Stagnu sont par exemple riches en yttrium mais concentrent peu de strontium. Les compositions des rhyolites d'Alzu et Castelli, distantes de 2,5 km mais appartenant

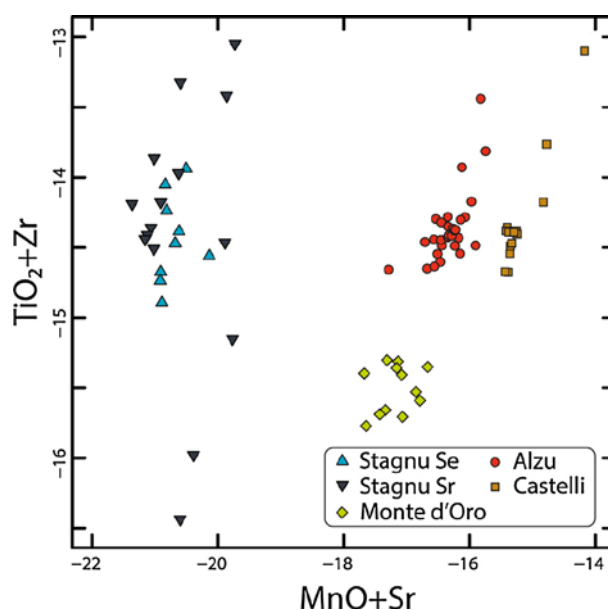


Fig. 4. Graphique bivarié comparant les teneurs en $\text{TiO}_2 + \text{Zr}$ et $\text{MnO} + \text{Sr}$ mesurées en EDXRF sur la totalité des échantillons géologiques. Chaque prélèvement (deux cubes millimétriques et une section polie par échantillon) a fait l'objet d'une mesure.

Fig. 4. Biplot comparing $\text{TiO}_2 + \text{Zr}$ and $\text{MnO} + \text{Sr}$ contents measured by EDXRF on all the geological samples. Each sample (two millimetric cubes and one polished section per sample) was measured.

au même filon acide (Amaudric du Chaffaut et al., 1985a) sont identiques, à l'exception des teneurs en manganèse et rubidium. Enfin, les échantillons du Monte d'Oro se singularisent par leurs concentrations en zirconium.

6.2. Caractérisation des artefacts

6.2.1. Les artefacts du plateau d'Alzu et de l'Abri des Castelli

D'après les données dont on dispose, la présence humaine sur le plateau d'Alzu et dans l'Abri des Castelli au Néolithique est fortement liée à l'existence de filons de rhyolite, sur les sites même ou à proximité immédiate, où des indices d'exploitations anciennes sont encore visibles (Ameziane-Federzoni et al., 2008 ; Mazet, 2011). D'après les observations macroscopiques, une grande partie des artefacts en rhyolite en provenance de ces sites semble avoir été fabriquée avec la rhyolite locale. Il s'agit d'une bonne occasion pour nous de tester sur des objets archéologiques les protocoles développés pour discriminer les sources géologiques.

Les résultats des analyses EDXRF nous permettent de distinguer trois groupes parmi ces artefacts (Fig. 5). La composition chimique du premier groupe (Roche Verte) ne correspond à aucun des gisements analysés lors de notre étude et son origine est inconnue. Il s'agit des échantillons BDX17898 et BDX17899 constitués d'une roche verte d'aspect vitreux et mis au jour sur le plateau d'Alzu. Les deux autres groupes sont constitués des échantillons mis au jour dans l'Abri des Castelli et sur le plateau d'Alzu. Comme attendu, leurs compositions correspondent bien respectivement aux gîtes des Castelli et du plateau d'Alzu, confirmant la viabilité des analyses non

destructives. Cependant, deux échantillons, BDX17902 mis au jour sur le plateau d'Alzu et BDX17935 issu de l'Abri des Castelli, présentent une composition intermédiaire entre les gisements d'Alzu et des Castelli (Fig. 5). Ces deux échantillons se distinguent également par un faciès particulier et une structure fluidale qui pourraient suggérer l'existence d'un gisement non identifié probablement situé entre le plateau d'Alzu et la Punta di Castelli.

6.2.2. Les artefacts d'I Calanchi

Les pièces provenant d'I Calanchi ont été observées macroscopiquement par M. Remicourt et N. Ameziane-Federzoni qui ont ainsi proposé provisoirement plusieurs régions d'origines potentielles en fonction des faciès (Remicourt, 2014). D'après ces observations notre corpus ne comprenait pas les sources potentielles de ces artefacts. Les analyses EDXRF ont donc été l'occasion de vérifier que ces sources géologiques non échantillonnées possédaient des caractéristiques propres nous permettant de les différencier.

Nous avons comparé, à l'aide d'ACP, les compositions en éléments traces, moins affectées par d'éventuelles altérations ou problèmes de morphologie, des artefacts d'I Calanchi et des différents gisements précédemment caractérisés. Les teneurs en strontium notamment permettent de définir deux grands groupes (Fig. 6A), qu'il nous faut individualiser pour mieux les étudier (Fig. 6B et C).

Nous pouvons remarquer qu'aucun échantillon d'I Calanchi n'a de compositions en éléments traces comparables à ceux d'Alzu, Castelli ou Monte d'Oro (Fig. 6B). Cependant, il n'est pas possible de définir des ensembles clairement différenciés, alors que des régions bien

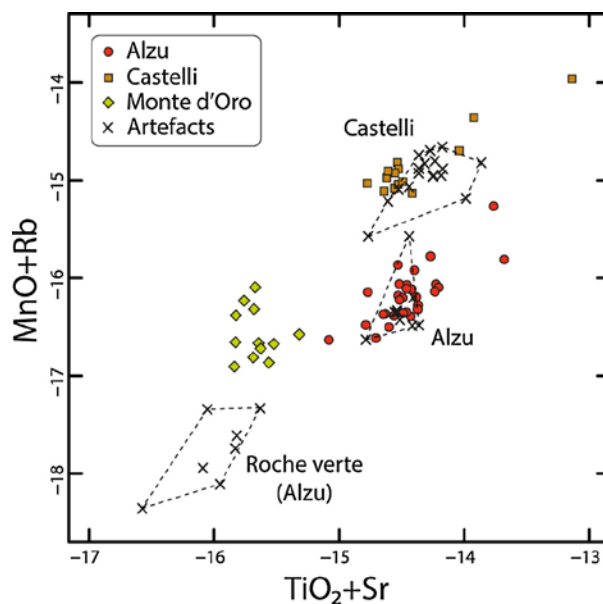


Fig. 5. Graphique bivarié comparant les teneurs en $\text{TiO}_2 + \text{Sr}$ et $\text{MnO} + \text{Rb}$ mesurées en EDXRF sur les échantillons géologiques d'Alzu, Castelli et Monte d'Oro et sur les échantillons archéologiques mis au jour sur le plateau d'Alzu et dans l'Abri des Castelli. Les échantillons BDX17898 et BDX17943 ont été analysés à plusieurs reprises, le résultat de chaque analyse étant représenté sur le graphique.

Fig. 5. Biplot comparing $\text{TiO}_2 + \text{Sr}$ and $\text{MnO} + \text{Rb}$ contents measured by EDXRF on the Alzu, Castelli and Monte d'Oro geological samples and the archaeological samples found on the Alzu plateau and the Castelli shelter. The BDX17898 and BDX17943 samples were analysed several times, the result of each analysis being represented on the graph.

distinctes ont été proposées comme origines de la matière première de ces artefacts : alluvions du Taravo, vallée du Fangu, Nord-Est de la caldeira du Cintu. Nous nous heurtons ici au problème de l'échantillonnage, puisque nous n'avons pu analyser qu'une pièce par type de faciès identifié parmi la série lithique de la couche B.

En revanche, nous pouvons observer sur la Fig. 6C que les échantillons de l'Calanchi se répartissent en trois ensembles distincts. Un premier groupe riche en strontium (à droite sur le graphique) dont la matière première pourrait provenir d'après l'examen macroscopique du Nord-Ouest de la Corse, dans la caldeira du Monte Cintu. Un second ensemble riche en zinc (en bas sur le graphique) dont l'origine serait plus probablement à rechercher dans les alluvions du Taravo, proche du site. Un troisième ensemble composé d'un unique échantillon, ne se distingue pas des roches du plateau de Stagnu. Son origine pourrait être à rechercher, d'après les observations macroscopiques, dans le Nord-Est du Monte Cintu. Soit, le matériau provient du plateau de Stagnu, comme semble l'indiquer nos données, soit il provient d'une source proche, probablement liée au même événement volcanique, mais que nous ne parvenons pas à distinguer avec les éléments dosés suivant notre protocole d'analyse.

Ces résultats valident donc eux aussi notre protocole d'analyse puisque aucune mesure ne nous a conduits à proposer d'origines de la matière première en contradiction avec l'analyse visuelle et les hypothèses de M. Remicourt et N. Ameziane-Federzoni. Cependant, ils mettent en exergue les manques de l'échantillonnage géologique à notre disposition qui, s'il est suffisant pour une étude préliminaire,

devra être notablement augmenté et élargi pour de prochaines études.

7. Conclusion

Les méthodes d'analyses géochimiques sont prometteuses pour les études de provenance d'artefacts en rhyolite corse. Notre étude a mis en évidence l'existence de marqueurs permettant de discriminer les différents gisements de notre corpus. Les méthodes employées ont fourni des résultats contrastés. Au MEB-EDXS, les limites de détection de l'appareil ne permettent pas de doser correctement les éléments discriminants, contrairement à ce que l'on peut observer pour les obsidiennes de Méditerranée occidentale (Le Bourdonnec et al., 2010). L'ICP-MS à ablation laser a fourni des données intéressantes mais dispersées, le matériau étant trop hétérogène à l'échelle du faisceau laser pour n'analyser qu'une phase bien identifiée comme a pu le faire I. Scharlotta (2010). Le protocole analytique devra être amélioré afin d'obtenir de meilleurs résultats. L'EDXRF, permettant l'analyse d'un volume de plusieurs mm^3 , semble la mieux adaptée et permet de discriminer les sources de notre corpus.

Nous avons également pu mettre en évidence la faisabilité d'analyses non destructives en EDXRF permettant de caractériser des objets archéologiques sans effectuer de prélèvements. Nos résultats confirment que les artefacts étudiés et mis au jour sur le plateau d'Alzu et dans l'Abri des Castelli ont été fabriqués en grande majorité dans la roche locale. Nous avons également confirmé l'origine exogène de deux artefacts du plateau d'Alzu. Enfin, l'étude d'objets

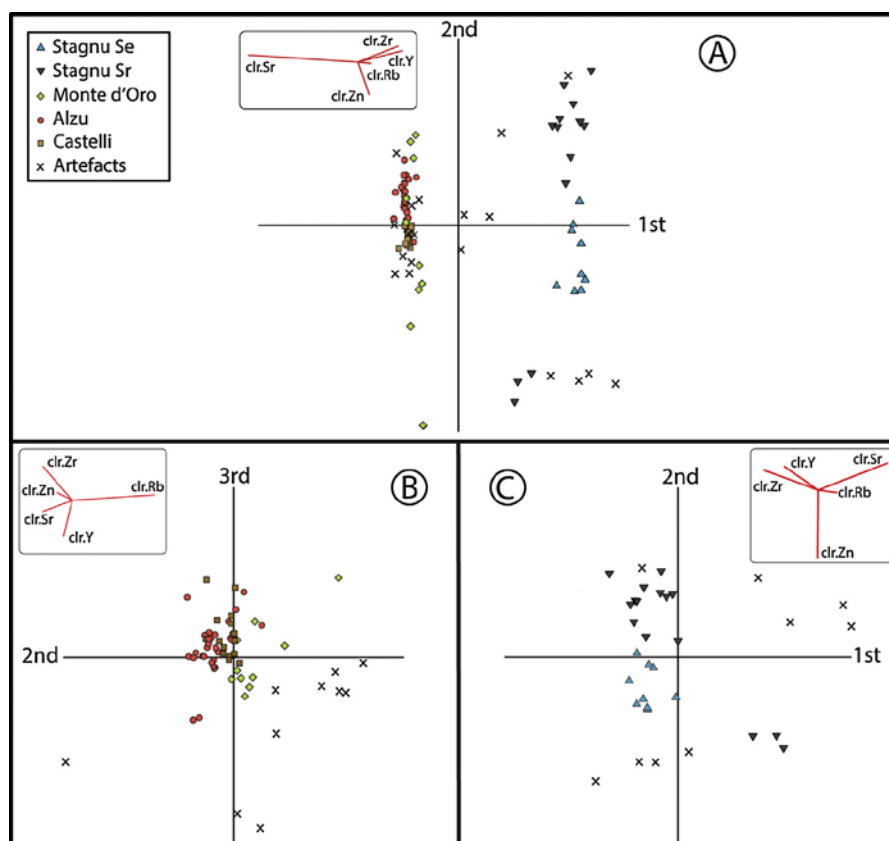


Fig. 6. ACP sur les données EDXRF (éléments traces uniquement) des artefacts d'I Calanchi et des sources géologiques (composantes principales en Annexe 5). **A.** Comparaison des artefacts d'I Calanchi et des gisements du Monte d'Oro, du plateau d'Alzu, des Castelli et du plateau de Stagnu. **B.** Comparaison de 10 artefacts d'I Calanchi et des gisements du plateau d'Alzu, des Castelli et du Monte d'Oro. **C.** Comparaison de 9 artefacts d'I Calanchi et des gisements du plateau de Stagnu.

Fig. 6. ACP on EDXRF data (trace elements only) of I Calanchi artefacts and geological sources (see Appendix 5 for principal components). **A.** Comparison of the artefacts from I Calanchi and the Monte d'Oro, Alzu plateau, Castelli and Stagnu plateau deposits. **B.** Comparison of 10 artefacts from I Calanchi and the Alzu plateau, Castelli and Monte d'Oro deposits. **C.** Comparison of 9 artefacts from I Calanchi and the Stagnu plateau deposits.

mais au jour à I Calanchi démontre bien l'état incomplet de notre corpus géologique mais laisse présager de bonnes perspectives.

Cette étude préliminaire étant concluante, nous prévoyons de poursuivre l'étude des rhyolites corses. Nous devons tout d'abord obtenir un échantillonnage plus complet des gisements potentiels. Il sera également important de mieux exprimer la variabilité interne à chaque source en multipliant les échantillonnages. Il sera aussi intéressant de confronter ces analyses géochimiques avec des données minéralogiques et pétrographiques et notamment les résultats obtenus par N. Ameziane-Federzoni (2011) sur certaines séries lithiques du Nord de la Corse.

Remerciements

Cette étude a été menée dans le cadre du programme LabEx Sciences archéologiques de Bordeaux, ANR-10-LABX-52 et avec le soutien du CNRS, de l'Université Bordeaux Montaigne et de la région Aquitaine. Nous remercions Brigitte Spiteri pour son aide lors de la

préparation des échantillons, Yannick Lefrais pour son expertise concernant l'utilisation du MEB-EDXS et Nicolas Frerebeau dont les conseils nous ont été très utiles pour le traitement statistique des données. Enfin, nous remercions Maryline Lambert, Marie Orange et Marie-Sonia Marcellin-Barrouilhet pour leur aide très précieuse concernant les traductions en anglais.

Annexe A. Matériel complémentaire

Le matériel complémentaire accompagnant la version en ligne de cet article est disponible sur <http://www.sciencedirect.com> et <https://doi.org/10.1016/j.crpv.2017.10.003>.

Références

- Aitchison, J., 1986. *The Statistical Analysis of Compositional Data*. Chapman and Hall, New York.
- Aitchison, J., Greenacre, M., 2002. Biplots of compositional data. *J. Royal Statistical Soc.: Ser. C (Appl. Stat.)* 51, 375–392.
- Amaduric du Chaffaut, S., Bonin, B., Caron, J.-M., Conchon, O., Bambier, A., Damiani, L., Dominici, R., Heetveld, H., Rouire, J., 1985a. Notice

- explicative, Carte géologique de la France (1/50 000), Feuille Venaco (1114), BRGM, Orléans.
- Amaudric du Chaffaut, S., Bonin, B., Caron, J.-M., Conchon, O., Jauzein, A., Perthuisot, J.-P., Rossi, P., 1985b. Carte géologique de la France (1/50 000), Feuille De Venaco (1114), BRGM, Orléans.
- Ameziane-Federzoni, N., 2011. Approvisionnement et diffusion de la rhyolite dans le Nord de la Corse au Néolithique ancien et moyen. Université de Corse Pascal-Paoli, Corte, 284 p.
- Ameziane-Federzoni, N., Ottaviani-Spella, M.-M., Berlinghi, A., Federzoni, F., 2008. Rapport de prospection du plateau d'Alzu. Service régional de l'archéologie de Corse, Ajaccio.
- Bellot-Gurlet, L., 1998. Characterization by Elemental Analysis (PIXE and ICP-MS/-AES) of a Natural Glass: Obsidian. Application to Provenance Studies of Prehistoric Artefacts. Université Joseph-Fourier, Grenoble-I, Grenoble, pp. 290, <https://www.tel.archives-ouvertes.fr/tel-00315287>.
- Bevins, R.E., Pearce, N.J.G., Ixer, R.A., 2011. Stonehenge rhyolitic blues-tone sources and the application of zircon chemistry as a new tool for provenancing rhyolitic lithics. *J. Archaeol. Sci.* 38, 605–622.
- Bressy, C., Bellot-Gurlet, L., Convertini, F., D'Anna, A., Guendon, J.-L., Pelletier, D., Tramoni, P., 2007. Matières premières et circulation des matériaux dans le Néolithique ancien de Renaghju (Sartène, Corse du Sud). In: 128^e Congrès national des Sociétés savantes, Bastia 2003, Comité des travaux historiques et scientifiques, Bastia, France, pp. 87–97.
- Bressy, C., D'Anna, A., Poupeau, G., Le Bourdonnec, F.-X., Bellot-Gurlet, L., Leandri, F., Tramoni, P., Demouche, F., 2008. Chert and obsidian procurement of three Corsican sites during the 6th and 5th Millenniums BC. *C. R. Palevol* 7, 237–248.
- Cesari, J., 1987. Le Néolithique et le Chalcolithique du gisement des Calanchi (Sollacaro, Corse-du-Sud). *Bull. Soc. Sci. Hist. Natur. Corse* 652, 319–358.
- Cesari, J., 1999. I Calanchi-Sapar'alta, Sollacaro, Corse-du-Sud. Rapport de synthèse de fouille programmée (1997–1999), rapport de fouilles. SRA de Corse, Ajaccio.
- Coffman, S., Rasic, J.T., 2015. Rhyolite characterization and distribution in central Alaska. *J. Archaeol. Sci.* 57, 142–157.
- Comas-Cufí, M., Thió-Henestrosa, S., 2011. Codapack 2.0: A Stand-Alone, Multi-Platform Compositional Software. In: Egozcue, J.-J., Tolosana-Delgado, R., Ortego, M.-I. (Eds.), *CoDaWork'11: 4th international workshop on compositional data analysis*. Sant Feliu de Guíxols.
- Costa, L.-J., Ottaviani-Spella, M.-M., Nicolle, F., Berlinghi, A., 2002. Contribution à l'étude des modalités d'exploitation des rhyolites en Corse : l'exemple des filons du Monte d'Oro (Vivarico, Haute-Corse). *Bull. Soc. Prehist. Fr.* 99, 785–791.
- Gauthier, A., Demoune, R., 1991. Les roches, l'eau et les Hommes : géologie appliquée en Corse. Centre régional de documentation pédagogique de Corse, Ajaccio.
- Gauthier, G., Burke, A.L., 2011. The effects of surface weathering on the geochemical analysis of archaeological lithic samples using non-destructive polarized Energy Dispersive XRF. *Geoarchaeology* 26, 269–291.
- Glascok, M.D., 1991. Tables for Neutron Activation Analysis, third edition. Research reactor facility, university of Missouri, Columbia.
- Glascok, M.D., Anderson, M.P., 1993. Geological reference materials for standardization and quality assurance of instrumental neutron activation analysis. *J. Radioanal. Nucl. Chem.* 174, 229–242.
- Govindaraju, K., 1994. Compilation of working values and sample description for 383 geostandards. *Geostandards Newsl.* 18, 1–158.
- Gratuze, B., Blet-Lemarquand, M., Barrandon, J.-N., 2001. Mass spectrometry with laser sampling: a new tool to characterize archaeological materials. *J. Radioanal. Nucl. Chem.* 247, 645–656.
- Hermes, O.D., Luedtke, B.E., Ritchie, D., 2001. Melrose green rhyolite: its geologic setting and petrographic and geochemical characteristics. *J. Archaeol. Sci.* 28, 913–928.
- Hermes, O.D., Ritchie, D., 1997a. Application of petrographic and geochemical methods to sourcing felsitic archaeological materials in southeastern New England. *Geoarchaeology* 12, 1–30.
- Hermes, O.D., Ritchie, D., 1997b. Nondestructive trace element analysis of archaeological felsite by energy-dispersive x-ray fluorescence spectroscopy. *Geoarchaeology* 12, 31–40.
- Kristmanson, H., 2004. The application of x-ray fluorescence analysis to archaeological samples: a case study from Newfoundland and Cape Breton island. *Can. J. Archaeol./J. Canadien Archeol.* 28, 342–352.
- Le Bas, M.J., Le Maitre, R.W., Streckeisen, A., Zanettin, B., 1986. A Chemical classification of volcanic rocks based on the total alkali-silica diagram. *J. Petrol.* 27, 745–750.
- Le Bourdonnec, F.-X., Bontempi, J.-M., Marini, N., Mazet, S., Neuville, P.F., Poupeau, G., Sicurani, J., 2010. SEM-EDS characterization of western Mediterranean obsidians and the Neolithic site of A Fuata (Corsica). *J. Archaeol. Sci.* 37, 92–106.
- Lugliè, C., Le Bourdonnec, F.-X., Poupeau, G., 2014. Caratterizzazione elementare e provenienza delle ossidiane mediante analisi non distruttiva PIXE e EDXRF. In: Venturino Gambari, M. (Ed.), *La Memoria Del Passato. Castello Di Annone. Tra Archeologia E Storia (Archeologia-giapiemonte 2)*, LineLab edizioni, Alessandria.
- Lugliè, C., Le Bourdonnec, F.-X., Poupeau, G., Atzeni, E., Dubernet, S., Moretto, P., Serani, L., 2007. Early Neolithic obsidians in Sardinia (Western Mediterranean): the Su Carroppu case. *J. Archaeol. Sci.* 34, 428–439.
- Mazet, S., 2011. Fouille programmée annuelle de l'abri des Castelli (2140 m), rapport d'opération archéologique. Service régional de l'archéologie de Corse, Ajaccio.
- Mazet, S., 2014. Fouille programmée annuelle de l'abri des Castelli (2140 M). Rapport d'opération archéologique. Service régional de l'archéologie de Corse, Ajaccio.
- Mazet, S., Marini, N.-A., Bontempi, J.-M., Boschian, G., 2016. La néolithisation de la haute montagne corse : l'abri des Castelli, 2140 m d'altitude (commune de Corte). In: Ghilardi, M. (Ed.), *Géochronologie des îles de Méditerranée*. CNRS Éditions, Paris, pp. 73–88.
- Mercury, J.-P., Bonin, B., Bardintzeff, J.-M., Platevolet, B., 1994. La caldeira du Monte Cinto : établissement du log détaillé des formations volcaniques permo-triasiques de la vallée de l'Asco (Haute Corse). *Geol. Fr.*, 3–19.
- Orange, M., Le Bourdonnec, F.-X., Bellot-Gurlet, L., Lugliè, C., Dubernet, S., Bressy-Leandri, C., Scheffers, A., Joannes-Boyau, R., 2017. On sourcing obsidian assemblages from the Mediterranean area: analytical strategies for their exhaustive geochemical characterisation. *J. Archaeol. Sci.* Rep. 12, 834–844.
- Perrin, T., 2015. Abri Southwell 2015. Rapport de sondage archéologique. Service régional de l'archéologie de Corse, Ajaccio.
- R Core Team, 2014. R: A Language and Environment For Statistical Computing. R. foundation for statistical computing, Vienna, Austria.
- Remicourt, M., 2014. Étude de l'industrie lithique taillée de la Couche B, terrasse nord, à I Calanchi (Sollacaro, Corse du Sud). Rapport d'étude. Service régional de l'archéologie de Corse, Ajaccio.
- Scharlotta, I., 2010. Groundmass microsampling using laser ablation time-of-flight inductively coupled plasma mass spectrometry (LA-TOF-ICP-MS): potential for rhyolite provenance research. *J. Archaeol. Sci.* 37, 1929–1941.
- Shackley, M.S., 2012. ThermoFisher scientific Quant'X analysis and instrumentation. <http://www.swxflab.net/analysis.htm>.
- Tykot, R.H., 2011. Obsidian finds on the fringes of the central Mediterranean: exotic or eccentric exchange? In: Vianello, A. (Ed.), *Exotica in the prehistoric Mediterranean*. Oxbow Books, Oxford, pp. 33–44.
- Van Den Boogaart, K.G., Tolosana-Delgado, R., 2013. Analyzing Compositional Data With R. Springer, Berlin, Heidelberg.
- Vellutini, P., 1977. Le magmatisme permien de la Corse du Nord-Ouest : son extension en Méditerranée Occidentale. Université de droit, d'économie et des sciences d'Aix-Marseille-III, 325 p.
- Wilcock, J., Goff, F., Minarik, W.G., Stix, J., 2012. Magmatic recharge during the formation and resurgence of the Valles Caldera, New Mexico, USA: evidence from quartz compositional zoning and geothermometry. *J. Petrology* 54, 635–664.
- Williams-Thorpe, O., Potts, P.J., Webb, P.C., 1999. Field-Portable non-destructive analysis of lithic archaeological samples by X-ray fluorescence instrumentation using a mercury iodide detector: comparison with wavelength-dispersive XRF and a case study in British stone axe provenancing. *J. Archaeol. Sci.* 26, 215–237.